



工业和信息化部“十二五”规划教材  
普通高等教育“十二五”规划教材  
电工电子基础课程规划教材

# 数字电路与系统设计

## (修订版)

■ 丁志杰 赵宏图 梁森 编著



電子工業出版社.  
PUBLISHING HOUSE OF ELECTRONICS INDUSTRY

[ <http://www.phei.com.cn> ]

工业和信息化部“十二五”规划教材  
普通高等教育“十二五”规划教材  
电工电子基础课程规划教材

# 数字电路与系统设计

## (修订版)

丁志杰 赵宏图 梁森 编著

电子工业出版社  
Publishing House of Electronics Industry  
北京 · BEIJING

## 内 容 简 介

本书是工业和信息化部“十二五”规划教材。本着加强基础的原则，本书着重讲述数字电路的基础知识，涵盖电子信息类专业本科生所应该掌握的相关专业基础知识，重点突出逻辑分析与逻辑设计部分。本书对所涉及的器件做全面、详细的介绍，采用业界习惯使用的 ANSI/IEEE Std 91a-1991 符号系统中的第二套，即特定符号系统，以与数据手册相适应。全书共分 11 章，主要内容包括：数制与编码、逻辑代数基础、逻辑门电路、组合逻辑电路、锁存器与触发器、常用时序电路组件、时序逻辑电路、脉冲信号的产生和整形、数模与模数变换器、存储器及可编程器件概述、ASM 图与系统设计等。本书配套电子课件、习题参考答案等。

本书可作为高等学校电子信息、通信工程、计算机科学与技术、电气工程及其自动化、机电工程等本科专业相关课程的教材，也可供相关领域的工程技术人员学习参考。

未经许可，不得以任何方式复制或抄袭本书之部分或全部内容。

版权所有，侵权必究。

## 图书在版编目（CIP）数据

数字电路与系统设计 / 丁志杰, 赵宏图, 梁森编著. —修订本. —北京: 电子工业出版社, 2014.8

工业和信息化部“十二五”规划教材

ISBN 978-7-121-23472-9

I. ①数… II. ①丁… ②赵… ③梁… III. ①数字电路—系统设计—高等学校—教材 IV. ①TN79

中国版本图书馆 CIP 数据核字（2014）第 122803 号

策划编辑：王羽佳

责任编辑：王羽佳 文字编辑：王晓庆

印 刷：

装 订：

出版发行：电子工业出版社

北京市海淀区万寿路 173 信箱 邮编：100036

开 本：787×1092 1/16 印张：25.25 字数：729 千字

版 次：2014 年 8 月第 1 版

印 次：2014 年 8 月第 1 次印刷

印 数：3 000 册 定价：55.00 元

凡所购买电子工业出版社图书有缺损问题，请向购买书店调换。若书店售缺，请与本社发行部联系，联系及邮购电话：(010)88254888。

质量投诉请发邮件至 [zlts@phei.com.cn](mailto:zlts@phei.com.cn)，盗版侵权举报请发邮件至 [dbqq@phei.com.cn](mailto:dbqq@phei.com.cn)。

服务热线：(010)88258888。

# 前　　言

本书根据作者多年教学经验编写而成。虽然现代集成电路技术发展十分迅速，数字集成电路的功能越来越强大，但是其应用基础还是传统的数字电路的内容。本着加强基础的原则，本书重点讲述数字电路的分析与设计方法，简要介绍了电子信息类专业学生应该具备的数制与编码、逻辑门电路基础、波形的产生与整形、ADC/DAC及现代广泛应用的可编程器件方面的知识。只有打牢基础，才可能在实践中比较容易地学习、掌握新器件的使用方法，从而在求职、开发新产品等领域的竞争中立于不败之地。

为满足日益增长的对数字系统设计方法的需求，本书编写了一章数字系统设计方法的内容。

绝大多数半导体生产厂商发布的数据手册、可编程器件的开发工具、数字系统的软件仿真工具等都采用了 ANSI/IEEE Std 91a-1991 符号系统中的第二套，即特定符号系统。本着教学与实践相结合的原则，本书也采用了 ANSI/IEEE Std 91a-1991 符号系统中的特定符号系统，以方便读者查阅文献。

为方便双语教学，书中给出了部分所涉及的专业术语的英文名称。

本教材给出了丰富的例题，每一章后面的习题也比较丰富，以便于读者自学。本书可作为高等学校电子信息、通信工程、计算机科学与技术、电气工程及其自动化、机电工程等本科专业相关课程的教材，也可供相关领域的工程技术人员学习参考。

为适应教学模式、教学方法和手段的改革，本书配套电子课件、习题参考答案等，请登录华信教育资源网（<http://www.hxedu.com.cn>）注册下载。

本书第1章、第5章、第6章、第9章、第10章和第11章由丁志杰编写，第2章、第4章第3、4节、第7章由赵宏图编写，第3章、第4章第1、2、5节、第8章由梁森编写。另外，焦定红、刘晓政、焦逸展、赵其蕙、丁杨也参与了本书的部分编写工作。本书由丁志杰担任主编，负责全书的组织、策划、统稿和定稿工作。全书由程震先教授、张洪欣教授审阅。在审阅过程中，两位教授认真负责，在仔细阅读书稿的基础上提出了许多宝贵的建议，指出了一些错误、不妥之处，使我们受益匪浅。在此谨向两位教授致以崇高的敬意。

由于编者的水平有限，加上时间的仓促，书中难免会出现错误和不妥之处，敬请读者指正。

作　者  
2014年8月于北京



# 目 录

<b>第1章 数制与编码</b> .....	1
1.1 数制 .....	1
1.2 数制转换.....	2
1.2.1 二、八、十六进制到十进制的 转换.....	2
1.2.2 二、八、十六进制之间的转换.....	2
1.2.3 十进制到二、八、十六进制的 转换.....	3
1.3 二进制符号数的表示方法 .....	4
1.3.1 原码表示法.....	5
1.3.2 反码表示法.....	5
1.3.3 补码表示法.....	5
1.3.4 符号数小结.....	8
1.4 二-十进制编码.....	8
1.5 格雷码 .....	9
1.6 ASCII字符集 .....	11
1.7 检错码和纠错码.....	11
1.7.1 检错码.....	11
1.7.2 纠错码.....	12
小结 .....	12
习题 .....	12
<b>第2章 逻辑代数基础</b> .....	14
2.1 概述 .....	14
2.1.1 事物的二值性 .....	14
2.1.2 布尔代数 .....	14
2.2 逻辑变量和逻辑函数 .....	15
2.2.1 基本的逻辑运算和逻辑变量 .....	15
2.2.2 逻辑函数 .....	18
2.2.3 逻辑函数与逻辑电路的关系 .....	19
2.3 逻辑代数的基本运算规律 .....	20
2.3.1 逻辑代数的基本定律 .....	20
2.3.2 三个重要规则 .....	21
2.3.3 逻辑代数基本定理 .....	23
2.3.4 复合逻辑运算和复合逻辑门 .....	24
2.4 逻辑函数的两种标准形式 .....	30
2.4.1 最小项和最大项 .....	30
2.4.2 标准表达式和真值表 .....	34
2.5 逻辑函数的代数化简法 .....	38
2.5.1 化简逻辑函数的意义及化简 方法 .....	38
2.5.2 代数化简法 .....	41
2.6 逻辑函数的卡诺图化简法 .....	46
2.6.1 卡诺图 .....	46
2.6.2 最小项的合并规律 .....	54
2.6.3 用卡诺图化简逻辑函数 .....	56
2.6.4 多输出逻辑函数的卡诺图 化简法 .....	60
2.7 非完全描述逻辑函数 .....	61
2.7.1 非完全描述逻辑函数 .....	61
2.7.2 利用无关项化简非完全描述 逻辑函数 .....	62
2.8 逻辑函数的描述 .....	64
2.8.1 逻辑函数的描述方法 .....	64
2.8.2 逻辑函数描述方法之间的转换 .....	66
*2.9 逻辑函数的Q-M化简法 .....	68
2.9.1 蕴涵项，主蕴涵项，本质 蕴涵项 .....	69
2.9.2 Q-M化简法推演过程 .....	70
2.9.3 覆盖过程 .....	72
2.9.4 非完全描述逻辑函数的Q-M 化简法 .....	74
小结 .....	76
习题 .....	77
<b>第3章 逻辑门电路</b> .....	84
3.1 概述 .....	84
3.2 晶体管的开关作用 .....	84
3.2.1 二极管的开关作用 .....	84
3.2.2 三极管的开关特性 .....	85

3.3	基本逻辑门电路.....	89	4.5.2	冒险现象的类型及识别 .....	161
3.3.1	分立元件门电路.....	89	4.5.3	冒险现象的排除 .....	161
3.3.2	复合门电路.....	91	小结 .....	163	
3.4	TTL 集成门电路 .....	91	习题 .....	164	
3.4.1	TTL “与非”门的基本原理.....	91	<b>第 5 章 锁存器与触发器.....</b>	169	
3.4.2	TTL “与非”门的特性及参数 .....	92	5.1	基本 RS 锁存器 .....	169
3.5	其他类型的 TTL 门电路.....	99	5.1.1	电路结构.....	169
3.5.1	集电极开路“与非”门 .....	99	5.1.2	功能分析.....	169
3.5.2	三态输出门.....	102	5.1.3	功能描述.....	170
3.6	MOS 门电路 .....	103	5.1.4	集成基本 RS 锁存器.....	172
3.6.1	CMOS 反相器.....	103	*5.1.5	防抖动开关 .....	172
3.6.2	其他逻辑功能的 CMOS 门 电路 .....	104	5.1.6	基本 RS 锁存器存在的问题 .....	172
3.6.3	CMOS 门电路的特点及使用 .....	105	5.2	门控 RS 锁存器 .....	173
3.7	CMOS 数字集成电路的各种系列 .....	106	5.2.1	电路结构.....	173
3.8	TTL 与 CMOS 电路的级联 .....	107	5.2.2	功能分析.....	173
3.8.1	由 TTL 驱动 CMOS .....	107	5.2.3	功能描述.....	173
3.8.2	由 CMOS 驱动 TTL .....	108	5.2.4	门控 RS 锁存器的特点 .....	174
小结 .....	108	5.3	D 锁存器 .....	175	
习题 .....	109	5.3.1	电路结构.....	175	
<b>第 4 章 组合逻辑电路 .....</b>	<b>112</b>	5.3.2	功能分析.....	175	
4.1	概述 .....	112	5.3.3	D 锁存器功能描述.....	175
4.2	常用数字集成组合逻辑电路 .....	113	5.3.4	集成 D 锁存器 .....	176
4.2.1	编码器 .....	113	5.4	主从式 RS 触发器 .....	176
4.2.2	译码器 .....	118	5.4.1	电路结构.....	177
4.2.3	加法器 .....	123	5.4.2	功能分析.....	177
4.2.4	数值比较器 .....	127	5.4.3	功能描述.....	178
4.2.5	数据选择器和数据分配器 .....	129	5.5	TTL 主从式 JK 触发器 .....	178
4.3	组合电路逻辑分析 .....	132	5.5.1	电路结构.....	178
4.3.1	组合电路逻辑分析步骤 .....	132	5.5.2	功能分析.....	178
4.3.2	组合电路逻辑分析实例 .....	133	5.5.3	功能描述.....	179
4.4	组合电路逻辑设计 .....	138	5.6	TTL 维持阻塞式 D 触发器 .....	180
4.4.1	用小规模集成电路实现 逻辑函数 .....	138	5.6.1	电路结构.....	180
4.4.2	用中规模集成电路实现 逻辑函数 .....	140	5.6.2	功能分析.....	181
4.4.3	一般设计步骤和设计举例 .....	151	5.6.3	功能描述.....	181
4.5	组合逻辑电路中的竞争与冒 险现象 .....	159	5.6.4	集成维持阻塞式 D 触发器 .....	182
4.5.1	竞争与冒险现象及其成因 .....	159	5.7	CMOS 锁存器与触发器 .....	182
			5.7.1	CMOS 锁存器 .....	182
			5.7.2	CMOS 触发器 .....	183
			5.8	T 触发器和 T'触发器 .....	184
			5.8.1	T 触发器 .....	184

5.8.2 T'触发器	185	7.3 同步时序逻辑电路——状态机的设计	235
5.9 触发器的功能转换	185	7.3.1 逻辑抽象	235
5.9.1 状态方程法	185	7.3.2 状态化简	239
5.9.2 驱动表法	186	7.3.3 状态分配(状态编码)	246
5.10 触发器的动态参数	187	7.3.4 触发器类型的选择	249
小结	187	7.3.5 逻辑方程组的获取	250
习题	187	7.4 实用时序逻辑电路的分析与设计	262
<b>第6章 常用时序电路组件</b>	<b>189</b>	7.4.1 同步计数器和同步分频器	263
6.1 寄存器	189	7.4.2 移存型计数器	274
6.1.1 锁存器组成的寄存器	189	7.4.3 同步序列信号发生器	282
6.1.2 触发器组成的寄存器	189	7.4.4 阻塞反馈式异步计数/分频器	297
6.2 异步计数器	190	小结	310
6.2.1 异步二进制加法计数器	190	习题	311
6.2.2 脉冲反馈复位(置位)式任意模M 异步加法计数器	191	<b>第8章 脉冲信号的产生和整形</b>	<b>323</b>
6.2.3 异步二进制减法计数器	193	8.1 概述	323
6.2.4 可逆异步二进制计数器	193	8.2 连续矩形脉冲波的产生	323
6.2.5 n位异步二进制计数器小结	193	8.2.1 环形振荡器	323
6.3 同步二进制计数器	194	8.2.2 对称式多谐振荡器	324
6.4 集成计数器	194	8.2.3 石英晶体多谐振荡器	325
6.4.1 异步二-五-十计数器 74LS290	195	8.3 单稳态触发器	326
6.4.2 同步二进制计数器 74LS161/74LS163	198	8.3.1 由门电路组成的单稳态触 发器	326
6.4.3 其他集成计数器	203	8.3.2 集成单稳态触发器	329
6.5 移位寄存器	203	8.3.3 单稳态触发器的应用	331
6.5.1 移位寄存器	203	8.4 施密特触发器	332
6.5.2 移位寄存器的应用	205	8.4.1 由门电路组成的施密特触发器	332
6.5.3 多功能移位寄存器 74LS194	206	8.4.2 集成施密特触发器	334
6.5.4 其他集成移存器	207	8.4.3 施密特触发器的应用	336
小结	208	8.5 555定时器及其应用	337
习题	208	8.5.1 555定时器的电路结构及功能	337
<b>第7章 时序逻辑电路</b>	<b>211</b>	8.5.2 555定时器的应用	338
7.1 概述	211	小结	343
7.1.1 同步时序电路的特点与结构	211	习题	343
7.1.2 同步状态机	214	<b>第9章 数模与模数变换器</b>	<b>346</b>
7.1.3 同步时序电路的描述方法	219	9.1 数模转换器	346
7.2 同步时序逻辑电路——状态机的 分析	226	9.1.1 权电阻型 DAC	346
7.2.1 同步时序电路的分析步骤	226	9.1.2 R-2R T形电阻网络 DAC	348
7.2.2 同步时序电路分析实例	227	9.1.3 倒 T形电阻网络 DAC	349
		9.1.4 DAC 中的电子开关	350

9.1.5 单片集成 DAC AD7520 及其用法	350	10.3.1 可编程逻辑阵列 PLA	372
9.1.6 DAC 的主要参数	351	10.3.2 可编程逻辑器件 PAL、GAL	374
9.1.7 DAC 的应用	352	小结	379
9.2 模数转换器	354	习题	379
9.2.1 采样保持	354		
9.2.2 量化与编码	355		
9.2.3 并行比较式 ADC	355		
9.2.4 计数式 ADC	356		
9.2.5 逐次比较式 ADC	357		
9.2.6 双积分式 ADC	359		
9.2.7 集成 ADC 举例	361		
9.2.8 ADC 的参数	363		
小结	364		
习题	364		
<b>第 10 章 存储器及可编程器件概述</b>	<b>366</b>		
10.1 只读存储器	366	11.1 寄存器传输级 RTL	381
10.1.1 ROM 的结构与原理	366	11.2 算法状态机 ASM	382
10.1.2 现代 ROM 的行列译码结构	368	11.2.1 ASM 图	382
10.1.3 PROM、EPROM、EEPROM	369	11.2.2 ASM 图举例	383
10.1.4 ROM 的内部结构及 ROM 的扩展	369	11.3 交通灯控制器的设计	384
10.2 随机存取存储器 RAM	370	11.3.1 系统分析	384
10.2.1 概述	370	11.3.2 系统构成	385
10.2.2 静态随机存储器 SRAM	370	11.3.3 交通灯控制系统的 ASM 图	385
10.2.3 动态随机存储器 DRAM	372	11.3.4 主状态机的设计	386
10.3 可编程逻辑器件 PLD 简介	372	11.3.5 寄存器及组合模块的设计	388
		11.3.6 交通灯控制器系统的实现	389
		11.4 数字乘法器的设计	389
		11.4.1 系统分析	389
		11.4.2 总体方案	390
		11.4.3 ASM 图	391
		11.4.4 主状态机的设计	391
		11.4.5 寄存器及组合模块的设计	391
		11.4.6 数字乘法器的实现	394
		小结	394
		习题	395
		<b>参考文献</b>	<b>396</b>

# 第1章 数制与编码

众所周知，在计算机系统中使用的是二进制数，而人类在日常生活中使用的则是十进制数。因此，当我们要将数据输入到计算机时，就需要进行数制转换（Base Conversion），将十进制转换为二进制；而当计算机将数据输出（显示、打印）时，则需要将二进制转换为十进制，因此我们必须熟悉二进制数和十进制数之间的转换。为记忆、阅读方便，人们还经常使用八进制和十六进制，因此我们也要熟悉它们与二进制及十进制之间的关系。

除了数字外，数字系统还要存储、处理一些字符，如字母、运算符、各种符号、汉字等，这就需要用二进制码去表示这些信息，以适应数字系统中的二进制。

## 1.1 数 制

任意进制的数都是由若干位数字组成的，每位上的数字所表示的意义是不相同的，也就是它们的权不同。例如，十进制数的 345.67 所表示的意义为：

$$(345.67)_{10} = 3 \times 10^2 + 4 \times 10^1 + 5 \times 10^0 + 6 \times 10^{-1} + 7 \times 10^{-2}$$

也就是说，在 345.67 中，3 的权为  $10^2$ ，4 的权为  $10^1$ ，…

一般情况下， $R$  进制的数  $N$  可表示为如下形式：

$$(N)_R = K_{n-1}K_{n-2}\cdots K_0.K_{-1}K_{-2}\cdots K_{-m} \quad (1.1)$$

式中， $R$  为基数， $K_i$  为在 0, 1, …,  $R-1$  范围中取值的数字。这个数的按权展开式为

$$\begin{aligned} (N)_R &= K_{n-1}R^{n-1} + K_{n-2}R^{n-2} + \cdots + K_0R^0 + K_{-1}R^{-1} + K_{-2}R^{-2} + \cdots + K_{-m}R^{-m} \\ &= \sum_{i=-m}^{n-1} K_i R^i \end{aligned} \quad (1.2)$$

由式 (1.2) 可见，第  $i$  位上的数字  $K_i$  所表示的数的大小为  $K_i \times R^i$ ，这个  $R^i$  就是  $K_i$  的权。整个数的大小是所有数字的加权之和。

对于十进制有  $N_D = \sum_{i=-m}^{n-1} d_i \cdot 10^i$ ， $d_i$  的取值范围为 0, 1, …, 9；

对于二进制有  $N_B = \sum_{i=-m}^{n-1} b_i \cdot 2^i$ ， $b_i$  的取值范围为 0, 1；

对于八进制有  $N_Q = \sum_{i=-m}^{n-1} q_i \cdot 8^i$ ， $q_i$  的取值范围为 0, 1, …, 7；

对于十六进制有  $N_H = \sum_{i=-m}^{n-1} h_i \cdot 16^i$ ， $h_i$  的取值范围为 0, 1, …, 9, A, B, C, D, E, F。其中，A, B, C, D, E, F 分别对应于十进制的 10, 11, 12, 13, 14, 15。

## 1.2 数制转换

### 1.2.1 二、八、十六进制到十进制的转换

根据数制（Number System）的定义，二、八、十六进制到十进制的转换用加权相加公式  $\sum_{i=-m}^{n-1} K_i R^i$

直接相加即可。

$$\text{【例 1.1】 } (101.001)_2 = 1 \cdot 2^2 + 0 \cdot 2^1 + 1 \cdot 2^0 + 0 \cdot 2^{-1} + 0 \cdot 2^{-2} + 1 \cdot 2^{-3} = (5.125)_{10}$$

$$\text{【例 1.2】 } (32.56)_8 = 3 \cdot 8^1 + 2 \cdot 8^0 + 5 \cdot 8^{-1} + 6 \cdot 8^{-2} = (26.71875)_{10}$$

$$\text{【例 1.3】 } (\text{ED.A})_{16} = 14 \cdot 16^1 + 13 \cdot 16^0 + 10 \cdot 16^{-1} = (237.625)_{10}$$

### 1.2.2 二、八、十六进制之间的转换

表 1.1 所示为对应十进制数 0~15 的二、八、十六进制数。

表 1.1 十、二、八、十六进制数对照表

十进制数	二进制数	八进制数	十六进制数
0	0000	00	0
1	0001	01	1
2	0010	02	2
3	0011	03	3
4	0100	04	4
5	0101	05	5
6	0110	06	6
7	0111	07	7
8	1000	10	8
9	1001	11	9
10	1010	12	A
11	1011	13	B
12	1100	14	C
13	1101	15	D
14	1110	16	E
15	1111	17	F

观察表 1.1 中二进制数和八进制数之间的关系可知，每三位二进制数对应一位八进制数，由此可得二进制到八进制和八进制到二进制的转换方法。

$$\text{【例 1.4】 } (10010111.1101)_2 = (\underline{010} \underline{010} \underline{111}. \underline{110} \underline{100})_2 = (227.64)_8$$

$$\text{【例 1.5】 } (227.64)_8 = (\underline{010} \underline{010} \underline{111}. \underline{110} \underline{100})_2 = (10010111.1101)_2$$

例 1.4 说明了二进制到八进制的转换方法：小数点左边从右向左每三位一组，最左边一组不够三位时左边补 0；小数点右边从左向右每三位一组，最右边一组不够三位时右边补 0。然后按顺序分别写出每三位二进制数所对应的八进制数即可。例 1.5 说明了八进制到二进制的转换方法：将八进制数转换成二进制数时，只要将每位八进制数按顺序分别写成它们所对应的二进制数即可。注意，整数部分除最高位外，每个三位二进制数中最左边的 0 不能省略；小数部分除最低位外，每个三位二进制数中最右边的 0 也不能省略。

观察表 1.1 中二进制数和十六进制数之间的关系可以看出，每 4 位二进制数对应一位十六进制数。由此可得二进制到十六进制和十六进制到二进制的转换方法。

**【例 1.6】**  $(110110111.011)_2 = (\underline{0001} \underline{1011} \underline{0111} \underline{0110})_2 = (1B7.6)_{16}$

**【例 1.7】**  $(1C7.6)_{16} = (\underline{0001} \underline{1100} \underline{0111} \underline{0110})_2 = (111000111.011)_2$

例 1.6 说明了二进制到十六进制的转换方法：小数点左边从右向左每 4 位一组，最左边一组不够 4 位时左边补 0；小数点右边从左向右每 4 位一组，最右边一组不够 4 位时右边补 0。然后按顺序分别写出每 4 位二进制数所对应的十六进制数即可。例 1.7 说明了十六进制到二进制的转换方法：将十六进制数转换成二进制数时，只要将每位十六进制数按顺序分别写成它们所对应的二进制数即可。注意，中间位的所有 0 均不能省略。

八进制数到十六进制数之间的转换可以通过转换为二进制数作为中间过程来方便地完成。例 1.8 和例 1.9 说明了这个转换过程。

**【例 1.8】**  $(1C7.6)_{16} = (\underline{0001} \underline{1100} \underline{0111} \underline{0110})_2 = (\underline{111} \underline{000} \underline{111} \underline{011})_2 = (707.3)_8$

**【例 1.9】**  $(707.3)_8 = (\underline{111} \underline{000} \underline{111} \underline{011})_2 = (\underline{0001} \underline{1100} \underline{0111} \underline{0110})_2 = (1C7.6)_{16}$

### 1.2.3 十进制到二、八、十六进制的转换

将十进制数转换到二、八、十六进制数时，要将整数部分和小数部分分别进行转换，整数部分用连除法，而小数部分用连乘法。

#### 1. 十进制数到二进制数的转换

整数部分转换用连除法，即用 2 去除所要转换的数，所得余数即为  $b_0$ ；再用 2 去除上一步所得的商，所得余数为  $b_1$ ，…，一直除到商为 0 时为止。

**【例 1.10】**  $(59)_{10} = (?)_2$

解： $0 \leftarrow 1 \leftarrow 3 \leftarrow 7 \leftarrow 14 \leftarrow 29 \leftarrow 59$  连除以 2，商写在箭头左侧，直到商为 0；

1	1	1	0	1	1		
$b_5$	$b_4$	$b_3$	$b_2$	$b_1$	$b_0$		

余数写在商下边，连起来就是所求二进制数， $b_0$  在最右边。

所以  $(59)_{10} = (111011)_2$ 。

小数部分转换用连乘法，将小数部分乘以 2，所得积的整数部分即为  $b_{-1}$ ；积的小数部分再乘以 2，所得积的整数部分为  $b_{-2}$ ，…，一直乘到所要求的精度为止。

**【例 1.11】**  $(0.8125)_{10} = (?)_2$

解： $0.8125 \rightarrow 0.625 \rightarrow 0.25 \rightarrow 0.5 \rightarrow 0$  乘以 2，积的小数部分写在箭头右侧；

1	1	0	1			
$b_{-1}$	$b_{-2}$	$b_{-3}$	$b_{-4}$			

积的整数部分写在小数部分下侧，连起来就是所求二进制数， $b_{-1}$  在最左边。

所以  $(0.8125)_{10} = (0.1101)_2$ 。

例 1.11 中的小数部分最后可以乘到 0，此时的转换是精确转换，即十进制数与转换后得到的二进制数相等。

**【例 1.12】**  $(0.62)_{10} = (?)_2$ ，要求小数点后精确到 5 位。

解： $0.62 \rightarrow 0.24 \rightarrow 0.48 \rightarrow 0.96 \rightarrow 0.92 \rightarrow 0.84$  乘以 2，积的小数部分写在箭头右侧；

1	0	0	1	1		
$b_{-1}$	$b_{-2}$	$b_{-3}$	$b_{-4}$	$b_{-5}$		

积的整数部分写在小数部分下侧，连起来就是所求二进制数， $b_{-1}$  在最左边。

所以  $(0.62)_{10} \approx (0.10011)_2$ 。

例 1.12 中的小数部分永远乘不到 0，此时不能做精确转换，只能取近似值。转换误差为

$|0.62_{10} - 0.10011_2| = 0.62 - (2^{-1} + 2^{-4} + 2^{-5}) = 0.62 - 0.59375 = 0.02625$ 。如果要求精度更高，可增加转换后小数的位数。

**【例 1.13】**  $(59.62)_{10} = (?)_2$ ，要求转换结果精确到小数点后 5 位。

解：将整数、小数部分分别转换，如例 1.10 和例 1.12 所示，有

$$(59.62)_{10} \approx (111011.10011)_2$$

## 2. 十进制数到八进制数和十六进制数的转换

**方法一：**与十进制数转换到二进制数类似，将十进制数转换到八进制数（十六进制数）时，整数部分连除以 8（16），余数为  $q_i$  ( $h_i$ )；小数部分连乘以 8（16），整数部分为  $q_{-i}$  ( $h_{-i}$ )。

**【例 1.14】**  $(59)_{10} = (?)_8$

解： $0 \leftarrow 7 \leftarrow 59$  除以 8，商写在箭头左侧，除到商为 0 时为止；

7 3 余数写在商下边，连起来就是所求八进制数， $q_0$  在最右边。

$q_1 \quad q_0$

所以  $(59)_{10} = (73)_8$ 。

**【例 1.15】**  $(59)_{10} = (?)_{16}$

解： $0 \leftarrow 3 \leftarrow 59$  除以 16，商写在箭头左侧，除到商为 0 时为止；

3 11 余数写在商下边，余数所对应的十六进制数连起

3 B 来就是所求十六进制数， $h_0$  在最右边。

$h_1 \quad h_0$

所以  $(59)_{10} = (3B)_8$ 。

**【例 1.16】**  $(0.8125)_{10} = (?)_8$

解： $0.8125 \rightarrow 0.5 \rightarrow 0.$  乘以 8，积的小数部分写在箭头右侧；

6 4 积的整数部分写在小数部分下侧，连起来

$q_{-1} \quad q_{-2}$  就是所求八进制数， $q_{-1}$  在最左边。

所以  $(0.8125)_{10} = (0.64)_8$ 。

例 1.16 中的小数部分最后可以乘到 0，此时的转换是精确转换，即十进制数与转换后得到的八进制数相等。

**【例 1.17】**  $(0.62)_{10} = (?)_8$ ，要求小数点后精确到 5 位。

解： $0.62 \rightarrow 0.96 \rightarrow 0.68 \rightarrow 0.44 \rightarrow 0.52 \rightarrow 0.16$  乘以 8，积的小数部分写在箭头右侧；积的

4 7 5 3 4 整数部分写在小数部分下侧，连起来就是所

$q_{-1} \quad q_{-2} \quad q_{-3} \quad q_{-4} \quad q_{-5}$  求八进制数， $q_{-1}$  在最左边。

所以  $(0.62)_{10} \approx (0.47534)_8$ 。

例 1.17 中的小数部分永远乘不到 0，此时只能取近似值。

用方法一将十进制小数转换为十六进制小数的例子读者可自己练习。

**方法二：**先将十进制数转换为二进制数，再将二进制数转换为八进制数或十六进制数。

比较方法一与方法二可见，由于乘 8（16）、除 8（16）比乘 2、除 2 在运算数时更复杂，所以用方法二可减轻心算负担；但用方法一运算的次数较少，也有优点。读者可自行确定使用那种方法。

## 1.3 二进制符号数的表示方法

所谓符号数，就是带正、负号的数。在数字系统中所有信息都是由二进制码表示的，数的正、负也由二进制码表示。本节介绍二进制符号数的表示方法（Signed Number Representation）。

### 1.3.1 原码表示法

所谓原码表示法，就是用一位二进制数表示符号：0 表示正数，1 表示负数；而数的大小则以该数的绝对值表示。符号位通常放在最高位。如某数字系统中用 8 位存储器存放数据，其中最高位为符号位，其余 7 位为数的绝对值。例如：

$$\begin{aligned} (+37)_{10} &= (+0100101)_2 = (00100101)_\text{原} \\ (-37)_{10} &= (-0100101)_2 = (10100101)_\text{原} \\ (+0)_{10} &= (+0000000)_2 = (00000000)_\text{原} \\ (-0)_{10} &= (-0000000)_2 = (10000000)_\text{原} \\ (+127)_{10} &= (+1111111)_2 = (01111111)_\text{原} \\ (-127)_{10} &= (-1111111)_2 = (11111111)_\text{原} \end{aligned}$$

以上例子说明：n 位数字系统采用原码表示法时所能表示的十进制数的范围为  $-(2^{n-1}-1) \sim +(2^{n-1}-1)$ ，其中 0 有两种表示形式：+0 和-0。

### 1.3.2 反码表示法

#### 1. 反码 (1's Complement)

二进制数每一位上的数字不是 0 就是 1。定义 0 的反码为 1，1 的反码为 0。一个二进制数的反码定义为将二进制数的每一位分别求反而得到的二进制码。

#### 2. 符号数的反码表示法

所谓符合数的反码表示法，就是用一位二进制数表示符号：0 表示正数，1 表示负数；正数的大小用原码表示，而负数的大小则以该数的反码表示。符号位通常放在最高位。如某数字系统中用 8 位存储器存放数据，其中最高位为符号位，其余 7 位存放数的大小。例如：

$$\begin{aligned} (+37)_{10} &= (+0100101)_2 = (00100101)_\text{反} \\ (-37)_{10} &= (-0100101)_2 = (11011010)_\text{反} \\ (+0)_{10} &= (+0000000)_2 = (00000000)_\text{反} \\ (-0)_{10} &= (-0000000)_2 = (11111111)_\text{反} \\ (+127)_{10} &= (+1111111)_2 = (01111111)_\text{反} \\ (-127)_{10} &= (-1111111)_2 = (10000000)_\text{反} \end{aligned}$$

以上例子说明：n 位反码表示法所能表示的十进制数的范围为  $-(2^{n-1}-1) \sim +(2^{n-1}-1)$ ，其中 0 有两种表示法。

### 1.3.3 补码表示法

#### 1. 补码 (2's Complement)

设数 N 为有 n 位整数、m 位小数的二进制数，则 N 的补码定义为：

$$(N)_\text{补,n} = 2^n - N \quad (1.3)$$

由定义可知：N 的补码与 N 的大小有关，还与位数 n 有关。

**【例 1.18】**  $(11001)_\text{补,8} = 2^8 - 11001 = 11100111$

**【例 1.19】**  $(11001.0101)_\text{补,8} = 2^8 - 11001.0101 = 11100110.1011$

## 2. 补码的求法

利用补码的定义式（1.3）当然可以求一个数的补码，但较为烦琐。补码有简单的求法，下面就是两种简单的求法。

**方法一：**将原码补足  $n$  位后求反加 1 即得其补码。

**【例 1.20】** 求二进制数  $N=10001$  的补码，设字长  $n=8$  位。

解：因为补码与位数有关，故先将数  $N$  的整数部分补齐为 8 位： $N=00010001$

对  $N$  求反： 11101110

将求反后的数加 1 得： 11101111

此即  $n=8$  时  $N$  的补码。

**方法二：**将原码补足  $n$  位后，从右往左第一个 1 及其右边的 0 不变，其余各位求反即得  $N$  的补码。

**【例 1.21】** 求二进制数  $N=10010$  的补码，设字长  $n=8$  位。

解：因为补码与位数有关，故先将数  $N$  补齐为 8 位：

$$N=00010010 = \underline{000100} \underline{10}$$

$$(N)_{\text{补},8} = \underline{111011} \underline{10}$$

其他各位求反 ↑ ↑ 最右边一个 1 及其右边的 0 不变

如果所给二进制数为小数，则应将其整数部分补齐为  $n$  位。

## 3. 符号数的补码表示法

所谓符号数的补码表示法，就是用一位二进制数表示符号：0 表示正数，1 表示负数；正数的大小用原码表示，而负数的大小则以其绝对值的原码的补码表示。符号位放在最高位。如某数字系统中用 8 位存储器存放数据，其中最高位为符号位，其余各位存放数的大小。例如：

$$(+37)_{10} = (+0100101)_2 = (00100101)_{\text{补},8}$$

$$(-37)_{10} = (-0100101)_2 = (11011011)_{\text{补},8}$$

$$(+0)_{10} = (+0000000)_2 = (00000000)_{\text{补},8}$$

$$(-0)_{10} = (-0000000)_2 = (00000000)_{\text{补},8}$$

$$(+127)_{10} = (+1111111)_2 = (01111111)_{\text{补},8}$$

$$(-127)_{10} = (-1111111)_2 = (10000001)_{\text{补},8}$$

$$(-128)_{10} = (-10000000)_2 = (10000000)_{\text{补},8}$$

以上例子说明：+0 和-0 的补码一样，为全 0； $n$  位符号数的补码表示法所能表示的十进制数的范围为  $-2^{n-1} \sim +(2^{n-1}-1)$ 。

求负数的补码时可以不特别考虑符号位，而将符号位作为一位数来处理。如在  $n=8$  时求-100101 的补码，可以这样求：将 100101 补齐为 8 位 00100101，其补码为 11011011，其中最高位符号位为 1，表明这是负数。

## 4. 利用补码求符号数的加减运算

如果将加数和被加数均以其补码表示，则只用加法运算器就可完成加减运算。显然这样可以节省硬件，降低生产成本。运算时符号位与其他位一样参与运算。若符号位产生进位，则在结果中忽略该进位，不予考虑。

**【例 1.22】** 设  $n=8$ ，有两个正数  $A=10011$ ,  $B=1101$ 。试用补码求  $A+B$ ,  $A-B$ ,  $B-A$ ,  $-A-B$ 。

解： $(A)_{\text{补},8} = 00010011$ ,  $(B)_{\text{补},8} = 00001101$ ,  $(-A)_{\text{补},8} = 11101101$ ,  $(-B)_{\text{补},8} = 11110011$

$$A+B = 100000$$

$$A-B = 110$$

$$-A+B = 11111010$$

$$-A-B = 11100000$$

$$\begin{array}{r}
 00010011 \\
 + 00001101 \\
 \hline
 00100000
 \end{array}
 \quad
 \begin{array}{r}
 00010011 \\
 + 11110011 \\
 \hline
 100000110
 \end{array}
 \quad
 \begin{array}{r}
 11101101 \\
 + 00001101 \\
 \hline
 11111010
 \end{array}
 \quad
 \begin{array}{r}
 11101101 \\
 + 11110011 \\
 \hline
 111100000
 \end{array}$$

例 1.22 说明，在运算时符号位如同其他位一样参与运算；运算结果若符号位有进位，则该进位位在结果中不予考虑；运算结果以补码形式表示。读者可验证结果的正确性。

为什么用补码相加可以做加减运算呢？下面给予证明。

设有两个  $n$  位正数  $N_1$ 、 $N_2$ ，则  $-N_1$ 、 $-N_2$  的补码分别为  $2^n - N_1$  和  $2^n - N_2$ 。在  $n$  位加法器中进行加减运算时共有如下 4 种情况：

- ①  $N_1 + N_2$  就是两个正数相加，结果为正数；
- ②  $N_1 - N_2 = N_1 + (2^n - N_2) = 2^n - (N_2 - N_1)$ ，结果取决于  $N_2 - N_1$  的符号：如果  $N_2 > N_1$ ，则结果为负数， $2^n - (N_2 - N_1)$  就是  $-(N_2 - N_1)$  的补码；如果  $N_2 < N_1$ ，则结果为  $2^n + (N_1 - N_2)$ ，由于  $N_1 - N_2 > 0$ ，而  $2^n$  为第  $n-1$  位的进位，位于第  $n$  位（ $n$  位运算器的最高位为第  $n-1$  位）上，在  $n$  位运算器之外，所以结果为  $N_1 - N_2$ ，是正数；
- ③  $N_2 - N_1$ ，结果与  $N_1 - N_2$  类似；
- ④  $-N_1 - N_2 = (2^n - N_1) + (2^n - N_2) = 2^n + [2^n - (N_1 + N_2)]$ ，其中第 1 个  $2^n$  为第  $n-1$  位的进位，位于第  $n$  位上，在  $n$  位运算器之外，舍去不管；而  $[2^n - (N_1 + N_2)]$  就是负数  $-(N_1 + N_2)$  的补码。

由此证明了用补码进行加减运算的正确性。

对于  $n = 8$  的情况，当然运算结果不能超出 8 位补码所能表示的数值范围，否则会产生所谓的溢出，即运算结果发生错误。

**【例 1.23】** 设  $n = 8$ ，有两个正数  $A = 110011$ ， $B = 1101101$ 。试用补码求  $A+B$ ， $A-B$ ， $B-A$ ， $-A-B$ 。

解： $(A)_{\text{补},8} = 00110011$ ， $(B)_{\text{补},8} = 01101101$ ， $(-A)_{\text{补},8} = 11001101$ ， $(-B)_{\text{补},8} = 10010011$

$$\begin{array}{r}
 A+B = 10100000 \\
 00110011 \\
 + 01101101 \\
 \hline
 10100000
 \end{array}
 \quad
 \begin{array}{r}
 A-B = 11000110 \\
 00110011 \\
 + 10010011 \\
 \hline
 11000110
 \end{array}
 \quad
 \begin{array}{r}
 -A+B = 00111010 \\
 11001101 \\
 + 01101101 \\
 \hline
 100111010
 \end{array}
 \quad
 \begin{array}{r}
 -A-B = 01100000 \\
 11001101 \\
 + 10010011 \\
 \hline
 101100000
 \end{array}$$

例 1.23 中， $A+B$  的结果为负数，而  $-A-B$  的结果为正数，二者显然错了；而  $-A+B$  和  $A-B$  结果正确。

两个符号相异的数相加，结果的绝对值小于任一加数的绝对值，所以此时运算结果不会超出  $n$  位符号数的表示范围，即不会发生溢出。所以例 1.23 中  $A-B$  和  $-A+B$  运算结果肯定正确。

两个正数相加，由于两个数的符号位均为 0，所以符号位肯定不会产生进位；如果此时两个数的绝对值之和不大于  $(2^{n-1}-1)$ ，则第  $n-2$  位（即最高数位）就不会产生进位，运算结果就正确；如果此时两个数的绝对值之和大于  $(2^{n-1}-1)$ ，则第  $n-2$  位就会产生进位，这个进位使第  $n-1$  位（即符号位）为 1，结果成了负数，显然错了，例 1.23 中的  $A+B$  就是这种情况。

两个负数相加，由于两个数的符号位均为 1，所以此时符号位（第  $n-1$  位）肯定有进位；如果此时第  $n-2$  位有进位，则运算结果为负数，结果正确；如果此时第  $n-2$  位无进位，则运算结果为正数，结果显然错了，例 1.23 中的  $-A-B$  就是这种情况。

综上所述，利用符号数的补码进行加减运算时，如果两个加数的绝对值之和大于  $n$  位符号数的表示范围，则  $A+B$  和  $-A-B$  的运算结果就会发生错误。这类错误称为溢出。溢出只发生在两个加数的符号位相同时。在设计加法器时必须考虑溢出问题，并在溢出时给出报警信号，以提示运算结果出错。

根据以上分析并观察例 1.22 和例 1.23 可知：当第  $n-1$  位（符号位）和第  $n-2$  位（最高数位）不同时有进位（两个负数相加时）或不同时无进位（两个正数相加时）时有溢出发生。设计加法器时可根据这个原理设计溢出指示电路。

### 1.3.4 符号数小结

本节介绍了符号数的三种表示法，对于加减运算最重要的是补码表示法。表 1.2 所示为  $n=8$  时对应十进制数-128~+127 之间的二进制数的三种编码结果。

表 1.2 符号数的三种表示法

十进制数	二进制数	原码	反码	补码
-128	-10000000	—	—	10000000
-127	-01111111	11111111	10000000	10000001
-126	-01111110	11111110	10000001	10000010
⋮	⋮	⋮	⋮	⋮
-1	-00000001	10000001	11111110	11111111
-0	-00000000	10000000	11111111	00000000
+0	+00000000	00000000	00000000	00000000
+1	+00000001	00000001	00000001	00000001
⋮	⋮	⋮	⋮	⋮
+125	+01111101	01111101	01111101	01111101
+126	+01111110	01111110	01111110	01111110
+127	+01111111	01111111	01111111	01111111

最后强调说明一下“补码”与“符号数的补码表示”之间的关系。求一个数的补码，与符号数无关，按 1.3.3 节中 2 所给的方法运算即可，在此只涉及求补码；而符号数的表示，则涉及两个概念：求补和符号数的表示。所以，习题 1-9 只是求补练习（所给的数只有正数）；而习题 1-10 则是考求补和符号数的表示两个概念（所给的数既有正数，也有负数）。

## 1.4 二-十进制编码

数字系统中使用的是二进制数，而在许多场合特别是在输入（如键盘等）/输出（如显示、打印等）时需要处理十进制数。那么十进制数在机器里面是怎样表示的呢？这就是本节所要讨论的问题，即二-十进制码（Binary Coded Decimal，BCD）。

若要表示 0~9 这 10 个十进制数字，需要 10 种组合。三位二进制码只有 8 种组合，不够用；而 4 位二进制码有 16 种组合，可用。当然，位数大于 4 的任意多位二进制数均可用，但那样会造成资源浪费，故一般情况下均用 4 位二进制数对一位十进制数进行编码。用以表示十进制数字的二进制编码称为 BCD 码。从 4 位二进制码的 16 种组合中取 10 种去表示 10 个十进制数字，共有  $C_{16}^{10} = 16!/(10!(16-10)!)$  种取法；而每种取法又有  $10!$  种分配方法；故共有  $16! / 6!$  种可能的 BCD 编码方法可供选择，当然我们不可能全用。表 1.3 所示为几种常用的 BCD 码。

表 1.3 常用的 BCD 码

十进制数	8421BCD	5421BCD	2421BCD	余 3 码	余 3 循环码	备注
0	0000	0000	0000	0011	0010	有效 编码
1	0001	0001	0001	0100	0110	
2	0010	0010	0010	0101	0111	
3	0011	0011	0011	0110	0101	
4	0100	0100	0100	0111	0100	
5	0101	1000	1011	1000	1100	
6	0110	1001	1100	1001	1101	
7	0111	1010	1101	1010	1111	
8	1000	1011	1110	1011	1110	
9	1001	1100	1111	1100	1010	

续表

十进制数	8421BCD	5421BCD	2421BCD	余3码	余3循环码	备注
—	1010	0101	0101	0000	0000	无效编码
—	1011	0110	0110	0001	0001	
—	1100	0111	0111	0010	0011	
—	1101	1101	1000	1101	1011	
—	1110	1110	1001	1110	1001	
—	1111	1111	1010	1111	1000	

表1.3中，8421BCD、5421BCD和2421BCD三种编码为**有权码**，即它们从高到低的各位都有固定的权值（8421BCD码从高到低各位的权值分别为8、4、2、1，5421BCD和2421BCD的各位的权类似定义），而所有4位码加权相加的结果就是它所表示的十进制数字。而余3码和余3循环码则是**无权码**，因为它的各位没有固定的权值。观察表1.3可知，若是各位的权分别为8、4、2、1，则对应于同一个十进制数字，余3码比8421BCD码多3，余3码由此得名。

表1.3中的前10组编码分别对应十进制数字0~9，称为**有效编码**；而后6组没有对应任何十进制数字，没有任何意义，是无效的，故称为**无效编码**。

8421BCD各位的权与4位二进制数相同，故又称为自然码。5421BCD、2421BCD、余3码和余3循环码各有特点，如5421BCD中的0、1、2、3、4的最高位变成1就分别得到5、6、7、8、9；而2421BCD和余3码则具有**自反特性**，即以4、5间直线为轴反对称：直线以上（下）的码求反即得直线以下（上）处于它所对称位置的码；余3循环码中相邻的编码只有一位不同（0和9的编码也只有一位不同），且最高位自反，其他位以4、5间直线为轴对称。这些编码在许多场合有重要应用。

用BCD码表示十进制数时，每一位十进制数均需4位二进码表示。

**【例1.24】**  $(216)_{10} = (0010\ 0001\ 0110)_{8421} = (0010\ 0001\ 1001)_{5421} = (0101\ 0100\ 1001)_{余3}$

两个BCD码相加，结果必须还是BCD码，并且还必须是合法的BCD码。

**【例1.25】**  $(0010\ 0001\ 0110)_{8421} + (0011\ 1001\ 0011)_{8421} = (0101\ \underline{1010}\ 1001)_{8421}$ ，其中第2位BCD码为1010，是非法的8421BCD，要对其进行调整：本位加6（0110），结果为0000，并向高位进1，所以最后结果应为 $(0110\ 0000\ 1001)_{8421}$ 。

## 1.5 格雷码

在组合电路中，为避免译码噪声（毛刺）的产生，常使用格雷（Gray）码。格雷码的特点：相邻两个编码中只有一位不同，其他各位均相同。在控制系统中人们常常使用格雷码。表1.4所示为对应4位二进制码的4位格雷码。由表1.4可见，第一个格雷码和最后一个格雷码也只有一位不同。余3循环码就是取的4位格雷码中的10组编码。

表1.4 4位格雷码

序号	二进制码	格雷码	序号	二进制码	格雷码
0	0000	0000	8	1000	1100
1	0001	0001	9	1001	1101
2	0010	0011	10	1010	1111
3	0011	0010	11	1011	1110
4	0100	0110	12	1100	1010
5	0101	0111	13	1101	1011
6	0110	0101	14	1110	1001
7	0111	0100	15	1111	1000

由表 1.4 还可以看出，格雷码的最高位以 7、8 间的中线为轴自反；而低位则以此线为轴对称。据此可由  $n$  位格雷码方便地写出  $n+1$  位格雷码。一位格雷码只有两个：0、1；由此可写出两位、由两位可写出三位、由三位可写出四位、……、由  $n-1$  位可写出  $n$  位格雷码，例如：

一位格雷码: 0	两位格雷码: 00	三位格雷码: 000	四位格雷码: .....
1	<u>01</u>	001	
	11	011	
	10	<u>010</u>	
		110	
		111	
		101	
		100	

二进制码与格雷码的相互转换可由表 1.4 得到，也可以用解析式通过运算得到。

定义：逻辑变量  $A$ 、 $B$  的取值范围为 0、1，则它们的异或运算定义为

$$F = A \oplus B = \begin{cases} 1 & \text{当 } A \neq B \text{ 时} \\ 0 & \text{当 } A = B \text{ 时} \end{cases}$$

有了异或运算，就可以由已知二进制码求出它所对应的格雷码；反之，也可以由已知格雷码求出它所对应的二进制码。设给定二进制码为  $B_{n-1}\cdots B_2B_1B_0$ ，则它所对应的格雷码  $G_{n-1}\cdots G_2G_1G_0$  可由式(1.4)求出：

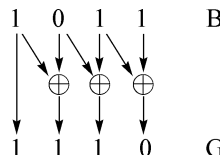
$$G_{n-1} = B_{n-1}, \quad G_i = B_{i+1} \oplus B_i \quad i = n-2, n-3, \dots, 2, 1, 0 \quad (1.4)$$

若给定格雷码  $G_{n-1}\cdots G_2G_1G_0$ ，则它所对应的二进制码  $B_{n-1}\cdots B_2B_1B_0$  可由式 (1.5) 求出：

$$B_{n-1} = G_{n-1}, \quad B_i = B_{i+1} \oplus G_i \quad i = n-2, n-3, \dots, 2, 1, 0 \quad (1.5)$$

**【例 1.26】** 试写出对应二进制码 1011 的格雷码。

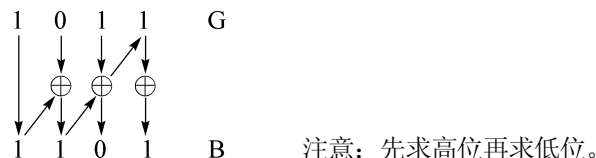
解：由式 (1.4) 得



所以所求格雷码为 1110。

**【例 1.27】** 试写出对应格雷码 1011 的二进制码。

解：由式 (1.5) 得



所以所求格雷码为 1101。

读者可以对照表 1.4 验证。

## 1.6 ASCII字符集

在数字系统或计算机系统中除了需要表示十进制数外，还经常要表示一些人机交流用的其他信息，如大小写字母、+、-、×、÷、=、&、%等字符，DEL、ESC、CR等控制符。目前广泛使用的是ASCII（American Standard Codes for Information Interchange）字符集，又称为ASCII码，如表1.5所示。

表1.5 ASCII字符集

			列号( $b_6b_5b_4$ )							
		B	000	001	010	011	100	101	110	111
	B	H	0	1	2	3	4	5	6	7
行号( $b_3b_2b_1b_0$ )	0000	0	NUL	DLE	SP	0	@	P	‘	p
	0001	1	SOH	DC1	!	1	A	Q	a	q
	0010	2	STX	DC2	“	2	B	R	b	r
	0011	3	ETX	DC3	#	3	C	S	c	s
	0100	4	EOT	DC4	\$	4	D	T	d	t
	0101	5	ENQ	NAK	%	5	E	U	e	u
	0110	6	ACK	SYN	&	6	F	V	f	v
	0111	7	BEL	ETB	,	7	G	W	g	w
	1000	8	BS	CAN	(	8	H	X	h	x
	1001	9	HT	EM	)	9	I	Y	i	y
	1010	A	LF	SUB	*	:	J	Z	j	z
	1011	B	VT	ESC	+	;	K	[	k	{
	1100	C	FF	FS	,	<	L	\	l	
	1101	D	CR	GS		=	M	]	m	}
	1110	E	SO	RS	.	>	N	^	n	~
	1111	F	SI	US	/	?	O	-	o	DEL

由表1.5可知，ASCII字符集共有128个编码，其中控制符33个，字符95个。00H~1FH、7FH为控制符编码，其余(20H~7EH)为字符编码。每个ASCII码均由7位二进制数( $b_6 \sim b_0$ )组成，又可将它们看成为两位十六进制码，如20H为空格SP的ASCII编码；30H~39H分别是数字0~9的ASCII编码；41H~5AH分别是大写字母A~Z的ASCII编码等。

## 1.7 检错码和纠错码

由于各种原因，数字信号（数据）在传输过程中常常会发生错误，即所谓的误码。在不同的应用场合对错误的处理方法也不一样，有的场合只要检测出有无错码即可，这时就需要检错（Error Detecting）码；而在另外的场合则不仅需要检测出错码，而且还要将错码纠正过来，这时就需要纠错（Error Correcting）码。本节简单介绍检错码和纠错码。

### 1.7.1 检错码

最简单的检错码是奇偶校验码（Parity）。

为检验传输过程是否出错，除要发送的信息码之外，再多发送一位校验位，信息码与校验位共同组成的码就是奇偶校验码。校验位的确定方法：如果采用奇校验（Odd Parity），则信息码与校验位所

构成的奇偶校验码中“1”的个数为奇数；如果采用偶校验(Even Parity)，则信息码与校验位所构成的奇偶校验码中“1”的个数为偶数。根据收发协议，接收端接收到发送端发送来的信息后，先判断“1”的个数的奇偶性，若“1”的个数为奇(偶)数，则认为接收正确，否则认为接收错误。校验位一般放在最高位。判断“1”的个数的奇偶性，可由逻辑运算“异或”完成。

**【例 1.28】** 设要发送的 8 位信息码为 01000001，则采用奇、偶校验时所发送的校验位分别为 1、0。所发送的奇偶校验码分别为：101000001、001000001。

可见，使系统具有检错功能所花费的代价是降低信息码的传送速率。设传送一位码元需要一个单位的时间  $T$ ，则传送  $n$  位信息码需要时间  $nT$ ；传送奇偶校验码需要时间  $(n+1)T$ ，比前者多用了  $T$ 。在传输奇偶检验码时，信息码的传输效率是  $\eta = nT/(n+1)T = n/n+1$ 。当  $n = 8$  时， $\eta = 8/9 \times 100\% \approx 88.89\%$ 。

数据在传输过程中，若所传输的码发生了偶数位错误，则其奇偶性不会改变，接收端不能将其检测出来。因此，奇偶校验码只能用来检测奇数个错误。这种检错方法一般用于误码率较低的场合。

## 1.7.2 纠错码

一种比较简单的纠错码是所谓的二维奇偶纠错码，它利用行、列的奇偶性进行纠错。图 1.1 所示二维奇偶纠错码的示意图，它的行列均使用奇(偶)校验。数据传输以数据块为单位进行。接收完一个数据块后，对该数据块行、列的奇偶性进行检查，有错时将错误纠正过来。例如，若第  $X$  行、第  $Y$  列相交的码元发生错误，则接收端可检测到第  $X$  行、第  $Y$  列出错，将第  $X$  行、第  $Y$  列相交的码元求反即可纠正错误。

本节介绍了简单的检错和纠错编码。实际系统中的出错情况、编码方式往往复杂得多。编码是通信与电子系统的一个重要组成部分，许多人员都在从事这方面的研究工作。这已不属于本课程的范畴，有兴趣的读者可阅读这方面的书籍。

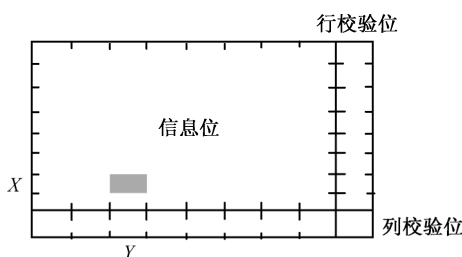


图 1.1 二维奇偶纠错码

## 小 结

为解决人机交流问题，引入了二、八、十、十六进制数及它们之间的相互转换；为解决只用加法器就能实现加、减运算，从而达到节省硬件的目的，引入了补码、反码的定义及求法；为解决在机器里表示正、负数的问题，引入了符号数的计算机表示方法；介绍并举例说明了利用补码进行二进制数的加减运算的正确性；为用机器表示十进制数，介绍了十进制数的二进制编码，即 BCD 码；为解决控制系统中译码噪声的问题，引入了“相邻码组逻辑相邻”的格雷码；还介绍了美国标准编码系统 ASCII 字符集；最后介绍了在数据传输中极为重要的检错、纠错的概念，给出了奇偶校验码的定义及其适合的应用场合。

## 习 题

- 1-1 例 1.12 中转换前后两个数的绝对值哪个大？为什么？
- 1-2 将下列二进制数转换为八进制数、十六进制数和十进制数。  
11001101.101, 10010011.1111
- 1-3 将下列十进制数转换为二进制数、八进制数和十六进制数。

121.56, 73.85

1-4 将下列十六进制数转换为二进制数、八进制数和十进制数。

89.0F, E5.CD

1-5 试求例 1.17 的转换误差，比较例 1.12 的转换误差，哪个大？为什么？

1-6 用 16 位二进数表示符号数。试分别写出原码、反码和补码可表示的数值范围。

1-7 设  $n=8$ ，试求下列数对应的二进制数的反码：

24, 43, 65, 79

1-8 设  $n=8$ ，试求下列二进制数的反码：

101101, -101101, 10100, -10100

1-9 设  $n=8$ ，试求下列数对应的二进制数的补码：

23, 123, 79, 97

1-10 设  $n=8$ ，试求下列二进制数的补码：

101101, -101101, 10100, -10100, 101.001, -101.001

1-11 为什么将  $N$  求反加 1 即为  $N$  的补码？

1-12 试证明利用补码进行加减运算的正确性。

1-13 设  $A=65$ ,  $B=56$ ,  $n=8$ 。试用补码求下列运算，并验证其结果是否正确：

$A+B$ ,  $A-B$ ,  $-A+B$ ,  $-A-B$

1-14 设  $A=65$ ,  $B=75$ ,  $n=8$ 。试用补码求下列运算，并验证其结果是否正确：

$A+B$ ,  $A-B$ ,  $-A+B$ ,  $-A-B$

如果结果有错，为什么？

1-15 如何判断补码运算有无溢出？

1-16 试分别写出下列十进制数的 8421BCD、5421BCD、2421BCD 和余 3 码。

325, 108, 61.325

1-17 试完成下列 BCD 码运算：

$$(0011\ 1001\ 0001)_{8421} + (0101\ 1000\ 0010)_{8421} = ?$$

1-18 试写出对应下列二进制数的格雷码：

1010, 1101

1-19 试写出对应下列格雷码的二进制数：

1010, 1101

1-20 试写出“Hello everyone”的 ASCII 编码，分别使用二进制和十六进制。

1-21 设要用奇偶校验码传送 ASCII 字符串“BIT”，试分别写出其奇校验码和偶校验码。在这种情况下传输效率降低了多少？

1-22 设发送端发送的奇偶校验码为 101100110，而在接收端收到的码元序列为：①111100110; ②101010110。问本题中采用的是奇校验还是偶校验？接收结果①、②中哪个是对的？哪个是错的？为什么？

1-23 用二维奇偶纠错码去纠错，有无可能纠正所有的错误？若不能，什么情况下不能？试列出不能纠错的情况并说明原因。

# 第2章 逻辑代数基础

本章的内容主要涉及逻辑代数基础知识的各方面，其中包括：逻辑变量和逻辑函数的概念；逻辑代数的基本运算规律和基本公式；逻辑函数表达式的各种形式。另外还重点介绍了逻辑函数表达式的两种化简方法——代数化简法和卡诺图化简法。最后介绍了非完全描述的逻辑函数的概念并总结归纳了可用于描述一个逻辑函数的各种方法及这些方法之间如何进行相互转换。作为本章的附加阅读部分，我们介绍了逻辑函数的Q-M表格化简法。加入这一部分是为了供有兴趣的读者阅读，以开阔其眼界。

## 2.1 概述

### 2.1.1 事物的二值性

世界上的许多事物都具有完全不同的两种状态，这就是平时所说的事物的矛盾性。我们可以举出很多完全对立的、处于矛盾状态的例子：如速度的“快”与“慢”、面积的“大”与“小”、人类行为的“是”与“非”、某件事情的“真”与“假”等。在电子学领域里这样的例子也很多，如信号的“有”与“无”、开关的“断”与“通”、灯泡的“灭”与“亮”、电位的“高”与“低”、电容器的“放电”与“充电”、晶体三极管的“截止”与“导通”等。这些例子都说明事物具有二值性。如果我们撇开这些矛盾对立面实例的具体内容，而只用数字符号“1”和“0”来表示这些完全对立的两个方面，并以此为基础来研究事物发展变化的因果关系，于是就产生了一门新的数学分支——“逻辑代数”。逻辑代数是按一定的逻辑规律进行演算的代数，它和普通代数的含义是完全不同的。

### 2.1.2 布尔代数

“逻辑代数”是十九世纪的英国数学家乔治·布尔（George Boole）在1847年首先创立的。这是一种仅使用数值“1”和“0”的代数。注意，这里的“1”和“0”并不代表数量的大小，而是表示完全对立的两个矛盾的方面。布尔在逻辑方面的主要贡献就是用一套符号来进行逻辑演算，即逻辑的数学化。正是由于布尔构造出了二值代数系统，所以很多教材中又把逻辑代数称为“布尔代数”（Boolean Algebra）。布尔代数在创建的初期仅应用于研究概率的问题，由于时代和生产力水平的限制，当时的人们并没有认识到这一代数理论的巨大应用前景。直到二十世纪三十年代末，美国贝尔实验室的科学家克劳迪·香农（Claude Shannon）于1938年写出了他那具有革命性的硕士论文《继电器和开关电路的一种符号分析》（A Symbolic Analysis of Relay and Switching Circuits）时，人们才真正认识到布尔代数的实用价值。香农的这篇论文首次阐述了如何将布尔代数应用于开关电路（即以后人们所说的数字电路）及数字计算机的设计上。正是由于香农把布尔代数应用到开关电路的分析和设计上，所以还有一些教材中把“布尔代数”叫做“开关代数”（Switching Algebra）。

## 2.2 逻辑变量和逻辑函数

### 2.2.1 基本的逻辑运算和逻辑变量

所谓逻辑就是指事物的因果之间所应遵循的规律，最基本的逻辑关系可以归纳为“与”(AND)逻辑、“或”(OR)逻辑和“非”(NOT)逻辑三种逻辑运算。图2.1所示为的三个电路分别说明了这三种基本的逻辑关系。图中A、B代表两个开关，F代表灯泡，R是限流电阻。在此我们先做出一些假设：把开关A、B的“闭合”状态作为两个条件，而把灯泡的“点亮”状态作为一个事件。

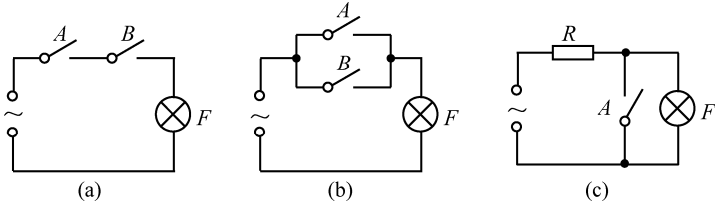


图2.1 “与”、“或”、“非”逻辑示意图

#### 1. “与”逻辑

从图2.1(a)中可以看出，开关A、B是串联相接的，所以只有当两个开关A、B全都闭合时，灯泡F才能点亮。也就是说，只有当A、B两个开关的“闭合”条件全都满足时，灯泡F“点亮”这个事件才能够发生。我们把决定某个事件的所有条件全都具备时这个事件才会发生的因果关系定义为“与”逻辑。

#### 2. “或”逻辑

图2.1(b)中的开关A、B是并联相接的，所以只要两个开关A、B中有任何一个开关闭合、或者是二者全都闭合时，灯泡F就能点亮。也就是说，只要当A、B两个开关的“闭合”条件中有任何一个条件满足、或者是二者全都满足时，灯泡F“点亮”这个事件就能够发生。我们把决定某个事件的所有条件中只要有任意一个条件具备、或者是某几个条件同时具备、或者是全都具备时，这个事件就会发生的因果关系定义为“或”逻辑。

#### 3. “非”逻辑

在图2.1(c)中只有一个开关A，而且它是与灯泡F相并联的。所以当开关A闭合时灯泡F是熄灭的，而在开关A断开时，灯泡F才能点亮。也就是说当开关A“闭合”的条件满足时，灯泡F“点亮”这个事件反而不发生，只有当开关A“闭合”这个条件不满足时，灯泡F“点亮”这个事件才会发生。我们把事件的发生与否和决定这个事件的条件是否具备的状态刚好相反的因果关系定义为“非”逻辑。

香农在他的论文中把布尔代数用于分析和描述由继电器所构成的网络的行为和状态，因为继电器在当时是最通用的一种数字逻辑元件。我们知道继电器触点的状态有两个——“断开”和“闭合”。香农把一个继电器触点的状态定义为一个变量X，并用两个数字符号“0”和“1”来表示触点的这两个状态。具体来说，就是用数字“0”表示“断开”状态，用数字“1”表示“闭合”状态。这样，变量X就仅有两个可能的取值“0”或“1”。我们把这种仅有0和1两个取值的变量X叫做逻辑变量（以后简称为变量），而把数字符号0和1叫做逻辑“0”和逻辑“1”（以后也简称为0和1）。

仿照香农的做法，我们可以把2.1.1节里所列举的那些完全对立矛盾的状态实例都用一个逻辑变量来描述，如表2.1所示。

表 2.1 完全对立矛盾的状态与逻辑变量的取值相对应

现实生活中完全对立矛盾的状态实例	逻辑变量 $X$ 取值所代表的具体含义	
	0	1
速度的“快”与“慢”	“慢”(小于 100 千米/小时)	“快”(大于 200 千米/小时)
面积的“大”与“小”	“小”(小于 10 平方米)	“大”(大于 20 平方米)
人类行为的“非”与“是”	“非”	“是”
某件事情的“真”与“假”	“假”	“真”
信号的“有”与“无”	“无”	“有”
开关的“断”与“通”	“断”	“通”
灯泡的“灭”与“亮”	“灭”	“亮”
电位的“高”与“低”	“低”	“高”
电容器的“放电”与“充电”	“放电”	“充电”
晶体管的“截止”与“导通”	“导通”	“截止”

注意：表 2.1 中对立矛盾的状态与逻辑变量取值的对应关系完全是人为定义的。我们完全可以把表 2.1 中“0”和“1”的位置对调一下而不失所述问题的合理性和一般性。例如，我们既可以用逻辑“0”代表灯泡的“灭”而用逻辑“1”代表灯泡的“亮”，也可以用逻辑“1”代表灯泡的“灭”而用逻辑“0”代表灯泡的“亮”。关于这个问题后面还会讲到。

从表 2.1 中可以看出，一个逻辑变量可以表示任何一个具有矛盾对立面的事物，因此，可以用逻辑变量来描述图 2.1 中三个电路的行为。首先设定三个逻辑变量  $A$ 、 $B$  和  $F$ ，它们分别代表两个开关和灯泡，然后再做出两点规定：

- 开关的“闭合”作为逻辑“1”，而开关的“断开”作为逻辑“0”；
- 灯泡的“点亮”作为逻辑“1”，而灯泡的“熄灭”作为逻辑“0”。

于是根据上述“与”逻辑、“或”逻辑和“非”逻辑的定义，图 2.1(a)、(b)、(c)所示三个电路中开关的状态和灯泡的状态之间的关系可以分别用表 2.2、表 2.3、表 2.4 来表示，这种表叫做**真值表**。观察一下真值表的结构，发现它的左栏列出的是表示条件的逻辑变量及这些变量取值的所有可能的组合，表的右栏填入的是表示事件的逻辑变量及它对应于各条件变量取值的逻辑运算结果。

表 2.2 “与”逻辑

A	B	F
0	0	0
0	1	0
1	0	0
1	1	1

表 2.3 “或”逻辑

A	B	F
0	0	0
0	1	1
1	0	1
1	1	1

表 2.4 “非”逻辑

A	F
0	1
1	0

最基本的逻辑是“与”、“或”、“非”，与之相对应的也有三种基本的逻辑运算。

### 1. “与”运算(逻辑乘法)

如果把表 2.2 所代表的“与”逻辑中各逻辑变量之间的关系用一个公式来表示的话，可以写成如下的形式：

$$F = A \cdot B$$

式中，“ $A \cdot B$ ”叫做**逻辑表达式**，它表示逻辑变量  $A$  和  $B$  做“与”运算(也叫做逻辑乘法运算)，其结果就是逻辑变量  $F$  的取值。运算符号“ $\cdot$ ”叫做“与”运算符，还有其他形式的“与”运算符，如“ $\wedge$ ”、“ $\cap$ ”和“ $\&$ ”，所以

$$F = A \cdot B = A \wedge B = A \cap B = A \& B$$

以后我们采用符号“·”作为“与”运算符，或者有时直接省去“·”而把  $F = A \cdot B$  写成  $F = AB$ 。

“与”运算的含义是：只有当  $A$  和  $B$  全为“1”时， $F$  才为“1”； $A$ 、 $B$  中只要有一个为“0”或者二者都为“0”时， $F$  就为“0”。所以“与”运算的规则就是：

$$0 \cdot 0 = 0, \quad 0 \cdot 1 = 0, \quad 1 \cdot 0 = 0, \quad 1 \cdot 1 = 1$$

这个规则与普通乘法的规律相同，但是含义却不同。

## 2. “或”运算（逻辑加法）

把表 2.3 所代表的“或”逻辑中各逻辑变量之间的关系用一个公式来表示，可写成如下的形式：

$$F = A + B$$

它表示逻辑变量  $A$  和  $B$  做“或”运算（也叫做逻辑加法运算），其结果就是逻辑变量  $F$  的取值。运算符号“+”叫做“或”运算符，还有其他形式的“或”运算符，如“ $\vee$ ”、“ $\cup$ ”和“ $|$ ”。所以

$$F = A + B = A \vee B = A \cup B = A | B$$

以后我们采用符号“+”作为“或”运算符。

“或”运算的含义是：当  $A$  和  $B$  中只要有一个为“1”或者全为“1”时， $F$  就为“1”；只有当  $A$ 、 $B$  全为“0”时， $F$  才为“0”。所以“或”运算的规则就是：

$$0 + 0 = 0, \quad 0 + 1 = 1, \quad 1 + 0 = 1, \quad 1 + 1 = 1$$

**注意：**这个规则的前三条与普通加法的规律相同，但是最后一条却不同。在这里， $1+1 \neq 2$ ，且  $1+1 \neq (10)_2$ 。这充分说明逻辑运算不是数值运算，逻辑运算是因果关系的逻辑判断。

## 3. “非”运算（求反运算或逻辑非）

表 2.4 所代表的“非”逻辑中两个逻辑变量之间的关系可写成如下的形式：

$$F = \bar{A}$$

它表示逻辑变量  $F$  和  $A$  的取值相反，即  $A$  为“0”时， $F$  为“1”；而  $A$  为“1”时， $F$  为“0”。其运算规则为

$$\bar{0} = 1, \quad \bar{1} = 0$$

“非”运算是算术里所没有的。 $\bar{A}$  读做“ $A$  非”或者“ $A$  反”，有时也把“非”运算叫做“求补”（Complement）运算，而把  $\bar{A}$  读做“ $A$  补”。

必须强调的是，在逻辑代数中，只有“与”运算、“或”运算和“非”运算这三种基本逻辑运算，不能有其他的运算。逻辑变量的取值也只有“1”和“0”两种，而不能有其他的取值。这些是和普通代数不同的。但是应当指出的是，与普通代数相类似，在逻辑代数中也有逻辑运算的前、后优先次序，具体的规定如下。

- **单变量上的“非”运算优先级最高**，例如： $\bar{A}$ 、 $\bar{B}$  等；
- “与”运算（逻辑“乘”）要优先于“或”运算（逻辑“加”）；
- 圆括号“()”内的运算要优先于圆括号外的运算。例如： $(A + \bar{B}) \cdot C$  的运算顺序是先做变量  $B$  的“非”运算  $\bar{B}$ ，再将  $\bar{B}$  与变量  $A$  相“或”，最后再将所得结果与变量  $C$  相“与”；
- **多变量上的“非”运算相当于加圆括号**，例如： $\overline{A+B} \cdot C$  就相当于  $(\overline{A+B}) \cdot C$ 。

“与”、“或”、“非”这三种基本逻辑运算可分别由“与”门、“或”门和“非”门三种基本的逻辑门电路来实现。这三种基本门电路的逻辑符号如图 2.2 所示。



图 2.2 基本门电路的逻辑符号

## 2.2.2 逻辑函数

如果把“与”、“或”、“非”这三种基本逻辑运算组合成一个较为复杂的逻辑表达式，例如 $A \cdot \bar{B} + \bar{C} \cdot D$ ，再把该逻辑表达式的运算结果（只能是“0”或“1”）赋予另一个逻辑变量，比如说 $F$ ，于是就有了下面的公式：

$$F = A \cdot \bar{B} + \bar{C} \cdot D$$

这个公式叫做**逻辑函数**。很明显，4个逻辑变量 $A$ 、 $B$ 、 $C$ 、 $D$ 各自的取值只能是“0”和“1”，所以4个变量的组合取值总共有16组（0000~1111）。如果把这16组取值分别代入上式运算的话， $F$ 就得到了16个取值（只能是“0”或“1”）。因此，对于 $A$ 、 $B$ 、 $C$ 、 $D$ 这4个变量的16组取值而言， $F$ 都有一个确定的取值与之对应；换句话说，每一个 $F$ 的取值都对应了一组或几组 $A$ 、 $B$ 、 $C$ 、 $D$ 的组合取值。和普通函数的概念一样，我们把 $A$ 、 $B$ 、 $C$ 、 $D$ 叫做**逻辑自变量**，而把 $F$ 叫做**逻辑因变量**，也就是逻辑自变量 $A$ 、 $B$ 、 $C$ 、 $D$ 的逻辑函数。我们在自变量、因变量和函数的前面都冠之以“逻辑”二字，目的就是要强调它们和普通函数中的自变量、因变量（函数）是不同的。在这里，无论是逻辑自变量的定义域还是逻辑因变量即逻辑函数的值域都只能是“0”或“1”，而不能是其他的取值。**逻辑函数**有时也被称为**开关函数**。

以后，我们经常会拿逻辑函数和逻辑表达式与普通函数和算术表达式做类比，这主要是为了让读者能够对逻辑函数和逻辑表达式的一些概念更容易理解。但是读者必须注意，逻辑函数和逻辑表达式不同于普通函数和算术表达式，二者之间有本质的区别，而前者又有其自身的特殊规律。

上述逻辑函数是一个4变量的逻辑函数，可以抽象地记为：

$$F = f(A, B, C, D)$$

当然还有单变量的逻辑函数，两变量的逻辑函数，…， $n$ 变量的逻辑函数。一个一般的、多变量的逻辑函数可以记为：

$$F = f(A, B, C, \dots)$$

在 2.2.1 节里提到的三种基本逻辑运算

$$F = A \cdot B; \quad F = A + B; \quad F = \bar{A}$$

就是三个最基本的逻辑函数。前两个是两变量逻辑函数；而后一个是单变量逻辑函数。

什么是两个逻辑函数的相等呢？若两个逻辑函数 $F$ 和 $G$ 的输入变量相同，而且对于任意的一组变量取值都有相同的函数值，则这两个函数相等，记做： $F = G$ 。换句话说，就是任何形式的两个逻辑函数，只要它们的真值表相同，则彼此相等。

任何一个逻辑操作的过程，都可用一个具有若干逻辑变量的逻辑函数来描述，并可用一个与此函数相对应的逻辑电路来实现。先看一个例子。

为了给楼道内的楼梯照明，人们常在楼上和楼下各装一个“单刀双掷”开关。刚进入楼道的人可以在楼下将电灯打开，待上了楼以后再在楼上将电灯关掉。同样，在楼上的人也可以先把电灯打开，待下了楼以后再在楼下把电灯关掉。图 2.3 所示为能够实现这一要求的原理电路。图中 $K_{\text{上}}$ 、 $K_{\text{下}}$ 分别代表楼上和楼下的开关， $L$ 代表电灯。从图中可以看出，只有当 $K_{\text{上}}$ 、 $K_{\text{下}}$ 两个开关都向上扳或都向下扳时，电灯才点亮；而一个向上扳、一个向下扳时，电灯就熄灭。

我们用逻辑变量  $F$  代表电灯  $L$ ，并规定  $F=1$  表示灯亮， $F=0$  表示灯灭；再用逻辑变量  $A, B$  分别表示两个开关  $K_{\text{下}}$ 、 $K_{\text{上}}$  的位置，并规定“1”表示向上扳，而“0”表示向下扳。于是根据图 2.3 和刚才所做的规定就可得到表示逻辑变量  $F$  和  $A, B$  之间关系的真值表，如表 2.5 所示。

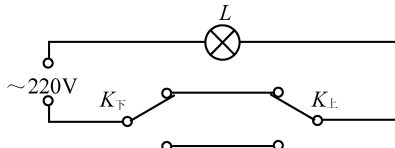


图 2.3 楼梯照明电路原理图

表 2.5 楼梯照明电路真值表

$A$	$B$	$F$
0	0	1
0	1	0
1	0	0
1	1	1

根据真值表，就得到如下的函数表达式：

$$F = A \cdot B + \bar{A} \cdot \bar{B}$$

我们把  $A, B$  叫做**输入逻辑变量**；把  $F$  叫做**输出逻辑变量**。当  $A, B$  取定一组值以后， $F$  的值也就随之完全确定。这种关系就是上述的逻辑函数关系，即  $F$  是  $A, B$  的函数。所以  $A, B$  就是**逻辑自变量**，而  $F$  就是**逻辑因变量或逻辑函数**。

由此可见，任何一个逻辑操作的过程，都可用一个具有若干逻辑变量的逻辑函数来描述，也可以用一张真值表来描述。**逻辑函数**和**真值表**各自都能完全地描述一个**逻辑操作的过程**。所以逻辑函数和真值表之间也有一一对应的关系，即：一个逻辑函数对应了一张真值表；而一张真值表也对应了一个（或若干）逻辑函数。

观察表 2.5 的结构可以注意到，通常情况下是把输入逻辑变量（逻辑自变量）列在真值表的左边；而把输出逻辑变量（逻辑因变量或逻辑函数）列在真值表的右边。

上述逻辑函数  $F = A \cdot B + \bar{A} \cdot \bar{B}$  叫做“同或”逻辑函数。

### 2.2.3 逻辑函数与逻辑电路的关系

逻辑函数和逻辑电路是相互对应的。换句话说，逻辑函数可以由逻辑电路来实现；而逻辑电路也可以由逻辑函数来描述。

如果给定一个逻辑函数，那么我们就可以根据这个逻辑函数的表达式来求出实现该逻辑函数的逻辑电路。例如，2.2.2 节所提到的“同或”逻辑函数  $F = A \cdot B + \bar{A} \cdot \bar{B}$ ，就可以用图 2.4 所示的逻辑电路来实现它。

反之，如果给出一个逻辑电路，那么就可以根据这个逻辑电路写出用于描述该逻辑电路输入信号（变量）和输出信号（变量）之间关系的逻辑函数。例如，给出图 2.5 所示的逻辑电路，我们可以写出描述该电路输出信号  $F$  与输入信号  $A, B$  之间关系的逻辑函数表达式

$$F = A \cdot \bar{B} + \bar{A} \cdot B$$

这个逻辑函数叫做“异或”逻辑函数。

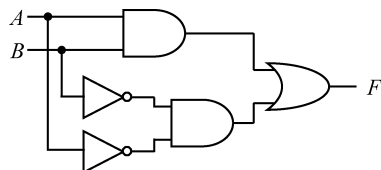


图 2.4 “同或”逻辑电路

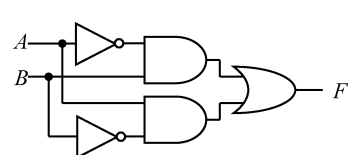


图 2.5 “异或”逻辑电路

## 2.3 逻辑代数的基本运算规律

### 2.3.1 逻辑代数的基本定律

#### 1. 逻辑代数公理

逻辑代数公理（或者叫做基本原理）是整个逻辑代数系统的基石，以这些公理为出发点，可以证明所有逻辑代数系统中的各种定律和定理。事实上，我们在 2.2.1 节中已经接触到了这些公理，它们实际上是逻辑常数“1”和“0”的基本运算规则。这些运算规则可直接由“与”、“或”和“非”的运算定义得出。为了明确起见，在此把这些公理再归纳于表 2.6。

表 2.6 逻辑代数公理

“与”	(A1) $0 \cdot 0 = 0$ (A2) $0 \cdot 1 = 1 \cdot 0 = 0$ (A3) $1 \cdot 1 = 1$	“或”	(A1') $1 + 1 = 1$ * (A2') $0 + 1 = 1 + 0 = 1$ (A3') $0 + 0 = 0$
“非”	(A4) $\bar{0} = 1$		(A4') $\bar{1} = 0$ *

#### 2. 逻辑代数基本定律

根据逻辑代数公理，可以推导出逻辑代数运算的一些基本定律。在这些基本定律中，有些与普通代数的定律相类似，如“交换律”、“结合律”，但是有些定律却是逻辑代数本身所特有的。掌握这些基本定律将为我们分析和设计逻辑电路提供方便。表 2.7 所示为这些基本定律。

表 2.7 逻辑代数基本定律

名称	公式		类别	
0-1 律 自等律 互补律	1. $A \cdot 0 = 0$ 2. $A \cdot 1 = A$ 3. $A \cdot \bar{A} = 0$ *	1'. $A + 1 = 1$ 2'. $A + 0 = A$ 3'. $A + \bar{A} = 1$ *	常量和 变量间 的等式	
交换律 结合律 分配律	4. $A \cdot B = B \cdot A$ 5. $(A \cdot B) \cdot C = A \cdot (B \cdot C)$ 6. $A \cdot (B + C) = A \cdot B + A \cdot C$	4'. $A + B = B + A$ 5'. $(A + B) + C = A + (B + C)$ 6'. $A + B \cdot C = (A + B)(A + C)$ *	类似 普通 代数	
重叠律  反演律 (德·摩根 定理)  还原律	7. $A \cdot A = A$ *  8. $\overline{A \cdot B} = \bar{A} + \bar{B}$ *  9. $\bar{\bar{A}} = A$ *	7'. $A + A = A$ *  8'. $\overline{\overline{A} + \overline{B}} = \bar{A} \cdot \bar{B}$ *	逻辑 代数 所特有	变 量 间 的 等 式

表 2.6 和表 2.7 中带星号（“\*”）的公式在普通代数里是没有的，这些公式是逻辑代数所特有的。在逻辑代数中不会出现指数和系数，也就是说  $A \cdot A \neq A^2$ 、 $A + A \neq 2A$ 。另外，逻辑代数也没有减法和除法。例如，不能由等式  $A \cdot (A + B) = A$  两边同时除以  $A$  而推出  $A + B = 1$ ；也不能由等式  $A + \bar{A} \cdot B = A + B$  两边同时减去  $A$  而得出  $\bar{A} \cdot B = B$ 。

表 2.7 所列出的逻辑代数基本定律，有些是很明显的，一看就知道是正确的，但是有些基本定律却不能一眼就看出它的正确性。证明这些基本定律的最有效的方法就是使用真值表，即，分别作出等式两边逻辑表达式的真值表，然后检验其结果是否相同。例如，要证明表 2.7 中的反演律，我们可以分别作出两个等式的等号两边逻辑表达式的真值表，如表 2.8 和表 2.9 所示。

表 2.8 证明反演律真值表 (1)

A	B	$\overline{A \cdot B}$	$\bar{A} + \bar{B}$
0	0	1	1
0	1	1	1
1	0	1	1
1	1	0	0

表 2.9 证明反演律真值表 (2)

A	B	$\overline{A + B}$	$\bar{A} \cdot \bar{B}$
0	0	1	1
0	1	0	0
1	0	0	0
1	1	0	0

从表 2.8 和表 2.9 知:

$$\overline{A \cdot B} = \bar{A} + \bar{B}, \quad \overline{A + B} = \bar{A} \cdot \bar{B}$$

这就是著名的德·摩根 (De · Morgan) 定理。在逻辑代数的运算中经常会用到德·摩根定理, 所以它是一个非常重要的定理。

也可以用代数的方法来证明表 2.7 所列出的逻辑代数基本定律。例如, 我们可以用摩根定理、还原律和分配律的 6 号公式去证明分配律的 6' 号公式。证明过程如下:

$$\begin{aligned} A + B \cdot C &= \overline{\overline{A} + \overline{B} \cdot \overline{C}} && \text{(还原律)} \\ &= \overline{\overline{A} \cdot \overline{B} \cdot \overline{C}} = \overline{\overline{A} \cdot (\overline{B} + \overline{C})} && \text{(摩根定理)} \\ &= \overline{\overline{A} \cdot \overline{B} + \overline{A} \cdot \overline{C}} && \text{(分配律 6 号)} \\ &= \overline{\overline{A} \cdot \overline{B}} \cdot \overline{\overline{A} \cdot \overline{C}} = (\bar{A} + \bar{B})(\bar{A} + \bar{C}) && \text{(摩根定理)} \\ &= (A + B)(A + C) && \text{(还原律)} \end{aligned}$$

证明某个逻辑等式的正确性, 既可以用真值表的方法来证明, 也可以用逻辑代数的方法来证明。在使用逻辑代数的方法证明时需要注意的是, 证明过程中所用到的所有定律、定理本身都必须事先已被证明是正确的, 而证明这些定律、定理的最直接有效的方法就是使用真值表。

### 2.3.2 三个重要规则

在逻辑代数的运算中, 有三个重要的规则。掌握这三个重要规则对于我们推导逻辑表达式和证明逻辑等式是非常必要的。

#### 1. 代入规则

任何一个逻辑等式, 如果将等式两边所出现的同一个逻辑变量都代之以同一个逻辑函数, 则该逻辑等式仍然成立, 这就是代入规则。代入规则也叫做代入定理。逻辑代数的代入规则和普通代数的代入规则的形式是一样的, 就其成立的原理也是一样的, 所以它的正确性不难理解。运用代入规则可以扩大表 2.7 中基本定律的适用范围。

例如, 根据摩根定理我们知道  $\overline{A \cdot B} = \bar{A} + \bar{B}$ ,  $\overline{A + B} = \bar{A} \cdot \bar{B}$ 。现在将  $B = C \cdot D$  代入前一个等式; 再将  $B = C + D$  代入后一个等式, 于是我们分别得到:

$$\overline{A \cdot (C \cdot D)} = \bar{A} + \overline{C \cdot D} \Rightarrow \overline{A \cdot C \cdot D} = \bar{A} + \bar{C} + \bar{D} \quad \text{(结合律, 摩根定理)}$$

$$\text{和 } \overline{A + (C + D)} = \bar{A} \cdot \overline{C + D} \Rightarrow \overline{A + C + D} = \bar{A} \cdot \bar{C} \cdot \bar{D} \quad \text{(结合律, 摩根定理)}$$

由此, 我们证明了三个变量的摩根定理。如果我们不断地运用代入规则于两个变量、三个变量、…、 $n - 1$  个变量的摩根定理, 我们就可以证明  $n$  个变量的摩根定理, 即:

$$\overline{A_1 + A_2 + A_3 + \dots + A_{n-1} + A_n} = \bar{A}_1 \cdot \bar{A}_2 \cdot \bar{A}_3 \cdot \dots \cdot \bar{A}_{n-1} \cdot \bar{A}_n$$

$$\overline{A_1 \cdot A_2 \cdot A_3 \cdot \dots \cdot A_{n-1} \cdot A_n} = \bar{A}_1 + \bar{A}_2 + \bar{A}_3 + \dots + \bar{A}_{n-1} + \bar{A}_n$$

再例如, 若令  $A = BC + DE$ , 则根据互补律  $A + \bar{A} = 1$ , 即可推出  $BC + DE + \overline{BC + DE} = 1$ 。

## 2. 反演规则

若两个逻辑函数  $F$  和  $G$  的输入变量相同，而且  $F$  和  $G$  对于任意一组输入变量取值都有相反的函数值，则称这两个函数互反（或叫做互补），记做： $F = \bar{G}$  或  $G = \bar{F}$ 。这里， $G$ （或  $\bar{F}$ ）叫做  $F$  的反函数（或补函数）；而  $F$ （或  $\bar{G}$ ）也叫做  $G$  的反函数（或补函数）， $F$  和  $G$  互为反函数。注意：这里所说的“反函数”概念与普通代数里的反函数概念是不一样的。

反演规则为我们提供了一个可以由逻辑函数  $F$  的表达式直接求出其反（补）函数  $\bar{F}$  的方法。反演规则的内容如下。

对于任意的逻辑函数  $F$ ，如果对其表达式做下述三种变换：

(1) 把原表达式中所有的“•”运算符换成“+”运算符，同时把所有的“+”运算符换成“•”运算符；

(2) 把原表达式中所有的逻辑常量“0”换成逻辑常量“1”，而把所有的逻辑常量“1”换成逻辑常量“0”；

(3) 把原表达式中所有的原变量换成反变量，再把所有的反变量换成原变量。

则由此所得到的新逻辑表达式就是逻辑函数  $F$  的反（补）函数  $\bar{F}$  的逻辑表达式。

例如：

$$\text{若 } F = A \cdot \bar{B} + C \cdot \bar{D} \text{, 则 } \bar{F} = (\bar{A} + B) \cdot (\bar{C} + D) \text{。}$$

再例如：

$$\text{若 } F = A \cdot (\bar{B} + C \cdot 1) \text{, 则 } \bar{F} = \bar{A} + B \cdot (\bar{C} + 0) = \bar{A} + B \cdot \bar{C} \text{。}$$

上述两式的正确性，可以通过对  $F$  的表达式求反后再反复运用摩根定理而加以证明，即：

$$\text{若 } F = A \cdot \bar{B} + C \cdot \bar{D} \text{, 则 } \bar{F} = \overline{A \cdot \bar{B} + C \cdot \bar{D}} = \overline{A} \cdot \overline{\bar{B}} \cdot \overline{C} \cdot \overline{\bar{D}} = (\bar{A} + B) \cdot (\bar{C} + D) \text{。}$$

$$\text{若 } F = A \cdot (\bar{B} + C \cdot 1) \text{,}$$

$$\text{则 } \bar{F} = \overline{A \cdot (\bar{B} + C \cdot 1)} = \overline{A} + \overline{(\bar{B} + C \cdot 1)} = \overline{A} + B \cdot \overline{C \cdot 1} = \overline{A} + B \cdot (\bar{C} + 0) = \bar{A} + B \cdot \bar{C} \text{。}$$

反演规则实际上是反演律（摩根定理）在求逻辑函数  $F$  的反（补）函数  $\bar{F}$  时的一种推广。在运用反演规则时必须注意以下两点：

- 绝对不能打乱原表达式的运算顺序；
- 不属于单变量上的非号应保持不变（因为这个非号有括号的作用）。

例如：

$$\text{若 } F = \bar{A} \cdot \bar{B} + C + 0 \text{, 则 } \bar{F} = (A + B) \cdot \bar{C} \cdot 1 \text{, 而 } \bar{F} \neq A + B \cdot \bar{C} \cdot 1 \text{。}$$

再例如：

$$\text{若 } F = A + \overline{B + \bar{C} + D + \bar{E}} \text{, 则 } \bar{F} = \overline{A \cdot \overline{B + \bar{C} + D + \bar{E}}} \text{。}$$

## 3. 对偶规则

在说明对偶规则之前，先建立对偶式的概念。

对于任意的逻辑函数  $F$ ，如果对其表达式做下述三种变换：

(1) 把原表达式中所有的“•”运算符换成“+”运算符，同时把所有的“+”运算符换成“•”运算符；

(2) 把原表达式中所有的逻辑常量“0”换成逻辑常量“1”，而把所有的逻辑常量“1”换成逻辑常量“0”；

(3) 原表达式中所有的原变量和反变量均保持不变。

则由此所得到的新逻辑表达式就是原逻辑表达式的对偶式。相应地，由新逻辑表达式所构成的逻辑函数就是原逻辑函数的对偶函数，记做 $F'$ 。

例如：若 $F = A \cdot \bar{B} + C \cdot \bar{D}$ ，则 $F' = (A + \bar{B}) \cdot (C + \bar{D})$ ；

若 $F = A \cdot (\bar{B} + C \cdot 1)$ ，则 $F' = A + \bar{B} \cdot (C + 0) = A + \bar{B} \cdot C$ ；

若 $F = \overline{\bar{A} \cdot \bar{B} \cdot \bar{C}}$ ，则 $F' = \overline{\bar{A} + \bar{B} + \bar{C}}$ ；

若 $F = A$ ，则 $F' = A$ 。

由对偶式的定义可以看出，以上各例中的 $F'$ 是 $F$ 的对偶函数，但是同时 $F$ 也是 $F'$ 的对偶函数，即： $F$ 和 $F'$ 互为对偶函数。

与求一个函数的反函数（反演规则）的做法相类似，在求一个函数表达式的对偶式时也不能打乱原表达式的运算顺序。另外还要注意：在求对偶式的三步中，前两步与求反函数的步骤相同，但第三步是不一样的，即：要保持原表达式中的所有变量（原变量和反变量）不变。因此，一般情况下 $\bar{F} \neq F'$ 。

有了对偶式的概念之后，我们再来阐述对偶规则如下：

**如果两个函数相等，则它们的对偶函数（对偶式）也相等，即若 $F = G$ ，则 $F' = G'$ 。**

在表2.7所列出的基本定律中，右边带撇的标号所对应的公式两边的表达式，都是左边不带撇的标号所对应的公式两边表达式的对偶式，这就验证了对偶规则。

运用对偶规则，可以使我们需要记忆和证明的公式数量减少一半，同时它还可以给我们简化和变换逻辑函数带来方便。

### 2.3.3 逻辑代数基本定理

除了上面叙述的逻辑代数公理和逻辑代数基本定律以外，在逻辑代数中还有一些基本定理。掌握并很好地运用这些基本定理，对于化简逻辑表达式是非常有帮助的。表2.10所示为这些基本定理。

表2.10 逻辑代数基本定理

名称	公式	
合并定理	1. $AB + A\bar{B} = A$	1.' $(A + B)(A + \bar{B}) = A$
吸收定理	2. $A + AB = A$ 3. $A + \bar{A}B = A + B$	2.' $A(A + B) = A$ 3.' $A(\bar{A} + B) = AB$
添加项定理	4. $AB + \bar{A}C + BC = AB + \bar{A}C$ 5. $AB + \bar{A}C + BCD = AB + \bar{A}C$	4.' $(A + B)(\bar{A} + C)(B + C)$ $= (A + B)(\bar{A} + C)$ 5.' $(A + B)(\bar{A} + C)(B + C + D)$ $= (A + B)(\bar{A} + C)$
	6. $\overline{AB + \bar{A}C} = A\bar{B} + \bar{A}\bar{C}$	6.' $\overline{(A + B)(\bar{A} + C)}$ $= (A + \bar{B})(\bar{A} + \bar{C})$

要证明表2.10所列出的这些基本定理，最根本的方法还是利用真值表。当然也可以利用代数的方法证明这些定理。下面我们就利用代数的方法来证明这些基本定理。在证明的过程中，用到了逻辑代数公理、逻辑代数基本定律和已经获得证明的逻辑代数其他定理，而且也用到了上述三个重要规则。

(1) 证明“合并定理”的公式1。

$$\begin{aligned} \text{证明: } AB + A\bar{B} &= A(B + \bar{B}) && \text{(分配律)} \\ &= A \cdot 1 && \text{(互补律)} \\ &= A && \text{(自等律)} \end{aligned}$$

(2) 证明“吸收定理”的公式2。

$$\text{证明: } A + AB = A(1 + B) \quad (\text{自等律、分配律})$$

$$= A \cdot 1 \quad (0-1 \text{ 律})$$

$$= A \quad (\text{自等律})$$

(3) 证明“吸收定理”的公式3。

$$\text{证明: } A + \bar{A}B = A + AB + \bar{A}B \quad (\text{吸收定理公式 2})$$

$$= A + (A + \bar{A})B \quad (\text{分配律})$$

$$= A + 1 \cdot B \quad (\text{互补律})$$

$$= A + B \quad (\text{自等律})$$

(4) 证明“添加项定理”的公式4。

$$\text{证明: } AB + \bar{A}C + BC = AB + \bar{A}C + (A + \bar{A})BC \quad (\text{互补律、自等律})$$

$$= AB + \bar{A}C + ABC + \bar{A}BC \quad (\text{分配律})$$

$$= (AB + ABC) + (\bar{A}C + \bar{A}BC) \quad (\text{交换律、结合律})$$

$$= AB(1 + C) + \bar{A}C(1 + B) \quad (\text{分配律})$$

$$= AB + \bar{A}C \quad (0-1 \text{ 律、自等律})$$

(5) 证明“添加项定理”的公式5。

“添加项定理”公式5的证明过程与公式4的证明过程类似,请读者自行证明之。

(6) 证明表2.10的公式6。

$$\text{证明: } \overline{AB + \bar{A}C} = \overline{AB} \cdot \overline{\bar{A}C} \quad (\text{摩根定理})$$

$$= (\bar{A} + \bar{B})(\bar{A} + \bar{C}) \quad (\text{摩根定理})$$

$$= (\bar{A} + \bar{B})(A + \bar{C}) \quad (\text{还原律})$$

$$= \bar{A}A + \bar{A}\bar{B} + \bar{A}\bar{C} + \bar{B}\bar{C} \quad (\text{分配律})$$

$$= 0 + \bar{A}\bar{B} + \bar{A}\bar{C} + \bar{B}\bar{C} \quad (\text{互补律})$$

$$= \bar{A}\bar{B} + \bar{A}\bar{C} + \bar{B}\bar{C} \quad (\text{自等律})$$

$$= \bar{A}\bar{B} + \bar{A}\bar{C} \quad (\text{添加项定理})$$

将“对偶规则”分别运用于表2.10中的公式1~公式6就可以分别证明表2.10中的公式1'~公式6'。

逻辑代数中还有其他一些基本定理,同样可以运用逻辑代数公理和基本定律去证明,这里就不一一列举了。

### 2.3.4 复合逻辑运算和复合逻辑门

所谓复合逻辑运算就是将三种基本逻辑运算——“与”、“或”、“非”按某种形式进行简单的组合,从而构成一种新的逻辑运算。而用于实现这些复合逻辑运算的逻辑门电路,就叫做复合逻辑门,简称复合门。

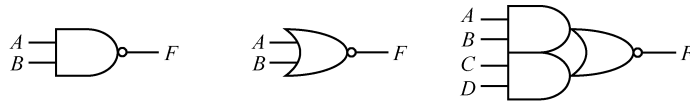
#### 1. “与非”、“或非”、“与或非”运算

“与非”运算就是“与”运算和“非”运算的组合。用逻辑函数表示就是:  $F = \overline{A \cdot B}$ 。

“或非”运算就是“或”运算和“非”运算的组合。用逻辑函数表示就是:  $F = \overline{A + B}$ 。

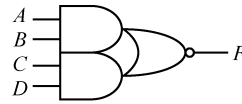
“与或非”运算就是“与”运算、“或”运算和“非”运算的组合。用逻辑函数表示就是:  
 $F = \overline{A \cdot B + C \cdot D}$ 。

用于实现“与非”、“或非”和“与或非”这三种复合逻辑运算的复合逻辑门电路就分别叫做“与非”门、“或非”门和“与或非”门。这三种复合门的逻辑符号如图2.6所示。



(a) “与非”门

(b) “或非”门



(c) “与或非”门

图 2.6 复合门的逻辑符号

## 2. “异或” (“异”)、“同或” (“同”) 运算

“异或”逻辑运算（有时简称“异”运算）和“同或”逻辑运算（有时简称“同”运算）是两个非常重要的复合逻辑运算。它们都具有一些很重要的逻辑运算特性。

### (1) “异或”运算

两个变量“异或”运算的定义如下：

$$F = A \oplus B = A\bar{B} + \bar{A}B$$

式中，“ $\oplus$ ”是“异或”运算符号。根据这个两变量逻辑函数的定义式，可以列出两变量“异或”运算的真值表，如表 2.11 所示。由真值表看出，“异或”运算的含义是：当两个变量  $A, B$  的取值相异时 ( $A=1, B=0$  或者  $A=0, B=1$ )， $F$  的取值为“1”；而当两个变量  $A, B$  的取值相同时 ( $A=1, B=1$  或者  $A=0, B=0$ )， $F$  的取值为“0”。根据这个定义，可以直接得出逻辑常数“1”和“0”的“异或”基本运算规则如下：

$$0 \oplus 0 = 0, \quad 0 \oplus 1 = 1, \quad 1 \oplus 0 = 1, \quad 1 \oplus 1 = 0$$

表 2.11 两变量“异或”真值表

A	B	F
0	0	0
0	1	1
1	0	1
1	1	0

对于“异或”逻辑运算来讲，不仅有 2 个变量的“异或”运算，还有 3 个变量的“异或”运算，4 个变量的“异或”运算，…， $n$  个变量的“异或”运算。对于 3 个变量的“异或”运算，其定义如下：

$$\begin{aligned} F &= A \oplus B \oplus C = (A\bar{B} + \bar{A}B) \oplus C = (A\bar{B} + \bar{A}B) \cdot \bar{C} + \overline{(A\bar{B} + \bar{A}B)} \cdot C \\ &= A\bar{B}\bar{C} + \bar{A}B\bar{C} + (\bar{A} + B)(A + \bar{B})C = A\bar{B}\bar{C} + \bar{A}B\bar{C} + ABC + \bar{A}BC \end{aligned}$$

以此类推，对于 4 个变量，5 个变量，…， $n$  个变量的“异或”运算，读者不难推导出它们的逻辑函数表达式。

“异或”运算具有如下的基本运算规律：

$$A \oplus 0 = A; \quad A \oplus 1 = \bar{A}; \quad A \oplus A = 0; \quad A \oplus \bar{A} = 1$$

另外，“异或”运算符合交换律，即： $A \oplus B = B \oplus A$ ；“异或”运算也符合结合律，即： $A \oplus (B \oplus C) = (A \oplus B) \oplus C$ ；“异或”运算还具有分配律，即： $A \cdot (B \oplus C) = A \cdot B \oplus A \cdot C$ 。

利用真值表，并根据“异或”的定义，不难证明“异或”的这些基本运算规律。表 2.13 列出了上述“异或”运算的基本运算规律。

“异或”运算具有两个重要的特性：

**特性 1：**多变量“异或”运算的结果取决于这些变量中取值为“1”的变量个数，而与取值为“0”的变量个数无关。若取值为“1”的变量个数是奇数，则“异或”的结果为“1”；若取值为“1”的变量个数是偶数，则“异或”的结果为“0”。

关于这个特性，下面给出了叙述性的证明。

在参与“异或”运算的多个 ( $\geq 2$ ) 变量中，如果取“1”的变量个数为奇数，则根据“异或”运算的交换律和结合律，可以设想把这奇数个取值为“1”的变量首先进行“异或”运算，其结果必然为“1”。再将这个“1”与其余的取值为“0”的变量分别进行“异或”运算，则最后的“异或”结果一定

为“1”；另一方面，如果取值为“1”的变量个数为偶数，则将这偶数个取值为“1”的变量相“异或”之后的结果必然为“0”，再将这个“0”与那些取值为“0”的变量分别进行“异或”运算，则最终的“异或”结果一定为“0”。

这一特性告诉我们，多个变量相“异或”的本质就在于确定取值为“1”的变量个数是奇数还是偶数。

这个特性实际上也适用于多个逻辑常量（“1”或“0”）相“异或”的情形。即：多个逻辑常量相“异或”，其结果取决于逻辑“1”的个数，而与逻辑“0”的个数无关。若逻辑“1”的个数为奇数，则“异或”的结果为“1”；若逻辑“1”的个数为偶数，则“异或”的结果为“0”。

由特性1可得到如下推论：

$$\text{若 } F = A_1 \oplus A_2 \oplus \dots \oplus A_i \oplus \dots \oplus A_n, \quad (1 \leq i \leq n)$$

$$\text{则 } \bar{F} = A_1 \oplus A_2 \oplus \dots \oplus \bar{A}_i \oplus \dots \oplus A_n;$$

$$\text{或: } \overline{A_1 \oplus A_2 \oplus \dots \oplus A_i \oplus \dots \oplus A_n} = A_1 \oplus A_2 \oplus \dots \oplus \bar{A}_i \oplus \dots \oplus A_n$$

即：n个变量相“异或”的补函数就等于这n个相“异或”的变量中任意一个变量取反。

读者可利用特性1自行证明这一推论。

**特性2：**“异或”运算具有因果互换的关系，即等式两边的逻辑变量可以互相交换位置而仍然保持等式的成立。

例如：若  $A \oplus B = C$  成立，则  $A \oplus C = B$  成立；或  $B \oplus C = A$  成立。

根据上述逻辑常数“1”和“0”的“异或”基本运算规则，不难证明这一特性的正确性。即：当  $C = “1”$  时，则  $A, B$  的取值不是“1”、“0”就是“0”、“1”。在这两种情况下，无论  $C$  是与  $A$  交换位置还是与  $B$  交换位置，等式都成立；另一方面，当  $C = “0”$  时，则  $A, B$  的取值不是“0”、“0”就是“1”、“1”。在此两种情况下，无论  $C$  与  $A$  交换位置还是  $C$  与  $B$  交换位置，等式也都成立。

“异或”运算的这种因果互换关系还可以推广到多个逻辑量（包括逻辑变量和逻辑常量）相“异或”的情形，例如：

若  $A \oplus B \oplus C \oplus D = 0$  成立，则  $A \oplus 0 \oplus C \oplus D = B$  成立；或  $0 \oplus B \oplus C \oplus D = A$  成立；或  $A \oplus B \oplus 0 \oplus D = C$  成立；或  $A \oplus B \oplus C \oplus 0 = D$  成立。

利用逻辑常数“1”和“0”的“异或”基本运算规则，同样也可以证明上面各式的正确性。

另外，利用上述“异或”运算的特性1，也可以说明多个逻辑量“异或”运算的因果互换关系，具体说明过程如下。

假设等号右边的逻辑量（包括逻辑变量和逻辑常量）的值为“1”，则表明等号左边的各逻辑量（包括逻辑变量和逻辑常量）中含有奇数个逻辑“1”。将等号右边的逻辑量与等号左边的某个逻辑量互换位置，如果此时等号左边被置换逻辑量的值为“1”，则等式的成立是显然的；如果等号左边被置换逻辑量的值为“0”，则在逻辑量互换位置之后，等号左边的各逻辑量中含有逻辑“1”的个数变为偶数个。“异或”的结果将使等号右边的逻辑量为“0”，而这正是被换到等号右边的逻辑量的值，因此等式仍然成立。

同理可以说明等号右边逻辑量的值为“0”时的情形，请读者自行说明之。

“异或”运算可以由“异或”逻辑门来实现。“异或”门的逻辑符号如图2.7(a)所示。“异或”门只有两个输入端，若要实现多个变量的“异或”，则可根据“异或”运算的结合律，利用多个“异或”门的级联来实现，如图2.7(b)所示。当然，这样做只能实现偶数个变量相“异或”的情形。若要实现奇数个变量相“异或”的话，应该如何做呢？这一点请读者自行考虑。

## (2) “同或”运算(“异或”非运算)

两个变量“同或”运算的定义如下：

$$F = A \odot B = AB + \bar{A}\bar{B}$$

式中，“ $\odot$ ”是“同或”运算符号。根据这个两变量逻辑函数的定义式，可以列出两变量“同或”运算的真值表，如表2.12所示。由真值表看出，“同或”运算的含义是：当两个变量A、B的取值相同时(A=1, B=1或者A=0, B=0)，F的取值为“1”；而当两个变量A、B的取值相异时(A=1, B=0或者A=0, B=1)，F的取值为“0”。根据这个定义，可以直接得出逻辑常数“1”和“0”的“同或”基本运算规则如下：

$$0 \odot 0 = 1, \quad 0 \odot 1 = 0, \quad 1 \odot 0 = 0, \quad 1 \odot 1 = 1$$

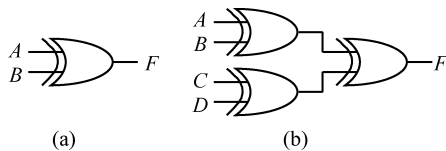


图2.7 “异或”逻辑门

表2.12 两变量“同或”真值表

A	B	F
0	0	1
0	1	0
1	0	0
1	1	1

与“异或”运算类似，对于“同或”逻辑运算来讲，不仅有2个变量的“同或”运算，还有多个变量的“同或”运算，例如3变量的“同或”运算，其定义如下：

$$\begin{aligned} F &= A \odot B \odot C = (AB + \bar{A}\bar{B}) \odot C = (AB + \bar{A}\bar{B}) \cdot C + (\overline{AB + \bar{A}\bar{B}}) \cdot \bar{C} \\ &= ABC + \bar{A}\bar{B}C + (\bar{A} + \bar{B})(A + B)\bar{C} = ABC + \bar{A}\bar{B}C + A\bar{B}\bar{C} + \bar{A}B\bar{C} \end{aligned}$$

以此类推，对于4个变量，5个变量，…，n个变量的“同或”运算，读者不难推导出它们的逻辑函数表达式。

“同或”运算具有如下的基本运算规律：

$$A \odot 0 = \bar{A}; \quad A \odot 1 = A; \quad A \odot A = 1; \quad A \odot \bar{A} = 0$$

另外，“同或”运算符合交换律，即： $A \odot B = B \odot A$ ；“同或”运算也符合结合律，即： $A \odot (B \odot C) = (A \odot B) \odot C$ ；“同或”运算还具有分配律，即： $A + (B \odot C) = (A + B) \odot (A + C)$ 。

利用真值表，并根据“同或”的定义，不难证明“同或”的这些基本运算规律。表2.13列出了上述“同或”运算的基本运算规律。

“同或”运算也具有两个重要的特性：

**特性1：**多变量“同或”运算的结果取决于这些变量中取值为“0”的变量个数，而与取值为“1”的变量个数无关。若取值为“0”的变量个数是偶数，则“同或”的结果为“1”；若取值为“0”的变量个数是奇数，则“同或”的结果为“0”。

关于这个特性，仿照“异或”运算相关特性（“特性1”）的证明方法，同样可以给出叙述性的证明。具体证明过程这里不再重复，作为练习，请读者自己证明。

这一特性告诉我们，多个变量相“同或”的本质就在于确定取值为“0”的变量个数是偶数还是奇数。

这个特性实际上也适用于多个逻辑常量（“1”或“0”）相“同或”的情形。即：多个逻辑常量相“同或”，其结果取决于逻辑“0”的个数，而与逻辑“1”的个数无关。若逻辑“0”的个数为偶数，则“同或”的结果为“1”；若逻辑“0”的个数为奇数，则“同或”的结果为“0”。

由“同或”运算的特性1也可得到如下推论：

若  $F = A_1 \odot A_2 \odot \cdots \odot A_i \odot \cdots \odot A_n$ ,  $(1 \leq i \leq n)$

则  $\bar{F} = A_1 \odot A_2 \odot \cdots \odot \bar{A}_i \odot \cdots \odot A_n$ ;

或:  $\overline{A_1 \odot A_2 \odot \cdots \odot A_i \odot \cdots \odot A_n} = A_1 \odot A_2 \odot \cdots \odot \bar{A}_i \odot \cdots \odot A_n$

即:  $n$  个变量相“同或”的补函数就等于这  $n$  个相“同或”的变量中任意一个变量取反。

读者可以利用“同或”运算的特性 1 自行证明这一推论。

**特性 2:** “同或”运算具有因果互换的关系, 即等式两边的逻辑变量可以互相交换位置而仍然保持等式的成立。

例如: 若  $A \odot B = C$  成立, 则  $A \odot C = B$  成立; 或  $B \odot C = A$  成立。

根据逻辑常数“1”和“0”的“同或”基本运算规则, 不难证明这一特性的正确性。具体证明过程, 可仿照上述证明“异或”运算因果互换关系时的方法, 这里不再重复。

“同或”运算的这种因果互换关系也可以推广到多个逻辑量(包括逻辑变量和逻辑常量)相“同或”的情形, 例如:

若  $A \odot B \odot C \odot D = 1$  成立, 则  $A \odot 1 \odot C \odot D = B$  成立; 或  $1 \odot B \odot C \odot D = A$  成立; 或  $A \odot B \odot 1 \odot D = C$  成立; 或  $A \odot B \odot C \odot 1 = D$  成立。

利用逻辑常数“1”和“0”的“同或”基本运算规则, 同样可以证明上面各式的正确性。当然, 利用上述“同或”运算的特性 1, 也可以说明多个逻辑量“同或”运算的因果互换关系。具体说明过程, 与上述说明多个逻辑量“异或”运算的因果互换关系时的方法类似, 读者可仿照那个方法自行说明, 此处不再重复。

表 2.13 “异或”和“同或”运算公式

名 称	公 式		类 别
基本运算规律	1. $A \oplus 0 = A$ 2. $A \oplus 1 = \bar{A}$ 3. $A \oplus A = 0$ 4. $A \oplus \bar{A} = 1$	1.' A \odot 1 = A 2.' A \odot 0 = \bar{A} 3.' A \odot A = 1 4.' A \odot \bar{A} = 0	常量和变量间的等式
交换律 结合律 分配律	5. $A \oplus B = B \oplus A$ 6. $A \oplus (B \oplus C) = (A \oplus B) \oplus C$ 7. $A \cdot (B \oplus C) = AB \oplus AC$	5.' A \odot B = B \odot A 6.' A \odot (B \odot C) = (A \odot B) \odot C 7.' A + (B \odot C) = (A + B) \odot (A + C)	变量间的等式

从上述“同或”和“异或”的定义以及它们各自所具有的特性中可以看出, 这两种复合逻辑运算似乎有某些相像的地方, 换句话说, 它们之间可能存在着某种内在的联系。确实, “同或”和“异或”之间存在着一种内在的关系, 这就是下面的定理。

设有  $n$  个逻辑变量  $A_1, A_2, \dots, A_n$ , 若  $F$  是将这  $n$  个逻辑变量相“异或”而构成的逻辑函数;  $G$  是将这  $n$  个逻辑变量相“同或”而构成的逻辑函数, 即:

$$F = A_1 \oplus A_2 \oplus \cdots \oplus A_n; \quad G = A_1 \odot A_2 \odot \cdots \odot A_n$$

则当  $n$  为偶数时,  $F = \bar{G}$  或  $G = \bar{F}$ , 也就是说, 此时逻辑函数  $F$  和逻辑函数  $G$  互为反函数(或互为补函数); 而当  $n$  为奇数时,  $F = G$ , 也就是说, 此时逻辑函数  $F$  和逻辑函数  $G$  相同。

关于这个定理, 也给出其叙述性证明如下。

① 当  $n$  为偶数时

如果逻辑函数  $F$  的取值为“1”, 则说明  $A_1 \sim A_n$  中有奇数个逻辑变量的取值为“1”, 此时  $A_1 \sim A_n$  中取“0”的逻辑变量个数也必然为奇数(因为  $n$  为偶数), 所以, 逻辑函数  $G$  的取值一定为“0”。反之, 如果逻辑函数  $F$  的取值为“0”, 则说明  $A_1 \sim A_n$  中有偶数个逻辑变量的取值为“1”, 此时  $A_1 \sim A_n$  中取“0”的逻辑变量个数也必然为偶数, 因此, 逻辑函数  $G$  的取值一定为“1”。

综上所述，当参与“异或”和“同或”运算的逻辑变量个数为偶数时，逻辑函数  $F$  和逻辑函数  $G$  互为反函数。

### ② 当 $n$ 为奇数时

如果逻辑函数  $F$  的取值为“1”，则说明  $A_1 \sim A_n$  中有奇数个逻辑变量的取值为“1”，此时  $A_1 \sim A_n$  中取“0”的逻辑变量个数必然为偶数（因为  $n$  为奇数），所以，逻辑函数  $G$  的取值一定为“1”。反之，如果逻辑函数  $F$  的取值为“0”，则说明  $A_1 \sim A_n$  中有偶数个逻辑变量的取值为“1”，此时  $A_1 \sim A_n$  中取“0”的逻辑变量个数必然为奇数，因此，逻辑函数  $G$  的取值一定为“0”。综上所述，当参与“异或”和“同或”运算的逻辑变量个数为奇数时，逻辑函数  $F$  和逻辑函数  $G$  相同。

根据上述有关“异或”和“同或”的关系定理，可以得知两变量的“同或”函数是两变量的“异或”函数的反函数，另外，在两个变量的“同或”运算中，只要有一个变量取反，则“同或”运算就变为“异或”运算，反之亦然，即：

$$A \odot B = A \oplus \bar{B} = \bar{A} \oplus B = \overline{A \oplus B} \quad \text{或} \quad A \oplus B = A \odot \bar{B} = \bar{A} \odot B = \overline{A \odot B}$$

这也就是为什么把两变量的“同或”运算称为“异或”非运算的原因。两变量的“同或”运算可以由“同或”逻辑门来实现，其逻辑符号如图 2.8 所示。

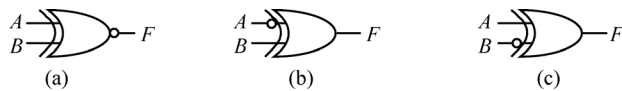


图 2.8 “同或”逻辑门

在 2.3.2 节的“对偶规则”里曾经提到，一般情况下  $\bar{F} \neq F'$ 。但是，由两个变量构成的“同或”函数和“异或”函数不仅互为反函数，而且还互为对偶函数，即：不但  $\overline{A \oplus B} = A \odot B$  或  $\overline{A \odot B} = A \oplus B$ ，而且， $(A \oplus B)' = A \odot B$  或  $(A \odot B)' = A \oplus B$ 。所以，由两个变量构成的“同或”和“异或”函数是一对特殊的逻辑函数。

根据对偶规则，可以从表 2.13 的左栏所列公式推导出右栏所列公式，反之亦然。不过，此时在求对偶式时，除了要运用 2.3.2 节中所述的求对偶式的三个变换以外，还要加上第四个变换，即：把所有的“ $\oplus$ ”运算符换成“ $\odot$ ”运算符，同时把所有的“ $\odot$ ”运算符换成“ $\oplus$ ”运算符。

与求对偶式类似，在运用反演规则求  $F$  的补函数  $\bar{F}$  时，如果  $F$  的表达式中含有“异或”、“同或”运算，则 2.3.2 节所述的反演规则中除原先的三个变换以外，也需加上第四个变换，即：把所有的“ $\oplus$ ”运算符换成“ $\odot$ ”运算符，同时把所有的“ $\odot$ ”运算符换成“ $\oplus$ ”运算符。

### 3. 逻辑运算符号的完备性

逻辑函数是由一系列的基本逻辑运算和复合逻辑运算所组成的。其中，“与”、“或”、“非”是三种基本的逻辑运算，由它们可以组成任何逻辑函数。所以说“ $\cdot$ ”、“ $+$ ”和“ $\neg$ ”是一组逻辑功能完备的逻辑运算符。然而，“与非”运算、“或非”运算及“与或非”运算中的任何一种运算都能单独地实现“与”、“或”、“非”这三种基本逻辑运算；都可单独地组成任何一个逻辑函数。因此，“与非”运算、“或非”运算及“与或非”运算各自都是功能完备的复合逻辑运算符。

例如，“与”、“或”、“非”这三种基本逻辑运算均可用“或非”运算来单独地完成，并可用相应的“或非”门来实现。

$$\text{“与”} \quad F = A \cdot B = \overline{\overline{A} \cdot \overline{B}} = \overline{\overline{A} + \overline{B}} = \overline{\overline{A} + 0 + \overline{B} + 0} = \overline{\overline{A} + \overline{A} + \overline{B} + \overline{B}}$$

$$\text{“或”} \quad F = A + B = \overline{\overline{A} + \overline{B}} = \overline{\overline{A} + B + 0} = \overline{\overline{A} + B} + \overline{A + B}$$

$$\text{“非”} \quad F = \overline{A} = \overline{\overline{A} + A} = \overline{A + 0}$$

将上述逻辑表达式用相应的逻辑符号来表示，就可以得到用“或非”门来实现“与”、“或”、“非”这三种基本逻辑运算的门电路逻辑图，如图 2.9 所示。逻辑图也是描述逻辑函数的一种方法。

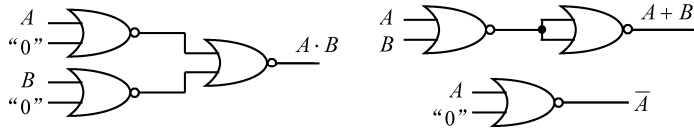


图 2.9 用“或非”门实现基本逻辑运算

同理，分别用“与非”运算或者“与或非”运算都能单独地完成“与”、“或”、“非”这三种基本逻辑运算，并可用相应的“与非”门或者“与或非”门来实现。这些作为练习，请读者自行验证。

## 2.4 逻辑函数的两种标准形式

一个逻辑函数可以有许多不同的逻辑表达式形式。如果把它们加以分类，则可以归纳出 5 种主要的形式。它们是：①“与或”表达式（先“与”后“或”的表达式）；②“或与”表达式（先“或”后“与”的表达式）；③“与非-与非”表达式；④“或非-或非”表达式；⑤“与或非”表达式。例如：

$$\begin{aligned}
 F &= AB + \bar{A}C && \text{"与或" 表达式} \\
 &= AB + \bar{A}C + BC + A\bar{A} \\
 &= \bar{A}(A+C) + B(A+C) \\
 &= (A+C)(\bar{A}+B) && \text{"或与" 表达式} \\
 &= \overline{\overline{AB} + \overline{AC}} \\
 &= \overline{\overline{AB} \cdot \overline{AC}} && \text{"与非-与非" 表达式} \\
 &= \overline{(A+C)(\bar{A}+B)} \\
 &= \overline{\overline{A+C} + \overline{\bar{A}+B}} && \text{"或非-或非" 表达式} \\
 &= \overline{\bar{A}\bar{C} + A\bar{B}} && \text{"与或非" 表达式}
 \end{aligned}$$

在这 5 种表达式中，“与或”表达式和“或与”表达式是较为常用的表达式类型。实际上，对于同一种类型的表达式来说，逻辑函数的表达式形式也不是唯一的。我们可以看上例中  $F$  的“与或”表达式：

$$\begin{aligned}
 F &= AB + \bar{A}C \\
 &= AB + \bar{A}C + BC \\
 &= ABC + A\bar{B}\bar{C} + \bar{A}BC + \bar{A}\bar{B}C \\
 &= \dots
 \end{aligned}$$

那么，在逻辑函数的众多表达式中，是否能有某种相对具有唯一性的表达式形式呢？这就是本节所要讨论的逻辑函数的两种标准表达式形式。它们实际上是特殊的“与或”表达式和“或与”表达式。

在讨论逻辑函数的两种标准表达式之前，先要建立最小项和最大项的概念。

### 2.4.1 最小项和最大项

#### 1. 最小项（标准积或规范积）

设  $A$ 、 $B$ 、 $C$  是三个逻辑变量，由这三个逻辑变量可以构成许多乘积项（“与”项），例如： $ABC$ 、 $\bar{A}B$ 、 $A\bar{B}C\bar{A}$ 、 $B\bar{C}$  等。在这些乘积项中有一类特殊的乘积项，它们是：

$$\bar{A}\bar{B}\bar{C}, \bar{A}\bar{B}C, \bar{A}B\bar{C}, \bar{A}BC, A\bar{B}\bar{C}, A\bar{B}C, AB\bar{C}, ABC$$

这8个乘积项有如下三个特点：

- ① 每一项都由三个逻辑变量相“与”而构成，即每项都有三个“因子”；
- ② 每个逻辑变量都是“与”项的一个“因子”；
- ③ 在每一个乘积项中，每个逻辑变量或以原变量( $A, B, C$ )的形式出现，或以反变量( $\bar{A}, \bar{B}, \bar{C}$ )的形式出现。

这8个乘积项就称为三个逻辑变量 $A, B, C$ 的“最小项”。上面所提到的其他乘积项，如 $\bar{A}B, A\bar{B}C\bar{A}, BC\bar{C}$ 等，都不是三个变量 $A, B, C$ 的最小项，因为它们不符合上述三个特点。

把三个变量最小项的情况推广到 $n$ 个变量的情形，于是就有关于 $n$ 个变量最小项的定义如下：

$n$ 个变量的最小项是 $n$ 个变量相“与”(乘积)，其中每一个变量都以原变量的形式或反变量的形式出现、且仅出现一次。

按照这个定义，对于 $n$ 个变量来说，最小项的个数总共有 $2^n$ 个。当 $n=3$ (三个变量)时，最小项有 $2^3=8$ 个。

表2.14所示为三变量最小项的真值表。

表2.14 三变量最小项的真值表

序号	变量取值 $A \ B \ C$	$m_0$ $\bar{A}\bar{B}\bar{C}$	$m_1$ $\bar{A}\bar{B}C$	$m_2$ $\bar{A}B\bar{C}$	$m_3$ $\bar{A}BC$	$m_4$ $A\bar{B}\bar{C}$	$m_5$ $A\bar{B}C$	$m_6$ $AB\bar{C}$	$m_7$ $ABC$
0	0 0 0	1	0	0	0	0	0	0	0
1	0 0 1	0	1	0	0	0	0	0	0
2	0 1 0	0	0	1	0	0	0	0	0
3	0 1 1	0	0	0	1	0	0	0	0
4	1 0 0	0	0	0	0	1	0	0	0
5	1 0 1	0	0	0	0	0	1	0	0
6	1 1 0	0	0	0	0	0	0	1	0
7	1 1 1	0	0	0	0	0	0	0	1

观察表2.14，可以看出最小项具有如下的一些性质。

**性质1：**对于任意的一个最小项，只有一组变量的取值使得它的值为“1”，而在变量取其他各组值时，这个最小项的值都是“0”。最小项不同，使得它的值为“1”的那一组变量的取值也不同。使得某一个最小项的值为“1”的那组变量取值，就是该最小项中的原变量取“1”、反变量取“0”而组成的二进制数。

如最小项 $A\bar{B}C$ ，只有在变量 $A, B, C$ 的取值为“101”时，它的值才为“1”( $A\bar{B}C = 1 \cdot \bar{0} \cdot 1 = 1$ )；而在其他各组变量取值时，它的值都是“0”。反之，对于变量取值“101”来讲，也只有将其代入最小项 $A\bar{B}C$ 时，最小项的值才为“1”；而若将其代入其他的最小项时，最小项的值都为“0”。

为方便起见，通常用符号 $m_i^n$ 来表示最小项。 $n$ 代表最小项中变量的个数，常省略； $i$ 代表最小项的编号，它是使最小项的值为“1”的变量取值的等效十进制数。例如，使最小项 $A\bar{B}C$ 为“1”的变量取值是二进制数“101”，而该二进制数的等效十进制数是“5”，所以用 $m_5^3$ (或 $m_5$ )来代表最小项 $A\bar{B}C$ 。表2.14中标出了所有三变量最小项的符号 $m_i^3$ ( $i=0 \sim 7$ )。

**性质2：**任意两个不同的最小项的乘积(相“与”)恒为“0”。

这是因为任意一组变量取值，不可能同时使两个不同的最小项的值都为“1”，其中至少有一个最小项的值为“0”，所以它们的乘积为“0”，例如：

$$m_2^3 \cdot m_7^3 = \bar{A}\bar{B}\bar{C} \cdot ABC = \bar{A}ABC\bar{C} = 0$$

**性质 3：**全体最小项之和（相“或”）恒为“1”。

因为对于变量的任意一组取值，它总能使某一个最小项的值为“1”，因此全体最小项的和恒为“1”，即：

$$\begin{aligned} & \bar{A}\bar{B}\bar{C} + \bar{A}\bar{B}C + \bar{A}B\bar{C} + \bar{A}BC + A\bar{B}\bar{C} + A\bar{B}C + AB\bar{C} + ABC \\ &= \bar{A}\bar{B} + \bar{A}B + A\bar{B} + AB = \bar{A} + A = 1 \end{aligned}$$

上述三变量最小项所具有的三个性质，也可以推广到  $n$  变量最小项的情形，换句话说， $n$  变量最小项也具有同样的三个性质。

**性质 1：**每一个最小项仅和一组变量取值相对应，只有在该组取值下这个最小项的值才为“1”，而在其他的取值下它都为“0”。

**性质 2：** $n$  个变量的任意两个不同最小项的乘积（相“与”）恒为“0”，即：

$$m_i^n \cdot m_j^n = 0 \quad (i \neq j)$$

**性质 3：** $n$  个变量的全体最小项之和（相“或”）恒为“1”，即：

$$\sum_{i=0}^{2^n-1} m_i^n = 1$$

## 2. 最大项（标准和或规范和）

最大项的定义和性质都是与最小项相对应的，为了清楚起见，我们还是从具体的三个变量最大项的情形开始考察。

设  $A$ 、 $B$ 、 $C$  是三个逻辑变量，由这三个逻辑变量可以构成许多个和项（“或”项），例如： $A+B+\bar{C}$ ， $\bar{A}+B$ ， $A+\bar{B}+C+\bar{A}$  等。在这些和项中有一类特殊的和项，它们是：

$$\begin{aligned} & \bar{A}+\bar{B}+\bar{C}, \quad \bar{A}+\bar{B}+C, \quad \bar{A}+B+\bar{C}, \quad \bar{A}+B+C, \\ & A+\bar{B}+\bar{C}, \quad A+\bar{B}+C, \quad A+B+\bar{C}, \quad A+B+C \end{aligned}$$

这 8 个和项有如下三个特点：

- ① 每一项都是由三个逻辑变量相“或”而构成，即每项都有三个“加数”；
- ② 每个逻辑变量都是一个和项的“加数”；
- ③ 在每一个和项中，每个逻辑变量或以原变量 ( $A$ 、 $B$ 、 $C$ ) 的形式出现，或以反变量 ( $\bar{A}$ 、 $\bar{B}$ 、 $\bar{C}$ ) 的形式出现。

这 8 个和项就称为三个逻辑变量  $A$ 、 $B$ 、 $C$  的“最大项”。上面所提到的其他和项，如  $\bar{A}+B$ 、 $A+\bar{B}+C+\bar{A}$  等，都不是三个变量  $A$ 、 $B$ 、 $C$  的最大项，因为它们不符合上述三个特点。

把三个变量最大项的情况推广到  $n$  个变量的情形，于是就有关于  $n$  个变量最大项的定义如下：

$n$  个变量的最大项是  $n$  个变量相“或”（和），其中每一个变量都以原变量的形式或反变量的形式出现、且仅出现一次。

按照这个定义，对于  $n$  个变量来说，最大项的个数总共也有  $2^n$  个。当  $n = 3$ （三个变量）时，最大项有  $2^3 = 8$  个。

表 2.15(a)、(b) 所示为三变量最大项的真值表。

表 2.15(a) 三变量最大项的真值表

序号	变量取值 $A \ B \ C$			$M_7$ $\bar{A} + \bar{B} + \bar{C}$	$M_6$ $\bar{A} + \bar{B} + C$	$M_5$ $\bar{A} + B + \bar{C}$	$M_4$ $\bar{A} + B + C$
	0	0	0	1	1	1	1
1	0	0	1	1	1	1	1
2	0	1	0	1	1	1	1
3	0	1	1	1	1	1	1
4	1	0	0	1	1	1	0
5	1	0	1	1	1	0	1
6	1	1	0	1	0	1	1
7	1	1	1	0	1	1	1

表 2.15(b) 三变量最大项的真值表 (续)

序号	变量取值 $A \ B \ C$			$M_3$ $A + \bar{B} + \bar{C}$	$M_2$ $A + \bar{B} + C$	$M_1$ $A + B + \bar{C}$	$M_0$ $A + B + C$
	0	0	0	1	1	1	0
1	0	0	1	1	1	0	1
2	0	1	0	1	0	1	1
3	0	1	1	0	1	1	1
4	1	0	0	1	1	1	1
5	1	0	1	1	1	1	1
6	1	1	0	1	1	1	1
7	1	1	1	1	1	1	1

观察表 2.15(a)、(b)，可以看出最大项具有如下的一些性质。

**性质 1：**对于任意的一个最大项，只有一组变量的取值使得它的值为“0”，而在变量取其他各组值时，这个最大项的值都是“1”。最大项不同，使得它的值为“0”的那一组变量的取值也不同。使得某一个最大项的值为“0”的那组变量取值，就是该最大项中的原变量取“0”、反变量取“1”而组成的二进制数。

如最大项  $A + \bar{B} + C$ ，只有在变量  $A$ 、 $B$ 、 $C$  的取值为“010”时，它的值才为“0”( $A + \bar{B} + C = 0 + \bar{1} + 0 = 0$ )；而在其他各组变量取值时，它的值都是“1”。反之，对于变量取值“010”来讲，也只有将其代入最大项  $A + \bar{B} + C$  时，最大项的值才为“0”；而若将其代入其他的最大项时，最大项的值都为“1”。

为了方便起见，通常用符号  $M_j^n$  来表示最大项。 $n$  代表最大项中变量的个数，常省略； $j$  代表最大项的编号，它是使最大项的值为“0”的变量取值的等效十进制数。例如，使最大项  $A + \bar{B} + C$  为“0”的变量取值是二进制数“010”，而该二进制数的等效十进制数是“2”，所以用  $M_2^3$  (或  $M_2$ ) 来代表最大项  $A + \bar{B} + C$ 。表 2.15 中标出了所有三变量最大项的符号  $M_j^3$  ( $j = 0 \sim 7$ )。

**性质 2：**任意两个不同的最大项的和（相“或”）恒为“1”。

这是因为任意一组变量取值，不可能同时使两个不同的最大项的值都为“0”，其中至少有一个最大项的值为“1”，所以它们的和为“1”，例如：

$$M_4^3 + M_0^3 = (\bar{A} + B + C) + (A + B + C) = \bar{A} + A + B + C = 1$$

**性质 3：**全体最大项之积（相“与”）恒为“0”。

因为对于变量的任意一组取值，它总能使某一个最大项的值为“0”，因此全体最大项的积恒为“0”，即：

$$\begin{aligned} &(\bar{A} + \bar{B} + \bar{C}) \cdot (\bar{A} + \bar{B} + C) \cdot (\bar{A} + B + \bar{C}) \cdot (\bar{A} + B + C) \cdot (A + \bar{B} + \bar{C}) \cdot (A + \bar{B} + C) \cdot (A + B + \bar{C}) \cdot (A + B + C) \\ &= (\bar{A} + \bar{B})(\bar{A} + B)(A + \bar{B})(A + B) = \bar{A} \cdot A = 0 \end{aligned}$$

上述三变量最大项所具有的三个性质，也可以推广到  $n$  变量最大项的情形，换句话说， $n$  变量最大项也具有同样的三个性质。

**性质 1：**每一个最大项仅和一组变量取值相对应，只有在该组取值下这个最大项的值才为“0”，而在其他的取值下它都为“1”。

**性质 2：** $n$  个变量的任意两个不同最大项的和（相“或”）恒为“1”，即：

$$M_i^n + M_j^n = 1 \quad (i \neq j)$$

**性质 3：** $n$  个变量的全体最大项之积（相“与”）恒为“0”，即：

$$\prod_{j=0}^{2^n-1} M_j^n = 0$$

### 3. 最小项与最大项的关系

表 2.16 所示为三变量的各组取值及相应的最小项和最大项。从表中可以看出：变量相同且编号相同的最小项和最大项之间，存在着互补的关系，即：

$$\overline{m_i^n} = M_i^n \quad \text{或} \quad \overline{M_i^n} = m_i^n$$

例如：若  $m_0 = \overline{A}\overline{B}\overline{C}$ ，则  $\overline{m_0} = \overline{\overline{A}\overline{B}\overline{C}} = A + B + C = M_0$ ，其余类推。

表 2.16 三变量的各组取值及相应的最小项和最大项

序号	变量取值 $A \ B \ C$	十进制数 $i$	最小项 $m_i$	最大项 $M_i$
0	0 0 0	0	$\overline{A}\overline{B}\overline{C}$ $m_0$	$A + B + C$ $M_0$
1	0 0 1	1	$\overline{A}\overline{B}C$ $m_1$	$A + B + \overline{C}$ $M_1$
2	0 1 0	2	$\overline{A}B\overline{C}$ $m_2$	$A + \overline{B} + C$ $M_2$
3	0 1 1	3	$\overline{A}BC$ $m_3$	$A + \overline{B} + \overline{C}$ $M_3$
4	1 0 0	4	$A\overline{B}\overline{C}$ $m_4$	$\overline{A} + B + C$ $M_4$
5	1 0 1	5	$A\overline{B}C$ $m_5$	$\overline{A} + B + \overline{C}$ $M_5$
6	1 1 0	6	$AB\overline{C}$ $m_6$	$\overline{A} + \overline{B} + C$ $M_6$
7	1 1 1	7	$ABC$ $m_7$	$\overline{A} + \overline{B} + \overline{C}$ $M_7$

## 2.4.2 标准表达式和真值表

### 1. 两种标准表达式

有了最小项和最大项的概念以后，现在再来讨论前面所说的逻辑函数的两种标准表达式形式，它们是**最小项之和式**和**最大项之积式**。

#### (1) 最小项之和式

最小项之和式是由若干最小项相“加”（相“或”）而构成，它也叫做**标准“与或”式**。例如：

$$F(A, B, C) = \overline{A}\overline{B}C + A\overline{B}\overline{C} + AB\overline{C}$$

是一个三变量的最小项之和式，它可以被简写为：

$$F(A, B, C) = m_3 + m_5 + m_6 = \sum m(3, 5, 6) = \sum (3, 5, 6)$$

利用逻辑代数的基本公式（基本定律和基本定理），可以把任何一个  $n$  变量的逻辑函数化成唯一的最小项之和表达式。

**【例 2.1】** 把  $F(A, B, C) = AB + \bar{A}C$  展开成最小项之和式。

$$\begin{aligned}\text{解: } F(A, B, C) &= AB + \bar{A}C \\ &= AB(C + \bar{C}) + \bar{A}C(B + \bar{B}) \\ &= ABC + A\bar{B}C + \bar{A}BC + \bar{A}\bar{B}C \\ &= m_7 + m_6 + m_3 + m_1 \\ &= \sum m(1, 3, 6, 7)\end{aligned}$$

**【例 2.2】** 将  $F(A, B, C) = \overline{(AB + \bar{A}\bar{B} + \bar{C})\bar{AB}}$  展开成最小项之和式。

$$\begin{aligned}\text{解: } F(A, B, C) &= \overline{(AB + \bar{A}\bar{B} + \bar{C})\bar{AB}} \\ &= \overline{AB + \bar{A}\bar{B} + \bar{C}} + AB \\ &= (\bar{A} + \bar{B})(A + B)C + AB \\ &= (A\bar{B} + \bar{A}B)C + AB \\ &= A\bar{B}C + \bar{A}BC + AB(C + \bar{C}) \\ &= A\bar{B}C + \bar{A}BC + ABC + AB\bar{C} \\ &= m_5 + m_3 + m_7 + m_6 \\ &= \sum m(3, 5, 6, 7)\end{aligned}$$

从以上两例可以看出, 要把任何一个具有任意表达式形式的逻辑函数化为最小项之和式, 首先需要将其变换为一个一般的“与或”式(利用摩根定理、分配律等); 其次, 在这个一般的“与或”式的基础上, 对于缺少变量的乘积项(“与”项), 要再“乘”上所缺变量的“(原变量+反变量)”形式的“因子”, 这样, 最后总能得到一个最小项之和式, 即: 标准的“与或”式。

由此可见, 任何一个逻辑函数表达式都可以被展开成唯一的最小项之和式; 换句话说, 用最小项之和这种形式可以表达任何一个逻辑函数。

## (2) 最大项之积式

最大项之积式是由若干最大项相“乘”(相“与”)而构成, 它也叫做标准“或与”式。例如:

$$G(A, B, C) = (A + B + C)(A + \bar{B} + \bar{C})(\bar{A} + B + \bar{C})(\bar{A} + \bar{B} + C)$$

是一个三变量的最大项之积式, 它可以被简写为:

$$G(A, B, C) = M_0 \cdot M_3 \cdot M_5 \cdot M_6 = \prod M(0, 3, 5, 6) = \prod (0, 3, 5, 6)$$

与最小项之和式相类似, 利用逻辑代数的基本公式(基本定律和基本定理), 同样可以把任何一个  $n$  变量的逻辑函数化成唯一的大项之积表达式。

**【例 2.3】** 把  $F(A, B, C) = (A + B)(\bar{A} + C)$  展开成最大项之积式。

$$\begin{aligned}\text{解: } F(A, B, C) &= (A + B)(\bar{A} + C) \\ &= (A + B + C\bar{C})(\bar{A} + C + B\bar{B}) \\ &= (A + B + C)(A + B + \bar{C})(\bar{A} + C + B)(\bar{A} + C + \bar{B}) \\ &= (A + B + C)(A + B + \bar{C})(\bar{A} + B + C)(\bar{A} + \bar{B} + C) \\ &= M_0 \cdot M_1 \cdot M_4 \cdot M_6 \\ &= \prod M(0, 1, 4, 6)\end{aligned}$$

**【例 2.4】** 将  $F(A, B, C) = \overline{(AB + \bar{A}\bar{B} + \bar{C})\bar{AB}}$  展开成最大项之积式。

$$\begin{aligned}
 \text{解: } F(A, B, C) &= \overline{(AB + A\bar{B} + \bar{C})\bar{A}\bar{B}} \\
 &= \overline{\bar{A}\bar{B} \cdot \bar{A}\bar{B} + \bar{C} \cdot \bar{A}\bar{B}} \\
 &= \overline{\bar{A}\bar{B} \cdot (\bar{A} + \bar{B}) + \bar{C}(\bar{A} + \bar{B})} \\
 &= \overline{\bar{A}\bar{B} + \bar{A}\bar{C} + \bar{B}\bar{C}} \\
 &= (A + B)(A + C)(B + C) \\
 &= (A + B + C\bar{C})(A + C + B\bar{B})(A\bar{A} + B + C) \\
 &= (A + B + C)(A + B + \bar{C})(A + C + B)(A + C + \bar{B})(A + B + C)(\bar{A} + B + C) \\
 &= (A + B + C)(A + B + \bar{C})(A + \bar{B} + C)(\bar{A} + B + C) \\
 &= M_0 \cdot M_1 \cdot M_2 \cdot M_4 \\
 &= \prod M(0, 1, 2, 4)
 \end{aligned}$$

以上两例说明,要把任何一个具有任意表达式形式的逻辑函数化为最大项之积式,首先需要将其变换为一个一般的“或与”式(利用摩根定理、分配律等);其次,在这个一般的“或与”式的基础上,对于缺少变量的和项(“或”项),要再“加”上所缺变量的“(原变量·反变量)”形式的“加数”,这样,最后总能得到一个最大项之积式,即:标准的“或与”式。

由此可见,任何一个逻辑函数表达式都可以被展开成唯一的最大项之积式;换句话说,用最大项之积这种形式可以表达任何一个逻辑函数。

最小项之和式和最大项之积式是逻辑函数的两种标准表达式。

## 2. 真值表与标准表达式

由于  $n$  个变量的最小项和最大项与其变量的取值是一一对应的,因此可以非常方便地根据最小项之和式或者最大项之积式列出真值表,反之亦然。换句话说,最小项之和式或者最大项之积式与真值表之间具有一一对应的关系,知道一个就可以求出另一个。例如,由函数  $F(A, B, C) = \bar{A}BC + A\bar{B}C + ABC = \sum m(3, 5, 6)$  知道,只有当  $ABC$  的取值为“011”、“101”和“110”时,函数  $F$  的值才为“1”;而当  $ABC$  的取值为其他值时,  $F$  的值为“0”。据此,就可以列出函数  $F$  的真值表,如表 2.17 所示。同样,由函数

$$G(A, B, C) = (A + B + C)(A + \bar{B} + \bar{C})(\bar{A} + B + \bar{C})(\bar{A} + \bar{B} + C) = \prod M(0, 3, 5, 6)$$

知道,只有当  $ABC$  的取值为“000”、“011”、“101”和“110”时,函数  $G$  的值才为“0”;而当  $ABC$  的取值为其他值时,  $G$  的值为“1”。据此,也可以列出函数  $G$  的真值表,如表 2.18 所示。

表 2.17 函数  $F$  的真值表

序号	A	B	C	F
0	0	0	0	0
1	0	0	1	0
2	0	1	0	0
3	0	1	1	1
4	1	0	0	0
5	1	0	1	1
6	1	1	0	1
7	1	1	1	0

(判偶逻辑)

表 2.18 函数  $G$  的真值表

序号	A	B	C	F
0	0	0	0	0
1	0	0	1	1
2	0	1	0	1
3	0	1	1	0
4	1	0	0	1
5	1	0	1	0
6	1	1	0	0
7	1	1	1	1

(判奇逻辑)

由以上表2.17和表2.18可看出，函数F和函数G的功能是判断三个输入变量ABC中取“1”变量的奇偶个数。当取“1”的变量个数为偶数时，F为“1”、G为“0”；而当取“1”的变量个数为奇数时，F为“0”、G为“1”。所以，函数F叫做判偶逻辑；而函数G叫做判奇逻辑。

对照函数F的最小项之和式和它的真值表，可以看出，函数F的最小项之和式，实际上就是由真值表中 $F=1$ 的各行相应的变量取值所对应的最小项相“或”而构成的。同样，对照函数G的最大项之积式和它的真值表，也可以看出，函数G的最大项之积式，实际上就是由真值表中 $G=0$ 的各行相应的变量取值所对应的最大项相“与”而构成。因此，如果给定某个逻辑函数F的真值表，就可以根据此真值表直接写出该函数的最小项之和式或最大项之积式。但是在最小项和最大项的写法上要注意它们的区别。在写各最小项时，应分别将各 $F=1$ 的那行所对应的变量取值中“1”代以原变量，而“0”代以反变量，再把这些变量（原变量和反变量）相“乘”（相“与”），从而构成一个最小项；同样，在写各最大项时，应分别将各 $F=0$ 的那行所对应的变量取值中“0”代以原变量，而“1”代以反变量，再把这些变量（原变量和反变量）相“加”（相“或”），从而构成一个最大项。实际上，如果注意到真值表上的行号与最小项、最大项的编号的一致性，则真值表与两种标准表达式之间的转换将更为简单。

**【例2.5】**已知函数F的真值表如表2.19所示。试写出F的最小项之和式和最大项之积式。

解：由表2.19知， $F=1$ 的各行行号及其所对应的变量取值为：3（“011”），5（“101”），6（“110”），7（“111”），所以函数F的最小项之和式为：

$$\begin{aligned} F &= \sum m(3, 5, 6, 7) \\ &= \bar{A}BC + A\bar{B}C + AB\bar{C} + ABC \end{aligned}$$

而 $F=0$ 的各行行号及其所对应的变量取值为：0（“000”），1（“001”），2（“010”），4（“100”），所以函数F的最大项之积式为：

$$\begin{aligned} F &= \prod M(0, 1, 2, 4) \\ &= (A+B+C) \cdot (A+B+\bar{C}) \cdot (A+\bar{B}+C) \cdot (\bar{A}+B+C) \end{aligned}$$

### 3. 两种标准表达式之间的关系

通过之前的讨论我们知道：任何一个逻辑函数表达式都可以被展开成唯一的最小项之和式，也可以被展开成唯一的大项之积式。反过来，最小项之和式或最大项之积式都可以单独地表达任何一个逻辑函数。既然最小项之和式与最大项之积式都是对同一个事物——逻辑函数的描述，所以它们之间也必然存在着某种联系，这就是此节所要讨论的内容——两种标准表达式之间的关系。

分析例2.5的结果可以看出，函数F的最小项之和式所含的最小项的编号与最大项之积式所含的最大项的编号是互相补充的。考察一下例2.2和例2.4的结果，也能得出同样的结论，即：某个函数的最大项之积式中的最大项的编号正好是该函数的最小项之和式中的最小项编号中未包含的号码，反之亦然。这就是逻辑函数F的两种标准表达式之间的关系。可以证明，这一关系规律对任何一个逻辑函数都适用。证明如下。

任意给定一个n变量的逻辑函数F，则它可以被表示成某个最小项之和的标准形式，即：

$$F = \sum_i m_i^n \quad i \in (0 \sim 2^n - 1)$$

根据最小项的性质，又知道全体最小项之和为“1”，即：

表2.19 函数F的真值表

序号	A	B	C	F
0	0	0	0	0
1	0	0	1	0
2	0	1	0	0
3	0	1	1	1
4	1	0	0	0
5	1	0	1	1
6	1	1	0	1
7	1	1	1	1

$$\sum_{k=0}^{2^n-1} m_k^n = 1$$

所以，逻辑函数  $F$  的最小项之和  $\sum_i m_i^n$  中所不包含的那些最小项的“和”就构成了逻辑函数  $F$  的反函数  $\bar{F}$  的最小项之和式，即：

$$\bar{F} = \sum_{j \neq i} m_j^n \quad j \in (0 \sim 2^n - 1) \text{ 且 } j \neq i$$

因此得到：

$$F = \overline{\sum_{j \neq i} m_j^n} \quad j \in (0 \sim 2^n - 1) \text{ 且 } j \neq i$$

根据摩根定理和最小项与最大项之间的互补关系，就得到了下列的公式：

$$\begin{aligned} F &= \overline{\sum_{j \neq i} m_j^n} \\ &= \prod_{j \neq i} \overline{m_j^n} \\ &= \prod_{j \neq i} M_j^n \quad j \in (0 \sim 2^n - 1) \text{ 且 } j \neq i \end{aligned}$$

此式表明，如果给定了逻辑函数  $F$  的最小项之和式  $F = \sum_i m_i^n$ ，则它的最大项之积式就是  $F = \prod_{j \neq i} M_j^n$ 。

其中， $j$  是  $0 \sim 2^n - 1$  范围内除了最小项编号  $i$  以外的最大项编号。两个标准表达式所含（最小/最大）项编号的总数为  $2^n$ ，它们在范围  $0 \sim 2^n - 1$  内互补。

知道了逻辑函数  $F$  的两种标准表达式之间的关系规律以后，就可以很容易地由一种标准表达式推出另一种标准表达式。

**【例 2.6】** 已知函数  $F(A, B, C, D) = \sum m(0, 2, 3, 5, 7, 9, 12)$ ，试写出  $F$  的最大项之积式。

解：根据两种标准表达式所含项的编号在  $0 \sim 2^4 - 1$  的范围内互补的规律知：

$$F(A, B, C, D) = \prod M(1, 4, 6, 8, 10, 11, 13, 14, 15)$$

## 2.5 逻辑函数的代数化简法

### 2.5.1 化简逻辑函数的意义及化简方法

正如 2.2.3 节所述，逻辑函数和逻辑电路是相互对应的。给出一个逻辑函数表达式，就可以画出相应的逻辑电路。但是，同一个逻辑函数的表达式形式有多种多样，在 2.4 节中归纳出了 5 类逻辑函数表达式，现将它们重新列写如下：

- “与或”表达式；
- “或与”表达式；
- “与非-与非”表达式；
- “或非-或非”表达式；
- “与或非”表达式。

例如：

$$\begin{aligned}
 F &= AB + \bar{A}C && \text{“与或”表达式} \\
 &= AB + \bar{A}C + BC + A\bar{A} \\
 &= \bar{A}(A+C) + B(A+C) \\
 &= (A+C)(\bar{A}+B) && \text{“或与”表达式} \\
 &= \overline{\overline{AB} + \overline{\bar{A}C}} \\
 &= \overline{\overline{AB} \cdot \overline{\bar{A}C}} && \text{“与非-与非”表达式} \\
 &= \overline{(A+C)(\bar{A}+B)} \\
 &= \overline{\overline{A+C} + \overline{\bar{A}+B}} && \text{“或非-或非”表达式} \\
 &= \overline{\overline{AC} + \overline{AB}} && \text{“与或非”表达式}
 \end{aligned}$$

若用逻辑电路来实现上述函数这5种逻辑表达式，则前两种可用“与”门和“或”门来实现；第三种用“与非”门；第4种用“或非”门；第5种用“与或非”门，如图2.10所示。

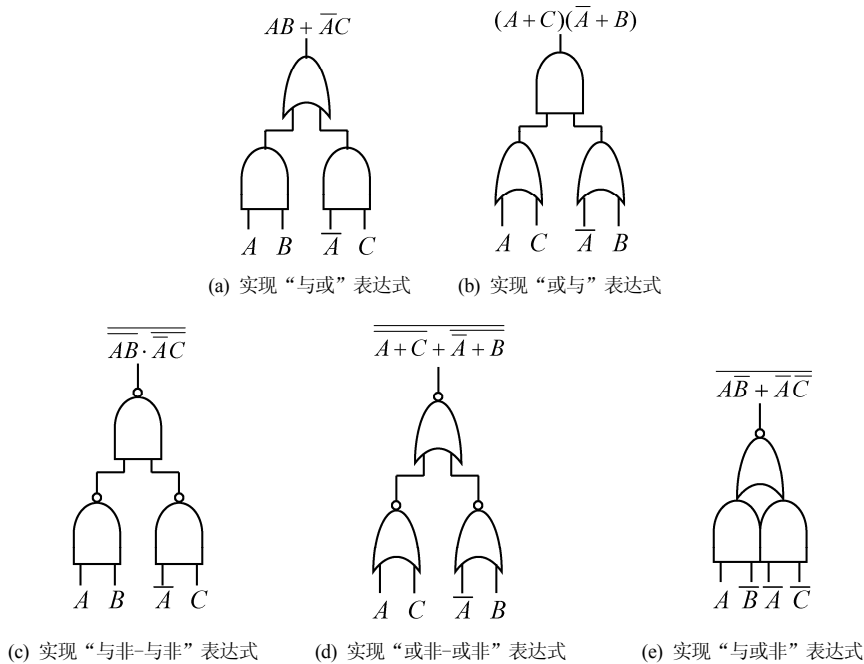


图2.10 用不同的门电路实现  $F = AB + \bar{A}C$  的逻辑电路

从图2.10可以看出，不同类型的逻辑函数表达式形式，其所对应的逻辑电路形式也不相同。

实际上，即便是同一种类型的逻辑函数表达式，其表达式的形式也不是唯一的。如上例中F的“与或”表达式就可以有多种形式：

$$\begin{aligned}
 F &= AB + \bar{A}C \\
 &= AB + \bar{A}C + BC \\
 &= ABC + A\bar{B}\bar{C} + \bar{A}BC + \bar{A}\bar{B}C \\
 &= \dots
 \end{aligned}$$

逻辑函数F的这几个“与或”表达式所对应的逻辑电路如图2.11所示。

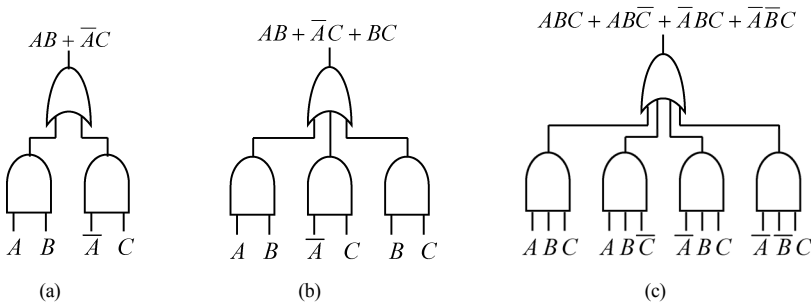


图 2.11 实现  $F = AB + \overline{A}C$  的三种“与或”逻辑电路

从图 2.10 和图 2.11 可以看出，同一个逻辑函数的不同表达式所对应的逻辑电路形式也各不相同，表达式的繁简程度直接决定了电路的繁简程度。在图 2.11 中，显然图(a)要比图(b)和图(c)都更简单。因此，逻辑函数的表达式越简单，实现该表达式的逻辑电路就越简单。显然，我们希望在实现同样的逻辑功能的前提下，逻辑电路越简单越好。这是因为，电路简单就意味着实现该电路所用的元器件少；而所用元器件少就意味着成本的降低和故障概率的减小及电路可靠性的提高。所以，研究如何将某种形式的逻辑函数表达式化成最简单形式的问题就变得十分有意义了。但是，对于不同类型的表达式来说，其最简单的“标准”实际上是不一样的。下面所讲的化简方法，主要是针对如何将一个“与或”表达式化为最简“与或”表达式，之所以这样做，是因为：①任何一个逻辑函数表达式都能展开成一个“与或”表达式；②从一个最简“与或”表达式，可以很容易地得到“与非-与非”、“与或非”等形式的表达式；③只要掌握了“与或”表达式的化简方法，利用对偶式，就不难化简“或与”表达式。

那么，什么叫做“最简”的“与或”表达式呢？换句话说，最简“与或”表达式的“标准”又是什么呢？最简“与或”表达式应该满足如下两个条件：首先，表达式中乘积项（“与”项）的个数应该是最少的；其次，在满足上述条件的前提下，要求每一个乘积项中所含的变量个数最少。不难理解最简“与或”表达式的这两条“标准”。因为，乘积项的个数最少，就意味着电路中所用到的“与”门个数最少、所用“或”门的输入端子个数最少（“或”门的规模最小）；而每个乘积项中所含的变量个数最少，就意味着每个“与”门所含输入端子个数最少（“与”门的规模最小）。所以按照这个“标准”实现的电路就是最简单的。

在以后的化简过程中，我们假定原变量（如  $A, B, C \dots$ ）和反变量（如  $\bar{A}, \bar{B}, \bar{C} \dots$ ）都已经存在。例如：

$$\begin{aligned} F &= A\bar{C} + B\bar{C} + \bar{A}\bar{B} + \bar{A}\bar{C} \\ &= A\bar{C} + \bar{A}\bar{B}\bar{C} + \bar{A}\bar{C} \\ &\equiv A\bar{C} + B\bar{C} + \bar{A}\bar{C} \end{aligned}$$

上述函数  $F$  的三个表达式中，第 3 式最简单，因为第 1 式比它多了一个乘积项；而第 2 式虽然也是由三个乘积项所组成，但其第二项却是由三个因子所组成的。

化简逻辑函数的方法很多，常用的如下。

① 代数化简法：利用逻辑代数的基本定律和基本定理对逻辑函数的表达式进行代数变换，以求得到最简的形式。该方法适用于任何应用场合，但它的规律性不强，需要熟练地运用逻辑代数的运算技巧，比较难掌握。

② 卡诺图化简法：这是一种利用图形化简逻辑函数的方法。该方法简单、直观、容易掌握，但只适用于化简含变量个数较少（一般不超过 5 个）的逻辑函数的场合。

③ 系统化简法：也叫做 Q-M 法或列表法。与前两种方法相比较，该方法的最大优点是它的算法步骤非常规范，规律性很强，基本上不依赖于人的观察力，适合于化简含变量数较多的逻辑函数。对于多输出函数的情形和非完全描述逻辑函数的情形，尤其能显示出它的优点。但是该方法的推演步骤烦琐，不适合于人工推算，倒是非常适合于用计算机来求解。本章最后的 2.9 节对 Q-M 法进行了介绍，作为附加阅读部分，供有兴趣的读者阅读。

## 2.5.2 代数化简法

如上所述，代数化简法的实质就是反复运用逻辑代数的基本定律和基本定理去消除原逻辑表达式中多余的项和因子，以求得最简的逻辑表达式形式。

### 1. “与或”表达式的化简

“与或”表达式是逻辑函数中常见的形式。化简“与或”表达式的最终目标就是要得到最简“与或”式。按照最简“与或”式的标准——“与项”最少、每个“与项”所含的变量个数最少，常用以下几种方法对“与或”表达式进行化简。

#### (1) 并项

利用“合并定理” $AB + A\bar{B} = A$  和“互补律” $A + \bar{A} = 1$ ，将两项合并为一项，同时消去一个“因子”（变量）。

例如：

$$\begin{aligned}
 F_1 &= A\overline{BCD} + A\bar{B}CD \\
 &= AD(\overline{BC} + \bar{B}C) \\
 &= AD \\
 F_2 &= ABC + A\bar{B}C + A\bar{B}\bar{C} + AB\bar{C} \\
 &= A(BC + \bar{B}\bar{C}) + A(\bar{B}C + B\bar{C}) \\
 &= A(\overline{B \oplus C}) + A(B \oplus C) \\
 &= A[(\overline{B \oplus C}) + (B \oplus C)] \\
 &= A \\
 F_3 &= A\bar{C} + ABD + \bar{A}\bar{C} + \bar{A}BD \\
 &= A(\bar{C} + BD) + \bar{A}(\bar{C} + BD) \\
 &= (A + \bar{A})(\bar{C} + BD) \\
 &= \bar{C} + BD \\
 F_4 &= A\bar{B}\bar{C} + \bar{A}\bar{C} + B\bar{C} \\
 &= A\bar{B}\bar{C} + (\bar{A} + B)\bar{C} \\
 &= A\bar{B}\bar{C} + \overline{A\bar{B}}\bar{C} \\
 &= (A\bar{B} + \overline{A\bar{B}})\bar{C} \\
 &= \bar{C}
 \end{aligned}$$

#### (2) 消项

利用“吸收定理” $A + AB = A$  和“添加项定理” $AB + \bar{A}C + BC = AB + \bar{A}C$ ，消去多余的项。

例如：

$$\begin{aligned}
F_1 &= \bar{B} + A\bar{B}D \\
&= \bar{B} \\
F_2 &= \bar{A}B + \bar{A}BCD(E+F) \\
&= \bar{A}B \\
F_3 &= B + \overline{\bar{B}\bar{C}\bar{D}}(A + \bar{E}D) + CD \\
&= (B + CD) + (B + CD)(A + \bar{E}D) \\
&= B + CD \\
F_4 &= \bar{A}C\bar{D} + (\bar{C} + D)E + \bar{A}DE \\
&= \bar{A}C\bar{D} + \overline{C\bar{D}}E + \bar{A}DE \\
&= \bar{A}C\bar{D} + \overline{C\bar{D}}E \\
&= \bar{A}C\bar{D} + \bar{C}E + DE \\
F_5 &= ABC + A\bar{B}\bar{C} + \bar{B}C\bar{D} + B\bar{C}\bar{D} + A\bar{B}\bar{C}\bar{D} + A\bar{B}\bar{D}E \\
&= A(BC + \bar{B}\bar{C}) + (\bar{B}C + B\bar{C})\bar{D} + A\bar{B}\bar{D}(\bar{C} + E) \\
&= A(\overline{B \oplus C}) + (B \oplus C)\bar{D} + A\bar{D}[\bar{B}(\bar{C} + E)] \\
&= (\overline{B \oplus C})A + (B \oplus C)\bar{D}
\end{aligned}$$

### (3) 消元

利用“吸收定理”  $A + \bar{A}B = A + B$ ，消去多余的“因子”。

例如：

$$\begin{aligned}
F_1 &= \bar{B} + ABCD + \bar{D} \\
&= \bar{B} + ACD + \bar{D} \\
&= \bar{B} + AC + \bar{D} \\
F_2 &= AB + \bar{A}C + \bar{B}C \\
&= AB + (\bar{A} + \bar{B})C \\
&= AB + \overline{ABC} \\
&= AB + C \\
F_3 &= B + \overline{\bar{B}\bar{C}\bar{D}}(A + \bar{E}\bar{D}) + CD \\
&= (B + CD) + (\overline{B + CD})(A + \bar{E}\bar{D}) \\
&= B + CD + A + \bar{E}\bar{D} \\
F_4 &= C\bar{D} + \bar{C}E + DE + \bar{A}B\bar{E} \\
&= C\bar{D} + (\bar{C} + D)E + \bar{A}B\bar{E} \\
&= C\bar{D} + \overline{C\bar{D}}E + \bar{A}B\bar{E} \\
&= C\bar{D} + E + \bar{A}B\bar{E} \\
&= C\bar{D} + E + \bar{A}B
\end{aligned}$$

### (4) 配项

① 利用“互补律”  $A + \bar{A} = 1$ ，把它代入逻辑函数式中作为配项用，然后再消去更多的项。

例如：

$$\begin{aligned}
F_1 &= A\bar{B} + B\bar{C} + \bar{B}C + \bar{A}B \\
&= A\bar{B} + B\bar{C} + (A + \bar{A})\bar{B}C + \bar{A}B(C + \bar{C}) \\
&= A\bar{B} + B\bar{C} + A\bar{B}C + \bar{A}\bar{B}C + \bar{A}BC + \bar{A}\bar{B}\bar{C} \\
&= (A\bar{B} + A\bar{B}C) + (B\bar{C} + \bar{A}\bar{B}C) + (\bar{A}\bar{B}C + \bar{A}BC) \\
&= A\bar{B} + B\bar{C} + \bar{A}C
\end{aligned}$$

② 利用“重叠律”  $A+A=A$ ，在逻辑函数式中重复写一项，有时可以得到更简单的结果。

例如：

$$\begin{aligned}
F_2 &= \bar{A}\bar{B}C + A\bar{B}C + ABC \\
&= \bar{A}\bar{B}C + A\bar{B}C + ABC + A\bar{B}C \\
&= (\bar{A}\bar{B}C + A\bar{B}C) + (ABC + A\bar{B}C) \\
&= (\bar{A} + A)\bar{B}C + (B + \bar{B})AC \\
&= \bar{B}C + AC
\end{aligned}$$

③ 利用“添加项定理”  $AB + \bar{A}C + BC = AB + \bar{A}C$  和“重叠律”  $A+A=A$ ，在逻辑函数式中先添项、再消项，有时也能得到更简单的结果。例如上述的逻辑函数  $F_1$  就可以用这种方法化简，过程如下：

$$\begin{aligned}
F_1 &= A\bar{B} + B\bar{C} + \bar{B}C + \bar{A}B \\
&= A\bar{B} + B\bar{C} + A\bar{C} + \bar{B}C + \bar{A}B \quad (\text{用添加项定理，添 } A\bar{C}) \\
&= (A\bar{B} + A\bar{C} + \bar{B}C) + (B\bar{C} + \bar{A}B + A\bar{C}) \quad (\text{用重叠律，再添 } A\bar{C}) \\
&= A\bar{C} + \bar{B}C + \bar{A}B + A\bar{C} \quad (\text{用添加项定理，消去 } A\bar{B}、 B\bar{C}) \\
&= \bar{A}B + \bar{B}C + A\bar{C} \quad (\text{用重叠律，消去 } A\bar{C})
\end{aligned}$$

此处  $F_1$  的化简形式与上述①中  $F_1$  的化简形式不一样，但它们都是  $F_1$  的最简“与或”式，这可以用真值表加以证明。这也说明“与或”表达式的最简形式在某些情况下是不唯一的。

对于较复杂的逻辑函数，要综合灵活地运用多种化简方法，才能得到满意的结果。这需要在实践中不断地积累逻辑函数的化简技巧和经验。

**【例 2.7】** 求  $F = AD + A\bar{D} + AB + \bar{A}C + BD + ACEF + \bar{B}EF$  的最简“与或”式。

解：

$$\begin{aligned}
F &= AD + A\bar{D} + AB + \bar{A}C + BD + ACEF + \bar{B}EF \\
&= A(D + \bar{D}) + AB + \bar{A}C + BD + ACEF + \bar{B}EF \\
&= A + AB + \bar{A}C + BD + ACEF + \bar{B}EF \quad (\text{互补律，并项}) \\
&= A + \bar{A}C + BD + \bar{B}EF \quad (\text{吸收定理，消项}) \\
&= A + C + BD + \bar{B}EF \quad (\text{吸收定理，消元})
\end{aligned}$$

**【例 2.8】** 将下列逻辑函数化简为最简“与或”式。

$$F = AB + A\bar{C} + \bar{B}C + \bar{C}B + \bar{B}D + \bar{D}B + ADE(F + G)$$

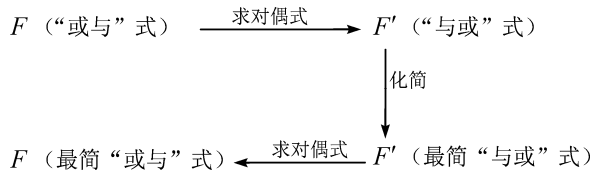
解：

$$\begin{aligned}
F &= AB + A\bar{C} + \bar{B}C + \bar{C}B + \bar{B}D + \bar{D}B + ADE(F + G) \\
&= A(B + \bar{C}) + \bar{B}C + \bar{C}B + \bar{B}D + \bar{D}B + ADE(F + G) \\
&= \bar{A}\bar{B}C + \bar{B}C + \bar{C}B + \bar{B}D + \bar{D}B + ADE(F + G) \quad (\text{摩根定理}) \\
&= A + \bar{B}C + \bar{C}B + \bar{B}D + \bar{D}B + ADE(F + G) \quad (\text{吸收定理，消元}) \\
&= A + \bar{B}C + \bar{B}\bar{C} + \bar{B}D + \bar{D}B \quad (\text{吸收定理，消项}) \\
&= A + \bar{B}C(D + \bar{D}) + \bar{B}\bar{C} + \bar{B}D + (C + \bar{C})\bar{B}\bar{D} \quad (\text{互补律，配项})
\end{aligned}$$

$$\begin{aligned}
 &= A + (\bar{B}CD + \bar{B}D) + (\bar{B}C\bar{D} + BC\bar{D}) + (B\bar{C} + B\bar{C}\bar{D}) \\
 &= A + \bar{B}D + C\bar{D} + B\bar{C}
 \end{aligned}$$

## 2. “或与”表达式的化简

“或与”表达式也是逻辑函数中较常见的形式。化简“或与”表达式的最终目标就是要得到最简“或与”式。最简“或与”式的标准是“或项”（“和”项）最少、每个“或项”所含的变量个数最少。可以利用逻辑函数的基本定律和基本定理（表 2.7 和表 2.10 中的公式，特别是带“'”的公式）对“或与”式进行化简。但是，利用对偶式进行化简会更方便。现示意如下：



**【例 2.9】** 求逻辑函数  $F = (A+C)(\bar{B}+C)(B+\bar{D})(C+\bar{D})(A+B)(A+\bar{C})(\bar{A}+B+C+\bar{D})(A+\bar{B}+D+E)$  的最简“或与”式。

解：(1) 求  $F'$ ：

$$F' = AC + \bar{B}C + B\bar{D} + C\bar{D} + AB + A\bar{C} + \bar{A}BC\bar{D} + A\bar{B}DE$$

(2) 简化  $F'$ ：

$$\begin{aligned}
 F' &= AC + \bar{B}C + B\bar{D} + C\bar{D} + AB + A\bar{C} + \bar{A}BC\bar{D} + A\bar{B}DE \\
 &= (AC + A\bar{C} + AB + A\bar{B}DE) + \bar{B}C + B\bar{D} + (C\bar{D} + \bar{A}BC\bar{D}) \\
 &= A(C + \bar{C} + B + \bar{B}DE) + \bar{B}C + B\bar{D} + C\bar{D}(1 + \bar{A}B) \\
 &= A(1 + B + \bar{B}DE) + \bar{B}C + B\bar{D} + C\bar{D} \\
 &= A + \bar{B}C + B\bar{D}
 \end{aligned}$$

(3) 求  $(F')'$ ，即  $F$ ：

$$\begin{aligned}
 F &= (F')' \\
 &= A(\bar{B} + C)(B + \bar{D})
 \end{aligned}$$

## 3. 其他类型逻辑表达式的化简

前面主要讨论了如何求最简“与或”式和最简“或与”式的问题。实现这两种形式的逻辑表达式需要用到“与”门和“或”门。然而，在实际应用当中，经常会用到“与非”门、“或非”门和“与或非”门，还会受到现有门电路类型的限制。所以，有必要探讨一下其他类型逻辑表达式的最简形式。

(1) 最简“与非-与非”表达式

“与非-与非”表达式的最简标准是：表达式的“非”号最少，（不计算单个变量上的“非”号，即假定原变量和反变量都已存在）；其次，每个“非”号下的变量个数最少（单个变量除外）。“非”号的个数少，就意味着实现它所需的“与非”门个数少；而每个“非”号下的变量个数少，就意味着“与非”门的输入端子个数少，“与非”门的规模小，电路简单。

可以用“求反加非”和反演律将已化简的最简“与或”式变换为最简“与非-与非”表达式。

**【例 2.10】** 用最少的“与非”门实现  $F = \bar{A}\bar{B} + \bar{A}BD + A\bar{B}\bar{D}$ 。

解：先求函数  $F$  的最简“与或”式：

$$\begin{aligned}
 F &= \bar{A}\bar{B} + \bar{A}BD + A\bar{B}\bar{D} \\
 &= \bar{A}(\bar{B} + BD) + A\bar{B}\bar{D} + \bar{B}\bar{D} \\
 &= \bar{A}(\bar{B} + D) + \bar{B}\bar{D} \\
 &= \bar{A}\bar{B} + \bar{A}D + \bar{B}\bar{D} \\
 &= \bar{A}D + \bar{B}\bar{D}
 \end{aligned}$$

再把  $F$  的最简“与或”式“求反加非”变换为最简“与非-与非”式：

$$\begin{aligned}
 F &= \bar{\bar{F}} = \overline{\overline{AD} + \overline{BD}} \\
 &= \overline{\overline{AD} \cdot \overline{BD}}
 \end{aligned}$$

用“与非”门实现函数  $F$  的逻辑图如图 2.12 所示。

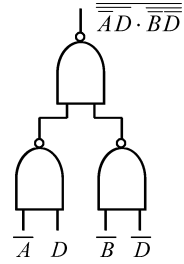


图 2.12 逻辑图

## (2) 最简“或非-或非”表达式

和“与非-与非”表达式相同，“或非-或非”表达式的最简标准是：表达式的“非”号最少，（不计算单个变量上的“非”号，即假定原变量和反变量都已存在）；每个“非”号下的变量个数最少（单个变量除外）。

同样可以用“求反加非”和反演律将已化简的最简“或与”式变换为最简“或非-或非”表达式。

**【例 2.11】** 用最少的“或非”门实现  $F = \bar{A}\bar{B} + \bar{A}BD + A\bar{B}\bar{D}$ 。

解：先利用反演规则求函数  $F$  的反函数  $\bar{F}$ ：

$$\bar{F} = (A+B)(A+\bar{B}+\bar{D})(\bar{A}+B+D)$$

再求函数  $\bar{F}$  的最简“与或”式：

$$\begin{aligned}
 \bar{F} &= (A+B)(A+\bar{B}+\bar{D})(\bar{A}+B+D) \\
 &= (A+B\bar{D})(\bar{A}+B+D) \\
 &= \bar{A}B\bar{D} + AB + B\bar{D} + AD \\
 &= B\bar{D} + AB + AD \\
 &= AD + B\bar{D}
 \end{aligned}$$

然后求函数  $F$  的最简“或与”式：

$$\begin{aligned}
 F &= \bar{\bar{F}} = \overline{AD + B\bar{D}} \\
 &= (\bar{A} + \bar{D})(\bar{B} + D)
 \end{aligned}$$

最后求函数  $F$  的最简“或非-或非”式：

$$\begin{aligned}
 F &= \overline{\overline{(\bar{A} + \bar{D})(\bar{B} + D)}} \\
 &= \overline{\overline{\bar{A} + \bar{D}}} + \overline{\overline{\bar{B} + D}}
 \end{aligned}$$

用“或非”门实现函数  $F$  的逻辑图如图 2.13 所示。

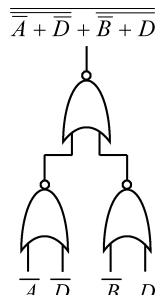


图 2.13 逻辑图

上述步骤中的前 3 步还可以换成另外一种方法来做，即：先求函数  $F$  的对偶式  $F'$ ；再求函数  $F'$  的最简“与或”式；然后求函数  $F'$  的对偶式  $(F')'$ ，即得到函数  $F$  的最简“或与”式；最后一步相同。

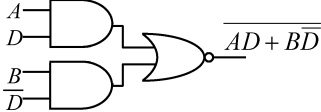
## (3) 最简“与或非”表达式

“与或非”表达式的最简标准和“与或”表达式的最简标准完全一样，即“与”项的个数最少，每个“与”项所含变量的个数最少。

对  $\bar{F}$  之最简“与或”式“求反”，即可得到  $F$  之最简“与或非”式。

**【例 2.12】** 求  $F = \bar{A}\bar{B} + \bar{A}BD + A\bar{B}\bar{D}$  的最简“与或非”式。

解：由例 2.11 知，函数  $F$  的反函数  $\bar{F}$  的最简“与或”式为：



所以函数  $F$  的最简“与或非”式为：

$$F = \bar{\bar{F}} = \overline{AD + BD}$$

图 2.14 逻辑图

用“与或非”门实现函数  $F$  的逻辑图如图 2.14 所示。

通过以上实例可以看出，可以很方便地由  $F$  或  $\bar{F}$  的最简“与或”式和最简“或与”式求出其他类型逻辑表达式的最简形式。现将常用的变换方法归纳如下：

$F$  的最简“与或”式  $\xrightarrow{\text{求反加非}} F$  的最简“与非-与非”式

$\bar{F}$  的最简“与或”式  $\xrightarrow{\text{反演}} F$  的最简“或与”式

$F$  的最简“或与”式  $\xrightarrow{\text{求反加非}} F$  的最简“或非-或非”式

$\bar{F}$  的最简“或与”式  $\xrightarrow{\text{反演}} F$  的最简“与或”式

$\bar{F}$  的最简“与或”式  $\xrightarrow{\text{加一非}} F$  的最简“与或非”式

在门电路类型受到限制的情况下，需要将函数简化、变换为相应的最简形式。若不限制门电路的类型，则以最简为原则。如果选择电路类型的余地较大，则有时采用混合表达式的形式更易得到最简的结构。因此，函数的简化与变换方法是灵活多样的。

从以上讨论可以看出，运用代数法化简逻辑函数时，对函数所含变量的个数没有限制。但是，代数化简所运用的方法灵活，规律性不明显，它强烈地依赖于演算者的观察能力。这种方法要求设计者熟练地掌握逻辑代数的基本定律和基本定理，并需积累较丰富的逻辑运算经验，而这是需要经过较多的运算练习以后才能够达到的。尽管如此，我们还是可以从上面的例题中总结归纳出一些规律性的东西。首先是要学会使用分配律  $A(B+C) = AB+AC$  及  $A+BC = (A+B)(A+C)$ ，特别是后者的形式对于我们来说比较陌生，所以就更要注意它；其次是要善于运用反演律，即摩根定理，很多“求反加非”的运算都要用到它；再者就是要注意使用合并定理  $AB+A\bar{B}=A$ ,  $(A+B)(A+\bar{B})=A$ 、吸收定理  $A+AB=A$ ,  $A+\bar{A}B=A+B$  及  $A(A+B)=A$ ,  $A(\bar{A}+B)=AB$ ；最后就是要注意观察，以便运用添加项定理  $AB+\bar{A}C+BC=AB+\bar{A}C$  及  $(A+B)(\bar{A}+C)(B+C)=(A+B)(\bar{A}+C)$ 。

与代数化简法相比，卡诺图化简法倒是一种更简单、实用和直观的方法。但是，当逻辑函数所含的变量个数较多时，卡诺图化简法将变得相当复杂。因此，只有在逻辑变量的个数较少时（一般不多于 5 个），才考虑使用卡诺图化简逻辑函数。

## 2.6 逻辑函数的卡诺图化简法

### 2.6.1 卡诺图

首先介绍一个概念——“逻辑相邻”的最小项。任意两个变量个数相同的最小项，如果组成它们的各变量（原变量或反变量）中，只有一个变量互补（互反）而其余变量均相同（同为原变量或反变量）时，就称这两个最小项是逻辑相邻的最小项，简称“逻辑相邻项”或“相邻项”。例如，两变量的

最小项  $AB$  和  $A\bar{B}$  是逻辑相邻的最小项；三变量的最小项  $A\bar{B}\bar{C}$  和  $\bar{A}\bar{B}\bar{C}$  以及四变量的最小项  $AB\bar{C}D$  和  $A\bar{B}\bar{C}\bar{D}$  也都分别是逻辑相邻的最小项。两个逻辑相邻的最小项相“或”，结果将产生一个“与”项并同时消掉一个变量。例如， $A\bar{B}\bar{C} + \bar{A}\bar{B}\bar{C} = \bar{B}\bar{C}$ 。很显然，这一特点对于化简逻辑函数是有帮助的。

### 1. 卡诺图的构成和特点

$n$  变量的逻辑函数有  $2^n$  个最小项。如果用一个小方块来代表一个最小项，再把所有这些代表各最小项的小方块按上述规则排列起来，即：把逻辑相邻的最小项所对应的小方块按几何位置相邻排列在一起，于是就得到了一个  $n$  变量最小项的方块图表示。这种最小项的方块图表示方法是由美国人卡诺（Karnaugh）首先提出的，所以称为卡诺图（Karnaugh Map），简称 K 图。

图 2.15 所示为三变量卡诺图。图中，把变量  $ABC$  分为两组。一组为  $A$  按 0、1 取值分为两行；另一组为  $BC$  按 00、01、11、10（格雷码）取值（为什么？）分为 4 列。于是每一个小格就代表一个最小项，这个最小项的编号就是该小格所在行、列所对应的变量编码取值组合后所对应的二进制数。例如图(c)的第 5 号小格，它的编号之所以是 5，是因为该小格所在的行对应变量  $A$  的取值为“1”；而其所在列对应变量  $BC$  的取值是“01”。如果最小项变量的排列顺序是“ $ABC$ ”的话，则变量取值排列顺序就是“101”，这个二进制数所对应的十进制数值就是“5”。所以，5 号小格就代表最小项“ $A\bar{B}C$ ”或“ $m_5$ ”，如图 2.15(a)、(b)中相应位置的小格所示。图(a)是按最小项形式表示的卡诺图；图(b)以  $m_i$  表示；图(c)只标出了最小项（或小格）的编号；而图(d)则是实际使用的三变量卡诺图，也称卡诺图框。

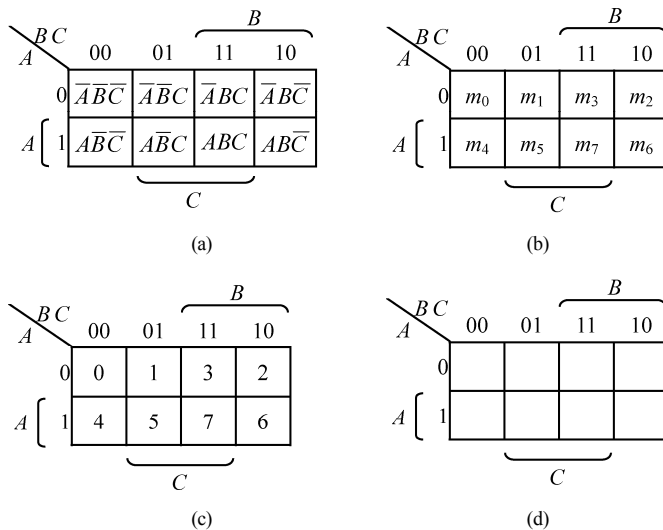


图 2.15 三变量卡诺图

图 2.16(a)、(b)和(c)所示分别为二、四和五变量的卡诺图。从图 2.16 可以看出卡诺图具有如下特点。

- $n$  变量的卡诺图有  $2^n$  个小方格，每个小方格代表一个最小项。
- 变量按行、列分成两组，每组变量的取值（编码）不是按自然二进制数码顺序排列，而是按格雷码（循环码）的顺序排列。这样做，是为了保证卡诺图中几何位置相邻的小方格所代表的最小项在逻辑上也是相邻的（只有一个变量互补，其余皆相同）。例如，图 2.16(b)中， $m_5$  和  $m_7$  小格在几何位置上是相邻的，而它们所代表的最小项  $m_5$  ( $\bar{A}\bar{B}\bar{C}D$ ) 和  $m_7$  ( $\bar{A}\bar{B}CD$ ) 在逻辑上也是相邻的。
- 位于卡诺图上任何一行或一列的两端上的小方格所代表的最小项在逻辑上是相邻的，即它们相互之间仅有一个变量互补。例如，图 2.16(b)中的  $m_0$  ( $\bar{A}\bar{B}\bar{C}\bar{D}$ ) 和  $m_2$  ( $\bar{A}\bar{B}C\bar{D}$ )；以及  $m_1$  ( $\bar{A}\bar{B}C\bar{D}$ )

和  $m_9$  ( $A\bar{B}\bar{C}D$ )。因此，在几何空间上应该把卡诺图看成是上下、左右“循环连接”的图形，如同一个封闭的球面。

- 对于变量个数大于 4 的情形，仅用二维几何空间的位置相邻性已经不能完全地表示最小项的逻辑相邻性。例如，在图 2.16(c)中，除了把卡诺图看成是上下、左右闭合的图形以外，还要把“ $A=1$ ”的卡诺图看成是重叠在“ $A=0$ ”的卡诺图上，即  $m_0$  与  $m_{16}$ 、 $m_1$  与  $m_{17}$ 、 $m_3$  与  $m_{19}$ 、 $m_2$  与  $m_{18}$ 、 $\dots$ 、 $m_{10}$  与  $m_{26}$  也都是逻辑相邻的。

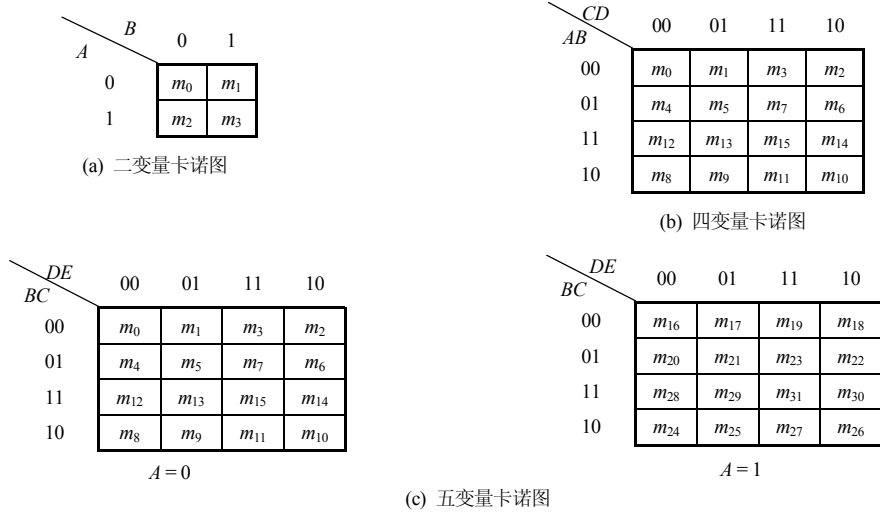


图 2.16 二、四、五变量卡诺图

图 2.15 和图 2.16 是卡诺图较常见的形式。实际上，对最小项的变量有多种划分行、列的方法，与之相对应的卡诺图的画法也有多种。图 2.17 所示为三变量卡诺图的各种画法。这些卡诺图的表现形式虽然不同，但是其本质是一样的。另外还要特别注意的是，**最小项中变量的摆放顺序不同，则同样的卡诺图中小方格所代表最小项的编号也不相同**，如图 2.17(f)和(g)所示。

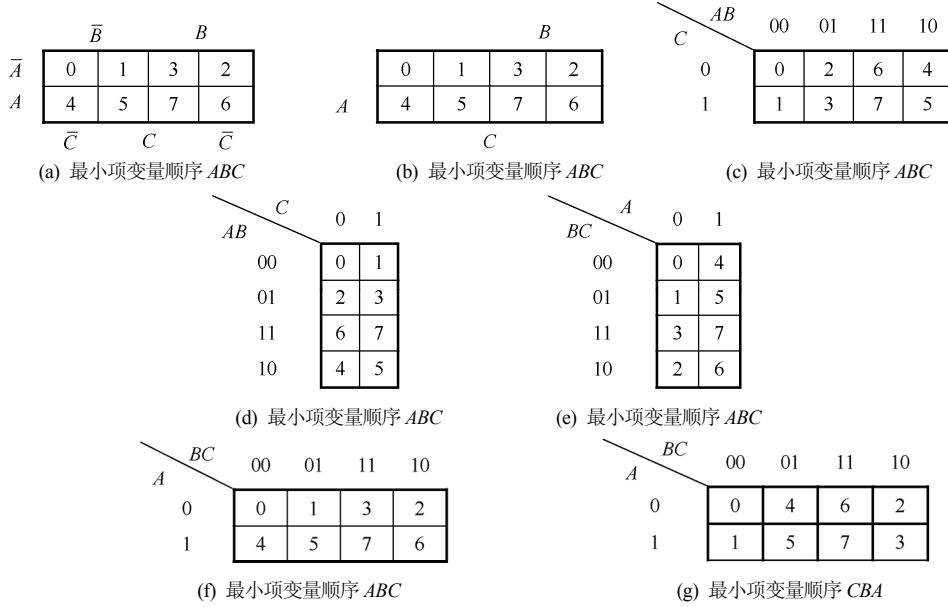


图 2.17 三变量卡诺图的各种画法

## 2. 逻辑函数的卡诺图表示

对于给定的逻辑函数，如何用卡诺图来表示它呢？首先，要根据逻辑函数的变量个数画出相应的卡诺图框。然后，再根据给定函数的表达式形式（逻辑表达式的各种形式或真值表）来填写卡诺图框（往卡诺图上的小方格里填写“1”或“0”）。下面分几种情况来讨论。

(1) 逻辑函数为最小项之和式

如果给定的逻辑函数是最小项之和的形式，则在卡诺图中，将表达式中所有最小项所对应的小方格里都填写“1”，而其余的小方格里都填写“0”。换句话说，任何一个逻辑函数都等于其卡诺图上填“1”的那些小方格所对应的最小项之和。例如：已知

$$F = \bar{A}\bar{B}\bar{C} + \bar{A}B\bar{C} + A\bar{B}C + ABC = \sum m(0, 2, 5, 7)$$

该函数的卡诺图如图 2.18(a)所示。图 2.18(b)和(c)是图 2.18(a)的简化表示，图(b)是以空格表示“0”；而图(c)则是以最小项的编号表示“1”。

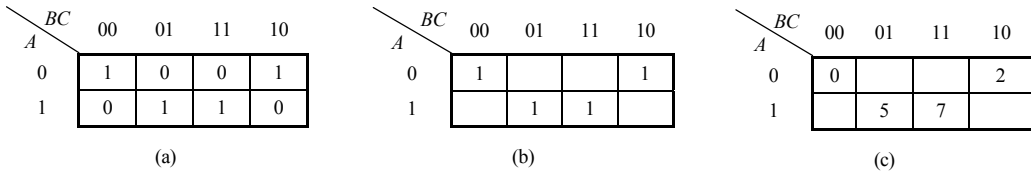


图 2.18 填写逻辑函数  $F$  的卡诺图的几种形式

(2) 逻辑函数为最大项之积式

如前所述，一个逻辑函数的最大项之积式与它的最小项之和式的关系是最大项与最小项的编号互补。因此，可以将函数的最大项之积式先化成最小项之和式，然后再按最小项之和的形式来填写卡诺图。

但是，也可以直接按函数的最大项之积式来填写卡诺图。由函数的最大项之积式填写卡诺图时，应将卡诺图上编号与表达式中最大项编号相同的小方格里都填写“0”，而其余的小方格里都填写“1”（为什么？）。换句话说，任何一个逻辑函数都等于编号与其卡诺图上填“0”的那些小方格的编号相同的最大项之积。例如：已知函数为

$$G = (A + B + \bar{C})(A + \bar{B} + \bar{C})(\bar{A} + B + C)(\bar{A} + \bar{B} + C) = \prod M(1, 3, 4, 6)$$

则函数  $G$  的卡诺图如图 2.19 所示。观察一下函数  $G$  的表达式和上面函数  $F$  的表达式，可以发现它们实际上是同一个逻辑函数。所以，图 2.19 所示的卡诺图与图 2.18(a)所示的卡诺图完全一样。

图 2.20(a)、(b) 分别表示了三变量最小项  $ABC$  ( $m_7$ ) 和最大项  $\bar{A} + \bar{B} + \bar{C}$  ( $M_7$ ) 的卡诺图。由图看出，相对于填“1”来讲， $m_7$  只占

了编号为 7 的一个小格；而  $M_7$  却占据了除 7 号小格以外的所有小方格。这就是最小项和最大项名称的由来。该图也证明了最小项和最大项的互补关系，即  $m_i^n$  和  $M_i^n$  互为反函数。

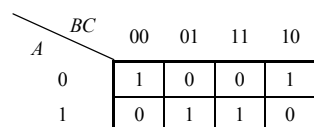


图 2.19 函数  $G$  的卡诺图



(a)  $m_7$  的卡诺图

(b)  $M_7$  的卡诺图

图 2.20  $m_7$  和  $M_7$  的卡诺图

### (3) 逻辑函数为真值表的形式

我们知道,一个逻辑函数的真值表与它的最小项之和式及最大项之积式是一一对应的。因此,当逻辑函数是以真值表的形式给出时,可以按上述由最小项之和式或最大项之积式填写卡诺图的方法来填写卡诺图。

当然也可以直接根据真值表来填写卡诺图,具体做法是:若卡诺图上的某个小方格所代表的最小项,在真值表里所对应的函数  $F$  取值为“1”,则该小方格里填“1”;否则就填“0”。例如:表 2.20 所示为某逻辑函数  $F$  的真值表,而与该函数相对应的卡诺图则如图 2.21 所示。对照二者的表现形式,可以发现,卡诺图实际上是真值表的一种特殊形式。因此,有时也称卡诺图为**真值图**。

表 2.20 函数  $F$  的真值表

序号	$A$	$B$	$C$	$F$
0	0	0	0	1
1	0	0	1	0
2	0	1	0	1
3	0	1	1	0
4	1	0	0	0
5	1	0	1	1
6	1	1	0	1
7	1	1	1	1

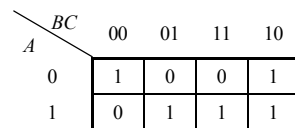


图 2.21 函数  $F$  的卡诺图

### (4) 逻辑函数为一般“与或”式

当给定的逻辑函数是一般“与或”式时,可以按照前面所讲的方法先将一般“与或”式化成标准的“与或”式,即最小项之和式;然后再按最小项之和式来填写卡诺图。

其实,也可以直接由一般“与或”式来填写卡诺图。具体的做法是:将“与或”式中所有“与项”在卡诺图中所覆盖的区域内的所有小方格都填“1”(已经填过“1”的小格外),其余都填“0”。例如, $F = \bar{A}C + BC$ ,参见图 2.22。“与项” $\bar{A}C$  覆盖的区域是  $A=0$  的一行和  $C=1$  的两列( $BC=01$  和  $BC=11$ )相交处,在该区域所包含的小格( $m_1, m_3$ )里应填“1”;而“与项” $BC$  所覆盖的区域是  $BC=11$  的一列,因此在该区域所包含的小格( $m_3, m_7$ )里应填“1”,但是  $m_3$  小格已经填了“1”,故只需在  $m_7$  小格里填“1”即可。其余小格均填“0”。函数  $F$  的卡诺图如图 2.22 所示。

### (5) 逻辑函数为一般“或与”式

若给定的逻辑函数是一般“或与”式,则可以先将一般“或与”式化成标准的“或与”式,即最大项之积;然后再按最大项之积式来填写卡诺图。

当然,也可以直接由一般“或与”式来填写卡诺图。其做法是:将“或与”式中所有“或项”在卡诺图中所覆盖的区域内的所有小方格都填“0”(已经填过“0”的小格外),其余都填“1”。图 2.23 是函数  $F = (\bar{A}+C)(\bar{B}+C)$  的卡诺图。其中,“或项” $\bar{A}+C$  覆盖的区域是  $A=1$  的一行和  $C=0$  的两列( $BC=00$  和  $BC=10$ )相交处,即卡诺图的 4 号、6 号小格( $m_4, m_6$ )里应填“0”;而“或项” $\bar{B}+C$  所覆盖的区域是  $BC=10$  的一列,因此卡诺图的 2 号、6 号小格( $m_2, m_6$ )里应填“0”,但是  $m_6$  小格已经填了“0”,故只需在  $m_2$  小格里填“0”即可。其余小格均填“1”。

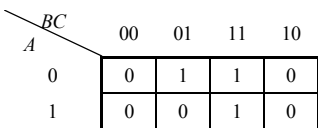


图 2.22  $F = \bar{A}C + BC$  的卡诺图

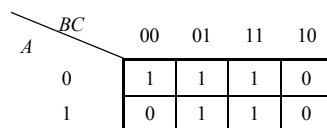


图 2.23  $F = (\bar{A}+C)(\bar{B}+C)$  的卡诺图

### (6) 逻辑函数为其他形式的逻辑表达式

如果函数是以其他的逻辑表达式的形式给出的话,则可先将这些表达式变换为“与或”式或者“或与”式(根据实际情况而定),然后再填写卡诺图。

**【例 2.13】** 用卡诺图表示函数  $F(A, B, C) = \bar{A}B \cdot \bar{A}\bar{C} + \bar{B}$ 。

解:

$$\begin{aligned} F(A, B, C) &= \bar{A}B \cdot \bar{A}\bar{C} + \bar{B} \\ &= \bar{A}B(\bar{A} + \bar{C}) + \bar{B} \\ &= \bar{A}B + \bar{A}B\bar{C} + \bar{B} \end{aligned}$$

根据这个“与或”式，可画出函数  $F$  的卡诺图如图 2.24 所示。

**【例 2.14】** 求函数  $F(A, B, C) = \bar{A}\bar{B} \cdot \bar{A}\bar{C} + \bar{C}$  的卡诺图。

解:

$$\begin{aligned} F(A, B, C) &= \bar{A}\bar{B} \cdot \bar{A}\bar{C} + \bar{C} \\ &= (A + B)(\bar{A} + \bar{C}) + \bar{C} \\ &= (A + B + \bar{C})(\bar{A} + \bar{C}) \end{aligned}$$

根据这个“或与”式，可画出函数  $F$  的卡诺图如图 2.25 所示。

		BC	00	01	11	10	
		A	0	1	1	1	1
		1	1	1	0	0	

图 2.24  $F = \bar{A}B \cdot \bar{A}\bar{C} + \bar{B}$  的卡诺图

		BC	00	01	11	10	
		A	0	1	0	1	1
		1	1	0	0	1	

图 2.25  $F = \bar{A}\bar{B} \cdot \bar{A}\bar{C} + \bar{C}$  的卡诺图

### 3. 卡诺图的性质与运算

卡诺图具有如下性质。

- ① 若  $F$  的卡诺图中所有的小格都填“1”，则  $F=1$ 。从图 2.26 可以看出，代表最小项的小格都填入了“1”，所以函数的最小项之和式为：

$$\begin{aligned} F &= \sum m(0, 1, 2, 3, 4, 5, 6, 7) \\ &= \sum_{i=0}^7 m_i^3 = 1 \quad (\text{最小项的性质}) \end{aligned}$$

- ② 若  $F$  的卡诺图中所有的小格都填“0”，则  $F=0$ 。这是因为，根据图 2.27，函数的最大项之积式为：

$$F = \prod M(0, 1, 2, 3, 4, 5, 6, 7) = \prod_{i=0}^7 M_i^3 = 0 \quad (\text{最大项的性质})$$

		BC	00	01	11	10	
		A	0	1	1	1	1
		1	1	1	1	1	

图 2.26 函数  $F=1$  的卡诺图

		BC	00	01	11	10	
		A	0	0	0	0	0
		1	0	0	0	0	

图 2.27 函数  $F=0$  的卡诺图

- ③ 卡诺图反演（非运算）。若将  $F$  的卡诺图中，所有小格内的“0”都换成“1”、“1”都换成“0”，则得到  $\bar{F}$  的卡诺图，如图 2.28 所示。

		BC	00	01	11	10	
		A	0	0	0	1	
		1	0	1	0	0	

(a) 函数  $F$  的卡诺图

		BC	00	01	11	10	
		A	0	1	1	1	0
		1	1	0	1	1	

(b) 补函数  $\bar{F}$  的卡诺图

图 2.28 函数  $F$  的卡诺图的反演

对于具有相同变量的卡诺图，也可以进行逻辑运算。

### (1) 卡诺图的相“乘”(“与”)运算

若函数  $F$  为某两个函数  $F_1$  和  $F_2$  相“与”而构成，则  $F$  的卡诺图等于  $F_1$  的卡诺图和  $F_2$  的卡诺图的“与”。即：若

$$F = F_1 \cdot F_2$$

则  $K(F) = K(F_1) \cdot K(F_2)$ 。其中“ $K(F)$ ”是表示  $F$  的卡诺图的意思。所谓两张卡诺图相“与”，是指这两张卡诺图中所有相应位置的小格内容(“0”或“1”)分别相“与”，如图 2.29 所示。

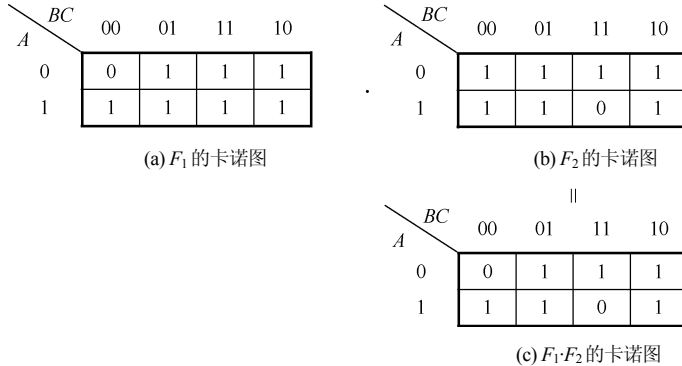


图 2.29 卡诺图的相“与”运算

### (2) 卡诺图的相“加”(“或”)运算

两个函数相“或”的卡诺图等于这两个函数各自的卡诺图相“或”。即：若

$$F = F_1 + F_2$$

则

$$K(F) = K(F_1) + K(F_2)$$

两个卡诺图相“或”，是指这两个卡诺图中所有相应位置的小格内容(“0”或“1”)分别相“或”，如图 2.30 所示。

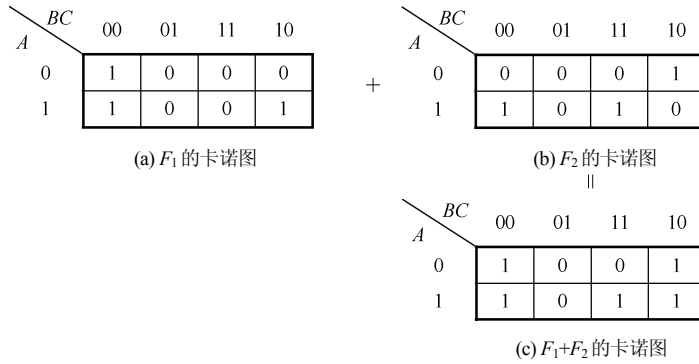


图 2.30 卡诺图的相“或”运算

### (3) 卡诺图的相“异或”运算

两个函数相“异或”，其卡诺图等于这两个函数各自的卡诺图相“异或”。即：若

$$F = F_1 \oplus F_2$$

则

$$K(F) = K(F_1) \oplus K(F_2)$$

两个卡诺图相“异或”，是指这两个卡诺图中所有相应位置的小格内容（“0”或“1”）分别相“异或”，如图2.31所示。

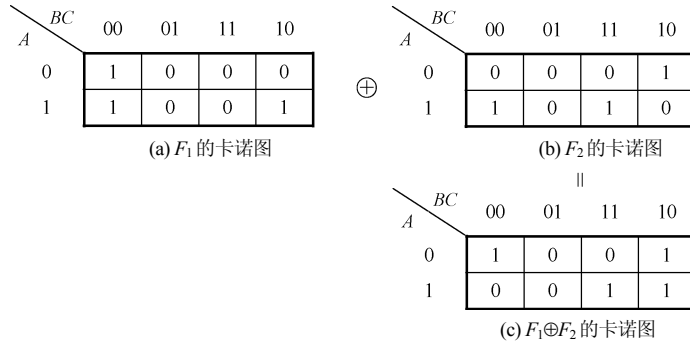


图2.31 卡诺图的相“异或”运算

### 【例2.15】求函数

$$F(A, B, C) = (\bar{A} + B + C)\overline{AB + BC + AC} + [(\bar{A} + B)(\bar{A} + C)(B + C) \oplus \bar{A}\bar{C}]$$

的卡诺图。

解：此函数的运算复杂，若用代数的方法展开将非常麻烦，所以可借助于卡诺图的运算来求解。为此，先分解函数。

$$\text{设: } F_1 = \bar{A} + B + C; \quad F_2 = AB + BC + AC$$

$$F_3 = (\bar{A} + B)(\bar{A} + C)(B + C); \quad F_4 = \bar{A}\bar{C}$$

$$\text{则 } F = F_1 \cdot \bar{F}_2 + [F_3 \oplus F_4]$$

卡诺图的运算过程如图2.32所示， $F$ 的卡诺图如图2.32(h)所示。

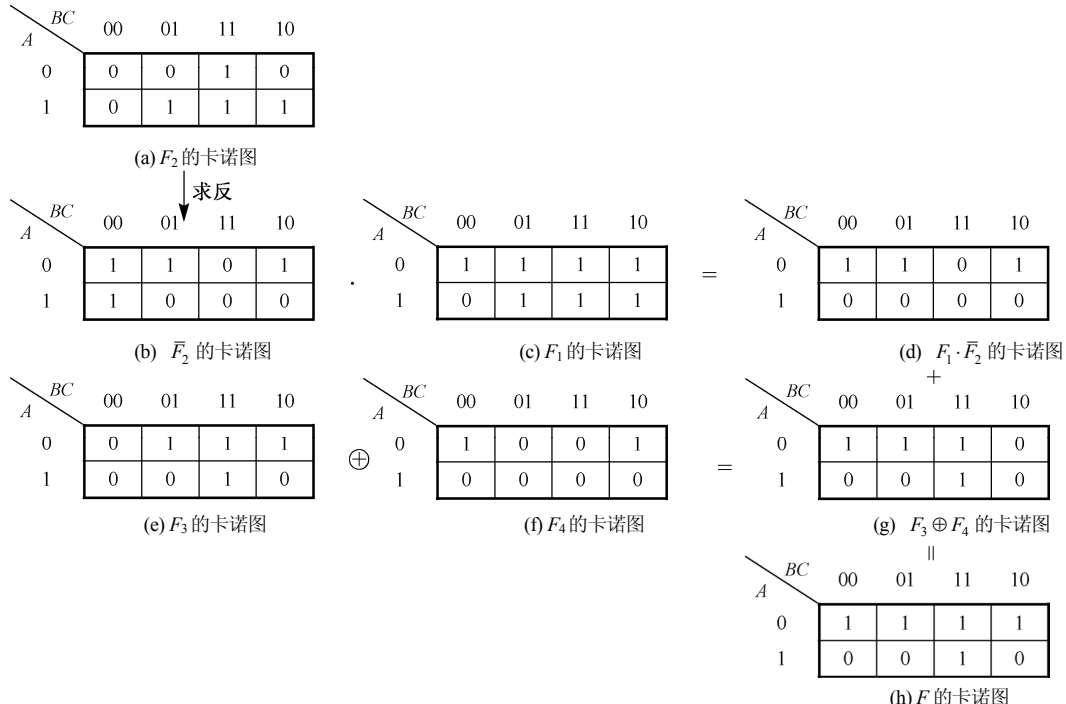


图2.32 卡诺图的运算

## 2.6.2 最小项的合并规律

如前所述, 把两个逻辑相邻的最小项合并(相“或”)在一起, 结果将产生一个“与项”, 并消去一个逻辑变量。例如:

$$\begin{aligned}\sum m^2(2,3) &= A\bar{B} + AB = A(\bar{B} + B) = A \\ \sum m^3(0,4) &= \bar{A}\bar{B}\bar{C} + A\bar{B}\bar{C} = (\bar{A} + A)\bar{B}\bar{C} = \bar{B}\bar{C} \\ \sum m^4(12,13) &= AB\bar{C}\bar{D} + AB\bar{C}D = AB\bar{C}(\bar{D} + D) = AB\bar{C}\end{aligned}$$

利用这一特点, 可以化简逻辑函数。而卡诺图恰恰是把“逻辑”相邻的最小项用“几何位置相邻”的小格直观地表示出来。这使得我们可以很容易地在卡诺图上找到逻辑相邻的最小项。卡诺图将“几何相邻”与“逻辑相邻”巧妙地结合起来, 这正是卡诺图的价值所在。于是, 我们可以在卡诺图上将两个相邻的小格“圈”在一起, 这就相当于把这两个小格所代表的“逻辑相邻”的最小项合并(相“或”)在一起, 从而产生一个“与项”并消去一个互补的变量。图 2.33 所示为三变量、四变量的卡诺图中两个相邻项圈组合并的例子, 图中的圈称为卡诺圈。

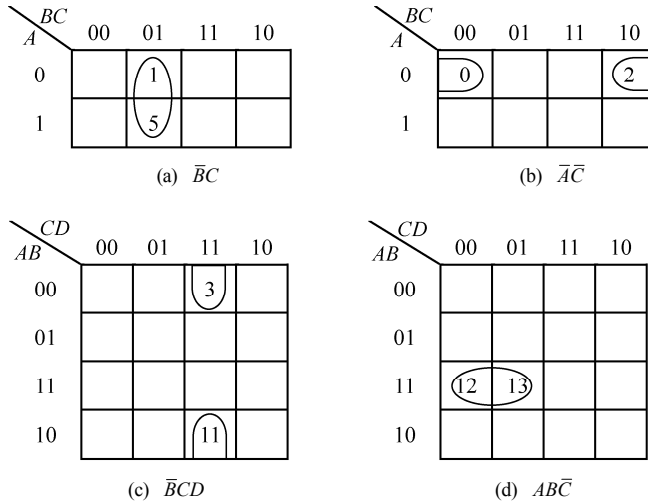


图 2.33 卡诺图上两个相邻项的合并

同样, 卡诺图上 4 个相邻的最小项可以合并为一个“与项”, 同时消去两个变量, 如图 2.34 所示, 现以图 2.34(c)为例, 证明如下。

$$\begin{aligned}\sum m(0,2,8,10) &= \bar{A}\bar{B}\bar{C}\bar{D} + \bar{A}\bar{B}C\bar{D} + A\bar{B}\bar{C}\bar{D} + A\bar{B}C\bar{D} \\ &= \bar{A}\bar{B}\bar{D}(\bar{C} + C) + A\bar{B}\bar{D}(\bar{C} + C) \\ &= (\bar{A} + A)\bar{B}\bar{D} \\ &= \bar{B}\bar{D}\end{aligned}$$

或者

$$\begin{aligned}\sum m(0,2,8,10) &= \bar{A}\bar{B}\bar{C}\bar{D} + \bar{A}\bar{B}C\bar{D} + A\bar{B}\bar{C}\bar{D} + A\bar{B}C\bar{D} \\ &= \bar{B}\bar{D}(\bar{A}\bar{C} + \bar{A}C + A\bar{C} + AC) \\ &= \bar{B}\bar{D} \quad \left( \sum_{i=0}^3 m_i^2 = 1 \right)\end{aligned}$$

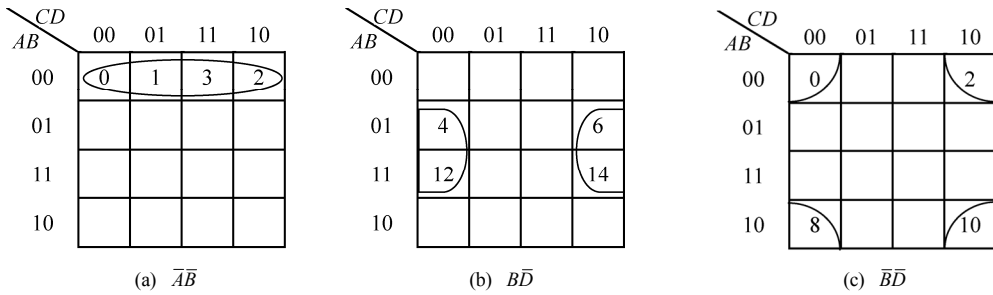


图 2.34 卡诺图上 4 个相邻项的合并

以此类推，卡诺图上 8 个相邻的最小项可以合并为一个“与项”，消去三个变量……图 2.35 是在 4 变量卡诺图中 8 和 16 个相邻的最小项圈组合并的例子。现以图 2.35(b)为例，证明如下。

$$\begin{aligned}
 \sum m(0, 2, 4, 6, 8, 10, 12, 14) &= \bar{A}\bar{B}\bar{C}\bar{D} + \bar{A}\bar{B}C\bar{D} + \bar{A}B\bar{C}\bar{D} + A\bar{B}\bar{C}\bar{D} \\
 &\quad + A\bar{B}\bar{C}\bar{D} + A\bar{B}C\bar{D} + AB\bar{C}\bar{D} + ABC\bar{D} \\
 &= \bar{A}\bar{B}\bar{D}(\bar{C} + C) + \bar{A}B\bar{D}(\bar{C} + C) + A\bar{B}\bar{D}(\bar{C} + C) + AB\bar{D}(\bar{C} + C) \\
 &= \bar{A}\bar{D}(\bar{B} + B) + A\bar{D}(\bar{B} + B) \\
 &= \bar{D}
 \end{aligned}$$

或者  $\sum m(0, 2, 4, 6, 8, 10, 12, 14) = \bar{A}\bar{B}\bar{C}\bar{D} + \bar{A}\bar{B}C\bar{D} + \bar{A}B\bar{C}\bar{D} + A\bar{B}\bar{C}\bar{D}$

$$\begin{aligned}
 &\quad + A\bar{B}\bar{C}\bar{D} + A\bar{B}C\bar{D} + AB\bar{C}\bar{D} + ABC\bar{D} \\
 &= \bar{D}(\bar{A}\bar{B}\bar{C} + \bar{A}\bar{B}C + \bar{A}B\bar{C} + A\bar{B}\bar{C} + A\bar{B}C + AB\bar{C} + ABC) \\
 &= \bar{D}
 \end{aligned}$$

$\left( \sum_{i=0}^7 m_i^3 = 1 \right)$

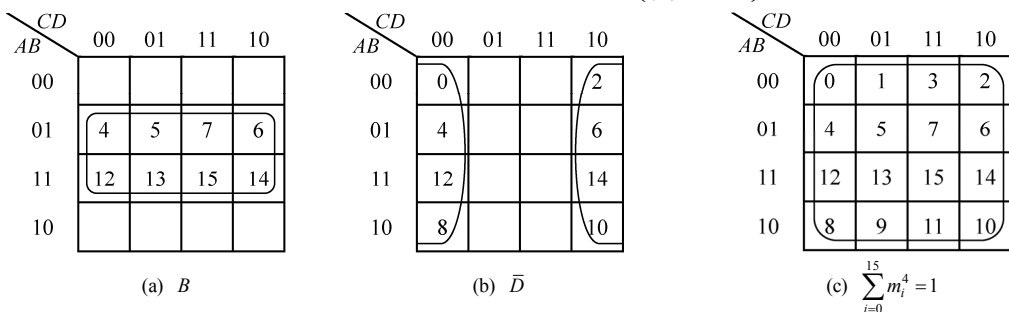


图 2.35 卡诺图上 8、16 个相邻项的合并

由以上所述可知，在卡诺图上合并相邻最小项的根据是：

$$A + \bar{A} = 1 \quad (\text{互补律})$$

$$\sum_{i=0}^{2^n-1} m_i^n = 1 \quad (\text{最小项性质})$$

最小项的合并规则如下。

- 对于  $n$  变量的逻辑函数，在其卡诺图中，只能按  $2^i$  个 ( $i=0, 1, 2, \dots, n$ ) 相邻的最小项（小格）圈组合并，合并后消去  $i$  个变量保留  $n-i$  个变量，这  $n-i$  个变量是这些相邻最小项的公共因子，它们构成一个“与项”。
- 这  $2^i$  个最小项必须是逻辑相邻。表现在卡诺图上，就是代表最小项的小格在几何位置上的相邻。

如前所述，不但要认为“紧挨着”的小格是“相邻”；而且位于行、列两端以及四角和两边，即完全呈轴对称的小格，也应视为“相邻”。

对于 5 变量以上的卡诺图，由于在二维空间上已经不能完全表示出最小项小格的几何位置相邻，所以相邻项的辨认变得困难起来，而且随着变量个数的增加，这种困难也随之加大。于是，“在卡诺图上容易识别相邻项”的优点没有了，卡诺图失去了存在的必要性。这也就是为什么卡诺图只用于变量个数少于 5 的函数情形的原因。图 2.36 所示为 5 变量卡诺图合并相邻项的例子。该卡诺图是由  $A = 0$  和  $A = 1$  两个 4 变量卡诺图所组成的，在这两张图的内部，相邻项的关系同 4 变量卡诺图一样。但是，要将这两张图想象成是上下“摞”起来的，所以在上下两张图的相应位置上的小格也是“相邻”的。因此，图中同一个字母（字母下标代表最小项的编号）所代表的最小项均能合并成为一个“与项”。

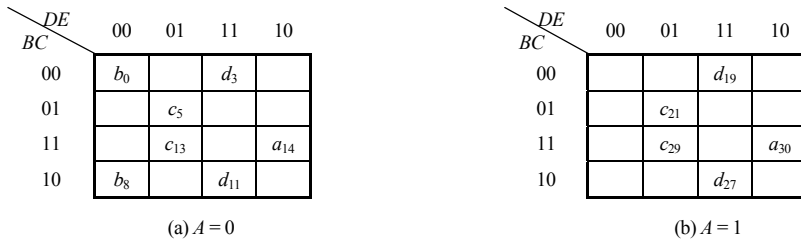


图 2.36 5 变量卡诺图上相邻项的合并

$$\begin{aligned} \sum a &= BCD\bar{E}, & \sum b &= \bar{A}\bar{C}\bar{D}\bar{E} \\ \sum c &= C\bar{D}E, & \sum d &= \bar{C}DE \end{aligned}$$

### 2.6.3 用卡诺图化简逻辑函数

#### 1. 求逻辑函数的最简“与或”式

在卡诺图上，把填“1”的小格（每个小格代表一个最小项）适当地进行圈组合并，可同时起到降低变量个数和“与项”（一个最小项就是一个特殊的“与项”）个数的作用，从而达到化简逻辑函数的目的。在卡诺图上圈“1”（简称圈“1”合并），可得到逻辑函数的最简“与或”式。利用卡诺图化简逻辑函数的一般步骤如下。

- ① 根据逻辑函数的变量个数画出相应的卡诺图框。
- ② 按给定的逻辑函数形式填写卡诺图框。
- ③ 对卡诺图上相邻的填“1”小格（最小项）进行圈组合并（不相邻的填“1”小格不能圈在一起），合并的原则是：

- 卡诺图上的每一个填“1”小格都要被卡诺圈所覆盖，也就是说，每一个“1”都至少被圈组合并一次；
- 在满足上一条件的情况下，卡诺图上卡诺圈的个数要尽量少；
- 为了做到上述两点，要求每个卡诺圈所包含的填“1”小格的个数要尽量多，但必须是  $2^i$  ( $i = 0, 1, 2, \dots, n$ ) 个；
- 每个卡诺圈都至少包含一个其他所有卡诺圈所不包含的填“1”小格（最小项）。换句话说，每个卡诺圈都必须至少有一个独属于它自己的填“1”小格。

这 4 点要求就是所谓的**最小覆盖原则**。

④ 按“圈”写“与或”式。每个卡诺圈对应一个“与”项，再把各“与”项相“或”，从而构成“与或”式。写“与”项时，应消去“圈”内取值发生变化的变量，保留取值相同的变量。取值为“1”的变量写成原变量；取值为“0”的变量写成反变量。

**【例 2.16】**用卡诺图化简如下逻辑函数

$$F(A,B,C,D) = \sum m(0,1,2,3,4,8,10,11,14,15)$$

解：根据函数的最小项之和式，画出  $F$  的卡诺图，并对相邻最小项进行圈组合并，如图 2.37 所示。图中每一个卡诺圈所对应的“与”项如下：

$$L_1 = \bar{A}\bar{B}$$

$$L_2 = AC$$

$$L_3 = \bar{B}\bar{D}$$

$$L_4 = \bar{A}\bar{C}\bar{D}$$

将各“与”项相“或”，得到  $F$  的最简“与或”式如下：

$$F(A,B,C,D) = \bar{A}\bar{B} + AC + \bar{B}\bar{D} + \bar{A}\bar{C}\bar{D}$$

		CD	00	01	11	10
		AB	00	01	11	10
	00		1	1	1	1
	01		1	0	0	0
	11		0	0	1	1
	10		1	1	1	1

图 2.37 利用卡诺图化简函数  $F(A,B,C,D)$

上述 4 个步骤中，对第 3 步——画卡诺圈（圈组合并最小项），还需要给出以下几点说明。

① 画卡诺圈时，要求“圈”的个数尽可能少。这是因为，按照最简“与或”式的标准之一——“与”项要尽可能少。而一个“圈”就对应一个“与”项，所以在满足所有填“1”小格都至少被圈一次的前提下，卡诺圈要尽量少，例如，图 2.38(a) 的圈法是不恰当的。因为它的逻辑表达式为  $F = \bar{A}\bar{B}\bar{C} + \bar{A}BD + \bar{AC}\bar{D} + BC$ ，有 4 个“与”项；而图 2.38(b) 的圈法就是合适的，因为它的逻辑表达式为  $F = \bar{A}\bar{B}\bar{D} + \bar{AC}\bar{D} + BC$ ，只有三个“与”项，相对于前者而言，它是最简形式。

		CD	00	01	11	10
		AB	00	01	11	10
	00		1	1	0	1
	01		0	1	1	1
	11		0	0	1	1
	10		0	0	0	0

(a) 圈法不恰当  $F = \bar{A}\bar{B}\bar{C} + \bar{A}BD + \bar{AC}\bar{D} + BC$

		CD	00	01	11	10
		AB	00	01	11	10
	00		1	1	0	1
	01		0	1	1	1
	11		0	0	1	1
	10		0	0	0	0

(b) 圈法正确  $F = \bar{A}\bar{B}\bar{D} + \bar{AC}\bar{D} + BC$

图 2.38 卡诺圈的画法①

② 在画卡诺圈时，要求被圈的小格尽可能多，即包围圈要尽可能大，这样就可以消去更多的变量，从而使所形成的“与项”含的变量数最少。这符合最简“与或”式的另一个标准——每个“与”项所含的变量数最少。逻辑表达式中的一个“与”项对应一个“与”门，含有  $n$  个变量的“与项”需要具有  $n$  个输入端子的“与”门来实现。一个“与项”含变量数越少，就意味着实现该“与项”的“与”门的输入端子越少，“与”门的规模就越小。所以图 2.39(a) 的圈法就是不恰当的，因为它的逻辑表达式为  $F = \bar{A} + ABC$ ，不是最简的形式；而图 2.39(b) 的圈法就是正确的，它的逻辑表达式为  $F = \bar{A} + BC$ ，是最简“与或”式。

③ 虽然要求卡诺圈中所包含的小格要尽可能多，但是要注意，卡诺圈中所围小格的个数必须符合  $2^i$  的形式。而且只有相邻的小格（相邻项）才能被圈组合并在一起。在辨认相邻项时要记住：**任何一个  $n$  变量的最小项都有  $n$  个相邻项**（为什么？）。所以要特别注意位于两端、四角、两边那些“遥遥相应”的相邻项。

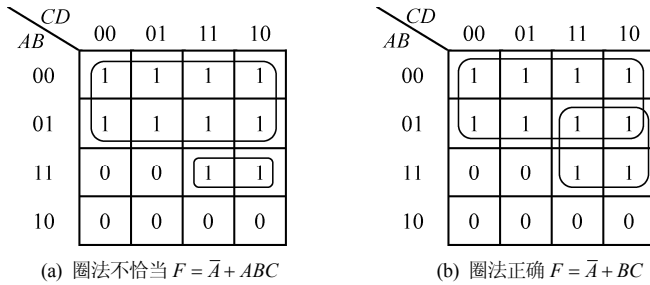


图 2.39 卡诺圈的画法②

④ 圈组合并的顺序一般是“先多后少”，即先圈数量较多的相邻项，再圈数量较少的相邻项。对于 4 变量的卡诺图来说，先圈 16 个填“1”的小格；再圈 8 个填“1”的小格；依次再圈 4 个填“1”小格和两个填“1”小格；最后，把剩下的、孤立的填“1”小格单独圈起来，直至所有填“1”的小方格都被圈过为止。然后别忘了，还要考察所有的卡诺圈是否都包含至少一个独属于它自己的、未被其他卡诺圈所包含的填“1”小格。如果某个卡诺圈所包围的所有填“1”小格都被其他卡诺圈所包含，则这个卡诺圈是多余的。

### 【例 2.17】用卡诺图法化简 4 变量逻辑函数

$$F(A,B,C,D) = \sum m(0,3,4,5,6,7,9,12,14,15)$$

解：画出函数的卡诺图并按最小覆盖原则圈上卡诺圈，如图 2.40 所示。将每个卡诺圈所对应的“与”项相“加”后，就得到函数  $F$  的最简“与或”式。需要注意的是，填有“1”的第 9 号小格没有相邻的最小项，所以它是一个孤立的最小项，只能把它单独圈起来，因此它所对应的“与”项就是一个特殊的“与”项——最小项。

$$F(A,B,C,D) = \bar{A}\bar{B} + BC + B\bar{D} + \bar{A}\bar{C}\bar{D} + \bar{A}CD + A\bar{B}\bar{C}\bar{D}$$

### 【例 2.18】化简函数

$$F(A,B,C,D,E) = \sum (0,2,3,4,5,7,8,10,11,13,16,18,19,20,27,29)$$

解：函数  $F$  的卡诺图及圈组的卡诺圈如图 2.41 所示。这是一个 5 变量卡诺图，图中颜色较浅的卡诺圈表示在  $A=0$  和  $A=1$  两张卡诺图相应位置上的相邻项。根据此卡诺图，可写出各卡诺圈所对应的“与”项如下：

$$\begin{aligned} \sum m(0,2,8,10) &= \bar{A}\bar{C}\bar{E} \\ \sum m(0,4,16,20) &= \bar{B}\bar{D}\bar{E} \\ \sum m(2,3,18,19) &= \bar{B}\bar{C}D \end{aligned}$$

		CD	00	01	11	10
		AB	1	0	1	0
00	01	1	1	1	1	1
01	11	1	1	1	1	1
11	10	1	0	1	1	1
10		0	1	0	0	0

		DE	00	01	11	10
		BC	0	1	3	2
00	01	1	1	1	1	1
01	11	4	5	7		
11	10	13				
10		8		11	10	

(a)  $A=0$ 

		DE	00	01	11	10
		BC	16		19	18
00	01	20				
01	11		29			
11	10			27		
10						

(b)  $A=1$ 

图 2.40 函数的卡诺图

图 2.41 函数的卡诺图

或  $\sum m(0, 2, 16, 18) = \bar{B}\bar{C}\bar{E}$  (图中未画卡诺圈)

$$\sum m(3, 11, 19, 27) = \bar{C}DE$$

$$\sum m(5, 7) = \bar{A}\bar{B}CE$$

$$\sum m(13, 29) = BC\bar{D}E$$

所以, 函数  $F$  的最简“与或”式为:

$$F(A, B, C, D, E) = \bar{A}\bar{C}\bar{E} + \bar{B}\bar{D}\bar{E} + \bar{B}\bar{C}\bar{D} + \bar{C}DE + \bar{A}\bar{B}CE + BC\bar{D}E$$

$$\text{或 } F(A, B, C, D, E) = \bar{A}\bar{C}\bar{E} + \bar{B}\bar{D}\bar{E} + \bar{B}\bar{C}\bar{E} + \bar{C}DE + \bar{A}\bar{B}CE + BC\bar{D}E$$

本例说明, 只有满足最小覆盖原则才能得到最简“与或”式, 但有时最简“与或”式不是唯一的(参见2.5.2节“(4)配项”)。

## 2. 求逻辑函数的最简“或与”式

用代数化简法求函数的最简“或与”式时, 是借助于对偶式求得最简“或与”式的。用卡诺图化简法求函数的最简“或与”式时有两种方法, 现分别介绍如下。

### (1) 利用函数 $F$ 的反函数求最简“或与”式

在函数  $F$  的卡诺图上圈“0”写“与”项, 即把“0”当成“1”来圈组合并。然后, 再把各“与”项相“或”从而得到  $\bar{F}$  的最简“与或”式。对  $\bar{F}$  进行反演运算, 就得到了函数  $F$  的最简“或与”式。

**【例2.19】** 求  $F(A, B, C, D) = \sum m(5, 6, 7, 9, 10, 11, 13, 14, 15)$  的最简“或与”式。

解: 先由给定函数  $F$ , 画出其卡诺图, 如图2.42所示。

再圈组合并“0”, 写出“与”项, 得到  $\bar{F}$  的最简“与或”式。

$$\bar{F} = \bar{A}\bar{B} + \bar{C}\bar{D}$$

最后对  $\bar{F}$  进行反演运算得到  $F$  的最简“或与”式。

$$F = (A + B)(C + D)$$

圈“0”写“与”项的做法, 实际上是把函数  $F$  的卡诺图当成了  $\bar{F}$  的卡诺图, 所得到的最简“与或”式, 实际上是  $\bar{F}$  的最简“与或”式。对  $\bar{F}$  求补, 就得到函数  $F$  的最简“或与”式。这种圈“0”的方法, 简称为**圈“0”合并**, 它与圈“1”方法的合并原则和步骤是类似的。

### (2) 直接圈“0”写“或”项得到函数 $F$ 的最简“或与”式

在函数  $F$  的卡诺图上圈“0”写“或”项, 再把各“或”项相“与”, 从而直接得到  $F$  的最简“或与”式。在写“或”项时要注意, 取值为“0”的变量, 对应原变量; 取值为“1”的变量, 对应反变量。

**【例2.20】** 求  $F(A, B, C, D) = (A + \bar{B} + C + D)(\bar{A} + B)(\bar{A} + \bar{C})\bar{C}$  的最简“或与”式。

解: 先画出函数  $F$  的卡诺图如图2.43所示。

再圈组合并“0”, 写出“或”项, 得到  $F$  的最简“或与”式。

$$F = (A + \bar{B} + D)(\bar{A} + B)\bar{C}$$

		CD	00	01	11	10
		AB	00	01	11	10
			0	0	0	0
			0	1	1	1
			0	1	1	1
			0	1	1	1

		CD	00	01	11	10
		AB	00	1	0	0
			0	1	0	0
			1	1	0	0
			0	0	0	0

图2.42 函数的卡诺图

图2.43 函数的卡诺图

### 2.6.4 多输出逻辑函数的卡诺图化简法

实际的组合逻辑电路往往不是仅有一个输出端，而是有多个输出端。与此相对应的是有一组多输出逻辑函数。对于多输出逻辑函数的化简，虽然是以单个输出函数的化简为基础，但它却有其特殊性。这就是，在化简多输出逻辑函数时要通盘考虑，利用各函数间的公共项，以达到整体化简的目的。

**【例 2.21】** 化简如下两个逻辑函数：

$$F_1 = \bar{A}BC + AB\bar{C} + ABC$$

$$F_2 = \bar{A}\bar{B}\bar{C} + \bar{A}B\bar{C} + \bar{A}BC$$

解：(1) 利用卡诺图分别化简  $F_1$  和  $F_2$  后得到：

$$F_1 = AB + BC$$

$$F_2 = \bar{A}\bar{C} + \bar{A}B$$

卡诺图如图 2.44(a)所示，相应的逻辑图如图 2.44(b)所示。

(2) 通盘考虑  $F_1$  和  $F_2$ ，利用它们的公共项  $\bar{A}BC$  整体化简  $F_1$  和  $F_2$  得到：

$$F'_1 = AB + \bar{A}BC$$

$$F'_2 = \bar{A}\bar{C} + \bar{A}BC$$

卡诺图如图 2.44(c)所示，相应的逻辑图如图 2.44(d)所示。

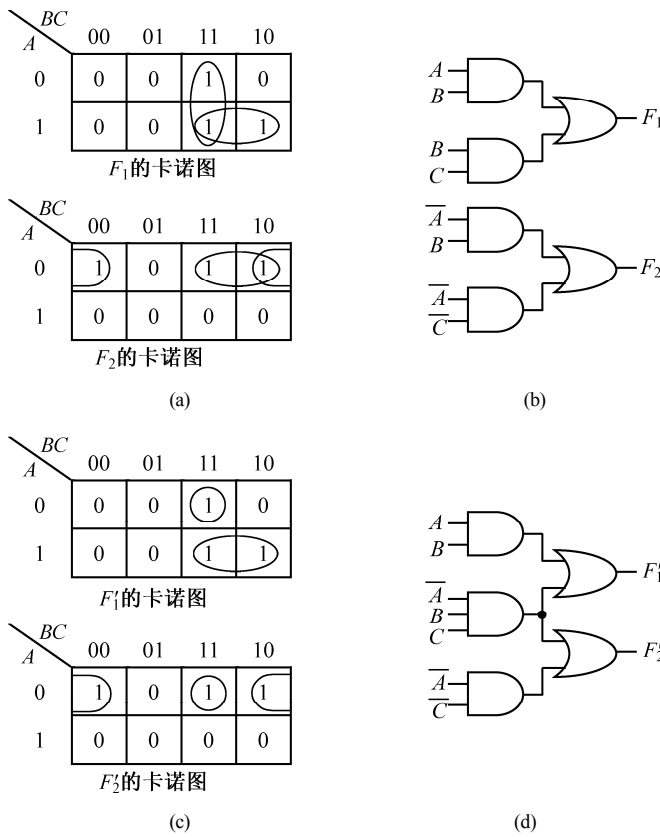


图 2.44 多输出函数的化简与实现

从图 2.44 可以看出, 如果分别单独化简逻辑函数  $F_1$  和  $F_2$ , 则从  $F_1$  和  $F_2$  各自的角度看, 它们确实是最简的。但是从整体上看, 它们共需要 6 个门电路。而利用公共项  $\bar{A}BC$  整体化简  $F_1$  和  $F_2$  所得到的  $F'_1$  和  $F'_2$ , 虽然就  $F'_1$  和  $F'_2$  各自来讲都不是最简的, 但是从两个函数的整体上看, 它们只需要 5 个门电路, 是最简的。当然, 在这 5 个门电路中有一个门的输入端是 3 个(而不是两个)。但这丝毫不影响整体化简多输出函数的意义。因为少一个“与”项就意味着少一个“与”门, 这对于利用可编程逻辑器件(PLD)来实现逻辑电路, 而可编程器件的硬件资源又相对较少(“与”阵列规模较小)的情况是有实际意义的。

## 2.7 非完全描述逻辑函数

### 2.7.1 非完全描述逻辑函数

以上所讨论的逻辑函数, 对输入变量的每一组取值都有确定的函数值  $F$ (“1”或“0”)与之对应, 所以称这类逻辑函数为“**完全描述逻辑函数**”。然而在设计数字电路的实践中, 经常会碰到这样一种情况: 即逻辑函数不是被完全定义的。换句话说, 这种逻辑函数包含了某些最小项而舍弃了另外一些最小项。反应在真值表上, 就是对于某些组变量的取值, 函数有确定的取值(“1”或“0”)与之对应; 而对于另外其他组变量的取值, 函数没有确定的取值与之对应, 也就是说, 函数取“1”、取“0”均可以。**这种函数值没有被完全定义的逻辑函数, 就叫做“非完全描述逻辑函数”;** 而那些使函数值为任意值(限于“1”和“0”的范围)的变量取值所对应的最小项, 就叫做“**任意项**”。因为这种最小项的出现, 对逻辑函数的取值无关紧要(取“1”、取“0”都可以), 所以又称这种最小项为“**无关项**”。常用小写希腊字母“ $\phi$ ”来表示无关的最小项, 有时也用“ $d_i$ ”而不是“ $m_i$ ”来代表“**无关最小项**”; 而与无关项相对应的函数值则用“ $\times$ ”或“ $d$ ”表示。例如, 有一个三变量的逻辑函数表达式如下:

$$F(A, B, C) = \sum m(0, 2, 7) + \sum \phi(3, 4)$$

表 2.21 函数  $F$  的真值表

序号	A	B	C	F
0	0	0	0	1
1	0	0	1	0
2	0	1	0	1
3	0	1	1	$\times$
4	1	0	0	$\times$
5	1	0	1	0
6	1	1	0	0
7	1	1	1	1

这个公式表明, 函数  $F$  在最小项  $\bar{A}\bar{B}\bar{C}$ 、 $\bar{A}B\bar{C}$  和  $ABC$  出现时的取值为“1”; 而在最小项  $\bar{A}BC$ 、 $A\bar{B}\bar{C}$  和  $A\bar{B}C$  出现时的取值为“0”。在最小项  $\bar{A}BC$  和  $A\bar{B}\bar{C}$  出现时, 函数  $F$  取任意值(“1”或“0”)。该函数的真值表如表 2.21 所示。从表中看出, 当自变量为“011”和“100”时, 函数值无明确规定, 所以这个函数就是“**非完全描述逻辑函数**”。

“**非完全描述逻辑函数**”也可以用最大项之积的形式表示。这时的无关项也要用相应的最大项形式来表示, 常用大写希腊字母“ $\Phi$ ”表示无关的最大项, 或者用“ $D_i$ ”而不是“ $M_i$ ”来代表“**无关最大项**”。但是要注意: **无关最小项的编号与无关最大项的编号是一致的**, 所以上面的“**非完全描述逻辑函数**”也可以写成如下的形式:

$$F(A, B, C) = \prod M(1, 5, 6) \cdot \prod \Phi(3, 4)$$

除了上述“**非完全描述逻辑函数**”逻辑表达式的写法以外, 还有其他几种写法, 现以表 2.21 的函数为例将它们罗列如下。

最小项之和的形式:

$$F(A, B, C) = \sum m(0, 2, 7) + d(3, 4)$$

或:

$$\begin{cases} F(A, B, C) = \sum M(0, 2, 7) \\ \bar{A}BC + A\bar{B}\bar{C} = 0 \end{cases}$$

最大项之积的形式：

$$F(A, B, C) = \prod M(1, 5, 6) \cdot D(3, 4)$$

或：

$$\begin{cases} F(A, B, C) = \prod M(1, 5, 6) \\ (A + \bar{B} + \bar{C})(\bar{A} + B + C) = 1 \end{cases}$$

式中，逻辑表达式  $\bar{A}BC + A\bar{B}\bar{C} = 0$  和  $(A + \bar{B} + \bar{C})(\bar{A} + B + C) = 1$  叫做“约束条件”，它们表示在输入变量取值中不能出现“011”和“100”，否则这两个约束条件“等”式就不能成立。因此，“无关项”有时也叫做“约束项”。

“无关项”的起因来自于两个方面。首先，对于某个具体的开关（逻辑）网络来讲，输入变量的某些取值组合在网络正常运转的情况下，也许永远也不会出现。这些“不会出现”的输入变量取值组合（无关项），在许多实际的应用当中完全是自然而然地产生的。例如，我们要设计一个“一位十进制数质数<sup>①</sup>探测器”。这个探测器的输入是4位二进制数  $(b_3 b_2 b_1 b_0)$  表示的十进制数——8421BCD码。当探测器的输入是质数时（用BCD码表示），输出是“1”；而当输入是非质数时，输出是“0”。假设输出用  $F$  表示。

根据对探测器的这样一种描述及数学上对质数的定义，可以列出“质数探测器”的真值表如表2.22所示。这个探测器在正常工作时，其输入端只可能出现最小项  $m_0 \sim m_9$ （对应十进制数0~9），而最小项  $m_{10} \sim m_{15}$  根本就不会出现。所以这后6个最小项就是无关项  $d_{10} \sim d_{15}$ 。根据真值表，可写出“质数探测器”的逻辑函数表达式如下：

$$F = \sum m(2, 3, 5, 7) + d(10, 11, 12, 13, 14, 15)$$

或

$$F = \prod M(0, 1, 4, 6, 8, 9) \cdot D(10, 11, 12, 13, 14, 15)$$

表2.22 “质数探测器”逻辑函数  $F$  的真值表

序号	$b_3 \ b_2 \ b_1 \ b_0$	$F$	序号	$b_3 \ b_2 \ b_1 \ b_0$	$F$
0	0 0 0 0	0	8	1 0 0 0	0
1	0 0 0 1	0	9	1 0 0 1	0
2	0 0 1 0	1	10	1 0 1 0	×
3	0 0 1 1	1	11	1 0 1 1	×
4	0 1 0 0	0	12	1 1 0 0	×
5	0 1 0 1	1	13	1 1 0 1	×
6	0 1 1 0	0	14	1 1 1 0	×
7	0 1 1 1	1	15	1 1 1 1	×

出现“无关项”的另一种场合就是，对给定的逻辑电路，其输入变量的所有取值组合（或最小项）均可能出现，但是系统只对某些输入变量组合所对应的输出有“0”或“1”的要求，而对其他的输入变量组合所对应的输出无要求。也就是说，此时逻辑电路输出“0”或“1”对系统的正常工作都不会产生影响。

## 2.7.2 利用无关项化简非完全描述逻辑函数

如上所述，“无关项”的出现是因为这些“无关最小项”在系统正常工作时要么根本就不会出现；要么即便出现了，它所产生的输出对系统的正常工作也无影响。既然如此，我们就可以根据实际需要

<sup>①</sup> 数学上定义大于1，且只能被1和自身整除的自然数叫做质数。

来决定这些“无关项”所对应的输出（函数值）是“1”还是“0”，以尽可能扩大逻辑相邻项的个数，从而达到进一步化简逻辑函数的目的。当采用代数化简法化简“与或”表达式时，可视需要加进或者舍弃某些“无关最小项”，**加进“无关项”的原则就是要使“逻辑相邻”的最小项个数（符合 $2^i$ 个）最大化，以使得原逻辑表达式得到进一步的简化。**

**【例 2.22】** 化简“一位十进制数质数探测器”的逻辑函数

$$F = \sum m(2, 3, 5, 7) + d(10, 11, 12, 13, 14, 15)。$$

解：(1) 先不考虑“无关最小项” $d_{10} \sim d_{15}$ ，只化简 $F = \sum m(2, 3, 5, 7)$ 。

$$\begin{aligned} F &= \sum m(2, 3, 5, 7) \\ &= \bar{b}_3 \bar{b}_2 b_1 \bar{b}_0 + \bar{b}_3 \bar{b}_2 b_1 b_0 + \bar{b}_3 b_2 \bar{b}_1 b_0 + \bar{b}_3 b_2 b_1 b_0 \\ &= \bar{b}_3 \bar{b}_2 b_1 (\bar{b}_0 + b_0) + \bar{b}_3 b_2 b_0 (\bar{b}_1 + b_1) \\ &= \bar{b}_3 \bar{b}_2 b_1 + \bar{b}_3 b_2 b_0 \end{aligned}$$

这是在不考虑无关项的情况下所得到的 $F$ 的最简“与或”式。

(2) 再考虑将“无关最小项” $d_{10}$ 、 $d_{11}$ 、 $d_{13}$ 和 $d_{15}$ 加入上式中。

$$\begin{aligned} F &= \sum m(2, 3, 5, 7) + d(10, 11, 13, 15) \\ &= \bar{b}_3 \bar{b}_2 b_1 + \bar{b}_3 b_2 b_0 + b_3 \bar{b}_2 b_1 \bar{b}_0 + b_3 \bar{b}_2 b_1 b_0 + b_3 b_2 \bar{b}_1 b_0 + b_3 b_2 b_1 b_0 \\ &= \bar{b}_2 b_1 (\bar{b}_3 + b_3 \bar{b}_0 + b_3 b_0) + b_2 b_0 (\bar{b}_3 + b_3 \bar{b}_1 + b_3 b_1) \\ &= \bar{b}_2 b_1 + b_2 b_0 \end{aligned}$$

比较这两次化简的结果，显然后者更简单。从此例可以看出，适当地利用无关项可以使“已化简的”逻辑表达式得到更进一步的简化。需要注意的是：所有加进“与或”表达式的“无关最小项”，在客观上就相当于确认它们所对应的逻辑函数值为“1”；而那些舍弃的“无关最小项”，在客观上就相当于确认它们所对应的逻辑函数值为“0”。但是，究竟加入哪些“无关最小项”才能使原逻辑表达式得到更进一步的简化？在使用代数化简法时，要回答这个问题不是一件容易的事情，因为我们很难凭借观察来看出哪些最小项是逻辑相邻的，尤其在最小项的个数较多时，更是如此。所以，我们很自然地想到了卡诺图。在逻辑变量个数不是很多时，用卡诺图可以很直观地看出逻辑相邻项，因此使用卡诺图化简“非完全描述逻辑函数”更方便。

**【例 2.23】** 用卡诺图化简“一位十进制数质数探测器”的逻辑函数。

$$F = \sum m(2, 3, 5, 7) + d(10, 11, 12, 13, 14, 15)。$$

解：根据给定的逻辑表达式画出函数的卡诺图，再利用“无关项”进行圈“1”合并，如图 2.45 所示。最后得到函数的最简“与或”式为：

$$F = b_2 b_0 + \bar{b}_2 b_1$$

关于用卡诺图化简非完全描述逻辑函数的问题，需要说明以下几点。

		$b_1 b_0$	00	01	11	10
		$b_3 b_2$	00	01	11	10
$b_3$	$b_2$	00	0	0	1	1
		01	0	1	1	0
11	10	x	x	x	x	x
		10	0	0	x	x

图 2.45 函数的卡诺图

- 与代数化简法类似，在圈“1”合并时，所有被“圈入”卡诺

圈的“无关最小项”，在客观上等于已被加入到函数的标准“与或”表达式中，这就相当于确认这些“无关最小项”所对应的函数值是“1”；而那些没有被“圈入”卡诺圈的“无关最小项”，在客观上等于已被舍弃，这也相当于确认这些“无关最小项”所对应的函数值是“0”。到底“圈入”哪些无关项或舍弃哪些无关项，完全是以能否尽可能化简逻辑函数为准则的。

- 利用无关项圈组合并时, 应使卡诺圈尽可能大, 即卡诺圈所包围的小格要尽可能多, 但是要符合 $2^i$ 个小格的原则和相邻原则。
- 永远不要使某个卡诺圈所围的小格都是“无关最小项”。因为这样做非但不能达到化简逻辑函数的目的, 反而平白无故地多增加了一个“与项”。

**【例 2.24】**求“一位十进制数质数探测器”逻辑函数  $F$  的补函数  $\bar{F}$  的最简“与或”式。

解: 画出函数的卡诺图, 再利用“无关项”进行圈“0”合并, 如图 2.46 所示。圈“0”写“与项”, 得到补函数  $\bar{F}$  的最简“与或”式为:

$$\bar{F} = b_2 \bar{b}_0 + \bar{b}_2 \bar{b}_1$$

需要注意的是: 虽然本例中的逻辑函数  $\bar{F}$  与例 2.23 中的逻辑函数  $F$  确实是互为补函数, 但是在一般情况下, 利用约束项化简非完全描述逻辑函数时, 所得到的  $F$  与  $\bar{F}$  的最简“与或”式不一定是互补函数(为什么?)。

**【例 2.25】**求逻辑函数  $F = \prod M(3,6,7,10,12) \cdot \prod \Phi(2,4,11,13)$  的最简“与或”式。

解: 画出函数的卡诺图, 再利用“无关项”进行圈“1”合并, 如图 2.47 所示。函数  $F$  的最简“与或”式为:

$$F = \bar{B}\bar{C} + \bar{C}D + ABC$$

或

$$F = \bar{B}\bar{C} + \bar{A}\bar{C} + ABC$$

		$b_3 b_2$	00	01	11	10
		$b_1 b_0$	00	01	11	10
00	00	0	0	1	1	1
01	01	0	1	1	0	0
11	11	x	x	x	x	x
10	10	0	0	x	x	x

图 2.46 函数的卡诺图

		$CD$	00	01	11	10
		$AB$	00	01	11	10
00	00	1	1	0	x	x
01	01	x	1	0	0	0
11	11	0	x	1	1	x
10	10	1	1	x	0	0

图 2.47 函数的卡诺图

这个带有无关项的逻辑函数, 有两种可能的最简“与或”式。产生这一现象的原因, 是由于对卡诺图中 5 号小格里的“1”施行两种不同的圈组合并所造成的(卡诺图中两个浅色卡诺圈)。本例与例 2.24 说明, “非完全描述逻辑函数”可能有多种不同的最简形式。对同一个“非完全描述逻辑函数”而言, 圈“1”所得到的  $F$  与圈“0”所得到的  $\bar{F}$  不一定是互补函数。这是因为, 不同的人对无关项的取舍可能不同。

## 2.8 逻辑函数的描述

### 2.8.1 逻辑函数的描述方法

我们在前面已经提到过多种描述逻辑函数的方法, 现将各种描述逻辑函数的方法总结一下, 首先看下面的例题。

**【例 2.26】**有三个人  $A$ 、 $B$ 、 $C$  对一项提案  $F$  进行表决。如果有两个或两个以上的人同意, 则提案通过; 否则, 提案不通过。试用逻辑函数表示提案通过的条件。

解: 以逻辑变量  $A$ 、 $B$ 、 $C$  代表三个人。如果某人同意提案, 则相应的变量取“1”; 否则取“0”。再用逻辑变量  $F$  代表提案是否通过, “1”代表通过; “0”表示不通过。

根据题目要求和上述对逻辑变量的规定，确定  $A$ 、 $B$ 、 $C$  为输入自变量， $F$  为输出变量（函数）。可用以下几种方式来描述逻辑函数  $F$ ，即  $F$  与  $A$ 、 $B$ 、 $C$  之间的逻辑关系。

**真值表** 反映  $F$  与  $A$ 、 $B$ 、 $C$  之间逻辑关系的真值表，如表 2.23 所示。

**卡诺图** 根据真值表，可填写出卡诺图，如图 2.48(a)所示。

**逻辑表达式** 根据真值表或卡诺图，可写出逻辑函数  $F$  的多种形式表达式如下：

$$\begin{aligned} F &= \sum m(3, 5, 6, 7) && \text{(最小项之和式)} \\ &= \prod M(0, 1, 2, 4) && \text{(最大项之积式)} \\ &= AB + AC + BC && \text{(最简“与或”式)} \\ &= (A+B)(A+C)(B+C) && \text{(最简“或与”式)} \\ &= \overline{\overline{AB} \cdot \overline{AC} \cdot \overline{BC}} && \text{(最简“与非-与非”式)} \end{aligned}$$

...

**逻辑图** 根据逻辑函数  $F$  的多种表达式，可画出实现这些表达式的多种逻辑图。现给出用“与非”门实现的逻辑图，如图 2.48(b)所示。

**时序图（波形图）** 时序图是一种表示信号电平随时间变化的波形图，所以有时也称为波形图，它实际上就是我们平常在示波器上所看到的图形。时序图的横坐标方向代表时间；纵坐标方向代表信号电平。在画时序图时，通常省略横、纵坐标不画。

把输入、输出逻辑变量看成是一种信号，用信号的“高”、“低”电平分别代表变量的取值“1”和“0”。这样，输出与输入变量之间的函数关系就可以用代表它们的输出与输入信号之间的同步波形图，即时序图来表示。图 2.48(c)所示为  $F$  与  $A$ 、 $B$ 、 $C$  之间的同步时序图。

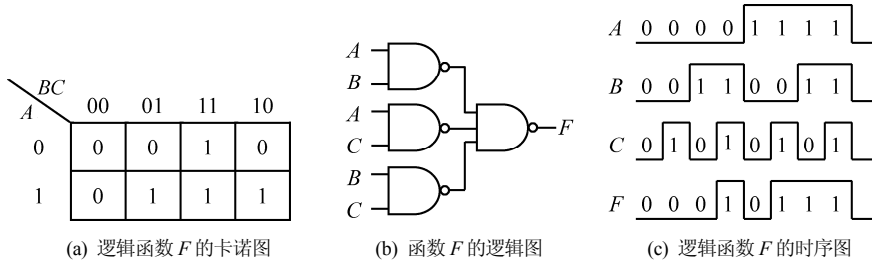


图 2.48 函数  $F$  的描述方法

根据以上的分析，可将描述逻辑函数的方法归纳如下。

### (1) 真值表

**真值表**是描述输出变量（函数）与输入变量之间的逻辑关系的表格。 $n$  个变量所组成的逻辑函数，其真值表有  $2^n$  行。输入变量取值按二进制数顺序排列，并以其等值的十进制数作为各行的行号。

真值表直观、明了、唯一，是描述逻辑函数的最基本、最有效的方法。它是将实际问题（用文字描述的逻辑问题）转化为逻辑表达式的桥梁。

### (2) 卡诺图

**卡诺图**是函数最小项方块图。它也是描述逻辑函数的一种方法。 $n$  变量逻辑函数的卡诺图有  $2^n$  个小方块（小格）。图中变量的取值按格雷码顺序排列，所以图中几何位置相邻的小格所代表的最小项在逻辑上也是相邻的。

卡诺图直观、形象，它使得辨认逻辑相邻项的工作变得容易，所以它是化简逻辑函数的有力工具。

表 2.23 函数  $F$  的真值表

序号	A	B	C	F
0	0	0	0	0
1	0	0	1	0
2	0	1	0	0
3	0	1	1	1
4	1	0	0	0
5	1	0	1	1
6	1	1	0	1
7	1	1	1	1

但随着变量个数的增多，卡诺图也越变越复杂，相邻项也就难以辨认，卡诺图失去了它的优势。所以，卡诺图只适用于 5 变量以下的逻辑函数化简。当逻辑变量较多时，可采用引入变量卡诺图（VEM）或 Q-M 法化简逻辑函数。

### (3) 逻辑表达式

**逻辑表达式是由一系列基本逻辑运算和复合逻辑运算所组成的布尔代数式。**同一个逻辑函数可以有多种逻辑表达式，但其最小项之和式和最大项之积式却是唯一的。

逻辑表达式简洁、概括、书写方便，它便于用公式进行运算和变换；它也是构造逻辑图的根据。

### (4) 逻辑图

逻辑图是由逻辑门和逻辑部件的符号所组成的电路图。它是工程设计和制造的最直接的依据。

### (5) 时序图

**时序图反映了输出与输入信号间随时间变化规律的相互关系。**它是信号的波形图，可借助示波器观测到。它是分析和调试逻辑电路的重要依据。

## 2.8.2 逻辑函数描述方法之间的转换

2.8.1 节总结归纳了描述逻辑函数的各种方法。它们虽然在形式上各不相同，但其本质都是一样的。这些方法从不同的角度对逻辑函数进行了描述，它们各有所长，并且彼此之间存在着内在的联系。应该熟悉这种内在的联系，掌握各种逻辑函数描述之间相互转换的方法。

图 2.49 所示的框图展示了真值表、卡诺图、逻辑表达式、逻辑图和时序图这 5 种逻辑函数描述方法之间的转换关系。图中，把逻辑表达式分成“最小项之和式、最大项之积式”与“一般逻辑表达式”两部分，目的是要突出这两种标准表达式的特殊性。

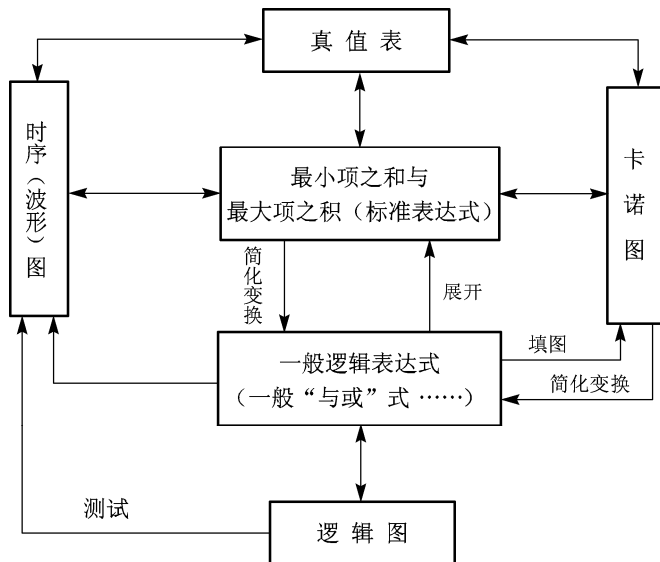


图 2.49 逻辑函数描述方法之间的转换

因为真值表、卡诺图和标准表达式这三者都是唯一的，所以它们之间具有一一对应的关系，可以很容易地从一种形式推出另外两种形式。一般逻辑表达式与逻辑图也是对应的，它们之间可以相互转换。如果对时序图中信号的电平（“高”和“低”）做逻辑（“1”和“0”）上的规定，则时序图与真值表和标准表达式也完全可以对应起来，且可以相互转换。

下面举几个逻辑函数描述方法转换的实例。

**【例 2.27】** 试求例 2.15 中函数  $F$  的真值表。

解：将例 2.15 中函数  $F$  的逻辑表达式重写如下：

$$F(A, B, C) = (\bar{A} + B + C)\overline{AB + BC + AC} + [(\bar{A} + B)(\bar{A} + C)(B + C) \oplus \bar{A}\bar{C}]$$

(1) 由表达式列真值表。因为函数  $F$  的表达式较复杂，难以直接列写其真值表，所以先将函数  $F$  分解为几个部分函数，列写出各部分函数的真值表，再导出总的真值表。在例 2.15 中已将  $F$  分解为 4 个部分函数，它们是：

$$F_1 = \bar{A} + B + C; \quad F_2 = AB + BC + AC$$

$$F_3 = (\bar{A} + B)(\bar{A} + C)(B + C); \quad F_4 = \bar{A}\bar{C}$$

所以

$$F = F_1 \cdot \bar{F}_2 + [F_3 \oplus F_4]$$

列写函数  $F$  的真值表的过程如表 2.24 所示。

(2) 先由逻辑表达式求函数  $F$  的卡诺图，再由卡诺图列真值表。在例 2.15 中已求出函数  $F$  的卡诺图，如图 2.32(h)所示。根据此卡诺图，可列出  $F$  的真值表，如表 2.25 所示。

表 2.24 函数  $F$  的真值表

序号	$A$	$B$	$C$	$F_1$	$F_2$	$F_3$	$F_4$	$F_1 \cdot \bar{F}_2$	$F_3 \oplus F_4$	$F$
0	0	0	0	1	0	0	1	1	1	1
1	0	0	1	1	0	1	0	1	1	1
2	0	1	0	1	0	1	1	1	0	1
3	0	1	1	1	1	0	0	0	1	1
4	1	0	0	0	0	0	0	0	0	0
5	1	0	1	1	1	0	0	0	0	0
6	1	1	0	1	1	0	0	0	0	0
7	1	1	1	1	1	1	0	0	1	1

表 2.25 函数  $F$  的真值表

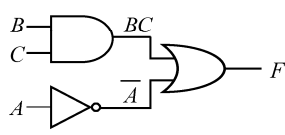
序号	$A$	$B$	$C$	$F$
0	0	0	0	1
1	0	0	1	1
2	0	1	0	1
3	0	1	1	1
4	1	0	0	0
5	1	0	1	0
6	1	1	0	0
7	1	1	1	1

**【例 2.28】** 函数  $F$  的逻辑图如图 2.50(a)所示，试写出  $F$  的表达式，并按图 2.50(b)所给定的输入波形 ( $A$ 、 $B$ 、 $C$ ) 画出相应的  $F$  输出波形。

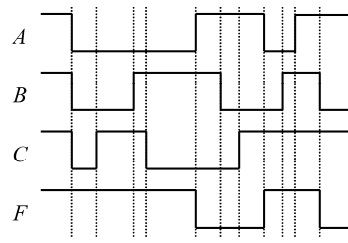
解：(1) 由逻辑图写出  $F$  的表达式如下：

$$F = \bar{A} + BC$$

(2) 根据表达式画出  $F$  的波形，如图 2.50(b)所示。由表达式知，只有当  $A=0$  或  $B=C=1$  时， $F=1$ ；其余情况下  $F=0$ 。即只有当  $A$  为低电平或  $B$  与  $C$  同时为高电平时， $F$  才为高电平，其余情况下  $F$  为低电平。



(a)



(b)

图 2.50 逻辑图和时序图

**【例 2.29】** 某电路的输入  $A$ 、 $B$ 、 $C$  和输出  $F$  的时序图如图 2.51 所示。试用真值表、卡诺图、最简项之和式和最简“或与”式及其所对应的逻辑图表示出该电路的逻辑功能。

解: (1) 假设时序图中信号的高电平代表逻辑“1”, 低电平代表逻辑“0”。于是, 输入变量  $A$ 、 $B$ 、 $C$  被二进制数所编码。可以看出,  $A$ 、 $B$ 、 $C$  有两组取值“011”和“110”未出现, 所以最小项  $\bar{A}BC$  和  $ABC$  应视为无关项。因此, 该时序图所对应的真值表如表 2.26 所示。

(2) 根据真值表可画出相应的卡诺图, 如图 2.52 所示。

(3) 根据真值表可写出描述该电路的最小项之和式:

$$F = \sum m(0, 2, 4, 5) + d(3, 6)$$

(4) 如图 2.52 所示, 在卡诺图上圈“0”写“或”项, 得到  $F$  的最简“或与”式:

$$F = (A + \bar{C})(\bar{A} + \bar{B})$$

(5) 根据最简“或与”式, 可画出其相应的逻辑图, 如图 2.53 所示。

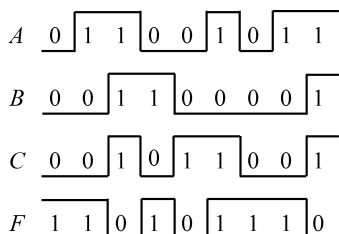


图 2.51 时序图

表 2.26 函数  $F$  的真值表

序号	$A$	$B$	$C$	$F$
0	0	0	0	1
1	0	0	1	0
2	0	1	0	1
3	0	1	1	x
4	1	0	0	1
5	1	0	1	1
6	1	1	0	x
7	1	1	1	0

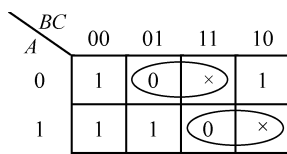


图 2.52 卡诺图

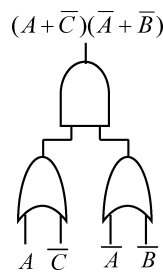


图 2.53 逻辑图

## \*2.9 逻辑函数的 Q-M 化简法

Q-M 化简法是对“奎茵-迈克鲁斯基(Quine-McCluskey)表格化简法”的一种简称, 该方法是一种表格式的化简布尔函数的方法。总体来说, Q-M 化简法较之卡诺图化简法而言有两大优点: 首先, 它是一种直接的、系统的生成最简逻辑函数表达式的方法。它不依赖于设计者对“逻辑相邻项”及最小覆盖原则的识别能力, 这一点与卡诺图化简法是完全不同的; 其次, 相对于卡诺图化简法只能处理不超过 5 个变量的布尔函数的限制而言, Q-M 化简法对布尔函数的变量个数不做限制, 是一种能处理具有大量逻辑变量的布尔函数化简问题的可行方案。一般情况下, Q-M 化简法是对被化简逻辑函数所包括的所有最小项, 执行一种所谓的“顺序线性搜索”(Ordered Linear Search), 以期找出全部“逻辑相邻项”的组合。

Q-M 化简法首先是从列有被化简逻辑函数所含全部  $n$  变量最小项的表格开始, 然后逐步导出全部  $n-1$  个变量的“蕴涵项”(Implicant); 再从这些  $n-1$  个变量的蕴涵项中导出全部  $n-2$  个变量的蕴涵项, 等等, 直到找出全部“主蕴涵项”(Prime Implicant)为止。从这些主蕴涵项中找出逻辑函数的“最

小覆盖”，这个最小覆盖就是所求的逻辑函数的最简表达式。Q-M 化简法还可以扩展到化简非完全描述逻辑函数和多输出逻辑函数的情形。

### 2.9.1 蕴涵项，主蕴涵项，本质蕴涵项

在上面的叙述中，出现了“蕴涵项”、“主蕴涵项”这两个名词，本节将通过实例来解释这些名词。

#### 【例 2.30】化简逻辑函数

$$F(A,B,C,D) = \sum m(0,5,7,9,10,11,14,15)$$

解：函数  $F$  的卡诺图及圈组合并的卡诺圈如图 2.54 所示。由图知，逻辑函数的最简“与或”式为：

$$F(A,B,C,D) = AC + \bar{A}BD + A\bar{B}D + \bar{A}\bar{B}\bar{C}\bar{D}$$

现在把逻辑函数  $F$  所含的全部最小项列于表 2.27 的 List 1 列。根据图 2.54 所示的  $F$  的卡诺图，分别考察函数的每一个最小项是否有相邻项（上、下、左、右）。如果有，则将它们分别合并（已经合并过的“最小项对”则不再合并），这就形成了若干 3 变量的蕴涵项，将它们列于表 2.27 的 List 2 列。例如，对于最小项  $m_7$  来讲，它有相邻项  $m_5$  和  $m_{15}$ ，于是就形成了两个蕴涵项 “ $\bar{A}B - D$ ” ( $= \sum(5,7)$ ) 和 “ $-BCD$ ” ( $= \sum(7,15)$ )。两个逻辑相邻最小项合并时所消去的变量，其位置在蕴涵项中以符号 “ $-$ ” 来代替。凡是被合并过的最小项的右侧，都以符号 “ $\checkmark$ ” 加以标志，如表 2.27 的 List 1 列所示。

表 2.27 函数  $F$  的蕴涵项表

List 1 4 变量最小项	List 2 3 变量蕴涵项	List 3 2 变量蕴涵项
$\text{** } m_0 = \bar{A}\bar{B}\bar{C}\bar{D} \text{ PI}_5$	$\text{** } \sum(5,7) = \bar{A}B - D \text{ PI}_2$	
$m_5 = \bar{A}\bar{B}\bar{C}D \checkmark$	$\sum(7,15) = -BCD \text{ PI}_3$	
$m_7 = \bar{A}B\bar{C}D \checkmark$	$\sum(15,11) = A - CD \checkmark$	
$m_9 = A\bar{B}\bar{C}D \checkmark$	$\sum(15,14) = ABC - \checkmark$	
$m_{10} = A\bar{B}\bar{C}\bar{D} \checkmark$	$\sum(14,10) = A - C\bar{D} \checkmark$	$\text{** } \sum(10,11,14,15) = A - C - \text{ PI}_1$
$m_{11} = A\bar{B}CD \checkmark$	$\sum(10,11) = A\bar{B}C - \checkmark$	
$m_{14} = ABC\bar{D} \checkmark$	$\text{** } \sum(11,9) = A\bar{B} - D \text{ PI}_4$	
$m_{15} = ABCD \checkmark$		

现在，再考察表 2.27 的 List 2 列中的每一个“3 变量的蕴涵项”是否在 List 2 列的范围内有“逻辑相邻项”。关于蕴涵项的逻辑相邻概念是：除了一个对应位置的变量互补以外，其他所有相应位置上的变量（包括符号 “ $-$ ”）都一样。考察的结果是：蕴涵项 “ $A - CD$ ” ( $= \sum(15,11)$ ) 和 “ $A - C\bar{D}$ ” ( $= \sum(14,10)$ ) 相邻，合并后生成 2 变量的蕴涵项 “ $A - C -$ ”，而蕴涵项 “ $ABC -$ ” ( $= \sum(15,14)$ ) 和 “ $A\bar{B}C -$ ” ( $= \sum(10,11)$ ) 相邻，合并后也生成 2 变量的蕴涵项 “ $A - C -$ ”。实际上，这两对蕴涵项的合并就等价于将  $m_{10}$ 、 $m_{11}$ 、 $m_{14}$  和  $m_{15}$  这 4 个逻辑相邻项合并，从而生成一个 2 变量蕴涵项，即： $\sum(10,11,14,15) = A - C -$ 。把这个 2 变量蕴涵项列于表 2.27 的 List 3 列中。同样，在 List 2 列中，凡是被合并过的蕴涵项的右侧，都以符号 “ $\checkmark$ ” 加以标志。在 List 3 列的范围里，只有一个蕴涵项 “ $A - C -$ ”，所以无须考察其逻辑相邻项。

从以上所述得知，所谓的蕴涵项，实际上就是将 2 个、或 4 个、 $\cdots$ 、 $2^i$  个逻辑相邻最小项合并以后所产生的逻辑乘积项（“与项”）。例如  $n-1$  ( $n = 4$ ) 个变量的蕴涵项 “ $\bar{A}B - D$ ” ( $= \sum(5,7)$ ) 是最

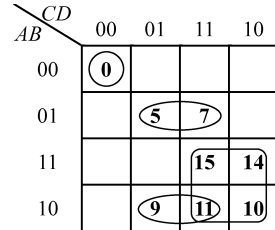


图 2.54 函数的卡诺图

小项  $m_5$  和  $m_7$  合并的结果，所以说这个蕴涵项蕴涵了（或者说覆盖了、包含了）最小项  $m_5$  和  $m_7$ 。同理，蕴涵项 “ $A-C-$ ” ( $= \sum(10,11,14,15)$ ) 蕴涵了最小项  $m_{10}$ 、 $m_{11}$ 、 $m_{14}$  和  $m_{15}$ 。从广义上来讲，一个最小项也可以被认为是一个蕴涵项。这是一个特殊的蕴涵项，它只蕴涵了一个最小项——它自己。

观察表 2.27 的 List 1、List 2 和 List 3 各列，发现有一些蕴涵项没有逻辑相邻项。例如，“ $\bar{A}\bar{B}\bar{C}\bar{D}$ ”、“ $\bar{A}B-D$ ”、“ $-BCD$ ”和“ $A-C-$ ”等。我们把这些没有相邻项的蕴涵项叫做**主蕴涵项**(Prime Implicant)，有时也叫做**基本蕴涵项**。如表 2.27 所示，在所有主蕴涵项的右侧，用字母组合 PI 来标志。

现在，再观察表 2.27 中的所有主蕴涵项。发现有些主蕴涵项所包含的最小项里有独属于它自己的最小项。换句话说，这些最小项不曾被其他主蕴涵项所包含。例如，主蕴涵项 “ $\bar{A}B-D$ ” 有独属于它自己的最小项  $m_5$ ，主蕴涵项 “ $\bar{A}\bar{B}\bar{C}\bar{D}$ ” 有独属于它自己的最小项  $m_0$ ，主蕴涵项 “ $A-C-$ ” 有独属于它自己的最小项  $m_{10}$  和  $m_{14}$ 。我们把这些含有独属于它自己的最小项的主蕴涵项叫做**本质主蕴涵项**(Essential Prime Implicant)，简称**本质蕴涵项**。在表 2.27 中，所有的本质主蕴涵项的前面，均用双星号 “\*\*” 标志。所以  $PI_1$ 、 $PI_2$ 、 $PI_4$  和  $PI_5$  都是本质主蕴涵项。把这些本质主蕴涵项逻辑和在一起，得到：

$$\begin{aligned} F &= PI_1 + PI_2 + PI_4 + PI_5 = "A-C-" + "\bar{A}B-D" + "A\bar{B}-D" + "\bar{A}\bar{B}\bar{C}\bar{D}" \\ &= AC + \bar{A}BD + A\bar{B}D + \bar{A}\bar{B}\bar{C}\bar{D} \end{aligned}$$

这就是最后所要求的逻辑函数最简“与或”表达式。此结果与卡诺图法化简的结果是一样的。

## 2.9.2 Q-M 化简法推演过程

本节将通过一个实例来说明 Q-M 化简法的具体推演过程。

**【例 2.31】** 用 Q-M 化简法化简如下逻辑函数

$$F(A,B,C,D) = \sum m(2,4,6,8,9,10,12,13,15)$$

解：此函数的卡诺图如图 2.55 所示。由图得到函数的最简“与或”式为：

$$F(A,B,C,D) = A\bar{C} + \bar{A}B\bar{D} + ABD + \bar{B}CD$$

Q-M 化简法的步骤如下。

(1) 将函数  $F$  所含的全部最小项，按其二进制数标号所含“1”的个数（最小项含原变量的个数）分组，如表 2.28 所示。表中的原变量用“1”表示，反变量用“0”表示。这样做是为了能够找出所有包含两个最小项的逻辑相邻项，即含有  $n-1$ （此时  $n=4$ ）个变量的蕴涵项。因为 1 组的最小项只可能与 2 组的最小项构成相邻项，而绝不可能与 3 组的最小项构成相邻项。同理，2 组的最小项也只可能与 1 组或 3 组的最小项构成相邻项，而绝不可能与 4 组的最小项构成相邻项，以此类推。按照这个想法，于是就列出了逻辑函数  $F$  所含全部最小项的分组合并列表，也叫做蕴涵项表<sup>①</sup>，如表 2.29 所示。

(2) 构造逻辑函数  $F$  的“蕴涵项表”。表 2.29 的 List 1 就是表 2.28。它是将函数  $F$  的全部最小项按其二进制数标号所含“1”的个数分组而得到的。在 List 1 中，把 1 组的最小项与 2 组的最小项两两配对，找出全部的逻辑相邻项并合并之，所构成的 3 变量蕴涵项全都列于 List 2 中并在下面画上一条横线，以表示这是 List 2 的第 1 组蕴涵项。在蕴涵项中，被消去的变量位置上用符号“-”代替。接着，再把 List 1 中 2 组的最小项与 3 组的最小项两两配对，找出全部的相邻项并合并之，这些新构成的 3 变量蕴涵项全部列于 List 2 中第一条横线下面，以表示这是 List 2 的第 2 组蕴涵项。这个过程将持续到 List 1 的第 3 组最小项与第 4 组最小项配对合并完成，从而构成 List 2 的第 3 组蕴涵项时为止。

<sup>①</sup> 有的书上称这个表为化简表 (Minimizing Table)。

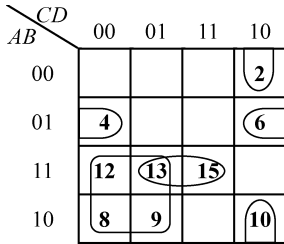


图 2.55 函数的卡诺图

表 2.28 函数  $F$  的最小项分组表

最小项 $m_i$	ABCD	
2	0010	
4	0100	
8	1000	
6	0110 9 10 12	1 组 (含有一个“1”)
13		
15		
10		2 组 (含有两个“1”)
11	1100	
13	1101	3 组 (含有三个“1”)
15	1111	4 组 (含有四个“1”)

表 2.29 函数  $F$  的蕴涵项表

List 1 最小项 ABCD		List 2 最小项 ABCD			List 3 最小项 ABCD	
2	0010 ✓	2, 6	0-10	PI <sub>2</sub>		
4	0100 ✓	2, 10	-010	PI <sub>3</sub>		
8	1000 ✓	4, 6	01-0	PI <sub>4</sub>		
6	0110 ✓	4, 12	-100	PI <sub>5</sub>		
9	1001 ✓	8, 9	100-	✓		
10	1010 ✓	8, 10	10-0	PI <sub>6</sub>		
12	1100 ✓	8, 12	1-00	✓		
13	1101 ✓	9, 13	1-01	✓		
15	1111 ✓	12, 13	110-	✓		
		13, 15	11-1	PI <sub>7</sub>		

仿照在 List 1 中的做法，在 List 2 中把第 1 组蕴涵项与第 2 组蕴涵项两两配对，若是逻辑相邻项则合并，如此生成 List 3 的第 1 组蕴涵项；再把 List 2 中第 2 组蕴涵项与第 3 组蕴涵项配对合并生成 List 3 的第 2 组蕴涵项（如果有的话）。整个过程照此方式一直进行下去，直到某一个 List 只有一组蕴涵项时为止。本题 List 3 中只有一组蕴涵项。在表 2.29 中，所有被合并过（有相邻项）的蕴涵项和最小项（也是一种蕴涵项）的右侧，都用符号“✓”标志；所有未被合并过（没有相邻项）的蕴涵项和最小项就是所谓的主蕴涵项，其右侧用“PI”标志。PI 的下标按从后往前、从上到下的顺序排列。

(3) 构造逻辑函数  $F$  的“主蕴涵项表”(Prime Implicant Chart) 或者叫做“PI 表”，如表 2.30 所示。此表中的每一行代表一个主蕴涵项；每一列代表函数  $F$  的最小项。表中的“双横线”把包含不同数量最小项的主蕴涵项分隔开。符号“×”表示该符号所在行的主蕴涵项覆盖了该符号所在列的最小项。例如，主蕴涵项 PI<sub>2</sub> 所在的行上有两个“×”，这两个“×”所对应的列是代表 2 号和 6 号最小项，即  $m_2$  和  $m_6$ 。这就表示主蕴涵项 PI<sub>2</sub> 覆盖了最小项  $m_2$  和  $m_6$ ，换句话说，主蕴涵项 PI<sub>2</sub> 是由逻辑相邻最小项  $m_2$  和  $m_6$  合并而成的。

表 2.30 函数  $F$  的主蕴涵项表

	$m_2$	$m_4$	$m_6$	$\checkmark m_8$	$\checkmark m_9$	$m_{10}$	$\checkmark m_{12}$	$\checkmark m_{13}$	$\checkmark m_{15}$
** PI <sub>1</sub>				×	⊗		×	×	
PI <sub>2</sub>	×		×						
PI <sub>3</sub>	×					×			
PI <sub>4</sub>		×	×						
PI <sub>5</sub>		×						×	
PI <sub>6</sub>				×		×			
** PI <sub>7</sub>								×	⊗

(4) 寻找最少数量的主蕴涵项 (PI) 去覆盖逻辑函数的全部最小项。为此，先在函数  $F$  的主蕴涵项表中搜索本质主蕴涵项。注意到表 2.30 中的 PI<sub>1</sub> 所包含的 9 号最小项 (表中画圆圈) 及 PI<sub>7</sub> 所包含的

15号最小项（表中画圆圈）都未曾被其他主蕴涵项所包含，所以  $PI_1$  和  $PI_7$  是本质主蕴涵项（表中二者的前面均以双星号“\*\*”标志）。

去掉表 2.30 中本质主蕴涵项所在的行及这些本质主蕴涵项所覆盖的最小项所在的列（表中以符号“√”标志），于是就得到了缩减主蕴涵项表（Reduced Prime Implicant Chart），如表 2.31 所示。此时，要在表 2.31 中找出最少数量的主蕴涵项，以覆盖最小项  $m_2$ 、 $m_4$ 、 $m_6$  和  $m_{10}$ 。显然选择  $PI_5$  和  $PI_6$  是不合适的，因为这两个主蕴涵项都只包含一个最小项，把它们加起来也只覆盖了  $m_4$  和  $m_{10}$ 。而选择  $PI_3$  和  $PI_4$  是合适的，因为它们之和覆盖了全部最小项  $m_2$ 、 $m_4$ 、 $m_6$  和  $m_{10}$ 。注意，表中  $PI_3$  和  $PI_4$  的前面以“\*”符号标志，而它们所覆盖的最小项以“√”符号标志。把  $PI_3$  和  $PI_4$  与之前找到的本质主蕴涵项  $PI_1$  和  $PI_7$  “加”在一起得到：

$$\begin{aligned} F(A,B,C,D) &= PI_1 + PI_3 + PI_4 + PI_7 \\ &= 1\bar{O}\bar{O} + \bar{O}1\bar{O} + 01\bar{O} + 11\bar{I} \\ &= A\bar{C} + \bar{B}C\bar{D} + \bar{A}B\bar{D} + ABD \end{aligned}$$

这就是逻辑函数  $F(A, B, C, D)$  的最简“与或”式，与之前用卡诺图化简的结果一致。

### 2.9.3 覆盖过程

选择最少数量的主蕴涵项（PI）去实现逻辑函数的问题叫做覆盖问题（Covering Problem）。正如在例 2.31 的第（4）步所看到的那样，覆盖过程的第一步，就是要先找出本质主蕴涵项。然后在主蕴涵项表中，去掉本质蕴涵项所在的行及这些本质蕴涵项所包含的最小项所在的列，从而得到一个缩减主蕴涵项表。在缩减主蕴涵项表中，再选择数量最少、同时又能包含（覆盖）“缩减主蕴涵项表”中全部最小项的主蕴涵项。将这些主蕴涵项加上之前找到的本质蕴涵项，就得到了逻辑函数的最简“与或”式。

如何在缩减主蕴涵项表中找到合适的主蕴涵项呢？下面的两个规则给出了答案。

**规则 1：**在缩减主蕴涵项表中，如果某一个主蕴涵项  $PI_i$  所包含的全部最小项都为另一个主蕴涵项  $PI_j$  所包含，这种情况叫做  $PI_j$  行覆盖（Cover） $PI_i$  行，则可将  $PI_i$  所在的行从缩减的主蕴涵项表中删去。如果有几个主蕴涵项都包含相同的最小项，则可保留这些主蕴涵项中的任意一个主蕴涵项所在行，而将其余的主蕴涵项所在行全部从缩减主蕴涵项表中删去。

**规则 2：**在缩减主蕴涵项表的列方面，如果包含某一个最小项  $m_i$  的全体主蕴涵项同时都包含另一个最小项  $m_j$ ，这种情况叫做  $m_j$  列覆盖（Cover） $m_i$  列，则可将最小项  $m_j$  所在的列从缩减主蕴涵项表中删去。如果有几个最小项都被相同的主蕴涵项所包含，则可保留其中的任意一个最小项所在列，而将其余最小项所在列均从缩减的主蕴涵项表中删去。

例如：逻辑函数  $F(A, B, C, D) = \sum m(0, 1, 5, 6, 7, 8, 9, 10, 11, 13, 14, 15)$  的主蕴涵项表如表 2.32 所示。

表 2.32 函数  $F$  的主蕴涵项表

	√ $m_0$	√ $m_1$	$m_5$	√ $m_6$	√ $m_7$	√ $m_8$	√ $m_9$	$m_{10}$	$m_{11}$	$m_{13}$	√ $m_{14}$	√ $m_{15}$
** $PI_1$	⊗	×				×	×					
$PI_2$		×	×				×			×		
$PI_3$			×		×					×		×
$PI_4$						×	×	×	×			
$PI_5$							×		×	×		×
$PI_6$								×	×		×	×
** $PI_7$				⊗	×						×	×

注意到主蕴涵项  $PI_1$  和  $PI_7$  是本质蕴涵项，因此，删去  $PI_1$  和  $PI_7$  所在的行及  $PI_1$  和  $PI_7$  包含的全部最小项所在的列（由符号“√”标志），由此得到的缩减主蕴涵项表，如表 2.33 所示。表中  $PI_2$  和  $PI_3$  包含相同的最小项，同样的情况也发生在  $PI_4$  和  $PI_6$  上。于是根据规则 1，删去  $PI_3$  所在的行及  $PI_6$  所在的行，这就得到了表 2.34。在表 2.34 中，注意到最小项  $m_{11}$  所在的列覆盖最小项  $m_{10}$  所在的列；同时，最小项  $m_{13}$  所在的列覆盖最小项  $m_5$  所在的列，于是根据规则 2，删去表 2.34 中  $m_{11}$  和  $m_{13}$  所在的列，得到表 2.35。很明显，表 2.35 告诉我们， $PI_2$  和  $PI_4$  是最合适的选择（前面以符号“\*”标志）。最后得到函数  $F$  的最简“与或”式为：

$$F(A,B,C,D) = PI_1 + PI_7 + PI_2 + PI_4 = \bar{B}\bar{C} + BC + \bar{C}D + A\bar{B}$$

仔细观察表 2.33，注意到主蕴涵项的最佳选择不只是上述的  $PI_2$  和  $PI_4$  这一种组合。事实上， $PI_2$  与  $PI_6$ 、 $PI_3$  与  $PI_4$  及  $PI_3$  与  $PI_6$  都是主蕴涵项的最佳选择。这意味着函数  $F$  的最简“与或”式绝不只是上面那一种“与或”表达式。“ $PI_1 + PI_7 + PI_2 + PI_6$ ”、“ $PI_1 + PI_7 + PI_3 + PI_4$ ”和“ $PI_1 + PI_7 + PI_3 + PI_6$ ”都可构成函数的最简“与或”式。这也从另一个侧面说明，一个逻辑函数的最简“与或”式有时是不唯一的。函数  $F$  的其余三种最简“与或”式的具体形式，这里就不写出了，留给读者练习。

表 2.33  $F$  的缩减主蕴涵项表

	$m_5$	$m_{10}$	$m_{11}$	$m_{13}$
$PI_2$	×			×
$PI_3$	×			×
$PI_4$		×	×	
$PI_5$			×	×
$PI_6$		×	×	

表 2.34  $F$  的缩减主蕴涵项表

	$m_5$	$m_{10}$	$m_{11}$	$m_{13}$
$PI_2$	×			×
$PI_4$		×	×	
$PI_5$			×	×

表 2.35  $F$  的再缩减主蕴涵项表

	√ $m_5$	√ $m_{10}$
* $PI_2$	×	
* $PI_4$		×

上述的“规则 1”和“规则 2”并不能解决“覆盖问题”的全部内容。请看下面的逻辑函数：

$$F(A,B,C) = \sum m(1,2,3,4,5,6)$$

此函数的主蕴涵项表如表 2.36 所示。这个表里没有本质主蕴涵项，也无法运用规则 1 和规则 2 对这个表进行缩减。这种既没有本质主蕴涵项，也不能运用规则 1 和规则 2 进行缩减的主蕴涵项表叫做“循环 PI 表”（Cyclic PI Chart）。对于这样的循环 PI 表，要采用一种特殊的方法来找出最佳的主蕴涵项组合，具体做法如下。

(1) 任选一个 PI，比如表 2.36 中的  $PI_1$ （以“\*”符号标志），把它作为“本质蕴涵项”来处理，即将其所在的行及它所包含的最小项  $m_1$  和  $m_3$  所在的列（以符号“√”标志）从表中删去，得到缩减的主蕴涵项表，如表 2.37 所示。

此时的表 2.37 是“非循环 PI 表”（Noncyclic PI Chart）。如果此时得到的表 2.37 仍然是循环 PI 表，则重复步骤(1)，直至得到非循环 PI 表时为止。

(2) 注意到表 2.37 中的  $PI_2$  行被  $PI_3$  行覆盖、 $PI_6$  行被  $PI_5$  行覆盖。根据规则 1，把  $PI_2$  行和  $PI_6$  行从此表中删去，得到表 2.38。

(3) 观察到表 2.38 中的  $m_4$  列覆盖  $m_5$  列、 $m_6$  列覆盖  $m_2$  列。根据规则 2，删去此表中的  $m_4$  列和  $m_6$  列，得到表 2.39。由此表得知，应选择主蕴涵项  $PI_3$  和  $PI_5$ 。最终得到函数  $F$  的最简“与或”式为：

$$F(A,B,C) = PI_1 + PI_3 + PI_5 = \bar{A}C + BC + AB$$

	√ $m_1$	$m_2$	√ $m_3$	$m_4$	$m_5$	$m_6$
* $PI_1$	×		×			
$PI_2$		×	×			
$PI_3$		×				×
$PI_4$					×	×
$PI_5$					×	×
$PI_6$	×					×

表 2.37  $F$  的缩减主蕴涵项表

	$m_2$	$m_4$	$m_5$	$m_6$
PI <sub>2</sub>	×			
PI <sub>3</sub>	×			×
PI <sub>4</sub>		×		×
PI <sub>5</sub>		×	×	
PI <sub>6</sub>			×	

表 2.38  $F$  的缩减主蕴涵项表

	$m_2$	$m_4$	$m_5$	$m_6$
PI <sub>3</sub>	×			×
PI <sub>4</sub>		×		×
PI <sub>5</sub>		×	×	

表 2.39  $F$  的再缩减主蕴涵项表

	$\checkmark m_2$	$\checkmark m_5$
* PI <sub>3</sub>	×	
* PI <sub>5</sub>		×

从上述的推演过程可以断定, 逻辑函数  $F(A,B,C)$  的最简“与或”式的形式不唯一。读者可以仿照上面的三个步骤, 试着推出其他形式的最简“与或”式。

根据以上的讨论, 可以把解决覆盖问题的一般步骤总结归纳如下。

① 如果“PI 表”是一个“循环 PI 表”, 则跳到步骤⑤。否则, 执行步骤②。

② 从 PI 表中找出所有的、含有独属于自己的最小项的主蕴涵项 PI<sub>i</sub>。这个过程如果是发生在一开始的“主蕴涵项表”上, 则找出的 PI<sub>i</sub> 是“本质蕴涵项”; 如果是发生在后续的“缩减主蕴涵项表”上, 则找出的 PI<sub>i</sub> 是“非本质蕴涵项”;

③ 将步骤②中所找出的那些主蕴涵项 PI<sub>i</sub> 所在的行, 以及它们所包含的最小项所在的列, 从 PI 表中删去, 从而得到“缩减的 PI 表”。如果这个“缩减的 PI 表”是“空 PI 表”(Void PI Chart)<sup>①</sup>, 则停止整个搜索过程。

④ 如果在步骤③完成之后, 得到了一个“循环 PI 表”, 则跳到步骤⑤。否则, 运用规则 1 和规则 2, 进一步地缩小在步骤③中所得到的“缩减的 PI 表”, 然后返回步骤①。

⑤ 运用处理“循环 PI 表”的方法来处理所得到的 PI 表。重复执行步骤⑤, 直至得到一个“空 PI 表”或者是一个“非循环 PI 表”时为止。如果是发生了后者, 则返回步骤②。

上述 5 步, 是运用 Q-M 化简法解决覆盖问题的基本步骤。不难看出, 它也是日后编制 Q-M 化简法计算机应用程序中解决覆盖问题的基本流程框架。

## 2.9.4 非完全描述逻辑函数的 Q-M 化简法

Q-M 化简法也可以运用于化简非完全描述逻辑函数。用 Q-M 化简法化简非完全描述逻辑函数的步骤, 除了一点之外, 与化简普通的完全描述逻辑函数是一模一样的。关于这一点的不同, 我们通过下面的实例来加以说明。

**【例 2.32】** 用 Q-M 化简法化简如下非完全描述逻辑函数。

$$F(A,B,C,D,E) = \sum m(2,3,7,10,12,15,27) + d(5,18,19,21,23)$$

解: 按照例 2.31 所述步骤化简函数  $F(A,B,C,D,E)$ 。注意, 先将函数中的“无关项”与最小项“同等对待”, 即: 将它们一同列入函数  $F$  的蕴涵项表中, 如表 2.40 所示。

从函数  $F$  的蕴涵项表(表 2.40)中, 我们得到了函数  $F$  的全部主蕴涵项。这些主蕴涵项中, 不仅包含最小项而且包括“无关项”。下一步, 就要列出函数  $F$  的主蕴涵项表。注意, 就是这一步与前述例题不同。因为在这些主蕴涵项中有可能包含“无关项”, 而这些“无关项”是不需要被覆盖的。所以, 在列写非完全描述逻辑函数的主蕴涵项表时, 只列出主蕴涵项所包含的最小项, 而不列出主蕴涵项所包含的“无关项”, 即: “无关项”一律不出现在主蕴涵项表中。

<sup>①</sup> 所谓“空 PI 表”, 是指没有行、也没有列的“PI 表”。

表 2.40 非完全描述逻辑函数  $F$  的蕴涵项表

List 1 最小项 $ABCDE$		List 2 最小项 $ABCDE$		List 3 最小项 $ABCDE$	
2	00010 ✓	2, 3	0001- ✓	2, 3, 18, 19	-001- PI <sub>1</sub>
3	00011 ✓	2, 10	0-010 PI <sub>4</sub>	3, 7, 19, 23	-0-11 PI <sub>2</sub>
5	00101 ✓	2, 18	-0010 ✓	5, 7, 21, 23	-01-1 PI <sub>3</sub>
10	01010 ✓	3, 7	00-11 ✓		
12	01100 PI <sub>7</sub>	3, 19	-0011 ✓		
18	10010 ✓	5, 7	001-1 ✓		
7	00111 ✓	5, 21	-0101 ✓		
19	10011 ✓	18, 19	1001- ✓		
21	10101 ✓	7, 15	0-111 PI <sub>5</sub>		
15	01111 ✓	7, 23	-0111 ✓		
23	10111 ✓	19, 23	10-11 ✓		
27	11011 ✓	19, 27	1-011 PI <sub>6</sub>		
		21, 23	101-1 ✓		

按照这个原则，列出函数  $F$  的主蕴涵项表如表 2.41 所示。注意到 PI<sub>4</sub>、PI<sub>5</sub>、PI<sub>6</sub> 和 PI<sub>7</sub> 是本质蕴涵项（以双星 “\*\*” 标志）。于是，将这些本质蕴涵项所在的行及他们所包含的最小项（以符号 “✓” 标志）所在的列从表中删去，我们发现只有最小项  $m_3$  没有被覆盖，而包含  $m_3$  的蕴涵项有 PI<sub>1</sub> 和 PI<sub>2</sub>。所以，逻辑函数  $F$  有两个“最小覆盖”：

$$F(A, B, C, D, E) = \text{PI}_1 + \text{PI}_4 + \text{PI}_5 + \text{PI}_6 + \text{PI}_7$$

或

$$F(A, B, C, D, E) = \text{PI}_2 + \text{PI}_4 + \text{PI}_5 + \text{PI}_6 + \text{PI}_7$$

表 2.41 非完全描述逻辑函数  $F$  的主蕴涵项表

	✓ $m_2$	✓ $m_3$	✓ $m_7$	✓ $m_{10}$	✓ $m_{12}$	✓ $m_{15}$	✓ $m_{27}$
PI <sub>1</sub>	✗	✗					
PI <sub>2</sub>		✗	✗				
PI <sub>3</sub>			✗				
** PI <sub>4</sub>	✗			⊗			
** PI <sub>5</sub>			✗			⊗	
** PI <sub>6</sub>							⊗
** PI <sub>7</sub>					⊗		

与此相对应的逻辑函数最简“与或”表达式分别为：

$$F(A, B, C, D, E) = \bar{B}\bar{C}D + \bar{A}\bar{C}DE + \bar{A}CDE + A\bar{C}DE + \bar{A}BC\bar{D}\bar{E}$$

或

$$F(A, B, C, D, E) = \bar{B}DE + \bar{A}\bar{C}D\bar{E} + \bar{A}CDE + A\bar{C}DE + \bar{A}BC\bar{D}\bar{E}$$

从上面 Q-M 化简法的执行步骤可以看出，人工推演 Q-M 化简法是相当烦琐的，但是用计算机去执行 Q-M 化简法倒是相当合适的。所以在实际工作中，除特殊情况外，一般不采用手工进行 Q-M 法化简逻辑函数，而是将 Q-M 化简法编成程序，让计算机去运行 Q-M 法化简逻辑函数。

Q-M 化简法也可以运用于多输出函数的化简。由于篇幅所限，这里就不再进行讨论了，有兴趣的读者可参考相关文献。

## 小 结

这一章的主题是“逻辑代数基础”。首先明确事物的二值性，并由此引出用于描述和分析事物二值性的数学工具——布尔代数。布尔代数也叫做逻辑代数或开关代数。

与普通代数具有加、减、乘、除4种基本运算相类似，逻辑代数也具有“与”、“或”、“非”三种基本逻辑运算。由一种或两种以上逻辑运算混合所构成的表达式叫做逻辑表达式。逻辑表达式中所含有的变量叫做逻辑变量。逻辑变量的取值只有“0”和“1”。这个“0”和“1”所表示的意义不是数值的大小，而是某事物对立的两个状态。把逻辑表达式的值（“0”和“1”）赋给另一个逻辑变量，则这个逻辑变量就是逻辑表达式中各逻辑变量的逻辑函数。可以用逻辑电路来实现“与”、“或”、“非”这三种基本逻辑运算，所以逻辑函数与逻辑电路有一对一的对应关系，知道了一个就可以推出另一个，反之亦然。

像普通代数一样，逻辑代数也有它的基本运算规律、运算定律、运算定理和运算规则。要熟练地进行逻辑运算，必须掌握这些规律、定律、定理和规则。

由两种或两种以上的基本逻辑运算相复合而构成的逻辑运算叫做复合逻辑运算。“与非”、“或非”和“与或非”这三种复合逻辑运算是功能完备的逻辑运算。所谓功能完备的逻辑运算，是指该逻辑运算可以单独地实现“与”、“或”、“非”这三种基本逻辑运算。换句话说，功能完备的逻辑运算可以单独地实现任何一种逻辑函数。“异或”和“同或”也是两种常用的复合逻辑运算。“异或”和“同或”逻辑运算的意义就在于确定参与运算的逻辑量中逻辑“1”或逻辑“0”的个数的奇偶性。

同一个逻辑函数的表达式有多种形式，它们是“与或”式、“或与”式、“与非-与非”式、“或非-或非”式和“与或非”式。另外还有特殊形式的“与或”式——标准“与或”式，即最小项之和式和特殊形式的“或与”式——标准“或与”式，即最大项之积式。同一逻辑函数的各种形式的表达式之间可以相互转换。

任何一种逻辑表达式的形式都有其最简形式。最简的标准是：表达式所含的项数尽可能少，每项所含的变量个数尽可能少。通常都是先由“与或”式或“或与”式入手，化简得到最简“与或”式或最简“或与”式。其他形式的最简式都是由最简“与或”式、最简“或与”式经转换而得到的。

化简“与或”式和“或与”式的方法有多种。本书主要介绍了代数化简法和卡诺图化简法两种，同时还介绍了Q-M表格化简法。代数化简法适合于任何逻辑变量个数的逻辑函数表达式的化简，但它需要设计者能够熟练地掌握和运用逻辑代数的基本运算规律、运算定律、运算定理和运算规则。卡诺图化简法的原理是把“逻辑相邻”的最小项（或最大项）转化为几何位置的相邻，这就大大方便了设计者识别逻辑相邻项，从而能有效地化简逻辑函数的表达式。但是卡诺图不适合于变量个数较多的逻辑函数表达式的化简，当逻辑函数所含变量的个数不超过5个时，用卡诺图化简逻辑函数表达式较为方便。Q-M化简法对被化简逻辑函数所含变量的个数没有限制。其运算过程烦琐但却相当规范，所以非常适合于用计算机来运算。

当一个逻辑函数的某些“变量取值组合”所对应的函数值不确定时，这个逻辑函数就叫做非完全描述逻辑函数。非完全描述逻辑函数来自实际问题。函数值不确定的“变量取值组合”所对应的最小项（或最大项）叫做“约束项”。利用“约束项”可以进一步化简逻辑函数表达式。化简的方法可以用代数化简法，也可以用卡诺图化简法和Q-M化简法。

描述一个逻辑函数可以有多种方法，但归纳起来一共有5种，它们是：真值表、逻辑表达式、卡

诺图、逻辑图和时序图。既然这5种方法是对同一个事物——逻辑函数的描述，所以它们之间必然存在着内在的联系，只要知道了其中一种描述形式，就可以推出另外4种描述形式。

## 习 题

2-1 举出现实生活中的一些相互对立的、处于矛盾状态的事物。试着给这些对立的事物赋予逻辑“0”和逻辑“1”。

2-2 为什么称布尔代数为“开关代数”？

2-3 基本逻辑运算有哪些？写出它们的真值表。

2-4 什么是逻辑函数？它与普通代数中的函数在概念上有什么异同？

2-5 如何判定两个逻辑函数相等？

2-6 逻辑函数与逻辑电路的关系是什么？

2-7 什么是逻辑代数公理？逻辑代数公理与逻辑代数基本定律或定理的关系是什么？

2-8 用真值表证明表2.7中的“0-1律”、“自等律”、“互补律”、“重叠律”和“还原律”。

2-9 分别用真值表和逻辑代数基本定律或定理证明下列公式。

$$(1) A + BC = (A + B)(A + C)$$

$$(2) A + \bar{A}B = A + B$$

$$(3) A + AB = A$$

$$(4) \overline{AB + \bar{A}C} = A\bar{B} + \bar{A}\bar{C}$$

$$(5) AB + \bar{A}C + BCD = AB + \bar{A}C$$

$$(6) (A + B)(\bar{A} + C)(B + C) = (A + B)(\bar{A} + C)$$

$$(7) \overline{(A + B)(\bar{A} + C)} = (A + \bar{B})(\bar{A} + \bar{C})$$

$$(8) (A + B)(A + \bar{B}) = A$$

$$(9) A(A + B) = A$$

2-10 用逻辑代数演算证明下列等式。

$$(1) AB + BCD + \bar{A}C + \bar{B}C = AB + C$$

$$(2) A\bar{B} + \bar{A}CD + B + \bar{C} + \bar{D} = 1$$

$$(3) ABC\bar{D} + ABD + BCD + ABC + B\bar{C} + BD = B$$

2-11 直接写出下列函数的对偶函数和反函数。

$$(1) F = \overline{\overline{A} + \overline{B} + \overline{C}}$$

$$(2) F = \overline{\overline{AB} + \overline{C} + BD} + \overline{AD} \cdot \overline{\overline{B} + \overline{C}}$$

$$(3) F = AB + (\bar{A} + C)(C + \bar{D}E)$$

$$(4) F = \bar{A}B + A\bar{B} \quad (\text{结果均整理成“与或”式})$$

$$(5) F = \bar{A}B + \bar{A}C + BC \quad (\text{结果均整理成“与或”式})$$

2-12 证明下列等式。

$$(1) A \oplus 0 = A$$

$$(2) A \oplus 1 = \bar{A}$$

$$(3) \overline{A \oplus B} = A \odot B$$

$$(4) A \oplus B \oplus C = A \odot B \odot C$$

$$(5) A \oplus \bar{B} = \overline{A \oplus B} = A \oplus B \oplus 1$$

$$(6) A \oplus (B \oplus C) = (A \oplus B) \oplus C$$

$$(7) A \odot (B \odot C) = (A \odot B) \odot C$$

$$(8) A(B \oplus C) = AB \oplus AC$$

$$(9) A + (B \odot C) = (A + B) \odot (A + C)$$

2-13 试证明下列结论:

若  $F = A_1 \oplus A_2 \oplus \dots \oplus A_i \oplus \dots \oplus A_n$ , ( $1 \leq i \leq n$ ), 则  $\bar{F} = A_1 \oplus A_2 \oplus \dots \oplus \bar{A}_i \oplus \dots \oplus A_n$ 。

2-14 试说明: 若下列等式

$$A_{n-1} \oplus A_{n-2} \oplus A_{n-3} \oplus \dots \oplus A_1 \oplus A_0 = B$$

成立, 则  $B$  与等号左边的任意一个逻辑变量  $A_i$  ( $i = 0 \sim n-1$ ) 互换位置以后, 等式仍然成立。



2-15 若要实现三变量的“异或”逻辑运算, 最少需要多少个图题 2-15 所示的“异或”逻辑门。

图题 2-15 “异或”逻辑门

2-16 试叙述性地证明: 多变量“同或”运算的结果取决于这些变量中取值为“0”的变量个数, 而与取值为“1”的变量个数无关。若取值为“0”的变量个数是偶数, 则“同或”的结果为“1”; 若取值为“0”的变量个数是奇数, 则“同或”的结果为“0”

2-17 试证明下列结论:

若  $F = A_1 \odot A_2 \odot \dots \odot A_i \odot \dots \odot A_n$ , ( $1 \leq i \leq n$ ), 则  $\bar{F} = A_1 \odot A_2 \odot \dots \odot \bar{A}_i \odot \dots \odot A_n$ 。

2-18 试说明: 若下列等式

$$A_{n-1} \odot A_{n-2} \odot A_{n-3} \odot \dots \odot A_1 \odot A_0 = B$$

成立, 则  $B$  与等号左边的任意一个逻辑变量  $A_i$  ( $i = 0 \sim n-1$ ) 互换位置以后, 等式仍然成立。

2-19 根据两变量“异或”、“同或”的定义式证明:

$$\overline{A \oplus B} = A \odot B, \quad (A \oplus B)' = A \odot B$$

2-20 分别用“与非”门、“或非”门和“与或非”门单独地实现函数  $F = AB$ 、 $F = A+B$  和  $F = \bar{A}$ 。要求写出函数的逻辑表达式, 并画出对应的逻辑图。

2-21 分别用真值表和逻辑推演的方法判断函数  $F_1$  和  $F_2$  的关系。

$$(1) F_1 = A\bar{B} + B\bar{C} + C\bar{A}, \quad F_2 = \bar{A}B + \bar{B}C + \bar{C}A$$

$$(2) F_1 = ABC + \bar{A}\bar{B}\bar{C}, \quad F_2 = \overline{\bar{A}\bar{B} + \bar{B}\bar{C} + \bar{C}A}$$

$$(3) F_1 = \bar{C}D + \bar{A}\bar{B} + BC, \quad F_2 = A\bar{B}C + A\bar{B}\bar{D} + B\bar{C}\bar{D}$$

2-22 由 4 个逻辑变量  $A$ 、 $B$ 、 $C$ 、 $D$  构成最小项和最大项。

(1) 若最小项与最大项内各变量的排列次序是  $ABCD$ , 请写出编号为 1、4、7、9 和 14 的最小项和最大项。比较编号相同的最小项和最大项, 有何结论?

(2) 若最小项与最大项内各变量的排列次序是  $DCBA$ , 则在(1) 中所得到的最小项和最大项此时的编号各是多少? 比较(1)、(2)中原、反变量相同但排列次序不同的各最小项、最大项, 得出何结论?

2-23 函数  $F_1 \sim F_3$  的真值表如表题 2-23 所示。试写出:

(1)  $F_1$ 、 $F_2$ 、 $F_3$  的“最小项之和”式与“最大项之积”式;

(2)  $F_1$ 、 $F_2$ 、 $F_3$  的 5 种最简式, 即最简“与或”式、最简“或与”式、最简“与非-与非”式、最简“或非-或非”式和最简“与或非”式。

2-24 通过逻辑运算, 先列出下列各逻辑函数的真值表; 然后再通过逻辑代数的推演, 导出下列各开关函数的最小项之和式与最大项之积式。再把这两种标准表达式与相应的真值表相对照。

表题 2-23

序号	$A$	$B$	$C$	$F_1$	$F_2$	$F_3$
0	0	0	0	1	0	$\times$
1	0	0	1	0	1	0
2	0	1	0	1	1	0
3	0	1	1	0	0	1
4	1	0	0	1	1	1
5	1	0	1	0	0	1
6	1	1	0	0	0	1
7	1	1	1	0	1	$\times$

- (1)  $F(A, B) = A + \bar{B}$   
 (3)  $F = A\bar{B}C + B\bar{C}$   
 (2)  $F(A, B, C) = AB + \bar{A}C$   
 (4)  $F(A, B, C) = A(B + \bar{C})(\bar{B} + C)$

2-25 列出下列各逻辑函数的真值表；然后写出各函数的标准“与或”式和标准“或与”式。

- (1)  $F(A, B, C, D) = ABCD + ABC\bar{D}$   
 (2)  $F(A, B, C, D) = AB + \bar{A}\bar{B} + C\bar{D}$   
 (3)  $F(A, B, C, D) = A(\bar{B} + C\bar{D}) + \bar{A}B\bar{C}\bar{D}$

2-26 求下列函数的最小项之和式、最大项之积式和真值表。

- (1)  $F = AB + \bar{A}BC$   
 (2)  $F = (A + \bar{B} + C)(B + \bar{C}) + (\bar{A} + B + C)$   
 (3)  $F = A\bar{B} + \bar{A}C + B\bar{C}$   
 (4)  $F = A(B \oplus C) + \bar{A}(B \odot C)$   
 (5)  $F = A\bar{B} + A\bar{C}$

2-27 设  $F(X_1, X_2, \dots, X_i, \dots, X_n)$  ( $1 \leq i \leq n$ ) 是一个  $n$  变量的逻辑函数。试证明下列两式成立：

$$F(X_1, X_2, \dots, X_i, \dots, X_n) = X_i F(X_1, X_2, \dots, 1, \dots, X_n) + \bar{X}_i \cdot F(X_1, X_2, \dots, 0, \dots, X_n) \quad (1)$$

和

$$F(X_1, X_2, \dots, X_i, \dots, X_n) = [X_i + F(X_1, X_2, \dots, 0, \dots, X_n)][\bar{X}_i + F(X_1, X_2, \dots, 1, \dots, X_n)] \quad (2)$$

以上两式称为香农（Shannon）展开定理。

（提示：利用  $n$  变量逻辑函数的最小项之和式与最大项之积式来证明）

2-28 利用香农（Shannon）展开定理将下列各逻辑函数转换成如下形式：

$$\begin{aligned} F(A, B, C, Q) &= \bar{Q}F_a(A, B, C) + QF_b(A, B, C) \\ &= [\bar{Q} + F_\gamma(A, B, C)] + [Q + F_\delta(A, B, C)] \end{aligned}$$

求出  $F_a$ 、 $F_b$ 、 $F_\gamma$  和  $F_\delta$ 。

- (1)  $F(A, B, C, Q) = (Q + \bar{A})(\bar{B} + C) + \bar{Q}\bar{C}$   
 (2)  $F(A, B, C, Q) = A\bar{B}\bar{C} + Q\bar{A} + \bar{Q}C$   
 (3)  $F(A, B, C, Q) = (A + \bar{B} + Q)(\bar{A} + \bar{Q} + C)$   
 (4)  $F(A, B, C, Q) = AB\bar{C} + \bar{A}C$

2-29 利用香农（Shannon）展开定理将下列逻辑函数展成标准“与或”式：

$$F(A, B, C) = A\bar{C} + B\bar{C} + ABC$$

（提示：在  $F(A, B, C)$  的表达式上分别对变量  $A$ 、 $B$ 、 $C$  运用题 2-27 中香农展开定理（1）式）

2-30 利用香农（Shannon）展开定理将下列逻辑函数展成标准“或与”式：

$$F(W, X, Q) = (Q + \bar{W})(X + \bar{Q})(W + X + Q)(\bar{W} + \bar{X})$$

（提示：在  $F(W, X, Q)$  的表达式上分别对变量  $W$ 、 $X$ 、 $Q$  运用题 2-27 中香农展开定理（2）式）

2-31 已知  $F(A, B, C, D) = \sum m(1, 4, 7, 9, 10, 12, 14)$ ，求：

- (1)  $F(A, B, C, D)$  的最大项之积式；  
 (2)  $\overline{F(A, B, C, D)}$  的最小项之和式；  
 (3)  $\overline{F(A, B, C, D)}$  的最大项之积式。

2-32 已知  $F(A, B, C, D) = \prod M(1, 4, 7, 9, 10, 12, 14)$ ，求：

- (1)  $F(A, B, C, D)$  的最小项之和式；

(2)  $\overline{F(A,B,C,D)}$  的最大项之积式;

(3)  $\overline{F(A,B,C,D)}$  的最小项之和式。

2-33 用代数法化简下列各式为最简“与或”式:

$$(1) F = ABC\bar{D} + \bar{A}\bar{B} + A\bar{C}\bar{D} + B\bar{C}\bar{D}$$

$$(2) F = \bar{A}BC + A + \bar{B} + \bar{C}$$

$$(3) F = \overline{AC + \bar{A}BC + \bar{B}C} + AB\bar{C}$$

$$(4) F = A(A + \bar{B} + C)(\bar{A} + C + D)(D + \bar{C}\bar{D})$$

$$(5) F = ACD + \bar{A}C\bar{D} + ABC + ABD + A\bar{D} + ABD + BCD$$

$$(6) F = \overline{AB\bar{B}\bar{D}\bar{C}\bar{D}} + BC + \overline{\bar{A}\bar{B}\bar{D} + \bar{A}} + \overline{\bar{C}\bar{D}}$$

$$(7) \begin{cases} F = \bar{C}D(A \oplus B) + \bar{A}B\bar{C} + \bar{A}\bar{C}D \\ AB + CD = 0 \end{cases}$$

2-34 用代数法化简下列各式为最简“或与”式:

$$(1) F = (A + B)(A + B + C)(\bar{A} + C)(B + C + D)$$

$$(2) F = A(A + B)(\bar{A} + C)(B + D)(\bar{A} + C + E + G)(\bar{B} + \bar{E})(D + \bar{E} + G)$$

$$(3) F = \bar{A}\bar{B} + (\bar{A}\bar{B} + \bar{A}B + AB)C$$

$$(4) F = \bar{A}D + \bar{C}D + A\bar{B}\bar{D} + B\bar{C}D + B\bar{C}\bar{D} + \bar{A}B\bar{C}\bar{D}$$

2-35 用代数法化简下列各表达式为最简式。最简式的形式分别为: (a)最简“与或”式; (b)最简“或与”式;

(c)最简“与非-与非”式; (d)最简“或非-或非”式; (e)最简“与或非”式。

$$(1) F(W, X, Y, Z) = X + XYZ + \bar{X}YZ + WX + \bar{W}X + \bar{X}Y$$

$$(2) F(A, B, C, D, E) = (AB + C + D)(\bar{C} + D)(\bar{C} + D + E)$$

$$(3) F(X, Y, Z) = Y\bar{Z}(\bar{Z} + \bar{Z}X) + (\bar{X} + \bar{Z})(\bar{X}Y + \bar{X}Z)$$

2-36 用代数法化简下列各表达式为最简式。最简式的形式分别为: (a)最简“与或”式; (b)最简“或与”式;

(c)最简“与非-与非”式; (d)最简“或非-或非”式; (e)最简“与或非”式。

$$(1) F(A, B, C, D) = \overline{(A + \bar{C} + D)(\bar{B} + C)(A + \bar{B} + D)(\bar{B} + C)(\bar{B} + C + \bar{D})}$$

$$(2) F(A, B, C, D) = \overline{AB + \bar{A}\bar{D} + B\bar{D} + \bar{A}B + C\bar{D}A + \bar{A}\bar{D} + CD + \bar{A}\bar{B}\bar{D}}$$

$$(3) F(A, B, C) = \overline{A\bar{B}C + AB + \overline{ABC} + \bar{A}\bar{C} + AB\bar{C}}$$

$$(4) F(A, B, C) = \overline{(B + \bar{A})(AB + C) + ABC + \bar{A}\bar{B}C + (A + B)(\bar{A} + C)}$$

$$(5) F(A, B, C) = \overline{(\bar{A} + \bar{B})(A + \bar{A}B)(\bar{A} + \bar{B} + \bar{A}\bar{B}C) + (A + B)(\bar{A} + C)}$$

2-37 利用卡诺图把下列开关函数展开成: (a)标准“与或”式; (b)标准“或与”式。

$$(1) F(A, B, C) = (\bar{A} + B)(A + B + \bar{C})(\bar{A} + C)$$

$$(2) F(A, B, C, D) = A\bar{B} + \bar{A}CD + B\bar{C}\bar{D}$$

$$(3) F(A, B, C, D) = (A + \bar{B})(C + \bar{D})(\bar{A} + C)$$

$$(4) F(A, B, C, D, E) = \bar{A}E + BCD$$

$$(5) F(A, B, C, D, E) = B\bar{D}E + A\bar{B}\bar{D} + \bar{A}C\bar{D}E + A\bar{C}E$$

2-38 利用卡诺图确定下列各函数中哪些是相等的。

$$(1) F_1(A, B, C, D) = AC + BD + A\bar{B}\bar{D}$$

$$(2) F_2(A, B, C, D) = A\bar{B}\bar{D} + AB + \bar{A}B\bar{C}$$

$$(3) F_3(A, B, C, D) = BD + A\bar{B}\bar{D} + ACD + ABC$$

$$(4) F_4(A, B, C, D) = AC + A\bar{B}\bar{C}\bar{D} + \bar{A}BD + B\bar{C}D$$

$$(5) F_5(A, B, C, D) = (B + \bar{D})(A + B)(A + \bar{C})$$

2-39 利用卡诺图化简下列各函数式为最简“与或”式。

$$(1) F(A,B,C) = \sum m(1,5,6,7)$$

$$(2) F(A,B,C) = \sum m(0,1,2,3,4,5)$$

$$(3) F(A,B,C,D) = \sum m(0,2,5,7,8,10,13,15)$$

$$(4) F(A,B,C,D) = \sum m(1,3,4,5,6,7,9,11,12,13,14,15)$$

2-40 利用卡诺图化简下列各函数式为最简“或与”式。

$$(1) F(A,B,C) = \prod M(0,1,4,5,6)$$

$$(2) F(A,B,C) = \prod M(1,2,3,6)$$

$$(3) F(A,B,C,D) = \prod M(2,3,4,5,7,12,13)$$

$$(4) F(A,B,C,D) = \prod M(1,2,5,7,11,13,15)$$

2-41 利用卡诺图化简下列带有约束项的函数式为最简“与或”式。

$$(1) F(A,B,C,D) = \sum m(1,2,7,12,15) + \sum \phi(5,9,10,11,13)$$

$$(2) F(A,B,C,D) = \sum m(0,2,5,15) + \sum \phi(8,9,12,13)$$

$$(3) F(A,B,C,D) = \sum m(4,7,9,15) + \sum \phi(1,2,3,6)$$

$$(4) F(A,B,C,D) = \sum m(0,2,3,4,5) + \sum \phi(8,9,10,11)$$

2-42 利用卡诺图化简下列带有约束项的函数式为最简“或与”式。

$$(1) F(A,B,C,D) = \prod M(4,7,9,11,12) \cdot \prod \phi(0,1,2,3)$$

$$(2) F(A,B,C,D) = \prod M(0,3,7,12) \cdot \prod \phi(2,10,11,14)$$

$$(3) F(A,B,C,D) = \prod M(3,4,10,13,15) \cdot \prod \phi(6,7,14)$$

$$(4) F(A,B,C,D) = \prod M(0,7,11,13) \cdot \prod \phi(1,2,3)$$

2-43 用卡诺图化简法求题 2-33 中各函数式的最简“与或”式。

2-44 用卡诺图化简法求下列各函数式的最简“与或”式。

$$(1) F(A,B,C) = \sum (0,1,2,4,6)$$

$$(2) F(A,B,C,D) = \prod (3,4,6,7,11,13,15)$$

$$(3) F(A,B,C,D,E) = \sum (0,2,4,13,16,18,19,20,23,29)$$

$$(4) F(A,B,C,D) = \sum m(0,1,4,7,9,10,13) + d(2,6,8)$$

$$(5) F(A,B,C,D) = \sum m(4,5,6,13,14,15) + d(8,9,10,11)$$

2-45 用卡诺图化简法求题 2-34 中各函数式的最简“或与”式。

2-46 用卡诺图化简法求下列各函数式的最简“或与”式。

$$(1) F(A,B,C,D) = \sum (1,4,5,6,9,12,14)$$

$$(2) F(A,B,C,D) = \sum m(1,5,8,9,13,14) + d(7,10,11,15)$$

$$(3) F(A,B,C,D) = \prod M(1,4,6,9,12,13) \cdot D(0,5,10,15)$$

2-47 利用卡诺图整体化简下列两组多输出函数式为最简“或与”式。

$$(1) F_a(A,B,C,D) = \sum m(4,5,6,15) + d(8,11)$$

$$F_b(A,B,C,D) = \sum m(0,2,3,4,5) + d(8,11)$$

$$(2) \quad F_\alpha(A, B, C, D) = \sum m(3, 4, 6, 11, 12) + d(14, 15)$$

$$F_{\beta}(A, B, C, D) = \sum m(4, 5, 6, 11, 14) + d(8, 12)$$

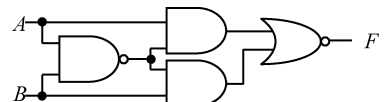
2-48 已知  $F_1 = \overline{A}B\overline{D} + \overline{C}$ ,  $F_2 = (B+C)(A+\overline{B}+D)(\overline{C}+D)$ , 试求:

- (1)  $F_a = F_1 \cdot F_2$  的最简“与或”式和最简“与非-与非”式;
  - (2)  $F_b = F_1 + F_2$  的最简“或与”式和最简“或非-或非”式;
  - (3)  $F_c = F_1 \oplus F_2$  的最简“与或非”式。

2-49 设有三个输入变量  $A$ 、 $B$ 、 $C$ ，试根据下列逻辑问题的描述列出真值表，写出各逻辑函数的最小项之和式和最大项之积式。

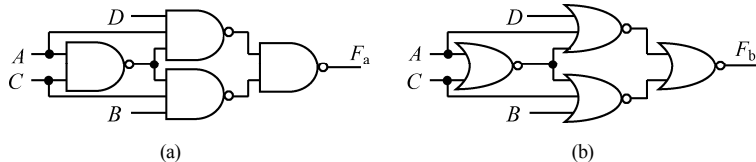
- (1) 当  $A, B, C$  全相同时, 输出  $F_a$  为 “1”, 其余情况下均为 “0”。
  - (2) 当  $A+B=C$  时, 输出  $F_b$  为 “1”, 其余情况下均为 “0”。
  - (3) 当  $A \oplus B=B \oplus C$  时, 输出  $F_c$  为 “1”, 其余情况下均为 “0”。

2-50 求图题 2-50 所示电路的逻辑表达式和真值表，并改用“与非”门实现之。



图题 2-50

2-51 分别求图题 2-51(a)、(b)所示电路的逻辑表达式和卡诺图。

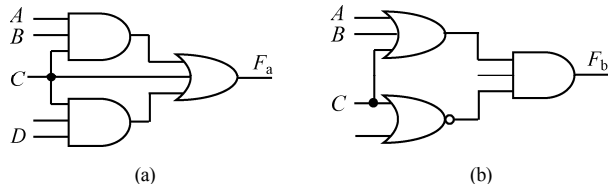


### 图题 2-51

2-52 图题 2-52(a)、(b)所示电路的逻辑功能应分别为：

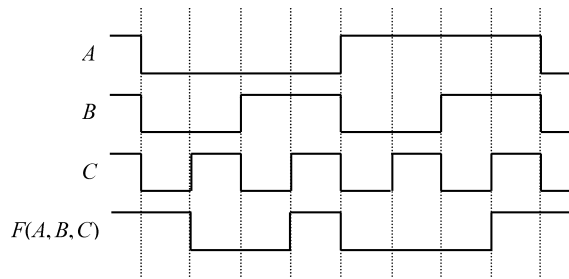
$$F_a = (AB + D)C, \quad F_b = A\bar{C} + B\bar{C}$$

试修改图中的错误和不合理之处，使之实现所要求的功能。不允许更改逻辑符号。



图题 2-52

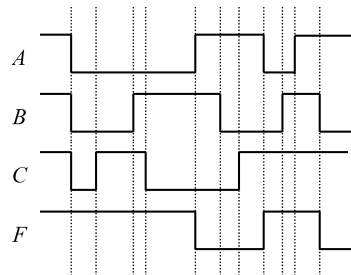
2-53 给出定时时序图如图题 2-53 所示。试找出开关函数  $F(A, B, C)$  的最简“与或”式、最简“或与”式、最简“与非-与非”式和最简“或非-或非”式。



### 图题 2-53

2-54 某电路的输入 ( $A$ 、 $B$ 、 $C$ ) 和输出 ( $F$ ) 的时序图如图题 2-54 所示，要求：

- (1) 列出  $F$  的真值表；
- (2) 写出最小项之和式和最简“与或”式；
- (3) 写出最大项之积式和最简“或与”式。



图题 2-54

2-55 利用 Q-M 化简法，化简题 2-35 各表达式为最简“与或”式。

2-56 利用 Q-M 化简法重做题 2-41。

2-57 考虑一下，如何利用 Q-M 化简法重做题 2-42。

# 第3章 逻辑门电路

逻辑门电路是指能完成一些基本逻辑功能的电子电路，简称门电路。门电路是构成数字系统最基本的单元电路。从生产工艺上看，门电路又可分为两大类，即分立元件门电路和集成门电路。分立元件门电路目前已很少采用，因此本章主要介绍各种类型的集成门电路。

通常根据一片半导体芯片上含有逻辑门的个数或元器件的个数将集成电路分为小规模、中规模、大规模和超大规模集成电路。一般认为，含有逻辑门电路的个数小于 10 门/片的为小规模集成电路（Small Scale Integration），简称 SSI；含有逻辑门电路的个数为 10~100 门/片的为中规模集成电路（Medium Scale Integration），简称 MSI；含有逻辑门电路的个数为 100~10000 门/片的为大规模集成电路（Large Scale Integration），简称 LSI；含有逻辑门电路的个数大于 10000 门/片的为超大规模集成电路（Very Large Scale Integration），简称 VLSI。

数字集成电路按所用半导体器件的不同，又可分为两大类：一类是以双极性结型晶体管为基本元件组成的集成电路，称为双极型晶体管数字集成电路，属于这一类的有 DTL（Diode-Transistor Logic）和 TTL（Transistor-Transistor Logic）等。在 20 世纪的一段时间内，使用最广泛的就是 TTL 数字集成电路，但由于 TTL 电路存在功耗比较大的缺点，所以 TTL 电路主要用于制作小规模集成电路（SSI）和中规模集成电路（MSI）。另一类以 MOS 晶体管为基本元件组成的集成电路，称为 MOS 型（或单极型）数字集成电路，属于这一类的有 NMOS（N-Channel Metal-Oxide-Semiconductor）和 CMOS（Complement Metal-Oxide-Semiconductor）等。CMOS 电路的最大优势就是功耗极低，非常适合制作大规模集成电路（LSI）和超大规模集成电路（VLSI）。随着制作工艺的更新换代，CMOS 电路不仅在集成规模上，还在工作速度和驱动能力上都有超过 TTL 电路的趋势，当前 CMOS 电路已经逐渐上升为数字集成电路的主流产品。这两种集成电路是本章重点讲述的内容。

## 3.1 概 述

一般将同基本逻辑运算和复合逻辑运算相对应的单元电路称为门电路。常用的门电路有“与”门、“或”门、“非”门及“与非”门、“或非”门、“与或非”门、“异或”门等。

在数字电路中，分别用高、低电平表示二值逻辑的“1”和“0”。若以高电平表示逻辑“1”，低电平表示逻辑“0”，称这种表示方法为正逻辑。反之，若以高电平表示逻辑“0”，低电平表示逻辑“1”，则称这种表示方法为负逻辑。除特别声明外，本书中一律采用正逻辑。

## 3.2 晶体管的开关作用

半导体器件都有导通和截止的开关作用，门电路就是利用其开关作用而组成的。因此我们首先来讨论由二极管、晶体管和场效应管组成的基本开关电路。

### 3.2.1 二极管的开关作用

图 3.1 所示为二极管开关电路，图中  $VD$  为硅二极管， $R = 5k\Omega$ ，输入信号为跳变的脉冲信号。当输入信号为正向电压且超过二极管的钳位电压  $U_D$ （硅管大于 0.7V，锗管大于 0.2V）时，管子

VD 导通，相当于闭合的开关串接二极管的正向管压降  $U_D$ ，这称为二极管的“通”态。此时二极管可以等效为一个 0.7V（硅管）的恒压源，近似为一个闭合开关，其等效电路如图 3.2(a)所示。当输入信号为反向电压或者正向电压很小（硅管小于 0.5V，锗管小于 0.1V）时，管子 VD 截止，相当于断开的开关，这称为二极管的“断”态。其等效电路如图 3.2(b)所示。

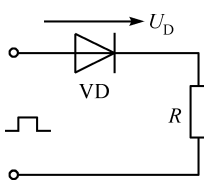


图 3.1 二极管开关电路

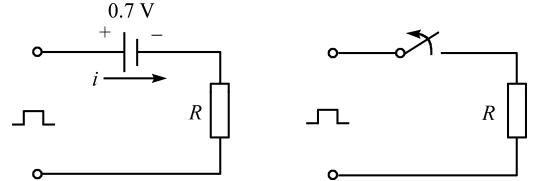


图 3.2 二极管开关等效电路

如果输入信号远大于  $U_D$ ，则可忽略  $U_D$  的影响，即把二极管看为理想开关。

根据半导体物理理论可知，描述二极管特性常采用特性方程式 (3.1) 和图 3.3 所示的伏安特性曲线。

$$i = I_S(e^{qu_D/KT} - 1) \quad (3.1)$$

式中， $i$  是流过二极管 VD 的电流； $I_S$  是反向饱和电流，该值与构成二极管的材料、尺寸等有关； $q$  是电子电荷； $u_D$  是加在二极管 VD 两端的电压； $K$  是玻耳兹曼常数； $T$  是热力学温度。

由式 (3.1) 和图 3.3 可见，实际的半导体二极管电压和电流之间是非线性关系，当外加电压正向偏置时，电流  $i$  随着  $u_D$  的增大按指数规律增加。当正向电压  $u_D$  较小时，通过二极管的电流  $i$  很小，只有当正向电压增大到一定值  $U_{ON}$  后，电流  $i$  才有明显的数值，该正向电压值  $U_{ON}$  被称为二极管的开启电压或门限电压。

当外加反向电压时，因为  $u_D < 0$ ，此时， $e^{qu_D/KT} \ll 1$ ，则式 (3.1) 可近似为  $i = -I_S$ 。由此可见，二极管不能看为理想开关。但在工程应用中一般外加电压较低，并且外接电阻也很大，这时近似地将其作为开关还是完全可以的。

在脉冲信号作用下，若频率较高，当二极管两端外加电压突然由正向变为反向时，二极管不能立即截止。因为此时 PN 结内还有一定数量的存储电荷，将会有较大的瞬态反向电流，随着存储电荷的消散，反向电流迅速减小，并趋近于反向饱和电流，这段时间称为反向恢复时间。实验证明：反向恢复时间约为几毫秒，反向恢复时间是用来定量地描述反向电流的持续时间，它是指反向电流从峰值衰减到峰值的十分之一所需要的时间。

二极管从截止转成正向导通时，仍然需要等 PN 结内部建立起足够的电荷浓度梯度后才能有扩散电流形成，这段过程所需要的时间称为开通时间，与反向恢复时间相比，它很小。因此，影响二极管开关速度的主要因素是反向恢复时间，而开通时间常可忽略不计。

### 3.2.2 三极管的开关特性

#### 1. 双极型三极管的开关特性

在数字电路中，三极管主要工作在截止区和饱和区，并经常在饱和区和截止区之间进行快速转换，这就是三极管的开关运用特性。

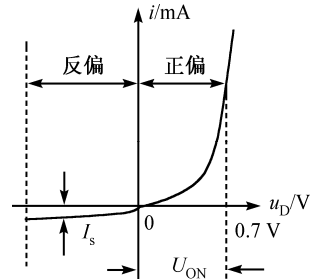


图 3.3 二极管的伏安特性

下面我们首先以NPN型共发射极三极管为例来分析三极管的三种工作状态。

### 1) 截止状态

如图3.4(a)所示,由于发射极接地,即 $U_E = 0V$ ,因此当输入电压 $u_I < 0V$ 时,发射结反偏, $i_B$ 、 $i_C$ 只有很小的反向饱和电流,所以 $R_C$ 上基本没有压降, $u_{CE} = U_{CC}$ ,集电结自然反偏,B、E、C三个极之间如同断开一样,这个状态被称为**截止状态**。

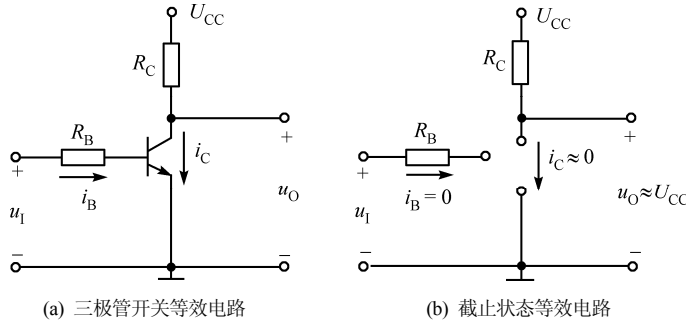


图3.4 双极型三极管基本开关电路

实际上,对于硅管而言,当 $u_{BE} < 0.5V$ 时已开始截止。为了保证可靠截止,常使 $u_{BE} = 0V$ 或加反向偏压(即使 $u_I < 0V$ )。

三极管截止时有如下特点:

- (1)  $i_B \approx 0$ ;
- (2)  $i_C \approx 0$ ;
- (3)  $u_{CE} = U_{CC}$ 。

三极管处于截止状态时,由于 $i_C = 0$ ,发射极与集电极之间的电阻很大,如同一个开关的断开。因此,也将三极管的截止状态称为三极管的“断”态,其等效电路如图3.4(b)所示。

### 2) 放大状态

当 $u_I$ 上升,且三极管发射结电压 $U_{BE}$ 正向偏置时,有 $i_B$ 产生,同时有相应的集电极电流 $i_C$ 流过电阻 $R_C$ 和三极管组成的输出回路。此时集电结仍然处于反偏,并且 $i_B$ 和 $i_C$ 近似成线性的关系。

三极管工作于放大状态时的特点是:

- (1)  $u_{CE} = U_{CC} - i_C R_C$ ;
- (2)  $i_C = \beta i_B$ 。

### 3) 饱和状态

三极管放大导通后,如果继续增大输入电压 $u_I$ ,则 $i_B$ 、 $i_C$ 也将继续增大,而 $u_{CE} = U_{CC} - i_C R_C$ 不断下降,当 $u_{CE}$ 下降到 $U_{BE}$ (发射结的饱和压降,约为0.7V)以下时,三极管集电结由反偏转化为正偏。需要指出的是,刚达到饱和时, $i_C = \beta i_B$ 的关系还存在,若 $i_B$ 再增加, $i_C$ 将不再随 $i_B$ 增加,这时有:

$$i_C = I_{C(sat)} < \beta i_B \quad i_E < (1 + \beta) i_B \quad (3.2)$$

式中, $I_{C(sat)}$ 为临界集电极饱和电流,它由式(3.3)确定:

$$I_{C(sat)} = \frac{U_{CC} - U_{CE(sat)}}{R_C} \approx \frac{U_{CC}}{R_C} \quad (3.3)$$

式中, $U_{CE(sat)}$ 为**饱和集射压降**。

使三极管进入饱和状态所需的小基极电流称为基极饱和电流，用  $I_{BS}$  表示，并且：

$$I_{BS} = \frac{I_{C(sat)}}{\beta} = \frac{U_{CC} - U_{CE(sat)}}{\beta R_C} \quad (3.4)$$

在电路分析中，可把基极电流  $i_B > I_{BS}$  作为判断硅三极管进入饱和状态的条件。

综上所述，三极管工作于饱和状态时的特点是：

(1)  $i_B > \frac{I_{C(sat)}}{\beta}$ ，这是饱和的条件；

(2)  $I_{C(sat)} \approx \frac{U_{CC}}{R_C}$ ；

(3)  $U_{CE(sat)} \approx 0.3$ 。

由此可见，饱和时的集电极与发射极之间如同短路接通一样，此时三极管的集电极与发射极之间仅为两极之间的饱和压降  $U_{CE(sat)}$ ，该值很小，可认为  $U_{CE(sat)} \approx 0$ 。将此状态称为三极管的“通”态，其等效电路如图 3.5 所示。

三极管结电压的典型数据列于表 3.1 中。

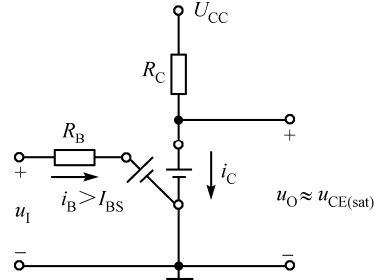


图 3.5 三极管饱和状态电路

表 3.1 三极管结电压的典型数据

管型	工作状态				
	临界饱和		放大	截止	
	$U_{BE(sat)}$ / V	$U_{CE(sat)}$ / V	$U_{BE}$ / V	$U_{BE}$ / V	开始截止
	开始截止	可靠截止			
硅管 (NPN)	0.7	0.3	0.6~0.7	0.5	$\leq 0$
锗管 (PNP)	-0.3	-0.1	-0.2~-0.3	-0.1	0.1

与二极管相同，在输入脉冲信号的作用下，三极管时而饱和导通，时而截止。当脉冲频率很高时，三极管的过渡过程就必须考虑。

在动态情况下，即三极管在截止与饱和导通之间迅速转换时，由于三极管内部基区存储电荷的积累和消散都需要一定的时间，所以集电极电流  $i_C$  的变化总是滞后于基极电压  $u_{BE}$  的变化，故输出电压  $u_O$  的变化也必然滞后于输入电压  $u_I$ ，如图 3.6 所示。

通常我们把输出电压  $u_O$  的下降滞后于输入电压  $u_I$  上升的时间称为开通时间  $t_{on}$ ，它反映了三极管从截止到饱和所需要的时间；而把输出电压  $u_O$  的上升滞后于输入电压  $u_I$  下降的时间称为关断时间  $t_{off}$ ，它反映了三极管从饱和到截止所需要的时间。开通时间和关断时间一般都在纳秒数量级。这种滞后现象可以从三极管的基极与发射极之间和集电极与发射极之间均存在结电容效应来理解。

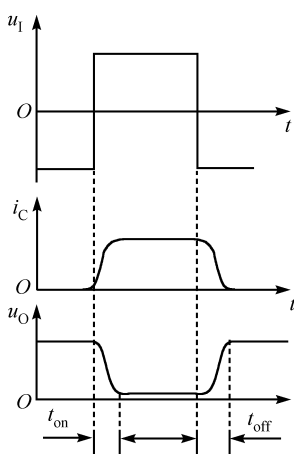


图 3.6 三极管的动态特性

## 2. MOS 管的开关特性

在半导体器件中，除二极管、三极管能作为开关运用外，还有一类集成度高、功耗低、工艺简单的器件，即 **MOS 场效应管**。

MOS 场效应管是金属-氧化物-半导体场效应管 (Metal-Oxide-Semiconductor-Effect Transistor) 的简称。MOS 管作为开关元件，同样也是工作在截止或饱和导通状态。所不同的是，MOS 管是电压控制元件，主要由栅、源电压  $u_{GS}$  决定其工作状态。

图3.7所示为由增强型NMOS场效应管组成的开关电路,图中 $R_D$ 为负载电阻,下面分析该电路的工作过程:

当 $u_I = u_{GS} < U_{GS(th)}$ <sup>①</sup>时,NMOS工作在截止区, $i_{DS}$ 基本为零,输出电压 $u_O = u_{DS} \approx U_{DD}$ ,这就是NMOS管的“关”态,其等效电路如图3.8(a)所示。

当 $u_I > U_{GS(th)}$ ,并且在 $u_{DS}$ 较高的情况下,则MOS管工作在导通区,漏、源电流为 $i_{DS} = \frac{U_{DD}}{R_D + r_{DS}}$ ,其中, $r_{DS}$ <sup>②</sup>为导通时的漏、源电阻。当 $u_I$ 继续升高后, $r_{DS}$ 将变得很小,若 $r_{DS} \ll R_D$ ,这时输出电压 $u_{DS} = \frac{U_{DD}r_{DS}}{R_D + r_{DS}} \approx 0$ ,该状态就是NMOS管的“开”态,其等效电路如图3.8(b)所示。

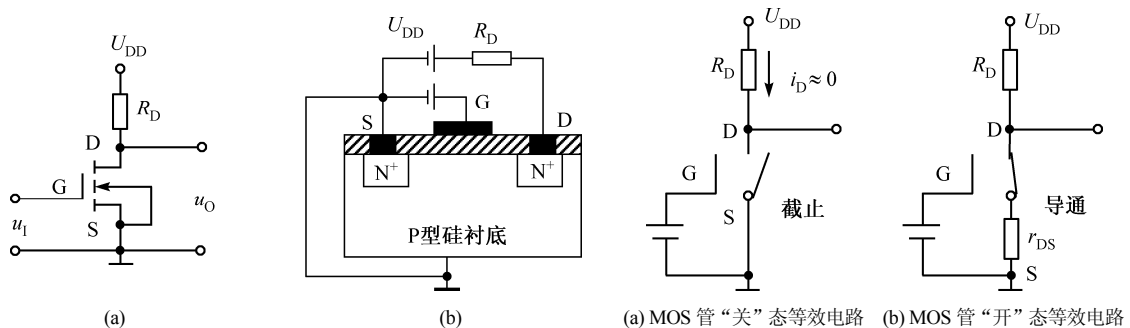


图3.7 MOS管开关电路

图3.8 MOS管基本开关电路

MOS管工作在开关状态时,其动态特性主要取决于与电路有关的杂散电容的充、放电时间,而管子本身导通或截止时电荷积累和消散的时间却很小。因此,当输入电压 $u_I$ 由高变低,即电路由导通状态转换为截止状态时,电源 $U_{DD}$ 通过 $R_D$ 向杂散电容 $C_L$ 进行充电,充电时间常数 $\tau_1 = R_D C_L$ 。所以,输出电压 $u_O$ 由低电平转换为高电平则要经过一段延时;同理,当输入电压 $u_I$ 由低变高,电路由截止状态转换为导通状态时,杂散电容 $C_L$ 上的电荷通过 $r_{DS}$ 进行放电,放电时间常数 $\tau_2 = (r_{DS}/R_D)C_L$ ,故输出电压 $u_O$ 也要经过一段延时才能转换为低电平。

图3.9所示为MOS管的开关动态特性及MOS管在理想脉冲作用下,漏极电流 $i_D$ 和输出电压 $u_O$ 的波形示意图。

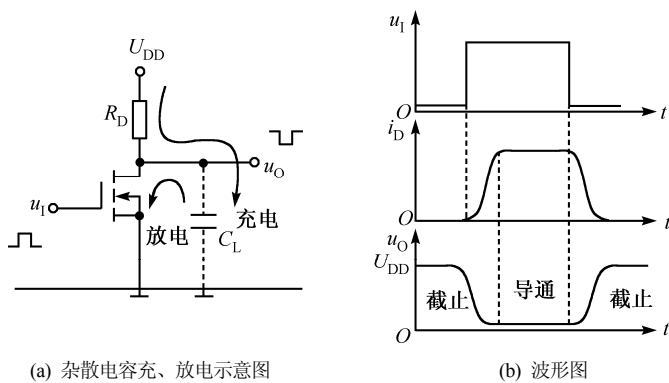


图3.9 MOS管的动态特性

①  $U_{GS(th)}$ 为MOS管的开启电压。

② MOS管导通状态下的内阻 $r_{DS}$ 一般约在 $1\text{k}\Omega$ 之内,并且与 $u_{GS}$ 的数值有关。

由于 MOS 管导通时的漏、源电阻  $r_{DS}$  比三极管的饱和电阻  $r_{CES}$  大得多，漏极电阻  $R_D$  也比集电极电阻  $R_C$  大，所以 MOS 管的充、放电时间较长，开关速度比三极管慢些。

### 3.3 基本逻辑门电路

在数字系统中有三种基本逻辑运算：即与、或、非。实现这三种基本逻辑运算的电路分别称为“与”门、“或”门和“非”门，它们就是数字电路中最基本的逻辑门电路。

#### 3.3.1 分立元件门电路

在数字系统中，把由电阻、电容、二极管、三极管等器件构成的各种逻辑门电路称为分立元件门电路。

##### 1. 二极管“与”门

二极管“与”门电路如图 3.10 所示，图中  $A$ 、 $B$ 、 $C$  是输入逻辑变量， $Y$  是输出逻辑函数。二极管若选用锗管，其正向导通时管压降约为 0.3V。如果采用正逻辑，并规定 3V 及以上为高电平，0.7V 以下为低电平。现设输入低电平为 0V，输入高电平为 3V，则图 3.10 所示的电路有以下三种不同的工作情况。

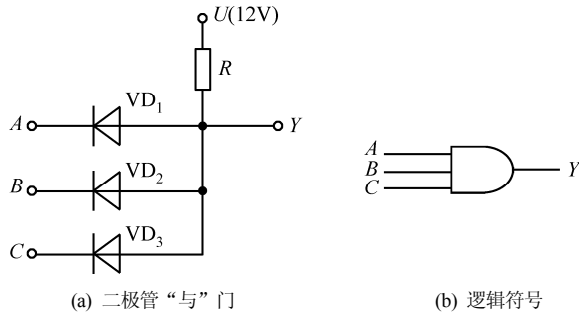


图 3.10 二极管“与”门电路

① 当  $A$ 、 $B$ 、 $C$  三个输入端都为低电平时，二极管  $VD_1$ 、 $VD_2$ 、 $VD_3$  全导通，由于二极管正向导通时的钳位作用，输出端电位  $u_Y = 0 + 0.3 = 0.3$  V，属于 0.7V 以下，因此输出端  $Y$  为低电平。

② 当  $A$ 、 $B$ 、 $C$  三个输入端中有一个（或两个）为低电平，其余是高电平时，例如， $A$  端为“0”，这时电源  $U(12V)$  将经过电阻  $R$  向处于低电平的  $A$  端流入电流， $VD_1$  优先导通。输出端  $Y$  的电位  $u_Y = 0 + 0.3 = 0.3$  V，所以输出为低电平。但这时  $VD_3$ 、 $VD_3$  因承受反向电压而截止，因此就把  $B$ 、 $C$  端的高电平和输出端  $Y$  隔离开了。

③ 当  $A$ 、 $B$ 、 $C$  三个输入端都为高电平时，三个二极管均导通，输出端电位  $u_Y = 3 + 0.3 = 3.3$  V，仍属 3V 左右，输出端  $Y$  为高电平。

表 3.2 所示为三个输入端  $A$ 、 $B$ 、 $C$  分别取逻辑“0”、“1”两种状态的 8 种组合，它完整地表达了所有可能的逻辑状态。可见， $Y$  和  $A$ 、 $B$ 、 $C$  之间是“与”逻辑关系。“与”逻辑关系可用式 (3.5) 表示：

$$Y = A \cdot B \cdot C \quad (3.5)$$

表 3.2 “与”门真值表

输入			输出
$A$	$B$	$C$	$Y$
0	0	0	0
0	0	1	0
0	1	0	0
0	1	1	0
1	0	0	0
1	1	0	0
1	1	1	1

## 2. 二极管“或”门

图 3.11 所示为由二极管构成的“或”门电路，比较一下图 3.10 和图 3.11 可知，后者二极管的极性和前者接得相反，并采用了负电源。下面仍分三种情况进行讨论。

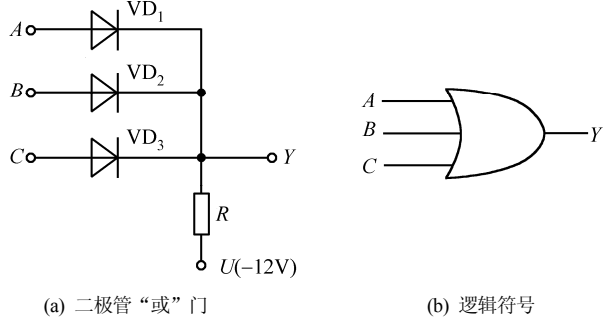


图 3.11 二极管“或”门电路

① 当  $A$ 、 $B$ 、 $C$  三个输入端都为低电平时，二极管  $VD_1$ 、 $VD_2$ 、 $VD_3$  全导通，则输出端  $u_Y = 0 - 0.3 = -0.3$  V，仍属于 0V 左右这个范围，因此输出端  $Y$  为低电平。

表 3.3 “或”门真值表

输入			输出
$A$	$B$	$C$	$Y$
0	0	0	0
0	0	1	1
0	1	0	1
0	1	1	1
1	0	0	1
1	0	1	1
1	1	0	1
1	1	1	1

② 当  $A$ 、 $B$ 、 $C$  三个输入端中有一个（或两个）为低电平，其余是高电平时，如  $A$  端为“1”，即  $u_A = 3$  V， $u_B = u_C = 0$  V，这时电流从  $A$  经过  $VD_1$  和电阻  $R$  流向电源负端， $VD_1$  优先导通。输出端  $Y$  的电位  $u_Y = 3 - 0.3 = 2.7$  V，属 3V 左右，此时输出端为高电平。 $Y$  端的电位比输入端  $B$ 、 $C$  高，于是  $VD_2$ 、 $VD_3$  因承受反向电压而截止。

③ 当  $A$ 、 $B$ 、 $C$  三个输入端都为高电平时，三个二极管均导通，输出端  $u_Y = 3 - 0.3 = 2.7$  V，仍属 3V 左右，所以，输出端  $Y$  为高电平。

由此可见，图 3.11 所示电路实现的是“或”逻辑运算。“或”逻辑关系可用式 (3.6) 表示：

$$Y = A + B + C \quad (3.6)$$

表 3.3 所示为“或”门的逻辑真值表。

## 3. 三极管“非”门

图 3.12 所示为三极管“非”门电路及其逻辑符号，“非”门又称反相器。图 3.12 中采用的是 NPN 型三极管，为了保证在输入低电平时三极管 VT 可靠截止，接入电阻  $R_2$  和负电源  $U_{BB}$ 。当输入高电平时，也应保证三极管 VT 工作在深度饱和状态，为此，电路参数的配合必须合适。设该电路中， $R_1 = 1.5\text{k}\Omega$ ， $R_2 = 18\text{k}\Omega$ ， $R_C = 1\text{k}\Omega$ ， $\beta = 30$ ，分析图 3.12 所示电路。

① 当  $A$  为低电平时，三极管 VT 基极电位  $u_B < 0$ ，满足截止条件  $u_{BE} < 0.7$  V，故三极管 VT 处于截止状态，集电极电流  $i_C = 0$ ， $u_Y = U_{CC} = 3$  V，即输出端  $Y$  处于高电平。

② 当  $A$  为高电平时，此时三极管 VT 处于饱和导通状态，因为导通时  $u_B = 0.7$  V，则基极电流为：

$$i_B = \frac{u_A - u_B}{R_1} - \frac{u_B - (-U_{BB})}{R_2} = \left( \frac{3 - 0.7}{1.5} - \frac{0.7 - (-12)}{18} \right) = 0.82\text{mA}$$

而三极管 VT 饱和时所需的最小基极电流为：

$$i_{BS} = \frac{i_{CS}}{\beta} = \frac{U_{CC} - u_{CES}}{R_C \cdot \beta} = \frac{3 - 0.3}{1 \times 30} = 0.09\text{mA}$$

因  $i_B > i_{BS}$ , 故而证明此时三极管 VT 确实饱和, 则输出端为  $u_Y = u_{CES} \approx 0.3 \text{ V}$ , 即 Y 处于低电平。

“非”逻辑关系可用式 (3.7) 表示:

$$Y = \bar{A} \quad (3.7)$$

表 3.4 所示为“非”门的逻辑真值表。

上述由二极管构成的“与”门、“或”门电路其优点是电路结构简单, 成本低。缺点为: 一是存在输出电平偏移问题, 即输出的高、低电平数值与输入的高、低电平数值之间相差一个二极管的导通压降, 若将一个门的输出作为下一级门的输入, 就会产生电平偏移现象; 二是负载电阻的改变有时可能影响输出高电平。

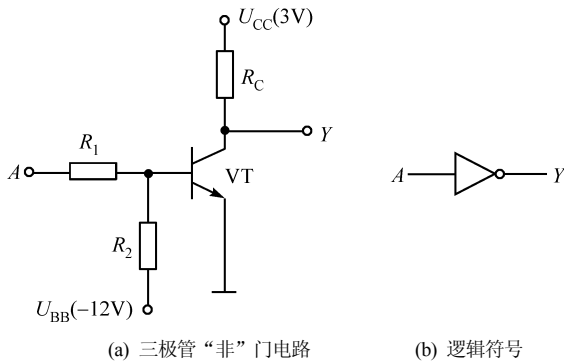


表 3.4 “非”门真值表

输入	输出
A	Y
1	0
0	1

图 3.12 三极管“非”门

### 3.3.2 复合门电路

由前述三种基本门电路可组成各种复合门电路, 如“与非”门、“与或非”门等, 若干“与”门、“非”门连接还可构成“异或”门、“同或”门等电路, 如图 3.13 所示。

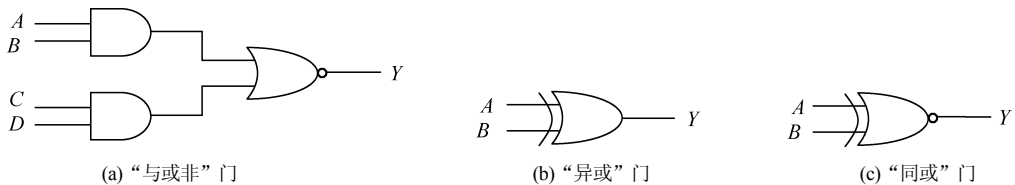


图 3.13 复合门电路

## 3.4 TTL 集成门电路

TTL, 即三极管-三极管逻辑电路, 其输出级采用三极管, 且输入级也以三极管代替了二极管, 因而得名。TTL 电路又分为中速 TTL; 高速 TTL (简称 HTTL); 在电路中引入肖特基三极管的 TTL, 称为肖特基 TTL (简称 STTLL); 低功耗 TTL (简称 LTTL); 低功耗肖特基 TTL (简称 LSTTLL); 先进低功耗肖特基 TTL (简称 ALSTTLL)。典型 TTL 电路的“性能价格比”较为合理, 在数字系统中, 广泛地使用 TTL 电路。

### 3.4.1 TTL “与非”门的基本原理

图 3.14 所示电路为典型的集成 TTL 二输入端“与非”门 7400 (国产型号为 T1000) 电路的原理图。其输入极是一个多发射极三极管 VT<sub>1</sub>, 可以认为 VT<sub>1</sub> 是两个发射极独立、基极与集电极均公用的

三极管。VT<sub>2</sub>是中间反向级，VT<sub>2</sub>的集电极和发射极可同时输出两个相位相反的信号，分别驱动VT<sub>4</sub>和VT<sub>5</sub>。VT<sub>4</sub>、VT<sub>5</sub>组成推拉式输出级。下面分析图3.14所示电路的工作原理和逻辑功能。

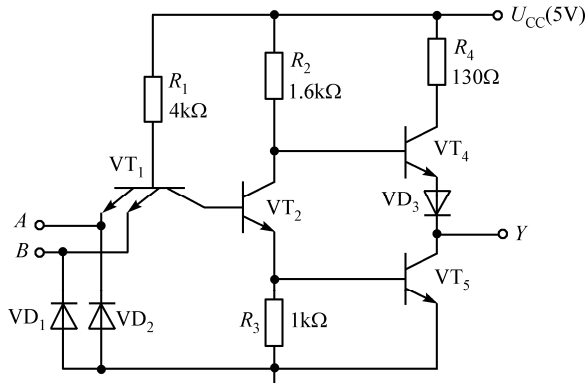


图3.14 TTL“与非”门电路图

### (1) 输入端有低电平时

当输入端A、B中至少有一个为低电平(0.3V)时，则VT<sub>1</sub>的基极电位U<sub>BI</sub>=0.3+0.7=1V，这时将会有电流从电源U<sub>CC</sub>经电阻R<sub>1</sub>、VT<sub>1</sub>的基极B<sub>1</sub>，向处于低电平的发射极流出。如果要使VT<sub>2</sub>的发射结导通，VT<sub>1</sub>的U<sub>BI</sub>应大于0.7×2=1.4V，若要使VT<sub>2</sub>和VT<sub>5</sub>的发射结同时导通，U<sub>BI</sub>应为0.7×3=2.1V，现在U<sub>BI</sub>被钳在1V左右，迫使三极管VT<sub>2</sub>、VT<sub>5</sub>都截止。由于VT<sub>2</sub>截止，使得VT<sub>2</sub>的集电极电位近似等于U<sub>CC</sub>。U<sub>CC</sub>通过R<sub>2</sub>供给VT<sub>4</sub>基极电流，使VT<sub>4</sub>导通，于是输出端的电平由式(3.8)决定：

$$u_O = U_{CC} - u_{BE4} - u_{D3} - u_{R2} \approx 3.6 \text{ V} \quad (3.8)$$

式中，u<sub>R2</sub>为R<sub>2</sub>上的压降(其值在R<sub>2</sub>上的电流很小，而近似认为0)。此种情况可描述为：“有0出1”。

### (2) 输入端全为高电平时

当各输入端的电平全部为高电平(约3.6V)时，多发射极三极管VT<sub>1</sub>的基极电位将升高，可能达到U<sub>BI</sub>=3.6+0.7≈4.3V左右，且使VT<sub>1</sub>集电结正向偏置。电源U<sub>CC</sub>通过R<sub>1</sub>和VT<sub>1</sub>的集电结向VT<sub>2</sub>提供足够的基极电流，使VT<sub>2</sub>饱和导通，VT<sub>2</sub>的发射极电流在R<sub>5</sub>上产生的压降，又为VT<sub>5</sub>提供了足够的基极电流，使VT<sub>5</sub>也饱和导通，因此输出端为低电平，即：

$$u_O \approx 0.3 \text{ V} \quad (3.9)$$

又由于此时VT<sub>2</sub>的饱和压降与VT<sub>5</sub>的发射结压降之和为u<sub>C2</sub>=0.3+0.7=1V，不足以使VT<sub>4</sub>导通，因此VT<sub>4</sub>截止，这时即满足“全1则0”。

综合上述两种情况，图3.14所示的“与非”门只要有一个输入端为低电平时，输出即为高电平；只有当所有的输入端全为高电平时，输出才为低电平，即实现了“与非”逻辑功能。

## 3.4.2 TTL“与非”门的特性及参数

在数字集成电路的应用中，电路的抗干扰能力、带负载的能力、工作速度和功率损耗是人们所关心的。本节讨论TTL“与非”门的这些性能及与之有关的参数。

### 1. 电压传输特性和静态参数

#### (1) 电压传输特性

TTL“与非”门的输出电压u<sub>O</sub>随输入电压u<sub>I</sub>而变化的关系曲线，叫做电压传输特性曲线。测试“与

非”门电压传输特性曲线的电路如图3.15(a)所示，输入端A'接可调直流电源，其余输入端接高电平3.6V，改变A'点电位，逐点测出 $u_O$ 和 $u_I$ 对应的值，即可描出电压传输特性曲线，如图3.15(b)所示。

在图3.15(b)中，AB段被称为电压传输特性曲线的截止区，由于 $VT_2$ 、 $VT_5$ 截止， $VT_4$ 导通，因而输出高电平；BC段被称为特性曲线的线性区，在该段中， $VT_5$ 仍截止， $VT_2$ 则放大导通，工作在放大区， $u_O$ 随着 $u_I$ 的上升而线性地下降；CD段被称为转折区， $VT_2$ 、 $VT_5$ 同时导通， $VT_4$ 截止， $u_O$ 快速下降为低电平。转折区中点所对应的输入电压定义为阈值电压，用 $U_T$ 表示，如图3.15(b)所示；DE段被称为特性曲线的饱和区，这时 $u_O$ 基本不随 $u_I$ 变化。图3.15(b)中的点化线是TTL“与非”门的理想特性曲线。

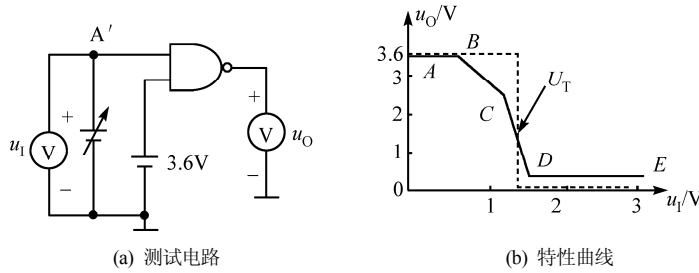


图3.15 TTL“与非”门的电压传输特性

## (2) 静态参数

从电压传输特性可得TTL“与非”门的静态参数。

### ① 输出高电平 $U_{OH}$ 和输出低电平 $U_{OL}$

$U_{OH}$ 是电路中 $VT_5$ 处于截止状态时的输出电平，对于74××系列其典型值为3.6V左右。 $U_{OL}$ 是电路中 $VT_5$ 处于导通状态时的输出电平，对于74××系列其典型值为0.3V左右。实际门电路的 $U_{OH}$ 和 $U_{OL}$ 并不是恒定值。由于产品的分散性，每个门之间互有差异。因此，对于74系列产品，若 $U_{OH} \geq 2.4V$ ， $U_{OL} \leq 0.4V$ ，便认为产品合格。

### ② 输入高电平 $U_{IH}$ 和输入低电平 $U_{IL}$

$U_{IH}$ 是与输入逻辑状态“1”所对应的输入电平，对于74××系列的多数产品其典型值为3.6V左右。保证“与非”门输出低电平所允许的最低输入高电平 $U_{IH(min)} = 2.0V$ ，一般情况下，常把 $U_{IH(min)}$ 称为开门电平，记为 $U_{ON}$ 。 $U_{IL}$ 是与输入逻辑状态“0”所对应的输入电平，对于74××系列的多数产品其典型值为0.3V。保证“与非”门输出高电平所允许的最高输入低电平 $U_{IL(max)} = 0.8V$ ，通常把 $U_{IL(max)}$ 称为关门电平，记为 $U_{OFF}$ 。

开门电平 $U_{ON}$ 和关门电平 $U_{OFF}$ 在使用时是很重要的参数，它们反映了门电路的抗干扰能力。例如：当我们用一个“非”门G<sub>1</sub>去控制另一个“非”门G<sub>2</sub>时，G<sub>1</sub>的输出就是G<sub>2</sub>的输入，如果G<sub>1</sub>的输出为低电平，它应使G<sub>2</sub>的输出为高电平。但在实际使用中往往存在诸多因素使G<sub>1</sub>输出的控制电平偏离标准低电平，这时只要实际的控制电平小于关门电平 $U_{OFF}$ ，则G<sub>2</sub>的输出仍保持为高电平。因此，我们把关门电平 $U_{OFF}$  ( $U_{IL(max)}$ )与输出低电平上限 $U_{OL(max)}$ 之间的差值称为低电平噪声容限电压 $U_{NL}$ ，即：

$$U_{NL} = U_{OFF} - U_{OL(max)} = 0.8 - 0.4 = 0.4V \quad (3.10)$$

$U_{NL}$ 越大，则表明“非”门G<sub>2</sub>在输入为“0”态下的抗干扰能力越强。

类似地，输出高电平下限 $U_{OH(min)}$ 与开门电平 $U_{ON}$  ( $U_{IH(min)}$ )之间的差值称为高电平噪声容限电压 $U_{NH}$ ，即：

$$U_{NH} = U_{OH(min)} - U_{ON} = 2.4 - 2 = 0.4V \quad (3.11)$$

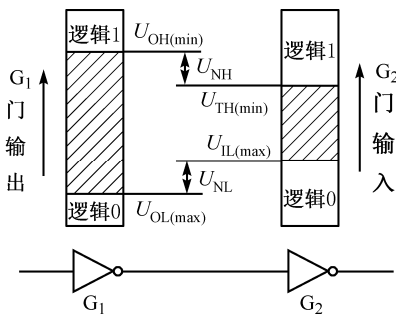


图 3.16 输入端噪声容限示意图

$U_{NH}$  越大，则表明“非”门  $G_2$  在输入为“1”态下的抗干扰能力越强。图 3.16 所示为噪声容限示意图。

需要指出的是， $U_{NL}$  和  $U_{NH}$  只反映电路允许承受多大的干扰信号，但不能反映电路是否容易接受干扰信号，而“非”门电路或“与非”门电路的输入阻抗对接受干扰有重大影响。输入阻抗越大，越容易接受干扰，因此衡量一个“非”门电路或“与非”门电路的抗干扰能力，除了要求有较大的  $U_{NH}$  和  $U_{NL}$  外，还要求有较低的输入阻抗。

### ③ 阈值电平 $U_T$

在电压传输特性曲线上， $CD$  段的中点所对应的输入电压被称为阈值电压，对于 TTL74 系列的门电路，阈值电压多数为  $U_T \approx 1.4V$ 。

## 2. 输入、输出负载特性

实际工作中门电路的输入、输出端总是要与其他门电路或电阻相连，即所谓带负载。这就涉及负载能力的问题，因此有必要搞清其输入、输出的负载特性。

### (1) 输入特性

图 3.17(a)所示为 7400 系列 TTL “与非”门的输入伏安特性，该特性是对一个输入端而言的，其他不用的输入端悬空即可。测试电路如图 3.17(b)所示。当  $u_I = 0$  时，输入电流的实际流向是：由  $U_{CC} \Rightarrow R_I \Rightarrow U_{BE1} \Rightarrow$  输入端，开始时  $I_I = -1.1mA$ ，因为该电流的实际流向与规定的电流正方向相反，参见图 3.17(b)中电流  $I_I$  的参考方向，所以为负值。并且，随着  $u_I$  的升高，输入电流  $I_I$  负值逐渐减小，当  $u_I = U_T$  时，输入电流开始改变方向，随着  $u_I$  继续升高， $I_I$  成为正值，并保持不变。从输入特性可以求出两个重要参数。

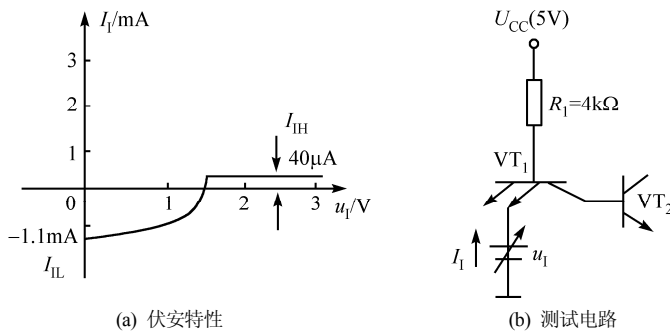


图 3.17 TTL “与非” 门的输入特性

### ① 输入低电平电流 $I_{IL}$

$I_{IL}$  是作为负载的门电路在输入端为低电平时，灌入前级门输出端  $VT_5$  的电流，也就是由负载“与非”门的多射极  $VT_1$  的一个射极流出输入端的电流，称该电流  $I_{IL}$  为灌电流。这时后级“与非”门是前级“与非”门的负载，并称其为灌电流负载。若以 7400 系列为例，当输入端的低电平取 0.3V 时，灌电流可计算如下：

$$I_{IL} = \frac{5V - (0.7 + 0.3)V}{4k\Omega} = -1mA \quad (3.12)$$

如图 3.18 所示，74 系列产品  $I_{IL(max)} = -1.6mA$ ，该值随不同的 TTL “与非” 门产品系列而变化，因  $R_L$  的不同，其值可能出入很大。

### ② 输入高电平电流 $I_{IH}$

$I_{IH}$  是作为负载的门电路在输入高电平时，拉出前级门输出端的电流，也就是流进本级输入端的电流，称该电流为**拉电流**。后级“与非”门被称为前级“与非”门的**拉电流负载**。这种情况下，多射极  $VT_1$  处于反向工作状态，即发射极充当集电极，集电极充当发射极。这时的  $I_I$  为图 3.17(a) 中横坐标轴以上部分。因为， $VT_1$  的反向放大系数很小，所以该状态下的电流  $I_{IH}$  仅为几十微安，如图 3.18 所示。

### (2) 输出特性

#### ① 输出低电平电流 $I_{OL}$

$I_{OL}$  是输出低电平时流入输出端的电流，如图 3.18 所示。 $I_{OL(max)}$  是当门电路输出低电平时，允许负载门电路灌入某输出端的最大电流。当输出低电平时， $VT_4$  截止， $VT_5$  导通，负载门电路灌入其输出端的电流受  $VT_5$  集电极饱和电流  $I_{CS}$  的限制，如图 3.18 所示，若该值太大将会损坏  $VT_5$ 。7400 系列产品  $I_{OL(max)} = 16mA$ 。因此， $I_{OL(max)}$  也被称为门电路带灌电流负载的能力。

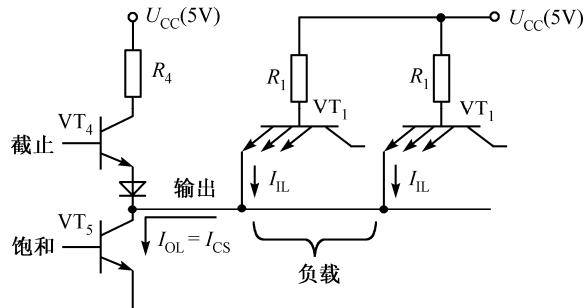


图 3.18 输出低电平电流  $I_{OL}$

#### ② 输出高电平电流 $I_{OH}$

$I_{OH}$  是输出高电平时流出输出端的电流，如图 3.19 所示。7400 系列产品  $I_{OH(max)} = 0.4mA$ ， $I_{OH(max)}$  是当门电路输出高电平时，允许负载从输出端拉出电流的最大值。因此， $I_{OH(max)}$  也被称为门电路带拉电流负载的能力。当输出高电平时， $VT_5$  截止， $VT_4$  导通，此时拉出输出端的负载电流就形成  $VT_4$  的发射极电流  $I_{E4}$ ，如图 3.19 所示。若其值过大， $R_2$  上的压降增大， $VT_4$  的基极、发射极电位及输出电位都会随之下降，比较上述两个参数值：

$$I_{OL(max)} = 16mA \quad (3.13)$$

$$I_{OH(max)} = 0.4mA \quad (3.14)$$

可知，TTL 门电路的带灌电流负载能力远远大于带拉电流负载能力。

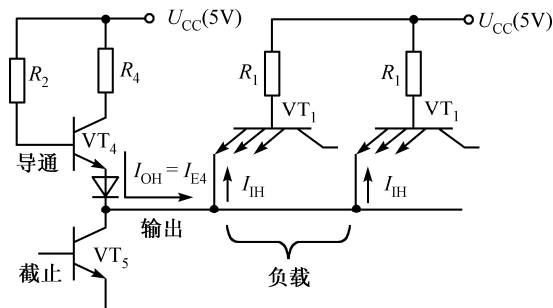


图 3.19 输出高电平电流  $I_{OH}$

### (3) 输入端负载特性

门电路在使用时经常需要将输入端和地之间或者在输入端和输入的低电平信号之间接一个电阻 $R_I$ , 如图 3.20 所示。

门电路的输入端经过电阻接地的原意是当输入端没有信号时保持该输入端为低电平, 但这时将有电流 $I_I$ 从输入端流出, 由图 3.20(a)可知:

$$I_I = \frac{U_{CC} - U_{BE1}}{R_I + R_I} \quad (3.15)$$

该电流会在接地电阻 $R_I$ 上产生压降, 其结果就相当于在输入端加上了一个电压信号 $u_I = I_I R_I$ , 从而使门电路输入端多发射极管 VT<sub>1</sub>的基极电位抬高, 即:  $U_{B1} = u_I + U_{BE1}$ 。所以, 如果门电路输入端的接地电阻 $R_I$ 阻值过大, 就有可能使电阻 $R_I$ 上的电压超过门电路的阈值电压 $U_{TH}$ , 从而导致门电路的输出状态改变。一般定义维持输出为低电平的输入端对地的最小电阻称为开门电阻 $R_{ON}$ , 也就是说, 当 $R_I > R_{ON}$ 时, “与非”门的输出端将从低电平转成高电平, 俗称“与非”门开通; 能够维持输出为高电平的输入端对地的最大电阻称为关门电阻 $R_{OFF}$ , 即当 $R_I < R_{OFF}$ 时, “与非”门将关断。

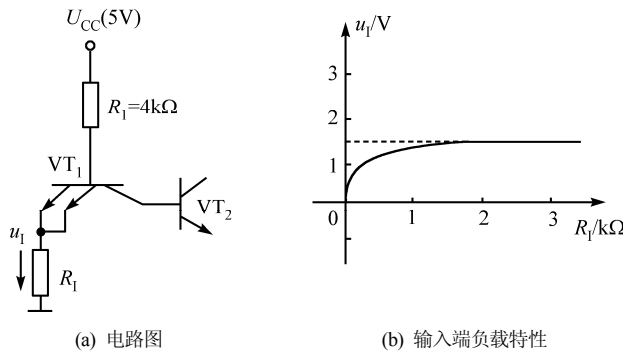


图 3.20 TTL “与非”门输入端经电阻接地

图 3.20(b)所示的曲线给出了电压 $u_I$ 随 $R_I$ 的变化规律, 该曲线被称为输入端负载特性。由图 3.20(a)可求出:

$$u_I = \frac{R_I}{R_I + R_I} (U_{CC} - U_{BE1}) \quad (3.16)$$

式 (3.16) 表明, 当 $R_I \ll R_I$ 时,  $u_I$ 差不多与 $R_I$ 成正比, 当 $u_I$ 大于 1.4V 时就近似是一条水平线了。这是因为“与非”门内的三极管 VT<sub>2</sub> 和 VT<sub>5</sub> 的发射结此时同时导通, 将 VT<sub>1</sub> 的基极电位 $U_{B1}$ 钳在了 2.1V 左右,  $R_I$ 即使再增大,  $u_I$ 也不会再升高了。

基于上述分析, 在使用门电路时, 要限制接地电阻 $R_I$ 的阻值, 接地电阻的阻值范围可根据式 (3.17) 求出:

$$U_{TH} > \frac{R_I}{R_I + R_I} (U_{CC} - U_{BE1}) \quad (3.17)$$

由上述分析还可知道, 在使用时若门电路的输入端悬空, 就相当于接入了一个无穷大的电阻, 所以悬空的 TTL 系列门电路的输入端相当于接高电平。

### (4) 扇出系数

将 TTL “与非”门输出端能驱动同类“与非”门的最大个数称为门电路的扇出系数, 用 $N_0$ 表示。由于门电路的驱动能力在输出高电平和低电平时是不同的, 若前级“与非”门输出低电平时, VT<sub>5</sub> 饱

和导通, VT<sub>4</sub>、VD<sub>3</sub>截止(参见图3.14),这时与其连接的后级“与非”门向前级输出低电平的“与非”门VT<sub>5</sub>灌入电流,如果后级“与非”门有n个,则灌入的总电流为nI<sub>IL</sub>(I<sub>IL</sub>是后级“与非”门的输入短路电流),这时可求出“与非”门输出低电平时的扇出系数为:

$$N_{OL} \approx \frac{I_{OL(max)}}{I_{IL}} = \frac{16}{1.1} = 14.5 \quad (3.18)$$

当前级“与非”门输出高电平时,VT<sub>5</sub>截止,VT<sub>4</sub>、VD<sub>3</sub>导通(参见图3.14),通过VT<sub>4</sub>、VD<sub>3</sub>的输出电流流入后级“与非”门,因为后级有n个“与非”门,则前级流入后级的总电流为nI<sub>IH</sub>(I<sub>IH</sub>是“与非”门的输入漏电流),所以“与非”门输出高电平时的扇出系数为:

$$N_{OH} \approx \frac{I_{OH(max)}}{I_{IH}} = \frac{0.4 \times 10^{-3}}{40 \times 10^{-6}} = 10 \quad (3.19)$$

故一般的74系列TTL“与非”门的扇出系数N<sub>0</sub>≈10,从上述计算可知,扇出系数同灌电流和拉电流密切相关。特殊制作的、称为驱动器的集成门电路,其扇出系数可达N<sub>0</sub>=20左右。

门电路的带负载能力有时也用输出电平的变化来衡量,因为门电路无论是输出高电平还是输出低电平都会有一定的输出电阻,所以输出的高、低电平都必须随负载电流的变化而变化,这种变化越小,则表明带负载的能力就越强。

### 3. TTL“与非”门的动态特性

TTL“与非”门的动态特性是指当输入电压变化时,输出电平随之响应的情况。该响应关系主要由以下几个参数描述。

#### (1) 平均传输延迟时间t<sub>pd</sub>

在TTL“与非”门输入端加上一个脉冲电压,由于三极管内部存储电荷的积累或消散都需要时间,而且二极管、三极管和电阻等元器件均有寄生电容存在,因此输出电压将有一定的时间延迟,使上升沿和下降沿也将变得更斜,如图3.21所示。

通常将从输入电压上升到50%U<sub>IM</sub>至输出电压下降到50%U<sub>OM</sub>所需的时间称为导通延迟时间t<sub>pd1</sub>;从输入电压下降到50%U<sub>IM</sub>至输出电压上升到50%U<sub>OM</sub>所需的时间称为截止延迟时间t<sub>pd2</sub>。导通延迟时间与截止延迟时间的平均值称为平均传输延迟时间t<sub>pd</sub>,如式(3.19)所示,平均延迟时间的典型值是(3~10)ns,此值越小,开关速度越快。

$$t_{pd} = \frac{t_{pd1} + t_{pd2}}{2} \quad (3.20)$$

#### (2) 动态尖峰电流和功耗

##### ① 尖峰电流

TTL“与非”门工作于静态时,电源的供电电流比较稳定,粗略估算约为几毫安。然而在动态时,特别是输出端由低电平转换为高电平时,可使电源电流产生一尖峰脉冲,如图3.22所示。该尖峰电流既可能对电路产生干扰,又可使电源的平均电流增大,而且输入信号的频率越高,电源电流的平均值增大越多。之所以产生这种现象是因为,在转换的瞬间(参见图3.14),VT<sub>1</sub>饱和导通,使VT<sub>2</sub>很快截止,从而使VT<sub>4</sub>导通。但VT<sub>2</sub>的截止并不能使VT<sub>5</sub>也随之迅速截止,因为VT<sub>5</sub>原来处于深度饱和,其基区存储电荷通过电阻R<sub>3</sub>消散需要一定时间,故VT<sub>4</sub>、VT<sub>5</sub>有一短暂的时间同时处于导通状态,这时有一较大的瞬时电流由电源U<sub>CC</sub>流经R<sub>4</sub>、VT<sub>4</sub>和VT<sub>5</sub>所致。若在输出端加解耦滤波电路可基本消除尖峰电流。

## ② 功耗

“与非”门的功耗定义为：“与非”门空载时，输出低电平从电源吸取的电流同“与非”门电源电压的乘积，该值范围为 $2\sim35\text{mW}$ 。

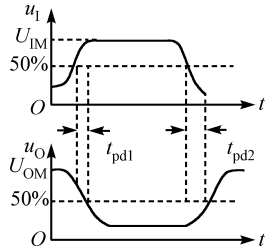


图 3.21 TTL “与非” 门传输延迟时间

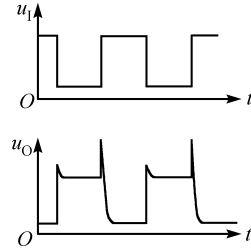


图 3.22 TTL “与非” 门动态工作时电源的尖峰电流

## 4. 改进型 TTL “与非” 门简介

典型的改进型 TTL “与非” 门被称为肖特基 TTL（简称 STTTL）“与非”门，在分析 74 系列 “与非” 门的动态特性时可知，三极管饱和导通时是工作在深度饱和状态的，这是产生传输延迟时间的一个主要原因。肖特基 TTL “与非” 门就是采用肖特基势垒二极管（Schottky Barrier Diode, SBD）钳位的方法来达到抗饱和目的的，为 74S 系列。

图 3.23(a)所示为 74S $\times\times$ 系列的二输入 “与非” 门的电路图，电路结构的主要特点如下。

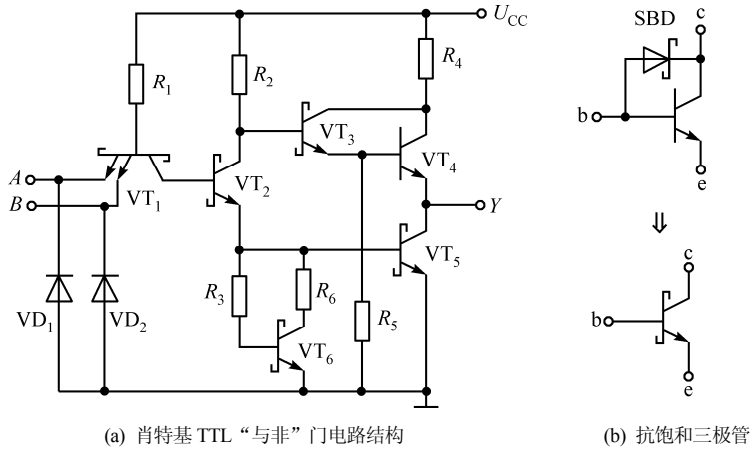


图 3.23 肖特基 TTL “与非” 门

首先，其中  $VT_1$ 、 $VT_2$ 、 $VT_3$ 、 $VT_5$ 、 $VT_6$  均采用了肖特基三极管（又称为抗饱和三极管），肖特基三极管是由普通双极型三极管和肖特基势垒二极管组合而成的，其电路图如图 3.23(b)所示。肖特基势垒二极管是一种利用金属和半导体相接触在交界面形成的势垒二极管，它的导通阈值电压较低，为 $0.4\sim0.5\text{V}$ ，所以当三极管的集电结成为正偏后，肖特基势垒二极管首先导通，并将三极管的正向电压钳在 $0.4\sim0.5\text{V}$ 。这时从基极流入的电流将从肖特基势垒二极管流走，从而有效地避免三极管导通时进入深度饱和，将大幅度减小传输延迟时间。另外，肖特基势垒二极管的导电机构是多数载流子，还具有电荷存储效应较小的优点。 $VT_4$ 的集电结不会正向偏置，故仍沿用普通三极管。

其二，增加了  $VT_6$ 和  $R_6$ ， $VT_6$ 、 $R_6$  和  $R_3$  共同组成有源泄放网络，该有源泄放网络可以缩短  $VT_5$  的存储时间，进而加快门电路的传输延迟速度。此外，有源泄放网络还可改善门电路的电压传输特性，

由于  $VT_2$  的发射结必须经  $VT_5$  或  $VT_6$  的发射结才能导通，从而避免了  $VT_2$  导通而  $VT_5$  尚未导通的阶段，该阶段恰是产生电压传输特性倾斜段的根源，所以肖特基 TTL “与非” 门电压传输特性转换段的斜率均匀一致。

其他改进型 TTL “与非” 门电路还有：74H 高速系列，与此相应的原国产型号为 T2000 系列；74LS 低功耗肖特基系列，与此相应的原国产型号为 T4000 系列；以及 74AS 系列和 74ALS 系列等。另外还有 54 系列的 TTL 电路，54 系列和 74 系列具有完全相同的电路结构和电气性能，所不同的是：54 系列的工作环境温度为  $-55^{\circ}\text{C} \sim 120^{\circ}\text{C}$ ，电源电压工作范围是  $5\text{V} \pm 10\%$ ；74 系列的工作环境温度为  $0^{\circ}\text{C} \sim 70^{\circ}\text{C}$ ，电源电压工作范围是  $5\text{V} \pm 5\%$ 。

为了便于比较，现将不同系列的 TTL 门电路的平均传输延迟时间、平均功耗、工作频率列于表 3.5 中。

表 3.5 不同系列 TTL 门电路的主要参数

	74/54 T1000	74H/54H T2000	74S/54S T3000	74LS/54LS T4000
$t_{pd}$ (ns)	10	6	3	9.5
$P$ /每门 (mW)	10	22	19	2
$f_{max}$ (MHz)	35	50	125	45

需要说明的是，在不同系列的 TTL 器件中，只要器件型号的后几位数码相同，则它们的逻辑功能、电气参数、引脚引线排列就彼此相容，而且输入端、输出端、电源、地线的引脚位置也相同。

## 3.5 其他类型的 TTL 门电路

为了体现各种逻辑功能和控制作用，TTL “与非” 门电路的系列产品中还有集电极开路的“与非”门和“三态”输出门等门电路。这些门电路都是在 TTL 门电路基础之上构成的，因此较容易理解。

### 3.5.1 集电极开路“与非”门

#### 1. 电路结构

集电极开路的“与非”门（Open-Collector Gate, OC 门），它是把“与非”门电路的推拉式输出级改为三极管集电极开路输出，电路结构与逻辑符号如图 3.24 所示。与一般“与非”门相比，OC 门的电路中没有  $VT_3$ 、 $VT_4$ ，因而  $VT_5$  的集电极是悬空的。

需要指出的是：OC 门只有在外接上拉电阻  $R_L$  和电源  $U'_{CC}$  时才能正常工作，而电源  $U'_{CC}$  的电压既可与门电路本身的电压  $U_{CC}$  相同，也可以不同。当外接电阻的阻值和电源电压的选择合适时，就能够保证输出电平符合要求，并且负载电流也不过大。

#### 2. OC 门的应用

OC 门的最大特点是允许将输出端直接连在一起，以实现“线与”功能，如图 3.25 所示。当每个 OC 门单独工作时， $Y_1 = A_1 B_1 C_1$ ， $Y_2 = A_2 B_2 C_2$ ， $Y_3 = A_3 B_3 C_3$ ；现将三个 OC 门的输出端连在了一起，当 OC 门 1 的输入全为高电平，OC 门 2、3 的输入中均有低电平时，OC 门 1 的输出管  $VT_5$  饱和导通，OC 门 2、3 的输出管  $VT_5$  截止，这时负载电流全部流入 OC 门 1 的输出管  $VT_5$ ，输出  $Y = 0$ 。只有当每个 OC 门的输入中都有低电平时，则每个 OC 门的输出管  $VT_5$  均截止，这时输出  $Y = 1$ ，即实现了输出信号按“与”逻辑输出。若写成逻辑表达式，则为：

$$Y = Y_1 \cdot Y_2 \cdot Y_3 \quad (3.21)$$

需要特别指出的是,一般的TTL“与非”门是不允许将输出端直接连接在一起的。因为,TTL“与非”门的输出电阻很小,不论在“与非”门导通还是截止状态,其输出电阻都在几到几十欧姆之间,若将它们的输出端直接相连,则当一个“与非”门输出高电平而另一个“与非”门输出低电平时,从电源 $U_{CC}$ 到地之间则会形成一条低阻通路,将有一个很大的电流从截止“与非”门的 $VT_4$ 流到导通“与非”门的 $VT_5$ ,这个电流不仅会使导通“与非”门的输出低电平抬高,甚至会因功耗过大而把两个“与非”门都损坏。

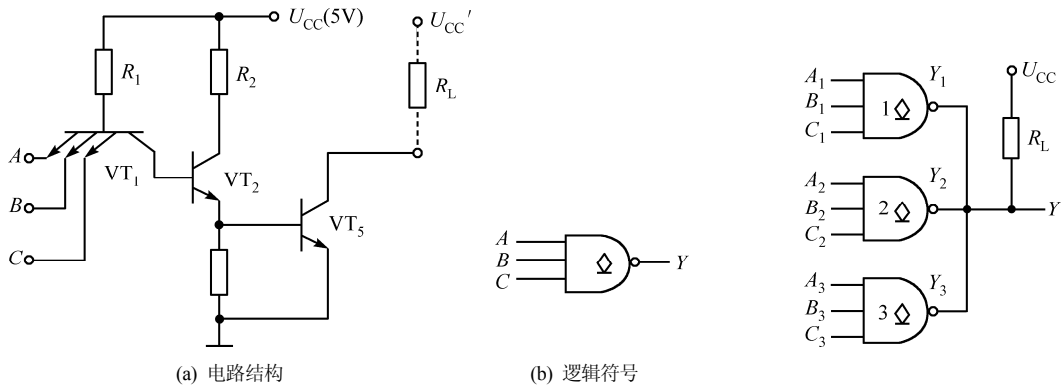


图 3.24 集电极开路“与非”门

图 3.25 OC 门实现“线与”功能

另外,一部分OC门的输出管尺寸设计得较大,可以承受较大的电流和电压,其输出端即可直接驱动继电器、指示灯、发光二极管等负载<sup>①</sup>,如图3.26所示。

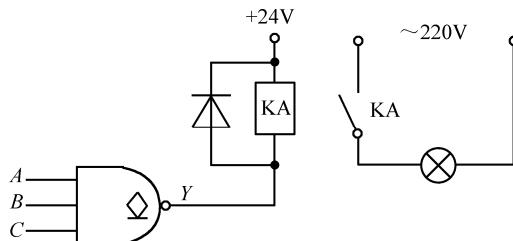


图 3.26 OC 门的输出直接驱动继电器

### 3. 负载电阻 $R_L$ 的选择

我们知道,OC门正常工作时需外接上拉电阻 $R_L$ 和电源 $U'_{CC}$ ,当n个OC门的输出端相连时,一般可公用一个上拉电阻 $R_L$ 。下面分两种情况来讨论OC门外接电阻 $R_L$ 的估算方法。

#### (1) 外接电阻的最大值 $R_{L(max)}$

若设有n个OC门并联使用,其输出推动负载是具有m<sup>②</sup>个输入端的一般TTL“与非”门,如图3.27所示。当所有的OC门同时截止时,则输出高电平。为了保证输出高电平不低于标准高电平的最小值 $U_{OH(min)}$ ,在图3.27的状态下所允许最大的 $R_{L(max)}$ 值为:

$$\begin{aligned} U_{CC} - U_{OH(min)} &= R_{L(max)} I_L \\ &= R_{L(max)} (nI_{CEO} + mI_{IH}) \end{aligned} \quad (3.22)$$

<sup>①</sup> 普通TTL“与非”门不允许直接驱动电压高于+5V的负载,其输出端也不允许直接相联。

<sup>②</sup> m是一般TTL“与非”门输入端的个数,而不是“与非”门的个数。

则

$$R_{L(\max)} = \frac{U_{CC} - U_{OH(\min)}}{nI_{CEO} + mI_{IH}} \quad (3.23)$$

式(3.23)中,  $I_{CEO}$  是每个 OC 门输出三极管截止时的漏电流,  $I_{IH}$  是负载“与非”门每个输入端的高电平输入电流, 如图 3.27 所示。

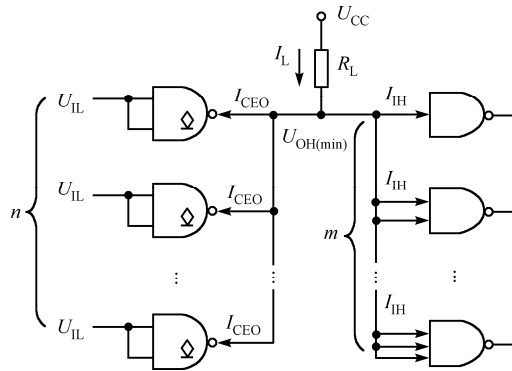


图 3.27 OC 门全部输出高电平

### (2) 外接电阻的最小值 $R_{L\min}$

当 OC 门中仅有一个导通时, 电流的实际方向如图 3.28 所示。这时对导通 OC 门来说, 是负载最重的情况, 因为此时负载电流全部流入导通的 OC 门, 所以  $R_L$  值不能太小, 以确保 OC 门的输出低电平不高于输出高电平的最大值  $U_{OL(\max)}$ 。根据图 3.28 可求出:

$$\begin{aligned} U_{CC} - U_{OL(\max)} &= R_{L(\min)} I_L \\ &= R_{L(\min)} (I_{OL(\max)} - m' I_{IL}) \end{aligned} \quad (3.24)$$

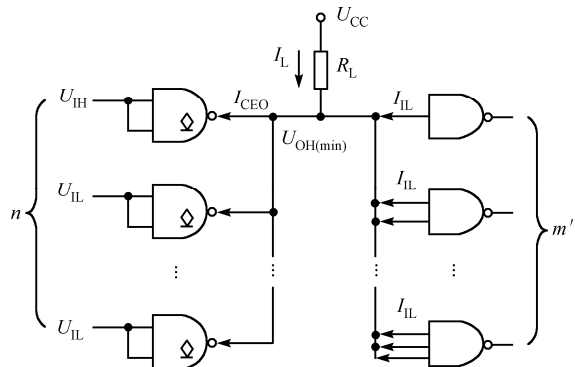


图 3.28 仅有一个 OC 门导通

则

$$R_{L(\min)} = \frac{U_{CC} - U_{OL(\max)}}{I_{OL(\max)} - m' I_{IL}} \quad (3.25)$$

式中,  $I_{OL(\max)}$  是导通的 OC 门 VT<sub>5</sub> 所允许的最大灌电流,  $I_{IL}$  是每个负载“与非”门输入短路电流,  $m'$  是负载“与非”门的个数。

综合上述两种情况,  $R_L$  应满足式 (3.26):

$$R_{L(\min)} < R_L < R_{L(\max)} \quad (3.26)$$

除了“与非”门和“非”门可以制成集电极开路的输出结构之外，“与”门、“或”门、“或非”门等均可制成集电极开路的输出结构，而且外接上拉电阻  $R_U$  的计算方法也类似。

### 3.5.2 三态输出门

利用 OC 门虽然可以实现“线与”功能，但外接电阻的选择要受到一定的限制而不能取得太小，因此限制了工作速度。为了保持推拉式输出级的优点，还能使输出端并接门电路，于是又产生了一种“三态”输出门（TS 门）电路，其中有三态输出“与非”门、三态输出“非”门等。

## 1. 电路结构与工作原理

三态输出“与非”门 (Three-State Output Gate, TS 门)。三态输出“与非”门电路与前述的“与非”门电路的不同之处在于，它的输出端除了呈现高电平和低电平外，还可以出现第三种状态，即高阻状态。

图 3.29 所示为 TTL 三态输出“与非”门的电路图及其逻辑符号。它是在普通“与非”门的基础上，附加使能控制端 EN 和控制电路构成的。

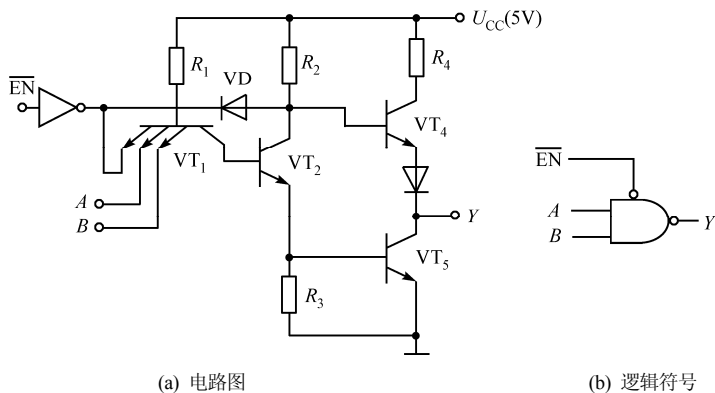


图 3.29 三态输出“与非”门

从图 3.29(a)可知, 当控制端  $\overline{EN} = 0$ , 二极管 VD 反偏, 这时的电路和一般“与非”门并无区别, 输出  $Y = \overline{A \cdot B}$ , 即满足“与非”的逻辑关系。

当控制信号  $\overline{EN} = 1$  时,  $VT_1$  的基极电位约为 1V, 致使  $VT_2$  和  $VT_5$  截止。同时二极管  $VD$  导通迫使  $VT_2$  的集电极电位钳在 1V, 使得  $VT_5$  也截止。这样, 输出端  $Y$  便被悬空, 我们称这种状态为高阻状态或禁止状态。

表 3.6 三态输出“与非”门功能表

控制信号 EN	输入端		输出端 Y
	A	B	
1	0	0	1
	0	1	1
	1	0	1
	1	1	0
0	$\phi^{\dagger}$	$\phi$	高阻

图 3.29(a)所示的电路为低电平有效的三态门，其逻辑符号如图 3.29(b)所示。若电路在  $EN = 1$  时为正常工作状态，便称此门为高电平有效的三态门。

表 3.6 所示为高电平有效的三态输出“与非”门的功能表。<sup>①</sup>

## 2. 三态门的应用

三态门的典型用途就是能够实现用一根导线轮流传输几个不同的数据或控制信号，我们将能接收多个门输出信号的线称为总线。

图3.30 所示为由三套“非”门构成的单向总线。只要使能控制端 EN<sub>1</sub>、EN<sub>2</sub>、EN<sub>3</sub> 中当仅有 EN<sub>1</sub> = 1，

①  $\phi$  表示任意状态。

而其余为0时,  $G_2$ 和 $G_3$ 门呈高阻状态, 信号 $A_1$ 的“非”送到了总线 $Y$ 上; 类似地, 当仅有 $EN_2=1$ 时, 信号 $A_2$ 的“非”送到了总线 $Y$ 上; 以此类推, 就实现了信号 $A_1$ 、 $A_2$ 、 $A_3$ 向总线 $Y$ 的分时传送。若全为0, 则总线 $Y$ 呈高阻状态。这种用总线来传送数据或信号的方法在计算机中被广泛应用。

图3.31所示为三态“非”门构成的双向总线。从图3.31可知, 当 $EN=1$ 时,  $G_1$ 门工作,  $G_2$ 门为高阻状态, 信号 $D_1$ 的“非”送到总线 $Y$ 上去; 当 $EN=0$ 时,  $G_2$ 门工作,  $G_1$ 门为高阻状态, 总线上的信号 $Y$ 的“非”送到 $D_2$ 。图3.31中,  $G_1$ 门为高有效的三态“非”门,  $G_2$ 门为低有效的三态“非”门, 这样就实现了信号的分时双向传送。

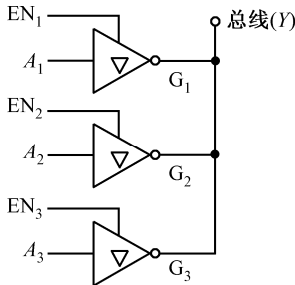


图3.30 三态门构成的单向总线

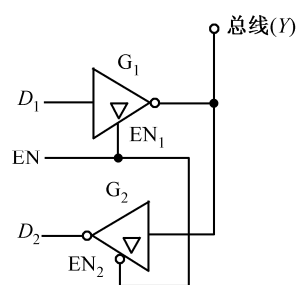


图3.31 三态门构成的双向总线

## 3.6 MOS门电路

半导体集成门电路若按其导电类型的不同, 可分为双极型和MOS型。双极型集成门电路是指由双极型晶体管组成的集成电路, 如TTL电路。MOS型集成门电路是指由绝缘栅场效应管组成的集成电路。

MOS门电路由于其集成电路制造工艺简单、集成度高、功耗小、抗干扰能力强等诸多优点, 更易于实现大规模、超大规模集成电路。因此在数字集成电路产品中所占的比例越来越高, 以至于当前的CPLD产品均为MOS电路。MOS电路的主要缺点是工作速度比TTL电路低。

数字电路用的MOS管有PMOS和NMOS两种, 因为MOS管是由输入电压控制的, 所以它是电压控制元件。目前数字集成电路广泛采用CMOS电路, 它是PMOS和NMOS管组合起来构成的。

### 3.6.1 CMOS反相器

CMOS反相器是CMOS集成电路中最基本的逻辑组成单元之一, 电路如图3.32所示。它是由一个N沟道增强型MOS管 $VT_N$ 和P沟道增强型MOS管 $VT_P$ 组成的, 两管的漏极相连作为输出端, 两管的栅极相连作为输入端。 $VT_P$ 的源极接电源,  $VT_N$ 的源极接地。

电路工作原理如下: 当输入端 $A$ 为低电平时,  $|u_{GS1}|=0<|U_{GS(th)N}|$  ( $VT_N$ 的开启电压), 因此 $VT_N$ 截止。同时,  $|u_{GS2}|=-U_{DD}<|U_{GS(th)P}|$  ( $VT_P$ 的开启电压),  $VT_P$ 导通, 所以输出端 $Y$ 为高电平, 且 $U_{OH} \approx U_{DD}$ 。

当输入端 $A$ 为高电平时,  $|u_{GS1}|=U_{DD}>|U_{GS(th)N}|$ ,  $VT_N$ 导通, 同时,  $|u_{GS2}|=0<|U_{GS(th)P}|$ ,  $VT_P$ 截止, 所以输出端 $Y$ 为低电平, 且 $U_{OL} \approx 0$ 。这样输出与输入之间就实现了反相关系。为了使电路能正常工作, 要求: 电源电压 $U_{DD}$ <sup>①</sup>大于两个管子开启电压的绝对值之和, 即 $U_{DD}>(|U_{GS(th)N}|+|U_{GS(th)P}|)$ 。

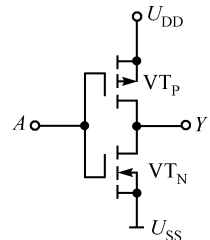


图3.32 CMOS“非”门

① DD是指MOS管的漏极, 但在CMOS反相器中,  $U_{DD}$ 实际上连接到PMOS管的源极。因为CMOS电路是从NMOS电路发展而来的, 在NMOS电路中, NMOS管的漏极通过一负载电阻与电源连接,  $U_{DD}$ 因而得名。

值得指出的是：在上述两种情况下，无论输出高电平还是低电平，总是一只管子导通，另一只管子截止，所以将这种电路结构称为互补对称式金属氧化物半导体电路（Complementary-Symmetry Metal-Oxide-Semiconductor Circuit），这就是 CMOS 电路的由来。另外，从电源  $U_{DD}$  经两个串接的 MOS 管到地，电流都极小（仅等于截止管很小的泄漏电流），换句话说：CMOS 门电路的静态功耗很小，其典型值仅为  $10\text{nW}$  左右，这就是 CMOS 功耗低的原因。

### 3.6.2 其他逻辑功能的 CMOS 门电路

CMOS 反相器的各种不同组合可以构成各种逻辑门，其逻辑功能同 TTL 逻辑门完全一样。

#### 1. CMOS “与非”门

图 3.33 所示为二输入端 CMOS “与非”门电路。驱动管  $VT_1$  和  $VT_2$  为 N 沟道增强型 MOS 管，两者串联；负载管  $VT_3$  和  $VT_4$  为 P 沟道增强型 MOS 管，两者并联。负载管整体与驱动管相串联。

从图 3.33 可以看出，当  $A$ 、 $B$  两个输入端全为高电平，即逻辑“1”时，驱动管  $VT_1$ 、 $VT_2$  同时导通，负载管  $VT_3$ 、 $VT_4$  同时截止，这时电源电压  $U_{DD}$  主要降在负载管上，故输出端  $Y$  为低电平，即逻辑“0”。当输入端有一个或全为低电平，即逻辑“0”时，则串联的驱动管  $VT_1$ 、 $VT_2$  中至少有一个截止，而相应并联的负载管  $VT_3$ 、 $VT_4$  中至少有一个导通。这时电源电压  $U_{DD}$  主要降在串联的驱动管上，故输出端  $Y$  为高电平，即逻辑“1”。

$n$  个输入端的“与非”门必须有  $n$  个 NMOS 管串联和  $n$  个 PMOS 管并联。CMOS “与非”门电路在结构上也是互补对称的，因此它具有和 CMOS “非”门电路相同的优缺点。

#### 2. CMOS “或非”门

图 3.34 所示为二输入端 CMOS “或非”门电路。驱动管  $VT_1$  和  $VT_2$  为 N 沟道增强型 MOS 管，两者并联；负载管  $VT_3$  和  $VT_4$  为 P 沟道增强型 MOS 管，两者串联。当  $A$ 、 $B$  两个输入端全为逻辑“1”或其中一个为逻辑“1”时，驱动管  $VT_1$ 、 $VT_2$  中至少有一只管导通，负载管  $VT_3$ 、 $VT_4$  中至少有一只管截止，使输出端  $Y$  等于逻辑“0”。只有当输入端  $A$ 、 $B$  都是低电平时， $VT_1$ 、 $VT_2$  同时截止， $VT_3$ 、 $VT_4$  同时导通，输出端  $Y$  才成为逻辑“1”。可见实现了“或非”关系。

同理， $n$  个输入端的“或非”门必须有  $n$  个 NMOS 管并联和  $n$  个 PMOS 管串联。另外，由上述可知，“与非”门的输入端越多，串联的驱动管就越多，导通时的总电阻则越大，输出低电平值将会因输入端的增多而提高，所以输入端不能太多。但“或非”门电路的驱动管是并联的，负载管是串联的，其输出高电平也会受输入端数  $n$  的增大的影响。

#### 3. CMOS 三态门

电路如图 3.35 所示，它是一个低电平使能的三态“非”门，该门是在 CMOS “非”门的基础上，增加了 N 沟道 MOS 管  $VT'_N$  和 P 沟道 MOS 管  $VT'_P$  构成的。当使能控制端  $\overline{EN} = 1$  时，附加管  $VT'_N$  和  $VT'_P$  同时截止，输出端  $Y$  呈高阻状态。当使能控制端  $\overline{EN} = 0$  时，附加管  $VT'_N$  和  $VT'_P$  同时导通，“非”门正常工作，即  $Y = \overline{A}$ 。

利用 CMOS 三态门也可方便地构成总线结构。

#### 4. CMOS 传输门

前面讨论的 MOS 门电路其级间耦合均采用直接耦合方式，但在某些场合（如准静态 MOS 电路、动态 MOS 电路等）要求级间信息的传输是受控式的，即由时钟脉冲来控制信息的传输。因此，在数字电路中常需要另一种特殊的门电路，称为信号传输控制门，简称传输门（TG 门）。传输门实质上是

一种可传输模拟信号的压控开关。CMOS 传输门和 CMOS 反相器是构成更复杂 CMOS 逻辑电路的两种基本模块。

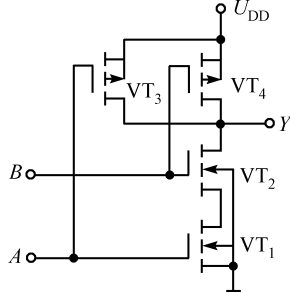


图 3.33 CMOS “与非”门电路

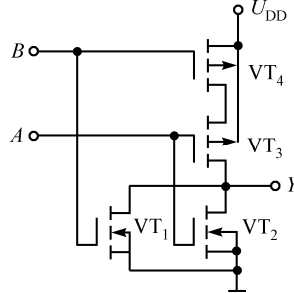


图 3.34 CMOS “或非”门电路

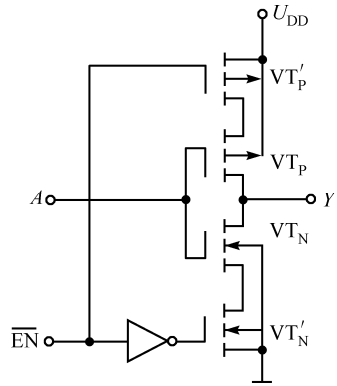


图 3.35 CMOS 三态“非”门

CMOS 传输门电路如图 3.36(a)所示，它由 NMOS 管  $VT_N$  和 PMOS 管  $VT_P$  并联而成。两管的源极相连，作为输入端；两管的漏极相连，作为输出端（MOS 管的输入端和输出端可以对调）。PMOS 管的衬底接电源正极，NMOS 管的衬底接地，两管的栅极作为控制极，分别施加互补的控制信号  $C$  和  $\bar{C}$ 。

由上述可知，CMOS 传输门的开通和关断取决于栅极上所加的控制电压。当  $C$  为“1”（ $\bar{C}$  为“0”）时，传输门开通，反之则关断。图 3.36(b)所示为 CMOS 传输门的图形符号。图 3.36(c)所示为由 CMOS 传输门和 CMOS “非”门组成的模拟开关电路。由于 MOS 管的对称性，即其源、漏极可以互换，CMOS 传输门很适合用在双向模拟开关中。

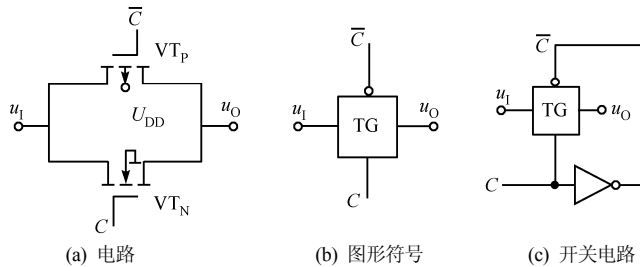


图 3.36 CMOS 传输门

### 3.6.3 CMOS 门电路的特点及使用

#### 1. CMOS 电路的特点

##### (1) CMOS 门电路的工作速度比 TTL 门电路低

一是因为 CMOS 电路均是由 NMOS 和 PMOS 组成的，而 MOS 管的导通内阻比半导体管的导通内阻大；二是在 MOS 管中存在许多寄生电容，如栅极对衬底的电容  $C_{GB}$ 、漏极对衬底的电容  $C_{DB}$ 、源极对衬底的电容  $C_{SB}$ ，还有栅极和漏极之间的电容  $C_{GD}$  和栅极和源极之间的电容  $C_{GS}$ ，所以 CMOS 门电路的工作速度比 TTL 门电路低。现代的高速 CMOS 电路，其平均传输延迟时间小于 10ns，可与 TTL 电路的工作速度相当。

##### (2) CMOS 门电路的扇出能力较大

由于 CMOS 电路的输入阻抗仅取决于输入端保护二极管的漏电流，其输入阻抗可达  $10^8 \Omega$  以上；

但鉴于电路的互补性，其高、低电平输出阻抗都很低。所以，在频率不太高的情况下，CMOS 电路的扇出系数  $N_0$  的范围为  $20 \sim 25$ ，其值远远大于 TTL 电路。但当频率升高时，由于分布电容的作用，扇出系数将有所降低。

#### (3) CMOS 门电路的电源允许范围大，抗干扰能力强

CD4000 系列产品的电源电压为  $3 \sim 18V$ ，其输出高、低电平摆幅大，抗干扰能力强，噪声容限可达  $30\% U_{DD}$ 。不仅如此，由于 MOS 管是多数载流子受控导电器件，射线辐射对多数载流子浓度影响较小，所以 CMOS 电路还具有较强的抗辐射能力。

#### (4) CMOS 门电路的静态功耗低，温度稳定性好

CMOS 门电路在工作时，总是一只 MOS 管导通而另一只 MOS 管截止，因而在静态时几乎不从电源吸取电流，功耗极低。当  $U_{DD} = 5V$  时，CMOS 电路的静态功耗分别是：门电路类为  $2.5 \sim 5\mu W$ ，缓冲器和触发器类为  $5 \sim 20\mu W$ ，中规模集成电路类为  $25 \sim 100\mu W$ 。

另外，由于 CMOS 门电路本身具有互补对称性，当环境温度变化时，其参数互相补偿，因此具有较好的温度稳定性。

## 2. CMOS 电路的使用

CMOS 门电路的输入端虽然已经设置了二极管保护电路，但它能承受的静电电压和脉冲功率还是有一定限度的。根据 CMOS 电路的特点，使用时要注意以下几点。

#### (1) 电路中多余的输入端不能悬空

由于 CMOS 电路具有高输入阻抗（可达  $10^{12}\Omega$ ），外界噪声的干扰使输入端的电压可能会自行从低电平转换到高电平，结果将可能出现不定的逻辑状态，因而 CMOS 电路的多余输入端应根据需要接电源或接地。另外，CMOS 电路的多余输入端也不宜与使用的输入端并联，当输入端并联时将使前级的负载电容增加，工作速度下降，动态功耗增加。

在使用和存放时，也应注意静电屏蔽，焊接时电烙铁应接地良好。

#### (2) 注意输入电路的过流保护

CMOS 电路输入端二极管电流容限一般为  $1mA$ ，在可能出现过大瞬态输入电流的情况下，要串接输入保护电阻。

当输入端接有大电容时，需要在输入端和电容之间串联保护电阻。

当输入端接长导线时，也需要在输入端串联保护电阻。

#### (3) 电源电压极性不能接反，防止输出短路

若 CMOS 器件电源电压极性接反，输入端的保护二极管就会因过流而损坏。另外，电路中 CMOS 器件的输出端不能和电源 ( $U_{DD}$ ) 或地短路，电路的输出级是 CMOS 反相器结构，无论电源 ( $U_{DD}$ ) 还是地与输出端短路后，输出级的 NMOS 或 PMOS 均可能因过流而损坏。

当系统存在几个电源分别供电时，各电源的开、关要有合理的顺序。开时，首先接通 CMOS 电路的总供电电源，其次接通输入信号及负载电路的电源。关时，则按开时的反向运行。

## 3.7 CMOS 数字集成电路的各种系列

CMOS 集成电路诞生于 20 世纪 60 年代末，经过制造工艺的不断改进，在应用的广度上已与 TTL 电路平分秋色，或者更准确地说，已经超过了 TTL 电路。CMOS 集成电路的技术参数从总体上说，已经达到或接近 TTL 电路的水平，其中，功耗、噪声容限、扇出系数等参数优于 TTL 电路。CMOS 集成电路主要有以下几个系列。

### (1) 基本的 CMOS——4000 系列

这是早期的 CMOS 集成逻辑门产品，工作电源电压范围为 3~18V，由于具有功耗低、噪声容限大、扇出系数大等优点，已得到普遍使用。缺点是工作速度较低，平均传输延迟时间为几十到一百纳秒，最高工作频率小于 5MHz，并且带负载能力也较弱。

### (2) 高速的 CMOS——HC (HCT) 系列

该系列电路主要从制造工艺上做了改进，使其大大提高了工作速度，平均传输延迟时间小于 10ns，最高工作频率可达 50MHz。HC 系列的电源电压范围为 2~6V。HCT 系列的主要特点是与 TTL 器件电压兼容，它的电源电压范围为 4.5~5.5V。它的输入电压参数为  $U_{IH(min)} = 2.0V$ ,  $U_{IL(max)} = 0.8V$ ，与 TTL 完全相同。另外，74HC/HCT 系列与 74LS 系列的产品只要最后三位数字相同，则两种器件的逻辑功能、外形尺寸、引脚排列顺序也完全相同，这样就为用 CMOS 产品代替 TTL 产品提供了方便。

### (3) 进先进的 CMOS——AC (ACT) 系列

该系列的工作频率得到了进一步提高，工作速度比 HC (HCT) 系列提高了一倍，而且带负载能力也提高了一倍，同时保持了 CMOS 超低功耗的特点。其中，ACT 系列与 TTL 器件电压兼容，电源电压范围为 4.5~5.5V；AC 系列的电源电压范围为 1.5~5.5V。AC (ACT) 系列的逻辑功能、引脚排列顺序等都与同型号的 HC (HCT) 系列完全相同。

### (4) 低压 CMOS—LVC (ALVC) 系列

LVC 系列是 20 世纪 90 年代推出的低压 CMOS 系列，工作电压范围为 1.65~3.3V，而且传输延迟缩短至 3.8ns。当电源电压为 3V 时就能提供 24mA 的负载电流。另外，LVC 系列的输入端可以接收 5V 的高电平信号，并轻松地将 5V 电平信号转换成 3.3V 以下的电平信号。同时利用其总线驱动电路又方便地将 3.3V 电平信号转换成 5V 电平信号输出，从而为 3.3V 系统和 5V 系统之间的连接提供了便利。

ALVC 系列是 1994 年推出的改进型低压 CMOS 系列，该系列速度更快，提供了性能更好的总线驱动。LVC (ALVC) 系列是当前性能最好的 CMOS 逻辑器件。

在介绍过各种门电路后，最后给出不同类型门电路的主要参数对比，如表 3.7 所示。

表 3.7 不同类型门电路的主要参数对比

门类型 主要参数	TTL				CMOS		
	74	74LS	74AS	74ALS	4000	74HC	74HCT
平均传输延迟 $t_{pd}$ (ns)	10	10	1.5	4	45	10	10
平均功耗 $P$ (mW)	10	2	20	1	$5 \times 10^{-3}$	$1 \times 10^{-3}$	$1 \times 10^{-3}$
最高工作频率 $f_{max}$ (MHz)	35	45	125	50	5	50	50
输出高电平 $U_{OH}$ (V)	3.4	3.6	3.6	3.6	$U_{DD}$	$U_{DD}$	$U_{DD}$
输出低电平 $U_{OL}$ (V)	0.3	0.4	0.4	0.4	0.05	0.1	0.1
直流噪声容限(mV)	400	400	400	400	$30\%U_{DD}$	$30\%U_{DD}$	$30\%U_{DD}$
电源电压(V)	5	5	5	5	$U_{DD}$	2~6	4.5~5.5

## 3.8 TTL 与 CMOS 电路的级联

在一个数字系统中，经常会遇到采用不同类型数字集成电路的情况，最常见的是同时采用 CMOS 和 TTL 电路。这就出现了 CMOS 和 TTL 的级联问题。

### 3.8.1 由 TTL 驱动 CMOS

若 CMOS 电路的电源为+5V，那么 TTL 与 CMOS 之间的电平配合就比较容易。因为 TTL 门电路

输出高电平是 $U_{OH} = 3.6V$ ,有时可能更高,此时,在TTL的输出端接一上拉电阻 $R$ 至电源 $U_{DD}(+5V)$ ,以便抬高输出高电平。这样,CMOS电路就相当于一个同类型的TTL负载。

若CMOS电路的电源较高,分为两种情况:(1)TTL的输出端仍可接一上拉电阻 $R$ ,如图3.37所示。但这时需要采用TTL的OC门,因OC门 $VT_5$ 的耐压远超于 $U_{DD}$ ,所以将OC门 $VT_5$ 的 $R_L$ 直接与CMOS门电路的电源 $U_{DD}$ 连接,则能可靠地工作;(2)采用一个专用的CMOS电平移动器,如图3.38所示,它由两种直流电源 $U_{CC}$ 和 $U_{DD}$ 供电,电平移动器接收TTL电平(对应于 $U_{CC}$ ),而输出CMOS电平(对应于 $U_{DD}$ )。

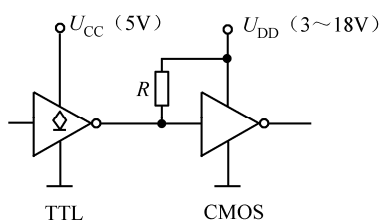


图3.37 TTL与CMOS电路的连接

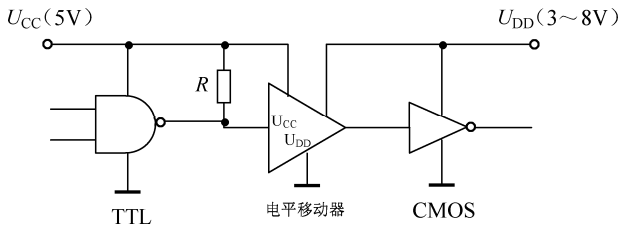


图3.38 TTL与CMOS之间采用电平移动器连接

### 3.8.2 由CMOS驱动TTL

如果CMOS电路由+5V电源供电,它就能直接驱动一个74系列门负载。CMOS缓冲器能直接驱动两个74系列门负载。有时,CMOS门的驱动能力不适应TTL门的要求,主要是 $I_{OL(max)} < I_{IL}$ 而不能直接驱动,为解决这一问题,可采用如下几种方法。

(1) 将同一封装内的CMOS电路并联使用(由于同一封装内输出特性容易一致),以增大输出低电平时的灌电流能力 $I_{OL(max)}$ 。

(2) 选用或增加一级CMOS驱动器,以增大 $I_{OL(max)}$ 。

(3) 当CMOS电路采用电源 $U_{DD}(3~18V)$ 时,可采用CMOS缓冲驱动器作为接口电路,如图3.39所示。该缓冲器可选用CD4049(六反相缓冲器)或CD4050(六同相缓冲器),它们的输入电平为5~15V,一般不受TTL门输入电压小于5.5V的限制。

(4) 此外,当CMOS电路采用电源 $U_{DD}(3~18V)$ 时,还可以将CMOS门输出经一级开关晶体管驱动TTL负载门,如图3.40所示。

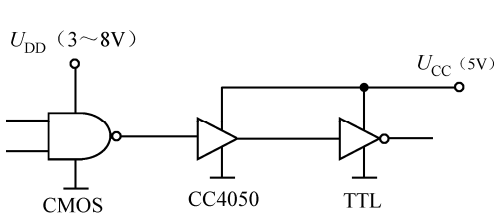


图3.39 CMOS与TTL之间采用CD4050连接

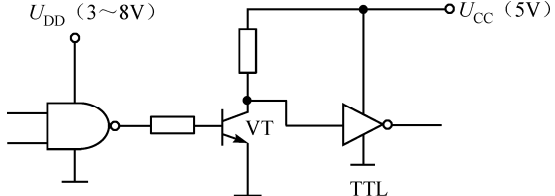


图3.40 CMOS与TTL之间采用开关晶体管连接

## 小结

门电路是组合逻辑电路的基本逻辑单元,学习和掌握各种门电路的电路结构、工作原理、外部特性及主要参数,将是正确使用数字集成电路的重要一环。

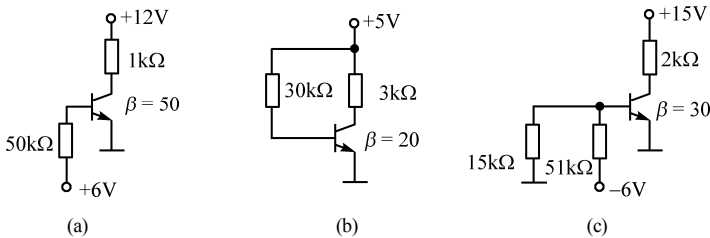
TTL 集成门电路目前仍是数字集成电路的主流电路之一。本章以 TTL “与非”门为例做了重点介绍，学习时应将重点放在外部特性上。也就是说，既要掌握一个门电路输出与输入之间的逻辑关系，又要熟悉该门电路电压传输特性、动态性能、主要参数等电气特性。

CMOS 集成门电路是当今发展最快，应用前景最广的数字集成电路。CMOS 门电路凭其电路结构简单、功耗低、集成度高等特点，在大规模和超大规模数字集成电路及可编程逻辑器件中均得到了广泛的应用。要重视学习和理解 CMOS 门电路的工作原理、外部特性，尤其重要的是掌握正确的使用方法，否则极易损坏器件。

TTL 集成门电路和 CMOS 门电路联合应用是现在多数情况下的选择，因此，掌握二者之间的连接也很重要。

## 习题

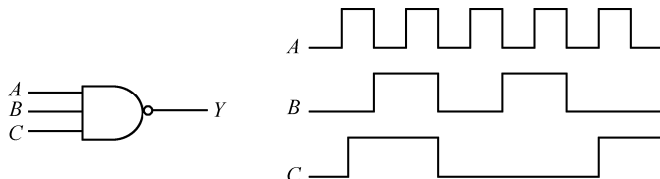
3-1 判断图题 3-1 所示电路中三极管的工作状态？



图题 3-1

3-2 怎样判断“与非”门能带动同类型门的个数？

3-3 “与非”门三个输入端的波形如图题 3-3 所示，画出其输出端的波形。



图题 3-3

3-4 试分别指出 TTL “与非”门的下列接法会造成什么后果，并说明原因：

- (1) 输出端接地；
- (2) 输出端接 $+5\text{V}$ 电源；
- (3) 两个普通“与非”门的输出端短接。

3-5 有两个相同型号的 TTL “与非”门，对它们进行测试的结果如下：

- (1) 甲的开门电平为  $1.4\text{V}$ ，乙的开门电平为  $1.5\text{V}$ ；
- (2) 甲的关门电平为  $1.0\text{V}$ ，乙的关门电平为  $0.9\text{V}$ 。

试问在输入相同高电平时，哪个抗干扰能力强？在输入相同的低电平时，哪个抗干扰能力强？

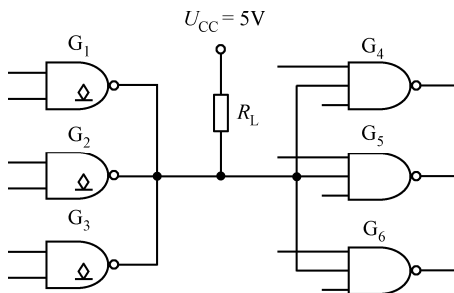
3-6 试说明下列各种门电路中哪些可以将输出端并联使用（输入端的状态不一定相同）。

- (1) 具有推拉式输出级的 TTL 电路；
- (2) TTL 电路的 OC 门；

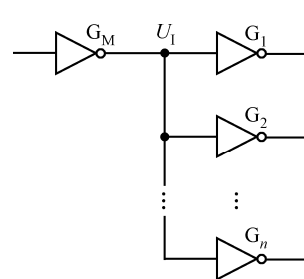
- (3) TTL 电路的 TS 门;
- (4) 普通的 CMOS 门;
- (5) 漏极开路输出的 CMOS 门;
- (6) CMOS 电路的 TS 门。

3-7 计算图题 3-7 电路中上拉电阻  $R_L$  的阻值范围。其中,  $G_1$ 、 $G_2$ 、 $G_3$  是 74LS 系列 OC 门, 输出管截止时的漏电流  $I_{CEO} \leq 100\mu A$ , 输出低电平  $U_{OL} \leq 0.4V$  时允许的最大负载电流  $I_{LM} = 8mA$ 。 $G_4$ 、 $G_5$ 、 $G_6$  为 74LS 系列“与非”门, 该门的输入电流为  $I_{IL} \leq -0.4mA$ 、 $I_{IH} \leq 20\mu A$ 。要求 OC 门的输出高、低电平应满足  $U_{OH} \geq 3.2V$ 、 $U_{OL} \leq 0.4V$ 。

3-8 计算图题 3-8 电路中的反相器  $G_M$  能驱动多少个相同类型的反相器? 要求  $G_M$  输出的高、低电平符合  $U_{OH} \geq 3.2V$ ,  $U_{OL} \leq 0.25V$ 。所有的反相器均为 74LS 系列 TTL 电路, 输入电流  $I_{IL} \leq -0.4mA$ ,  $I_{IH} \leq 20\mu A$ ,  $U_{OL} \leq 0.25V$  时输出电流的最大值为  $I_{OL(max)} = 8mA$ ,  $U_{OH} \geq 3.2V$  时输出电流的最大值为  $I_{OH(max)} = -0.4mA$  ( $G_M$  的输出电阻可忽略不计)。



图题 3-7



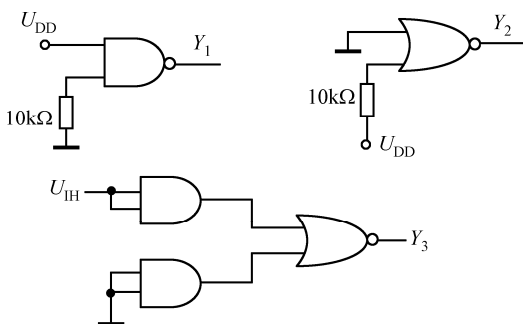
图题 3-8

3-9 OC 门是具有什么逻辑功能的门电路? 它有什么特点和用途?

3-10 图题 3-10 所示分别为 TTL、CMOS 两类门电路, 试指出分别为两类门电路时的输出电平, 并说明原因。

3-11 用三态门实现“线与”(即总线结构)时, 为什么要求在任何时间只能有一个门工作?

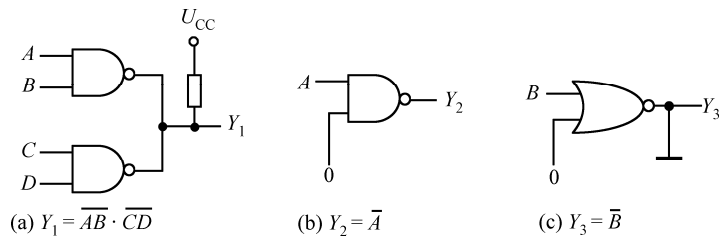
3-12 图题 3-12 所示为 TTL 系列门电路的三种逻辑图, 试改正图中的错误, 使之满足输出函数表达式。



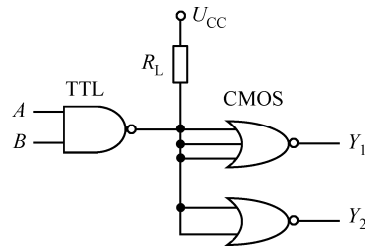
图题 3-10

3-13 图题 3-13 所示为 TTL 门电路驱动 CMOS 门电路的实例。已知 TTL“与非”门在  $U_{OL} \leq 0.3V$  时的最大输出电流为  $8mA$ , 输出端的  $VT_5$  (参见图 3.14) 截止时有  $50\mu A$  的漏电流。CMOS“或非”门的输入电流很小, 可忽略。现要求加到 CMOS“或非”门输入端的电压满足  $U_{IH} \geq 4V$ ,  $U_{IL} \leq 0.3V$ , 该电路的电源电压为  $U_{CC} = 5V$ 。试求上拉电阻的取值范围。

3-14 TTL“与非”门输出端若接 CMOS“与非”门负载时, 需注意什么问题? 反之, CMOS“与非”门输出端若接 TTL“与非”门负载时, 又需注意什么问题?



图题 3-12



图题 3-13

# 第4章 组合逻辑电路

在数字系统中，各种逻辑电路按其功能的不同可分为两大类：一类称为组合逻辑电路；一类称为时序逻辑电路。本章首先介绍组合逻辑电路的共同特点，继而给出常用的中规模组合逻辑电路的工作原理及使用方法，然后重点介绍组合逻辑电路的分析方法和设计方法。最后简略地说明竞争-冒险现象的成因及常用的消除方法。

## 4.1 概述

所谓组合逻辑电路，是指该电路在任意时刻输出信号的稳态值仅取决于该时刻的输入信号，而与此信号输入前电路所处的状态无关。本书介绍组合逻辑电路的特点。

### 1. 电路结构的特点

图 4.1 所示为组合逻辑电路的一般框图。在图 4.1 中，若以  $X_1, X_2, \dots, X_n$  表示  $n$  个输入变量， $Y_1, Y_2, \dots, Y_m$  表示  $m$  个输出函数，则图 4.1 所示电路的逻辑功能可用一组逻辑函数来描述，即：

$$Y_i = f_i(X_1, X_2, \dots, X_n) \quad (4.1)$$

式中， $i = 1, 2, \dots, m$ 。

不难看出，若  $n$  为 2 时，两个输入变量将有  $2^2$  种可能组合，其相应最小项也为 4 个，这 4 个最小项最多可组成  $2^4$  种不同的逻辑函数。以此类推， $n$  个输入变量将有  $2^n$  个最小项，最多则可构成  $f_{\max} = 2^{2^n}$  种不同的逻辑函数。所以，某一组合逻辑电路可实现的逻辑函数如式 (4.2) 所示：

$$f \leq f_{\max} = 2^{2^n} \quad (4.2)$$

组合逻辑电路不具有记忆功能，电路中没有记忆单元，完全由逻辑门组成，且输出与输入之间也无任何反馈延迟通道，这就是组合逻辑电路在电路结构上的特点。

### 2. 逻辑功能的特点

图 4.2 所示为一常见组合逻辑电路，即“判一致”电路，用于判断三个输入端的状态是否一致。表 4.1 所示为“判一致”电路的逻辑功能表。

表 4.1 “判一致”电路的逻辑功能表

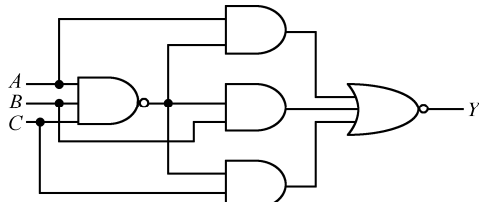


图 4.2 “判一致”电路

A	B	C	Y
0	0	0	1
0	0	1	0
0	1	0	0
0	1	1	0
1	0	0	0
1	0	1	0
1	1	0	0
1	1	1	1

从表 4.1 可知，无论任何时刻，输出  $Y$  的取值仅由当时  $A$ 、 $B$ 、 $C$  的取值决定，而与电路原来的工作状态无关，这就是组合逻辑电路在逻辑功能上的特点。

## 4.2 常用数字集成组合逻辑电路

常用数字集成组合逻辑电路的种类很多，有编码器、译码器、加法器、数据选择器、数值比较器、数据分配器、奇偶校验器/发生器等。这些组合逻辑电路应用广泛，大量地出现在各种数字系统中，为了使用方便，这些逻辑电路均已制成了标准化的中规模集成电路，在设计各种逻辑电路或数字系统时可以直接使用。本节重点讨论其中几种组合逻辑部件的功能及应用。

### 4.2.1 编码器

广义上讲，编码器（Encoder）是将信号（如比特流）或数据编制、转换为可用以通信、传输和存储的形式的设备。在数字系统中，把用二进制代码表示特定信息的过程称为**编码**。实现编码的电路叫做**编码器**。虽然编码器的种类很多，但其工作原理和设计方法基本相同。

#### 1. 二进制编码器

二进制编码器的输入是  $n$  个表示数字、字符或算符的信息，即表征这些信息的高、低电平，输出则是  $m$  位相应的二进制代码。二进制编码器的实现比较简单，以 4-2 线编码器为例，其实现过程如下。

##### (1) 确定二进制代码的位数

因为  $n$  位二进制代码可以有  $2^n$  种组合，即可以表示  $2^n$  个信号。现在有 4 个输入信号，故需两位二进制代码，这就是 4-2 线编码器名字的含义。该类编码器在任意时刻，4 个输入信号中只能有一个为 1，因为在逻辑电路中，信号都是以高、低电平形式给出的，若输入信号为 1，则表示高电平，称为高有效。当  $X_1=1$  时，输出为 01，当  $X_2=1$  时，输出为 10，如表 4.2 所示。

##### (2) 列编码表

列编码表，实质就是将待编码的 4 个输入信号与相对应的两位二进制代码列成表格。需要说明的是，这种对应关系是可以任意规定的，以实现的逻辑电路简单、便于记忆为准则。表 4.2 所示为表示 4-2 线编码器输出与输入之间对应关系的编码表，图 4.3 所示为两位二进制编码器方框图。

表 4.2 4-2 线编码器编码表

输入				输出	
$X_0$	$X_1$	$X_2$	$X_3$	$Y_2$	$Y_1$
1	0	0	0	0	0
0	1	0	0	0	1
0	0	1	0	1	0
0	0	0	1	1	1



图 4.3 4-2 线编码器方框图

##### (3) 根据编码表写逻辑表达式

由表 4.2 可写出两位二进制编码器的输出函数表达式如下：

$$Y_1 = X_1 + X_3 = \overline{X_1} \cdot \overline{X_3} \quad (4.3)$$

$$Y_2 = X_2 + X_3 = \overline{X_2} \cdot \overline{X_3}$$

##### (4) 画逻辑图

逻辑图如图 4.4 所示。输入  $X_0$  是隐含变量，当其他输入都无效时，输出为  $X_0$  的相应编码，即当  $X_1$ 、 $X_2$ 、 $X_3$  均为 0 时，输出为表示  $X_0$  的代码 00。

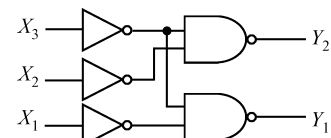


图 4.4 4-2 线编码器逻辑图

从表 4.2 可知, 二进制编码器的输入是一组有约束的变量, 即任何时刻只允许输入一个有效信号, 不允许同时出现两个或两个以上的有效信号。二进制编码器的应用很广, 主要用于计算机等设备的键盘输入电路。

## 2. 8421BCD 码编码器

8421BCD 码是最常用的一种二十进制编码, 能够将十进制数转换成 8421BCD 码的电路称为 8421BCD 码编码器。8421BCD 码编码器的输入是代表 0~9 这 10 个数码的状态信号, 输出是相应的 BCD 码, 因此又称为 **10-4 线编码器**。

8421BCD 码编码器的设计与实现过程和二进制编码器基本相同, 若输入变量为 0~9 这 10 个十进制数码, 并且高电平有效, 用  $A$ 、 $B$ 、 $C$ 、 $D$  表示相应输出的 8421BCD 码, 可直接列出编码表, 如表 4.3 所示。将表 4.3 中使各位输出函数为 1 的相应输入变量进行逻辑“或”, 就得出该编码器输出端的逻辑表达式如下:

$$\begin{aligned} D &= 8+9 = \overline{\overline{8}} \cdot \overline{\overline{9}} \\ C &= 4+5+6+7 = \overline{\overline{4}} \cdot \overline{\overline{5}} \cdot \overline{\overline{6}} \cdot \overline{\overline{7}} \\ B &= 2+3+6+7 = \overline{\overline{2}} \cdot \overline{\overline{3}} \cdot \overline{\overline{6}} \cdot \overline{\overline{7}} \\ A &= 1+3+5+7+9 = \overline{\overline{1}} \cdot \overline{\overline{3}} \cdot \overline{\overline{5}} \cdot \overline{\overline{7}} \cdot \overline{\overline{9}} \end{aligned} \quad (4.4)$$

图 4.5 所示为用“与非”门实现的 8421BCD 码编码器的逻辑图, 当按下某个按钮后(如按下数码 7 这个按钮), 电路的 4 个输出端  $DCBA$  电平为 0111, 便产生了与按钮号相对应的 8421BCD 码。

表 4.3 8421BCD 码编码器的编码表

输入 十进制数	输出			
	$D$	$C$	$B$	$A$
0	0	0	0	0
1	0	0	0	1
2	0	0	1	0
3	0	0	1	1
4	0	1	0	0
5	0	1	0	1
6	0	1	1	0
7	0	1	1	1
8	1	0	0	0
9	1	0	0	1

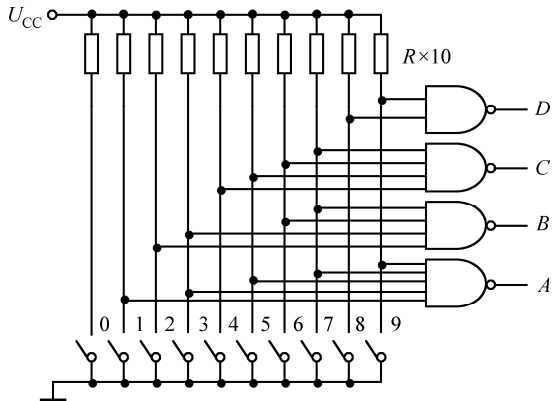


图 4.5 8421BCD 码编码器电路图

TTL 编码器的种类很多, 有集成电路 8421BCD 码编码器, 也有 CMOS 型 8421BCD 码编码器, 如 CD40147 等。

## 3. 优先编码器

在数字系统中, 有多种电子仪器均含有各种外围设备, 最有代表性的为计算机, 计算机有打印机、磁带机、磁盘机和 CRT 等, 这些外围设备通常有两种类型的请求: 一是向主机要求中断或发送数据; 二是要求从主机接收数据。因此在某一时刻, 可能有多个外设同时向主机发出请求, 但该时刻计算机只能接收一个请求, 为此需要一个判断电路, 从而确定哪个外围设备有优先权, 这种电路就称为优先编码器。

优先编码器允许多个输入信号同时有效，但它只按其中优先级别最高的有效输入信号编码，对级别较低的输入信号不予理睬。而优先级别的高低则可以由设计者自行规定。

常用的优先编码器有，TTL 电路的 74LS148，就是一款中规模集成 8-3 线优先级编码器。图 4.6 所示为 8-3 线优先编码器的逻辑图，图 4.7 所示为优先编码器 74LS148 的逻辑符号。该电路有 8 条数据输入线，3 条输出线，并且数据输入  $\overline{I_0} \sim \overline{I_7}$  为低电平有效，编码输出  $\overline{Y_0} \sim \overline{Y_2}$  采用反码形式，如表 4.4 所示。在编码输入信号  $\overline{I_0} \sim \overline{I_7}$  中， $\overline{I_7}$  优先级最高， $\overline{I_0}$  优先级最低。因此，当  $\overline{I_7} = 0$  时，无论其他编码输入信号为何值，都对“7”编码，给出  $\overline{Y_2} \overline{Y_1} \overline{Y_0} = 000$ （因为是反码，故代表十进制数 7）。当  $\overline{I_7} = 1$ ， $\overline{I_6} = 0$  时，不管其他编码输入信号为何值，都对“6”编码，给出  $\overline{Y_2} \overline{Y_1} \overline{Y_0} = 001$ ，其余类推。

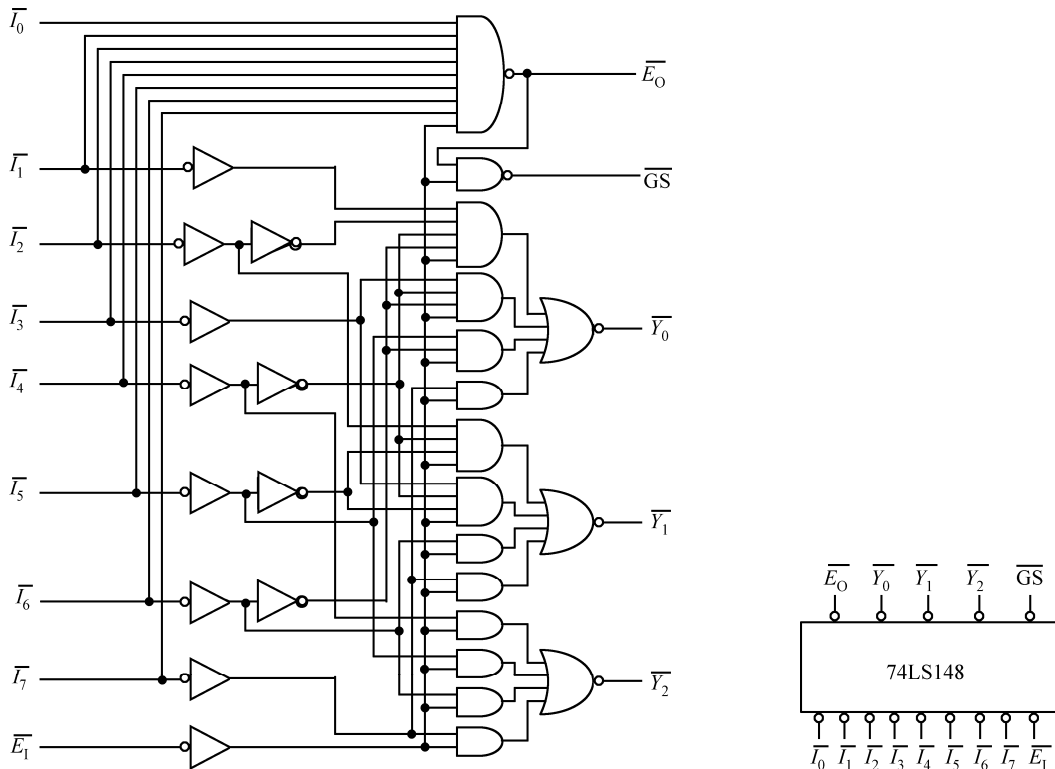


图 4.6 8-3 线优先编码器的逻辑图

图 4.7 74LS148 的逻辑符号

表 4.4 74LS148 的功能表

为了便于多级连接, 74LS148 还设有选通输入端  $\overline{E_1}$ 、选通输出端  $\overline{E_O}$  和扩展输出端  $\overline{GS}$ , 用于扩展编码功能。从表 4.4 可知, 当选通输入端  $\overline{E_1} = 0$  时, 允许编码; 当  $\overline{E_1} = 1$  时, 禁止编码, 即此时不论输入  $I_0 \sim I_7$  为何值, 输出  $\overline{Y}_2$ 、 $\overline{Y}_1$ 、 $\overline{Y}_0$  全被封锁在高电平。另外两种输出全为高电平的情况则由  $\overline{E_O}$ 、 $\overline{GS}$  的不同状态加以区别。

选通输出信号  $\overline{E_O}$  和扩展输出信号  $\overline{GS}$  具有如下规律: 当选通输入  $\overline{E_1} = 1$  时, 无论编码输入信号  $I_0 \sim I_7$  为何值, 恒有  $\overline{E_O} = \overline{GS} = 1$ ; 当选通输入  $\overline{E_1} = 0$  时, 若没有编码输入信号(即  $I_0 \sim I_7$  均为 1)时, 则有  $\overline{E_O} = 0$ , 而  $\overline{GS} = 1$ 。 $\overline{E_O} = 0$  表示“电路工作, 但没有编码输入”; 若有编码输入信号(即  $I_0 \sim I_7$  不全为 1)时, 则有  $\overline{E_O} = 1$ , 而  $\overline{GS} = 0$ 。 $\overline{GS} = 0$  表示“电路工作, 并且有编码输入”。

根据图 4.6 和表 4.4, 可以写出 74LS148 各输出端的逻辑表达式如下:

$$\begin{aligned}\overline{Y}_2 &= \overline{E_1} \cdot (\overline{I}_4 + \overline{I}_5 + \overline{I}_6 + \overline{I}_7) \\ \overline{Y}_1 &= \overline{E_1} \cdot (\overline{I}_2 \overline{I}_4 \overline{I}_5 + \overline{I}_3 \overline{I}_4 \overline{I}_5 + \overline{I}_6 + \overline{I}_7) \\ \overline{Y}_0 &= \overline{E_1} \cdot (\overline{I}_1 \overline{I}_2 \overline{I}_4 \overline{I}_6 + \overline{I}_3 \overline{I}_4 \overline{I}_6 + \overline{I}_5 \overline{I}_6 + \overline{I}_7) \\ \overline{E_O} &= \overline{E_1} \overline{I}_0 \overline{I}_1 \overline{I}_2 \overline{I}_3 \overline{I}_4 \overline{I}_5 \overline{I}_6 \overline{I}_7 \\ \overline{GS} &= \overline{(I_0 + I_1 + I_2 + I_3 + I_4 + I_5 + I_6 + I_7) E_1}\end{aligned}\quad (4.5)$$

当选用一片 74LS148 优先编码器时, 最多能输出 8 种信息的编码。若编码信息较多时, 需要多片级联使用。图 4.8 所示为两片 74LS148 扩展为 16-4 线优先编码器的逻辑图。

从图 4.8 可知, 若用  $\overline{A_{15}} \sim \overline{A_0}$  表示 16 个待编码信息, 低电平有效, 其中  $\overline{A_{15}}$  的优先权最高,  $\overline{A_0}$  的优先权最低。两片级联时, 根据优先顺序的要求, 仅当第(1)片的  $\overline{I}_7 \sim \overline{I}_0$  均无输入信号时, 才允许对第(2)片  $\overline{I}_7 \sim \overline{I}_0$  的输入信号编码, 所以要将第(1)片的选通输出信号  $\overline{E_O}$  接到第(2)片的选通输入信号  $\overline{E_1}$  上。 $\overline{B}_3 \sim \overline{B}_0$  为输出的代码, 其中低三位  $\overline{B}_2 \sim \overline{B}_0$  分别为两片输出端  $\overline{Y}_2 \sim \overline{Y}_0$  之间的逻辑“与”逻辑, 故采用“与”门很方便。而第(1)片的扩展输出信号  $\overline{GS}$ , 当有编码输入时  $\overline{GS} = 0$ , 无编码输入信号时  $\overline{GS} = 1$ , 正好可以作为编码输出的最高位  $\overline{B}_3$ 。

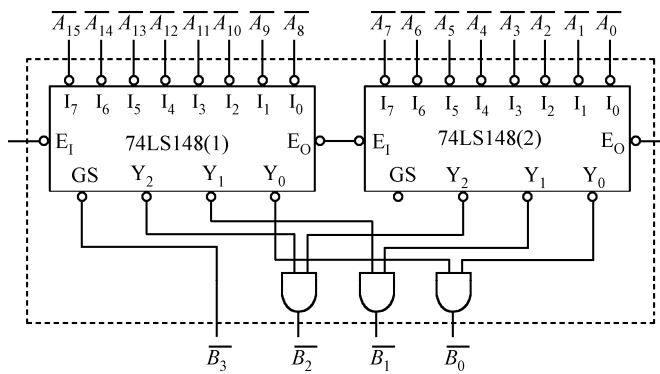


图 4.8 由 74LS148 构成的 16-4 线优先编码器

图 4.8 中虚线框内相当于一个单片的 16-4 线优先编码器。需要说明的是, 当多片级联时, 外面的附加门电路选取非常重要, 若在图 4.8 中选用“与非”门, 那么输出信号就是原码了。

在常用的优先编码器中, 除了 74LS148 一类的二进制优先编码器外, 还有一类称为二-十进制优先编码器。例如 74LS147, 它的逻辑图如图 4.9 所示, 逻辑符号如图 4.10 所示, 功能表如表 4.5 所示。

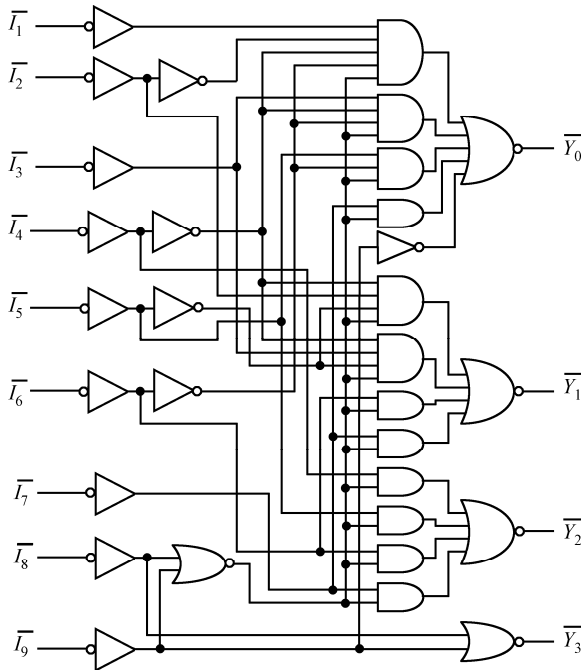


图 4.9 74LS147 的逻辑图

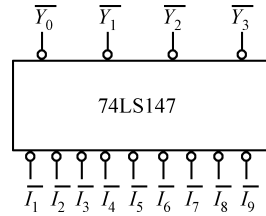


图 4.10 74LS147 的逻辑符号

表 4.5 74LS147 的功能表

输入									输出				
$\overline{I_1}$	$\overline{I_2}$	$\overline{I_3}$	$\overline{I_4}$	$\overline{I_5}$	$\overline{I_6}$	$\overline{I_7}$	$\overline{I_8}$	$\overline{I_9}$	$\overline{Y_3}$	$\overline{Y_2}$	$\overline{Y_1}$	$\overline{Y_0}$	
1	1	1	1	1	1	1	1	1	1	1	1	1	1
x	x	x	x	x	x	x	x	x	0	0	1	1	0
x	x	x	x	x	x	x	x	0	1	0	1	1	1
x	x	x	x	x	x	x	0	1	1	1	0	0	0
x	x	x	x	x	x	0	1	1	1	1	0	0	1
x	x	x	x	0	1	1	1	1	1	1	0	1	0
x	x	x	0	1	1	1	1	1	1	1	0	1	1
x	x	0	1	1	1	1	1	1	1	1	1	0	0
x	0	1	1	1	1	1	1	1	1	1	1	0	1
0	1	1	1	1	1	1	1	1	1	1	1	1	0

根据图 4.9 可以得到：

$$\begin{aligned}
 \overline{Y_3} &= \overline{I_8 + I_9} \\
 \overline{Y_2} &= \overline{I_7 \overline{I_8} \overline{I_9} + I_6 \overline{I_8} I_9 + I_5 \overline{I_8} I_9 + I_4 \overline{I_8} I_9} \\
 \overline{Y_1} &= \overline{I_7 \overline{I_8} \overline{I_9} + I_6 \overline{I_8} I_9 + I_3 \overline{I_4} \overline{I_5} \overline{I_8} I_9 + I_2 \overline{I_4} \overline{I_5} \overline{I_8} I_9} \\
 \overline{Y_0} &= \overline{I_9 + I_7 \overline{I_8} I_9 + I_5 \overline{I_6} \overline{I_8} I_9 + I_3 \overline{I_4} \overline{I_6} \overline{I_8} I_9 + I_1 \overline{I_2} \overline{I_4} \overline{I_6} \overline{I_8} I_9}
 \end{aligned} \tag{4.6}$$

由表 4.5 可知，9 个输入变量  $\overline{I_1} \sim \overline{I_9}$  均为低电平有效，4 个输出变量  $\overline{Y_0} \sim \overline{Y_3}$  采用反码。其功能是：将 10 个输入信号  $\overline{I_0} \sim \overline{I_9}$  分别编成 4 个 BCD 代码。工作时，当某一个输入端为低电平 0 时，4 个输出

端就是以低电平 0 输出其对应的 BCD 编码。在编码的过程中，当所有的输入端都没有信号时，输出是与十进制数码 0 对应的二进制数 0000 的反码 1111。输入信号  $\bar{I}_9$  的优先权最高， $\bar{I}_0$  的优先权最低。

## 4.2.2 译码器

译码是编码的逆过程，实现译码功能的电路被称为译码器(Decoder)。译码器的作用是将给定的若干二进制代码“翻译”出来，还原成有特定意义的输出信息。译码器是多输入、多输出的组合逻辑电路。常用的译码器为二进制译码器、二十进制译码器和显示译码器等。

### 1. 二进制译码器

将具有特定含义的一组二进制代码，按其原义翻译成对应于输出信号的逻辑电路，称为二进制译码器。为了保证输入二进制代码和译码输出之间的对应关系，当输入是  $n$  位二进制代码时，译码器将有  $2^n$  根输出线，所以两位二进制译码器有 4 根输出线，又称为 2-4 线译码器；三位二进制译码器有 8 根输出线，则称为 3-8 线译码器，等等。

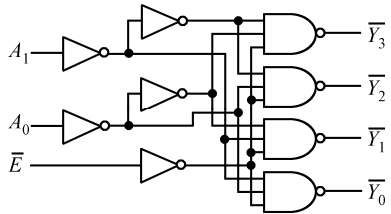


图 4.11 74LS139 的逻辑图

MSI 译码器的类型较多，这里介绍常用的 74LS139 和 74LS138。

74LS139 是中规模集成译码器，该器件内装有两组独立的 2-4 线译码器。图 4.11 所示为其中一组译码器的逻辑图。电路的功能表如表 4.6 所示。从表 4.6 可知， $\bar{E}$  端为使能控制端，其功能是控制译码器的工作和扩展输入变量级联使用。

当  $\bar{E} = 1$  时，译码器不工作，无论  $A_1$ 、 $A_0$  输入状态如何，译码器的所有输出均为高电平；当  $\bar{E} = 0$  时，允许译码器工作，译码器将按  $A_1$ 、 $A_0$  状态组合进行正常译码。74LS139 的 4 个输出端  $\bar{Y}_0 \sim \bar{Y}_3$  均为低电平有效。

表 4.6 74LS139 的功能表

输入			输出			
$\bar{E}$	$A_1$	$A_0$	$\bar{Y}_0$	$\bar{Y}_1$	$\bar{Y}_2$	$\bar{Y}_3$
1	x	x	1	1	1	1
0	0	0	0	1	1	1
0	0	1	1	0	1	1
0	1	0	1	1	0	1
0	1	1	1	1	1	0

2-4 线译码器的应用很广，现举例如下。

**【例 4.1】**现有 4 个外部设备的采样数据  $D_0$ 、 $D_1$ 、 $D_2$ 、 $D_3$ ，需要分时地送入计算机中，试设计一个实现该功能的逻辑电路。

**解：**根据题目要求，在外设数据线和计算机总线之间使用“三态”门，并且将每个“三态”门的控制端  $\bar{EN}$  分别接到一个 2-4 线译码器的一个输出端上，电路如图 4.12 所示。译码器的使能控制端  $\bar{E}$  接地，通过改变输入变量  $A_1$ 、 $A_0$  的电平，就可使译码器的 4 个输出端  $\bar{Y}_0 \sim \bar{Y}_3$  中的某一路为低电平。此时与之相连的“三态”门的控制端  $\bar{EN} = 0$ ，则该“三态”门处于工作状态，相应外设数据即可送入至计算机中。其余的三个“三态”门则因控制端  $\bar{EN} = 1$  接高电平而处于高阻悬空状态，其外设数据线与计算机的数据总线隔离，相应数据不能送至计算机中。因此，只要使  $A_1$ 、 $A_0$  状态分别为 00、01、10、11，就可将外设  $D_0$ 、 $D_1$ 、 $D_2$ 、 $D_3$  的采样数据分时送入计算机中。

74LS138 是由 TTL“与非”门组成的 3-8 线译码器，它的逻辑图如图 4.13 所示，表 4.7 所示为 3-8 线译码器的功能表。

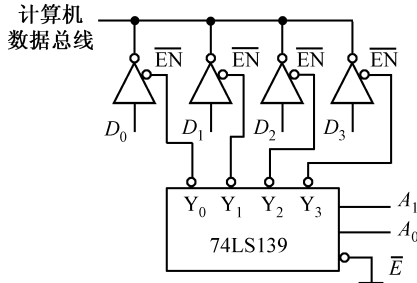


图 4.12 电路图

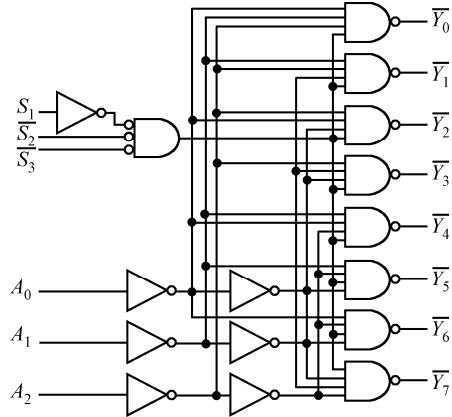


图 4.13 74LS138 的逻辑图

表 4.7 74LS138 的功能表

输入					输出							
$S_1$	$\bar{S}_2 + \bar{S}_3$	$A_2$	$A_1$	$A_0$	$\bar{Y}_0$	$\bar{Y}_1$	$\bar{Y}_2$	$\bar{Y}_3$	$\bar{Y}_4$	$\bar{Y}_5$	$\bar{Y}_6$	$\bar{Y}_7$
0	x	x	x	x	1	1	1	1	1	1	1	1
x	1	x	x	x	1	1	1	1	1	1	1	1
1	0	0	0	0	0	1	1	1	1	1	1	1
1	0	0	0	1	1	0	1	1	1	1	1	1
1	0	0	1	0	1	1	0	1	1	1	1	1
1	0	0	1	1	1	1	1	0	1	1	1	1
1	0	1	0	0	1	1	1	1	0	1	1	1
1	0	1	0	1	1	1	1	1	1	0	1	1
1	0	1	1	0	1	1	1	1	1	1	0	1
1	0	1	1	1	1	1	1	1	1	1	1	0

由表 4.7 可知，74LS138 有三个控制端  $S_1$ 、 $\bar{S}_2$  和  $\bar{S}_3$ ，只有当  $S_1 = 1$ ， $\bar{S}_2 + \bar{S}_3 = 0$  时，该译码器才处于工作状态。否则，只要有一个条件不满足，74LS138 的所有输出端全为高电平。如果要将多片译码器级联以扩展应用时，这三个控制端也可作为“片选”输入端。

当译码器处于正常译码工作时，即  $S_1 = 1$ ， $\bar{S}_2 + \bar{S}_3 = 0$ ，根据图 4.13 可写出各输出端的输出函数为：

$$\begin{aligned}
 \bar{Y}_0 &= \overline{\bar{A}_2 \cdot \bar{A}_1 \cdot \bar{A}_0} = \bar{m}_0 \\
 \bar{Y}_1 &= \overline{\bar{A}_2 \cdot \bar{A}_1 \cdot A_0} = \bar{m}_1 \\
 \bar{Y}_2 &= \overline{\bar{A}_2 \cdot A_1 \cdot \bar{A}_0} = \bar{m}_2 \\
 \bar{Y}_3 &= \overline{\bar{A}_2 \cdot A_1 \cdot A_0} = \bar{m}_3 \\
 \bar{Y}_4 &= \overline{\bar{A}_2 \cdot \bar{A}_1 \cdot \bar{A}_0} = \bar{m}_4 \\
 \bar{Y}_5 &= \overline{\bar{A}_2 \cdot \bar{A}_1 \cdot A_0} = \bar{m}_5
 \end{aligned} \tag{4.7}$$

$$\overline{Y}_6 = \overline{A_2} \cdot A_1 \cdot \overline{A_0} = \overline{m}_6$$

$$\overline{Y}_7 = \overline{A_2} \cdot A_1 \cdot A_0 = \overline{m}_7$$

可见, 74LS138 的输出是三个输入变量  $A_2$ 、 $A_1$ 、 $A_0$  的 8 个最小项, 因而 74LS138 又称为最小项译码器。需要注意, 74LS138 是反码输出。另外, 逻辑图 4.13 中逻辑门前面的小圆圈可以理解为输入信号经过反向后才加到后面的逻辑符号上。

二进制译码器的多数应用主要有如下几点。

- (1) 作为地址译码器或状态译码器。
- (2) 实现逻辑函数, 因为任意一个逻辑函数都可化成若干最小项之和式, 所以译码器辅以适当的逻辑门, 即可实现任意逻辑函数。该功能已成为译码器的主要应用之一, 详见 4.4.2 节。
- (3) 带控制端的译码器也可用做数据分配器。

**【例 4.2】** 试将两片 74LS138 级联, 从而构成一个 4-16 线译码器。

解: 当把多片译码器级联使用时, 可利用译码器的控制端, 以扩大输入代码的位数。两片 74LS138 级联的电路如图 4.14 所示。

在图 4.14 中, 两片 74LS138 的  $S_3$  端接在一起作为 4-16 线译码器的使能控制端  $E$ , 当该使能控制端输入信号为  $E=1$  时, 电路输出全无效; 当  $E=0$  时, 译码器正常工作, 这时若输入二进制码最高位  $D_3=0$ , 则第二片 74LS138 (2) 被禁止, 仅第一片 74LS138 (1) 工作, 即将输入  $D_3D_2D_1D_0$  所对应的  $0000 \sim 0111$  这 8 个代码中的一个译成  $\overline{F}_0 \sim \overline{F}_7$  这 8 个低电平信号之一输出; 若当  $D_3=1$ , 则相反, 第一片 74LS138 (1) 禁止, 第二片 74LS138 (2) 工作, 将  $D_3D_2D_1D_0$  所对应的  $1000 \sim 1111$  这 8 个代码中的一个译成  $\overline{F}_8 \sim \overline{F}_{15}$  这 8 个低电平信号其中之一输出, 由此则实现了两片 74LS138 构成 4-16 线译码器的目的。

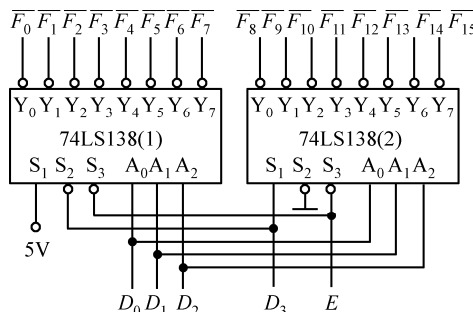


图 4.14 用 74LS138 组成的 4-16 线译码器

## 2. 二-十进制译码器

二-十进制译码器又称为 BCD/十进制码译码器(或 4-10 线译码器), 该类译码器的逻辑功能是将输入 BCD 码的 4 个代码译成相对应的 10 个原含义的高、低电平输出。

专用集成二-十进制译码器有 8421 码-十进制译码器(如 74LS42, CMOS 器件有 CD4028)、余 3 码-十进制译码器(如 74LS43)、余 3 循环码-十进制译码器等, 另外, 该类译码器还可用 4-16 线译码器实现。

74LS42 的逻辑符号如图 4.15 所示, 其功能表如表 4.8 所示。从表 4.8 可知, 该类译码器无选通输入端, 并且是直接按最小项译码,

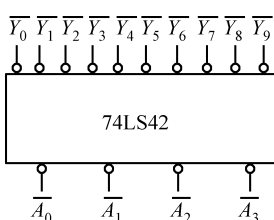


图 4.15 74LS42 的逻辑符号

也就是说，当输入端出现 BCD 码以外的伪码（即  $1010 \sim 1111$ ）时，各输出端  $\bar{Y}_0 \sim \bar{Y}_9$  均不会产生低电平信号，故该器件具有拒绝伪码的功能。

表 4.8 74LS42 的功能表

序号	输入				输出									
	$A_3$	$A_2$	$A_1$	$A_0$	$\bar{Y}_0$	$\bar{Y}_1$	$\bar{Y}_2$	$\bar{Y}_3$	$\bar{Y}_4$	$\bar{Y}_5$	$\bar{Y}_6$	$\bar{Y}_7$	$\bar{Y}_8$	$\bar{Y}_9$
0	0	0	0	0	0	1	1	1	1	1	1	1	1	1
1	0	0	0	1	1	0	1	1	1	1	1	1	1	1
2	0	0	1	0	1	1	0	1	1	1	1	1	1	1
3	0	0	1	1	1	1	1	0	1	1	1	1	1	1
4	0	1	0	0	1	1	1	1	0	1	1	1	1	1
5	0	1	0	1	1	1	1	1	1	0	1	1	1	1
6	0	1	1	0	1	1	1	1	1	1	0	1	1	1
7	0	1	1	1	1	1	1	1	1	1	1	0	1	1
8	1	0	0	0	1	1	1	1	1	1	1	1	0	1
9	1	0	0	1	1	1	1	1	1	1	1	1	1	0
伪码	1	0	1	0	1	1	1	1	1	1	1	1	1	1
	⋮				1	1	1	1	1	1	1	1	1	1
	1	1	1	1	1	1	1	1	1	1	1	1	1	1

**【例 4.3】** 试用一片 74LS42 构成一个 3-8 线译码器。

解：利用二-十进制译码器构成 3-8 线译码器，是二-十进制译码器的多数情况下的应用，其电路接法如图 4.16 所示。

在图 4.16 中将 74LS42 的输入脚  $A_3$  作为使能端，参见表 4.8，当接低电平时，其余三个引脚  $A_2, A_1, A_0$  作为数据输入端，输出  $\bar{Y}_0 \sim \bar{Y}_7$  正好就是 3-8 线变量译码器的功能。

### 3. 显示译码器

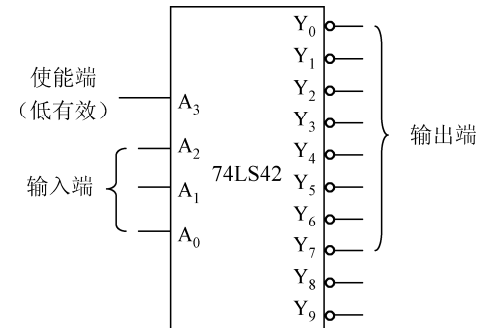


图 4.16 由 74LS42 构成的 3-8 线译码器

在数字系统中，常常需要将测量和运算的结果直接以人们习惯的十进制数字形式显示出来，显示译码器就是用来驱动显示器件，以显示数字或字符的中规模集成电路。

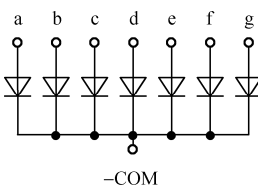
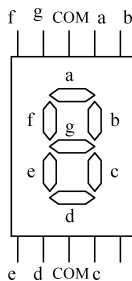
显示译码器需要配合显示器件，常用的显示器件有：半导体数码管 (Light Emitting Diode, LED)，半导体数码管具有工作电压低、体积小、可靠性高、亮度高等优点，缺点是工作电流较大；液晶数码管是另一种常用的七段字符显示器 (Liquid Crystal Display, LCD)，液晶数码管在电子表及各种小型便携仪器中广泛应用；另外还有荧光数码管和辉光数码管等。所有这些显示器件都称为七段字符显示器。

#### (1) 七段数码管

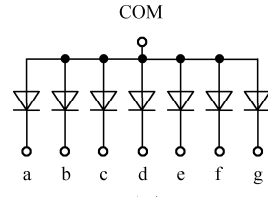
七段数码管的每一个线段都是一个发光二极管，发光二极管是一种能将电能转换成光能的结型电致发光器件，由半导体材料砷化镓、磷化镓、磷砷化镓等制成。制作发光二极管的半导体材料掺杂浓度很高，但其内部结构却与普通二极管相似，即都具有一个 PN 结。当 PN 结正向导通时，依靠少数载流子的注入及随后的复合而辐射发光，辐射波长决定发光颜色。

图 4.17 所示为七段数码管的结构示意图。按照高、低电平的不同驱动方式，七段数码管又可分为共阴极接法和共阳极接法两种，其原理图如图 4.18(a)和(b)所示。当译码器输出高电平驱动显

示器时，则需选用共阴极接法的数码管；若译码器输出低电平驱动显示器时，则选用共阳极接法的数码管。



(a) 共阴极



(b) 共阳极

图 4.17 七段数码管结构示意图

图 4.18 七段数码管的两种接法

发光二极管的亮度较高，且响应时间短（约为  $0.1\mu s$ ），体积小，可靠性高。它的正向工作电压一般为  $1.5\sim 3V$ ，驱动电流需要几至十几毫安。为了防止发光二极管因过流而损坏，使用时每个二极管支路均应串接限流电阻。

七段液晶显示器在许多数字产品中也得到了广泛的应用，其优点是：功耗低，每平方厘米的功耗仅在  $1\mu W$  以下，而工作电压也很低。缺点是：液晶显示器本身不会发光，只能反射外界光线显示字形，因而亮度较差。此外，液晶显示器的响应时间也较长（为  $10\sim 200ms$ ）。

### (2) BCD-七段显示译码器

在使用七段数码管时，必须由七段显示译码器来驱动。显示译码器的输出端，分别控制组成“8”字的 7 个段，按不同组合选通各段，即可显示所需要的数字。因此，七段显示译码器是七段译码显示系统中的核心部件。七段显示译码器有 TTL 电路和 CMOS 电路的多种型号，这里介绍 4 线-七段译码器/驱动器 74LS248。

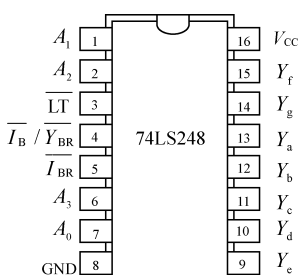


图 4.19 74LS248 引脚图

74LS248 的引脚图如图 4.19 所示，功能表如表 4.9 所示。它的基本输入信号是 8421BCD 码，从引脚  $A_3 \sim A_0$  输入，引脚  $Y_a \sim Y_g$  是输出，用来控制七段数码管的相应各字段。此外，还有三个输入控制端，其功能如下。

① 灯测试输入端  $\overline{LT}$ ：又称为灯测试检查，用来检验数码管的七段工作是否正常。当  $\overline{LT} = 0$  时，无论  $A_3, A_2, A_1, A_0$  为何值，输出  $Y_a \sim Y_g$  均为 1，可使七段数码管显示完整的“8”字形。当  $\overline{LT} = 1$  时，译码器按输入的 8421BCD 码正常译码。

② 灭灯输入端  $\overline{I_B}$ ：当  $\overline{I_B} = 0$  时，不论  $\overline{LT}$  或  $\overline{I_{BR}}$  以及  $A_3, A_2, A_1, A_0$  状态如何，七段数码管的各段均熄灭。而当  $\overline{I_B} = 1$  时，不影响正常译码显示。

③ 灭零输入端  $\overline{I_{BR}}$ ：它可以按照人们需要将显示器所显示的“0”予以熄灭，而在显示  $1\sim 9$  时则不受影响。此输入信号常用来消除显示数字上无效的前置“0”或后尾“0”，当  $\overline{I_{BR}} = 0$ ，若输入  $A_3 A_2 A_1 A_0 = 0000$  时，则不显示；若输入为 BCD 的其他代码，则照常显示。 $\overline{I_{BR}}$  的控制作用与  $\overline{I_B}$  不同，后者是无条件的，而前者只能在  $A_3, A_2, A_1, A_0$  输入全 0 时起作用。

④ 灭零输出端  $\overline{Y_{BR}}$ ：该端与  $\overline{I_B}$  端公用一个引出脚，它既是灭灯输入端，用来接收信号；又是灭零输出端，可以给出信号，它的输出表达式为

$$\overline{Y_{BR}} = \overline{\overline{LT} \cdot \overline{A_3} \cdot \overline{A_2} \cdot \overline{A_1} \cdot \overline{A_0} \cdot I_{BR}} \quad (4.8)$$

可见, 当  $\overline{LT} = 1$ ,  $\overline{I_{BR}} = 0$ , 且  $A_3 A_2 A_1 A_0 = 0000$  时, 则灭零输出端  $\overline{Y_{BR}} = 0$ 。该信号既可以使本位灭灯 ( $I_B = 0$ ), 又同时输出一个低电平信号, 为相邻位提供灭零信号。

表 4.9 74LS248 的功能表

十进制数	输入					输出							显示字形		
	$\overline{LT}$	$\overline{I_{BR}}$	$A_3$	$A_2$	$A_1$	$A_0$	$\overline{I_B / Y_{BR}}$	$Y_a$	$Y_b$	$Y_c$	$Y_d$	$Y_e$	$Y_f$	$Y_g$	
灭灯	x	x	x	x	x	x	0	0	0	0	0	0	0	0	全灭
灭零	1	0	0	0	0	0	0	0	0	0	0	0	0	0	灭0
灯测	0	x	x	x	x	x	1	1	1	1	1	1	1	1	8
0	1	1	0	0	0	0	1	1	1	1	1	1	1	0	0
1	1	x	0	0	0	1	1	0	1	1	0	0	0	0	1
2	1	x	0	0	1	0	1	1	1	0	1	1	0	1	2
3	1	x	0	0	1	1	1	1	1	1	1	0	0	1	3
4	1	x	0	1	0	0	1	0	1	1	0	0	1	1	4
5	1	x	0	1	0	1	1	1	0	1	1	0	1	1	5
6	1	x	0	1	1	0	1	1	0	1	1	1	1	1	6
7	1	x	0	1	1	1	1	1	1	0	0	0	0	0	7
8	1	x	1	0	0	0	1	1	1	1	1	1	1	1	8
9	1	x	1	0	0	1	1	1	1	0	1	1	1	1	9

一片 74LS248 可以驱动一个七段数码管, 并且 74LS248 是高电平输出, 因此可驱动共阴极七段数码管。

在一个多位数字显示电路内, 如显示 0306.090, 这个数值中的最高位及小数点后的最低位所显示的“0”是没有必要的, 应当灭掉。使用有灭零控制端的 74LS248 就可以做到这一点, 电路接法如图 4.20 所示。由图 4.20 可知, 最高位和小数点后的最低位的  $\overline{I_{BR}}$  均接地, 所以当这两位译码器输入  $A_3 \sim A_0$  均为“0”时, 就会使首、尾的这两个“0”灭掉。而小数点前、后的这两个译码器的  $\overline{I_{BR}}$  均接高电平, 这样小数点两边的数字即使“0”也被显示出来, 以便看到小数点的位置。

由于最高位灭零, 该位的 74LS248 译码器灭零输出  $\overline{Y_{BR}} = 0$ , 并且将此  $\overline{Y_{BR}}$  接到次高位译码器的  $\overline{I_{BR}}$  端, 但因为次高位输入信号  $A_3 \sim A_0$  为 0011, 所以次高位显示值为 3, 次高位译码器的  $\overline{Y_{BR}} = 1$ , 信号  $\overline{Y_{BR}}$  接到小数点前第二位译码器的  $\overline{I_{BR}}$  端, 该位输入的数码  $A_3 \sim A_0$  虽然是 0000, 但因为它的  $\overline{I_{BR}}$  与前一位的  $\overline{Y_{BR}} = 1$  相连, 所以显示读数为 0。小数部分的灭“0”原理及接法与整数部分相同。

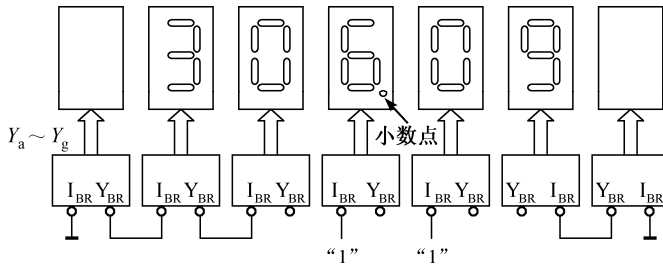


图 4.20 74LS248 灭“0”控制示意图

### 4.2.3 加法器

在数字系统中, 除了进行逻辑运算外, 还需要做算术运算。两个二进制数之间的算术运算, 即加、减、乘、除, 在计算机系统中均转换成加法运算进行, 因此加法器是最基本的运算单元。

### 1. 半加器

所谓半加器，就是不考虑低位向本位进位的一位加法运算器。

若设  $A$  为被加数， $B$  为加数， $C$  为向高位产生的进位， $S$  为本位和。由此可得出半加器的功能表如表 4.10 所示。

由半加器的真值表可得：

$$\begin{aligned} S &= \overline{A} \cdot B + A \cdot \overline{B} = A \oplus B \\ C &= A \cdot B \end{aligned} \quad (4.9)$$

可见， $A$  与  $B$  之间是“异或”逻辑关系，可用“异或”门实现， $C$  可用一个“与”门实现。其逻辑图和图形符号如图 4.21 所示。

表 4.10 半加器的功能表

输入		输出	
$A$	$B$	$C$	$S$
0	0	0	0
0	1	0	1
1	0	0	1
1	1	1	0

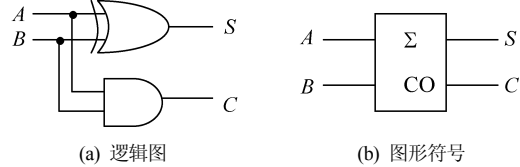


图 4.21 半加器逻辑图和图形符号

### 2. 全加器

要实现两个多位二进制数相加，就必须考虑来自低位的进位。这时半加器可用于最低位求和，并给出进位。而其他位则实现本位的被加数  $A_i$ 、加数  $B_i$  及来自该位低位的进位  $C_{i-1}$  三者的相加。这三个

数相加，称为“全加”。实现全加操作的电路，称为全加器。全加器的功能表如表 4.11 所示。

根据表 4.11 可分别写出其输出端  $S_i$  和进位端  $C_i$  的逻辑表达式：

$$\begin{aligned} S_i &= (A_i \overline{B}_i + \overline{A}_i B_i) \overline{C}_{i-1} + (\overline{A}_i B_i + A_i B_i) C_{i-1} \\ C_i &= (\overline{A}_i B_i + A_i \overline{B}_i) C_{i-1} + A_i B_i \end{aligned} \quad (4.10)$$

由于半加和：

$$\begin{aligned} S &= \overline{A}_i B_i + A_i \overline{B}_i \\ \overline{S} &= A_i B_i + \overline{A}_i B_i \end{aligned} \quad (4.11)$$

若将  $S$ 、 $\overline{S}$  代入  $S_i$  和  $C_i$  的表达式，可得：

$$\begin{aligned} S_i &= S \overline{C}_{i-1} + \overline{S} C_{i-1} \\ C_i &= S C_{i-1} + A_i B_i \end{aligned} \quad (4.12)$$

可知用两个半加器和一个“或”门即可组成一个全加器，如图 4.22(a)所示，图 4.22(b)所示为全加器的图形符号。

按照以上原理，可将多个全加器集成到一个芯片上，制成加法器集成电路组件。74LS183 就是由两个独立的全加器构成的集成电路组件。

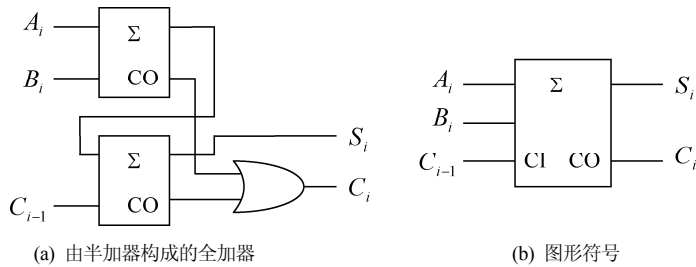


图 4.22 全加器

**【例 4.4】** 用 74LS183 构成 4 位二进制数相加的电路。

解：因为一片 74LS183 中有两个全加器，4 位二进制加法器则需要两片 74LS183 串接构成，具体电路如图 4.23 所示。接线规则是：依次将低位全加器的进位输出端  $C_i$  接到高位全加器的进位输入端  $C_{i-1}$ ，即可构成 4 位二进制数相加的电路。

实际上，最低位  $A_i$  与  $B_i$  之间要进行的是半加运算，而不是全加运算。只要把该位的进位输入端  $C_{i-1}$  接地，全加器就变成了半加器。

串行进位加法器电路简单，但工作速度较慢。因为高位的运算必须等低位的进位数确定之后才能求出正确结果。若希望提高运算速度，则应采用超前进位加法器。

### 3. 超前进位加法器

因为串行进位加法器的进位信号是逐级传输，速度较慢，若要提高运算速度，则必须直接由输入数码产生各位所需的进位信号，消除串行进位所耗费的时间，即实行超前进位。

超前进位加法器高位的进位输入信号是根据两个加数本位的状态直接推导而得到的，下面用逻辑推理的方法说明高位的进位输入信号可在相加运算开始时就知道的原理。

根据加法原理，多位二进制数相加时，第  $i$  位的进位输入信号是第  $i$  位之前各位状态的函数，若分析全加器真值表 4.11 可知，仅在两种情况下会产生进位输出信号：①本位的加数和被加数全为 1；②本位的加数、被加数中有 1，且低位的进位信号为 1。这两种情况均可将来自低位的进位输入信号直接送到本位的进位输出端，因此，两个多位二进制数中，第  $i$  位相加所产生的进位输出可写成表达式如下：

$$C_i = A_i B_i + (A_i + B_i) C_{i-1} \quad (4.13)$$

若用“异或”表达式，全加器的第  $i$  位和  $S_i$  的表达式可写成：

$$\begin{aligned} S_i &= (A_i \bar{B}_i + \bar{A}_i B_i) \bar{C}_{i-1} + (\bar{A}_i \bar{B}_i + A_i B_i) C_{i-1} \\ &= A_i \oplus B_i \oplus C_{i-1} \end{aligned} \quad (4.14)$$

基于以上分析所设计的超前进位加法器的逻辑电路的复杂程度，比串行进位加法器大得多，这里省略其内部电路图。

超前进位加法器其输出函数的复杂程度增加了，但却可缩短加法器的运算时间。74LS283 就是实现这一原理的集成 4 位超前进位加法器。图 4.24 所示为 74LS283 的逻辑符号，其中：

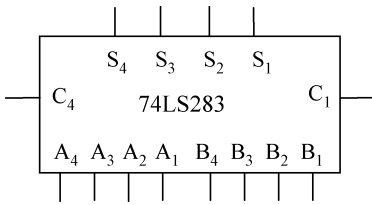


图 4.24 74LS283 逻辑符号

$A_1 \sim A_4$ : 4位二进制加数;

$B_1 \sim B_4$ : 4位二进制被加数;

$S_1 \sim S_4$ : 分别为4位二进制和数的输出端;

$C_1$ : 最低位的进位信号输入端;

$C_4$ : 第4位的进位信号输出端。

加法器的应用很广，常用加法器进行减法运算，即将减数求补后相加。另外，用加法器实现码制变换电路也是加法器的常规应用。

**【例4.5】**试用超前进位加法器74LS283设计一个代码转换电路，将余3码转换成8421BCD码。

解：根据题目要求，将余3码作为输入，8421BCD码作为输出，列真值表如表4.12所示。从表4.12可知，余3码是将8421BCD码加3，即8421BCD码的3相当余3码的0。

根据分析可得：

$$\begin{aligned} Y_3Y_2Y_1Y_0 &= DCBA - 0011 \\ &= DCBA + 1101 \end{aligned} \quad (4.15)$$

用一片74LS283便可接成满足上述要求的代码转换电路，如图4.25所示。

表4.12 真值表

输入(余3码)				输出(8421BCD码)			
D	C	B	A	$Y_3$	$Y_2$	$Y_1$	$Y_0$
0	0	1	1	0	0	0	0
0	1	0	0	0	0	0	1
0	1	0	1	0	0	1	0
0	1	1	0	0	0	1	1
0	1	1	1	0	1	0	0
1	0	0	0	0	1	0	1
1	0	0	1	0	1	1	0
1	0	1	0	0	1	1	1
1	0	1	1	1	0	0	0
1	1	0	0	1	0	0	1

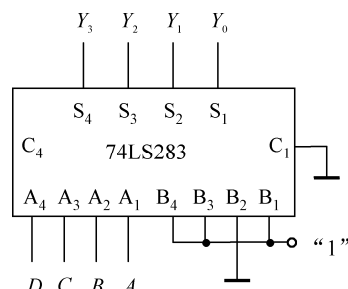


图4.25 电路图

**【例4.6】**试用超前进位加法器74LS283设计一个实现4位二进制数的加法/减法电路，设被加数/被减数为： $A = A'_3A'_2A'_1A'_0$ ；加数/减数为： $B = B'_3B'_2B'_1B'_0$ ；和数/差数为： $S = S'_3S'_2S'_1S'_0$ 。

解：根据题目要求，需要设定一个控制变量 $M$ ，当 $M=0$ 时，进行加法运算；当 $M=1$ 时，进行减法运算。并且减法运算采用补码运算。

依据“异或”运算的规则： $A \oplus 0 = A$ ,  $A \oplus 1 = \bar{A}$ ，可附加4个“异或”门来实现该电路，并将控制变量 $M$ 接到74LS283的进位输入端 $C_1$ ，同时接到4个“异或”门的一个输入端，如图4.26所示。

这样当 $M=0$ 时， $C_1=0$ ,  $B'_i = B'_i \oplus M = B'_i \oplus 0 = B'_i$ ，即实现加法运算；当 $M=1$ 时， $B'_i = B'_i \oplus M = B'_i \oplus 1 = \bar{B}'_i$ ，并且最末位还加“1”，所以实现减法运算。

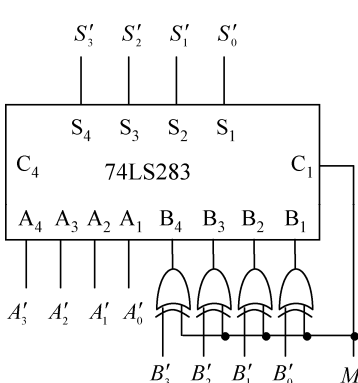


图4.26 电路图

#### 4.2.4 数值比较器

在计算机、数字仪器仪表和自动控制设备中经常要进行数字量的比较，此时便要采用**数值比较器**。数值比较器有并行和串行两种工作方式，这里仅介绍并行比较器。

##### 1. 一位数值比较器

一位数值比较器所实现的逻辑功能如表 4.13 所示，两个一位二进制数相比较时，应该有三种可能，所以该电路有三个比较输出端。从表 4.13 可以写出：

$$\begin{aligned} Y_1(A < B) &= \overline{AB} \\ Y_2(A = B) &= \overline{AB} + AB = \overline{A \oplus B} \\ Y_3(A > B) &= A\overline{B} \end{aligned} \quad (4.16)$$

若采用基本逻辑门，则逻辑图如图 4.27 所示。

表 4.13 一位数值比较器功能表

输入		输出		
A	B	$A > B$	$A = B$	$A < B$
0	0	0	1	0
0	1	0	0	1
1	0	1	0	0
1	1	0	1	0

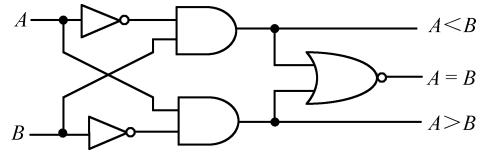


图 4.27 一位数值比较器逻辑图

##### 2. 多位数值比较器

当两个多位二进制数进行比较时，其比较规则是：从最高位比起，最高位大的数值一定大，最高位小的数值一定小。若最高位相等，则须再比次高位，当较高位全等时，最终的比较结果由最低位的数值情况决定。

例如，比较两个 4 位二进制数  $A_3A_2A_1A_0$  和  $B_3B_2B_1B_0$  的大小：

若  $A_3 > B_3$ ，则不论低位数大小如何，就有  $A > B$ ；

若  $A_3 = B_3$ ，且  $A_2 > B_2$ ，则不论低位数大小如何，就有  $A > B$ ；

若  $A_3 = B_3$ ， $A_2 = B_2$ ，且  $A_1 > B_1$ ，则不论  $A_0$ 、 $B_0$  大小

如何，就有  $A > B$ ；

若  $A_3 = B_3$ ， $A_2 = B_2$ ， $A_1 = B_1$ ，且  $A_0 > B_0$ ，则  $A > B$ ；

若  $A_3 = B_3$ ， $A_2 = B_2$ ， $A_1 = B_1$ ， $A_0 = B_0$ ，则  $A = B$ 。

根据这个比较原理，现有集成 4 位数值比较器 74LS85，其逻辑符号如图 4.28 所示。图中  $A_3 \sim A_0$  和  $B_3 \sim B_0$  是待比较两数的数码输入端，为了扩展比较位，它还有三个级联输入端：“ $a < b$ ”，“ $a = b$ ”，“ $a > b$ ”，此外，74LS85 还有三个输出端：“ $A < B$ ”，“ $A = B$ ”，“ $A > B$ ”。表 4.14 所示为 74LS85 的功能表。

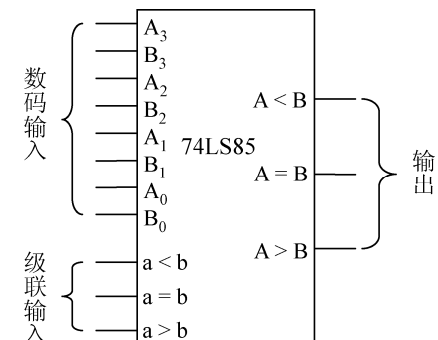


图 4.28 4 位数值比较器的逻辑符号

由表 4.14 可知，当最高位  $A_3 > B_3$  时，即  $A_3B_3 = 10$  时，

输出  $(A > B) = 1$ ；当  $A_3 = B_3$  时，则比较次高位，而后以此类推；当  $A_3 \sim A_0$  和  $B_3 \sim B_0$  全等时，输出便取决于级联输入，即相邻低位 74LS85 芯片的比较结果。可见其功能完全符合比较规则。

表 4.14 74LS85 的功能表

数码输入		级联输入		输出		
$A_3\ B_3$	$A_2\ B_2$	$A_1\ B_1$	$A_0\ B_0$	$a > b$	$a < b$	$a = b$
1 0	x	x	x	x	x	x
0 1	x	x	x	x	x	x
$A_3 = B_3$	1 0	x	x	x	x	x
	0 1	x	x	x	x	x
	1 0	x	x	x	x	x
	0 1	x	x	x	x	x
	1 0	x	x	x	x	x
	0 1	x	x	x	x	x
	1 0 0					
	0 1 0					
	x x 1					
	1 1 0					
	0 0 0					

单片 74LS85 可以直接用来比较两个等于或小于 4 位的二进制数，也可用来比较两个 5 位二进制数，这时需要将级联输入端当做比较输入端使用，如例 4.7 所示。

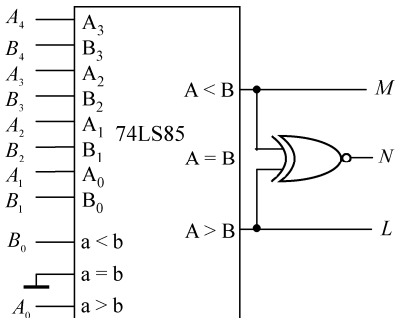


图 4.29 电路图

**【例 4.7】**用 74LS85 构成 5 位二进制数相比较的电路。

解：现有两个 5 位二进制数  $A_4A_3A_2A_1A_0$  和  $B_4B_3B_2B_1B_0$ ，

根据比较规则，当数  $A$ 、数  $B$  高 4 位不相等时，比较结果由高 4 位决定，这时比较的结果与单片 74LS85 的功能表完全相同，由  $A > B$ 、 $A = B$ 、 $A < B$  三个输出端决定，并且此时级联不起作用；当高 4 位全等时，比较结果由级联输入决定，因此将第 5 位待比较的数据接到级联输入端。输出端加一个“同或”门，其作用是输出  $A = B$  的情况，如图 4.29 所示。

当比较结果取决于级联时，若输出  $L = 1$ ，表示  $A > B$ ；若输出  $M = 1$ ，表示  $A < B$ ；当  $A_0 = B_0 = 11$  时，比较结果由  $N$  决定，若输出  $N = 1$ ，表示  $A = B$ ；当  $A_0 = B_0 = 00$  时，同样输出  $N = 1$ ，也表示  $A = B$ 。

当比较的两个数的位数较多时，可用两片或多片级联使用，如例 4.8 所示。

**【例 4.8】**试用 74LS85 设计一个 7 位二进制数比较器。

解：可选用两片 74LS85 芯片，其电路的连接如图 4.30 所示。

这里有三点应加以说明。

(1) 两片 74LS85 可以比较 8 位数码，现在比较的实际对象只有 7 位。为此只要把多余的一位（位置可任选）的两个输入端接到相同的逻辑电平上即可（图 4.30 中是同时接“0”，也可以同时接“1”）。

(2) 低 4 位的比较结果必须送到高 4 位的三个级联输入端。若高 4 位的数值相等时，最终的比较结果取决于低 4 位的情况。

(3) 低 4 位 74LS85 的三个级联输入端，根据表 4.14，分别应接为： $a = b$  端接 1， $a > b$  和  $a < b$  端全都接 0。

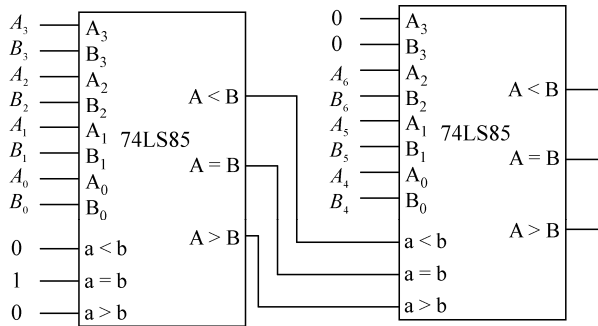


图 4.30 电路图

#### 4.2.5 数据选择器和数据分配器

在数字系统中，常常需要把多条传输线上的不同数字信号按要求选择其中一个送到公共数据线，或者把公共数据线上的信号按要求分配到不同的通道上去。实现前者功能的电路称为数据选择器，实现后者功能的电路称为数据分配器，它们也都属于组合逻辑电路。

##### 1. 数据选择器

数据选择器又称为多路选择器或多路开关（MUX），其基本功能是：在  $n$  个选择输入信号的控制下，从  $2^n$  个数据输入信号中选择一个，并将其送到一个公共输出端。若  $n=2$ ，则有 2 个选择输入信号，4 个数据输入信号，称为 4 选 1 数据选择器，其作用非常类似于图 4.31 所示的多掷开关。图 4.31 中， $D_0$ 、 $D_1$ 、 $D_2$ 、 $D_3$  为数据输入端，究竟哪一路输入数据被选中则由选择输入端  $A_1$ 、 $A_0$  控制。

图 4.32 所示为集成双 4 选 1 数据选择器 74LS153 的图形符号和逻辑图。其功能表如表 4.15 所示。一片 74LS153 中含有两个 4 选 1 数据选择器，且每个都有一个选通输入端  $\bar{E}$ ，低电平有效。需要注意的是：选择输入端  $A_1$ 、 $A_0$  为两个数据选择器所公用。另外，从表 4.15 可以得出，输出端 Y 的逻辑表达式为：

$$Y = \overline{\bar{E}}(D_0 \overline{A_1} \overline{A_0} + D_1 \overline{A_1} A_0 + D_2 A_1 \overline{A_0} + D_3 A_1 A_0) \quad (4.17)$$

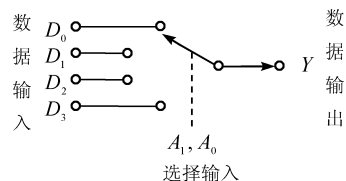


图 4.31 4 选 1 数据选择器示意图

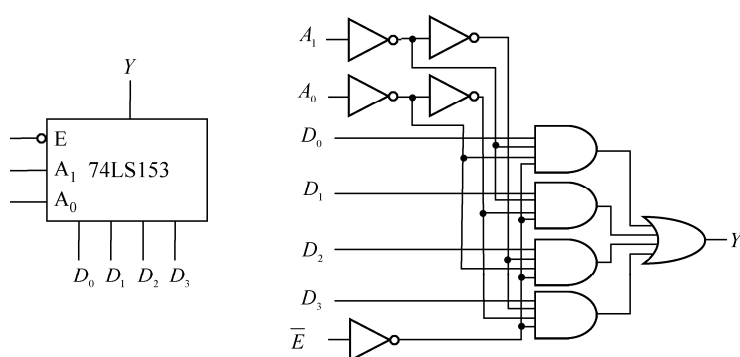


图 4.32 双 4 选 1 数据选择器 74LS153

表 4.15 74153 的功能表

输入							输出	输入							输出
$A_1$	$A_0$	$D_0$	$D_1$	$D_2$	$D_3$	$\bar{E}$	$Y$	$A_1$	$A_0$	$D_0$	$D_1$	$D_2$	$D_3$	$\bar{E}$	$Y$
x	x	x	x	x	x	1	0	1	0	x	x	0	x	0	0
0	0	0	x	x	x	0	0	1	0	x	x	1	x	0	1
0	0	1	x	x	x	0	1	1	1	x	x	x	0	0	0
0	1	x	0	x	x	0	0	1	1	x	x	x	1	0	1
0	1	x	1	x	x	0	1								

可见, 当选通输入端  $\bar{E}=0$  时, 根据  $A_1$ 、 $A_0$  的不同取值, 可从 4 个输入数据  $D_0 \sim D_3$  中选出任意一个送到输出端  $Y$ 。而当  $\bar{E}=1$  时,  $Y$  恒为 0。

常用的集成电路数据选择器有: 8 选 1 MUX (如 74LS151)、双 4 选 1 MUX (如 74LS153)、四 2 选 1 MUX (如 74LS157) 及 CMOS 型双 4 选 1 MUX (如 CD4539) 等。在使用数据选择器时, 若待传输的数据个数超过数据选择器输入端的个数时, 需多片级联使用, 如例 4.9 所示。

**【例 4.9】** 试用一片双 4 选 1 数据选择器 74LS153 实现 8 选 1 的功能。

解: 利用选通输入端  $\bar{E}$ , 便可以方便地扩展电路的功能。74LS153 的两个 4 选 1 数据选择器中, 每个均有一个选通输入端  $\bar{E}$ , 只要控制两个  $\bar{E}$  端, 让两电路交替工作, 即可实现 8 选 1 的功能。电路连线如图 4.33 所示。

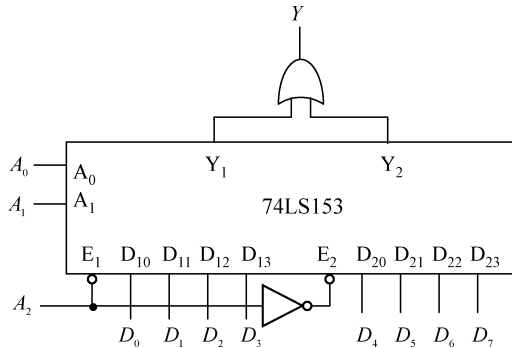


图 4.33 电路图

因为有  $k$  个选择输入端的 MUX, 即可实现  $2^k$  选 1。所以, 8 个数据输入信号需要三个选择输入端, 这时只要将  $A_2$  与一个  $\bar{E}_1$  相连, 并通过反相器与另一个  $\bar{E}_2$  相连, 如图 4.33 所示, 这样一来, 当  $A_2=0$  时,  $\bar{E}_1=0$ ,  $\bar{E}_2=1$ , 即第一个 4 选 1 数据选择器工作, 选择  $D_0 \sim D_3$  中的一个送至输出端  $Y_1$ ; 当  $A_2=1$  时,  $\bar{E}_1=1$ ,  $\bar{E}_2=0$ , 第二个 4 选 1 数据选择器工作, 选择  $D_4 \sim D_7$  中的一个送至输出端  $Y_2$ 。电路的总输出  $Y=Y_1+Y_2$ , 故用“或”门实现, 从而实现了 8 选 1 的功能。

多片数据选择器级联时, 还可采用树状结构扩展, 如用两片半 74LS153 扩展为 16 选 1 数据选择器等。

数据选择器除了从多路输入数据中根据选择输入信号择一输出这样一种基本用途外, 还可以利用数据选择器实现逻辑函数, 该功能已成为中规模集成电路设计组合逻辑电路的重要手段。这部分内容将在组合逻辑电路的设计中详细讲述。此外数据选择器还能实现数据并-串转换、产生序列信号等。

## 2. 数据分配器

数据分配器又称为多路分配器（DEMUX），其逻辑功能与数据选择器正好相反，它的工作原理图与图 4.34 所示的多路开关颇为相似。数据分配器可以把从同一信号源  $D$  来的数据送到不同的输出端  $Y_3 \sim Y_0$ ，但在同一时刻，只能把数据  $D$  送到一个特定的输出端，而这个特定的输出端是由选择输入信号  $A_1$ 、 $A_0$  的不同组合所控制的。因此，若有两个选择输入信号， $2^2 = 4$ ，即有 4 个数据输出端，称为 1-4 路数据分配器。

图 4.35 所示为 1-4 路数据分配器的逻辑图， $D$  为数据输入端， $A_1 A_0$  为选择输入端， $Y_3 \sim Y_0$  为数据输出端，根据图 4.35 可写出数据输出端的表达式为：

$$\begin{aligned} Y_3 &= \overline{A_1} \overline{A_0} D \\ Y_2 &= \overline{A_1} A_0 D \\ Y_1 &= A_1 \overline{A_0} D \\ Y_0 &= A_1 A_0 D \end{aligned} \quad (4.18)$$

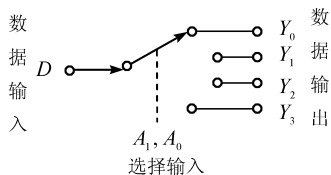


图 4.34 1-4 路数据分配器示意图

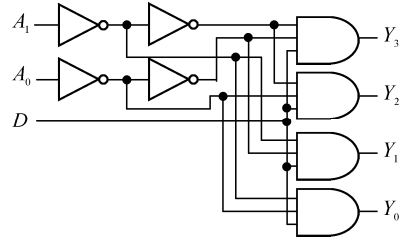


图 4.35 1-4 路数据分配器的逻辑图

表 4.16 所示为 1-4 路数据分配器的功能表，根据图 4.35 可知，1-4 路数据分配器实际上就是一个 2-4 线译码器。但是在这里要将 2-4 线译码器工作状态选择端  $\bar{S}$  接收数据源  $D$ ， $A_1$ 、 $A_0$  端作为选择控制端，而  $\overline{Y}_0 \sim \overline{Y}_3$  分别接向不同的接收器。

表 4.16 1-4 路数据分配器的功能表

选择输入		数 据	输出			
$A_1$	$A_0$	$D$	$\overline{Y}_0$	$\overline{Y}_1$	$\overline{Y}_2$	$\overline{Y}_3$
0	0	0	0	H <sup>①</sup>	H	H
0	0	1	1	H	H	H
0	1	0	H	0	H	H
0	1	1	H	1	H	H
1	0	0	H	H	0	H
1	0	1	H	H	1	H
1	1	0	H	H	H	0
1	1	1	H	H	H	1

现将 74LS139 中的一个译码器用做数据分配器，电路连接如图 4.36 所示，该电路的功能表如表 4.17 所示。

① H 表示与输入数据  $D$  无关的高电平。

由表 4.17 可知, 当选择控制端  $A_1A_0 = 00$  时, 这时将选中  $\bar{Y}_0$ , 即  $\bar{Y}_0 = D$  ( $D = 0$  时,  $\bar{Y}_0 = 0$ ;  $D = 1$  时,  $\bar{Y}_0 = 1$ )。同理, 当  $A_1A_0$  分别等于 01、10、11 时, 被选中的输出端分别为  $\bar{Y}_1$ 、 $\bar{Y}_2$ 、 $\bar{Y}_3$ , 即分别有  $\bar{Y}_1 = D$ 、 $\bar{Y}_2 = D$ 、 $\bar{Y}_3 = D$ 。可见该电路能把从一个数据源  $D$  来的数据, 根据选择控制端  $A_1$ 、 $A_0$  的控制, 送到 4 个接收器的一个中去。

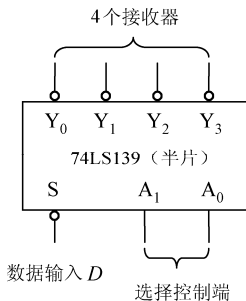


表 4.17 图 4.36 的功能表

选择控制端	数据输入	4 个接收器			
		$\bar{Y}_0$	$\bar{Y}_1$	$\bar{Y}_2$	$\bar{Y}_3$
$A_1$	$A_0$	$\bar{S}$	$D$	$D$	$0$
0	0	$D$	$D$	$0$	$0$
0	1	$D$	$0$	$D$	$0$
1	0	$D$	$0$	$0$	$D$
1	1	$D$	$0$	$0$	$D$

图 4.36 74LS139 用做 1-4 路数据分配器

#### 【例 4.10】试用数据选择器和数据分配器实现多通道数据分时传送。

解: 采用数据选择器将各路数据分时送上数据总线, 再由数据分配器将数据总线上的数据适时地分配到相应的输出端。在该设计中, 数据选择器和数据分配器的选择输入信号要共同控制, 若用半片 74LS153 和半片 74LS139 来实现, 电路图如图 4.37 所示。

由图 4.37 可知, 当  $S_1S_0 = 00$  时,  $D_0$  被传送至  $Y_0$ , 即  $Y_0 = D_0$ 。

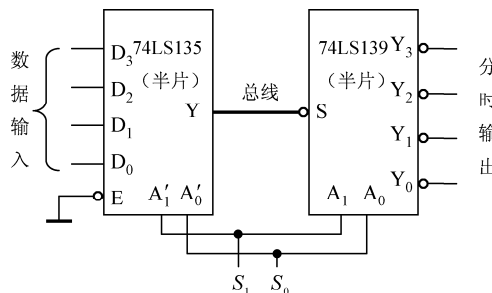


图 4.37 电路图

## 4.3 组合电路逻辑分析

### 4.3.1 组合电路逻辑分析步骤

组合逻辑电路的分析是以给定的数字逻辑硬件电路为起点, 通过导出描述该电路的布尔表达式(逻辑表达式)、真值表、时序图或其他描述电路工作行为特性的形式, 来说明组合数字电路的逻辑功能。简而言之, 分析组合逻辑电路的目的, 就是要获取对电路的某种描述形式(真值表、逻辑函数表达式等)。运用分析组合电路的手段, 可以确定电路的工作特性, 并验证这种工作特性是否与设计指标相吻合。对组合电路的分析还有助于我们将现有的电路转换为另一种不同的形式, 以便于减少原电路所用门电路的数量或者改用不同的逻辑部件去实现同一逻辑功能的电路。总之, 一旦通过分析掌握了组合电路逻辑功能的某种描述形式, 就为以下的工作铺平了道路。

- 可确定电路对各种输入变量组合的响应；
- 可以巧妙地构造某种布尔代数表达式，以提出实现同一逻辑功能的不同电路结构；
- 可将某个电路模块的描述用于包含该电路的更大系统的分析工作；
- 可定位出现故障的电路部位，便于电路的维修及维护。

组合电路的分析方法比较简单，现将一般的分析步骤归纳如下。

(1) 确定输入变量(自变量)和输出变量(函数)。对于给定的逻辑网络，首先要确定哪些是输入信号(输入变量)，哪些是输出信号(输出函数)，然后确定各输出函数到底是几变量的逻辑函数。

(2) 确定输出函数关于输入变量的逻辑表达式。如果给定的逻辑电路比较简单，则可直接写出输出函数的表达式。但当电路的结构较为复杂时，直接写出函数表达式可能比较困难。这时就要分级写出逻辑表达式，即，在电路内部的适当位置上设置中间变量(标上字母)，然后写出各中间变量相对于输入变量的逻辑表达式，再写出输出函数相对于中间变量的表达式。最后，运用代入规则将这些表达式综合成为输出函数相对于输入变量的逻辑表达式。

(3) 化简变换。如果需要，可利用代数法或卡诺图法化简逻辑函数表达式，或将表达式变换为所需要的形式。

(4) 由函数逻辑表达式列出真值表。将输入变量列在真值表的左列，而将输出变量(函数)列在真值表的右列。在输入变量下，列写出所有可能的输入变量取值组合(一般按二进制数码顺序排列)。分别将每一组输入组合值代入输出函数表达式，计算出相应的函数值，列写在相应的输出变量下面。这样，就构成了反映输入、输出变量之间逻辑关系的真值表。

(5) 按要求画出给定输入激励波形下的输出波形，说明电路的逻辑功能。这一步不是必须的。

上述5步只是一个大概的分析步骤，它不是一成不变的。事实上，真值表是分析(也是设计)组合逻辑电路的最基本、最本质和最有效的工具。因此上述步骤(第一步除外)的顺序可以根据实际情况而互换，即，哪一种组合电路的描述形式有可能会被最方便、最快捷地得到，就先导出哪一种描述形式，然后再根据要求导出其他的电路描述形式。

### 4.3.2 组合电路逻辑分析实例

4.3.1节列举了分析组合逻辑电路的5大步骤。本节将通过实例，来阐明分析组合逻辑电路的具体实施过程。

**【例4.11】** 分析图4.38(a)所示的电路。激励信号的波形如图4.38(b)所示，试画出相应的输出波形。

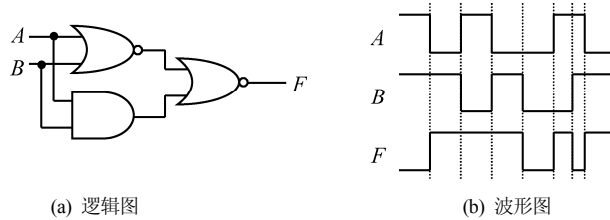


图4.38 逻辑图和波形图

**解：**(1) 写逻辑表达式。电路的输入变量是A、B，输出函数是F。因为此例题的逻辑图比较简单，所以可直接写出函数的逻辑表达式：

$$F = \overline{\overline{A+B} + AB}$$

表 4.18 函数  $F$  的真值表

序号	$A$	$B$	$F$
0	0	0	0
1	0	1	1
2	1	0	1
3	1	1	0

(2) 变换。对逻辑表达式进行如下的变换:

$$F = \overline{A + B} + AB$$

$$F = \overline{\overline{AB} + AB} = A \oplus B$$

(3) 列真值表。根据逻辑表达式列出真值表, 如表 4.18 所示。

(4) 画波形图。输出信号的波形图示于图 4.38(b)。

(5) 说明电路的逻辑功能。由逻辑表达式可以看出, 该电路是一个“异或”电路。

**【例 4.12】** 分析图 4.39 所示的电路。

解: (1) 写逻辑表达式。电路有 4 个输入变量  $X_1$ 、 $X_2$ 、 $X_3$  和  $X_4$ , 同时有 4 个输出函数  $F_1$ 、 $F_2$ 、 $F_3$  和  $F_4$ 。为便于写出函数的逻辑表达式, 设两个中间变量  $G_1$  和  $G_2$ , 如图 4.39 所示。先写出以  $G_1$  和  $G_2$  为函数的表达式如下:

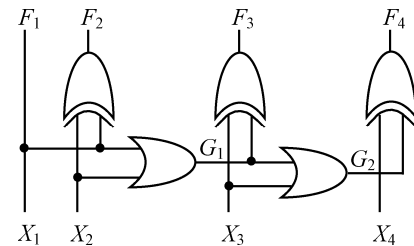
$$G_1 = X_1 + X_2;$$

$$G_2 = G_1 + X_3 = X_1 + X_2 + X_3$$

再运用代入准则写出各逻辑函数如下:

$$F_1 = X_1; \quad F_2 = X_1 \oplus X_2$$

$$F_3 = G_1 \oplus X_3; \quad F_4 = G_2 \oplus X_4$$



(2) 列真值表。根据表达式列出真值表, 如表 4.19 所示。

图 4.39 逻辑图

(3) 说明电路的逻辑功能。从真值表看出, 4 个输出函数构成 4 个输入变量的二进制补码(模为  $2^4$ ), 所以, 这是一个求输入二进制数补码的电路。

表 4.19 真值表

序号	$X_4$	$X_3$	$X_2$	$X_1$	$G_1$	$G_2$	$F_4$	$F_3$	$F_2$	$F_1$
0	0	0	0	0	0	0	0	0	0	0
1	0	0	0	1	1	1	1	1	1	1
2	0	0	1	0	1	1	1	1	1	0
3	0	0	1	1	1	1	1	1	0	1
4	0	1	0	0	0	1	1	1	0	0
5	0	1	0	1	1	1	1	0	1	1
6	0	1	1	0	1	1	1	0	1	0
7	0	1	1	1	1	1	1	0	0	1
8	1	0	0	0	0	0	0	1	0	0
9	1	0	0	1	1	1	0	1	1	1
10	1	0	1	0	1	1	0	1	1	0
11	1	0	1	1	1	1	0	1	0	1
12	1	1	0	0	0	1	0	1	0	0
13	1	1	0	1	1	1	0	0	1	1
14	1	1	1	0	1	1	0	0	1	0
15	1	1	1	1	1	1	0	0	0	1

**【例 4.13】** 给定电路如图 4.40 所示。试导出电路输出函数的最小项之和式。 $S_1$  是译码器和多路选择器 MUX 选择端的最高有效位。假设电路为正逻辑(输入、输出均为高有效)。

解: 电路有 4 个输入变量  $A$ 、 $B$ 、 $C$ 、 $D$  和一个输出变量  $F$ , 所以  $F$  是一个 4 变量的逻辑函数。

译码器各输出端的表达式为:

$$m_0 = \overline{AB}; \quad m_1 = \overline{AB};$$

$$m_2 = AB; \quad m_3 = AB$$

(4.19)

多路选择器 MUX 输出端的表达式为：

$$Y = D_0 \cdot \bar{C}\bar{D} + D_1 \cdot \bar{C}D + D_2 \cdot C\bar{D} + D_3 \cdot CD \quad (4.20)$$

而  $D_0 = m_0$ ,  $D_1 = m_1$ ,  $D_2 = m_2$ ,  $D_3 = m_3$ ,  $F = Y$ , 所以, 把式 (4.19) 代入式 (4.20) 得到输出函数的最小项之和式:

$$F = \overline{AB} \cdot \overline{CD} + \overline{AB} \cdot \overline{CD} + AB \cdot CD$$

$$= \sum m(0, 5, 10, 15)$$

**【例 4.14】** 试确定图 4.41 所示电路输出函数的最小项之和式。其中，FA 是全加器， $S_1$  是多路选择器 MUX 选择端的最高有效位。

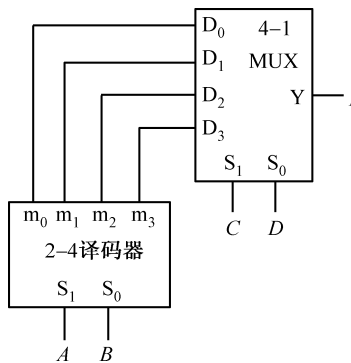


图 4.40 逻辑图

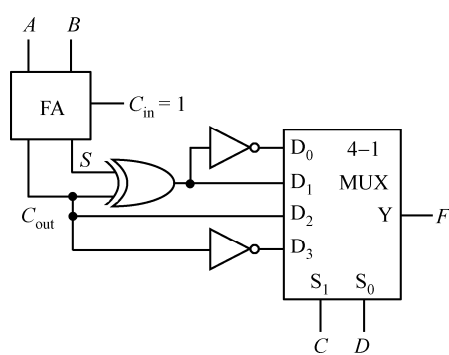


图 4.41 逻辑图

解：电路的输入变量为  $A$ 、 $B$ 、 $C$  和  $D$ ，输出变量为  $F$ ，所以函数  $F$  是一个 4 变量的逻辑函数。因为全加器 FA 的进位输入  $C_{in}=1$ ，所以 FA 的“和”输出  $S$  及“进位输出”  $C_{out}$  的表达式为：

$$S = A \oplus B \oplus 1$$

$$= \overline{A \oplus B}$$

$$\begin{aligned} C_{\text{out}} &= AB + BC_{\text{in}} + AC_{\text{in}} \\ &= AB + B + A = A + B \end{aligned}$$

因此

$$\begin{aligned}
D_1 &= S \oplus C_{\text{out}} \\
&= \overline{A \oplus B} \oplus (A + B) \\
&= \overline{A \oplus B} \cdot \overline{A + B} + (A \oplus B)(A + B) \\
&= (AB + \bar{A}\bar{B})\bar{A}\bar{B} + (A\bar{B} + \bar{A}B)(A + B) \\
&= \bar{A}\bar{B} + A\bar{B} + \bar{A}B \\
&= \bar{B} + \bar{A} \\
&= \overline{AB}
\end{aligned} \tag{4.21}$$

$$\begin{aligned} D_0 &= \overline{S \oplus C_{\text{out}}} \\ &= AB \end{aligned} \quad (4.22)$$

$$D_7 = C_{\text{out}} = A + B \quad (4.23)$$

$$D_2 = \overline{C_{out}} = \overline{A+B} = \overline{A}\overline{B} \quad (4.24)$$

又因为  $F = D_0 \cdot \bar{C}\bar{D} + D_1 \cdot \bar{C}D + D_2 \cdot C\bar{D} + D_3 \cdot CD$ , 所以把式(4.21)~式(4.24)代入  $F$  的表达式后, 就得到输出函数  $F$  的最小项之和式为:

$$\begin{aligned} F &= AB \cdot \bar{C}\bar{D} + \bar{A}\bar{B} \cdot \bar{C}D + (A+B) \cdot C\bar{D} + \bar{A}\bar{B} \cdot CD \\ &= ABC\bar{D} + \bar{A}\bar{C}D + \bar{B}\bar{C}D + ACD + BC\bar{D} + \bar{A}\bar{B}CD \\ &= ABC\bar{D} + \bar{A}\bar{C}D(B+\bar{B}) + (A+\bar{A})\bar{B}\bar{C}D + ACD(B+\bar{B}) + (A+\bar{A})BC\bar{D} + \bar{A}\bar{B}CD \\ &= ABC\bar{D} + \bar{A}\bar{B}\bar{C}D + \bar{A}\bar{B}CD + A\bar{B}\bar{C}D + ABC\bar{D} + A\bar{B}CD + \bar{A}BC\bar{D} + \bar{A}\bar{B}CD \\ &= \sum m(1, 3, 5, 6, 9, 10, 12, 14) \end{aligned}$$

从以上过程可以看出, 运用逻辑代数推导输出函数表达式的方法显得有些复杂。其实, 正如我们在前边已经讲过的那样, 真值表是描述逻辑函数的最基本、最本质和最有效的方法。因此可以直接先列出图 4.41 所示电路输出函数的真值表, 然后根据真值表写出函数  $F$  的最小项之和式。在填写真值表的过程中, 应该时刻想到全加器 FA 和多路选择器 MUX 的功能表(输入与输出的关系表)。表 4.20 所示为图 4.41 所示逻辑图的输出函数真值表。

表 4.20 函数  $F$  的真值表

序号	$A$	$B$	$C$	$D$	$F$
0	0	0	0	0	0
1	0	0	0	1	1
2	0	0	1	0	0
3	0	0	1	1	1
4	0	1	0	0	0
5	0	1	0	1	1
6	0	1	1	0	1
7	0	1	1	1	0
8	1	0	0	0	0
9	1	0	0	1	1
10	1	0	1	0	1
11	1	0	1	1	0
12	1	1	0	0	1
13	1	1	0	1	0
14	1	1	1	0	1
15	1	1	1	1	0

填写真值表的过程大致如下:首先将真值表分为 4 个部分, 它们分别对应行号  $0\sim 3$ 、 $4\sim 7$ 、 $8\sim 11$ 、 $12\sim 15$ 。在每一个部分里,  $CD$  取值都是从“00”至“11”, 对应 MUX 选择  $D_0\sim D_3$ ; 而  $AB$  的取值相对保持不变。例如, 在行号为  $0\sim 3$  这一部分里,  $AB=00$ 。因为  $C_{in}$  为“1”, 所以全加器所做的加法是:  $0+0+1=1$ , 于是 FA 的“和”输出  $S=1$ , 进位输出  $C_{out}=0$ , “异或”门的输出为“1”。所以  $D_0=0$ ,  $D_1=1$ ,  $D_2=0$ ,  $D_3=1$ , 这些  $D_i$  ( $i=0\sim 3$ ) 的取值就是函数  $F$  的取值, 将它们按顺序填入真值表, 如表 4.20 中的浅色数字部分所示。按此方法可将真值表的其余 3 个部分的函数值全部填上。根据表 4.20, 可写出函数  $F$  的最小项之和式如下:

$$F = \sum m(1, 3, 5, 6, 9, 10, 12, 14)$$

显然, 在本例题中, 真值表法比代数法更加快捷。

**【例 4.15】** 图 4.42 所示电路是由 5 个半加器  $HA_0\sim HA_4$  所组成的。图中标有问号“?”的输出端上会出现什么样的逻辑函数? 请用最小项之和式表示。

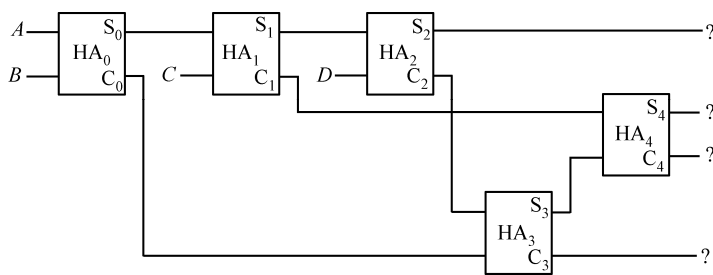


图 4.42 逻辑图

**解:** 由逻辑图确定输入变量为  $A$ 、 $B$ 、 $C$ 、 $D$ , 输出函数为  $S_4$ 、 $C_4$ 、 $S_2$ 、 $C_3$ , 它们均是 4 变量的逻辑函数。

可以用逐级代入的代数方法求出  $S_4$ 、 $C_4$ 、 $S_2$  和  $C_3$ 。

$$S_0 = A \oplus B$$

$$C_0 = A \cdot B$$

$$S_1 = C \oplus S_0 = C \oplus (A \oplus B) = A \oplus B \oplus C$$

$$C_1 = C \cdot S_0 = C(A \oplus B) = AC \oplus BC$$

$$S_2 = D \oplus S_1 = D \oplus (A \oplus B \oplus C) = A \oplus B \oplus C \oplus D \quad (*)$$

$$C_2 = D \cdot S_1 = D(A \oplus B \oplus C) = AD \oplus BD \oplus CD$$

$$S_3 = C_0 \oplus C_2 = AB \oplus AD \oplus BD \oplus CD$$

$$\begin{aligned} C_3 &= C_0 \cdot C_2 = AB(AD \oplus BD \oplus CD) = ABD \oplus ABD \oplus ABCD \\ &= 0 \oplus ABCD = ABCD \end{aligned} \quad (*)$$

$$S_4 = S_3 \oplus C_1 = AB \oplus AD \oplus BD \oplus CD \oplus AC \oplus BC \quad (*)$$

$$\begin{aligned} C_4 &= S_3 \cdot C_1 = (AB \oplus AD \oplus BD \oplus CD)(AC \oplus BC) \quad (*) \\ &= ABC \oplus ACD \oplus ABCD \oplus ACD \oplus ABC \oplus ABCD \oplus BCD \oplus BCD \\ &= 0 \oplus 0 \oplus 0 \oplus 0 = 0 \end{aligned}$$

上面标有“(\*)”的函数表达式就是所求的逻辑函数。其中， $S_2$ 是4个变量相“异或”，根据多变量“异或”的特性（取“1”变量个数的奇偶性）推出 $S_2$ 的最小项之和式为：

$$S_2 = A \oplus B \oplus C \oplus D = \sum m(1, 2, 4, 7, 8, 11, 13, 14)$$

另外， $C_3$ 、 $C_4$ 的最小项之和式分别为：

$$\begin{aligned} C_3 &= ABCD = m_{15} \\ C_4 &= 0 \end{aligned}$$

但是， $S_4$ 的表达式 $AB \oplus AD \oplus BD \oplus CD \oplus AC \oplus BC$ 比较复杂，如果展开来一步一步地推导，将是非常麻烦的事。因此，采用另外一种方法——把 $A$ 、 $B$ 、 $C$ 、 $D$ 的所有取值组合分别代入到 $AB$ 、 $AD$ 、 $BD$ 、 $CD$ 、 $AC$ 和 $BC$ 中，然后数“1”的个数来确定最小项之和式。例如，若 $A$ 、 $B$ 、 $C$ 、 $D$ 的取值组合是“0000”，则 $AB$ 、 $AD$ 、 $BD$ 、 $CD$ 、 $AC$ 和 $BC$ 的值均为“0”，所以 $S_4 = 0$ ；再比如，若 $A$ 、 $B$ 、 $C$ 、 $D$ 的取值组合为“0011”，则在 $AB$ 、 $AD$ 、 $BD$ 、 $CD$ 、 $AC$ 和 $BC$ 中除了 $CD = 1$ 以外，其余都是“0”，所以 $S_4 = 1$ ……

于是

$$S_4 = AB \oplus AD \oplus BD \oplus CD \oplus AC \oplus BC = \sum m(3, 5, 6, 7, 9, 10, 11, 12, 13, 14)$$

其实，我们可以根据逻辑图（图4.42）直接列出各半加器输出端函数的真值表，如表4.21所示。

填写真值表的过程是：根据逻辑图并按照半加器HA的加法原则，首先将变量 $A$ 、 $B$ 的所有取值相加，得到 $S_0$ 、 $C_0$ 的数值，如表4.21中的浅色数字所示。然后再将 $C$ 和相应的 $S_0$ 的所有取值相加，得到 $S_1$ 、 $C_1$ 的数值；以此类推，于是就得到所有 $S_i$ 、 $C_i$ （ $i = 0 \sim 4$ ）的数值。根据真值表，可写出 $S_4$ 、 $C_4$ 、 $S_2$ 、 $C_3$ （表中灰色底的字母）的最小项之和式为：

$$S_4 = \sum m(3, 5, 6, 7, 9, 10, 11, 12, 13, 14)$$

$$C_4 = 0$$

$$S_2 = \sum m(1, 2, 4, 7, 8, 11, 13, 14)$$

$$C_3 = m_{15}$$

表 4.21 各函数的真值表

序号	A B C D	S <sub>0</sub> C <sub>0</sub>	S <sub>1</sub> C <sub>1</sub>	S <sub>2</sub> C <sub>2</sub>	S <sub>3</sub> C <sub>3</sub>	S <sub>4</sub> C <sub>4</sub>
0	0 0 0 0	0 0	0 0	0 0	0 0	0 0
1	0 0 0 1	0 0	0 0	1 0	0 0	0 0
2	0 0 1 0	0 0	1 0	1 0	0 0	0 0
3	0 0 1 1	0 0	1 0	0 1	1 0	1 0
4	0 1 0 0	1 0	1 0	1 0	0 0	0 0
5	0 1 0 1	1 0	1 0	0 1	1 0	1 0
6	0 1 1 0	1 0	0 1	0 0	0 0	1 0
7	0 1 1 1	1 0	0 1	1 0	0 0	1 0
8	1 0 0 0	1 0	1 0	1 0	0 0	0 0
9	1 0 0 1	1 0	1 0	0 1	1 0	1 0
10	1 0 1 0	1 0	0 1	0 0	0 0	1 0
11	1 0 1 1	1 0	0 1	1 0	0 0	1 0
12	1 1 0 0	0 1	0 0	0 0	1 0	1 0
13	1 1 0 1	0 1	0 0	1 0	1 0	1 0
14	1 1 1 0	0 1	1 0	1 0	1 0	1 0
15	1 1 1 1	0 1	1 0	0 1	0 1	0 0

以上两例均说明，在分析组合逻辑电路时，使用真值表往往会更方便。但是，真值表法的运用只能建立在熟练地掌握常用组合逻辑模块（多路选择器、加法器、译码器等）功能表的基础之上。

## 4.4 组合电路逻辑设计

组合电路的逻辑设计（简称“设计”）是组合电路逻辑分析的逆过程。组合电路的设计有时也叫做“组合逻辑网络的综合”。

在讨论组合电路逻辑设计的问题之前，有必要先讨论一下逻辑函数的硬件实现问题。该问题的核心内容就是：**如何用数字逻辑部件（硬件）去实现给定逻辑函数的布尔表达式。**

用以实现逻辑函数布尔表达式的硬件电路形式很多，大致归纳起来有如下几类：

- 小规模集成电路，简称 SSI；
- 中规模集成电路，简称 MSI；
- 只读存储器 ROM；
- 小规模可编程逻辑器件，如 PLA、PAL、GAL 等；
- 大规模可编程逻辑器件，目前主要有 CPLD（复杂可编程逻辑器件）和 FPGA（现场可编程门阵列）。

本节先讨论前两类数字电路的实现问题，即如何用 SSI 和 MSI 实现给定的逻辑函数。在第 10 章讨论用 ROM 和 PLA、PAL、GAL 等实现逻辑函数的问题。至于如何用 CPLD 和 FPGA 实现数字电路和数字系统的问题，则留待后续课程去讨论。

### 4.4.1 用小规模集成电路实现逻辑函数

用 SSI 实现组合逻辑电路的设计，就是用 SSI 去实现描述该逻辑电路的逻辑函数，这是传统的数字电路实现方法。SSI 是“小规模集成电路”的英文缩写。所谓“小规模集成电路”，其实都是一些基本的门电路逻辑单元（如“与”门、“或”门、“与非”门、“或非”门、“异或”门等）。实现电路设计的最简标准是：**所用门数最少；每个门的输入端数最少**。这就是所谓的**最小化设计**。要做到这一点，必须首先将逻辑函数表达式化为所需要的最简形式。虽然现代数字逻辑电路的设计已很少单纯地使用 SSI 去实现电路的组建，但是这种传统的数字电路实现方法仍然是构建数字电路的基础。

### 1. 用 SSI 实现逻辑函数

其实在第2章的2.5节中，我们已经接触到了大量的用SSI实现组合数字电路的问题。这就是：一种逻辑表达式的形式对应了一种数字电路的形式。逻辑表达式的形式越简单，则所对应的数字电路的形式就越简单。正如2.5节中所阐述的那样，对于同一个逻辑函数，其布尔表达式的形式是多种多样的，但最终都可以归纳成为如下的5类形式。

- “与或”表达式。其中包括标准“与或”式——最小项之和式。最小项之和式是“与或”表达式的一种特例。
- “或与”表达式。其中包括标准“或与”式——最大项之积式。最大项之积式是“或与”表达式的一种特例。
- “与非-与非”表达式。
- “或非-或非”表达式。
- “与或非”表达式。

实现这5类逻辑表达式所用到的SSI是“与”门、“或”门、“与非”门、“或非”门和“与或非”门。另外还有一个特例，那就是“异或”门。尽管“异或”运算可归结为“与或”运算，但是市场上有专门的“异或”门集成电路芯片可供使用，所以将“异或”门单独归为一类。

关于如何用这些SSI去实现这5类逻辑表达式、并使之符合最简标准要求的问题，请读者参考第2章的2.5节“逻辑函数的代数化简法”，这里不再赘述。

### 2. 使用 SSI 时的两个问题

#### (1) 无输入反变量

在以前的讨论中，我们都假定门电路的输入端既有原变量也有反变量。但是在实际问题中，由于器件引出端的数量有限，所以很多器件只提供原变量输出而不提供反变量输出；或者反过来，只提供反变量输出而不提供原变量输出。遇到这种情况时，就需要所设计的电路本身产生反变量或原变量。当然，可以用加“非”门的办法来解决这个问题。但是当需要的反变量较多时，这种方法就显得不太经济了。因此在实践中，应该尽可能使一个逻辑门提供多个反变量。

例如，图4.43(a)所示的逻辑图是一个2-4译码器，它有两个输入变量A和B及4个输出函数 $Y_3$ 、 $Y_2$ 、 $Y_1$ 和 $Y_0$ ，它们的逻辑表达式为： $Y_3 = \overline{AB}$ ； $Y_2 = \overline{A}\overline{B}$ ； $Y_1 = \overline{A}B$ ； $Y_0 = A\overline{B}$ 。这些表达式说明输入端不仅需要原变量A、B，还需要它们的反变量 $\overline{A}$ 、 $\overline{B}$ 。图4.43(a)所示为用两个“非”门来获得 $\overline{A}$ 和 $\overline{B}$ 。另一方面，注意到：

$$\begin{aligned}\overline{AB} &= \overline{A(\overline{A} + \overline{B})} = \overline{\overline{A} \cdot \overline{B}} \\ \overline{AB} &= \overline{(\overline{A} + \overline{B})B} = \overline{\overline{A}B} \cdot \overline{B} \\ \overline{AB} &= \overline{\overline{A} + \overline{B}} = \overline{\overline{A} + \overline{AB}} = \overline{A(\overline{B} + B)} + \overline{AB} = \overline{A}\overline{B} + AB + \overline{AB} = \overline{A}\overline{B} \cdot AB \cdot \overline{AB}\end{aligned}$$

所以可以用 $\overline{AB}$ 替代 $\overline{A}$ 和 $\overline{B}$ 。按这个思路就构成了另外一种2-4译码器的逻辑图，如图4.43(b)所示。显然，图4.43(b)比图4.43(a)节省了两个“非”门。

#### (2) 多输出函数的设计

实际的组合电路往往不仅只有一个输出端，而是有多个输出端，与之相对应的是一组输出函数。多输出函数的化简仍然以单个输出函数的化简为基础，但此时应合理地利用几个输出函数之间的公共项，以期达到整体化简的目的。有关此问题的具体细节，可参看2.6.4节，此处不再赘述。

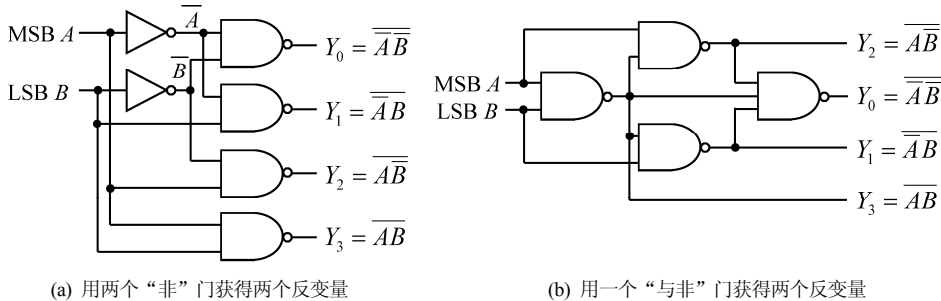


图 4.43 2-4 译码器(输出低电平有效)

#### 4.4.2 用中规模集成电路实现逻辑函数

中规模集成电路(MSI)是指那些具有相对独立的逻辑功能的数字电路芯片。在组合逻辑电路的范畴里, MSI是指“编码器”、“译码器”、“数据分配器(DEMUX)”、“数据选择器(MUX)”等。用MSI实现组合电路逻辑函数的优点是电路体积小、连线少、可靠性高。电路实现的最佳标准是: 所用的MSI组件模块最少, 连线最少。

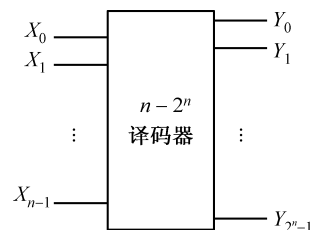
用以实现逻辑函数的MSI主要有两种——“译码器”和“数据选择器(MUX)”。当然, 这两种器件并非是专门为实现逻辑函数而设计的, 其实它们还有其他的重要用途。但之所以用它们来实现逻辑函数, 是因为这两种MSI有一个共同的特点——它们都具有最小项发生器。我们知道, 任何一个n变量的逻辑函数, 都可以用唯一的、具有n变量最小项之和式来表示, 最小项的个数为 $2^n$ 个。如果某个器件能够产生全部这 $2^n$ 个最小项, 那么该器件就有可能实现任意一个n变量的逻辑函数。

##### 1. 用译码器实现逻辑函数

译码器在数字电路设计工程师的逻辑模块工具库里, 算是一个重要的保留项目了。译码器在计算机电路中常用于存储器的地址译码电路; 它还能用于码制变换电路(例如, 二进制到十进制的变换)、数据传送电路等。但是在这里, 我们要讨论的是如何用它去实现逻辑函数的问题。

一个 $n-2^n$ 的译码器是一个具有n个输入、 $2^n$ 个输出的“多输出”组合逻辑网络, 如图4.44所示。当n个输入变量 $X_{n-1}, X_{n-2}, \dots, X_1, X_0$ 的每一种可能的组合施加于译码器的输入端时, 该译码器有且仅有一个输出端的信号是逻辑“1”, 其余输出端的信号都是逻辑“0”, 即:

$$\begin{aligned} Y_0 &= \overline{X_{n-1}} \overline{X_{n-2}} \cdots \overline{X_1} \overline{X_0} = m_0 \\ Y_1 &= \overline{X_{n-1}} \overline{X_{n-2}} \cdots \overline{X_1} \overline{X_0} = m_1 \\ &\vdots \\ Y_{2^n-1} &= X_{n-1} X_{n-2} \cdots X_1 X_0 = m_{2^n-1} \end{aligned}$$

图 4.44  $n-2^n$  译码器逻辑模块

因此, 我们可以把 $n-2^n$ 译码器看成是一个输入n变量的“最小项发生器”, 其每一个输出端都唯一地对应一个最小项, 整个译码器提供了全部 $2^n$ 个最小项。而另一方面, 任何一个n变量的逻辑函数, 都可以写成若干n变量最小项之和。所以, 用一个 $n-2^n$ 译码器再辅以适当的逻辑门电路, 就可以实现任何一个n变量的逻辑函数。

**【例4.16】** 用译码器配合适当的逻辑门实现如下的逻辑函数:

$$F(X, Y, Z) = \sum m(0, 1, 4, 6, 7) = \prod M(2, 3, 5)$$

解：因为  $F$  是一个 3 变量的逻辑函数，所以应该使用 3-8 ( $2^3$ ) 译码器。而译码器有高电平输出有效和低电平输出有效两种，所以我们可以用几种方式来实现这个逻辑函数。

(1) 用一个输出为高电平有效的 3-8 译码器实现。此时的译码器相当于一个“最小项发生器”，所以用一个“或”门与之相配合，就可实现逻辑函数  $F$  的最小项之和式，即：

$$F(X, Y, Z) = \sum m(0, 1, 4, 6, 7) = m_0 + m_1 + m_4 + m_6 + m_7 \quad (4.25)$$

对应于式 (4.25) 的逻辑图如图 4.45(a) 所示。

(2) 用一个输出为低电平有效的 3-8 译码器实现。此时的译码器相当于一个“最大项发生器”，所以用一个“与”门与之相配合，就可实现逻辑函数  $F$  的最大项之积式，即：

$$F(X, Y, Z) = \prod M(2, 3, 5) = M_2 \cdot M_3 \cdot M_5 = \overline{m_2} \cdot \overline{m_3} \cdot \overline{m_5} \quad (4.26)$$

对应于式 (4.26) 的逻辑图如图 4.45(b) 所示。

(3) 将逻辑函数  $F$  的最大项之积式稍做变形如下：

$$F(X, Y, Z) = \prod M(2, 3, 5) = \overline{M_2 \cdot M_3 \cdot M_5} = \overline{\overline{M_2} + \overline{M_3} + \overline{M_5}} = \overline{m_2 + m_3 + m_5} \quad (4.27)$$

式 (4.27) 表明，用一个“或非”门与一个输出为高电平有效的 3-8 译码器相配合，就可实现逻辑函数  $F$  的最大项之积式。对应于式 (4.27) 的逻辑图，如图 4.45(c) 所示。

(4) 将逻辑函数  $F$  的最小项之和式稍做变形如下：

$$\begin{aligned} F(X, Y, Z) &= \sum m(0, 1, 4, 6, 7) = \overline{\overline{m_0 + m_1 + m_4 + m_6 + m_7}} \\ &= \overline{\overline{m_0} \cdot \overline{m_1} \cdot \overline{m_4} \cdot \overline{m_6} \cdot \overline{m_7}} \end{aligned} \quad (4.28)$$

式 (4.28) 表明，用一个“与非”门与一个输出为低电平有效的 3-8 译码器相配合，就可实现逻辑函数  $F$  的最小项之和式。对应于式 (4.28) 的逻辑图如图 4.45(d) 所示。

注意：在图 4.45 中， $C$  是译码器输入端的最高有效位。

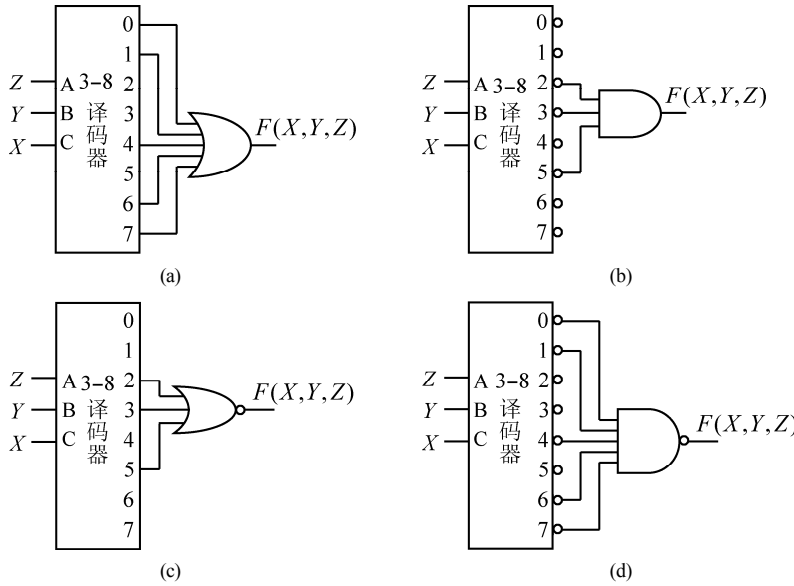


图 4.45 用译码器实现逻辑函数

例 4.16 说明，对于给定的逻辑函数，若利用译码器去实现它，则有几种方法可供采用。这些方法都是用一个译码器和一个适当的附加逻辑门相配合，去实现逻辑函数的最小项之和或最大项之积。由

于这些实现逻辑函数  $F$  的电路很容易被推导出来, 所以我们可以逐个去考察它们, 以选择出最具有成本效率的电路。显然, 在例 4.16 中, 式(4.26)、式(4.27)最易实现, 成本也最低。

可以将例 4.16 所述实现 3 变量逻辑函数的情形推广至实现  $n$  变量逻辑函数的一般情形。即, 若  $n$  变量逻辑函数的最小项之和式为:

$$F(X_{n-1}, X_{n-2}, \dots, X_1, X_0) = \sum_{0 \leq i < 2^n} m_i$$

则当  $n-2^n$  译码器的输出是高电平有效时, 因为此时的译码器相当于一个“最小项发生器”, 所以用该译码器和一个“或”门(逻辑加)就可实现任意一个  $n$  变量的逻辑函数。

而当  $n-2^n$  译码器的输出是低电平有效时, 即译码器的输出不是  $m_i$  而是  $\bar{m}_i$  时, 因为  $\bar{m}_i = M_i$ , 所以可将译码器看做是输入  $n$  变量的“最大项发生器”。此时, 将  $n$  变量逻辑函数的最小项之和式稍做变换:

$$\begin{aligned} F(X_{n-1}, X_{n-2}, \dots, X_1, X_0) &= \sum_{0 \leq i < 2^n} m_i \\ &= \overline{\sum_{0 \leq i < 2^n} \bar{m}_i} \\ &= \overline{\prod_{0 \leq i < 2^n} \bar{m}_i} \\ &= \overline{\prod_{0 \leq i < 2^n} M_i} \end{aligned}$$

因此, 当  $n-2^n$  译码器的输出为低电平有效时, 可用一个“与非”门配合译码器实现  $n$  变量逻辑函数的最小项之和式。 $n$  变量逻辑函数的表达式是最大项之积的情形, 留给读者去推导。

**【例 4.17】** 利用一片 74LS154 和适当的逻辑门电路实现如下的逻辑函数:

$$F_1(X_3, X_2, X_1, X_0) = \sum m(1, 9, 12, 15)$$

$$F_2(X_3, X_2, X_1, X_0) = \sum m(0, 1, 2, 3, 4, 5, 7, 8, 10, 11, 12, 13, 14, 15)$$

74LS154 的功能表如表 4.22 所示。

表 4.22 74LS154 的功能表

输入端		输出端																			
$\bar{G}_1$	$\bar{G}_2$	$D$	$C$	$B$	$A$	0	1	2	3	4	5	6	7	8	9	10	11	12	13	14	15
0	1	x	x	x	x	1	1	1	1	1	1	1	1	1	1	1	1	1	1	1	1
1	0	x	x	x	x	1	1	1	1	1	1	1	1	1	1	1	1	1	1	1	1
1	1	x	x	x	x	1	1	1	1	1	1	1	1	1	1	1	1	1	1	1	1
0	0	0	0	0	0	0	1	1	1	1	1	1	1	1	1	1	1	1	1	1	1
0	0	0	0	0	1	1	0	1	1	1	1	1	1	1	1	1	1	1	1	1	1
0	0	0	0	1	0	1	1	0	1	1	1	1	1	1	1	1	1	1	1	1	1
0	0	0	0	1	1	1	1	0	1	1	1	1	1	1	1	1	1	1	1	1	1
0	0	0	1	0	1	1	1	1	0	1	1	1	1	1	1	1	1	1	1	1	1
0	0	0	1	0	1	1	1	1	1	0	1	1	1	1	1	1	1	1	1	1	1
0	0	0	1	1	0	1	1	1	1	1	0	1	1	1	1	1	1	1	1	1	1
0	0	0	1	1	1	0	1	1	1	1	0	1	1	1	1	1	1	1	1	1	1
0	0	0	1	1	1	1	0	1	1	1	0	1	1	1	1	1	1	1	1	1	1
0	0	0	1	1	1	1	1	0	1	1	1	0	1	1	1	1	1	1	1	1	1
0	0	1	0	0	0	1	1	1	1	1	1	0	1	1	1	1	1	1	1	1	1
0	0	1	0	0	1	1	1	1	1	1	1	0	1	1	1	1	1	1	1	1	1
0	0	1	0	1	0	1	1	1	1	1	1	1	0	1	1	1	1	1	1	1	1
0	0	1	0	1	1	1	1	1	1	1	1	1	0	1	1	1	1	1	1	1	1
0	0	1	0	1	1	1	1	1	1	1	1	1	1	0	1	1	1	1	1	1	1
0	0	1	1	1	0	1	1	1	1	1	1	1	1	1	0	1	1	1	1	1	1
0	0	1	1	1	0	1	1	1	1	1	1	1	1	1	1	0	1	1	1	1	1
0	0	1	1	1	1	0	1	1	1	1	1	1	1	1	1	1	0	1	1	1	1
0	0	1	1	1	1	1	0	1	1	1	1	1	1	1	1	1	1	0	1	1	1

解:  $F_1$  和  $F_2$  均为 4 变量的逻辑函数, 而 74LS154 是一个 4-16 ( $2^4$ ) 译码器, 所以可用该 MSI 来实现这两个逻辑函数。由表 4.22 知, 译码器 74LS154 的输出是低电平有效, 所以将函数  $F_1$  和  $F_2$  的表达式做如下的变换:

$$\begin{aligned} F_1(X_3, X_2, X_1, X_0) &= \overline{\sum m(1, 9, 12, 15)} \\ &= \overline{m_1 + m_9 + m_{12} + m_{15}} \\ &= \bar{m}_1 \cdot \bar{m}_9 \cdot \bar{m}_{12} \cdot \bar{m}_{15} \end{aligned}$$

$$\begin{aligned} F_2(X_3, X_2, X_1, X_0) &= \sum m(0, 1, 2, 3, 4, 5, 7, 8, 10, 11, 12, 13, 14, 15) \\ &= \prod M(6, 9) \\ &= M_6 \cdot M_9 = \bar{m}_6 \cdot \bar{m}_9 \end{aligned}$$

于是, 我们就可以用 74LS154 与一片 74LS08 (双 4 输入“与非”门) 和一片 74LS08 (四 2 输入“与”门) 相配合, 以实现逻辑函数  $F_1$  和  $F_2$ , 如图 4.46 所示。注意: “D”是 74LS154 输入端的最高有效位。若要使芯片正常工作, 其“使能”信号  $G_1$  和  $G_2$  的输入必须有效, 所以  $G_1$ 、 $G_2$  均接“地”。

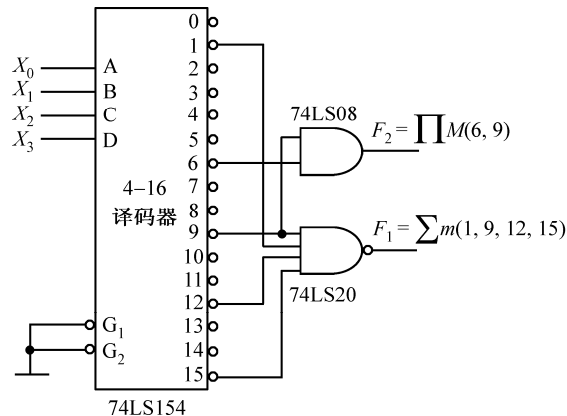


图 4.46 利用译码器实现逻辑函数

例 4.17 说明, 用一个  $n-2^n$  译码器和若干适当的逻辑门电路相配合, 可以同时实现多个  $n$  变量的逻辑函数。

**【例 4.18】** 用一片 74LS138 和一片 74LS00 实现  $X$ 、 $Y$  两变量的“异或”和“同或”运算。74LS138 的功能表如表 4.23 所示。

解: 74LS138 是一个 3-8 ( $2^3$ ) 译码器, 输出为低电平有效。74LS00 是四 2 输入“与非”门。 $X$ 、 $Y$  “异或”、“同或” 运算的表达式如下:

$$\begin{aligned} F_1(X, Y) &= X \oplus Y \\ &= X\bar{Y} + \bar{X}Y \\ &= \sum m(1, 2) \\ &= \bar{m}_1 \cdot \bar{m}_2 \end{aligned}$$

$$F_2(X, Y) = X \odot Y$$

① 双 4 输入“与非”门, 是指在一块集成电路芯片封装上, 有两个完全独立的、具有 4 个输入端的“与非”门。后面提到的四 2 输入“与”门, 意思类似。

$$\begin{aligned}
 &= \bar{X} \bar{Y} + XY \\
 &= \sum m(0,3) \\
 &= \overline{\bar{m}_0 \cdot \bar{m}_3}
 \end{aligned}$$

在给定集成电路芯片的条件下, 有多种方法可以用来实现函数  $F_1$  和  $F_2$ 。图 4.47(a)、(b) 所示为其中的两种方法。注意: “C”是 74LS138 输入端的最高有效位。芯片的“使能”端为  $E_1$ 、 $\bar{E}_{2A}$  和  $\bar{E}_{2B}$ , 注意它们的接法。

表 4.23 74LS138 的功能表

输入端			输出端										
$E_1$	$\bar{E}_{2A}$	$\bar{E}_{2B}$	$C$	$B$	$A$	0	1	2	3	4	5	6	7
0	x	x	x	x	x	1	1	1	1	1	1	1	1
x	1	x	x	x	x	1	1	1	1	1	1	1	1
x	x	1	x	x	x	1	1	1	1	1	1	1	1
1	0	0	0	0	0	0	1	1	1	1	1	1	1
1	0	0	0	0	1	1	0	1	1	1	1	1	1
1	0	0	0	1	0	1	1	0	1	1	1	1	1
1	0	0	0	1	1	1	1	1	0	1	1	1	1
1	0	0	1	0	0	1	1	1	1	0	1	1	1
1	0	0	1	0	1	1	1	1	1	1	0	1	1
1	0	0	1	1	0	1	1	1	1	1	1	0	1
1	0	0	1	1	1	1	1	1	1	1	1	1	0

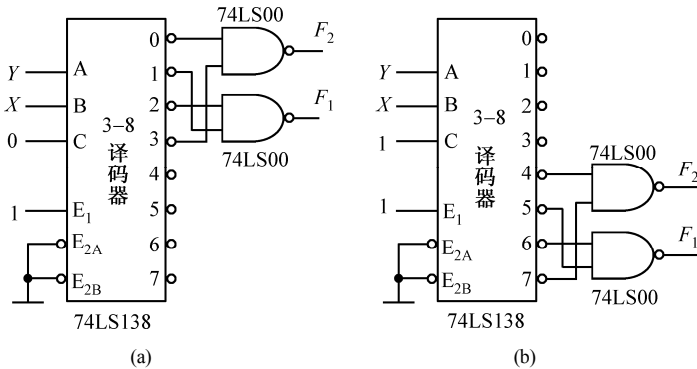


图 4.47 用译码器实现逻辑函数

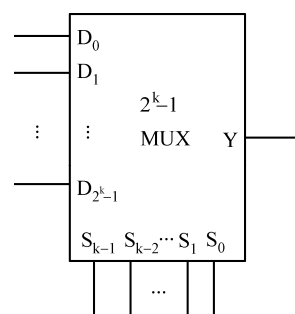
在图 4.47 中, 我们选择译码器的  $A$ 、 $B$  输入端作为函数自变量  $X$  和  $Y$  的输入。能否选择  $B$ 、 $C$  或者  $A$ 、 $C$  输入端作为变量  $X$  和  $Y$  的输入? 如果能, 又应如何连线? 请读者自行考虑。

本例说明, 一个  $n-2^n$  译码器可以同时实现多个逻辑函数(辅以适当的逻辑门), 且每个逻辑函数的变量个数要小于等于  $n$ 。

## 2. 用多路选择器(MUX) 实现逻辑函数

多路选择器(MUX)也是数字电路设计工程师常用的组合逻辑模块, 其逻辑符号如图 4.48 所示。数据选择器在计算机电路里经常用做数据信号源的选择开关。它与数据分配器(DEMUX)配合, 可构成数字系统中的单通道多路数据分时传送电路。但是现在, 我们要讨论如何用它去实现逻辑函数。

一个  $2^k-1$  的多路选择器, 是一个具有  $2^k$  个数据输入端、 $k$

图 4.48  $2^k-1$  数据选择器逻辑符号

一个数据选择输入端、1个数据输出端的组合逻辑电路，如图4.48所示。其逻辑功能就是：由 $k$ 个选择输入信号控制，从 $2^k$ 路输入数据信号中，选择一路进行输出。输出信号Y的逻辑表达式如下：

$$Y = \sum_{i=0}^{2^k-1} m_i \cdot D_i \quad (4.29)$$

式中， $m_i$ 是由选择变量 $S_{k-1} S_{k-2} \cdots S_1 S_0$ 所构成的最小项， $D_i$ 是 $2^k$ 个数据输入端（取值为“1”或“0”）。

另一方面，一个具有 $n$ 个逻辑变量的函数 $F$ ，其最小项之和式为：

$$F = \sum_{i=0}^{2^n-1} m_i \cdot a_i \quad (4.30)$$

式中， $m_i$ 是由函数自变量 $X_{n-1} X_{n-2} \cdots X_1 X_0$ 所构成的最小项， $a_i$ 是最小项的系数。若函数 $F$ 的表达式中包含某个最小项 $m_i$ ，则相应的 $a_i=1$ ，否则 $a_i=0$ 。

比较MUX输出Y的表达式(4.29)和 $n$ 变量逻辑函数 $F$ 的表达式(4.30)，可以看出：若 $n=k$ ，令 $S_i=X_i$ ， $D_i=a_i$ ，则式(4.29)与式(4.30)等效。换句话说，用MUX的选择变量 $S_{k-1} S_{k-2} \cdots S_1 S_0$ （选择码）去产生函数的最小项，而用MUX的数据输入 $D_i$ 去“使能”所要实现的逻辑函数最小项之和式中所含有的最小项。这就是用MUX实现逻辑函数的基本原理，如图4.49所示。

**【例4.19】**用一片74LS151实现如下的逻辑函数：

$$F(X, Y, Z) = \sum m(0, 2, 3, 5)$$

74LS151的功能表如表4.24所示。

解：74LS151是一个 $8(2^3)-1$ 的数据选择器MUX。根据函数 $F$ 的最小项之和式，将函数的真值表填入MUX的功能表，如表4.24所示。因为 $D_0=D_2=D_3=D_5=1$ ，所以 $F$ 最小项之和式中出现的所有最小项都被“门控使能”。另外，把其余的数据输入线都接“地”，即 $D_1, D_4, D_6$ 和 $D_7$ 的输入逻辑为“0”，如图4.50所示。于是，输出 $Y$ 只有当选择控制变量的组合是 $F$ 表达式中的最小项时才为“1”；而在其他情况下均为“0”。这样就实现了逻辑函数 $F$ 。注意：“C”是74LS151控制变量的最高有效位。 $X, Y, Z$ 按顺序接到 $C, B, A$ 上。输入变量的连接顺序是非常重要的。在图4.50中， $D_0, D_2, D_3$ 和 $D_5$ 均通过上拉电阻接到正电源上，这相当于在这些数据线上输入逻辑“1”。“使能”端 $\bar{E}$ 必须输入有效，故将它接“地”。

表4.24 74LS151的功能表

输入端		输出端
$\bar{E}$	$CBA$ ( $X Y Z$ )	$Y$ ( $F$ )
1	$\times \times \times$	0
0	0 0 0	$D_0 (=1)$
0	0 0 1	$D_1 (=0)$
0	0 1 0	$D_2 (=1)$
0	0 1 1	$D_3 (=1)$
0	1 0 0	$D_4 (=0)$
0	1 0 1	$D_5 (=1)$
0	1 1 0	$D_6 (=0)$
0	1 1 1	$D_7 (=0)$

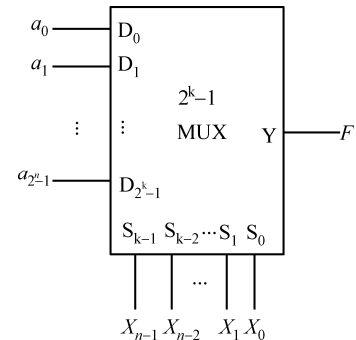


图4.49 用MUX实现逻辑函数( $n=k$ )

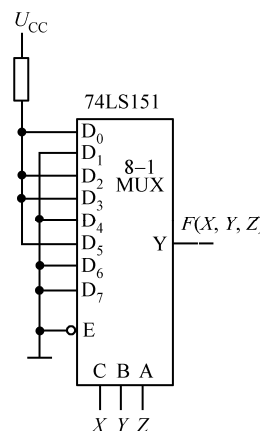


图4.50 用MUX实现逻辑函数

例 4.19 表明, 当  $n = k$  时, 因为函数的变量个数与 MUX 的选择控制变量个数相同, 所以函数的最小项总个数与 MUX 的数据输入端个数相同。因此用 MUX 实现逻辑函数很简单, 即: 当  $n = k$  时, 先将函数的输入变量  $X_{n-1} X_{n-2} \cdots X_1 X_0$  依次接到 MUX 的选择控制变量  $S_{k-1} S_{k-2} \cdots S_1 S_0$  输入端上(注意连接的顺序), 然后按函数的真值表、最小项之和式或者卡诺图, 去规定 MUX 的相应数据输入端  $D_i$  接“1”或接“0”。

然而在实际工作中,  $n$  不可能总是恰好等于  $k$ 。于是就提出这样一个问题, 当  $n \neq k$  时, 如何用 MUX 实现逻辑函数。下面分两种情况讨论之。

### (1) $n < k$ 的情况

当  $n < k$  时, 函数最小项的总个数少于 MUX 数据输入端的个数。这时, 要将多余的 MUX 数据输入端和选择控制变量输入端做逻辑上的处理, 即: 按需要接“1”或接“0”。

**【例 4.20】** 用 74LS151 实现两变量  $X_1$  和  $X_0$  的“异或”函数  $F$  和“同或”函数  $G$ 。74LS151 的功能表如例 4.19 的表 4.24 所示。

解:  $X_1$  和  $X_0$  的“异或”、“同或”函数  $F$  和  $G$  的表达式如下:

$$\begin{aligned} F(X_1, X_0) &= X_1 \oplus X_0 = X_1 \bar{X}_0 + \bar{X}_1 X_0 \\ &= 0 \cdot \bar{X}_1 \bar{X}_0 + 1 \cdot \bar{X}_1 X_0 + 1 \cdot X_1 \bar{X}_0 + 0 \cdot X_1 X_0 \\ G(X_1, X_0) &= X \odot X_0 = \bar{X}_1 \bar{X}_0 + X_1 X_0 \\ &= 1 \cdot \bar{X}_1 \bar{X}_0 + 0 \cdot \bar{X}_1 X_0 + 0 \cdot X_1 \bar{X}_0 + 1 \cdot X_1 X_0 \end{aligned}$$

74LS151 是一个 8-1 数据选择器 MUX, 而函数  $F$  和  $G$  都是两变量的逻辑函数。因此, 可在选择控制变量输入端  $C, B, A$  中, 任取两个作为输入变量  $X_1$  和  $X_0$  的输入端, 而对另一个不用的选择控制变量端, 可根据需要接逻辑“1”或逻辑“0”。现在规定: 对函数  $F$ , 令  $B, A$  为  $X_1$  和  $X_0$  的输入端,  $C$  接逻辑“0”。此时, 只用到 MUX 的数据输入端  $D_0 \sim D_3$ , 而  $D_4 \sim D_7$  则舍弃不用, 可接任意值“ $\times$ ”; 对函数  $G$ , 令  $C, B$  为  $X_1$  和  $X_0$  的输入端,  $A$  接逻辑“1”。这样就只用到了 MUX 的数据输入端  $D_1, D_3, D_5$  和  $D_7$ , 而  $D_0, D_2, D_4$  和  $D_6$  则舍弃不用, 可接任意值“ $\times$ ”。实现两个函数的逻辑图如图 4.51(a)、(b) 所示, “使能”端  $\bar{E}$  接“0”, 以允许芯片工作。

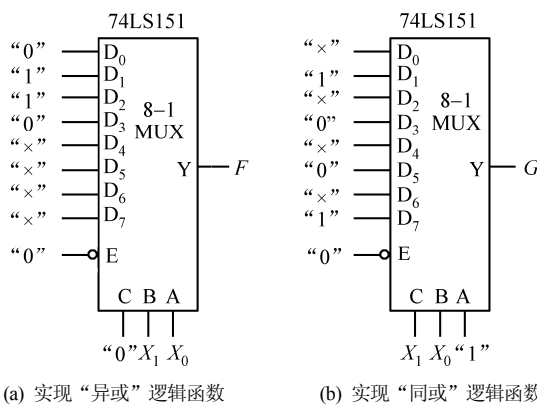


图 4.51 用 MUX 实现逻辑函数

例 4.20 说明, 当  $n < k$  时, 选用不同的选择控制变量输入端作为函数自变量的输入, 就对应了使用不同的数据输入端作为最小项的“选通”输入。那些舍弃不用的数据输入端, 可按约束项来处理, 即将它们接“1”、接“0”都可以。另外, 与“译码器”不同的是: 一个“多路选择器”MUX 只能实现一个逻辑函数, 它不能同时实现多个逻辑函数。

(2)  $n > k$  的情况

当  $n > k$  时, 函数最小项的总个数大于 MUX 数据输入端的个数。也就是说, 函数自变量要多于 MUX 的选择控制变量。这时应该采用变量分离的方法来实现逻辑函数。所谓变量分离法, 就是从函数的  $n$  个自变量中选取  $k$  个变量作为 MUX 的选择控制变量(接到选择控制输入端上), 而剩下的( $n-k$ )个自变量叫做“引入变量”, 将这些引入变量构成所谓的“余函数” $f_i$ , 然后再将  $f_i$  接到 MUX 相应的数据输入端  $D_i$  上。

【例 4.21】用 4-1 MUX 实现逻辑函数

$$F(A,B,C) = AB + \bar{B}C$$

4-1 MUX 的功能表如表 4.25 所示。

解: 本例题中, 函数  $F$  有 3 个自变量, 而 4-1 MUX 只有两个选择输入端  $S_1$  和  $S_0$ 。因此第一步首先将  $F$  表示成最小项之和的形式:

$$\begin{aligned} F(A,B,C) &= AB + \bar{B}C \\ &= A\bar{B}\bar{C} + ABC + A\bar{B}C + \bar{A}\bar{B}C \end{aligned}$$

下一步, 就是确定函数的两个自变量作为 MUX 的选择控制变量, 即: 把它们连接到 MUX 的选择输入端  $S_1$ 、 $S_0$  上。再以这两个自变量为最小项的单位, 将它们从函数  $F$  的标准“与或”式里的各最小项中分离出来, 从而形成选择变量的最小项  $m_i^2$  和余函数  $f_i$  的“与或”式。例如, 若令变量  $A$ 、 $B$  为 MUX 的选择控制变量, 则函数  $F$  的最小项之和式为:

$$\begin{aligned} F(A,B,C) &= A\bar{B}\bar{C} + ABC + A\bar{B}C + \bar{A}\bar{B}C \\ &= (C) \cdot \bar{A}\bar{B} + (C) \cdot A\bar{B} + (\bar{C} + C) \cdot AB \\ &= (C) \cdot \bar{A}\bar{B} + (0) \cdot A\bar{B} + (C) \cdot A\bar{B} + (1) \cdot AB \end{aligned}$$

式中相应的余函数  $f_i(C)$  ( $i=0 \sim 3$ ) 为:

$$f_0(C) = f_2(C) = C; \quad f_1(C) = 0; \quad f_3(C) = 1$$

根据上述表达式, 我们就可以按变量  $A$ 、 $B$  的每一种组合(最小项)来确定函数  $F(A, B, C)$  的“取值”, 其真值表如表 4.26 所示, 注意: 真值表的每一行都对应着 4-1 MUX 的一个数据输入端  $D_i$ 。于是, 按此真值表, 就可以用 4-1 MUX 去实现函数  $F(A, B, C)$ , 如图 4.52 所示, 注意  $A$ 、 $B$  的连接顺序。

表 4.26 函数  $F(A,B,C)$  的真值表 (1)

$A$	$B$	$F(A,B,C)$	MUX 的数据输入端
0 0		$C$	$D_0 = f_0(C) = C$
0 1		0	$D_1 = f_1(C) = 0$
1 0		$C$	$D_2 = f_2(C) = C$
1 1		1	$D_3 = f_3(C) = 1$

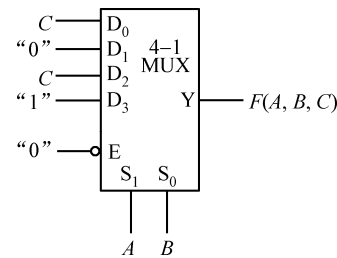


图 4.52 用 4-1 MUX 实现 3 变量的逻辑函数 (1)

实际上, 函数  $F$  的任意两个自变量均可作为 4-1 MUX 的选择控制变量  $S_1$  和  $S_0$ 。例如, 若令变量  $A$ 、 $C$  为 MUX 的选择控制变量, 则函数  $F$  的标准“与或”式为:

$$\begin{aligned} F(A,B,C) &= A\bar{B}\bar{C} + ABC + A\bar{B}C + \bar{A}\bar{B}C \\ &= (\bar{B}) \cdot \bar{A}\bar{C} + (B) \cdot A\bar{C} + (B + \bar{B}) \cdot AC \\ &= (0) \cdot \bar{A}\bar{C} + (\bar{B}) \cdot \bar{A}\bar{C} + (B) \cdot A\bar{C} + (1) \cdot AC \end{aligned}$$

相应的余函数  $f_i(B)$  ( $i=0 \sim 3$ ) 为:

$$f_0(B)=0; f_1(B)=\bar{B}; f_2(B)=B; f_3(B)=1$$

与其对应的真值表如表 4.27 所示, 实现此函数真值表的 4-1 MUX 的连线逻辑图如图 4.53 所示。

表 4.27 函数  $F(A,B,C)$  的真值表 (2)

A C	$F(A,B,C)$	MUX 的数据输入端
0 0	0	$D_0=0$
0 1	$\bar{B}$	$D_1=\bar{B}$
1 0	$B$	$D_2=B$
1 1	1	$D_3=1$

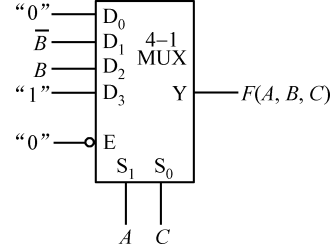


图 4.53 用 4-1 MUX 实现 3 变量的逻辑函数 (2)

本例说明, 在逻辑函数所有自变量的反变量都存在的前提下, 一个具有  $k$  个选择输入端的  $2^k-1$  MUX, 不用附加任何门电路, 就可以实现变量为  $n \leq k+1$  的逻辑函数。若函数的某个自变量的反变量不存在, 则应当尽量避免使该变量出现在余函数中(即如表 4.27 和图 4.53 所示的那种情况), 可以通过改变作为 MUX 的选择控制变量的函数自变量的方法来试着做到这一点, 如表 4.26 和图 4.52 所示的那种情况。当然, 如果做不到, 就只有通过加“非”门的办法, 来获得函数自变量的反变量。

**【例 4.22】** 4-1 MUX 的功能表如表 4.25 所示, 试用此 4-1 MUX 实现逻辑函数

$$F(A, B, C, D) = B\bar{D} + BC + C\bar{D} + \bar{A}\bar{B}\bar{D}$$

解:  $F$  是 4 变量的逻辑函数, 若用只有两个选择输入端  $S_1$  和  $S_0$  的 4-1 MUX 实现此函数, 则必须先对  $F$  的“与或”式中的“与”项进行变量分离。

**方法一:** 以  $A$ 、 $B$  作为 MUX 的选择控制变量, 则余函数为  $f_i(C,D)$  ( $i=0 \sim 3$ )。为此, 将函数  $F$  的表达式做如下的变换:

$$\begin{aligned}
 F(A, B, C, D) &= B\bar{D} + BC + C\bar{D} + \bar{A}\bar{B}\bar{D} \\
 &= (B\bar{D} + BC)(A + \bar{A}) + C\bar{D}(\bar{A}\bar{B} + \bar{A}B + A\bar{B} + AB) + \bar{D} \cdot \bar{A}\bar{B} \\
 &= (\bar{D} + C\bar{D}) \cdot \bar{A}\bar{B} + (\bar{D} + C + C\bar{D}) \cdot \bar{A}B + C\bar{D} \cdot A\bar{B} + (\bar{D} + C + C\bar{D}) \cdot AB \\
 &= (\bar{D}) \cdot \bar{A}\bar{B} + (C + \bar{D}) \cdot \bar{A}B + (C\bar{D}) \cdot A\bar{B} + (C + \bar{D}) \cdot AB
 \end{aligned} \tag{4.31}$$

相应的余函数为:

$$f_0(C, D)=\bar{D}; f_1(C, D)=C+\bar{D}; f_2(C, D)=C\bar{D}; f_3(C, D)=C+\bar{D}$$

根据式 (4.31), 令  $S_1S_0=AB$ , 画出用 4-1 MUX 实现函数  $F$  的连线图, 如图 4.54(a) 所示(图中省略了产生余函数的“与”门和“或”门)。

**方法二:** 观察一下函数  $F$  的“与或”表达式, 发现在各“与”项中, 自变量  $B$ 、 $D$  的组合(包括原变量和反变量)出现的次数最多, 因此以  $B$ 、 $D$  作为 MUX 的选择控制变量, 则余函数为  $f_i(A,C)$  ( $i=0 \sim 3$ )。

于是, 将函数  $F$  的表达式变换如下:

$$\begin{aligned}
 F(A, B, C, D) &= B\bar{D} + BC + C\bar{D} + \bar{A}\bar{B}\bar{D} \\
 &= \bar{A} \cdot \bar{B}\bar{D} + 1 \cdot B\bar{D} + BC(D + \bar{D}) + C\bar{D}(B + \bar{B}) \\
 &= (\bar{A} + C) \cdot \bar{B}\bar{D} + (0) \cdot \bar{B}D + (1) \cdot B\bar{D} + (C) \cdot BD
 \end{aligned} \tag{4.32}$$

其相应的余函数为:

$$f_0(A, C) = \bar{A} + C; f_1(A, C) = 0; f_2(A, C) = 1; f_3(A, C) = C$$

令  $S_1 S_0 = BD$ , 根据式(4.32)画出用4-1 MUX实现函数F的连线图, 如图4.54(b)所示。

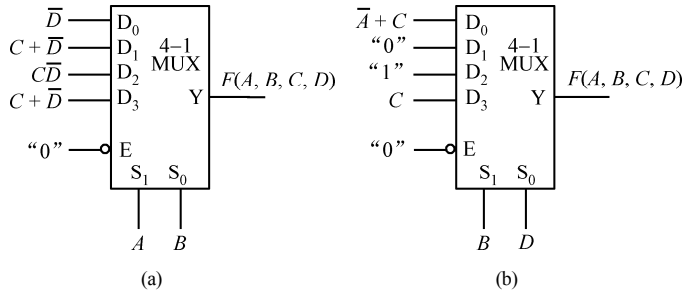


图4.54 用4-1 MUX实现4变量的逻辑函数

比较例4.22中的式(4.31)和式(4.32)的余函数, 显然式(4.32)的余函数比式(4.31)的余函数更简单。这说明尽管可以任意地挑选函数的两个自变量作为4-1 MUX的选择变量, 但是, 究竟应该确定函数的哪些自变量作为MUX的选择控制变量是有讲究的, 因为它直接影响到余函数的繁简程度, 也影响到实现余函数时所用到的逻辑门电路的数量——影响到电路的成本。那么, 到底应该怎样挑选逻辑函数的自变量去充当MUX的选择变量, 才能使得余函数的形式相对最为简单呢? 如果像上述解题的过程那样, 仅凭观察来做到这一点, 显然是非常困难的。于是我们很自然地又想到了卡诺图。因为卡诺图具有形象直观性, 使得我们能很容易地做到, 在确保余函数的形式相对最简单的前提下来选定充当MUX选择控制变量的逻辑函数自变量。

**【例4.23】** 续例4.22。用卡诺图法确定充当MUX选择变量的函数自变量, 以使得所产生的余函数相对最为简单。

解: (1) 因为  $F(A, B, C, D) = B\bar{D} + BC + C\bar{D} + \bar{A}\bar{B}\bar{D}$ , 所以首先画出其卡诺图, 如图4.55(a)所示。

(2) 若以  $A, B$  作为 MUX 的选择控制变量, 则应将  $F$  的卡诺图按变量  $A, B$  划分成4个子卡诺图, 如图4.55(b)所示(注意图中虚线)。在每个子卡诺图中对“1”进行圈组合并。在写余函数的“与”项时, 不考虑变量  $A, B$  (因为它们是 MUX 的选择变量) 而只考虑变量  $C, D$ , 于是得到相应的余函数如下:

$$f_0(C, D) = \bar{D}; f_1(C, D) = C + \bar{D}; f_2(C, D) = C\bar{D}; f_3(C, D) = C + \bar{D}$$

(3) 以  $C, D$  作为 MUX 的选择控制变量, 于是将  $F$  的卡诺图按变量  $C, D$  划分成4个子卡诺图, 如图4.55(c)所示。在每个子卡诺图中对“1”进行圈组合并, 得到相应的余函数如下:

$$f_0(A, B) = \bar{A} + B; f_1(A, B) = 0; f_2(A, B) = 1; f_3(A, B) = B$$

(4) 如例4.22的“方法二”, 以  $B, D$  作为 MUX 的选择控制变量, 按变量  $B, D$  把  $F$  的卡诺图划分成4个子卡诺图, 如图4.55(d)所示。在每个子卡诺图中对“1”进行圈组合并, 得到相应的余函数如下:

$$f_0(A, C) = \bar{A} + C; f_1(A, C) = 0; f_2(A, C) = 1; f_3(A, C) = C$$

比较图4.55(b)、(c)、(d)可以看出, 卡诺圈总数越少, 且每个卡诺圈所围的小格越多, 则所产生的余函数越简单。就这两点而言, 图4.55(c)和(d)比图(b)所产生的余函数要简单; 而图(c)与(d)各自所产生的余函数繁简程度相同。所以, 应该用自变量  $C, D$  或  $B, D$  充当 MUX 的选择控制变量  $S_1$  和  $S_0$ , 并将相应的余函数  $f_0 \sim f_3$  接到  $D_0 \sim D_3$  上, 连线图从略。

$AB \backslash CD$	00	01	11	10
00	1	0	0	1
01	1	0	1	1
11	1	0	1	1
10	0	0	0	1

(a)  $F$  的卡诺图

$AB \backslash CD$	00	01	11	10
00	1	0	0	1
01	1	0	1	1
11	1	0	1	1
10	0	0	0	1

(b) 以  $A$ 、 $B$  作选择变量

$AB \backslash CD$	00	01	11	10
00	1	0	0	1
01	1	0	1	1
11	1	0	1	1
10	0	0	0	1

(c) 以  $C$ 、 $D$  作选择变量

$AB \backslash CD$	00	01	11	10
00	1	0	0	1
01	1	0	1	1
11	1	0	1	1
10	0	0	0	1

(d) 以  $B$ 、 $D$  作选择变量

图 4.55 用卡诺图确定 4-1 MUX 选择变量的各种方法

【例 4.24】用 4-1 MUX 实现如下 4 变量逻辑函数：

$$F(A, B, C, D) = \sum m(0, 2, 3, 5, 6, 7, 8, 9) + \sum d(10, 11, 12, 13, 14, 15)$$

试用卡诺图法确定充当 MUX 选择变量的函数自变量，以使得所产生的余函数相对最为简单。

解：(1) 画出函数  $F$  的卡诺图，如图 4.56(a)所示。

(2) 观察函数  $F$  的卡诺图，如果利用约束项，则以自变量  $C$ 、 $D$  作为 MUX 的选择控制变量时，卡诺圈的总数较少且有两个卡诺圈可圈组 4 个小格，故所产生的余函数相对最为简单。

(3) 按变量  $C$ 、 $D$  划分函数  $F$  的卡诺图，得到 4 个子卡诺图，在子卡诺图中对“1”进行圈组合并（注意利用约束项），如图 4.56(b)所示。

(4) 根据子卡诺图中的卡诺圈，写出相应的余函数如下：

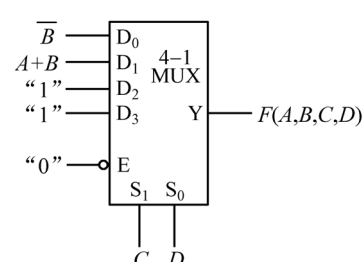
$$f_0(A, B) = \bar{B} ; f_1(A, B) = A + B ; f_2(A, B) = 1 ; f_3(A, B) = 1$$

(5) 令  $S_1 S_0 = CD$ ，按余函数画出连线图，如图 4.56(c)所示。

$AB \backslash CD$	00	01	11	10
00	1	0	1	1
01	0	1	1	1
11	x	x	x	x
10	1	1	x	x

(a)  $F$  的卡诺图

$AB \backslash CD$	00	01	11	10
00	1	0	1	1
01	0	1	1	1
11	x	x	x	x
10	1	1	x	x

(b) 以  $C$ 、 $D$  作选择变量

(c) 逻辑图

图 4.56 用卡诺图法确定 4-1 MUX 的选择变量以实现逻辑函数  $F$

综上所述,用MUX实现逻辑函数既方便又灵活。一般地说,一个MUX只能实现一个逻辑函数(这一点与译码器不同);在逻辑函数的自变量和反变量都存在的前提下,具有 $k$ 个选择输入端的 $2^k-1$ MUX,不需附加任何门电路就能实现变量个数 $n \leq k+1$ 的逻辑函数;如果 $n > k+1$ ,则可采用附加门电路产生余函数的办法来实现逻辑函数。

### 4.4.3 一般设计步骤和设计举例

#### 1. 一般设计步骤

组合电路的一般设计步骤如图4.57所示。

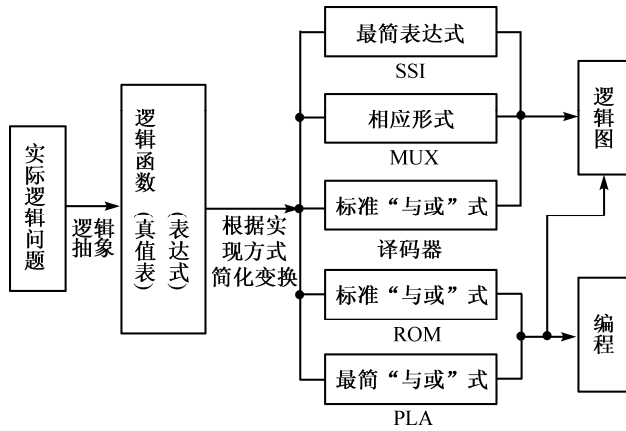


图4.57 组合电路的一般设计步骤

图中有关用SSI实现最简表达式和用MSI(包括译码器和MUX)实现逻辑函数的问题,已在4.4.1节和4.4.2节中讨论过了。关于用ROM和PLA实现逻辑函数的问题将在第10章中讨论。本节主要讨论如何把实际问题抽象成为一个逻辑模型,从而建立逻辑函数真值表的过程。

组合电路的设计过程,是以对实际问题的文字性描述为起点,通过对这种文字描述的逻辑抽象,建立起真实反映实际问题的逻辑模型。根据这个模型,按文字描述的逻辑关系,最终完成填写逻辑真值表的过程。一旦填写出了正确反映实际问题逻辑关系的真值表,则组合逻辑网络的综合问题就算基本完成。后面的工作就是由真值表化简逻辑函数(用代数法或卡诺图法),按要求导出所需形式的逻辑函数布尔表达式,根据表达式绘出逻辑图。总之,设计组合逻辑电路的目的,就是要获取正确反映实际问题逻辑关系的逻辑图。

按照图4.57所示的思路,设计组合电路的一般步骤如下。

(1) 逻辑抽象:分析由文字描述的设计要求,从实际问题中抽象出正确反映事件因果关系的逻辑模型。建立模型的过程应该包括:确定电路的输入变量、输出变量(函数),这些变量应该都只有两种状态。然后,为每个变量的两种状态规定逻辑“1”和逻辑“0”。

(2) 列真值表:根据逻辑模型,并按照实际问题的要求确定输入、输出变量间的逻辑关系,依据这种关系,用逻辑“1”和逻辑“0”填写真值表。

(3) 简化变换:利用代数法或卡诺图法化简真值表所描述的逻辑函数,化简时要充分利用“约束条件”。然后,根据所要求的实现逻辑函数的形式(如SSI、译码器、MUX等),把函数的逻辑表达式转换成所需要的“最简”形式。

(4) 画逻辑图:根据最后得到的逻辑函数表达式,画出相应的逻辑图。

## 2. 组合电路设计举例

上述各步骤中, 逻辑抽象是整个组合电路设计过程中最关键也是最困难的一步。其他后续步骤均是有规律可循的。现在就以实例来说明组合电路的设计过程。

**【例 4.25】** 设计一位二进制数全减器。分别用 SSI 的“与非”门、3-8 译码器和双 4-1 MUX 实现之。

解: (1) 确定输入、输出变量

全减器的输入变量为: “被减数”  $A$ , “减数”  $B$ , “借位输入”(下一位对本位的借位)  $C_{in}$ 。

全减器的输出函数为: “差”  $D$ , “借位输出”(本位对上一位的借位)  $C_{out}$ 。一位二进制数全减器的逻辑符号如图 4.58 所示。

(2) 列真值表

根据一位二进制数的减法原则, 列出反映输入、输出变量逻辑关系的真值表, 如表 4.28 所示。

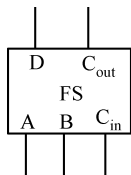


图 4.58 一位二进制数全减器

表 4.28 一位全减器真值表

序号	$A$	$B$	$C_{in}$	$D$	$C_{out}$
0	0	0	0	0	0
1	0	0	1	1	1
2	0	1	0	1	1
3	0	1	1	0	1
4	1	0	0	1	0
5	1	0	1	0	0
6	1	1	0	0	0
7	1	1	1	1	1

(3) 化简

根据真值表, 写出输出函数  $D$  和  $C_{out}$  的最小项之和式:

$$\begin{aligned} D &= \sum m(1, 2, 4, 7) \\ &= m_1 + m_2 + m_4 + m_7 \\ &= \overline{m_1} \cdot \overline{m_2} \cdot \overline{m_4} \cdot \overline{m_7} \end{aligned} \quad (4.33)$$

$$\begin{aligned} C_{out} &= \sum m(1, 2, 3, 7) \\ &= m_1 + m_2 + m_3 + m_7 \\ &= \overline{m_1} \cdot \overline{m_2} \cdot \overline{m_3} \cdot \overline{m_7} \end{aligned} \quad (4.34)$$

输出函数  $D$  和  $C_{out}$  的卡诺图分别如图 4.59(a)和(b)所示。

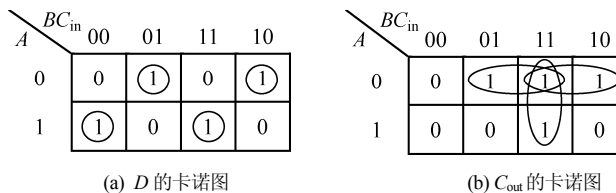


图 4.59 一位全减器的卡诺图

根据卡诺图, 令  $B$ 、 $C_{in}$  为 MUX 选择控制变量, 即  $S_1S_0=BC_{in}$ , 则  $D$  的余函数为:

$$f_0(A)=A; f_1(A)=\bar{A}; f_2(A)=\bar{A}; f_3(A)=A \quad (4.35)$$

同时  $C_{out}$  的余函数为:

$$f_0(A)=0; f_1(A)=\bar{A}; f_2(A)=\bar{A}; f_3(A)=1 \quad (4.36)$$

利用卡诺图化简输出函数  $D$  和  $C_{\text{out}}$ 。输出函数的最简“与或”式为：

$$D = \overline{A}\overline{B}C_{\text{in}} + \overline{A}B\overline{C}_{\text{in}} + A\overline{B}\overline{C}_{\text{in}} + ABC_{\text{in}}$$

$$C_{\text{out}} = \overline{A}C_{\text{in}} + \overline{A}B + BC_{\text{in}}$$

输出函数的最简“与非-与非”式为：

$$D = \overline{A}\overline{B}C_{\text{in}} + \overline{A}B\overline{C}_{\text{in}} + A\overline{B}\overline{C}_{\text{in}} + ABC_{\text{in}}$$

$$= \overline{\overline{A}\overline{B}C_{\text{in}} + \overline{A}B\overline{C}_{\text{in}} + A\overline{B}\overline{C}_{\text{in}} + ABC_{\text{in}}}$$

$$= \overline{\overline{A}\overline{B}C_{\text{in}}} \cdot \overline{\overline{A}B\overline{C}_{\text{in}}} \cdot \overline{A\overline{B}\overline{C}_{\text{in}}} \cdot \overline{ABC_{\text{in}}} \quad (4.37)$$

$$C_{\text{out}} = \overline{A}C_{\text{in}} + \overline{A}B + BC_{\text{in}} = \overline{\overline{A}C_{\text{in}} + \overline{A}B + BC_{\text{in}}}$$

$$= \overline{\overline{A}C_{\text{in}}} \cdot \overline{\overline{A}B} \cdot \overline{BC_{\text{in}}} \quad (4.38)$$

#### (4) 画逻辑图

根据式(4.33)、式(4.34)，画出用3-8译码器实现的全减器逻辑图，如图4.60所示（“C”是最有效位）。

由式(4.35)、式(4.36)，绘出用双4-1MUX实现的全减器逻辑图，如图4.61所示。

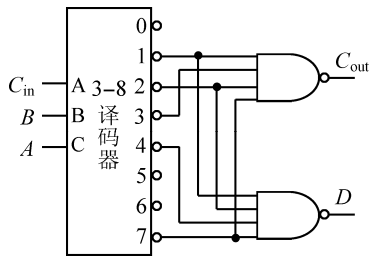


图4.60 利用译码器实现全减器

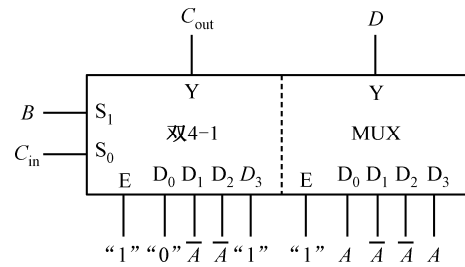


图4.61 利用双4-1 MUX译码器实现全减器

图4.62所示为根据式(4.37)和式(4.38)画出的、用SSI的“与非”门实现的全减器逻辑图。

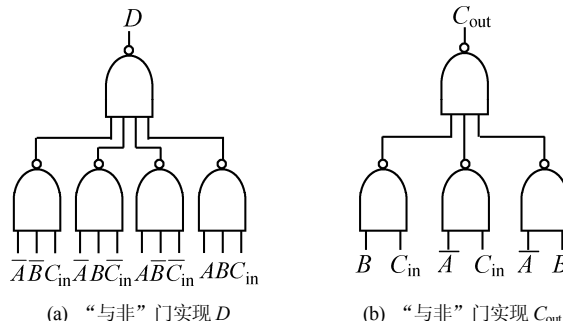


图4.62 利用“与非”门实现全减器

**【例4.26】**设计一个“一位十进制数合数探测器”。该探测器的输入是8421BCD码，当输入的BCD码所代表的十进制数是合数时，输出为“1”，否则，输出为“0”。要求：

- ① 分别仅用“与非”门和“或非”门实现之；

① 数学上定义大于1，且除了1和自身以外还能被其他自然数整除的自然数叫做合数。

② 选择合适的译码器实现之；

③ 选择合适的 MUX 实现之；

解：(1) 确定输入、输出变量

探测器的输入变量为  $D_3D_2D_1D_0$ ，代表一位 8421BCD 码，且  $D_3$  为最高有效位。探测器的输出函数为  $F$ 。当  $F=1$  时，表示输入为合数，当  $F=0$  时，表示输入为非合数。

(2) 列真值表

按照上述对输入、输出变量的定义，并根据合数的数学定义，列出反映输入、输出变量之间关系的真值表，如表 4.29 所示。

表 4.29 合数探测器逻辑函数  $F$  的真值表

序号	$D_3 D_2 D_1 D_0$	$F$	序号	$D_3 D_2 D_1 D_0$	$F$
0	0 0 0 0	0	8	1 0 0 0	1
1	0 0 0 1	0	9	1 0 0 1	1
2	0 0 1 0	0	10	1 0 1 0	x
3	0 0 1 1	0	11	1 0 1 1	x
4	0 1 0 0	1	12	1 1 0 0	x
5	0 1 0 1	0	13	1 1 0 1	x
6	0 1 1 0	1	14	1 1 1 0	x
7	0 1 1 1	0	15	1 1 1 1	x

(3) 写表达式

根据真值表，可写出  $F$  的逻辑表达式。这是一个非完全描述逻辑函数，其表达式如下：

$$F = \sum m(4, 6, 8, 9) + d(10, 11, 12, 13, 14, 15) \quad (4.39)$$

或

$$F = \prod M(0, 1, 2, 3, 5, 7) \cdot D(10, 11, 12, 13, 14, 15) \quad (4.40)$$

(4) 化简表达式

根据所要求的实现逻辑函数的方式，简化变换函数表达式。

① 用 SSI 的“与非”门和“或非”门分别实现函数  $F$

用卡诺图法化简  $F$  的逻辑表达式。卡诺图如图 4.63 所示。

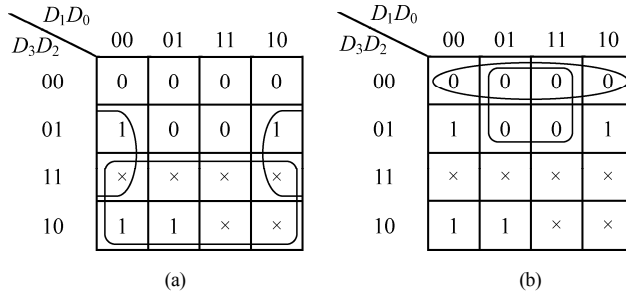


图 4.63 函数的卡诺图

利用图 4.63(a)，将  $F$  化简为最简“与或”式：

$$F = D_3 + D_2\bar{D}_0$$

对函数  $F$  的“与或”式求“反”加“非”，得到  $F$  的最简“与非-与非”式：

$$\begin{aligned}
 F &= D_3 + D_2 \bar{D}_0 \\
 &= \overline{\overline{D_3 + D_2 \bar{D}_0}} \\
 &= \overline{\bar{D}_3 \cdot \overline{D_2 \bar{D}_0}}
 \end{aligned} \tag{4.41}$$

利用图 4.63(b), 求得  $F$  的最简“或与”式:

$$F = (D_3 + D_2)(D_3 + \bar{D}_0)$$

对  $F$  的“或与”式求“反”加“非”, 得到  $F$  的最简“或非-或非”式:

$$\begin{aligned}
 F &= (D_3 + D_2)(D_3 + \bar{D}_0) \\
 &= \overline{(D_3 + D_2)(D_3 + \bar{D}_0)} \\
 &= \overline{\overline{D_3 + D_2} + \overline{D_3 + \bar{D}_0}}
 \end{aligned} \tag{4.42}$$

### ② 选择合适的译码器实现函数 $F$

因为  $F$  是 4 变量的逻辑函数, 所以选用 4-16 译码器 74LS154 实现。观察式 (4.39)、式 (4.40), 如果令所有的约束项为 “1”, 则有 6 个取 “0”的最大项。此时需要一个具有 6 个输入端的附加门电路; 而如果令所有的约束项为 “0”, 则有 4 个取 “1”的最小项。此时需要一个具有 4 个输入端的附加门电路。很明显, 应该选择后者。于是, 将式 (4.39) 变换如下:

$$\begin{aligned}
 F &= \sum m(4, 6, 8, 9) + d(10, 11, 12, 13, 14, 15) \\
 &= m_4 + m_6 + m_8 + m_9 \\
 &= \overline{\bar{m}_4 \cdot \bar{m}_6 \cdot \bar{m}_8 \cdot \bar{m}_9}
 \end{aligned} \tag{4.43}$$

### ③ 选择合适的 MUX 实现函数 $F$

根据图 4.64 所示的  $F$  的卡诺图, 若令  $S_1S_0=D_3D_2$ , 则卡诺圈的总个数最少、且有两个卡诺圈包围 4 个小格。于是, 函数  $F$  的表达式为:

$$F = 0 \cdot \bar{D}_3 \bar{D}_2 + \bar{D}_0 \cdot \bar{D}_3 D_2 + 1 \cdot D_3 \bar{D}_2 + 1 \cdot D_3 D_2 \tag{4.44}$$

### (5) 画出逻辑图

根据式 (4.41) 和式 (4.42), 分别画出仅用“与非”门和“或非”门实现函数  $F$  的逻辑图, 如图 4.65(a)、(b) 所示。

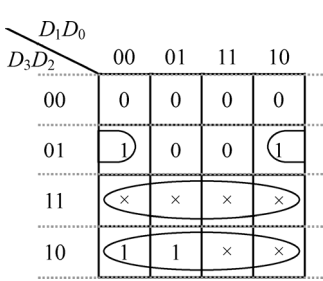


图 4.64  $S_1S_0=D_3D_2$  时  $F$  的卡诺图

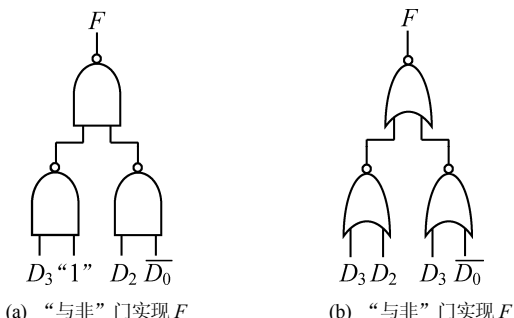
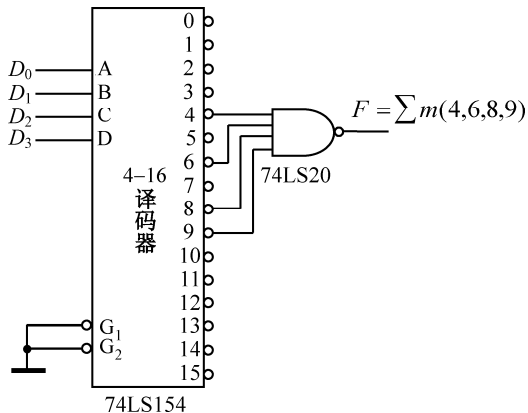
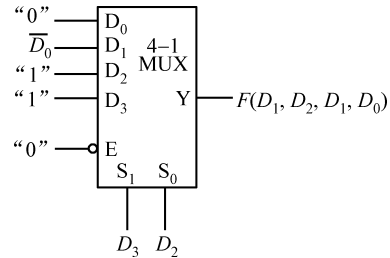


图 4.65 利用 SSI 实现函数  $F$

74LS154 是低电平输出的译码器, 它配合四 2 输入“与非”门 74LS20 可实现式 (4.43), 如图 4.66 所示。注意: “D”是最有效位, “使能”端  $G_1$ 、 $G_2$  均接“地”, 以使芯片工作。

根据式 (4.44), 用 4-1 MUX 即可实现函数  $F$ , 如图 4.67 所示。

图 4.66 用 4-16 译码器实现逻辑函数  $F$ 图 4.67 用 4-1 MUX 实现逻辑函数  $F$ 

**【例 4.27】** 三个学生同住一个宿舍，公用一盏灯。设计一个控制电路，它能保证每个学生在各自的床上都能独立地开灯、关灯。要求用 SSI 实现此控制电路。

解：(1) 确定输入、输出变量

控制电路的输入变量为  $A, B, C$ ，它们分别代表三张床上的开关。规定：变量取“1”表示开关“闭合”；变量取“0”表示开关“断开”；

控制电路的输出函数为  $F$ ，它代表电灯的状态。当  $F=1$  时，表示电灯“点亮”；当  $F=0$  时，表示电灯“熄灭”。

(2) 列真值表

首先对题意进行分析。 $A, B, C$  中任何一个开关发生动作（无论是“闭合”还是“断开”）时，电灯的状态（“点亮”或“熄灭”）都必须改变。然而每一个开关的动作，都必然会改变“闭合”开关总数的奇偶性，也就是改变输入变量  $A, B, C$  中取值为“1”的变量个数的奇偶性。例如，原先有奇数个开关“闭合”时，电灯“点亮”。当某一个开关动作后（不是“断开”就是“闭合”），“闭合”开关的总数变成偶数，此时电灯应该“熄灭”。按照上述对输入、输出变量的定义，以及它们之间关系的分析，就可以列出反映输入、输出变量之间关系的真值表。设取“1”的输入变量个数为奇数时， $F=1$ ；而取“1”的输入变量个数为偶数时， $F=0$ 。真值表如表 4.30 所示。回想在第 2 章里对“异或”运算性质的描述，不难想到，逻辑函数  $F$  实际上就是三个变量的“异或”函数。

表 4.30 灯控制电路真值表

序号	A	B	C	F
0	0	0	0	0
1	0	0	1	1
2	0	1	0	1
3	0	1	1	0
4	1	0	0	1
5	1	0	1	0
6	1	1	0	0
7	1	1	1	1

(3) 写表达式

根据真值表，就可写出函数  $F$  的标准“与或”式如下：

$$F(A, B, C) = \sum m(1, 2, 4, 7) = A \oplus B \oplus C \quad (4.45)$$

(4) 化简表达式

逻辑函数  $F$  的卡诺图如图 4.68 所示。由卡诺图可以看出，函数  $F$  不能再被进一步地化简了。

(5) 画出逻辑图

根据式 (4.45)，函数  $F$  是三变量的“异或”。因为在市场上有专门的“异或”集成逻辑门电路出售，例如 74LS86，它是四 2 输入“异或”门，所以就用此集成电路实现这个电灯控制电路，逻辑图如图 4.69 所示。

		BC <sub>in</sub>	00	01	11	10	
		A	0	0	(1)	0	(1)
		B	1	(1)	0	(1)	0

图 4.68 三变量“异或”函数的卡诺图

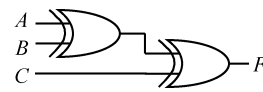


图 4.69 实现三变量“异或”的逻辑图

**【例 4.28】** 七段数码显示器由 7 个发光二极管 LED 所构成，每个发光二极管都显示数码字形的一段，如图 4.70 所示。试设计一个七段译码器，此译码器的输入是 4 位二进制数，输出是输入二进制数所对应的一位十六进制数的七段显示字形码。请选用合适的逻辑部件实现此七段译码器电路。

解：(1) 确定输入、输出变量

输入变量：4 位二进制数， $B_3B_2B_1B_0$ 。

输出函数：每一个显示段都是一个输出函数，它们分别是  $F_a$ （代表“a”显示段，后面同）、 $F_b$ 、 $F_c$ 、 $F_d$ 、 $F_e$ 、 $F_f$  和  $F_g$  共 7 个函数。 $F_a=1$ ，表示“a”段“点亮”； $F_a=0$ ，表示“a”段“熄灭”，其余逻辑函数的规定与此相同。

(2) 列真值表

规定了输入变量和输出函数之后，就可以按照二进制数及它所对应的十六进制数的七段显示字形码之间的关系列出真值表，如表 4.31 所示。表中列出了 4 位二进制数（输入变量）、七段码（输出函数）、七段显示字形及它所对应的字符。

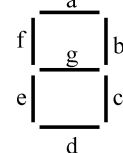


图 4.70 七段显示数码字形

表 4.31 一位十六进制数七段译码器真值表

序号	输入变量 $B_3B_2B_1B_0$	输出函数							字形	字符
		$F_a$	$F_b$	$F_c$	$F_d$	$F_e$	$F_f$	$F_g$		
0	0 0 0 0	1	1	1	1	1	1	0	0	0
1	0 0 0 1	0	1	1	0	0	0	0	1	1
2	0 0 1 0	1	1	0	1	1	0	1	2	2
3	0 0 1 1	1	1	1	1	0	0	1	3	3
4	0 1 0 0	0	1	1	0	0	1	1	4	4
5	0 1 0 1	1	0	1	1	0	1	1	5	5
6	0 1 1 0	1	0	1	1	1	1	1	6	6
7	0 1 1 1	1	1	1	0	0	0	0	7	7
8	1 0 0 0	1	1	1	1	1	1	1	8	8
9	1 0 0 1	1	1	1	1	0	1	1	9	9
10	1 0 1 0	1	1	1	0	1	1	1	A	A
11	1 0 1 1	0	0	1	1	1	1	1	b	b
12	1 1 0 0	1	0	0	1	1	1	0	C	C
13	1 1 0 1	0	1	1	1	1	0	1	d	d
14	1 1 1 0	1	0	0	1	1	1	1	E	E
15	1 1 1 1	1	0	0	0	1	1	1	F	F

(3) 写表达式

根据真值表写出各显示段函数  $F_a \sim F_g$  的最大项之积式或最小项之和式如下（以项数较少的“标准”表达式为准）：

$$F_a(B_3, B_2, B_1, B_0) = \prod M(1, 4, 11, 13) = \bar{m}_1 \cdot \bar{m}_4 \cdot \bar{m}_{11} \cdot \bar{m}_{13} \quad (4.46)$$

$$F_b(B_3, B_2, B_1, B_0) = \prod M(5, 6, 11, 12, 14, 15) = \bar{m}_5 \cdot \bar{m}_6 \cdot \bar{m}_{11} \cdot \bar{m}_{12} \cdot \bar{m}_{14} \cdot \bar{m}_{15} \quad (4.47)$$

$$F_c(B_3, B_2, B_1, B_0) = \prod M(2, 12, 14, 15) = \bar{m}_2 \cdot \bar{m}_{12} \cdot \bar{m}_{14} \cdot \bar{m}_{15} \quad (4.48)$$

$$F_d(B_3, B_2, B_1, B_0) = \prod M(1, 4, 7, 10, 15) = \bar{m}_1 \cdot \bar{m}_4 \cdot \bar{m}_7 \cdot \bar{m}_{10} \cdot \bar{m}_{15} \quad (4.49)$$

$$F_e(B_3, B_2, B_1, B_0) = \prod M(1, 3, 4, 5, 7, 9) = \bar{m}_1 \cdot \bar{m}_3 \cdot \bar{m}_4 \cdot \bar{m}_5 \cdot \bar{m}_7 \cdot \bar{m}_9 \quad (4.50)$$

$$F_f(B_3, B_2, B_1, B_0) = \prod M(1, 2, 3, 7, 13) = \bar{m}_1 \cdot \bar{m}_2 \cdot \bar{m}_3 \cdot \bar{m}_7 \cdot \bar{m}_{13} \quad (4.51)$$

$$F_g(B_3, B_2, B_1, B_0) = \prod M(0, 1, 7, 12) = \bar{m}_0 \cdot \bar{m}_1 \cdot \bar{m}_7 \cdot \bar{m}_{12} \quad (4.52)$$

#### (4) 化简表达式

如果选用 4-16 译码器配合若干 SSI 来实现函数  $F_a \sim F_g$ , 则函数表达式应为最大项之积式或最小项之和式, 究竟使用哪种表达式, 一般应以“项”数较少的标准表达式为首选。而表达式 (4.46) ~ 式 (4.52) 符合这个要求。

#### (5) 画出逻辑图

根据 7 个显示段的函数表达式 (4.46) ~ 式 (4.52), 画出用 4-16 译码器配合若干“与”门实现函数  $F_a \sim F_g$  的逻辑图, 如图 4.71 所示, 注意: “D”是最有效位。

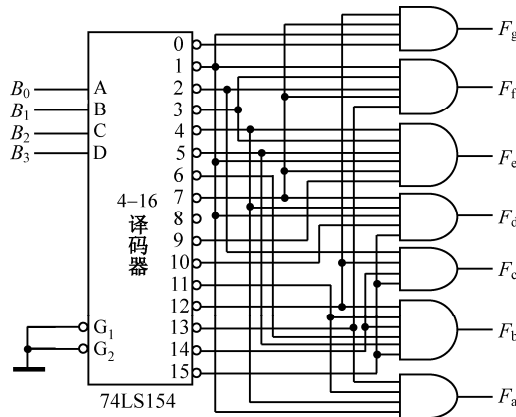


图 4.71 用 4-16 译码器与 SSI 实现一位十六进制数七段译码器

如果七段译码器的输出不是一位十六进制数的字形码, 而是一位十进制数的字形码, 则图 4.71 所示七段译码器的电路将大为简化。此时译码器的真值表如表 4.32 所示。从表中可以看出, 由于 4 位二进制数 1010~1111 不会在输入端出现, 所以它们所对应的输出函数值都是“任意”值。因此, 可将 1010~1111 视为“约束项”。如果还选用 4-16 译码器配合若干 SSI 来实现函数  $F_a \sim F_g$ , 则仍需将函数的表达式写成最大项之积式或最小项之和式, 在可能的情况下, 要选择“项”数(“或”项或“与”项)较少的表达式。按照这个原则, 根据表 4.32, 可写出函数  $F_a \sim F_g$  的逻辑表达式如下:

$$F_a(B_3, B_2, B_1, B_0) = \prod M(1, 4) \cdot \prod D(10, 11, 12, 13, 14, 15) = \bar{m}_1 \cdot \bar{m}_4 \quad (4.53)$$

$$F_b(B_3, B_2, B_1, B_0) = \prod M(5, 6) \cdot \prod D(10, 11, 12, 13, 14, 15) = \bar{m}_5 \cdot \bar{m}_6 \quad (4.54)$$

$$F_c(B_3, B_2, B_1, B_0) = M_2 \cdot \prod D(10, 11, 12, 13, 14, 15) = \bar{m}_2 \quad (4.55)$$

$$F_d(B_3, B_2, B_1, B_0) = \prod M(1, 4, 7) \cdot \prod D(10, 11, 12, 13, 14, 15) = \bar{m}_1 \cdot \bar{m}_4 \cdot \bar{m}_7 \quad (4.56)$$

$$F_e(B_3, B_2, B_1, B_0) = \sum m(0, 2, 6, 8) + \sum d(10, 11, 12, 13, 14, 15) = \overline{\bar{m}_0 \cdot \bar{m}_2 \cdot \bar{m}_6 \cdot \bar{m}_8} \quad (4.57)$$

$$F_f(B_3, B_2, B_1, B_0) = \prod M(1, 2, 3, 7) \cdot \prod D(10, 11, 12, 13, 14, 15) = \bar{m}_1 \cdot \bar{m}_2 \cdot \bar{m}_3 \cdot \bar{m}_7 \quad (4.58)$$

$$F_g(B_3, B_2, B_1, B_0) = \prod M(0, 1, 7) \cdot \prod D(10, 11, 12, 13, 14, 15) = \bar{m}_0 \cdot \bar{m}_1 \cdot \bar{m}_7 \quad (4.59)$$

根据函数  $F_a \sim F_g$  的逻辑表达式 (4.53) ~ 式 (4.59) 画出一位十进制数七段译码器的逻辑图, 如图 4.72 所示。注意: 除了函数  $F_e$  是由“与非”门构成的以外, 其余函数都是由“与”门构成的。

表 4.32 一位十进制数七段译码器真值表

序号	输入变量 $B_3 B_2 B_1 B_0$	输出函数							字形	字符
		$F_a$	$F_b$	$F_c$	$F_d$	$F_e$	$F_f$	$F_g$		
0	0 0 0 0	1	1	1	1	1	1	0	□	0
1	0 0 0 1	0	1	1	0	0	0	0	-	1
2	0 0 1 0	1	1	0	1	1	0	1	□	2
3	0 0 1 1	1	1	1	1	0	0	1	□	3
4	0 1 0 0	0	1	1	0	0	1	1	□	4
5	0 1 0 1	1	0	1	1	0	1	1	□	5
6	0 1 1 0	1	0	1	1	1	1	1	□	6
7	0 1 1 1	1	1	1	0	0	0	0	□	7
8	1 0 0 0	1	1	1	1	1	1	1	□	8
9	1 0 0 1	1	1	1	1	0	1	1	□	9
10	1 0 1 0	x	x	x	x	x	x	x	x	x
11	1 0 1 1	x	x	x	x	x	x	x	x	x
12	1 1 0 0	x	x	x	x	x	x	x	x	x
13	1 1 0 1	x	x	x	x	x	x	x	x	x
14	1 1 1 0	x	x	x	x	x	x	x	x	x
15	1 1 1 1	x	x	x	x	x	x	x	x	x

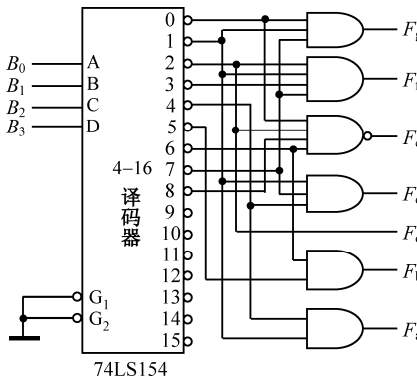


图 4.72 用 4-16 译码器与 SSI 实现一位十进制数七段译码器

到目前为止, 我们已经讨论了组合电路设计的主要问题。以上所讨论的组合逻辑设计步骤都是原理性的, 要将原理图变成真正的电路装置, 还需要进行工程设计、组装调试, 在此过程中, 还要根据实际情况对原理设计图进行必要的修正。另外, 设计的方法和步骤是非常灵活的, 图 4.57 所示的设计步骤仅仅是一个参考的设计过程。随着大规模数字集成电路和可编程逻辑器件 (CPLD 和 FPGA) 的日益普及, 所谓的最佳设计的概念也在不断地变化和更新。现在学习和研究的组合数字电路的设计方法, 正是为日后使用大规模可编程逻辑器件 CPLD 和 FPGA 设计数字电路系统打下良好的基础。

## 4.5 组合逻辑电路中的竞争与冒险现象

### 4.5.1 竞争与冒险现象及其成因

我们已经系统地讨论了组合逻辑电路的分析方法和设计方法, 但均是基于电路的输入、输出处于稳定的逻辑电平下进行的, 并未涉及输入信号发生瞬变的过程。事实上, 有两个问题不可回

避: (i) 信号在电路内部传输过程中产生延迟; (ii) 逻辑电平的转换不能突变, 即一定有一个过渡过程。

针对问题(i), 如图4.73(a)所示的电路, 若输入变量为 $A$ 、 $B$ 、 $C$ ; 输出函数为 $Y = AC + BC$ ; 当输入变量 $A = B = 1$ 时, 输出则为 $Y = C + \bar{C} = 1$ , 即无论输入变量 $C$ 如何变化, 输出 $Y$ 恒为高电平。事实上, 因为各种门电路均有传输延迟, 在时序波形图中, 当 $C$ 由高电平变低电平时, 输出 $Y$ 的波形上出现了一个负脉冲, 如图4.73(b)所示。这种由于输入信号沿不同路径传输, 而后到达电路中某一会合点的时间先后不一的现象被称为**竞争**。由于竞争所产生的错误输出是一个宽度很窄的尖峰脉冲, 人们形象地称其为“毛刺”。这种由于竞争而导致逻辑电路瞬时出现错误输出的现象被称为**冒险**。

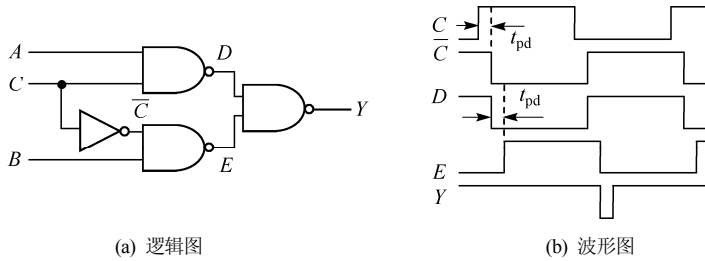


图4.73 竞争示意图

针对问题(ii), 如图4.74所示的情况, 当一个逻辑门的两个输入信号同时向相反的逻辑电平跳变时, 例如图4.74(a)中的“或门”电路, 若输入信号 $A$ 从1变为0, 同时 $B$ 从0变为1, 那么在 $A$ 下降到 $U_T$ 时 $B$ 尚未上升到 $U_T$ , 在这一短暂的时间 $\Delta t$ 内将会出现输入信号 $A$ 和 $B$ 同时低于 $U_T$ 的状态, 于是在输出端也有可能出现尖峰脉冲, 即电压毛刺简称“毛刺”。也就是说, 由于过渡过程的不同也将产生竞争。

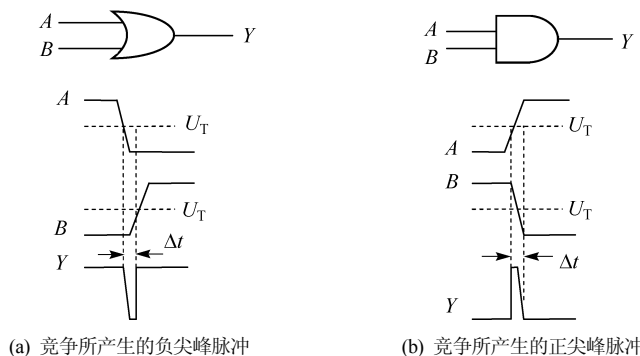


图4.74 由于竞争所产生的尖峰脉冲

对于图4.74(b)中“与门”的情况可如上分析。

在数字系统中, 无论是正尖峰脉冲或负尖峰脉冲, 均属于“毛刺”, 若后一级电路对脉冲信号敏感时, 其“毛刺”就有可能使系统输出错误, 导致负载电路发生误操作。因此, 设计时应采取措施避免冒险现象的发生。

需要说明的是, 并非所有的竞争都会产生冒险, 在图4.74(a)所示的电路中, 若输入信号 $A$ 下降到 $U_T$ 之前输入信号 $B$ 已经上升到 $U_T$ 之上了, 在输出端就不会产生尖峰脉冲。总之, 竞争是经常发生的, 但不一定都会产生“毛刺”。可是一旦出现“毛刺”, 就有可能对负载电路发生影响。

### 4.5.2 冒险现象的类型及识别

#### 1. 代数判别法

一个变量若以原、反变量出现在逻辑函数中，认为该变量是具有竞争条件的变量，如图 4.75 中 C 的变量。当令其他变量为 1 或为 0 时，函数出现  $Y = C + \bar{C} = 1$ ，这时会产生负尖峰脉冲的冒险现象，称其为“0”型冒险；若函数出现  $Y = C \cdot \bar{C}$ ，将产生正尖峰脉冲，称其为“1”型冒险。

**【例 4.29】** 判断逻辑函数  $Y = A\bar{C} + \bar{A}B + \bar{A}\bar{C}$  是否存在冒险现象。

解：画出该函数的逻辑图，如图 4.75 所示，可知变量 A 和 C 到达“或”门均有两条路径，两条路径所用的时间不同，因此，变量 A 和 C 在到达“或”门时都会产生竞争，而变量 B 则不会产生竞争现象。

若令  $B = 1, C = 0$ ，则有  $Y = A + \bar{A}$ ，所以，A 变量可以引起冒险现象。而 C 变量虽然具有竞争能力，却始终不会产生冒险现象。

#### 2. 卡诺图判别法

在卡诺图中，如果两个卡诺圈相切，并且相切处又未被其他卡诺圈包围，则有可能发生冒险现象。如图 4.76 所示，在  $\bar{AC}$  与  $\bar{AB}$  处两个卡诺圈相切，故在  $B = 1, C = 0$  时，当 A 发生变化时，就有可能发生冒险现象。

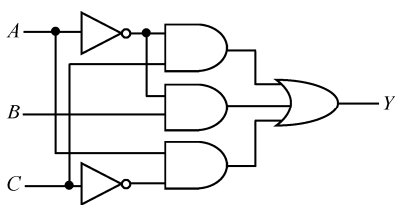


图 4.75 逻辑图

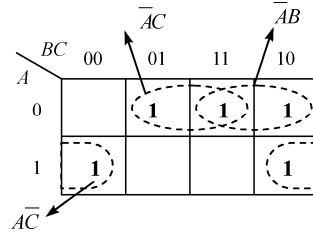


图 4.76 卡诺图

#### 3. 计算机辅助分析法

以上两种判别法虽然简单，却存在相当大的局限性。两个以上输入变量同时变化所引起的功能冒险是难以奏效的。

计算机辅助分析法是通过在计算机上运行数字电路的模拟程序，迅速地检查出电路中可能出现的冒险现象。当今，已有该类成熟的计算机程序可供选用。

虽然用计算机辅助分析法能较好地发现复杂数字电路中的竞争-冒险现象，可是由于计算机软件设计均采用的是标准化的典型参数，在某些地方还不可避免地采用了近似。所以，用计算机模拟的数字电路工作状况与实际情况必定存在差异，因而，发现竞争-冒险现象的最佳方法还是实验法。

#### 4. 实验判别法

实验判别法是利用示波器或逻辑分析仪仔细观察在输入信号各种变化情况下的输出信号，若发现“毛刺”则分析原因，并加以消除。实验判别法是最有效的方法，也是最终的检查结果。

### 4.5.3 冒险现象的排除

当数字逻辑电路存在冒险现象时，就有可能对电路的正常工作产生影响。这时，有必要采用如下几种方法消除冒险现象。

### 1. 接入滤波电路

如果竞争-冒险而产生的“毛刺”很窄，其宽度可以和逻辑门的传输时间相比拟，这时只要在输出端直接并联一个很小的滤波电容  $C$ ，或在本级电路的输出端与下级电路的输入端之间串联一个积分电路，如图 4.77 所示，就足以把“毛刺”的幅度削弱至逻辑门的阈值电压之下。

此方法虽然简单易行，但  $C$  或  $R$ 、 $C$  的引入将会增加输出电压波形的上升时间和下降时间，从而导致输出电压波形变斜，故应选择合适的  $R$ 、 $C$  参数，即由实验来确定。

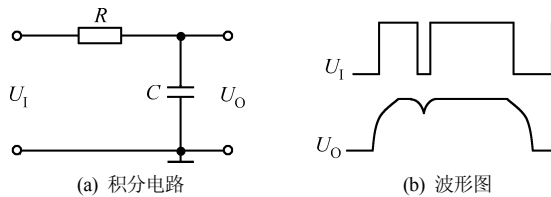


图 4.77 接入滤波电路排除冒险

### 2. 引入选通信号

如果“毛刺”仅发生在输入信号变化的瞬间，可在组合逻辑电路中引入选通脉冲，其作用是：电路在输入信号变化时令其处于禁止状态，待输入信号稳定后，才令选通信号有效，继而使电路输出正常结果。此法简单且有效，但需要注意的是，选通信号作用的时间、极性及选通脉冲的宽度一定要合适。图 4.78 所示的电路就是引入选通信号消除冒险现象的一个例子，切记，这时输出波形将变成与选通信号宽度相同的脉冲信号。

### 3. 增加冗余项

在逻辑表达式中添加冗余项，以便消除冒险现象。

**【例 4.30】** 判断逻辑函数  $Y = AC + B\bar{C}$  是否存在冒险现象，若存在试消除之。

解：画出该逻辑函数的卡诺图，如图 4.79 所示，这种情况下，两个卡诺圈  $AC$ 、 $B\bar{C}$  相切，而且相切处又未被其他卡诺圈包围，即有可能发生冒险现象。另外从逻辑函数表达式可知，当  $A = B = 1$  时， $Y = C + \bar{C} = 1$ ，如果  $C$  改变状态时，则存在竞争冒险。

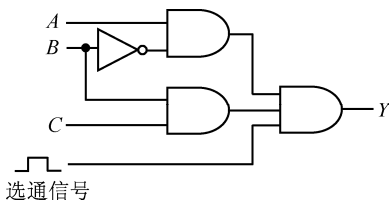


图 4.78 引入选通信号消除冒险现象

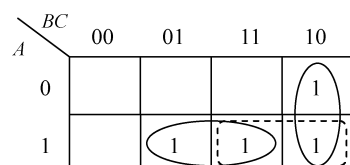


图 4.79 用卡诺图识别和消除冒险

这时只要在其卡诺图中两个卡诺圈相切处增加一个卡诺圈，如图 4.79 中虚线圈所示，就可消除逻辑冒险。

根据逻辑代数式：

$$Y = AC + B\bar{C} + AB$$

也可看出，在增加了冗余项  $AB$  后，当  $A = B = 1$  时，无论  $C$  如何变化，输出始终保持  $Y = 1$ ，即已消除了逻辑冒险。

在化简逻辑函数时，冗余项通常会被舍去，为了保证逻辑电路工作的可靠性，又需要增加冗余项。因而说明，最简化设计并不一定是最可靠的设计。

以上三种消除冒险现象的方法各有特点：增加冗余项的方法简便，但适用范围有限，不能用于多输入变量及较复杂的电路；接入滤波电路是实验调试阶段常采用的应急措施，但输出电压的波形会随之变形，仅能用于对输出波形前、后沿要求不高的电路；引入选通信号则是当前比较而言最行之有效的方法，因为现在绝大多数中规模集成电路均备有选通控制端，为引入选通信号提供了便利条件，但要求选通脉冲与输入信号同步，而且对选通脉冲的宽度、极性和作用时间均有严格的要求。

## 小结

这一章讨论的主题是数字电路的一个大类——组合逻辑电路。首先说明什么是组合逻辑电路，进而阐述了组合逻辑电路的特点——输出到输入无反馈，电路无记忆且输出信号即时响应输入信号的数字逻辑电路。

实用中经常使用的组合逻辑电路是：编码器、译码器、加法器、数值比较器及数据选择器和数据分配器。半导体制造厂商已经将这些常用的组合逻辑电路制成集成电路模块供设计者选用，因此掌握这些常用组合逻辑电路的工作原理及相应的集成电路模块的外部特性——功能表就显得十分必要了。

用二进制代码来表示某一事物的过程叫做编码，完成这一过程的数字电路就叫编码器。一般而言，编码器的输入端个数要多于输出端的个数。译码器的工作过程正好与编码器相反，它是将代表某一事物的二进制代码“翻译”成该事物。于是，译码器的输入端个数一般要少于输出端的个数。从广义的角度看，无论是编码器还是译码器，它们都是将某种码制转换为另一种码制，因此从这个意义上讲，编码器和译码器属于同一类电路，可以将它们统称为“译码器”。

一位（一比特）加法器有半加器和全加器之分。半加器只有两个输入端——“被加数”和“加数”；而全加器却有三个输入端——“被加数”、“加数”和“下一位对本位的进位”。半加器和全加器都有两个输出端——“和”与“本位对上一位的进位”。多位加法器是以一位加法器为基础而形成的。

数值比较器的功能是比较两个二进制数的大小。与加法器类似，多位数值比较器也是以一位数值比较器为基础而形成的。

数据选择器和数据分配器是一对功能正好相反的组合逻辑电路。数据选择器完成从多路输入数字信号中选择一路信号进行输出的功能。究竟选择哪一路输入信号作为输出信号，则由二进制代码信号控制，所以数据选择器就是一个受二进制代码信号控制的“多入一出”单刀多掷的数字信号转换开关。而数据分配器则完成将一路输入数字信号按二进制代码信号的控制有选择地分配到多个输出端上的功能。因此它相当于一个受二进制代码信号控制的“一入多出”单刀多掷的数字信号转换开关。

第2章里所介绍的布尔代数是分析和设计组合逻辑电路的有力的数学工具，这一点要归功于香农所做出的杰出贡献。分析组合电路与设计组合电路是两个互逆的过程，分析是设计的基础。

分析组合逻辑电路的大致过程是：由给定的逻辑图确定输入变量和输出函数，然后根据逻辑图列出输出函数相对于输入变量的逻辑表达式和真值表。如果电路较为复杂，则可设置适当的中间变量作为过渡。至于先写表达式还是先列真值表，则要视具体情况而定。根据真值表可推断出组合电路的逻辑功能，并可根据给定的输入信号波形画出输出信号波形。

设计（综合）组合逻辑电路的大概过程是：根据给定实际问题的文字描述确定输入逻辑变量和输出逻辑函数，并用逻辑“0”和逻辑“1”分别赋予这些变量和函数以实际的意义。然后按照给定问题的文字描述和所确定的输入变量和输出函数列写真值表。以上步骤称为逻辑模型的建立，它在设计组合逻辑电路的过程中是最关键也是较为困难的一步。然而，后续的步骤就显得相当规范而且简单。根

据列写出的真值表可写出输出函数的逻辑表达式(最小项之和式或最大项之积式),并按要求化简成所需要的最简形式。最后按照最简逻辑表达式画出逻辑图。可用小规模集成电路(SPI)来实现逻辑图所示的组合电路。

译码器和多路选择器中都含有一个“最小项发生器”,而任何一个逻辑函数的表达式都可以写成最小项之和的形式。根据这两点就可以利用译码器和多路选择器实现逻辑函数。译码器和多路选择器均属于中规模集成电路(MSI)的范畴。

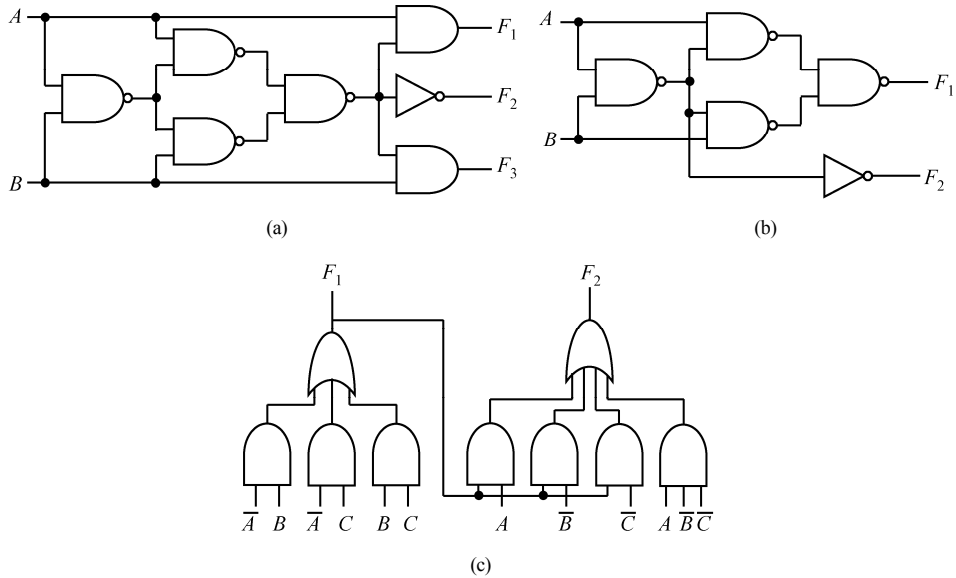
一个译码器配以适当的门电路可实现多个逻辑函数。但是逻辑函数中的自变量个数不能多于译码器输入二进制代码的位数。

一个数据选择器只能实现一个逻辑函数。逻辑函数中自变量的个数可以小于、等于或大于数据选择器二进制代码控制信号的位数。但是在最后一种情况下,需要用适当的门电路配合数据选择器来实现逻辑函数。

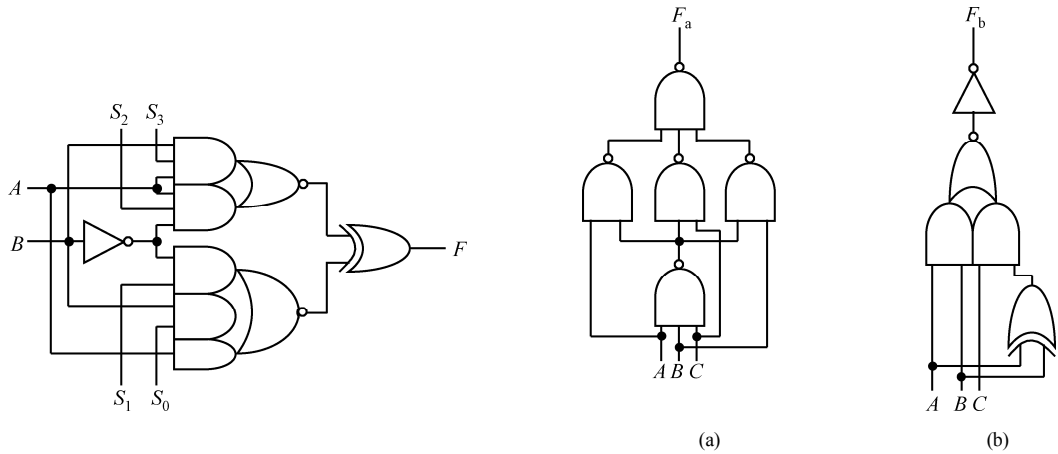
本章最后还讨论了组合逻辑电路中的竞争与冒险现象。分析了竞争形成的机制和产生冒险的原因,同时给出了识别和消除冒险现象的几种方法。

## 习 题

- 4-1 组合逻辑电路有什么特点?
- 4-2 组合逻辑电路的输出逻辑量(函数)与输入逻辑量(自变量)的关系如何?
- 4-3 通常用哪几种方法来描述组合逻辑电路?
- 4-4 常用的集成组合逻辑电路部件都有哪些?
- 4-5 设计一个编码器,输入是表示一位十进制数的状态信号,输出为余3循环码,用“与非”门实现。
- 4-6 试用8-3线优先级编码器74LS148组成32-5线优先编码器。
- 4-7 试用3-8线译码器74LS138组成一个1-8线数据分配器。
- 4-8 试用4个8421BCD/十进制译码器和一个2-4线译码器实现5-32线译码器(译码器输出为低电平有效)。
- 4-9 设计一个5-32线译码器,所用的集成电路模块只能是3-8线译码器。设这些3-8线译码器都具有一个低电平有效的使能输入端 $\bar{E}_1$ 和一个高电平有效的使能输入端 $E_2$ 。
  - 4-10 试将8-1MUX扩展成16-1MUX。
  - 4-11 试用4位比较器74LS85实现11位数码比较。
  - 4-12 试用2-4线译码器(输出低有效)和2输入“与非”门实现一位数码比较器。
  - 4-13 试用4位加法器74LS283和门电路构成8位二进制数的求补电路。
  - 4-14 用4位加法器74LS283实现下述电路:
    - (1) 8421BCD码至余3BCD码的转换器;
    - (2) 余3BCD码至8421BCD码的转换器;
    - (3) 4位全减器。
  - 4-15 试分析图题4-15所示各电路的逻辑功能。列出真值表,写出函数表达式。
  - 4-16 图题4-16所示为一个多功能逻辑运算电路,图中 $S_3$ 、 $S_2$ 、 $S_1$ 、 $S_0$ 为控制输入端。试列表说明该电路在 $S_3$ 、 $S_2$ 、 $S_1$ 、 $S_0$ 的各种取值组合下 $F$ 与 $A$ 、 $B$ 的逻辑关系。
  - 4-17 图题4-17所示为两个报警电路,图(a)输出高电平表示有警情,图(b)输出低电平表示有警情。试分别求出两电路的报警条件。列出真值表,写出函数表达式。
  - 4-18 图题4-18所示为由多输出函数 $F_1$ 、 $F_2$ 、 $F_3$ 经整体化简后所得的逻辑图。它共有10个门,32个输入端。试:
    - (1) 按图写出 $F_1$ 、 $F_2$ 、 $F_3$ 的“与或”表达式;



图题 4-15

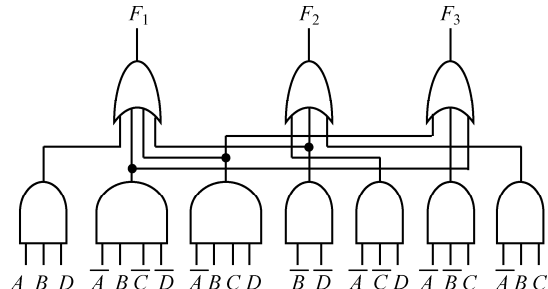


图题 4-16

图题 4-17

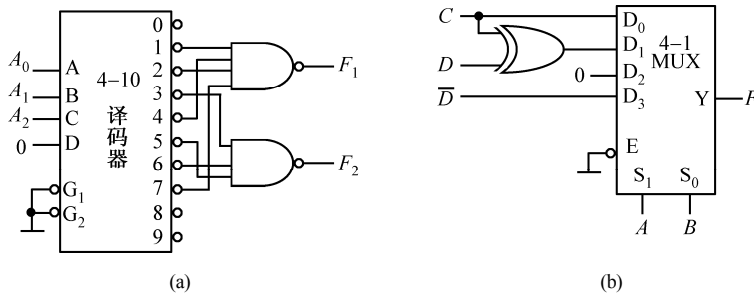
(2) 用卡诺图化简法分别求出  $F_1$ 、 $F_2$ 、 $F_3$  的最简“与或”式并画出相应的逻辑图；

(3) 比较分别化简和整体化简两种结果，说明多输出函数的化简原则。



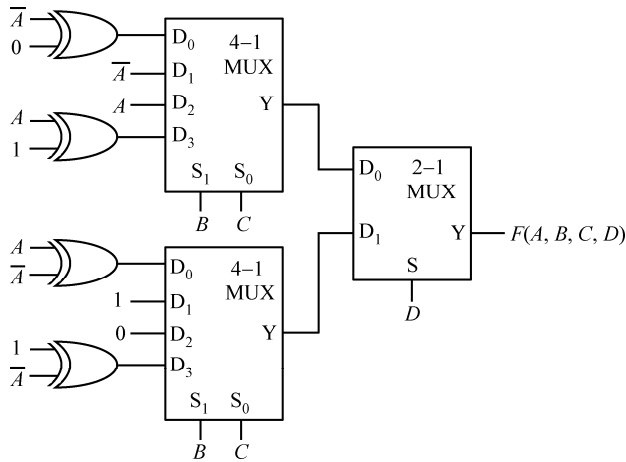
图题 4-18

4-19 试分析图题 4-19 所示电路的逻辑功能。列出真值表，写出函数表达式。



图题 4-19

4-20 写出图题 4-20 所示逻辑电路输出函数的最小项之和式与最大项之积式。



图题 4-20

4-21 写出图题 4-21 所示逻辑电路输出函数的最小项之和式与最大项之积式。

4-22 只用一个 4-16 线译码器 74LS154 集成电路模块和若干输出门电路分别实现下列两组逻辑函数 (“与非”门或“与”门电路的选择以输入端数最少为原则)。

$$(1) F_1(A, B, C, D) = \sum m(2, 4, 10, 11, 12, 13)$$

$$F_2(A, B, C, D) = \prod M(0, 1, 2, 3, 6, 7, 8, 9, 12, 14, 15)$$

$$F_3(A, B, C, D) = \bar{B}C + \bar{A}\bar{B}D$$

$$(2) F_1(A, B, C, D) = \sum m(0, 1, 7, 13)$$

$$F_2(A, B, C, D) = \prod M(0, 1, 2, 5, 6, 7, 8, 9, 11, 12, 15)$$

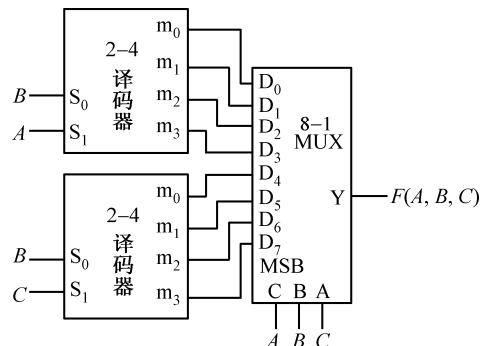
$$F_3(A, B, C, D) = ABC\bar{C} + ACD$$

(3) 将三个函数变为它们的补函数，重做(1)部分。

(4) 将三个函数变为它们的补函数，重做(2)部分。

4-23 重做例 4.18，要求：

(1) 选择  $B$ 、 $C$  输入端作为变量  $X$  和  $Y$  的输入，画出连线图；



图题 4-21

(2) 选择  $A$ 、 $C$  输入端作为变量  $X$  和  $Y$  的输入, 画出连线图。

4-24 用 MUX 和若干门电路 (如果需要的话) 实现下列各逻辑函数。

$$(1) F(A, B, C) = (\bar{A} + B)(A + B + \bar{C})(\bar{A} + C)$$

$$(2) F(A, B, C, D) = B\bar{C} + \bar{B}CD + \bar{A}\bar{C}\bar{D} + \bar{A}\bar{B}D$$

$$(3) F(A, B, C) = \sum m(0, 2, 4, 5, 7)$$

$$(4) F(A, B, C, D) = \sum m(2, 3, 4, 5, 8, 9, 10, 11, 14, 15)$$

$$(5) F(A, B, C) = \prod M(0, 1, 4, 5, 6)$$

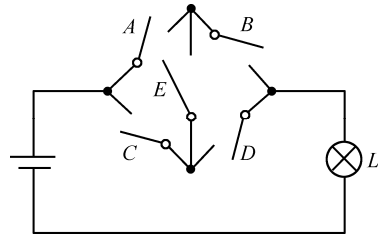
$$(6) F(A, B, C, D) = \prod M(1, 2, 5, 7, 11, 13, 15)$$

要求: (a) 用 16-1 线数据选择器 74150 实现;

(b) 用 8-1 线数据选择器 74LS151 实现;

(c) 用 4-1 线数据选择器 74 LS153 实现。

4-25 试求图题 4-25 所示电路中灯  $L$  与开关  $A$ 、 $B$ 、 $C$ 、 $D$ 、 $E$  间的逻辑关系表达式。



图题 4-25

4-26 试设计一个组合电路。输入为 4 位二进制码  $DCBA$ , 当  $DCBA$  所对应的十进制数为 0 或 2 的整次幂时, 电路输出  $F=1$ , 其余情况下  $F=0$ 。用两级“与非”门实现。

4-27 设计一个三人表决电路, 以简单多数的原则来确定决议是否通过。

4-28 试设计一个组合电路。该电路接收两个三位二进制数  $A = A_2A_1A_0$ ,  $B = B_2B_1B_0$ , 只有当  $A > B$  时, 电路输出  $F=1$ 。

4-29 设计一个 8 位二进制码的奇偶校验电路。当 8 位二进制码中包含偶数个“1”时, 输出为“1”, 否则输出为“0”。用“异或”门实现。

4-30 某组合电路有三个输入端  $A$ 、 $B$ 、 $C$  和一个输出端  $F$ 。当三个输入端中只有一个输入为“1”时, 输出  $F=1$ , 否则输出  $F=0$ 。用“与非”门实现该电路。

4-31 我们希望设计一个组合逻辑电路, 它有 4 个输入端  $A$ 、 $B$ 、 $C$  和  $D$  与一个输出端  $F$ 。当电路输入端中的多数为高电平时, 电路的输出端才为高电平, 否则输出为低电平。用“或非”门实现此逻辑电路。

4-32 一个逻辑电路有 4 个输入端  $A$ 、 $B$ 、 $C$  和  $D$ 。它的输出端仅在有奇数个输入端为高电平时才为高电平。用 8-1 线数据选择器 74LS151 实现之 (可适当配以一些门电路)。

4-33 某电路有 4 个输入端  $A$ 、 $B$ 、 $C$  和  $D$ , 它们表示一个 4 位二进制数, 其中,  $A$  为最高有效位,  $D$  为最低有效位。只有在二进制输入小于  $(0111)_2 = (7)_{10}$  时, 电路的输出才为高电平。用 4-1 线数据选择器 74LS153 实现之 (可适当配以一些门电路)。

4-34 设计一个组合电路。此电路的输入是 8421BCD 码  $DCBA$ , 当  $DCBA$  的等效十进制数能被 3 整除时, 该电路的输出  $F=1$ , 否则  $F=0$ 。用“与或非”门实现。

4-35 某组合逻辑电路输入端接收的是两种一位 BCD 码信号。这两种 BCD 码信号分别是 5421BCD 码和余 3 循环 BCD 码。该电路的输出只有在输入 BCD 码信号所代表的十进制数是奇数时才是高电平。用一片双 4-1 线数据选择器 74LS153 实现 (可适当配以一些门电路)。

4-36 用双 2-4 线译码器 74LS139 和若干“与非”门或“或”门实现一位全加器。

4-37 设计一个减法器, 它可以完成两个 2 位二进制数的减法运算。设: 被减数为  $X_1X_0$ , 减数为  $Y_1Y_0$ , 差为  $D_1D_0$ , 借位是  $B_1$ 。减法竖式如下:

$$\begin{array}{r} X_1 X_0 \\ - Y_1 Y_0 \\ \hline B_1 D_1 D_0 \end{array}$$

用3-8线译码器74LS138实现(可适当配以一些门电路)。

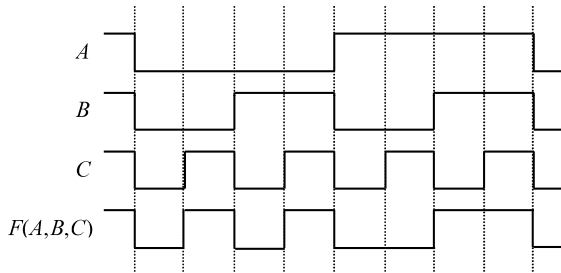
4-38 仿照题4-37, 设计一个乘法器。它可实现两个2位二进制数的乘法运算。要求:

- (1) 用全加器和“与”门实现;
- (2) 用“与非”门实现;
- (3) 用译码器集成电路74LS154和若干门电路实现;
- (4) 用MUX集成电路74LS139和若干门电路实现。

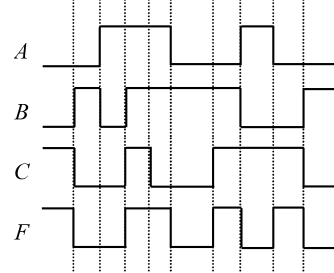
4-39 设计一个指示灯控制电路,用来指示三台设备的工作情况:三台设备都正常工作时绿灯亮;其中一台有故障时黄灯亮;两台设备同时发生故障时红灯亮;三台设备全有故障时,红灯和黄灯一起亮。用“或非”门或“异或”门实现。

4-40 图题4-40所示为某个组合逻辑电路的三个输入端A、B、C和一个输出端F的波形图。试用最少的“与非”门实现此组合逻辑电路。

4-41 已知某组合电路的输入/输出波形如图题4-41所示,其中A、B、C为输入波形,F为输出波形。试用最少的“或非”门实现。



图题4-40



图题4-41

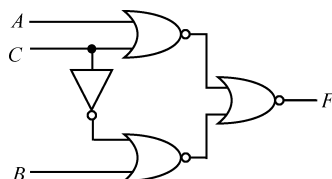
4-42 设计一个具有多输出函数的组合网络。该网络有两个输入信号 $X_1$ 和 $X_0$ ,两个控制信号 $C_1$ 和 $C_0$ ,以及两个输出函数 $F_1$ 和 $F_0$ 。控制信号对输出函数的影响由表题4-42所示。

表题4-42

序号	$C_1$	$C_0$	$F_1$	$F_0$
0	0	0	0	0
1	0	1	$X_1$	0
2	1	0	0	$X_0$
3	1	1	$X_1$	$X_0$

例如:当 $C_1=1$ 且 $C_0=0$ 时, $F_1(X_1, X_0, C_1, C_0)=0$ 而 $F_0(X_1, X_0, C_1, C_0)=X_0$ 。请选择合适的SSI或MSI实现此组合逻辑网络。

4-43 试分析图题4-43所示电路的竞争冒险现象。画出在 $A=B=0$ 的情况下,C由“0”变为“1”、再由“1”变为“0”时的各级波形。设门电路的传输延迟时间为 $t_{pd}$ 。说明在什么情况下会产生毛刺,应如何消除。



图题4-43

# 第5章 锁存器与触发器

第4章中所介绍的组合电路有一大特点，就是电路的输出只与当时的输入有关，而与电路的输入历史无关，也就是说，组合电路没有记忆功能。而在计算机等数字系统中，记忆功能是必不可少的。本章介绍数字系统中的基本记忆元件——锁存器和触发器。

## 5.1 基本 RS 锁存器

### 5.1.1 电路结构

图 5.1(a)所示为由两个与非门组成的基本 RS 锁存器 (RS Latch) 电路，图 5.1(b)为图 5.1(a)的逻辑符号。该电路有两个输入  $\bar{S}$  和  $\bar{R}$  (注意： $\bar{S}$ 、 $\bar{R}$  是两个输入变量，不是  $S$ 、 $R$  的反)，两个输出  $Q$  和  $\bar{Q}$ 。与组合电路不同的是，两个门的输出交叉反馈到输入端。

由图 5.1(a)可见，门 1 的输出  $Q$  除与其输入  $\bar{S}$  有关外，还与门 2 的输出  $\bar{Q}$  有关；同理，门 2 的输出  $\bar{Q}$  除与其输入  $\bar{R}$  有关外，还与门 1 的输出  $Q$  有关。锁存器和后面要讲的触发器电路中规定  $Q$  与  $\bar{Q}$  必须互补，也就是说，二者既不能同时为 0，也不能同时为 1，以免引起逻辑混乱。 $Q$  端的逻辑值称为锁存器的状态：如果  $Q=1$ ，称锁存器的状态为 1；如果  $Q=0$ ，则称锁存器的状态为 0。

### 5.1.2 功能分析

由图 5.1(a)所示电路，根据不同的输入情况可分下列 4 步分析。

(1) 当  $\bar{S}=\bar{R}=0$  时，由图 5.1(a)可知，此时  $Q=\bar{Q}=1$ 。由于  $Q$  与  $\bar{Q}$  必须互补，所以这种情况不允许出现。使用时应该保证满足  $\bar{S}+\bar{R}=1$  这一约束条件。

(2) 当  $\bar{S}=0$ ， $\bar{R}=1$  时，由图 5.1(a)可得，此时  $Q=1$ ；而由  $\bar{R}=1$ ， $Q=1$  可得  $\bar{Q}=0$ 。此时锁存器的状态为  $Q=1$ 。

(3) 当  $\bar{S}=1$ ， $\bar{R}=0$  时，由图 5.1(a)可知，此时  $\bar{Q}=1$ ；而  $\bar{S}=1$ ， $\bar{Q}=1$  将导致  $Q=0$ 。此时锁存器的状态为  $Q=0$ 。

(4) 当  $\bar{S}=1$ ， $\bar{R}=1$  时，由图 5.1(a)可知，若此时  $Q=0$ ，则  $\bar{Q}=\overline{\bar{R}\cdot Q}=1$ ；而  $Q=\overline{\bar{S}\cdot \bar{Q}}=0$ ，此时锁存器状态保持为 0；若此时  $Q=1$ ，则  $\bar{Q}=\overline{\bar{R}\cdot Q}=0$ ；而  $Q=\overline{\bar{S}\cdot \bar{Q}}=1$ ，此时锁存器状态保持为 1。可见当  $\bar{S}=1$ ， $\bar{R}=1$  时，锁存器状态保持不变。

结论：当  $\bar{S}=\bar{R}=0$  时，不允许；

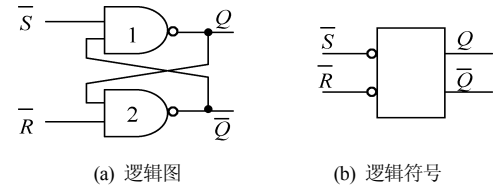


图 5.1 基本 RS 锁存器

- 当  $\bar{S}=0, \bar{R}=1$  时,  $Q=1$ ;  
 当  $\bar{S}=1, \bar{R}=0$  时,  $Q=0$ ;  
 当  $\bar{S}=1, \bar{R}=1$  时,  $Q$  保持不变。

### 5.1.3 功能描述

由于锁存器的输出除与输入有关外, 还与输出有关, 所以它的描述方法与组合电路不同, 下面介绍它的各种描述方法。

#### 1. 状态转换表

根据 5.1.2 节的分析, 可以得到表 5.1 所示的 **状态转换表**, 该表表明输入值和现在的状态  $Q^n$  (现态, Present State) 共同确定下一时刻的状态  $Q^{n+1}$  (次态, Next State), 即 **次态是输入和现态的函数**, 即  $Q^{n+1}=F(\bar{S}, \bar{R}, Q^n)$ 。

比较状态转换表与描述组合逻辑的真值表: 锁存器的现态  $Q^n$  出现在表的左侧, 而次态  $Q^{n+1}$  出现在表的右侧。

注意:  $Q^n$ 、 $Q^{n+1}$  是同一个  $Q$  在不同时刻的状态, 是一个变量。

#### 2. 状态转换方程

根据表 5.1, 可画出图 5.2 所示的  $Q^{n+1}$  的卡诺图, 状态表中不允许出现的项在卡诺图中作为无关项处理。由图 5.2 可得到基本 RS 锁存器的 **状态转换方程** (简称 **状态方程**, 又称为 **特征方程**) 如式 (5.1) 所示。该式表明: 当  $\bar{S}=0$ , 或当  $\bar{R} \cdot Q^n=1$  时, 有  $Q^{n+1}=1$ 。

表 5.1 基本 RS 锁存器的状态转换表

序号	$\bar{S}$	$\bar{R}$	$Q^n$	$Q^{n+1}$
0	0	0	0	不允许
1	0	0	1	不允许
2	0	1	0	1
3	0	1	1	1
4	1	0	0	0
5	1	0	1	0
6	1	1	0	0
7	1	1	1	1

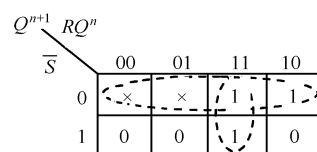


图 5.2  $Q^{n+1}$  的卡诺图

$$\begin{cases} Q^{n+1} = \bar{S} + \bar{R}Q^n \\ \bar{S} + \bar{R} = 1 \quad (\text{约束条件}) \end{cases} \quad (5.1)$$

注意: 此处  $\bar{S}$ 、 $\bar{R}$  是逻辑变量,  $\bar{\bar{S}}$  是  $\bar{S}$  的反, 不能将其写为  $S$ !

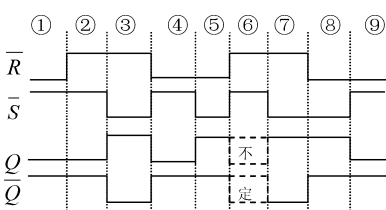


图 5.3 基本 RS 锁存器的时序图

#### 3. 时序图

图 5.3 所示为给定  $\bar{S}$ 、 $\bar{R}$  时  $Q$  和  $\bar{Q}$  的波形, 假定  $Q$  的初始状态为 0, 以下分析锁存器的输出波形。

分析时将  $\bar{S}$ 、 $\bar{R}$  的输入分为 9 段, 每段的  $\bar{S}$ 、 $\bar{R}$  都不变, 如图 5.3 所示。参考表 5.1 或式 (5.1) 可得图 5.3 所示的结果。第①段:  $\bar{S}=1, \bar{R}=0$ , 参考表 5.1 可知, 此时  $Q=0, \bar{Q}=1$ ;

第②段:  $\bar{S}=1$ ,  $\bar{R}=1$ , 此时锁存器状态保持不变, 输出仍为第①段时的  $Q=0$ ,  $\bar{Q}=1$ , 基本 RS 锁存器的“记忆功能”只体现在这种情况时; 第③段:  $\bar{S}=0$ ,  $\bar{R}=1$ , 由表 5.1 可知, 此时锁存器的状态为 1; 第④段:  $\bar{S}=1$ ,  $\bar{R}=0$ , 锁存器输出状态为 0; 第⑤段: 此时  $\bar{S}=0$ ,  $\bar{R}=0$ , 不满足式 5.1 的约束条件。由图 5.1(a)可知, 此时  $Q=\bar{Q}=1$ , 不符合  $Q$  与  $\bar{Q}$  必须互补的要求; 第⑥段: 此时  $\bar{S}$  与  $\bar{R}$  同时由第⑤段的 0 变为 1, 我们知道此种组合为保持锁存器状态不变。但它究竟保持  $Q=1$  还是保持  $\bar{Q}=1$ ? 这取决于图 5.1(a)中门 1 和门 2 的延迟时间  $t_{pd1}$  和  $t_{pd2}$ 。若  $t_{pd1} > t_{pd2}$ , 则门 2 的延时短,  $\bar{Q}=Q \cdot \bar{R}$ , 先行由 1 变为 0, 而  $\bar{Q}=0$  就使  $Q=1$ ; 同理, 若  $t_{pd1} < t_{pd2}$ , 则会使  $\bar{Q}=1$ ,  $Q=0$ 。由于每个门的延迟时间都不一样, 所以当  $\bar{S}$  与  $\bar{R}$  同时由 0 变为 1 时, 锁存器的次态无法预测, 可能是 0, 也可能是 1。因此在图 5.3 中第⑥段的输出  $\bar{Q}$  和  $Q$  都标以“不定”。第⑦、⑧、⑨段读者可自行分析, 结果示于图 5.3 中。

#### 4. 状态转换驱动表和驱动方程

表 5.2 基本 RS 锁存器的状态转换驱动表

状态转换表是给定输入和现态, 求次态; 而状态转换驱动表则是已知由现态  $Q^n$  转换到次态  $Q^{n+1}$ , 求驱动函数(输入函数、激励函数)  $\bar{S}$ 、 $\bar{R}$ 。由表 5.1 可得基本 RS 锁存器的状态转换驱动表, 如表 5.2 所示。此表表明, 若锁存器输出由 0 到 0 保持不变, 则只要输入  $\bar{S}=1$ , 而  $\bar{R}$  任意即可; 其他类似。

由状态转换驱动表, 利用卡诺图可得到驱动方程, 结果

$$\begin{cases} \bar{S} = \bar{Q}^{n+1} \\ \bar{R} = Q^{n+1} \end{cases} \quad (5.2)$$

读者可利用卡诺图自行推导。

#### 5. 状态转换图

图 5.4 所示为基本 RS 锁存器的**状态转换图**。图中用圆圈表示锁存器的状态, 如图中的**状态 0** 和**状态 1**; 用箭头的起点表示现态, 用箭头的终点表示次态, 箭头上所标的输入为由现态转换到次态的条件,  $\times$  表示任意输入值。由图 5.4 可见, 它完整地描述了 RS 锁存器的功能: 由状态图可知由任一状态到任一状态的输入条件, 或者给定初态和输入时可由状态图决定次态。

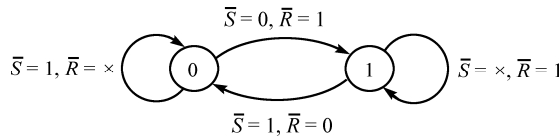


图 5.4 基本 RS 锁存器的状态转换图

#### 6. 逻辑符号

图 5.1(b)所示为基本 RS 锁存器的逻辑符号, 用它表示图 5.1(a)所示的电路可使电路的功能更加简单明了。逻辑符号清楚地表明了锁存器的输入和输出。注意, 图中输入端  $\bar{S}$ <sup>①</sup>、 $\bar{R}$  处有一个小圆圈, 它表明  $\bar{S}$  为“0”时锁存器置 1,  $\bar{R}$  为“0”时锁存器置 0, 即所谓“低有效”, 表明该信号为低电平时

①  $S$  为 Set 的缩写, 表明该信号有效时将锁存器置 1, 又称为置位;  $R$  为 Reset 的缩写, 表明该信号有效时将锁存器置 0, 又称为清零、复位。后面讲到的触发器也是如此。

起作用。由于锁存器的两个输出肯定互补，所以习惯上逻辑符号中的 $\bar{Q}$ 端不加圆圈，只标以 $\bar{Q}$ 。也有的书上在 $\bar{Q}$ 端加圆圈。

### 5.1.4 集成基本 RS 锁存器

集成电路 74LS279 为集成基本 RS 锁存器，它有 16 只引脚。手册中给出的功能表和引脚图分别如表 5.3 和图 5.5 所示。表 5.3 与表 5.1 类似，它是表 5.1 的简化表。集成电路生产厂家给的状态表中，高、低电平有的用 H、L 表示，有的用 1、0 表示；有的称为状态表，有的称为功能表。

由图 5.5 可知，一片 74LS279 中包含了 4 个基本 RS 锁存器，分别以 1、2、3、4 表示；每个锁存器只引出了 $Q$  端，而 $\bar{Q}$  端则未引出。锁存器 2 和 4 与图 5.1 所示电路完全一样，而锁存器 1 和 3 分别有两个 $\bar{S}$  端，此时 $\bar{S} = \bar{S}_1 \bar{S}_2$ ，是相与的关系。其他与图 5.1 所示电路完全相同。

表 5.3 74LS279 的功能表

$\bar{S}$	$\bar{R}$	$Q$
H	H	$Q_0$
H	L	L
L	H	H
L	L	$H^*$

\* 此时  $Q = \bar{Q} = H$

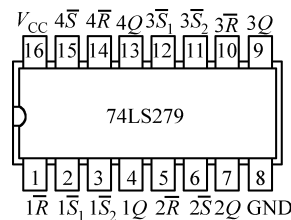
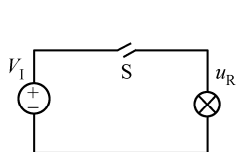


图 5.5 74LS279 的引脚图

### \*5.1.5 防抖动开关

我们日常使用的机械开关的关键部位是两个金属片，通过控制这两个金属片的接触和分离来控制电流的通与断。由于金属具有弹性，两个金属片接触和分离时不是一次完成的，而是要抖动若干次才能完成，如图 5.6 所示。由于开关每次通、断时抖动的次数都是随机的，所以这种开关不能直接用于数字系统，否则会使系统的状态不可预测。例如，使用机械开关就不能对数字钟进行准确的校时。

要解决机械开关的抖动问题，只要一个基本 RS 锁存器即可。图 5.7 所示电路由基本 RS 锁存器、机械开关 S 和限流电阻 R 组成，其中 S 为单刀双掷开关。使用此电路，机械开关通、断时 $Q$  和 $\bar{Q}$  端状态就不会再出现抖动，读者可自己分析。



(a) 电路示意图



(b) 抖动示意图

图 5.6 开关抖动示意图

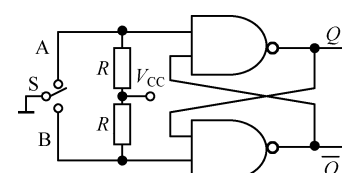


图 5.7 防抖动开关原理图

### 5.1.6 基本 RS 锁存器存在的问题

基本 RS 锁存器可实现存储信息的功能，但它不够完善。在使用过程中有两个限制：一个是 $S$ 、 $R$  不能同时为 0（同时有效）；另一个是不论什么时候，只要输入信号变化，输出就可能跟着变。这就使得在使用时很不方便。下面将要介绍的其他类型的锁存器和触发器电路可以改善或消除一个或全部缺点。

## 5.2 门控 RS 锁存器

### 5.2.1 电路结构

图 5.8(a)所示为门控 RS 锁存器 (Gated RS Latch) 的电路结构。由图可知，虚线右侧是一个基本 RS 锁存器，所以该电路又可画为图 5.8(b)所示的形式。

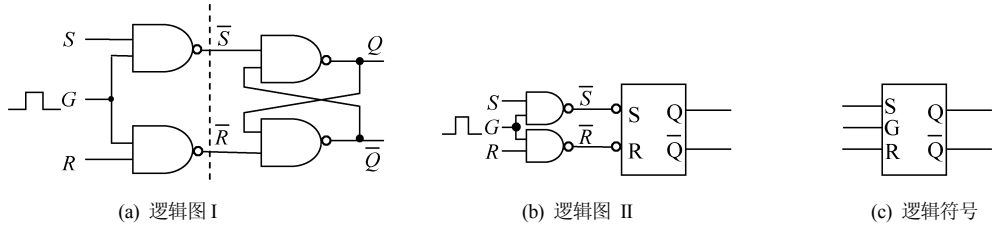


图 5.8 门控 RS 锁存器

### 5.2.2 功能分析

由图 5.8(a)或(b)可知：①当门控信号  $G$  为“0”时， $\bar{S} = \bar{R} = 1$ ，此时基本 RS 锁存器处于保持状态，输出不变；②当  $G = 1$  时， $\bar{S}$ 、 $\bar{R}$  分别由输入信号  $S$ 、 $R$  确定：若  $S = 0$ ， $R = 0$ ，则  $\bar{S} = 1$ ， $\bar{R} = 1$ ，此时  $Q$  不变；若  $S = 1$ ， $R = 0$ ，则  $\bar{S} = 0$ ， $\bar{R} = 1$ ，此时将  $Q$  置为“1”；若  $S = 0$ ， $R = 1$ ，则  $\bar{S} = 1$ ， $\bar{R} = 0$ ，此时将  $Q$  置为“0”；若  $S = 1$ ， $R = 1$ ，则  $\bar{S} = 0$ ， $\bar{R} = 0$ ，此时  $Q = \bar{Q} = 1$ ，而根据锁存器的性质，这是不允许的，也就是说，在  $G = 1$  期间， $S$ 、 $R$  不能同时为“1”。

综上所述，当  $G = 0$  时，输出不变；当  $G = 1$  时，输出的变化取决于  $R$ 、 $S$  的值。输入  $G$  是一个控制信号，它的作用类似一个门的开与关， $G = 1$  时相当于把门打开，允许输入信号进入； $G = 0$  时把门关闭，不允许输入信号进入，所以这种锁存器称为门控锁存器。

### 5.2.3 功能描述

门控 RS 锁存器的描述方法与基本 RS 锁存器类似，读者可自行描述。

#### 1. 状态转换表

根据 5.2.2 节的分析可得门控 RS 锁存器的状态转换表，如表 5.4 所示。与表 5.1 相比，它多了一列门控信号  $G$ ，其他类似。

#### 2. 状态转换方程

由表 5.4 可得门控 RS 锁存器在门控信号有效时的卡诺图（图 5.9）和状态转换方程（式 (5.3))。

$$\begin{cases} Q^{n+1} = S + \bar{R} \cdot Q^n \\ S \cdot R = 0 \end{cases} \quad (\text{约束条件}) \quad (5.3)$$

若考虑到门控信号  $G$ ，则有

$$\begin{cases} Q^{n+1} = G \cdot (S + \bar{R} \cdot Q^n) + G \cdot \bar{Q}^n \\ G \cdot S \cdot R = 0 \end{cases} \quad (\text{约束条件}) \quad (5.4)$$

### 3. 时序图

门控 RS 锁存器的时序图与基本 RS 锁存器的类似, 只需考虑门控信号是否有效。读者可自己画出。

表 5.4 门控 RS 锁存器的状态转换表

序号	$G$	$S$	$R$	$Q^n$	$Q^{n+1}$
	0		$\times$	$Q^n$	$Q^n$
0	1		0	0	0
1	1		0	0	1
2	1		1	0	0
3	1		1	1	0
4	1		0	0	1
5	1		0	1	1
6	1		1	0	不允许
7	1		1	1	不允许

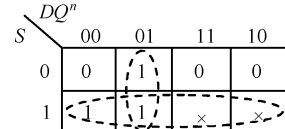


图 5.9  $Q^{n+1}$  的卡诺图

### 4. 状态转换驱动表和驱动方程

由于门控信号  $G=0$  时输出不变, 所以只需考虑  $G=1$ , 即门控信号有效时的情况。在状态转换驱动表中不列出  $G$  即隐含  $G=1$ 。表 5.5 所示为门控 RS 锁存器的状态转换驱动表。

由状态转换驱动表, 利用卡诺图即可得到驱动方程:

$$\begin{cases} S = Q^{n+1} \\ \overline{R} = \overline{Q^{n+1}} \end{cases} \quad (5.5)$$

### 5. 状态转换图

由表 5.5 可得门控 RS 锁存器的状态转换图, 如图 5.10 所示。

表 5.5 门控 RS 锁存器的状态转换驱动表

序号	$Q^n$	$Q^{n+1}$	$S$	$R$
0	0	0	0	$\times$
1	0	1	1	0
2	1	0	0	1
3	1	1	$\times$	0

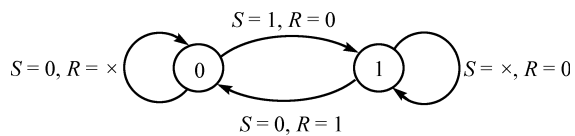


图 5.10 门控 RS 锁存器的状态转换图

### 6. 逻辑符号

门控 RS 锁存器的逻辑符号如图 5.8(c)所示。注意此时输入端无小圆圈, 表明是高电平有效:  $G=1$  时, 输入信号可通过: 此时若  $S=1$ ,  $R=0$ , 则锁存器置 1; 若  $S=0$ ,  $R=1$ , 则锁存器置 0; 若  $S=0$ ,  $R=0$ , 则锁存器保持原来状态不变;  $S=1$ ,  $R=1$  不允许出现。 $G=0$  时, 输入信号不可以通过。

#### 5.2.4 门控 RS 锁存器的特点

与基本 RS 锁存器相比, 门控 RS 锁存器的输入信号  $R$ 、 $S$  只在  $G=1$  时才起作用; 而在  $G=0$  时无论输入信号  $R$ 、 $S$  怎样变化, 输出都不会改变。

## 5.3 D锁存器

### 5.3.1 电路结构

图 5.11 所示为 D 锁存器 (D Latch) 的逻辑图和逻辑符号。由图 5.11(a)可知，它是由门控 RS 锁存器演变而来的：只要令门控 RS 锁存器中的  $S=D$ ,  $R=\bar{D}$ ，即得到 D 锁存器。由于我们已经详细地描述了门控 RS 锁存器的功能，因此可以很容易地用各种描述方法来描述 D 锁存器的功能。

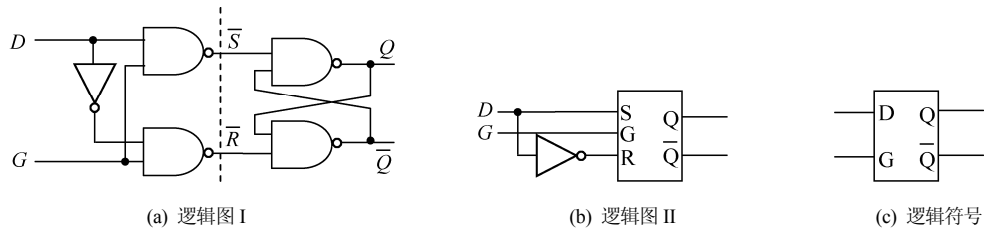


图 5.11 D 锁存器

### 5.3.2 功能分析

由 D 锁存器的结构可知，它是门控 RS 锁存器的一种特例：此时  $S=\bar{R}=D$ ,  $R$  与  $S$  总是互补，不存在  $R \cdot S=0$  的约束。读者可自行分析。

经推导知， $Q^{n+1} = G \cdot D + \bar{G} \cdot Q^n$ ，即 D 锁存器在  $G=1$  时， $Q=D$ ，称此时输入对输出是透明的，也就是说从输出端可以看到输入信号；而当  $G=0$  时， $Q^{n+1}=Q^n$ ，保持不变。

### 5.3.3 D 锁存器功能描述

#### 1. 状态转换表

由图 5.11(a)可得 D 锁存器的状态转换表如表 5.6 所示。

#### 2. 状态转换方程

由表 5.6 可得门控 D 锁存器当  $G=1$  时的卡诺图（如图 5.12 所示）和状态转换方程（式 (5.6))。状态转换方程也可通过观察状态转换表直接得到。

表 5.6 D 锁存器的状态转换表

序号	$G$	$D$	$Q^n$	$Q^{n+1}$
	0	$\times$	$Q^n$	$Q^n$
0	1	0	0	0
1	1	0	1	0
2	1	1	0	1
3	1	1	1	1

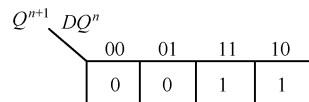


图 5.12  $Q^{n+1}$  的卡诺图

门控信号有效时，有

$$Q^{n+1} = D \quad (5.6)$$

若考虑到门控信号  $G$ , 则有

$$Q^{n+1} = \overline{G} Q^n + GD \quad (5.7)$$

### 3. 时序图

门控 D 锁存器的时序图可根据方程式 (5.7) 画出, 读者可自己分析。

### 4. 状态转换驱动表和驱动方程

由于门控信号  $G = 0$  时输出不变, 所以只需考虑  $G = 1$  的情况。在状态转换驱动表中不列出  $G$ , 即隐含  $G = 1$ 。表 5.7 所示为门控 RS 锁存器的状态转换驱动表。

由状态转换驱动表, 利用卡诺图即可得到驱动方程

$$D = Q^{n+1} \quad (5.8)$$

### 5. 状态转换图

由表 5.6 或表 5.7 可得门控 D 锁存器的状态转换图, 如图 5.13 所示。

表 5.7 门控 RS 锁存器的状态转换驱动表

序号	$Q^n$	$Q^{n+1}$	$D$
0	0 0	0	0
1	0 1	1	1
2	1 0	0	0
3	1 1	1	1

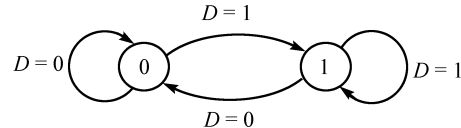


图 5.13 门控 D 锁存器的状态转换图

### 6. 逻辑符号

门控 D 锁存器的逻辑符号如图 5.11(c)所示。注意此时输入端无小圆圈, 表明是高电平有效。 $G = 1$  时, 输入信号可通过: 此时若  $D = 1$ , 则锁存器置 “1”; 若  $D = 0$ , 则锁存器置 “0”。

#### 5.3.4 集成 D 锁存器

74LS75 是 4 位 D 锁存器, 其功能表与引脚图分别如表 5.8 和图 5.14 所示。锁存器 1、2 公用门控信号  $G_{1,2}$ ; 锁存器 3、4 公用门控信号  $G_{3,4}$ 。

表 5.8 74LS75 的功能表

$D$	$G$	$Q$	$\bar{Q}$
L	H	L	H
H	H	H	L
*	L	$Q_0$	$\bar{Q}_0$

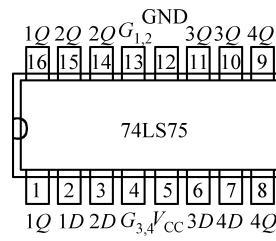


图 5.14 74LS75 的引脚图

## 5.4 主从式 RS 触发器

D 锁存器虽然不存在对输入信号的限制, 但它的输出在  $G = 1$  时仍然会随着输入的变化而变化, 这对于使用者来说仍然是一个限制。从本节起介绍的触发器的输出只在某一时刻发生变化, 而在其他任何时间都不变化, 从而克服了锁存器的上述缺点。本节介绍主从式 RS 触发器 (Master-Slave RS Flip-Flop)。

### 5.4.1 电路结构

主从式RS触发器的逻辑图如图5.15(a)所示，图5.15(b)所示为其另一种画法。由图可见，它是由两个门控RS锁存器组成的。这两个门控锁存器分别称为主锁存器和从锁存器，主锁存器的输出决定从锁存器的输出，主从二字由此而来。主锁存器的门控信号G(由于此时该信号的功能发生了改变，已改称为时钟脉冲信号(Clock Pulse, CP)或称为时钟(Clock, CLK)经反相后作为从锁存器的门控信号，正是这两个门控信号的互补，带来了整个电路性能的改变。

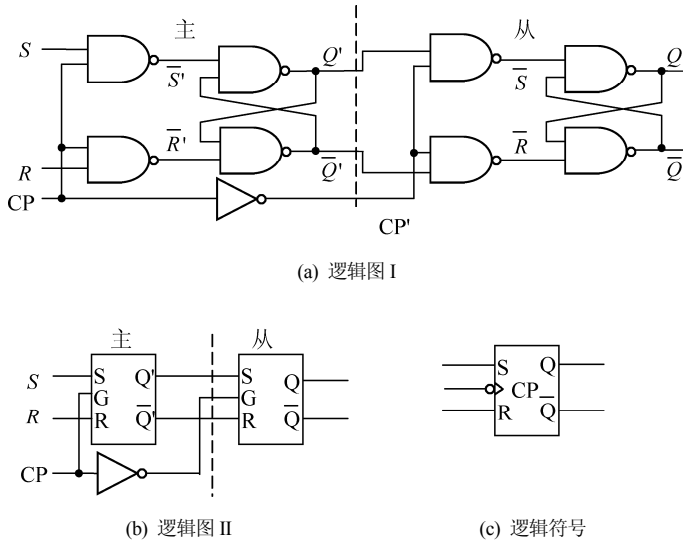


图5.15 主从式RS触发器

### 5.4.2 功能分析

由图5.15(a)可知：

当 $CP=0$ 时， $\bar{R}'=\bar{S}'=1$ ， $Q'$ 和 $\bar{Q}'$ 保持不变。此时虽然 $CP'=1$ ，但由于 $Q'$ 和 $\bar{Q}'$ 不变，所以触发器（也就是从锁存器）的输出 $Q$ 、 $\bar{Q}$ 也保持不变；

当 $CP$ 由0变到1时，由于 $CP$ 的变化要经过最少两个门的延迟才能到达主锁存器的输出，只有这时 $Q'$ 和 $\bar{Q}'$ 才能发生变化，而 $CP$ 只要经过一个门的延迟即可到达 $CP'$ ，也就是说当 $CP'$ 由1变到0，把从锁存器锁定后，主锁存器的变化才传到 $Q'$ 和 $\bar{Q}'$ ，所以此时 $Q$ 、 $\bar{Q}$ 也保持不变；

当 $CP=1$ 时， $CP'=0$ ，从锁存器被锁定，此时主锁存器的输出不能影响从锁存器的输出，所以不论 $R$ 、 $S$ 如何改变，触发器的输出 $Q$ 、 $\bar{Q}$ 都不会改变。由于 $CP=1$ ，主锁存器打开， $Q'$ 和 $\bar{Q}'$ 的值由输入信号 $R$ 、 $S$ 和主锁存器的现态 $Q'$ 和 $\bar{Q}'$ 共同决定，所以此时主锁存器接收信息，为触发器状态的变化做好准备；

当 $CP$ 由1变到0时，一方面 $CP=0$ ，使主锁存器的状态锁定，不再发生变化；另一方面使 $CP'=1$ ，打开从锁存器，将主锁存器此时的输出 $Q'$ 和 $\bar{Q}'$ 分别送至从锁存器的输出（也就是触发器的输出） $Q$ 和 $\bar{Q}$ ，使触发器的输出状态发生变化。此后又重复 $CP=0$ 的情况。

综上所述，主从式RS触发器的输出状态如果发生变化（称为触发器状态的翻转），则只发生在时钟信号的下降沿。可以看做在时钟的下降沿，将主锁存器的输出 $Q'$ 传到从锁存器的输出，也就是触发

器的输出  $Q$ ; 变化的结果取决于时钟下降沿到达前一瞬间  $R$ 、 $S$  和  $Q'$  的值; 在除时钟下降沿以外的任何时间内,  $R$ 、 $S$  可任意改变而不会使触发器的输出状态发生变化。

图 5.15(c)所示为主从式 RS 触发器的逻辑符号。其中 CP 处的小三角表明该器件的状态只在时钟边沿才能翻转, 称为边沿触发; 而三角外的圆圈则表示是下降沿(又称为负边沿)翻转。

### 5.4.3 功能描述

主从式 RS 触发器的功能描述方法与门控锁存器相同, 只是翻转(即变化)时刻不同, 前者是边沿控制翻转, 后者是电平控制翻转。

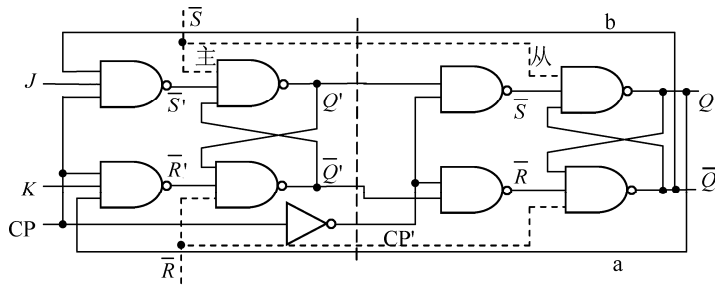
## 5.5 TTL 主从式 JK 触发器

主从式 RS 触发器虽然克服了门控 RS 锁存器的一个缺点: 除时钟下降沿前一瞬间以外的时间内, 输入可以任意改变, 而不会影响触发器的输出。但另一个缺点仍然存在: 在时钟下降沿前一瞬间,  $R$  与  $S$  不能同时为 1, 否则下降沿过后会使触发器的状态不可预测, 即状态不定。

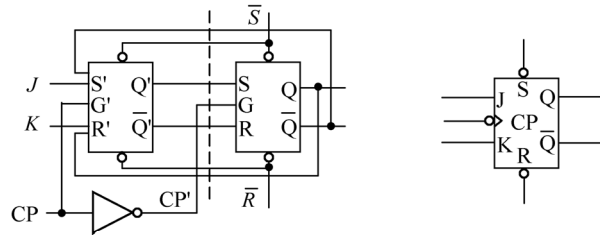
将主从式 RS 触发器略加改进, 可得到实用的主从式 JK 触发器(Master-Slave JK Flip-Flop)。

### 5.5.1 电路结构

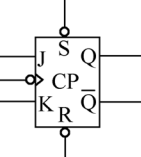
主从式 JK 触发器的电路结构如图 5.16(a)和(b)所示。由图可见, 它由主从式 RS 触发器加两条反馈线  $a$ 、 $b$  组成。由于加上  $a$ 、 $b$  后触发器的功能发生了变化, 故将  $S$  端改称为  $J$ , 将  $R$  端改称为  $K$ 。



(a) 逻辑图 I



(b) 逻辑图 II



(c) 逻辑符号

图 5.16 主从式 JK 触发器

### 5.5.2 功能分析

由图 5.16 可知, 主从式 JK 触发器的翻转时刻与主从式 RS 触发器相同, 因此分析主从式 JK 触发

器只要分析时钟下降沿到来前，也就是  $CP=1$  时主锁存器接收信息的工作情况即可。以下分 4 种情况分析 JK 触发器。

(1) 当  $J=0, K=0$  时，由图 5.16(a) 可知， $\bar{R}'=\bar{S}'=1$ ,  $Q'$  和  $\bar{Q}'$  保持不变，从而时钟下降沿到来时  $Q$  也不变。即  $J=0, K=0$  时，触发器状态保持不变；

(2) 当  $J=0, K=1$  时， $\bar{S}'=1$ ；而  $\bar{R}'$  的取值取决于  $Q$  (反馈线 a)。当  $Q=0$  时， $\bar{R}'=1$ ，此时由于  $\bar{R}'=\bar{S}'=1$ ,  $Q'$  不变；当  $Q=1$  时， $\bar{R}'=0$ ，由  $\bar{R}'=0, \bar{S}'=1$  知主锁存器置 0，当时钟沿到来时将  $Q'=0$  传至  $Q=0$ 。即当  $J=0, K=1$  时，不管触发器的现态是什么，次态都是 0；

(3) 当  $J=1, K=0$  时， $\bar{R}'=1$ ；而  $\bar{S}'$  的取值取决于  $\bar{Q}$  (反馈线 b)。当  $Q=0$  时， $\bar{Q}=1, \bar{S}'=0$ ，此时由  $\bar{R}'=1, \bar{S}'=0$  知此时  $Q'$  变为 1。当时钟沿到来时将  $Q'=1$  传至  $Q=1$ 。当  $Q=1$  时， $\bar{Q}=0, \bar{S}'=1$ 。由  $\bar{R}'=\bar{S}'=1$  知此时  $Q=1$  不变。由以上分析知，当  $J=0, K=1$  时，不管触发器的现态是什么，次态都是 1；

(4) 当  $J=1, K=1$  时， $\bar{R}'$ 、 $\bar{S}'$  的取值取决于现态  $Q$  或  $\bar{Q}$  (反馈线 a、b)。当  $Q=0$  时， $\bar{Q}=1$ ，此时  $\bar{S}'=0, \bar{R}'=1, \bar{S}'=0$  使  $Q'$  变为 1，即将主锁存器置为 1。当时钟沿到来时将  $Q'=1$  传至  $Q=1$ ，触发器状态由 0 变为 1；当  $Q=1$  时， $\bar{Q}=0$ ，此时  $\bar{S}'=1, \bar{R}'=0$  将主锁存器置为 0，时钟沿到达时将此 0 状态传至锁存器，从而将触发器状态由 1 变为 0。由以上分析知，当  $J=1, K=1$  时，不管触发器的现态是什么，时钟沿到达时都使触发器的状态发生翻转，即由现态 1 变为次态 0，或由现态 0 变为次态 1。

### 5.5.3 功能描述

#### 1. 状态转换表

根据 5.5.2 节所做的分析可得表 5.9 所示的状态转换表。

#### 2. 状态转换方程

由表 5.9，利用卡诺图（图 5.17）可得到 JK 触发器的状态转换方程为：

$$Q'^{n+1} = J\bar{Q} + \bar{K}Q$$

#### 3. 状态转换图

由状态转换表或状态转换方程可得状态转换图，如图 5.18 所示。

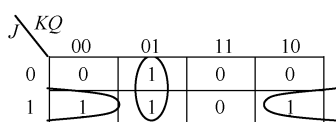


图 5.17 JK 触发器的状态转换卡诺图

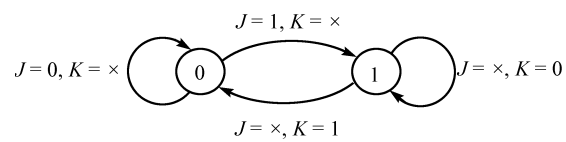


图 5.18 主从式 JK 触发器的状态转换图

#### 4. 时序图

设触发器的初态为 0，时钟、 $J$ 、 $K$  的时序图如图 5.19 所示。图中， $Q'$  为主锁存器的输出。

由 5.5.2 节的分析知，主从式 JK 触发器是在时钟等于 1 期间将数据准备好，放在  $Q'$ ，当时钟下降沿到达时将  $Q'$  的值传送至  $Q$ ；而在  $CP=1$  期间， $Q'$  的值取决于输入  $J, K$  和现态  $Q$ 。在第①个  $CP=1$  期间， $Q''=0, J=1, K=0$ ，此时  $Q'$  将被置为 1，下降沿到来时将其传至  $Q$ ，如图所示；在第②个  $CP=1$  期间， $Q''=1, J=1, K=0$ ，此时  $Q'$  不变；后半部分  $J=1, K=1$ ，此时  $Q'$  翻转，变成

$Q' = 0$ ; 当时钟下降沿到时将此 0 传到  $Q$ , 使  $Q^{n+1} = 0$ 。第③、④、⑤个时钟读者可自行分析。第⑥个时钟  $CP = 1$  时,  $Q = 1$ , 前半部分  $J = 1$ ,  $K = 1$ , 使  $Q' = 0$ ; 而在后半部分  $J = 1$ ,  $K = 0$ , 按状态转换表应有使  $Q' = 1$ , 但由于  $\bar{Q}$  的作用(图 5.19), 此时  $Q'$  不能再回到状态 1, 而只能保持为 0。当时钟下降沿到时, 将  $Q' = 0$  传到  $Q$  端。这就是所谓的主从式 JK 触发器的一次翻转问题, 即在  $CP = 1$  期间, 若  $Q'$  发生翻转, 那么只能发生一次。第⑦、⑧、⑨个时钟读者可自行分析。

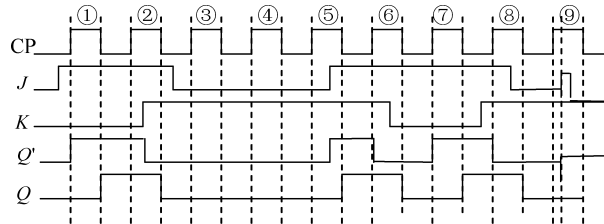


图 5.19 主从式 JK 触发器的时序图

主从式 JK 触发器的一次翻转问题是由于将输出状态反馈到输入端, 从而使主锁存器的输出不能任意变化而引起的。可以这样判断触发器的次态: 在  $CP = 1$  期间, 根据  $J$ 、 $K$  和  $Q'$  判断  $Q$  是否变化, 如果发生了一次变化, 则不管以后  $J$ 、 $K$  的值如何变化都不会使  $Q'$  再发生变化。触发器的次态就是这个第一次变化后的值。

表 5.10 主从式 JK 触发器的状态转换驱动表

由于一次翻转会影响触发器的输出, 在使用时应确保在  $CP = 1$  期间  $J$ 、 $K$  的值稳定, 并避免噪声的影响。

序号	$Q^n$	$Q^{n+1}$	$J$	$K$
0	0	0	0	×
1	0	1	1	×
2	1	0	×	1
3	1	1	×	0

## 5. 状态转换驱动表和驱动方程

根据状态转换表可得表 5.10 所示的 JK 触发器的状态转换驱动表。

由表 5.10 可得 JK 触发器的驱动方程为

$$\begin{cases} J = Q^{n+1} \\ K = \overline{Q^{n+1}} \end{cases} \quad (5.9)$$

## 6. 主从式 JK 触发器的逻辑符号

主从式 JK 触发器的逻辑符号如图 5.16(c)所示。时钟端的小三角表示该器件为边沿触发, 外边的小圆圈表明是下降沿翻转。

图中  $\bar{S}$ 、 $\bar{R}$  分别为触发器的异步置 1 端和清 0 端, 低电平有效。 $\bar{S}$  有效时将触发器置为 1, 而当  $\bar{R}$  有效时将触发器置为 0。读者可参考图 5.16(a), 自行分析其工作原理。

## 5.6 TTL 维持阻塞式 D 触发器

主从式 JK 触发器有一次翻转问题, 使用时有时比较麻烦, 而其他形式的触发器则无此问题。维持阻塞式 D 触发器是另一种结构的触发器, 本节介绍这种电路。

### 5.6.1 电路结构

如图 5.20 所示, 维持阻塞式 D 触发器由 6 个与非门组成, 其中  $G_1$ 、 $G_2$  组成基本 RS 锁存器;  $CP$  由  $G_3$ 、 $G_4$  输入;  $\bar{R}_d$ 、 $\bar{S}_d$  分别为异步清 0、置 1 输入, 低电平有效。

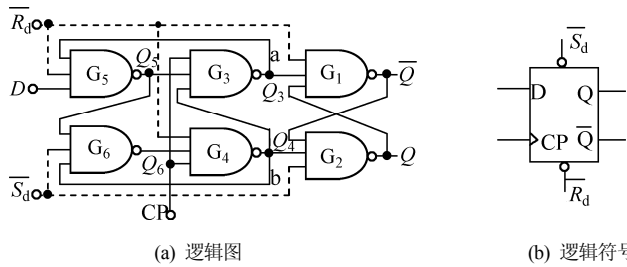


图 5.20 维持阻塞式 D 触发器

## 5.6.2 功能分析

以下分析时假设  $\overline{R_d}$ 、 $\overline{S_d}$  无效，即二者均为逻辑 1。

当  $CP=0$  时， $G_3$ 、 $G_4$  关闭， $Q_3=Q_4=1$ ， $G_1$ 、 $G_2$  组成的基本 RS 锁存器输出也就是触发器状态  $Q$  保持不变。此时  $Q_3=1$ ，使  $G_5$  打开， $Q_5=\overline{D}$ ； $Q_4=1$  使  $G_6$  打开， $Q_6=D$ 。此时将输入信号  $\overline{D}$ 、 $D$  分别传至  $Q_5$ 、 $Q_6$ ，为下一步操作做好准备。

$CP$  由 0 变为 1，即  $CP$  上升沿到来后， $G_3$ 、 $G_4$  打开，将  $Q_5=\overline{D}$ 、 $Q_6=D$  分别传至  $G_3$ 、 $G_4$  的输出，使  $Q_3=D$ 、 $Q_4=\overline{D}$ ，从而使  $Q=D$ 、 $\overline{Q}=\overline{D}$ 。

$CP=1$  时虽然  $G_3$ 、 $G_4$  打开，但由于反馈线 a、b 的作用，使信号  $D$  传不到  $Q_3$ 、 $Q_4$ ： $D=0$  时，翻转后  $Q_3=0$ ， $G_5$  被关闭，无论  $D$  怎样变化都不会使  $Q_5$ 、 $Q_6$  发生变化，从而触发器状态也不会发生变化； $D=1$  时，翻转后  $Q_4=0$ ， $G_6$ 、 $G_3$  被封锁，此时  $D$  的任何变化也不能使触发器的状态发生变化，即当  $CP=1$  时，触发器状态保持不变。

综上所述，维持阻塞式 D 触发器在  $CP$  的上升沿到达前接收输入信号，做好准备工作，而在上升沿到达时状态发生变化。在其他任何时刻其状态都不会发生变化。

## 5.6.3 功能描述

### 1. 状态转换表

由上述分析可得维持阻塞式 D 触发器的状态转换表，如表 5.11 所示。

### 2. 状态方程

由状态转换表可得维持阻塞式 D 触发器的状态方程为

$$Q^{n+1} = D \quad (5.10)$$

### 3. 状态转换图

维持阻塞式 D 触发器的状态转换图如图 5.21 所示。

表 5.11 D 触发器的状态转换表

$D$	$Q^n$	$Q^{n+1}$
0	0	0
0	1	0
1	0	1
1	1	1

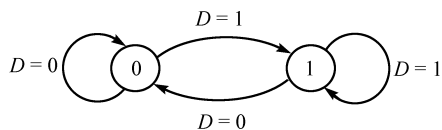


图 5.21 维持阻塞式 D 触发器的状态转换图

#### 4. 时序图

由状态转换表或状态转换图可得图 5.22 所示的 D 触发器的时序图。

#### 5. 状态转换驱动表和驱动方程

根据 D 触发器的状态转换表或状态转换图, 可得 D 触发器的状态转换驱动表, 如表 5.12 所示。

表 5.12 D 触发器的状态转换驱动表

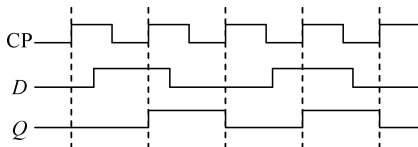


图 5.22 D 触发器的时序图

$Q^n$	$Q^{n+1}$	$D$
0	0	0
0	1	1
1	0	0
1	1	1

由表 5.12 可得 D 触发器的驱动方程为

$$D = Q^{n+1} \quad (5.11)$$

#### 6. 逻辑符号

D 触发器的逻辑符号如图 5.20(b)所示。

#### 5.6.4 集成维持阻塞式 D 触发器

图 5.23 所示为集成维持阻塞式 D 触发器 74LS74 的逻辑符号及引脚。74LS74 有 14 个引脚, 内含两个与图 5.20 完全一致的 D 触发器。

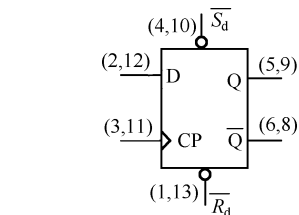


图 5.23 74LS74 的逻辑符号及引脚

其他 74xx 系列的触发器有 74LS73、74LS74、74LS112、74LS173、74LS273 等。

## 5.7 CMOS 锁存器与触发器

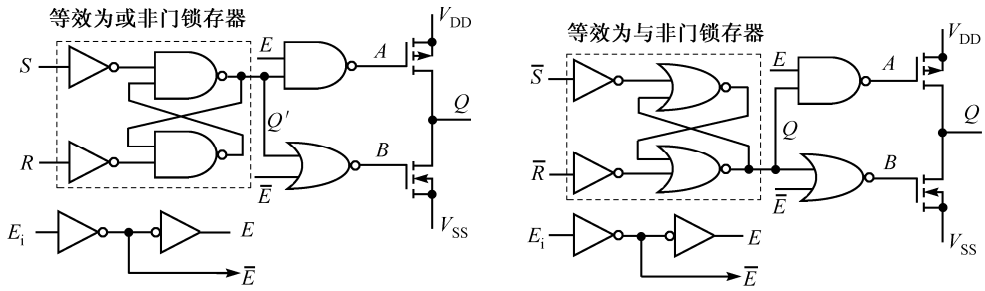
4000 系列 CMOS 数字集成电路中也包括许多锁存器和触发器, 虽然它们的内部结构与 TTL 不同, 但特性、使用方法均相同。本节简要介绍 CMOS 锁存器与触发器及其工作原理。

#### 5.7.1 CMOS 锁存器

CD4043、CD4044 是三态 RS 锁存器, 其内部分别有 4 个锁存器, 每个锁存器分别有两个输入端  $R$ 、 $S$  和一个输出端  $Q$ 。4 个锁存器公用一个使能端  $E_i$ , 高电平有效。其内部结构分别如图 5.24(a)和(b)所示。

图 5.24(a)中, 虚框内电路等效为由两个或非门构成的基本 RS 锁存器, 输入  $R$ 、 $S$  均为高电平有效, 其输出为  $Q'$ 。当  $E_i$  有效时,  $A = B = \bar{Q}'$ 。若  $Q' = 0$ , 则  $A = B = 1$ , PMOS 管截止, NMOS 管导通, 输出  $Q = 0$ ; 若  $Q' = 1$ , 则  $A = B = 0$ , PMOS 管导通, NMOS 管截止,  $Q = 1$ 。当  $E_i$  无效时,  $A = 1$ ,  $B = 0$ , PMOS 管和 NMOS 管同时截止, 输出端  $Q$  为高阻态。由此可得 CD4043 的功能表如表 5.13 所示。

图 5.24 (b)中, 虚框内电路等效为由两个与非门构成的基本 RS 锁存器, 输入  $\bar{R}$ 、 $\bar{S}$  均为低电平有效, 其输出为  $Q'$ 。当  $E_i$  有效时,  $A = B = \bar{Q}'$ 。若  $Q' = 0$ , 则  $A = B = 1$ , PMOS 管截止, NMOS 管导通, 输出  $Q = 0$ ; 若  $Q' = 1$ , 则  $A = B = 0$ , PMOS 管导通, NMOS 管截止,  $Q = 1$ 。当  $E_i$  无效时,  $A = 1$ ,  $B = 0$ , PMOS 管和 NMOS 管同时截止, 输出端  $Q$  为高阻态。由此可得 CD4044 的功能表如表 5.14 所示。



(a) CD4043 锁存器内部电路图

(b) CD4044 锁存器内部电路图

图 5.24 CMOS 锁存器内部电路图

表 5.13 CD4043 的功能表

$E$	$S$	$R$	$Q^{n+1}$
0	$\times$	$\times$	高阻
1	0	0	$Q^n$ , 即不变
1	0	1	0
1	1	0	1
1	1	1	$1^*$

\* 当  $R$ 、 $S$  均有效时, 输出取决于  $S$

表 5.14 CD4044 的功能表

$E$	$\bar{S}$	$\bar{R}$	$Q^{n+1}$
0	$\times$	$\times$	高阻
1	1	1	$Q^n$ , 即不变
1	1	0	0
1	0	1	1
1	0	0	$0^{**}$

\*\* 当  $\bar{R}$ 、 $\bar{S}$  均有效时, 输出取决于  $\bar{R}$

## 5.7.2 CMOS 触发器

4000 系列中有许多触发器, 如 CD4013 主从式双 D 触发器, CD4027 双 JK 触发器等。这里只简单介绍双 D 触发器 CD4013。

### 1. CD4013 主从式 D 触发器

图 5.25 所示为 CD4013 内部逻辑图。

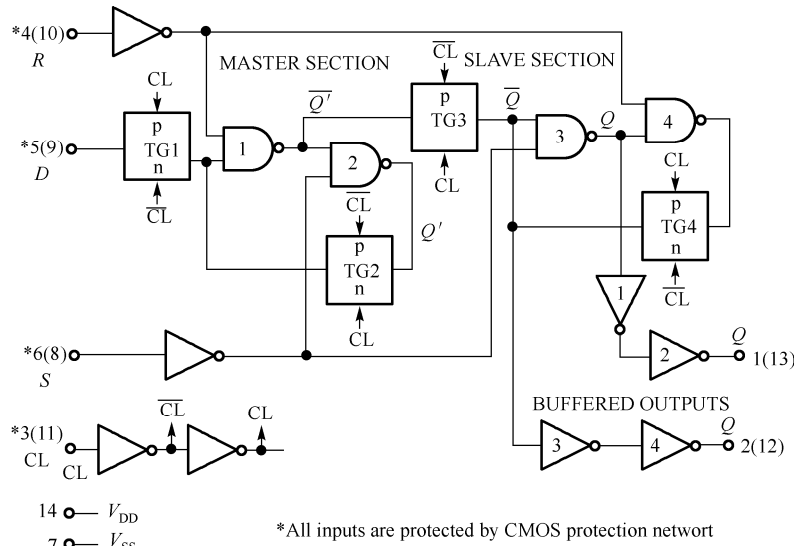


图 5.25 CD4013 内部逻辑图 (摘自 INTERSIL 公司的数据手册)

图 5.25 中, 输入时钟 CL 经反相器后, 分别产生  $\overline{CL}$  和 CL, 用于内部的传输门控制; 传输门 TG1、TG4 在  $CL=1$  时截止,  $CL=0$  时导通; 而传输门 TG2、TG3 在  $CL=0$  时截止,  $CL=1$  时导通; 传输门 TG1、TG2 和与非门 1、2 构成主锁存器, 传输门 TG3、TG4 和与非门 3、4 构成从锁存器; 清 0 端 R、置 1 端 S 均为高电平有效; 反相器 1、2、3、4 构成输出缓冲器, 无逻辑上的功能。

以下分析当  $S$ 、 $R$  均无效时 CD4013 的工作过程。

当  $CL=0$  时, 主锁存器的 TG1 导通, TG2 截止。TG1 导通, 使输入数据  $D$  经 TG1、与非门 1 反相后传至  $\overline{Q}'$ ; TG2 截止, 主锁存器的反馈通路被截断, 此时  $\overline{Q}' = \overline{D}$ ; 从锁存器的 TG3 截止, 主、从锁存器之间不通; TG4 导通, 与非门 3、4 构成基本 RS 锁存器,  $Q$ 、 $\overline{Q}$  经两级反相缓冲器输出。此时输出不会发生变化。

当  $CL$  由 0 变 1 时, TG1 截止, TG2 导通。TG1 截止, 输入数据  $D$  不能通过; TG2 导通, 与非门 1、2 构成基本 RS 锁存器, 其输出  $\overline{Q}'$  为  $CL$  由 0 变 1 前一瞬间输入  $D$  值的反; TG3 导通, 将  $\overline{Q}'$  传至从锁存器  $\overline{Q}$ ; TG4 截止,  $\overline{Q}$ 、 $Q$  经两级反相缓冲器输出。

当  $CL=1$  时, 由于 TG1 截止, 输入数据不能传入触发器, 所以触发器的输出不会发生变化。

当  $CL$  由 1 变 0 时, 当  $D$  传至  $\overline{Q}'$  时, TG3 已经截止, 所以输出也不会发生变化。

综上所述, CD4013 触发器的输出只有在  $CL$  的上升沿才可以发生变化, 而在其他任何时候都不会

表 5.15 CD4013 的状态转换表

$CL^*$	$D$	$R$	$S$	$Q$	$\overline{Q}$
↑	0	0	0	0	1
↑	1	0	0	1	0
↓	×	0	0	$Q$	$\overline{Q}$
×	×	1	0	0	1
×	×	0	1	1	0
×	×	1	1	1	1

发生变化, 是上升沿翻转的触发器。它的逻辑符号与其他 D 触发器相同, 用法也相同。

CD4013 的  $S$  有效时, 将触发器的  $Q$  置 1、 $\overline{Q}$  置 0;  $R$  有效时, 将触发器的  $Q$  置 0、 $\overline{Q}$  置 1 情况类似; 如果  $S$ 、 $R$  均有效, 则将触发器的  $Q$ 、 $\overline{Q}$  都置为 1, 此为非正常工作状态, 一般情况下应避免。

CD4013 的状态转换表如表 5.15 所示。

由本节内容可知, CMOS 触发器的结构与 TTL 触发器的结构有很大的不同, 但它们的功能、描述方法和使用方法是一样的。

其他 CD4××× 系列的触发器有 CD4013、CD4027、CD4042、CD4095、CD4096 等。

## 5.8 T 触发器和 T' 触发器

除了 RS、JK、D 触发器外, 还有两种触发器在数字系统中经常用到, 它们就是 T 触发器和 T' 触发器。

### 5.8.1 T 触发器

T 触发器的逻辑符号如图 5.26 所示, 其状态转换表如表 5.16 所示。由表 5.16 可知, 当  $T=0$  时, 触发器的状态保持不变; 而当  $T=1$  时, 每来一个时钟沿, 触发器的状态发生翻转。

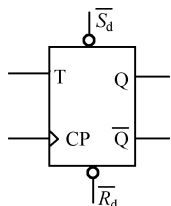


图 5.26 T 触发器的逻辑符号

表 5.16 T 触发器的状态转换表

$T$	$Q^n$	$Q^{n+1}$
0	0	0
0	1	1
1	0	1
1	1	0

由状态转换表可得 T 触发器的状态方程为

$$Q^{n+1} = T \oplus Q^n$$

T 触发器的状态转换驱动表如表 5.17 所示。由表 5.17 可得 T 触发器的驱动方程：

$$T = Q^{n+1} \oplus Q^n$$

读者可自行画出 T 触发器的状态图、状态转换驱动表，并画出驱动方程。

## 5.8.2 T'触发器

T'触发器的逻辑符号如图 5.27 所示，其功能表如表 5.18 所示。T'触发器没有输入端，每来一个时钟，输出状态翻转一次。由于 T'触发器没有数据输入端，它的次态只与现态有关。

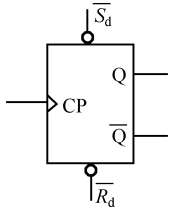


图 5.27 T'触发器的逻辑符号

表 5.17 T 触发器的状态转换驱动表

$Q^n$	$Q^{n+1}$	$T$
0	0	0
0	1	1
1	0	1
1	1	0

表 5.18 T'触发器的状态转换表

$Q^n$	$Q^{n+1}$
0	1
1	0

由表 5.18 可得 T'触发器的状态方程为

$$Q^{n+1} = \overline{Q^n}$$

读者可自行画出其状态图。

虽然在 74 系列和 4000 系列中没有这些种类的触发器，但由于它们所具有的特性，在设计、分析时序电路时经常被用到。

## 5.9 触发器的功能转换

在实际应用中，往往需要将触发器的功能进行转换，也就是用一种触发器去实现另一种触发器的功能。触发器功能转换有两种方法：状态方程法和驱动表法。

### 5.9.1 状态方程法

所谓状态方程法，就是比较转换前后的两种触发器的状态方程，得到转换前触发器的驱动方程，画出逻辑图，完成转换。

**【例 5.1】** 试将 D 触发器转换为 JK 触发器。

解：(1) D 触发器的状态方程为  $Q^{n+1} = D$ ；

JK 触发器的状态方程为  $Q^{n+1} = J\bar{Q} + \bar{K}Q$ ；

比较两触发器的状态方程知：若要将 D 触发器转换为 JK 触发器，只要令 D 触发器的  $D = J\bar{Q} + \bar{K}Q$  即可。

(2) 画出逻辑图，如图 5.28 所示。转换后虚线内就是一个 JK 触发器。

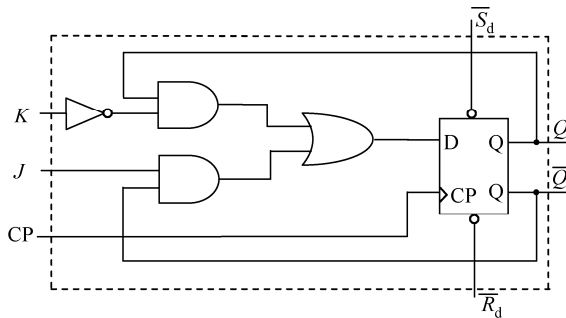


图 5.28 D 触发器转换为 JK 触发器

### 5.9.2 驱动表法

所谓驱动表法，就是先列出转换后触发器的状态转换表，再根据其现态和次态列出转换前触发器的驱动表，利用卡诺图得到驱动函数的最简表达式，最后画出逻辑图，即完成转换。

**【例 5.2】** 试将 T 触发器转换为 JK 触发器。

解：(1) 列出转换后触发器，即 JK 触发器的状态转换表，如表 5.19 中  $J$ 、 $K$ 、 $Q^n$ 、 $Q^{n+1}$  所示；

(2) 根据现态和次态列出转换前触发器，即 T 触发器的驱动表，如表 5.19 中的 T 列；

(3) 利用卡诺图 (图 5.29) 得到 T 的最简表达式： $T = J\bar{Q} + KQ$ ；

表 5.19 T 触发器→JK 触发器转换的驱动表

$J$	$K$	$Q^n$	$Q^{n+1}$	$T$
0	0	0	0	0
0	0	1	1	0
0	1	0	0	0
0	1	1	0	1
1	0	0	1	1
1	0	1	1	0
1	1	0	1	1
1	1	1	0	1

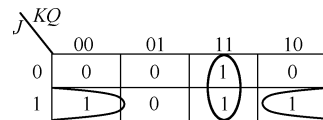


图 5.29 T 的卡诺图

(4) 画出逻辑图，如图 5.30 所示。

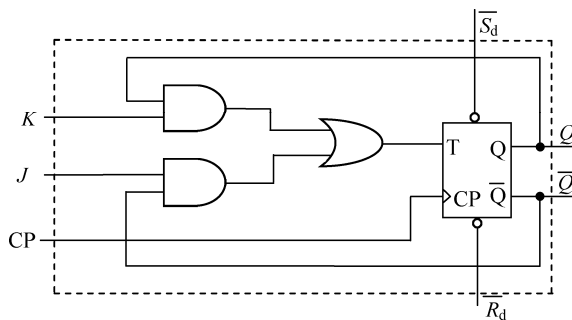


图 5.30 T 触发器转换为 JK 触发器

利用上述两种方法可将任意一种触发器转换为任意另一种触发器。

## 5.10 触发器的动态参数

由于触发器是由门电路组成的，所以它们的静态参数是一样的。但由于触发器的工作特点，它有几个动态参数在使用中需要注意。

- (1) 时钟传输延迟时间  $t_{PLH}$  ( $t_{PHL}$ )：从时钟沿到达至触发器输出端由低到高（由高到低）翻转完毕所需要的时间。74 系列为 10ns 量级，4000 系列为 100ns 量级。
- (2) 置位传输延迟时间  $t_{SPLH}$  ( $t_{RPHL}$ )：从异步置位端（异步清零端）信号有效至触发器翻转完毕所需时间。74 系列为 10ns 量级，4000 系列为 100ns 量级。
- (3) 数据建立时间  $t_{SET}$ ：指时钟沿到达之前，必须将输入数据准备好所需的最长时间。
- (4) 数据保持时间  $t_{HOLD}$ ：时钟沿到达后，输入数据必须保持不变的最长时间。
- (5) 最高时钟工作频率  $f_{CLKMAX}$ ：允许时钟工作的最高频率。
- (6) 最小时钟脉宽  $t_W$ ：为使触发器可靠翻转，触发器时钟所必须具有的最小宽度。

## 小结

本章介绍了数字系统中的存储单元：锁存器和触发器。

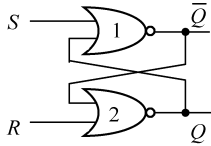
从基本 RS 锁存器、门控锁存器、门控 D 锁存器引入了主从式 RS 触发器、主从式 JK 触发器，详细分析了其工作原理。也介绍了维持阻塞式 D 触发器、CMOS 触发器。介绍了 T、T' 触发器。介绍了异步复位（清 0）端，异步置位（置 1）端的作用及用法。指出了门控锁存器与触发器的区别就是：触发器的状态变化只发生在时钟的边沿，而锁存器的状态在门控信号有效时随输入的变化而变化。介绍了各种锁存器、触发器的各种描述方法：逻辑符号，状态转换表，状态转换图，状态转换方程，时序图，状态转换驱动表，驱动方程。介绍了触发器的功能转换方法。

## 习题

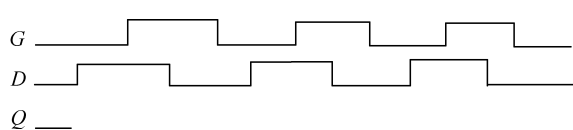
5-1 图题 5-1 所示为由或非门组成的基本 RS 锁存器。试分析该电路，即写出它的状态转换表、状态转换方程、状态转换图、状态转换驱动表和驱动方程，并画出它的逻辑符号，说明 S、R 是高电平有效还是低电平有效。

5-2 试写出主从式 RS 触发器的状态转换表、状态转换方程、状态图、状态转换驱动表和驱动方程，注意约束条件。

5-3 试画出图题 5-3 所示 D 锁存器的时序图。



图题 5-1 或非门组成的基本 RS 锁存器



图题 5-3 D 锁存器的时序图

5-4 试用各种描述方法描述 D 锁存器：状态转换表、状态转换方程、时序图、状态转换驱动表、驱动方程和状态转换图。

5-5 锁存器与触发器有何异同？

5-6 试描述主从式 RS 触发器，即画出其功能转换表，写出状态方程，画出状态转换表，画出逻辑符号。

5-7 试描述 JK、D、T 和 T' 触发器的功能，即画出它们的逻辑符号、状态转换表、状态转换图、时序图、状态转换驱动表，写出它们的状态方程。

5-8 试分析图 5.24(a)所示电路中虚线内电路  $Q'$  与输入之间的关系。

5-9 试分析图 5.24(b)所示电路的功能，并画出其功能表。

5-10 试用状态方程法完成下列触发器功能转换：

$$JK \rightarrow D, D \rightarrow T, T \rightarrow D, JK \rightarrow T, JK \rightarrow T', D \rightarrow T'$$

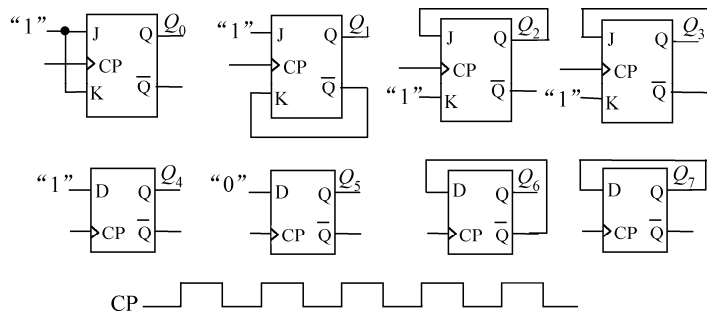
5-11 试用驱动表法完成下列触发器功能转换：

$$JK \rightarrow D, D \rightarrow T, T \rightarrow D, JK \rightarrow T, JK \rightarrow T', D \rightarrow T'.$$

5-12 用一个 T 触发器和一个 2-1 多路选择器构成一个 JK 触发器。

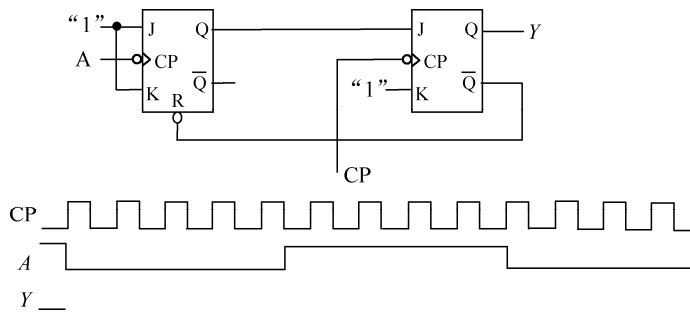
5-13 试用一个 D 触发器、一个 2-1 多路选择器和一个反相器构成一个 JK 触发器。

5-14 设图题 5-14 所示各触发器的初始状态均为 0，试画出在 CP 信号作用下各触发器  $Q$  端的输出波形。



图题 5-14 触发器波形

5-15 画出图题 5-15 所示电路在给定输入波形作用下的输出端  $Y$  的波形。设触发器的初始状态均为 0。



图题 5-15 触发器电路输出波形

# 第6章 常用时序电路组件

与常用组合电路模块类似，在时序电路中也有常用模块，它们是寄存器、移位寄存器和计数器。这些模块在数字系统中具有极为重要的地位。本章介绍这些时序电路模块。

## 6.1 寄存器

寄存器（Register）就是暂时存储数据的器件，它可以存储二进制信息，由锁存器组成，也可以由触发器组成。寄存器广泛用于计算机系统、测控系统等数字系统中。

### 6.1.1 锁存器组成的寄存器

图 6.1 所示电路为由 4 位 D 锁存器组成的寄存器，它可以存储 4 位二进制信息。当门控信号  $G = 1$  时，将数据  $D_0 \sim D_3$  分别送至  $Q_0 \sim Q_3$ ；而当  $G = 0$  时，保持  $Q$  不变，从而达到保存数据的目的。异步复位端  $\bar{R}$  用于对寄存器总清 0。74 系列的锁存器型寄存器有 74LS75 等。

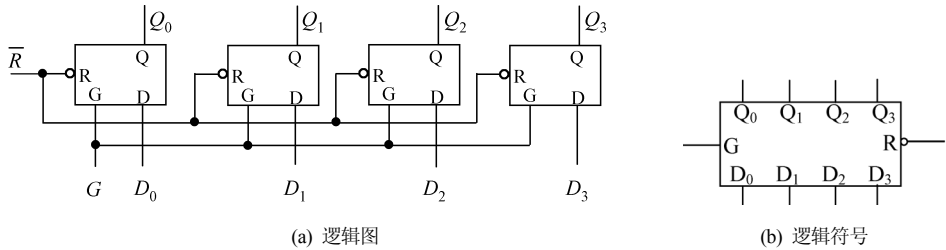


图 6.1 锁存器组成的寄存器

74LS75 是 4D 锁存器，其引脚分布图和功能表分别如图 6.2 和表 6.1 所示。可见，锁存器 1、2 公用门控信号  $G_{1,2}$ ，锁存器 3、4 公用门控信号  $G_{3,4}$ 。74LS75 没引出清 0 端。

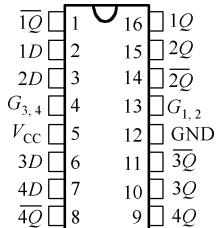


表 6.1 74LS75 的功能表

D	G	Q	$\bar{Q}$
L	H	0	1
H	H	1	0
×	L	$Q_0$	$\bar{Q}_0$

图 6.2 74LS75 的引脚分布图

### 6.1.2 触发器组成的寄存器

图 6.3 所示电路为由 4 位 D 触发器组成的寄存器，它可以存储 4 位二进制信息。它在时钟的上升沿将数据  $D_0 \sim D_3$  分别送至  $Q_0 \sim Q_3$ ；而在其他时间保持数据  $Q$  不变，从而达到保存数据的目的。异步复位端  $\bar{R}$  用于对寄存器总清 0。74 系列的触发器型寄存器有 74LS175 等。

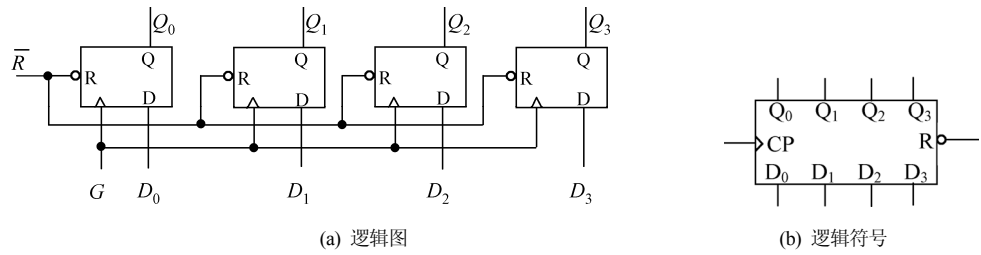


图 6.3 触发器组成的寄存器

74LS175 是由 4 个 D 触发器组成的数据寄存器, 每个 D 触发器的  $D$ 、 $Q$ 、 $\bar{Q}$  都有引出脚。CP、 $\overline{\text{CLR}}$  公用。其引脚分布图和功能表分别如图 6.4 和表 6.2 所示。

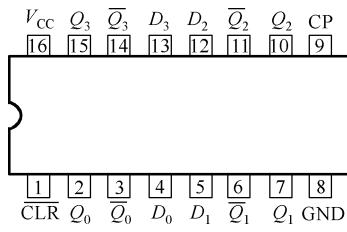


图 6.4 74LS175 的引脚分布图

表 6.2 74LS175 的功能表

CP	$\overline{\text{CLR}}$	$D$	$Q$	$\bar{Q}$
$\times$	L	$\times$	L	H
$\uparrow$	H	L	L	H
$\uparrow$	H	H	H	L
L	H	$\times$	$Q_0$	$\bar{Q}_0$

## 6.2 异步计数器

### 6.2.1 异步二进制加法计数器

图 6.5(a)所示电路为由三个 T'触发器组成的异步二进制加法计数器(Asynchronous Binary Up Counter), 其中前一级触发器的输出  $Q$  作为后一级触发器的时钟输入 CP。由于触发器不是公用一个时钟, 它们的翻转动作不是同时发生, 所以称这种不是所有触发器公用同一个输入时钟的电路为异步时序电路。图 6.5(b)所示为逻辑符号。该电路没有输入信号, 将触发器的输出  $Q$  作为电路的输出, 所以它是一个摩尔型电路。由 T'触发器的特点——触发器状态在每个时钟的下降沿翻转, 很容易画出图 6.6 所示电路的时序图, 图中假设触发器的初始状态均为 0。

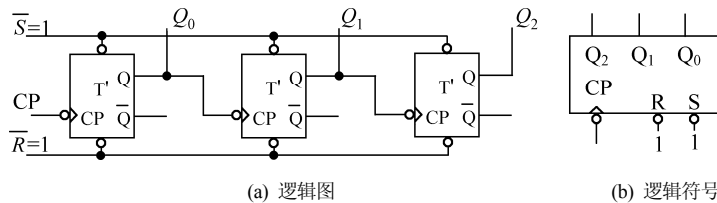


图 6.5 异步二进制(模 8)加法计数器

如果将三个触发器的状态按顺序  $Q_2Q_1Q_0$  作为该时序电路的状态, 则可以由图 6.6 得到图 6.7 所示的该时序电路的**状态转换图**<sup>①</sup>(简称**状态图**)。如果把  $Q_2Q_1Q_0$  的状态看成一个二进制数, 则这个二进制数从  $000 \rightarrow 111$  周而复始地循环, 也就是说, 图 6.5 所示电路每输入一个时钟脉冲, 该二进制数加一。

① 画状态图时必须注明触发器状态的顺序, 如图 6.7 所示。

因此可将该电路的状态看做是输入时钟脉冲的个数，通常称这类电路为计数器。由于该计数器的计数值是递增的，所以称为加法计数器（Up Counter）。

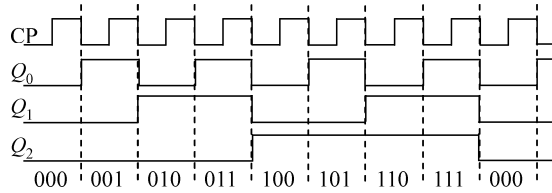


图 6.6 异步二进制（模 8）加法计数器的时序图

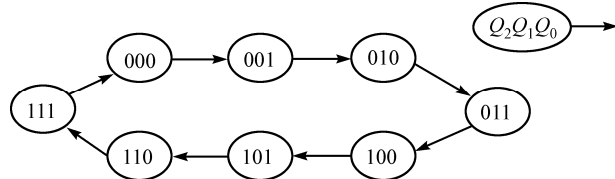


图 6.7 计数器的状态转换图

计数器电路的状态图包含一个**主循环**，称为**有效循环**。有效循环所包含的状态称为**有效状态**。除有效循环外，所有的循环都是**无效循环**。不是有效状态的所有状态都是**无效状态**。计数器的有效循环所包含的状态的个数称为**计数器的模**。图 6.5 所示电路的主循环包含  $2^3 = 8$  个状态（如图 6.7 所示，所有状态均为有效状态），所以该计数器为**模 8 计数器**，或称为三位二进制计数器。当然任意模计数器（模不等于  $2^n$  的计数器，见 6.2.2 节）除有效状态和有效循环外，还有无效状态和无效循环（见 6.2.2 节）。

由图 6.6 可知， $T_{Q2} = 2^1 \cdot T_{Q1} = 2^2 \cdot T_{Q0} = 2^3 \cdot T_{cp}$ ，所以  $f_{Q2} = f_{cp}/2^3$ ， $f_{Q1} = f_{cp}/2^2$ ， $f_{Q0} = f_{cp}/2^1$ ，即  $Q_2$ 、 $Q_1$ 、 $Q_0$  的频率分别是 CP 频率的  $1/8$ 、 $1/4$ 、 $1/2$ ，所以从输入、输出频率关系的角度又称该电路为分频器。当计数器作为分频器使用时，往往只需要一个输出端，只要在计数器的输出端中找出频率符合要求的一位输出即可。

## 6.2.2 脉冲反馈复位（置位）式任意模 M 异步加法计数器

利用触发器的异步复位端  $\bar{R}$ 、异步置位端  $\bar{S}$  可分别得到脉冲反馈复位式、脉冲反馈置位式任意模加法计数器。

### 1. 脉冲反馈复位式

图 6.8 所示电路为在图 6.5 所示异步二进制加法计数器电路的基础上增加了一个反馈异步复位电路而组成的一个新的电路：输出  $Q_2$ 、 $Q_0$  经与非门后反馈至异步清 0 端。当与非门输出为 1 时，异步清 0 信号无效，计数器的工作过程与二进制加法计数器相同；当与非门输出为 0 时，异步清 0 信号有效，将计数器清 0。这样构成的模 M 加法计数器称为脉冲反馈式加法计数器，所用方法称为异步清 0 法。

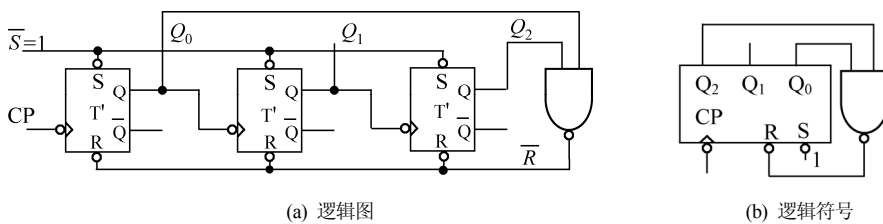


图 6.8 异步模 5 加法计数器

设计数器初始状态为 000，则在时钟作用下计数器状态依次为 000, 001, 010, 011, 100。当下一个时钟到达时，计数器状态翻转为 101，使与非门的输出变为  $\bar{R} = 0$ ，该信号作用于所有触发器的清 0 端，使所有触发器清 0，计数器回到初始状态 000。图 6.9 所示为图 6.8 所示电路的时序图。由图 6.9 可见，该计数器的状态在 000~100 之间循环，而状态 101 只持续很短的时间（几十纳秒），在时钟周期  $T_5$  中它只占很小一部分，其他时间均为状态 000，所以认为  $T_5$  的状态为 000，而称状态 101 为过渡状态。此后的状态又依次为 001, 010, …，所以该计数器是模 5 计数器，其状态转换图如图 6.10 所示，图中过渡状态用虚线表示。状态 110 和 111 是无效状态，它们也被画在了状态图上，以构成完整的状态图。显然，状态 111 也只能是一个过渡状态，读者可自行分析。

$Q_0$  在  $T_5$  期间出现的很窄的脉冲称为“毛刺”。利用脉冲反馈复位法实现模 M 加法计数器，肯定会出现毛刺。毛刺只能出现在过渡状态。不同模的计数器出现毛刺的  $Q$  端不同。如果毛刺对后续电路工作有影响，则不能使用脉冲反馈法实现计数器。出现毛刺的  $Q$  端的判断：当计数器状态由  $M-1$  到  $M$  时，状态由 0 变为 1 的  $Q$  端会出现毛刺。毛刺为一宽度很窄的正脉冲。

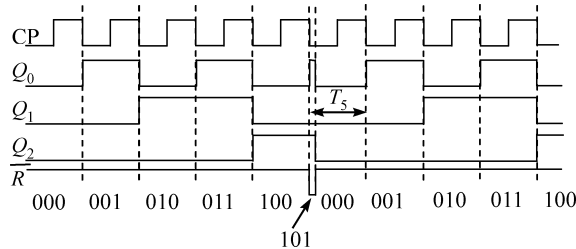


图 6.9 异步模 5 加法计数器的时序图

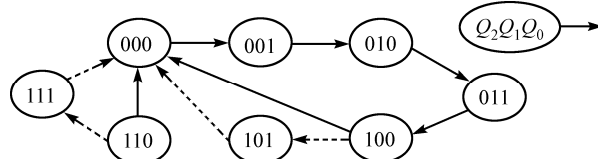


图 6.10 计数器的状态转换图

如果要设计脉冲反馈式复位模  $M$  加法计数器，可分以下三步进行：①确定触发器位数  $n$ :  $2^{n-1} < M \leq 2^n$ ; ②将  $n$  位触发器接成  $n$  位二进制计数器；③用状态  $M$  去异步清 0。有效状态为 0, 1, 2, …,  $M-1$ ，状态  $M$  为过渡状态。

## 2. 脉冲反馈置位法

图 6.11 所示为利用异步二进制加法计数器的异步置位端构成的异步置位式模 5 加法计数器。

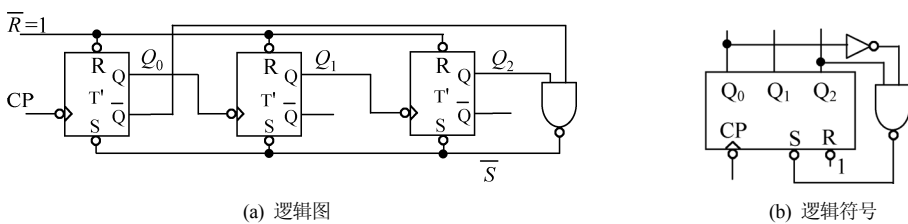


图 6.11 异步置位式模 5 加法计数器

设计数器初始状态为  $Q_2Q_1Q_0 = 000$ 。当计数器计数到 100 时，置位信号  $\bar{S}$  有效，将计数器状态置

为 111，此后置位信号又无效，计数器继续计数……所以计数器的有效状态为 000、001、010、011、111，而 100 为过渡状态，所以计数器的模为 5。

用脉冲反馈置位法实现任意模 M 加法计数，只要用状态  $M-1$  去置位即可。有效状态为 0、1、2、…、 $M-2$ 、 $2^n-1$ （即全 1）， $M-1$  为过渡状态。

用脉冲反馈置位法实现任意模 M 加法计数，可能会出现毛刺。如果出现毛刺，则出现毛刺的位置是由状态  $M-2$  到状态  $M-1$  时由 1 变 0 的触发器的输出端，毛刺为一宽度很窄的负脉冲。

### 6.2.3 异步二进制减法计数器

图 6.12 所示电路与图 6.5 所示电路的不同点只是将下降沿翻转的触发器换成了上升沿翻转的触发器。此时每个触发器在前级触发器状态  $Q$  的上升沿翻转，其时序图如图 6.13 所示。由时序图知，此时的输出状态顺序为 111、110、…、000、111，是递减的，因此称为二进制减法计数器。

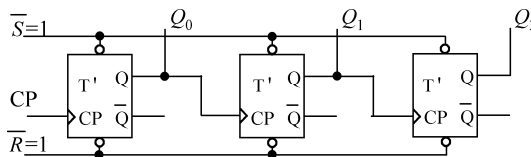


图 6.12 异步二进制（模 8）减法计数器

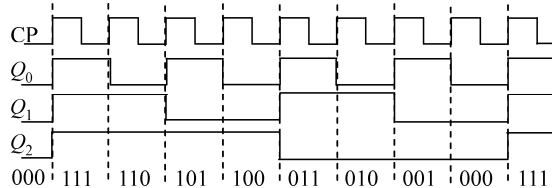


图 6.13 异步二进制（模 8）减法计数器的时序图

当然，用脉冲反馈复位/置位法，也可将异步减法计数器设计成任意模的计数器，这样的计数器可能/一定会出现毛刺。

### 6.2.4 可逆异步二进制计数器

所谓可逆计数器，就是既可以加法计数，又可以减法计数的计数器。它的构成：T' 触发器和  $2-1$  多路选择器，见题 6-3。

### 6.2.5 $n$ 位异步二进制计数器小结

组成：T' 触发器。若给定其他触发器，则可先将其转换为 T' 触发器。

输出： $Q_{n-1}Q_{n-2}\cdots Q_0$ 。

加法计数器：① 使用下降沿翻转触发器： $CP_0 = CP$ ,  $CP_i = \overline{Q_{i-1}}$ ,  $i = 1, 2, \dots, n-1$ ;

② 使用上升沿翻转触发器： $CP_0 = CP$ ,  $CP_i = Q_{i-1}$ ,  $i = 1, 2, \dots, n-1$ 。

减法计数器：① 使用下降沿翻转触发器： $CP_0 = CP$ ,  $CP_i = \overline{Q_{i-1}}$ ,  $i = 1, 2, \dots, n-1$ ;

② 使用上升沿翻转触发器： $CP_0 = CP$ ,  $CP_i = Q_{i-1}$ ,  $i = 1, 2, \dots, n-1$ 。

由上述 4 种二进制计数器，利用脉冲反馈复位（置位）法均可组成任意模 M 计数器：

① 脉冲反馈复位式模 M 加法计数器用状态  $M$  清 0，有效状态为 0、1、2、…、 $M-1$ ，状态  $M$  为过渡状态，肯定会产生毛刺；

② 脉冲反馈置位式模 M 加法计数器用状态  $M-1$  置位，有效状态为  $0、1、2、\dots、M-2、2^n-1$ （全 1 状态），状态  $M-1$  为过渡状态，可能会产生毛刺；

③ 脉冲反馈复位式模 M 减法计数器用状态  $M$  的补码，即  $2^n-M$  清 0，有效状态为  $2^n-1$ （全 1 状态）、 $2^n-2、\dots、2^n-(M-1)、0$ ，状态  $2^n-M$  为过渡状态，可能会产生毛刺；

④ 脉冲反馈置位式模 M 减法计数器用状态  $M+1$  的补码，即  $2^n-(M+1)$  置位，有效状态为  $2^n-1$ （全 1 状态）、 $2^n-2、\dots、2^n-M$ ，状态  $2^n-(M+1)$  为过渡状态，肯定会产生毛刺。

读者可自行总结出现毛刺的位置。

异步计数器的优点是电路结构简单，缺点是速度慢。如果一个触发器的由时钟 CP 端到  $Q$  端的延时为  $t_{pd}$ ，则从时钟沿到达所有触发器完成翻转， $n$  级异步计数器最长需要时间  $n \cdot t_{pd}$  才能完成所有触发器的翻转。

### 6.3 同步二进制计数器

同步二进制加法计数器（Synchronous Binary Up Counter）的逻辑图如图 6.14(a)所示，它由 T 触发器组成。其中，第一级 T 触发器接成 T'触发器，第  $i$  级触发器的驱动方程为  $T_i = Q_0Q_1\dots Q_{i-1}$  ( $i = 1, 2, \dots, n-1$ )。所有触发器公用输入时钟 CP，同步动作，所以称为同步计数器。由于是同步电路，从时钟沿到达所有触发器完成翻转， $n$  级同步计数器最长延时就是单级触发器的延时  $t_{pd}$ ，当级数较多时，它比异步电路要快得多。

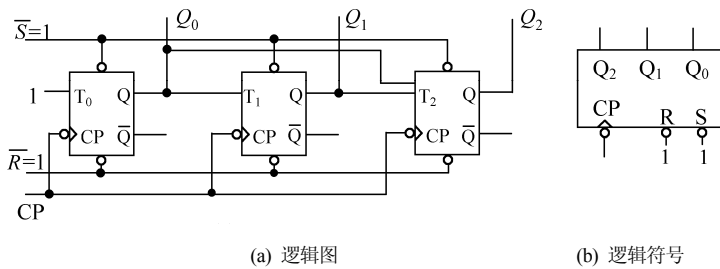


图 6.14 同步二进制（模 8）加法计数器

根据 T 触发器的状态方程  $Q^{n+1} = T \oplus Q$  不难得出，同步二进制加法计数器中的  $Q_i$  只有当  $Q_0、Q_1、\dots、Q_{i-1}$  均为 1 时，它的状态才会改变。因此同步二进制加法计数器的时序图与异步二进制加法计数器的相同，如图 6.6 所示。当然，同步计数器由于所有触发器均公用同一时钟，所以它的工作速度要比异步计数器快。

同步减法计数器也由 T 触发器组成，其  $T_0=1$ ， $T_i = \bar{Q}_0\bar{Q}_1\dots\bar{Q}_{i-1}$ ， $i=1, 2, \dots, n-1$ 。读者可自行分析。

当然，与异步计数器一样，用脉冲反馈复位（置位）法也可以将同步二进制计数器构成任意模的计数器，方法与 6.2.2 节中异步二进制计数器相同。

**同步可逆计数器：**既可以加法计数又可以减法计数的同步计数器。它可由 T 触发器和 2-1 多路选择器组成：2-1 多路选择器的两个数据输入端分别接  $Q_0Q_1\dots Q_{i-1}$  和  $\bar{Q}_0\bar{Q}_1\dots\bar{Q}_{i-1}$ ，输出接  $T_i$ ，数据选择输入端控制加/减计数。

### 6.4 集成计数器

计数器在数字系统中的应用非常广泛。为使用方便，74 系列 TTL 和 4000 系列 MOS 中均有各式各样的集成计数器可用，如二进制计数器和非二进制计数器，同步计数器和异步计数器，加法计数器、

减法计数器和可逆(加/减)计数器等。在生产厂家提供的数据手册中都会给出逻辑图、功能表、逻辑符号和各种电参数等。有了这些信息后，用户就可以使用这些器件了。以下介绍几种74系列集成计数器及其使用方法。

### 6.4.1 异步二-五-十计数器 74LS290

#### 1. 74LS290 的结构和工作原理

74LS290是异步计数器，其内部分为模2和模5两个计数器，异步清0和置9端公用。将两个计数器级联，则可构成不同编码的十进制计数器。厂家给出的逻辑图、逻辑符号和功能表分别如图6.15(a)、图6.15(b)和表6.3<sup>①</sup>所示。

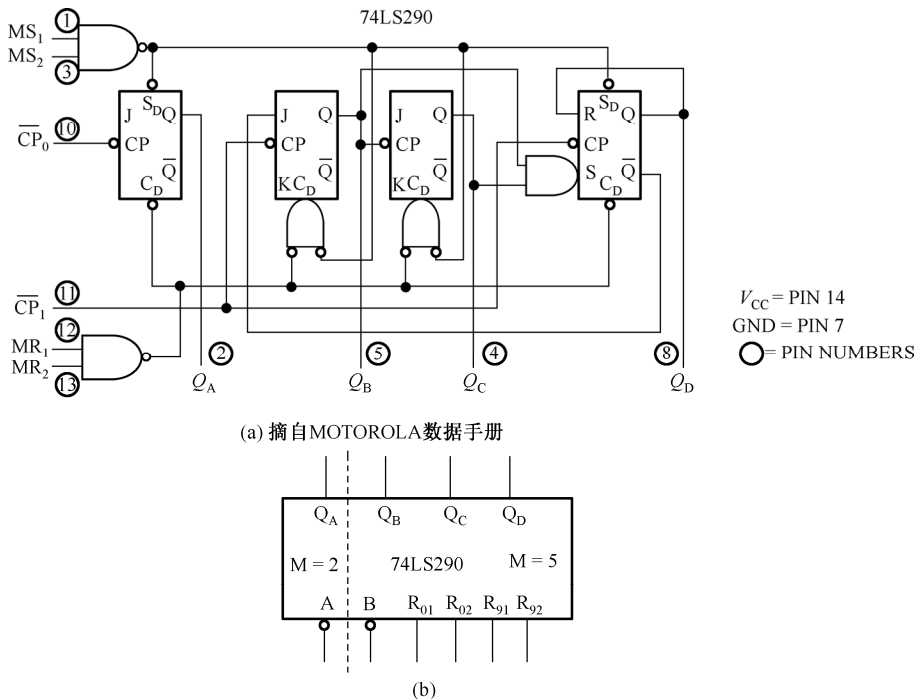


图6.15 74LS290逻辑图和逻辑符号

先不考虑清0端与置9端，把它们接为无效，则图6.15(a)所示电路由两部分组成：触发器A接成T'触发器，构成模2计数器，时钟（下沿翻转）由A端输入，其计数状态为0、1；触发器B、C、D共同组成异步模5计数器，时钟（下沿翻转）由B端输入，触发器D为高位，其计数顺序为 $Q_D Q_C Q_B = 000, 001, 010, 011, 100$ 。显然可以将74LS290作为两个计数器分别使用。如果将这两个计数器级联使用，则可分别构成两种编码的BCD计数器：①时钟由A输入， $Q_A$ 接B，构成 $5 \times 2 = 10$ 计数器，输出编码( $Q_D Q_C Q_B Q_A$ )为8421码，此时 $Q_D$ 为最高位(MSB)；②时钟由B输入， $Q_D$ 接A，构成 $2 \times 5 = 10$ 计数器，输出编码( $Q_A Q_D Q_C Q_B$ )为5421码，此时 $Q_A$ 为最高位。两种BCD码接法如图6.16所示，输出编码如表6.4所示。

$R_{01}, R_{02}$ 为异步清0端，高有效； $S_{91}, S_{92}$ 为异步置9端，高有效。由图6.15可见，当 $R_{01} \cdot R_{02}$ 有效而 $S_{91} \cdot S_{92}$ 无效时，对所有4个触发器清0，也就是对计数器清0；当 $S_{91} \cdot S_{92}$ 有效时，对 $Q_A, Q_D$ 置

<sup>①</sup> 74LS290内部是由触发器而不是锁存器构成的，但习惯上在时钟端不画表示时钟的三角符号。

表 6.3 74LS290 的功能表

复位、置位输入				输出			
$R_{01}$	$R_{02}$	$S_{91}$	$S_{92}$	$Q_D$	$Q_C$	$Q_B$	$Q_A$
H	H	L	X	L	L	L	L
H	H	X	L	L	L	L	L
X	X	H	H	H	L	L	H
X	L	X	L	COUNT			
L	X	L	X	COUNT			
L	X	X	L	COUNT			
X	L	L	X	COUNT			

1, 对  $Q_B$ 、 $Q_C$  清 0, 也就是对计数器置 1001 (8421BCD 码) 或 1100 (5421BCD 码), 即置 9。表 6.3 表明,  $R_{01}$ 、 $R_{02}$  同时为 1 时, 清 0 信号有效;  $S_{91}$ 、 $S_{92}$  同时为 1 时, 置 9 信号有效; 置 9 信号优先于清 0 信号, 即二者同时有效时, 对计数器置 9。图 6.15 中触发器的  $C_D$  和  $S_D$  分别为复位端和置位端。

## 2. 用 74LS290 实现任意模计数器

利用清 0 端和置 9 端可将 74LS290 设计成任意模小于 10 的计数器。当模小于等于 5 时, 只用  $Q_D Q_C Q_B$

即可; 当模大于 5 时, 可先将 74LS290 接成十进制, 再用清 0 法或置 9 法。

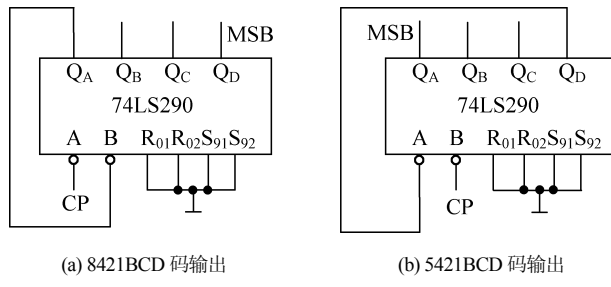


图 6.16 74LS290 的两种 BCD 码输出接法

表 6.4 74LS290 输出的两种 BCD 码

(a) 8421BCD 码					(b) 5421BCD 码				
CP	$Q_D$	$Q_C$	$Q_B$	$Q_A$	CP	$Q_A$	$Q_D$	$Q_C$	$Q_B$
0	0	0	0	0	0	0	0	0	0
1	0	0	0	1	0	0	0	0	1
2	0	0	1	0	0	0	0	1	0
3	0	0	1	1	0	0	0	1	1
4	0	1	0	0	0	0	1	0	0
5	0	1	0	1	0	1	0	0	0
6	0	1	1	0	0	1	0	0	1
7	0	1	1	1	0	1	0	1	0
8	1	0	0	0	0	1	0	1	1
9	1	0	0	1	0	1	1	0	0

利用异步清 0 法实现任意模  $M$  的原理与 6.2.2 节相同, 但必须注意此处是高有效。另外, 74LS290 有两个异步清 0 端, 当清 0 信号有两个输入时可不用门电路, 直接连线即可, 这为使用带来了方便。利用异步清 0 法实现任意模  $M$  会产生毛刺。

**【例 6.1】** 试用 74LS290 实现模 6 异步计数器, 并指出毛刺出现的位置。用异步清 0 法, 8421BCD 接法。

**解:** 因为要求用异步清零法, 所以首先将置 9 端接为无效。然后将 74LS290 接成 8421BCD 码计数器, 并当计数器计数到状态 6 ( $Q_D Q_C Q_B Q_A = 0110$ ) 时清 0, 也就是使  $R_{01} = R_{02} = Q_C \cdot Q_B$ 。在此使  $R_{01} = Q_B$ ,  $R_{02} = Q_C$ , 可节省一个门, 如图 6.17(a)所示。由状态 5 (0101) ( $M-1$ ) 到状态 6 (0110) ( $M$ ) 时,  $Q_B$  由 0 变为 1, 所以毛刺出现在  $Q_B$  上, 是正脉冲。

利用异步置9法构成模M计数器，则是当计数器计数到 $M-1$ 时将计数器置9。此时有效状态循环为 $0 \sim M-2$ 、9共M个状态，而状态 $M-1$ 是过渡状态。利用异步置9法实现模M计数器，可能会产生毛刺。

**【例6.2】**试用74LS290实现模6异步计数器，并指出毛刺出现的位置。用异步置9法，5421BCD接法。

解：因为要求用异步置9法，所以首先将清零端接为无效。然后将74LS290接成5421BCD码计数器，并当计数器计数到 $6-1=5$  ( $Q_A Q_D Q_C Q_B = 1000$ ) 时置9。此时可有两种接法： $S_{91} \cdot S_{92} = Q_A \overline{Q_D}$ ，也可以使 $S_{91} = Q_A$ ， $S_{92} = \overline{Q_D}$ 。图6.17(b)采用了后一种接法，这样可以节省一个与门。由状态4(0100) ( $M-2$ ) 到状态5(1000) ( $M-1$ ) 再到状态9(1100)时， $Q_D$ 由1变为0，又由0变为1，所以毛刺出现在 $Q_D$ 上，是负脉冲。

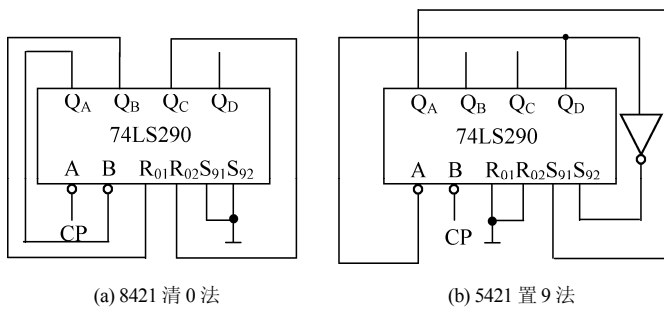


图6.17 用74LS290实现模6计数器的两种方法

### 3. 74LS290的级联

当计数器的模大于10时，则必须用多片74LS290来实现，这就需要对74LS290进行级联。级联分为两种情况：(1)先反馈后级联，适用于对输出编码无要求且 $M=M_1 \times M_2$ 的情况，方法是先分别做出模为 $M_1$ 、 $M_2$ 的两个计数器，再将计数器 $M_1$ 的输出最高位作为计数器 $M_2$ 的时钟即可；(2)先级联后反馈，适用于要求输出为BCD码或 $M$ 不能分解为 $M_1 \times M_2$ 的情况，方法是先将n片74LS290按要求的输出编码级联成模为 $10^n$ 的计数器，再确定反馈方程。

**【例6.3】**试用74LS290实现 $M=56$ 计数器。

解：题目中对输出编码没有要求，且 $M=56=7 \times 8$ ，故可以采用先反馈后级联的方法。

第一步：将两个74LS290分别接成8421BCD输出；

第二步：将两个74LS290用异步清0法分别接成模7和模8计数器；

第三步：将模7计数器的最高有效输出位( $Q_C$ )接至模8计数器的时钟端作为时钟输入，设计结束。  
结果如图6.18所示。

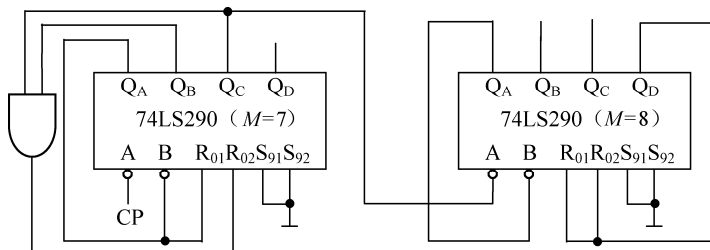


图6.18 用74LS290实现模56计数器

**【例 6.4】** 试用 74LS290 实现  $M=56$  计数器, 要求输出 5421BCD 码。

解: 由于要求输出 5421BCD 码, 必须采用先级联后反馈法。

第一步: 将两个 74LS290 分别接成 5421BCD 码输出, 并将它们级联成模  $10^2 = 100$  计数器;

第二步: 当十位输出 5、个位输出 6, 即输出状态为 1000 1001 时, 同时将两片 74LS290 异步清 0; 结果如图 6.19 所示。

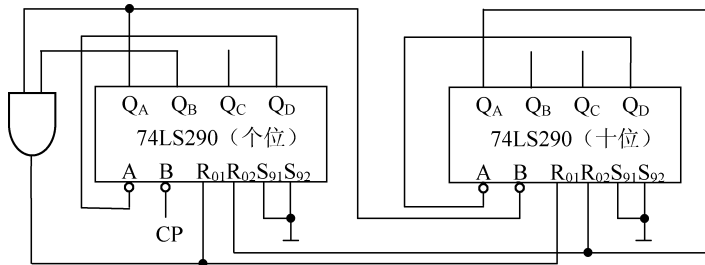


图 6.19 用 74LS290 实现 5421BCD 码模 56 计数器

## 6.4.2 同步二进制计数器 74LS161/74LS163

### 1. 74LS161/163 的结构和工作原理

74LS163 和 74LS161 都是 4 位二进制(模 16)计数器, 它们的不同之处只是清 0 时刻不同, 前者是同步清 0, 而后者则是异步清 0。

图 6.20 所示为 74LS163 的逻辑图和逻辑符号, 表 6.6 所示为它的功能表。由图 6.20(a)可见, 74LS163 有 5 个输出端:  $Q_D, Q_C, Q_B, Q_A$  为 4 个触发器的输出, 其中  $Q_D$  为最高位; RCO 为进位输出,  $RCO = TQ_DQ_CQ_BQ_A$ , 只有当  $Q_D, Q_C, Q_B, Q_A$  全为 1, 且  $T$  也为 1 时 RCO 才等于 1, 其他情况下 RCO 均为 0。它有 9 个输入端, 以下分别介绍。

**输入时钟 CLK。** 触发器是下降沿翻转, 而 CLK 输入后经过了一个反相器送给下降沿触发的 JK 触发器, 所以该计数器在时钟的上升沿翻转。4 个触发器公用 CLK, 所以是同步计数器。

**清 0 端  $\overline{CLR}$ 。** 由图 6.20(a)可见, 当清 0 信号 ( $\overline{CLR}$ ) 有效时, 74LS163 是使 JK 触发器的  $J=0, K=1$ , 而不是直接对触发器清 0, 所以只有当下一个时钟沿到达时才对触发器清 0。这就是同步清 0 的含义。而 74LS161 的清 0 信号则是直接加在触发器的清 0 端, 与时钟无关, 所以是异步清 0。

**预置信号  $\overline{LD}$  和输入数据  $A, B, C, D$ 。** 分析图 6.20(a)可知, 当预置信号  $\overline{LD}$  有效且  $\overline{CLR}$  无效时, 触发器 A 的  $J_A = A, K_A = \overline{A}$ , 从而当时钟沿到达时使  $Q_A = A$ , 即将数据  $A$  送入触发器 A; 对于触发器 B、C、D 也是如此。以上分析说明: 当预置信号有效时, 在下一个时钟沿将输入数据  $A, B, C, D$  分别置入  $Q_A, Q_B, Q_C, Q_D$ , 这就是所谓的同步预置。同步预置的优先级低于同步清 0。

**计数使能端  $P$  和  $T$ 。** 当清 0 信号和/或预置信号有效时,  $T$  只影响 RCO, 除此之外,  $P, T$  对整个电路无影响。当清 0 信号和预置信号均无效时, JK 触发器被接成了 T 触发器, 而此时  $T_A = PT, T_B = PTQ_A, T_C = PTQ_AQ_B, T_D = PTQ_AQ_BQ_C$ , 4 个触发器被接成了一个可控 4 位二进制同步计数器, 或模 16 计数器: 当  $PT = 0$  时, 所有 T 触发器的  $T$  端等于 0, 计数器处于保持状态; 当  $PT = 1$  时, 计数器按同步计数器的规律计数。 $P, T$  的区别是:  $T$  影响 RCO, 而  $P$  对 RCO 无影响。

综上所述, 74LS163 是可同步预置、可同步清 0、可控制计数/保持的同步二进制计数器, 其功能表如表 6.5 所示。图 6.21 所示为 74LS163/161 的时序图, 图中清楚地说明了同步、异步清 0

的区别：清 0 信号  $\overline{CLR}$  有效时是等到下一个时钟沿清 0 还是立即清 0。图 6.21 还说明了预置信号有效时如何预置及预置后的工作情况：预置后计数器从预置数开始计数；计数器计满 ( $Q_D Q_C Q_B Q_A = 1111$ ) 后，若无预置信号，则计数器回 0，再开始计数；若有预置信号，则又将  $DCBA$  分别置入  $Q_D Q_C Q_B Q_A$ 。

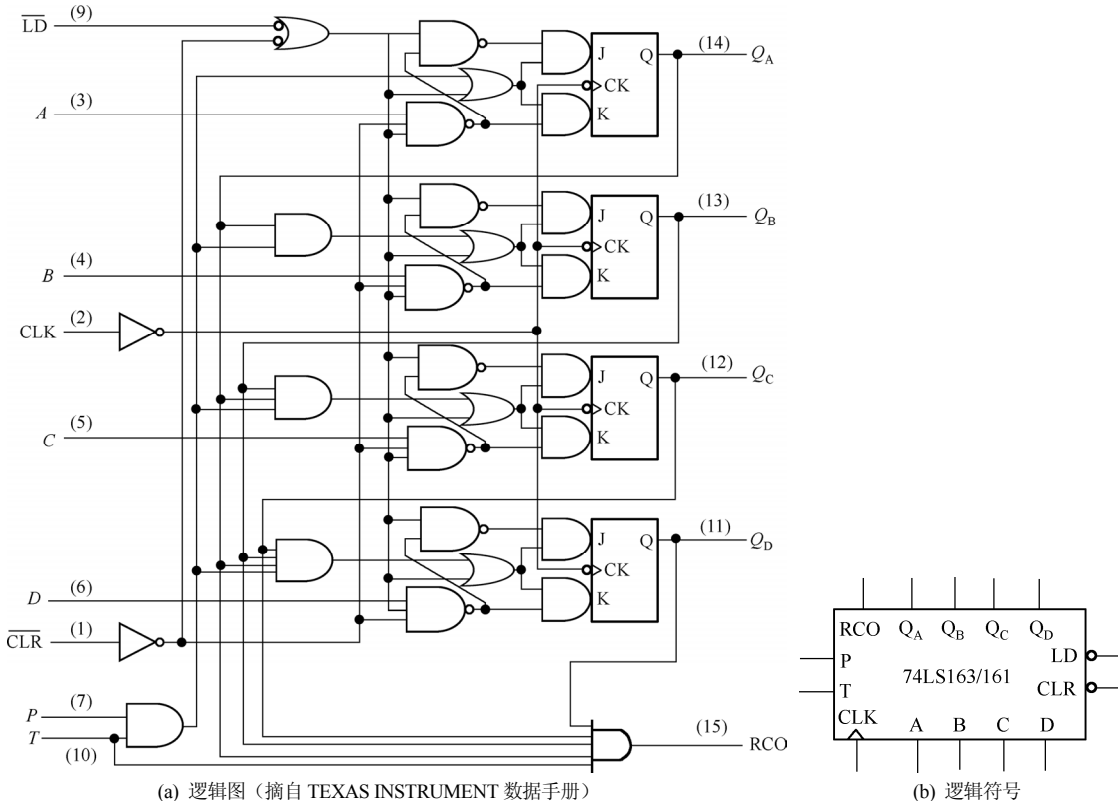


图 6.20 74LS163 的逻辑图和逻辑符号

## 2. 利用 74LS161/163 实现任意模计数器

表 6.5 74LS163 的功能表

利用 74LS163/161 的清 0 端或预置端可实现任意模的计数器。

### (1) 清 0 法

由于 74LS161 是异步清 0，所以用它实现模  $M$  计数器，只要用状态  $M$  清 0 即可。当然用异步清 0 法实现任意模的计数器也会产生毛刺。

而 74LS163 是同步清 0，用它实现模  $M$  计数器时，要用状态  $M-1$  清 0，由于状态  $M-1$  占有一个时钟周期，所以计数器的计数状态循环为  $0, 1, \dots, M-1$ ，共  $M$  个状态。

**【例 6.5】** 分别用 74LS163/161 实现模 12 计数器，要求用清 0 法，并指出用哪种芯片会产生毛刺。

解：① 用 74LS161

由于 74LS161 为异步清 0，所以应该当电路状态为  $M = 12$ ，即  $Q_D Q_C Q_B Q_A = 1100$  时清 0，令  $\overline{CLR} = \overline{Q_D Q_C}$  即可。

CLK	$\overline{CLR}$	$\overline{LD}$	$P$	$T$	功能
$\uparrow$	0	$\times$	$\times$	$\times$	同步清 0
$\uparrow$	1	0	$\times$	$\times$	同步预置
$\uparrow$	1	1	1	1	同步计数
$\times$	1	1	0	1	保持
$\times$	1	1	$\times$	0	保持且 $RCO = 0$

令  $P, T$  有效,  $\overline{LD}$  无效, 再令  $\overline{CLR} = \overline{Q_D Q_C}$ , 连接电路即完成设计, 如图 6.22(a) 所示。因为 74LS161 是异步清 0, 所以该电路会产生毛刺。

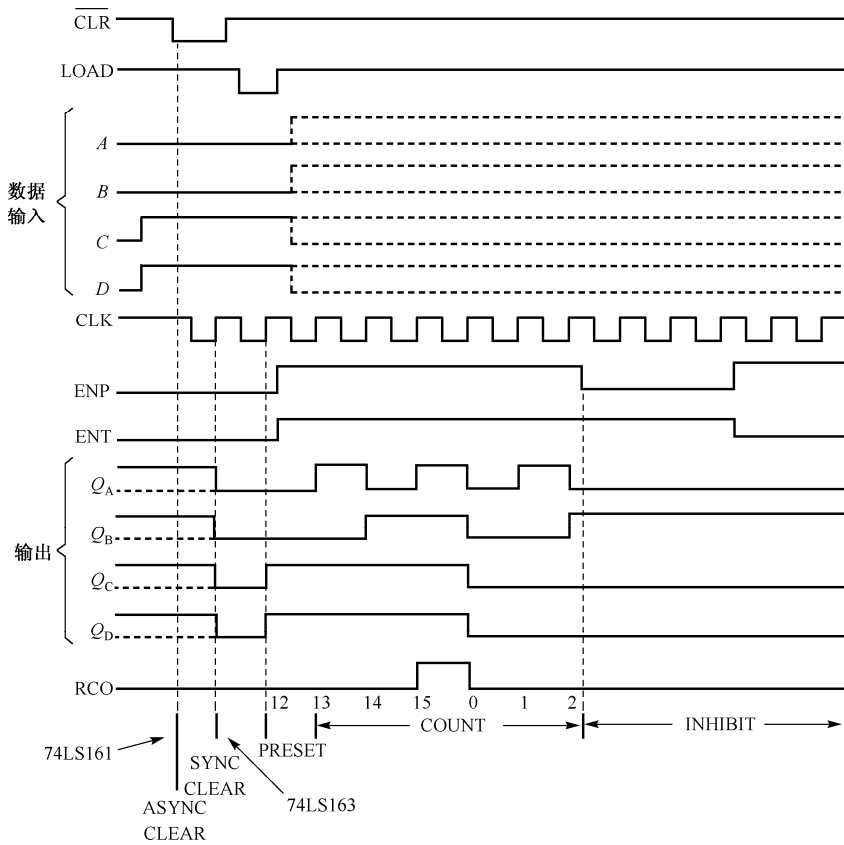


图 6.21 74LS163/161 的时序图

## ② 用 74LS163

由于 74LS163 为同步清 0, 所以应使电路状态为  $M-1 = 11$ , 即  $Q_D Q_C Q_B Q_A = 1011$  时清 0, 令  $\overline{CLR} = \overline{Q_D Q_B Q_A}$  即可。

令  $P, T$  有效,  $\overline{LD}$  无效, 再使  $\overline{CLR} = \overline{Q_D Q_B Q_A}$ , 连接电路, 即完成设计, 如图 6.22(b) 所示。74LS163 是同步清 0, 所以不会产生毛刺。

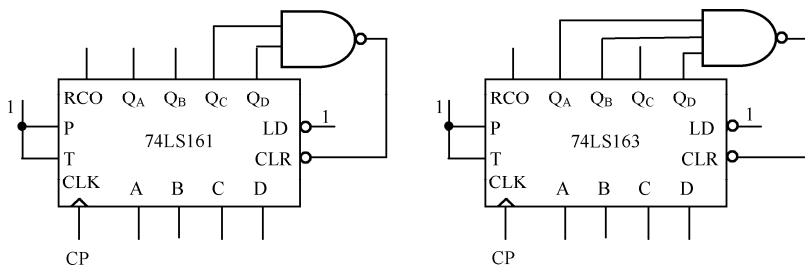


图 6.22 清 0 法实现模 12 计数器

## (2) 预置法

所谓预置法, 就是利用 74LS163/161 的  $\overline{LD}$  端将数据  $D, C, B, A$  送入计数器, 使计数器按照  $DCBA$ ,

$DCBA+1, \dots, 1111$  的顺序计数，计数器计满（计到 1111）后，再利用进位端 RCO 使预置信号有效，将数据  $D$ 、 $C$ 、 $B$ 、 $A$  再次置入。如果要实现模为  $M$  的计数器，则只要将  $M$  的补码 ( $2^4-M$ ) 置入即可。这是 74LS161/163 最常用的方式。

**【例 6.6】** 试用 74LS161/163 实现模 11 计数器，用预置法。

解：因为进位输出 RCO 是高有效，而  $\overline{LD}$  是低有效，所以 RCO 要经过一个反相器接到  $\overline{LD}$ 。要实现模 11 计数器，将 11 的补码  $2^4-11=5$ ，即二进制数 0101 分别接至  $DCBA$ （注意高低位）即可。连接电路时先使  $P$ 、 $T$  有效， $\overline{CLR}$  无效，再使  $\overline{LD}=\overline{RCO}$ ，并令  $DCBA=0101$ ，即完成设计，如图 6.23 所示。由于 74LS161/163 都是同步预置，所以用预置法实现任意模  $M$  计数器时，结果完全一样。

用上述预置法可以实现任意模的计数器，当计数器的模需要变动时，只要改变预置数  $DCBA$  即可。如果将  $DCBA$  接至计算机的输入/输出口，就可以实现程控计数器（分频器）：需要改变计数器的模（分频器的分频比）时，只要从计算机输出相应数据即可，十分方便。显然，清 0 法做不到这一点。

用预置法实现模  $M$  计数器有多种做法，同样是模 11 计数器，也可以用下列实现：预置数为 0，计数器状态为 10 时预置；预置数为 1，11 时预置……当然这时预置信号要用与非门来实现，如图 6.24 所示。显然这种做法不如图 6.23 所示的那样方便。

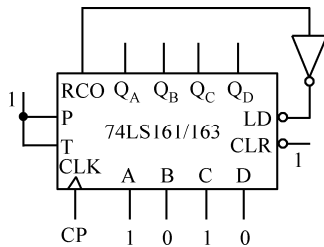


图 6.23 预置法实现模 11 计数器

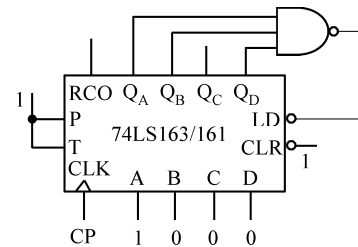


图 6.24 预置法实现模 11 计数器的另一种方法

### 3. 74LS161/163 的级联

74LS161/163 的级联：当要设计的计数器的模超过 16 时，就要将多片级联。与 74LS290 类似，74LS161/163 的级联也分为先级联后反馈和先反馈后级联两种方法。还可以有同步级联和异步级联之分。

(1) 同步级联法。将  $n$  片 74LS161/163 同步级联成  $4n$  位二进制计数器：同步级联时所有芯片公用输入时钟；前一级的 RCO 接后一级的 T 端，这样只有当前一级输出为全 1 时才允许后一级加 1；所有芯片的 P 端、 $\overline{CLR}$  和  $\overline{LD}$  分别接在一起，即完成同步级联。图 6.25 所示为两片组成的 8 位同步二进制计数器，从虚线框外看，它就是与单片 74LS161/163 完全类似的 8 位同步二进制计数器，当然用法也完全相同。

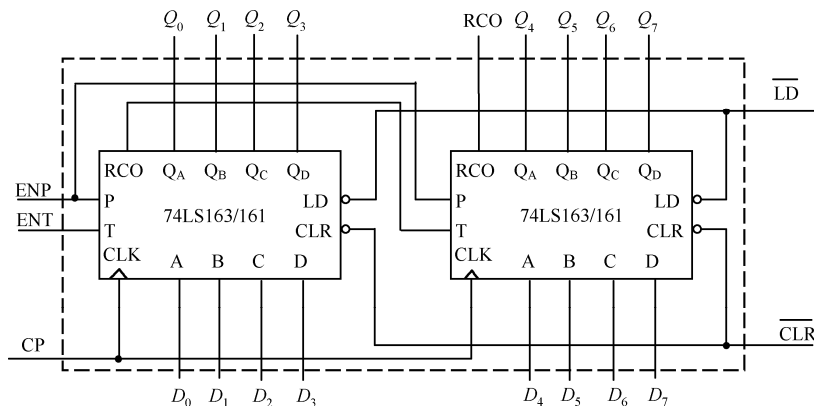


图 6.25 74LS161/163 的同步级联

(2) 异步级联法。将  $n$  片 74LS161/163 异步级联成  $4n$  位二进制计数器：将前一级的  $Q_D$  或 RCO 经反相后接至后一级的时钟端 CP 上，这样能确保前一级计数一周期后给后一级一个时钟，加反相器的原因是 74LS161/163 是上沿翻转；所有芯片的 P、T、 $\overline{\text{CLR}}$  和 LD 分别接在一起，所有 RCO<sub>i</sub> 相与作为 RCO 输出，即完成异步级联。图 6.26 所示为两片组成的 8 位异步二进制计数器，从虚线框外看，它就是与单片 74LS161/163 完全类似的 8 位同步二进制计数器，只是片间是异步相联，它与单片 74LS161/163 的用法完全相同。

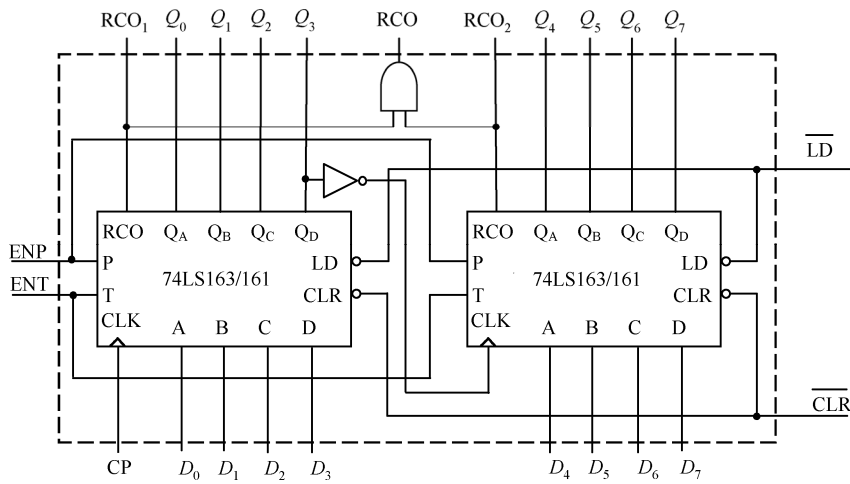


图 6.26 74LS161/163 的异步级联

(3) 级联成  $4n$  位二进制计数器后，再根据设计要求用清 0 法或预置法设计任意模计数器。注意：若用预置法实现，预置数应为  $M$  在位数为  $4n$  时的补码：即  $2^{4n}-M$ 。

(4) 如果所设计计数器的模  $M$  可以分解，则首先将它分解为小于 16 的数相乘，再根据要求用清 0 法或预置法实现各计数器，最后将它们级联起来即完成设计。同样，级联有同步和异步两种方法。

**【例 6.7】** 试用 74LS163 设计模 132 同步计数器，要求先反馈后级联。

解： $M = 132 = 11 \times 12 = M_1 \times M_2$ 。

用清 0 法：先分别实现模  $M_1$  (1)、模  $M_2$  (2) 两个计数器。因为 74LS163 是同步清 0，所以两个计数器分别在计数状态为 10 和 11 时清 0，即输出状态 ( $Q_D Q_C Q_B Q_A$ ) 为 1010 和 1011 时清 0。下一个问题是级联：根据题目要求，级联后应仍然是同步计数器，所以应将两片 74LS163 的时钟接在一起作为时钟输入端；级联后不应该使前后两个计数器同时动作，而应使高位计数器在低位计数器计满一周期后加 1，这可通过控制高位片的 P、T 端完成。设计结果如图 6.27 所示。

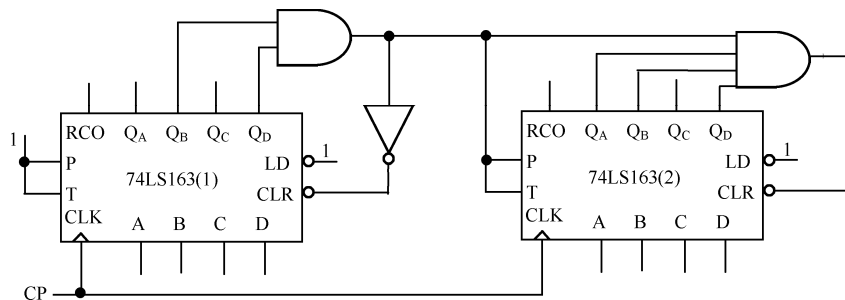


图 6.27 清 0 法实现模 132 计数器

用预置法：先用预置法将两个 74LS163 分别接成模 11（1）和模 12（2）计数器，再将它们同步级联起来即可。结果如图 6.28 所示。

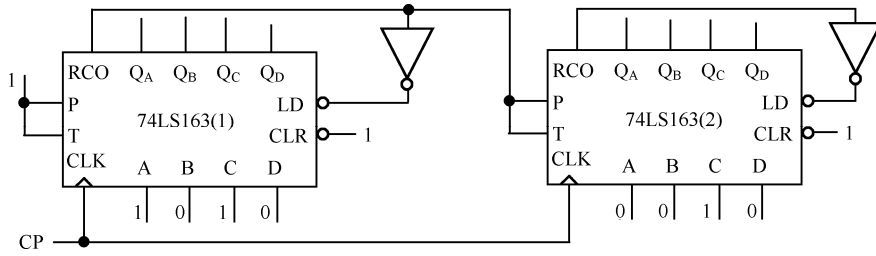


图 6.28 预置法实现模 132 计数器

### 6.4.3 其他集成计数器

74 系列和 4000 系列均有许多集成计数器，如 74LS161、74LS190、74LS191、74LS192、74LS193，CD4020、CD4022、CD4024、CD4026、CD4029、CD40103、CD4518 等，有兴趣的读者可参考数据手册，了解一下。

## 6.5 移位寄存器

### 6.5.1 移位寄存器

移位寄存器（Shift Register, Shifter）由 D 触发器首尾相连构成，简称移存器，如图 6.29(a)所示。图 6.29(a)中所有触发器的时钟都接在一起，构成同步时序电路； $D_0 = S_{in}$ ，为输入数据， $D_i = Q_{i-1}$ ， $i = 1, 2, 3$ 。图 6.29(b)所示为它的逻辑符号，其中异步清 0 端  $R$  为图(a)中所有触发器的异步清 0 端相连引出的引脚（图 6.29(a)中未画出）。

由 D 触发器的特性可知， $Q_i^{n+1} = D_i = Q_{i-1}$ ， $i = 1, 2, 3$ ， $Q_0^{n+1} = D_0 = S_{in}$ ，也就是 $(Q_0 Q_1 Q_2 Q_3)^{n+1} = S_{in} Q_0 Q_1 Q_2$ 。由此可知，每来一个时钟沿，移存器中所存储的数据将向右移一位，这就是移存器的来由。例如，移存器的初态为  $Q_0 Q_1 Q_2 Q_3 = 1010$ ， $S_{in} = 1$ ，则时钟沿到达后移存器的状态变为 1101，也就是将左三位分别移至右三位，而最左位为  $S_{in}$ 。由于每来一个时钟，移存器中所存储的数据向右移一位，所以称图 6.29 所示电路为右移寄存器。

设  $S_{in} = 1011$  且移存器初始状态为 0 时，图 6.30 是图 6.29 所示移存器的时序图。由图 6.30 可见，经过 4 个时钟脉冲后，串行输入数据 1011 分别移入了  $Q_0 Q_1 Q_2 Q_3$ ；如果此后输入数据一直保持为 0，那么再经过 4 个时钟脉冲，输入数据 1011 就完全移出了移存器，移存器的状态回到 0。

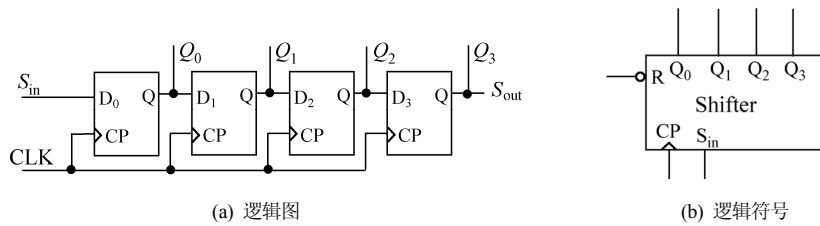


图 6.29 移存器的逻辑图和逻辑符号

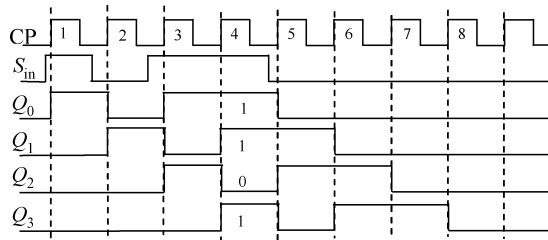


图 6.30 移存器的时序图

表 6.6 和表 6.7 分别是图 6.29 所示移存器在初态为 0, 输入为 1011 时的状态转换表和状态顺序表。状态转换表描述的是次态与输入、现态的关系, 而状态顺序表则描述了在特定输入序列的情况下移存器的状态变化的顺序。仔细观察表 6.6 知,  $Q_0^{n+1} = S_{in}$ ,  $Q_i^{n+1} = Q_{i-1}^n$ ,  $i = 1, 2, 3$ 。表 6.6 和表 6.7 都表明  $Q_0$ 、 $Q_1$ 、 $Q_2$ 、 $Q_3$  是完全相似的, 只是在时间上依次滞后了一个时钟周期。列状态转换表和状态顺序表时只要将现态的左三位分别移至右三位, 而使最左位等于  $S_{in}$  即可。状态顺序表中, 下一行是上一行的次态, 它也完全描述了移存器的特性, 它比状态转换表要简单。

表 6.6 移存器的状态转换表

CP 序号	$S_{in}$	现态 $n$				次态 $n+1$			
		$Q_0$	$Q_1$	$Q_2$	$Q_3$	$Q_0$	$Q_1$	$Q_2$	$Q_3$
1	1	0	0	0	0	1	0	0	0
2	0	1	0	0	0	0	1	0	0
3	1	0	1	0	0	1	0	1	0
4	1	0	1	0	0	1	1	0	1
5	0	1	1	0	1	0	1	1	0
6	0	0	1	1	0	0	0	1	1
7	0	0	0	1	1	0	0	0	1
8	0	0	0	0	1	0	0	0	0

表 6.7 移存器的状态顺序表

CP 序号	$S_{in}$	状态			
		$Q_0$	$Q_1$	$Q_2$	$Q_3$
0	1	0	0	0	0
1	0	1	0	0	0
2	1	0	1	0	0
3	1	0	1	0	1
4	0	1	1	0	1
5	0	0	1	1	0
6	0	0	0	1	1
7	0	0	0	0	1
8	0	0	0	0	0

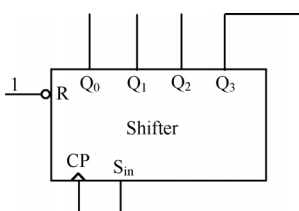


图 6.31 逻辑图

**【例 6.8】** 图 6.31 所示为由右移寄存器组成的时序电路。试做出它的状态转换表，并画出它的完整的状态转换图。

解：① 状态转换表：根据  $(Q_0 Q_1 Q_2 Q_3)^{n+1} = S_{in} Q_0 Q_1 Q_2$ , 认识到现态的左三位是次态的右三位及  $Q_0^{n+1} = S_{in} = Q_3$ , 很容易作出状态转换表, 如表 6.8 所示。

② 根据状态转换表得到状态转换图, 如图 6.32 所示。

表 6.9 移存器的状态转换表

现态 $n$	次态 $n+1$	现态 $n$	次态 $n+1$
$Q_0 Q_1 Q_2 Q_3$			
0000	0000	1000	0100
0001	1000	1001	1100
0010	0001	1010	0101
0011	1001	1011	1101
0100	0010	1100	0110
0101	1010	1101	1110
0110	0011	1110	0111
0111	1011	1111	1111

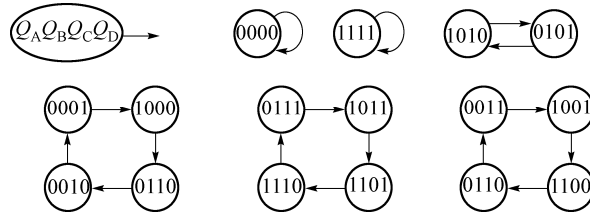


图 6.32 状态转换图

### 6.5.2 移位寄存器的应用

移存器的应用很广，如通信系统中数据的串-并转换，对数据进行乘、除运算等都要用到移存器。图 6.29 所示移存器既可作为串入-串出移存器，又可作为串入-并出移存器使用。

作为串入-串出移存器使用时，数据由串行数据输入端  $S_{in}$  输入，经 4 个时钟后由串行数据输出端  $S_{out}$  输出，也就是说，输出数据比输入数据延迟了 4 个时钟周期。串入-串出移存器常用于数据的延迟。

现代的数据通信系统大多为串行数据通信，在接收端需要将接收到的串行数据转换为并行数据，移存器就可以完成这个任务。图 6.29 所示电路用做串-并转换时，将接收到的串行数据由  $S_{in}$  输入，经过 4 个时钟后所有数据均存储在 4 个触发器中，这时就完成了串并转换，将数据由  $Q_0 \sim Q_3$  读出即可。

通信系统中的发送端首先需要将并行数据转换为串行数据，这也可以由移存器完成。图 6.33 所示为串入/并入-串出/并出移存器，该电路既可以并行输入，也可以串行输入；既可以并行输出，也可以串行输出，应用十分灵活。电路中三个门构成 2-1 多路选择器，由控制信号 Shift/Load 选择移位还是并行输入：当 Shift/Load = 1 时， $D_0 = S_{in}$ ， $D_i = Q_{i-1}$ ， $i = 1, 2, 3$ ，电路进行移位操作；当 Shift/Load = 0 时， $D_i = d_i$ ，电路在下一个时钟沿将并行数据  $d_i$  同步置入第  $i$  个触发器，使  $Q_i = d_i$ ，完成数据的并行置入操作。用图 6.33 进行并-串转换的过程是：先将数据并行置入移存器，再使移存器进行移位操作，从  $S_{out}$  就能得到串行数据。当然用图 6.33 所示电路可实现串入-串出、串入-并出、并入-串出和并入-并出所有功能。

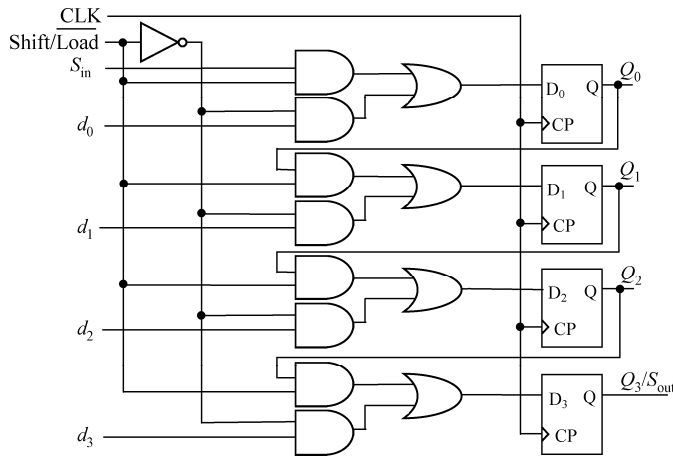


图 6.33 串入/并入-串出/并出移存器

移存器的另一个应用是乘、除运算：将数据左移一位就是将移存器中的数乘以 2；右移一位就是除以 2。

### 6.5.3 多功能移位寄存器 74LS194

#### 1. 74LS194 的结构和工作原理

74LS194 为中规模 TTL 集成电路，它是 4 位多功能移存器。图 6.34 所示为其逻辑图，图 6.35 所示为其逻辑符号，表 6.8 所示为其功能表。

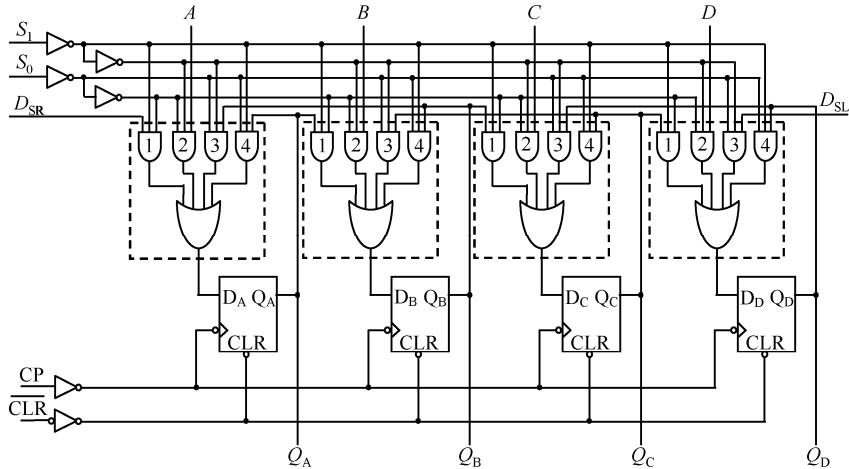


图 6.34 74LS194 的逻辑图

参考图 6.34 和表 6.9 可知，74LS194 由 4 个 D 触发器组成，其状态的翻转发生在输入时钟 CP 的上升沿；CLR 为异步清 0 输入端，低有效，只要它有效，移存器输出立即清 0；虚线框内 4 个门电路组成 4-1 多路选择器，其数据选择端为  $S_1S_0$ 。当 CLR 无效时， $S_1S_0$  通过 4-1 多路选择器控制触发器的输入，从而控制 74LS194 是进行保持、右移、左移还是同步并行置数操作： $S_1S_0 = 00$  时，门 4 打开，触

发器的  $D_i = Q_i$ ,  $i = A, B, C, D$ ，此时 74LS194 工作保持模式； $S_1S_0 = 01$  时，门 1 打开，触发器的  $D_B = Q_A$ ,  $D_C = Q_B$ ,  $D_D = Q_C$ ，而  $D_A = D_{SR}$ ，此时 74LS194 执行右移操作，右移输入由串行右移输入端  $D_{SR}$  输入； $S_1S_0 = 10$  时，门 3 打开，触发器的  $D_A = Q_B$ ,  $D_B = Q_C$ ,  $D_C = Q_D$ ，而  $D_D = D_{SL}$ ，此时 74LS194 执行左移操作，左移输入由串行左移输入端  $D_{SL}$  输入； $S_1S_0 = 11$  时，门 2 打开，触发器的  $D_A = A$ ,  $D_B = B$ ,  $D_C = C$ ,  $D_D = D$ ，74LS194 执行同步并行置数操作，即在时钟的上沿将并行数据输入端的数据  $A$ 、 $B$ 、 $C$ 、 $D$  分别置入到  $Q_A$ 、 $Q_B$ 、 $Q_C$ 、 $Q_D$ 。

图 6.35 74LS194 的逻辑符号

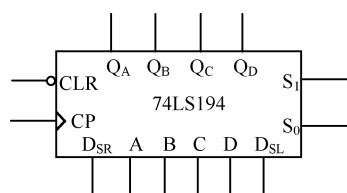


表 6.9 74LS194 的功能表

CLR	输入						输出			
	$S_1$	$S_0$	CP	$D_{SL}$	$D_{SR}$	并行				
						A	B	C	D	$Q_A$
L	x	x	x	x	x	x	x	x	x	L L L L
H	x	x	L	x	x	x	x	x	x	$Q_{A0} Q_{B0} Q_{C0} Q_{D0}$
H	H	H	↑	x	x	a	b	c	d	a b c d
H	L	H	↑	x	H	x	x	x	x	H $Q_{An} Q_{Bn} Q_{Cn} Q_{Dn}$
H	L	H	↑	x	L	x	x	x	x	L $Q_{An} Q_{Bn} Q_{Cn} Q_{Dn}$
H	H	L	↑	H	x	x	x	x	x	$Q_{Bn} Q_{Cn} Q_{Dn} H$
H	H	L	↑	L	x	x	x	x	x	$Q_{Bn} Q_{Cn} Q_{Dn} L$
H	L	L	x	x	x	x	x	x	x	$Q_{A0} Q_{B0} Q_{C0} Q_{D0}$

以上分析表明，74LS194 可执行左移、右移操作，可串行输入数据，也可并行输入数据，还可以保持输出不变，具体执行哪种操作由  $S_0S_1$  控制。当然还可以对输出进行异步清 0。

图 6.36 所示为 74LS194 的时序图，图中清楚地说明了 74LS194 的各种工作模式。

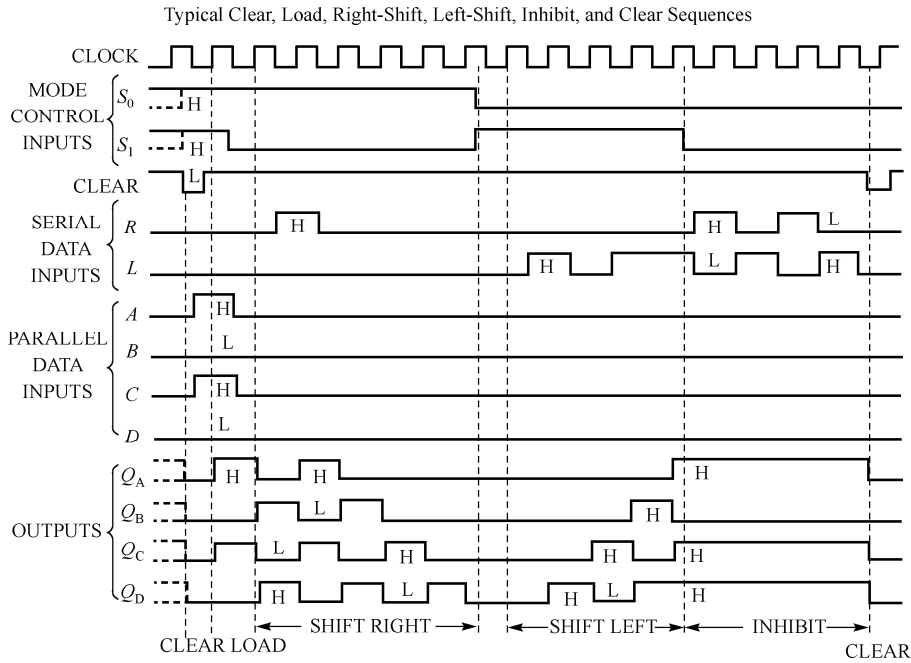


图 6.36 74LS194 的时序图

## 2. 74LS194 的级联

当需要用到位数大于 4 的移存器时，就要将多片 74LS194 级联，如 8 位移存器需两片 74LS194，级联方法是将两片 74LS194 的  $S_1$ 、 $S_0$ 、CP、 $\overline{CLR}$  分别接到一起，左边片的  $D_{SL}$  接右边片的  $Q_0$ ，右边片的  $D_{SR}$  接左边片的  $Q_3$ ，如图 6.37 所示。扩展后从虚线框外看就是一个 8 位移存器，读者可自行分析扩展原理。多片级联方法类似。

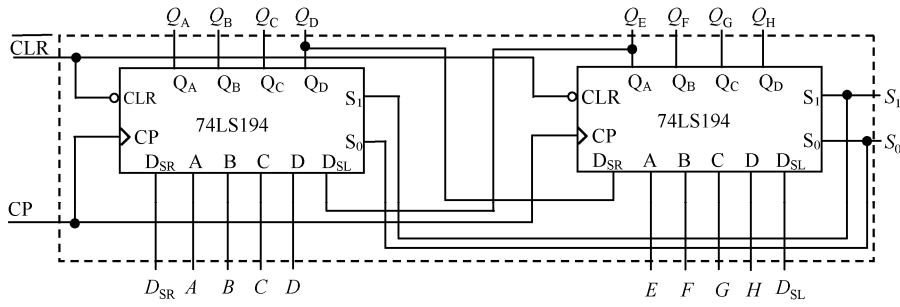


图 6.37 74LS194 的级联

## 6.5.4 其他集成移存器

74 系列和 4000 系列均有许多集成移位寄存器，如 74LS164、74LS165、74LS166、CD40194、CD40195、CD4517 等，有兴趣的读者可参考数据手册。

## 小结

寄存器、计数器、移存器是数字电路、数字系统的重要组成部分，在很多场合都离不开它们。

本章先介绍了寄存器的概念，指出了它们的应用场合，并给出了具体电路结构。

计数器种类较多，本章介绍了异步、同步二进制加法/减法计数器的组成、特点；可逆二进制计数器的概念及实现；利用脉冲反馈法（异步复位/置位法）可将二进制计数器做成任意模的计数器；用脉冲反馈法实现的计数器（可能）会产生毛刺，分析了出现毛刺位置的确定方法。

介绍了集成异步模 2-5-10 加法计数器 74LS290、74LS161/163 的电路结构、逻辑符号及它们的使用方法（包括级联方法）。通过 74LS161/163 介绍了同步清 0 与异步清 0 的概念及二者的区别，还介绍了同步预置法的概念及其用法。介绍了计数器级联的两种方式：先反馈后级联和先级联后反馈。还给出了计数器的分析与设计方法。

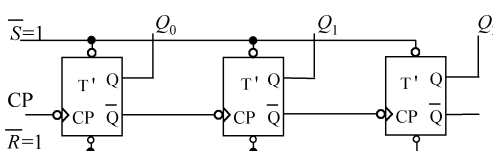
介绍了移存器的组成、特点及应用，给出了移存器的分析与设计方法。详细介绍了集成多功能移存器 74LS194 的功能、用法和级联方法。

## 习题

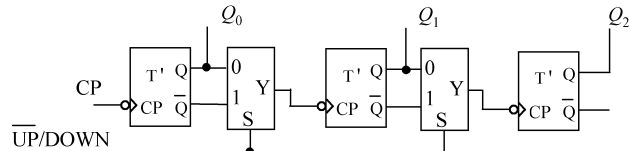
6-1 图题 6-1 所示为三位二进制减法计数器逻辑图，试画出其输出波形和状态转换图，并说明为什么称它为减法计数器。

6-2 如果将图 6.5(a)中后级触发器的时钟改接至前级触发器的  $\bar{Q}$ ，那么该计数器是加法计数还是减法计数？

6-3 图题 6-3 所示电路由 T' 触发器和 2-1 多路选择器组成，试分析它是什么电路。输入信号  $\overline{\text{UP/DOWN}}$  的作用是什么？



图题 6-1 异步二进制（模 8）减法计数器



图题 6-3

6-4 试分析图 6.11(a)所示电路，并画出它的时序图和完整状态图。该电路输出有无毛刺？如果有毛刺，它（们）出现在哪个（些）  $Q$  端上？

6-5 试利用脉冲反馈复位法实现异步模 10 加法计数器，并画出其完整状态图，指明哪里会出现毛刺。

6-6 试利用脉冲反馈置位法实现异步模 10 加法计数器，并画出其完整状态图，指明哪里会出现毛刺。

6-7 试利用脉冲反馈置位法实现异步模 14 加法计数器，并画出其完整状态图，指明会不会产生毛刺。如果不会，为什么？如果会，毛刺会出现在哪里？

6-8 用脉冲反馈复位法实现任意模  $M$  加法计数器，应该用哪个状态去复位？如何判断毛刺会出现在哪里？

6-9 用脉冲反馈置位法实现任意模  $M$  加法计数器，应该用哪个状态去置位？如何判断会不会产生毛刺？如果会产生毛刺，它会出现在哪里？

6-10 用脉冲反馈复位法实现任意模  $M$  减法计数器，应该用哪个状态去复位？如何判断会不会产生毛刺？如果会产生毛刺，它会出现在哪里？

6-11 用脉冲反馈置位法实现任意模  $M$  减法计数器，应该用哪个状态去置位？如何判断毛刺会出现在哪里？

6-12 试分析图题 6-12 所示电路，画出时序图，并说明它的功能。

6-13 试用 JK 触发器设计  $M=8$  的可逆计数器，用  $U/D$  控制计数方向； $U/D = 1$  时，做加法计数； $U/D = 0$  时，做减法计数。

6-14 同步、异步计数器各有什么优缺点？

6-15 利用置 9 法用 74LS290 实现模 M 计数器，会不会产生毛刺？如果能，产生在哪个  $Q$  端上？

6-16 试用 74LS290 实现模 7 计数器。要求用异步清 0 法，8421BCD 与 5421BCD 两种接法，并画出输出波形图和状态图。

6-17 试用 74LS290 实现模 7 计数器。要求用置 9 法，8421BCD 与 5421BCD 两种接法，并画出输出波形图和状态图。

6-18 在例 6.2 置 9 法中，如果只用  $Q_A$  去置 9 是否可以？为什么？

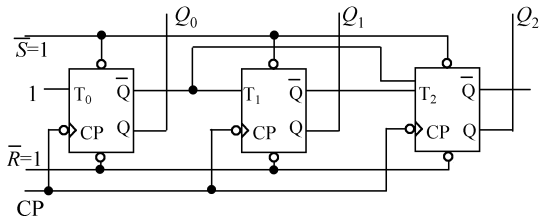
6-19 图题 6-19 所示计数器的  $M$  是多少？

6-20 试用 74LS290 设计模 72 计数器。

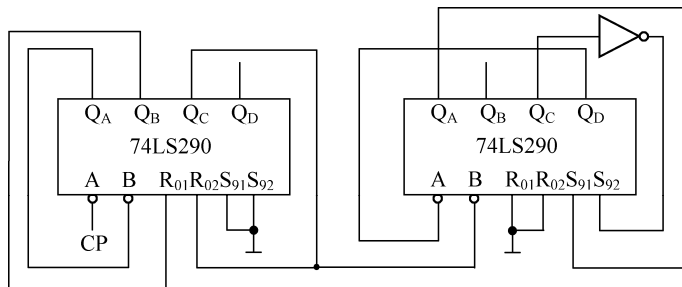
(1) 输出 8421 码；

(2) 输出 5421 码；

(3) 先反馈，后级联。



图题 6-12



图题 6-19

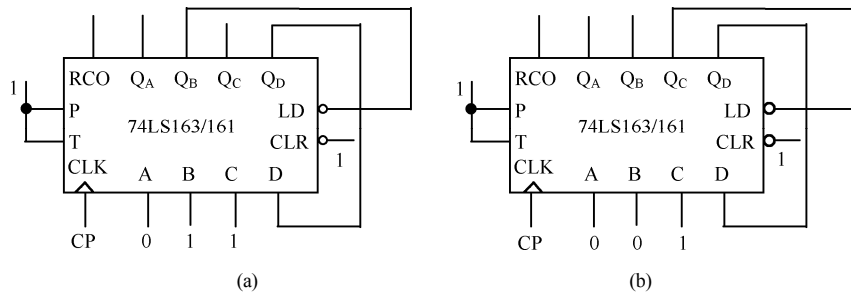
6-21 试分别用 74LS161 和 74LS163 实现模 14 计数器，用清 0 法，并画出输出  $Q_D$ 、 $Q_C$ 、 $Q_B$ 、 $Q_A$  和 CLR 对应 CP 的同步波形。

6-22 用 74LS161 可否实现同步清 0？如果能，如何实现？

6-23 试用 74LS161/163 实现模 9 计数器，用预置法，并画出输出  $Q_D$ 、 $Q_C$ 、 $Q_B$ 、 $Q_A$ 、RCO 和 LD 对应 CP 的同步波形。

6-24 用图 6.23 实现程序控制分频器（即分频比可程序控制）时，分频信号应从哪里引出？

6-25 图题 6-25 所示电路的模各是多少？

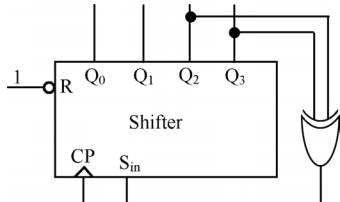


图题 6-25

6-26 如果将图 6.27 中的 74LS163 换成 74LS161，是否可以？为什么？

6-27 试用 74LS161 实现模 210 同步计数器，要求：①先级联后反馈，用预置法；②先级联后反馈，用清 0 法；③先反馈后级联，用预置法；④先反馈后级联，用清 0 法。

6-28 在图 6.29 中，设输入数据为  $S_{in} = 1011$ ，所有触发器的初始状态均为 0。试画出 CLK、 $S_{in}$ 、 $Q_0$ 、 $Q_1$ 、 $Q_2$ 、 $Q_3$ 、 $S_{out}$  的同步波形。要求画出 8 个时钟周期。

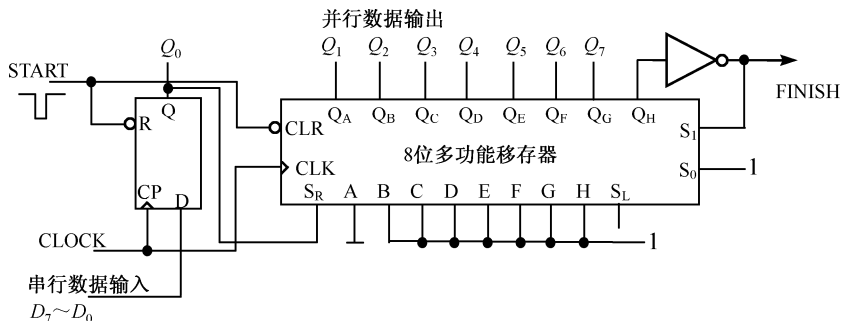


图题 6-29

6-29 图题 6-29 所示为由右移寄存器和异或门组成的电路，试画出它的状态转换表和完整的状态图。

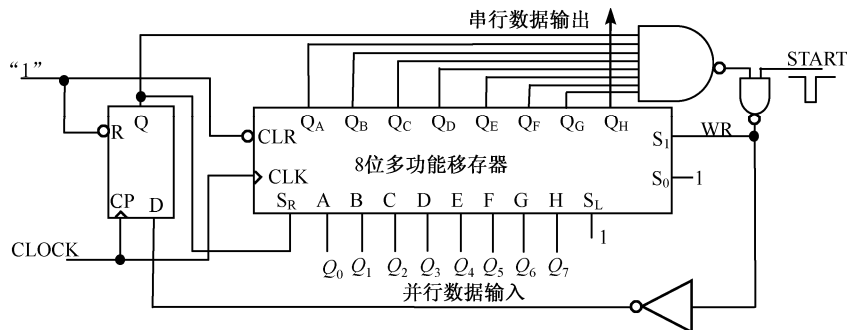
6-30 用 74LS161/163 可否实现移位功能？如果能，试分别画出由 74LS161/163 实现的左移、右移寄存器的逻辑图。

6-31 图题 6-31 所示电路为 8 位串行-并行数据转换器，其中 FINISH 为转换完毕信号，高有效，其作用是指示转换是否完毕；每次转换由 START 给出一个负脉冲后开始。试描述其工作过程。图中 8 位多功能移存器由两片 74LS194 级联而成。



图题 6-31

6-32 图题 6-32 所示电路为 8 位并行-串行数据转换器，它能自动产生并行数据输入信号 WR。每次转换由 START 给出一个负脉冲后开始。试描述其工作过程。图中 8 位多功能移存器由两片 74LS194 级联而成。



图题 6-32

6-33 试用习题 6-31 和习题 6-32 的电路构成一个 8 位数据收发系统。

# 第7章 时序逻辑电路

本章的主要内容是时序逻辑电路的分析与设计问题，重点在同步时序逻辑电路的分析和设计方法上。为此，本章特别介绍了“同步有限状态机”的概念。因为无论是同步式计数器/分频器、移存型计数器，还是任何形形色色的同步时序电路，都可以归结为一个同步有限状态机模型。因此，任何一个同步时序电路的分析和设计问题都可以归纳成为一个同步状态机的分析与设计问题。以同步状态机的分析、设计方法为基础，本章着重讨论了几种常用的同步时序电路的分析和设计方法。这些常用的同步时序电路是：同步计数器/分频器、移存型计数器和同步序列信号发生器。最后，本章还讨论了阻塞反馈式异步计数器的分析和设计方法。

## 7.1 概 述

数字逻辑电路可分为两类：一类叫做组合逻辑电路，简称组合电路；另一类叫做时序逻辑电路，简称时序电路。在第4章里已经详细地讨论了组合逻辑电路的分析与设计问题。在本章，我们将讨论时序逻辑电路的分析与设计问题。由于时序电路又分为同步时序电路和异步时序电路两类，因此在本章中，我们主要介绍同步时序电路的分析与设计方法，当然也会涉及少量异步时序电路的分析与设计问题。

### 7.1.1 同步时序电路的特点与结构

正如在第4章中所看到的那样，组合电路是这样的一种电路，即：它在任何时刻的输出信号完全取决于该时刻的输入信号而与过去的输入信号无关，换句话说，**组合逻辑电路是没有记忆的**。然而，时序电路却是另外一种完全不同的电路，即：它在某一时刻的输出信号不仅取决于当时的输入信号，而且还与电路过去的输入信号有关，而过去的输入信号对电路的影响则完全反映在当时电路的**状态**上，这就是说，**时序逻辑电路是一种有记忆的电路**。

什么是“时序电路的状态”？赫伯特·海勒曼（Herbert Hellerman）在他的《数字计算机原理》一书中给出了回答：“时序电路的状态就是一组状态变量的集合，这些变量在任意时刻的数值，包含了用于估计电路未来行为所需要的电路过去行为的全部信息。”因此，输入信号过去对时序电路的激励及它对电路行为所产生的影响等信息全都存储在电路的状态变量中，这些信息与现在的输入信号一起，共同决定时序电路未来的行为。所以，**时序逻辑电路在某一时刻的输出信号，不仅取决于当时的输入信号，而且还取决于当时的电路状态，即：与过去的输入信号有关**。

一般时序逻辑电路的组成框图如图7.1所示。从图中可以看出，**时序逻辑电路由组合逻辑电路和状态存储器两部分所构成**。存储器一般由各种类型的触发器或延时电路所组成。本章主要讨论用“边沿触发”（上升沿触发或下降沿触发）的触发器作为存储器的时序电路。图中：

$X_1, \dots, X_n$ ——时序电路的外加输入信号；

$Z_1, \dots, Z_m$ ——时序电路的输出信号；

$Y_1, \dots, Y_r$ ——状态存储器的状态输出信号。如果用触发器作存储器，则习惯上用  $Q_1, \dots, Q_r$  表示状态输出信号；

$W_1, \dots, W_k$ ——状态存储器的驱动（激励）输入信号。用触发器作存储器时，根据所选用触发器的不同类型，驱动或激励信号可以是  $J, K, D, T$  等。

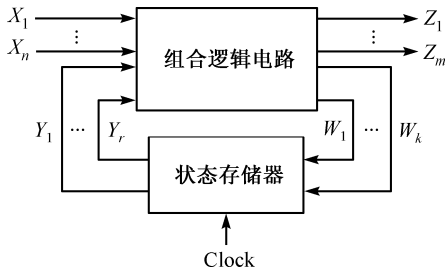


图 7.1 一般时序逻辑电路的组成框图

Clock——状态存储器(触发器)的时钟控制信号。

通常令： $X=\{X_1, \dots, X_n\}$ ； $Z=\{Z_1, \dots, Z_m\}$ ； $Y=\{Y_1, \dots, Y_r\}$ ； $W=\{W_1, \dots, W_k\}$ 。

如上所述，时序逻辑电路划分为两大类——同步时序电路和异步时序电路。这种划分是依据时序电路状态变化的特点而确定的。如果构成状态存储器的全部触发器都由时钟信号 Clock 统一控制，也就是说，所有触发器的时钟输入端均来自于同一个时钟信号源，则称这种时序电路为同步时序电路。

Clock 称为同步时钟信号，简称时钟。于是，同步时序电路的状态变化(或称“状态翻转”)均发生在同步时钟信号的“有效边沿”跳变时刻，换句话说，同步时序电路中各触发器状态的改变是在同一个时钟作用下同时完成的。所谓“有效边沿”，根据具体选用触发器的不同类型，既可以是上升沿，也可以是下降沿。通常，当采用上升沿作为时钟有效边沿时，就称为“时钟高有效”；反之，在采用下降沿作为时钟有效边沿时，就称为“时钟低有效”，如图 7.2 所示。

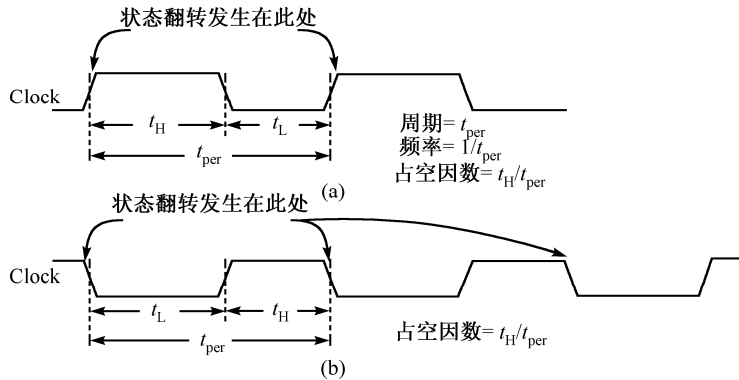


图 7.2 时钟信号

与同步时序电路相反，异步时序电路中的各触发器没有统一的时钟信号，因此，电路中各触发器状态的翻转不是同时发生的。本章后面所讨论的时序电路，除非特别声明，均指同步时序电路。

以上所述表明，同步时序电路的操作是按照时钟的节拍一步一步运行的。每一步的时间长度就是时钟信号的一个周期(也叫做一个节拍)。这就好比将时钟信号当做一把尺子，把它放在时间轴上，用时钟周期的长度在时间轴上进行均匀刻度(以时钟的有效边沿，比如上升沿，为基准)，如果令某一个时钟周期为  $t^n$ ( $n$  代表时间序列的序号)，则下一个时钟周期就是  $t^{n+1}$ ，如图 7.3 所示。同步时序电路状态信号的变化、输出信号的变化，甚至连输入信号的变化均纳入到时钟“刻度”的范畴里，即：这些信号的“变化”都发生在时钟的有效边沿<sup>①</sup>。按照这样的理解，同步时序电路中的所有信号(包括输入信号、输出信号和状态信号)的取值与变化都应该以相继接续的时钟周期为参考基准，即：按照时钟的周期来划分信号的取值。这样，在  $t^n$  期间的信号取值就叫做“当前时钟周期的信号取值”，而在  $t^{n+1}$  期间的信号取值就叫做“下一个时钟周期的信号取值”。注意： $t^n$  和  $t^{n+1}$  是一个相对的时间概念。某一个时钟周期相对于前一个时钟周期来讲是“下一个时钟周期”  $t^{n+1}$ ；而相对于后一个时钟周期来讲就是“当前时钟周期”  $t^n$ 。

<sup>①</sup> 严格地讲，应该是发生在时钟有效边沿之后的瞬间。在时钟有效边沿之前的瞬间，这些信号均应保持稳定，即要满足所谓触发器的建立时间  $t_s$  (Setup Time)。

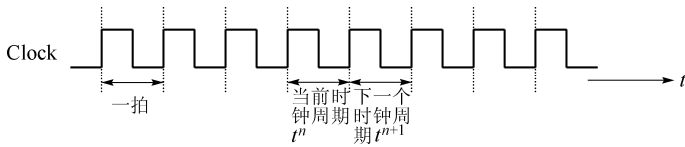


图 7.3 同步时钟划分时间轴

按照“当前时钟周期”和“下一个时钟周期”的概念，可列出图 7.1 中各信号之间的一般关系式如下：

同步时序电路的输出方程

$$\mathbf{Z}(t^n) = F[\mathbf{X}(t^n), \mathbf{Y}(t^n)] \quad (7.1)$$

状态存储器的驱动（激励）方程

$$\mathbf{W}(t^n) = G[\mathbf{X}(t^n), \mathbf{Y}(t^n)] \quad (7.2)$$

状态存储器的状态方程

$$\mathbf{Y}(t^{n+1}) = S[\mathbf{W}(t^n)] = H[\mathbf{X}(t^n), \mathbf{Y}(t^n)] \quad (7.3)$$

这三个逻辑方程构成了一个逻辑方程组，用这个逻辑方程组就可以完全地描述一个时序逻辑电路，它是描述时序逻辑电路的方法之一。该逻辑方程组中的前两个方程——输出方程和驱动方程，是描述组合逻辑电路的逻辑函数表达式；而最后一个方程——状态方程，实际上就是构成状态存储器的触发器的特性方程，它是与系统时钟相关联的。

在逻辑方程组的表达式中：

$t^n$ 、 $t^{n+1}$ ——表示相邻的两个时钟周期，即“当前时钟周期”和“下一个时钟周期”；

$\mathbf{Y}(t^n)$ ——代表在“当前时钟周期”内存储器的状态输出信号，即现在时刻的状态输出信号，简称现态信号（或现态），一般用  $\mathbf{Y}^n$  表示（省略 “ $t^n$ ” 不写，以下情形相同）；

$\mathbf{Y}(t^{n+1})$ ——代表在“下一个时钟周期”到来时，存储器的状态输出信号，即未来时刻的状态输出信号，简称次态信号（或次态），一般用  $\mathbf{Y}^{n+1}$  表示（省略 “ $t^{n+1}$ ” 不写）。

如果用触发器作为存储器，则现态信号用  $\mathbf{Q}^n$  表示，次态信号用  $\mathbf{Q}^{n+1}$  表示。

$\mathbf{X}(t^n)$ ——代表“当前时钟周期”内时序电路的输入信号，一般用  $\mathbf{X}^n$  表示。

$\mathbf{W}(t^n)$ ——代表“当前时钟周期”内状态存储器的驱动（激励）输入信号，一般用  $\mathbf{W}^n$  表示。

$\mathbf{Z}(t^n)$ ——代表“当前时钟周期”内时序电路的输出信号，一般用  $\mathbf{Z}^n$  表示。

于是，式 (7.1)、式 (7.2)、式 (7.3) 又可以写成如下形式：

$$\text{输出方程} \quad \mathbf{Z}^n = F[\mathbf{X}^n, \mathbf{Y}^n] \quad (7.4)$$

$$\text{驱动（激励）方程} \quad \mathbf{W}^n = G[\mathbf{X}^n, \mathbf{Y}^n] \quad (7.5)$$

$$\text{状态方程} \quad \mathbf{Y}^{n+1} = S[\mathbf{W}^n] = H[\mathbf{X}^n, \mathbf{Y}^n] \quad (7.6)$$

从图 7.1 中可以看出，状态信号  $\mathbf{Y}$  是存储器的输出，它在每一个时钟的有效边沿时刻到来时才发生变化。所以，把状态信号区分为现态  $\mathbf{Y}^n$  和次态  $\mathbf{Y}^{n+1}$ 。注意：现态  $\mathbf{Y}^n$  的持续时间是一个时钟周期；次态  $\mathbf{Y}^{n+1}$  是在下一个时钟的有效边沿到来之后的状态信号，在这个状态信号尚未出现之前，它是次态  $\mathbf{Y}^{n+1}$ ，而当它出现之后，它就变成了现态信号  $\mathbf{Y}^n$ 。因此，次态  $\mathbf{Y}^{n+1}$  是尚未出现的下一个状态信号。现态  $\mathbf{Y}^n$  和次态  $\mathbf{Y}^{n+1}$  是相对的。

然而，根据图 7.1，信号  $\mathbf{X}$  和  $\mathbf{Y}$  又都是组合逻辑电路的输入信号，而信号  $\mathbf{Z}$  和  $\mathbf{W}$  又都是相应的组合逻辑电路的输出信号，后两者是前两者的组合逻辑函数。换句话说，某一时刻输出信号  $\mathbf{Z}$  和  $\mathbf{W}$  的取值永远取决于当时的输入信号  $\mathbf{X}$  和  $\mathbf{Y}$ ，而与时钟信号无关。因此，式 (7.1)、式 (7.4) 所代表的输出方程及式 (7.2)、式 (7.5) 所代表的驱动方程都是组合逻辑函数表达式。所以在式 (7.1)、式 (7.4) 和式 (7.2)、式 (7.5) 中，只有“当前时钟周期”内的各种信号，即现在时刻的输入信号  $\mathbf{X}^n$ 、现在时

刻的输出信号  $Z^n$ 、现在时刻的驱动信号  $W^n$  和现在时刻的状态信号  $Y^n$ 。于是在某些情况下，为了方便起见，在书写时序电路的输出方程、驱动方程和状态方程时，将代表“现在时刻”的“ $n$ ”也省略不写，而把输入信号、输出信号、驱动信号和现态信号分别只写成  $X$ 、 $Z$ 、 $W$  和  $Y$ 。这样，式(7.4)、式(7.5)、式(7.6)又可以简化成如下形式：

$$\text{输出方程} \quad Z = F[X, Y] \quad (7.7)$$

$$\text{驱动（激励）方程} \quad W = G[X, Y] \quad (7.8)$$

$$\text{状态方程} \quad Y^{n+1} = S[W] = H[X, Y] \quad (7.9)$$

注意，此时默认  $X$ 、 $Z$ 、 $W$  和  $Y$  为“现在时刻”的信号。

这里又提出另外一个问题：输出信号  $Z^n$ （或  $Z$ ）及驱动信号  $W^n$ （或  $W$ ）的持续时间是多少？是否也是一个时钟周期？换句话说， $Z^n$  和  $W^n$  在什么情况下才会发生变化？下一节将会回答这个问题，读者可先自行考虑。

### 7.1.2 同步状态机

同步时序逻辑电路在时钟的统一控制下，从一个状态转换到另一个状态。正因为如此，很多文献称这种逻辑电路为**钟控同步状态机**（Clocked Synchronous State Machines），简称**状态机**。“状态机”一词是这类同步时序电路的一个通用的名称，第6章讲到的所有同步时序电路，如同步计数器、移存型计数器等，都可以归结为一个简单的状态机。“钟控”一词是指时序电路存储器中的触发器都是由时钟信号控制的，而“同步”一词，如前所述，则意味着所有的触发器都使用同一个时钟信号，这些触发器状态的翻转都与时钟信号的有效边沿同步。注意：**以后凡提到“同步”一词，均是指与时钟信号同步，即：与时钟信号的有效边沿同步。**

那么，一个状态机究竟有多少个状态呢？换句话说，状态机的状态个数与什么因素有关呢？若要回答这个问题，则首先需要考察状态机中的触发器个数。状态机的状态个数完全取决于状态存储器中所含触发器的个数。由于每个触发器的输出为  $Q$ ——状态变量，所以状态机的状态个数也取决于状态变量的个数。**如果一个状态机的状态存储器由  $n$  个触发器所构成，则该状态机就含有  $n$  个状态变量，于是状态机的状态个数最多为  $2^n$  个。**因为触发器的个数  $n$  是一个有限值，因此  $2^n$  也是一个有限值，所以有时也将同步时序电路称为**有限状态机**（Finite State Machines）。

状态机（同步时序逻辑电路）的结构，根据其输出信号的特点，又可分成两种类型——**米里(Mealy)** 型状态机和**摩尔(Moore)** 型状态机。

#### 1. 米里型状态机

米里型状态机的结构框图如图7.4所示。图中的“次态逻辑”和“输出逻辑”都是组合逻辑电路，而状态存储器则由触发器构成。图7.4中各信号之间的关系可用下面的公式表示：

$$\text{输出方程} \quad Z^n = F[X^n, Q^n] \quad (7.10)$$

$$\text{驱动方程} \quad W^n = G[X^n, Q^n] \quad (7.11)$$

$$\text{状态方程} \quad Q^{n+1} = S[W^n] = H[X^n, Q^n] \quad (7.12)$$

不难看出，式(7.10)、式(7.11)和式(7.12)实际上分别就是式(7.4)、式(7.5)和式(7.6)。

比较图7.4与图7.1可以发现，这两者其实是一样的。图7.1只不过是将图7.4中的两个组合电路部分——“次态逻辑”和“输出逻辑”合二为一而已。

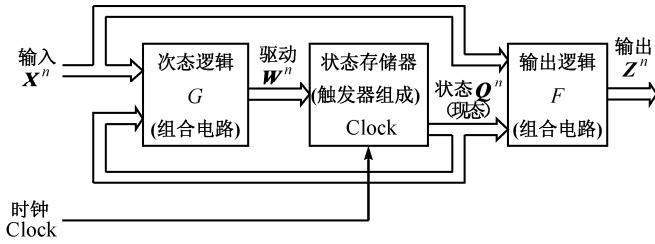


图 7.4 米里型状态机结构框图

由图 7.4 可以看出，在米里型状态机中，外输入信号  $X^n$  和现态信号  $Q^n$  共同构成了次态逻辑（组合）电路的输入信号，而该电路的输出信号就是触发器的驱动信号  $W^n$ ，即： $W^n$  是  $X^n$  和  $Q^n$  的组合逻辑函数，如式（7.11）所示。 $W^n$  决定了在下一个时钟周期的有效边沿到来时，触发器将要翻转到的状态（输出）。换句话说， $W^n$  决定了触发器（状态机）的次态  $Q^{n+1}$ 。一旦时钟的下一个有效边沿到来，触发器的现态  $Q^n$  就将按照  $W^n$  的规定翻转到次态  $Q^{n+1}$ 。在此之后，这个“次态  $Q^{n+1}$ ”就成为新的现态  $Q^n$ ，这个过程将不断地按照时钟的节拍，一步一步地进行下去。这一点在 7.1.1 节就已经提到了。由此可以看出，在时钟的有效边沿到来之前的瞬间，要求驱动信号  $W^n$  处于稳定状态。但是，由于驱动信号  $W^n$  是  $X^n$  和  $Q^n$  的组合逻辑函数，而  $Q^n$  在一个时钟周期内是稳定的，所以  $W^n$  是否能持续稳定一个时钟周期，则完全取决于外输入信号  $X^n$ 。若外输入信号  $X^n$  能够稳定一个时钟周期，则驱动信号  $W^n$  就可以稳定一个时钟周期；若外输入信号  $X^n$  在一个时钟周期内发生若干次变化，则驱动信号  $W^n$  也将随之发生同样次数的变化。因此，为了保证在下一个时钟周期的有效边沿到来之际能够产生正确的次态信号  $Q^{n+1}$ ，所以就要求驱动信号  $W^n$  在下一个时钟周期的有效边沿到来之前的瞬间要保持稳定，这也就是说，**外输入信号  $X^n$  在下一个时钟周期的有效边沿到来之前的瞬间要保持稳定。**

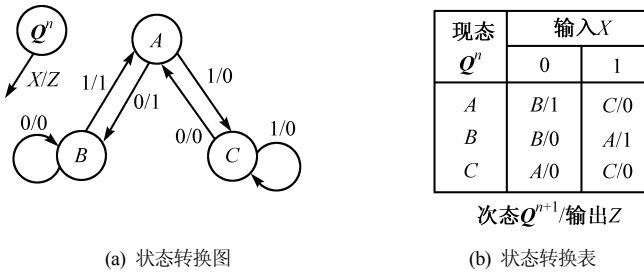
另一方面，从图 7.4 还可以看出，现态信号  $Q^n$  和外输入信号  $X^n$  又共同构成了输出逻辑（组合）电路的输入信号，而该电路的输出信号就是整个状态机的输出信号  $Z^n$ ，即： $Z^n$  是  $Q^n$  和  $X^n$  的组合逻辑函数，正如式（7.10）所表示的那样。与驱动信号  $W^n$  的情形相类似，因为状态信号  $Q^n$  在一个时钟周期之内保持不变，所以  $Z^n$  在一个时钟周期内是否变化则完全取决于外输入信号  $X^n$ ，换句话说， $Z^n$  在一个时钟周期之内会随着外输入信号  $X^n$  的变化而变化。

至此，我们回答了 7.1.1 节结束时所提出的问题，同时也总结出了米里型状态机的特点，即：**米里型状态机电路的输出信号  $Z^n$  同时取决于电路的外输入信号  $X^n$  和现态信号  $Q^n$  ( $Y^n$ )，它是  $X^n$  和  $Q^n$  的逻辑函数。**

米里型状态机的输出  $Z^n$  不仅会在时钟的有效边沿到来之际随着状态信号  $Q^n$  的变化而变化，而且也会在时钟的有效边沿到来之前，即：在一个时钟周期之内随着外输入信号  $X^n$  的变化而变化。这一点可通过下面的实例看出来。例 7.1 是一个用**状态转换图**和**状态转换表**描述的米里型状态机。除了上述的逻辑方程组以外，“状态转换图”和“状态转换表”是描述同步时序电路——状态机的另外两种方法，之后将要对它们进行详细讨论，在此先只对它们进行简单的说明。

**【例 7.1】** 某米里型状态机的状态转换图和状态转换表分别如图 7.5(a)、(b)所示。已知外输入序列  $X = 011010$ ，试确定该状态机对此输入序列的输出响应序列  $Z$ ，并画出相应的定时波形图。

**解：**在图 7.5(a)所示的状态转换图中，一个“圆圈”就代表一个状态，圆圈中的字母表示该状态的名称。一条“箭头线段”就代表状态机的一个状态翻转动作，箭头的方向表示状态翻转的方向，即：从一个状态翻转到另一个确定的状态。箭头线段旁边的“数字”表示状态转换的条件，其中“/”符号左边的数字代表“输入”  $X$  的值；“/”符号右边的数字代表“输出”  $Z$  的值，如图 7.5(a)左上角的“图例”所示。



(a) 状态转换图

(b) 状态转换表

图 7.5 某米里型状态机的两种描述方法

在图 7.5(b)所示的状态转换表中, 左边一列表示现态  $Q^n$ ; 上边一行表示输入  $X$ 。表中所填内容是次态  $Q^{n+1}$  和输出  $Z$ , 而且其格式是按照  $Q^{n+1}$  在 “/” 之左、 $Z$  在 “/” 之右排列的。

假设电路的初始状态处于  $A$  状态, 在起始时刻 0 时的输入  $X=0$ 。根据图 7.5 的状态转换图或状态转换表, 我们可以确定: 在 0 时刻, 状态机处于  $A$  状态, 此时对应输入  $X=0$  的输出是  $Z=1$ , 而且状态机的下一个状态(次态)将会是  $B$ 。于是, 在下一个时钟周期的有效边沿到来时, 即: 在时刻 1, 状态机的状态翻转到  $B$ , 状态  $B$  成为现态。与此同时, 输入  $X$  变成 1, 其所对应的输出  $Z=1$ , 而且状态机的次态又将为  $A$ 。对于输入序列的后续数值, 我们重复上述确定输出  $Z$  和次态  $Q^{n+1}$  的过程, 于是得到电路(状态机)对输入序列  $X$  的响应行为如下:

时刻	0	1	2	3	4	5
现态	$A$	$B$	$A$	$C$	$A$	$C$
输入	0	1	1	0	1	0
输出	1	1	0	0	0	0
次态	$B$	$A$	$C$	$A$	$C$	$A$

因此, 当输入序列  $X=011010$  施加到起始状态为  $A$  的本状态机时, 状态机产生的输出序列为:

$$Z=110000$$

最终, 电路将停留在状态  $A$  上。该状态机电路对于给定输入序列的实际定时波形图如图 7.6 所示。

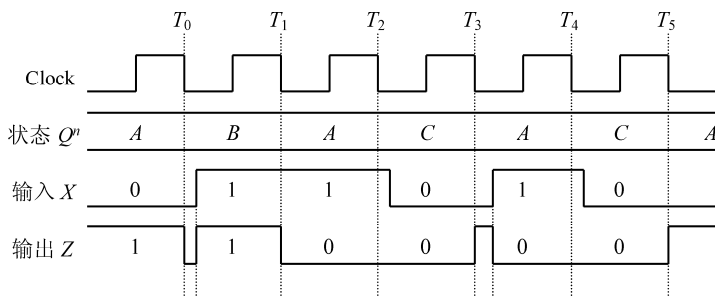


图 7.6 某米里型状态机的定时波形

在此波形图中, 我们假定状态的翻转是发生在时钟由高到低的跳变时刻, 即时钟的下降沿上。需要注意的是: 当输入信号  $X$  或状态信号  $Q^n$  这二者之中的任何一个发生变化时, 输出信号  $Z$  都会随之发生变化。这是因为  $Z$  是  $X$  和  $Q^n$  的组合逻辑函数。在图 7.6 所示的时序图中, 输出信号  $Z$  的波形出现了两处我们所不希望的波形变化。在  $T_0$  时刻, 当电路的状态翻转到  $B$  时, 输出  $Z$  下降到 “0” 电平, 在此之后, 只有当输入  $X$  变为 “1” 电平时, 输出  $Z$  才又返回到 “1” 电平, 然而原本希望输出  $Z$  在  $T_0$  到  $T_1$  之间一直输出 “1” 电平。类似的情况还发生在  $T_3$  时刻。

从例 7.1 中可以看出: 因为外输入信号  $X$  与状态机的系统时钟 Clock 实际上是不同步的, 相对于

时钟 Clock 来讲，输入信号  $X^n$  的变化是随机的，而状态机的输出信号  $Z^n$  又恰恰是输入信号  $X^n$  的组合逻辑函数。所以，尽管输出信号  $Z^n$  同时也是状态  $Q^n$ （与 Clock 同步）的组合逻辑函数，但是输出信号  $Z^n$  与时钟 Clock 实际上也是不同步的，它仍然会随着输入信号  $X^n$  的变化而变化，这一点是米里型状态机的缺点。因此，当我们采集一个米里型状态机电路的输出信号时，必须要十分小心。只有在输入信号变化过后、电路已经稳定时，才能采集电路的输出信号。然而，米里型状态机的这个缺点同时又是它的一个优点。正是由于输出信号  $Z^n$  同时是输入信号  $X^n$  和状态变量  $Q^n$  的逻辑函数，所以就使得我们有可能绕过系统时钟 Clock，而通过外输入信号  $X^n$  对状态机的输出信号  $Z^n$  实施控制。

## 2. 摩尔型状态机

因为外输入信号  $X^n$  与状态机的系统时钟信号 Clock 在一般情况下是不同步的，而米里型状态机的输出信号  $Z^n$  又是  $X^n$  的组合逻辑函数，所以  $Z^n$  在一般情况下也与时钟信号 Clock 不同步。为了克服米里型状态机的输出信号  $Z^n$  易受非同步的外输入信号  $X^n$  变化的影响而变得不稳定的缺点，因此就提出了第二种类型的状态机——摩尔型状态机。摩尔型状态机的结构框图如图 7.7 所示。图中的“次态逻辑”和“输出逻辑”同样都是组合逻辑电路，而状态存储器也由触发器所构成。观察图 7.7，发现它与图 7.4 的不同之处就在于：“输出逻辑”组合电路的输入信号只有现态信号  $Q^n$ ，而无“非同步”的外输入信号  $X^n$ ，换句话说，摩尔型状态机的输出信号  $Z^n$ ，仅取决于电路的现态信号  $Q^n$  ( $Y^n$ )，它只是  $Q^n$  的逻辑函数。外输入信号  $X^n$  只能通过状态信号  $Q^n$  间接地影响输出信号  $Z^n$ 。这就是摩尔型状态机的特点。图 7.7 中各信号之间的关系可用下面的公式表示：

$$\text{输出方程} \quad Z^n = F[Q^n] \quad (7.13)$$

$$\text{驱动方程} \quad W^n = G[X^n, Q^n] \quad (7.14)$$

$$\text{状态方程} \quad Q^{n+1} = S[W^n] = H[X^n, Q^n] \quad (7.15)$$

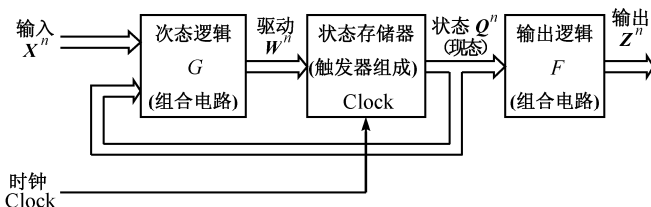


图 7.7 摩尔型状态机结构框图

不难看出，对于摩尔型状态机来讲，除了它的输出方程与米里型状态机不同以外，它的驱动方程和状态方程都与米里型状态机完全一样。

由于摩尔型状态机的输出信号  $Z^n$  仅仅是现态信号  $Q^n$  的逻辑函数，而现态信号  $Q^n$  的持续时间是一个时钟周期，且它与时钟信号 Clock 是同步的，所以摩尔型状态机的输出信号  $Z^n$  的持续时间也是一个时钟周期，它不再会受到“非同步”的外输入信号  $X^n$  的影响，并且它与时钟也是同步的。这一点可以从下面的实例中看出。例 7.2 是一个用状态转换图和状态转换表描述的摩尔型状态机。

**【例 7.2】** 某摩尔型状态机的状态转换图和状态转换表分别如图 7.8(a)、(b)所示。已知输入序列  $X = 011010$ ，假定状态机的起始状态为  $W$ ，试确定该状态机对此输入序列的输出响应序列，画出相应的定时波形图。

解：我们发现，图 7.8(a)所示的状态转换图与图 7.5(a)所示的状态转换图的不同之处就在于：前者将输出  $Z$  放到了表示“状态”的“圆圈”之内。这是因为摩尔型状态机的输出  $Z$  只与现态  $Q^n$  有关。

另外，图 7.8(b)所示的状态转换表与图 7.5(b)所示的状态转换表在格式上也有所不同。在图 7.8(b)

的状态转换表中, 将输出  $Z$  从次态表格中移出并单独地列成一列。这样做的原因是, 摩尔型状态机的输出  $Z$  与输入  $X$  无关, 它只与现态  $Q^n$  有关, 是现态  $Q^n$  的逻辑函数。

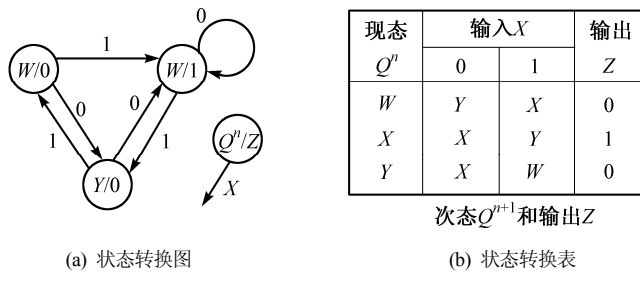


图 7.8 某摩尔型状态机的两种描述方法

根据题意, 状态机的起始状态为  $W$ 。所以在起始时刻 0 时, 现态是  $W$ 。根据图 7.8 所示的状态转换图和状态转换表, 知道此时的输出  $Z=0$  (它只与现态有关而与输入无关)。又因为此时的输入  $X=0$ , 所以状态机的次态将会是  $Y$ 。于是, 在下一个时钟周期的有效边沿到来时, 即: 在时刻 1, 状态机的状态翻转到  $Y$ , 状态  $Y$  成为现态, 根据图 7.8, 这时的输出应该是  $Z=0$ 。与此同时, 输入  $X$  变成 1, 所以状态机的次态又将会是  $W$ 。对于输入序列的后续数值, 重复上述确定输出  $Z$  和次态  $Q^{n+1}$  的过程, 于是得到此摩尔型状态机对输入序列  $X$  的响应行为如下:

时刻	0	1	2	3	4	5
现态	$W$	$Y$	$W$	$X$	$X$	$Y$
输入	0	1	1	0	1	0
输出	0	0	0	1	1	0
次态	$Y$	$W$	$X$	$X$	$Y$	$X$

因此, 当输入序列  $X=011010$  施加到起始状态为  $W$  的本状态机时, 状态机产生的输出序列为:

$$Z=000110$$

图 7.9 所示为该摩尔型状态机对于给定的输入序列而产生的实际电路定时波形图。与例 7.1 一样, 本例中所有的状态翻转均发生在时钟由高到低的跳变(下降沿)上。

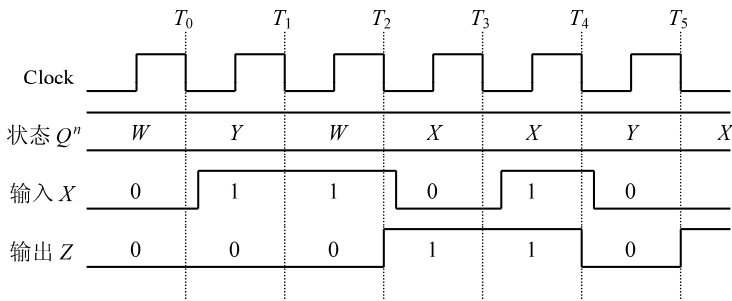


图 7.9 某摩尔型状态机的定时波形

观察图 7.9 中输出信号  $Z$  的波形, 我们看到: 在一个摩尔型状态机电路中, 输出信号  $Z$  的所有变化(跳变)均发生在时钟的有效边沿上, 即: 它与时钟是同步的。这是因为输出  $Z$  仅仅是状态(现态)的函数, 从而只有当状态改变时输出才可能改变。因此, 在“非同步”的外输入  $X$  发生任何变化时, 输出  $Z$  都能够保持稳定。这一点与前一个实例所描述的米里型状态机是不同的。所以在典型的情况下, 一个摩尔型状态机所展现出的输出特性(输出波形)要优于具有同样功能的米里型状态机。换句话说,

在摩尔型状态机中，外输入信号  $X$  的变化不会“立即”反映到输出信号  $Z$  的波形中，不会再出现米里型状态机输出信号中的那种我们所不希望看到的“毛刺”现象。

当然，任何事物都是一分为二的，所有的事物都具有两重性，摩尔型状态机和米里型状态机也不例外。就输出波形的“洁净”性而言，摩尔型状态机确实要优于米里型状态机。但是，米里型状态机也有它的优点（否则它就没有存在的必要）。正如前面已经提到过的，由于米里型状态机的输出信号同时是输入信号和状态信号的函数，因此，这就给设计人员在设计状态机的输出时以更多的灵活性。另外，在一般情况下，为完成同样的逻辑操作，一个米里型状态机比一个具有同等（等效）逻辑功能的摩尔型状态机所需的状态个数要少<sup>①</sup>。这就意味着，在逻辑功能相同的前提下，米里型状态机比摩尔型状态机所需的触发器个数少，电路更简单，成本更低廉。

在实际应用中，到底是使用米里型状态机还是摩尔型状态机要视具体情况而定，不能一概而论。实际上，如何将状态机准确地划分成米里型和摩尔型其实并不重要，重要的是我们应该如何确定状态机的输出结构，以使得它满足设计项目的需要，这些需要包括电路的定时特性和灵活性。

### 7.1.3 同步时序电路的描述方法

为了分析或设计一个同步时序逻辑电路——钟控同步状态机，有必要对描述同步时序逻辑电路的方法进行总结归纳。类似于组合逻辑电路，时序逻辑电路也有多种描述方法。在 7.1.2 节，我们已经接触到一些描述时序逻辑电路的方法。在这里，我们将通过实例来系统地阐述时序逻辑电路的描述方法。

#### 1. 米里型同步时序电路的描述方法

图 7.10 所示为一个可控计数器的逻辑图。可以看出，这是一个米里型同步时序逻辑电路。该电路的组成结构及与之相关的信号分析如下：

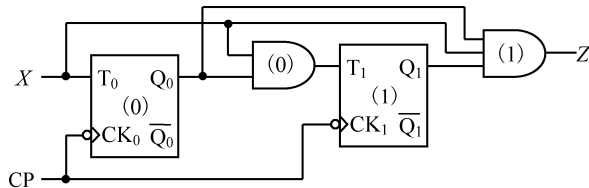


图 7.10 可控计数器逻辑图（米里型时序电路）

结构：

- 状态存储器：由 1 号和 0 号两个 T 触发器构成；
- 次态逻辑（组合）电路：由 0 号“与”门和输入线组成；
- 输出逻辑（组合）电路：由 1 号“与”门构成。

信号：

- 输入信号：  $X$ ；
- 输出信号：  $Z$ ；
- 状态信号：  $Q_1, Q_0$ ；
- 时钟脉冲输入信号：  $CP$ 。

需要特别指出的是：在同步时序逻辑电路中，因为各触发器公用同一个时钟脉冲信号  $CP$ ，所以各触发器的翻转是在同一个时钟的作用下同时完成的。因此，在同步电路中不把时钟  $CP$  作为外输入信号看待。于是，就有如下的 5 种描述时序逻辑电路的方法。

<sup>①</sup> 参见例 7.7、例 7.10，并与习题 7-35 比较。

### (1) 逻辑方程式

如同组合逻辑电路可以由一组逻辑函数表达式来描述一样，时序逻辑电路也可以由逻辑方程式来描述。不过，正如 7.1.1 节所阐述的那样，描述时序逻辑电路的逻辑方程式不是一组而是三组，即：输出方程组、驱动（激励）方程组和状态方程组，如 7.1.1 节的函数表达式 (7.1)、式 (7.2)、式 (7.3) 所示的那样。其中，前两者都属于组合逻辑函数表达式；而后者，其实就是构成状态存储器的触发器的特性方程。具体到图 7.10 所示的时序电路，其逻辑方程式如下：

输出方程组：

$$Z = XQ_1Q_0$$

驱动（激励）方程组：

$$\begin{aligned} T_1 &= XQ_0 \\ T_0 &= X \end{aligned}$$

状态方程组：

$$\begin{aligned} Q_1^{n+1} &= T_1 \oplus Q_1 = XQ_0 \oplus Q_1 \\ Q_0^{n+1} &= T_0 \oplus Q_0 = X \oplus Q_0 \end{aligned}$$

可以看出，在输出方程组中只有一个输出方程，这是因为图 7.10 所示的时序电路只有一个输出信号。但是，该时序电路的状态存储器是由两个 T 触发器构成的，所以驱动方程组和状态方程组中各有两个方程。

逻辑方程式简明、概括、便于运算和书写，是描述时序逻辑电路功能的函数表达式，它是描述时序逻辑电路的方法之一。

需要注意的是：时序逻辑电路的现态和次态，实际上就是组成状态存储器的各触发器的现态和次态的组合。具体到图 7.10 所示的时序电路，其现态用  $Q_1Q_0$  或  $Q_1^nQ_0^n$  的组合表示，次态用  $Q_1^{n+1}Q_0^{n+1}$  的组合表示。

### (2) 状态表（状态转换表）

在 7.1.2 节的例 7.1 和例 7.2 中我们已经接触到了状态转换表。状态转换表直观、明了，是反映时序逻辑电路中各逻辑变量之间逻辑关系的表格，这些逻辑变量包括：输入变量  $X$ 、输出变量  $Z$ 、现态变量  $Y(Q)$ 、次态变量  $Y^{n+1}(Q^{n+1})$  和各种触发器的输入驱动变量  $W(J, K, D, T$  等)。状态表在描述时序电路时所处的地位类似于真值表在描述组合电路时所处的地位，因此，状态表也是描述时序电路的方法之一。状态表的种类很多，格式各异，名称也各不相同，但归纳起来大致分为如下三种。

#### ① 状态转换表

在分析时序逻辑电路时，常常要用到状态转换表，它是分析时序电路的重要工具。此时，已知量是当前的输入变量  $X$  和现态变量  $Y(Q)$ ；而未知量（待求量）是当前的输出变量  $Z$  和次态变量  $Y^{n+1}(Q^{n+1})$ 。因此，仿照真值表的列写方法：在列写状态转换表时，将已知量（输入  $X$  和现态  $Q$ ）列于表格左边，而将未知量（输出  $Z$  和次态  $Q^{n+1}$ ）列于表格右边。将已知量的所有可能的取值组合全部列出（此处有 8 种组合），再将这些取值组合一一代入输出方程和状态方程，算出各输出信号和次态信号的取值并将它们列于表格的右边。图 7.10 所示时序电路的状态转换表如表 7.1 所示。

在表 7.1 中，用标注  $(n)$  和  $(n+1)$  来分别表示状态变量  $Q$  在现时刻（现态）和下一个时刻（次态）的值。而未加标注的外输入变量  $X$  和输出变量  $Z$  均表示现时刻（现态）的值。这与我们在 7.1.1 节所讨论的情形，即方程式 (7.7)、式 (7.8)、式 (7.9) 的规定是一样的。

还可以把表 7.1 的格式再简化一下，如表 7.2 所示。在这里，直接写出外输入变量  $X$ 、输出变量  $Z$ 、现态  $Q$  和次态  $Q^{n+1}$ ，而且不再用  $(n)$  和  $(n+1)$  来标注状态变量  $Q$  的现态和次态。

表 7.1 状态转换表 1

序号	外输入 $X$	现 态 (n)		输出 $Z$	次 态 (n+1)	
		$Q_1$	$Q_0$		$Q_1$	$Q_0$
0	0	0	0	0	0	0
1	0	0	1	0	0	1
2	0	1	0	0	1	0
3	0	1	1	0	1	1
4	1	0	0	0	0	1
5	1	0	1	0	1	0
6	1	1	0	0	1	1
7	1	1	1	1	0	0

表 7.2 状态转换表 2

序号	X	Q <sub>1</sub>	Q <sub>0</sub>	Z	Q <sub>1</sub> <sup>n+1</sup>	Q <sub>0</sub> <sup>n+1</sup>
0	0	0	0	0	0	0
1	0	0	1	0	0	1
2	0	1	0	0	1	0
3	0	1	1	0	1	1
4	1	0	0	0	0	1
5	1	0	1	0	1	0
6	1	1	0	0	1	1
7	1	1	1	1	0	0

另外，状态转换表还有另一种形式，如表 7.3 所示。例 7.1 中的状态转换表（图 7.5(b)）实际上就是这种形式。该状态转换表的行、列分别列出了输入变量  $X$  和现态变量  $Q$ （它们作为已知量）的组合，而且编码按格雷码的顺序排列。表格的内容是次态  $Q^{n+1}$  和输出  $Z$ （它们作为未知量），其格式为  $Q_1^{n+1} Q_0^{n+1} / Z$ 。从表面上看，这种形式的状态转换表很像卡诺图。其实，它就是按照卡诺图的形式画出来的状态转换表。在以后的分析叙述中将会看到，将此状态转换表“一分为三”，就可以很容易地分别得到次态  $Q_1^{n+1}$ 、 $Q_0^{n+1}$  和输出  $Z$  的卡诺图。这就是将状态转换表画成如此形式的目的。

表 7.3 状态转换表 3

$Q_1 Q_0$	$X$	0	1
0 0		0 0/0	0 1/0
0 1		0 1/0	1 0/0
1 1		1 1/0	0 0/1
1 0		1 0/0	1 1/0

状态转换直值表比状

信号  $W$  作为中间结果列在表格的中间（位于已知量和未知列的中间）。其实，驱动信号  $W$  也是未知量，它是输入变量  $X$  和现态变量  $Q$  的逻辑函数。把已知量（输入变量和现态变量）的各种取值组合分别代入驱动方程就可算出驱动信号的各数值，然后将它们列入表中。**状态转换真值表**也是用于分析时序逻辑电路的工具。图 7.10 所示的时序电路的状态转

表 7.4 状态转换真值表

序号	外输入 $X$	现 状 (n)		驱 动 $T_1$	输出 $Z$	次 状 (n+1)	
		$Q_1$	$Q_0$			$Q_1$	$Q_0$
0	0	0	0	0	0	0	0
1	0	0	1	0	0	0	1
2	0	1	0	0	0	1	0
3	0	1	1	0	0	1	1
4	1	0	0	0	1	0	1
5	1	0	1	1	1	1	0
6	1	1	0	0	1	1	1
7	1	1	1	1	1	0	0

在实际应用中，往往不特别地去区分状态转换表和状态转换真值表，而是将这二者统称为状态转换表或简称状态表。在实际列写状态表时，总是根据需要来确定在表中列上或是不列上驱动信号  $W$  这一栏。

### ③ 状态转换驱动表

与状态转换表和状态转换真值表的作用不同，**状态转换驱动表是用于设计时序逻辑电路的工具**。因此，它的格式也与前两者有所不同。在状态转换驱动表中，已知量是当前的输入变量  $X$ 、现态变量  $Y(Q)$  以及次态变量  $Y^{n+1}(Q^{n+1})$ ；而未知量则是当前的输出变量  $Z$  和各触发器的输入驱动信号  $W$ 。因此，在列写状态转换驱动表时，将已知量（输入  $X$ 、现态  $Q$  和次态  $Q^{n+1}$ ）列于表格左边，而将未知量（输出  $Z$  和驱动信号  $W$ ）列于表格右边。表 7.5 示出了图 7.10 所示时序电路的状态转换驱动表的栏目<sup>①</sup>。以后，我们将体会到状态转换驱动表在设计时序逻辑电路方面的作用。

表 7.5 状态转换驱动表

序号	外输入 $X$	现 态 (n)		次 态 (n+1)		输出 $Z$	驱 动 $T_1$ $T_0$	
		$Q_1$	$Q_0$	$Q_1$	$Q_0$			

### (3) 状态转换图（状态图）

状态转换图（简称状态图）是另一种描述时序逻辑电路的方法。它直观、形象，使得我们一下就能看出时序逻辑电路所具有的所有状态及各状态之间相互转换的趋势和转换条件。据此，我们就可以断定该时序电路的逻辑功能及它所具有的各种特性。正如前面所提到的，**时序逻辑电路的状态，实际上就是组成时序电路状态存储器的各触发器的状态组合（各触发器输出端  $Q$  的组合）**。

在米里型状态机的状态转换图中，用“圆圈”表示电路的一个“状态”。在圆圈中标上字母以代表该状态的名称。另外，在圆圈中也经常标以各触发器输出端  $Q$  的二进制编码组合来代表状态的名称，这个二进制编码组合就叫做该状态的“状态编码”。在各个表示状态的圆圈之间用带箭头的直线或弧线来表示状态的转换方向。在带箭头的直线或弧线的旁边标注状态转换的输入条件和时序电路的输出，其格式一般为“输入/输出”，即：“ $X/Z$ ”。这些格式均反映在状态图旁边的“图例”中。图 7.10 所示的米里型同步时序电路，其状态转换图如图 7.11 所示。图(a)是以  $Q$  的二进制编码（状态编码）表示状态；图(b)是以带下标的字母表示状态，而下标数值就是  $Q$  的二进制编码的等效十进制数。

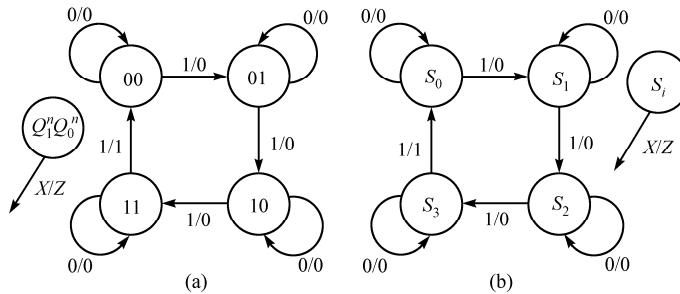


图 7.11 可控计数器（米里型时序电路）的状态转换图

### (4) 逻辑图

所谓逻辑图就是逻辑电路（原理）图，它当然是描述时序逻辑电路的一种方法。图 7.10 就是可控计数器（米里型时序电路）的逻辑图。

<sup>①</sup> 因为图 7.10 所示的可控计数器是已设计好的时序电路，而状态转换驱动表又是设计时序电路的工具，所以表 7.5 所示状态转换驱动表的栏目内容未列出。

### (5) 时序(波形)图

时序图也叫做工作波形图,它是全面反映时序逻辑电路的输出信号和状态信号随时间变化规律的图形。另外,时序图还反映出上述这些信号相互之间以及它们与时钟信号、外输入信号之间的相位关系。时序图是在实验中可通过仪器观察到的波形。图 7.10 所示可控计数器的时序图如图 7.12 所示。由图 7.10 知,两个 T 触发器的时钟信号均是下降沿有效,所以图 7.12 中各状态信号的翻转均发生在时钟的下降沿上。

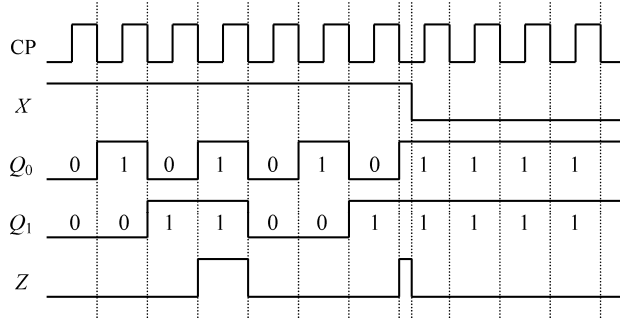


图 7.12 可控计数器（米里型时序电路）的时序图

## 2. 摩尔型同步时序电路的描述方法

将图 7.10 所示的可控计数器稍加修改,就得到了另一种可控计数器,图 7.13 所示为它的逻辑图。可以看出,这是一个摩尔型同步时序逻辑电路。该电路的组成结构及与之相关的信号与图 7.10 所示的电路没什么两样,所不同的地方就在于代表输出逻辑的 1 号“与”门的输入端只连接了两个状态信号  $Q_1$  和  $Q_0$  (没有连接输入信号  $X$ ),而这正是摩尔型时序电路的特点。因此,应该对有关摩尔型时序逻辑电路的 5 种描述方法进行某些相应的修改。然而,这些修改都是围绕着时序电路的输出信号来进行的,因为摩尔型时序逻辑电路的输出信号仅仅是现态信号的逻辑函数。

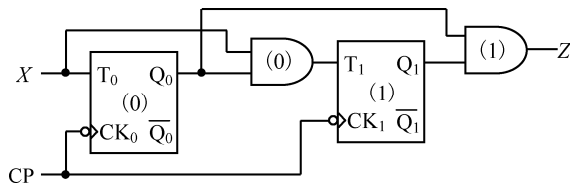


图 7.13 可控计数器逻辑图（摩尔型时序电路）

### (1) 逻辑方程式

图 7.13 所示的摩尔型时序电路的三组逻辑方程式如下。

输出方程组:

$$Z = Q_1 Q_0$$

驱动(激励)方程组:

$$T_1 = X Q_0$$

$$T_0 = X$$

状态方程组:

$$Q_1^{n+1} = T_1 \oplus Q_1 = X Q_0 \oplus Q_1$$

$$Q_0^{n+1} = T_0 \oplus Q_0 = X \oplus Q_0$$

可以看出,除了输出方程组以外,摩尔型时序电路与米里型时序电路的驱动方程组和状态方程组都是一样的。对于摩尔型时序电路而言,输出信号 $Z$ 仅仅是现态信号 $Q_1$ 、 $Q_0$ 的组合逻辑函数。

### (2) 状态表(状态转换表)

由于摩尔型时序电路的输出信号仅仅是现态信号的逻辑函数,所以在列写描述摩尔型时序电路的状态表时,应该把输出信号 $Z$ 单独列成一个表格。

#### ① 状态转换表

图7.13所示的摩尔型时序电路的状态转换表如表7.6(a)、(b)所示。其中,表7.6(a)为状态转换表,它是将已知量(输入 $X$ 和现态 $Q$ )列于表格左边,而将未知量(次态 $Q^{n+1}$ )列于表格右边。表7.6(b)为输出函数表,它是将已知量(现态 $Q$ )列于表格左边,而将未知量(输出 $Z$ )列于表格右边。计算这两个表格中的未知量时,要分别用到状态方程和输出方程。

表7.6 状态转换表

(a)状态转换表

序号	外输入 $X$	现 态 (n)		次 态 (n+1)	
		$Q_1$	$Q_0$	$Q_1$	$Q_0$
0	0	0	0	0	0
1	0	0	1	0	1
2	0	1	0	1	0
3	0	1	1	1	1
4	1	0	0	0	1
5	1	0	1	1	0
6	1	1	0	1	1
7	1	1	1	0	0

(b)输出函数表

序号	现 态 (n)	输出 $Z$
0	0	0
1	0	1
2	1	0
3	1	1

表7.6同样可以用更为简洁的形式列出,如表7.7(a)、(b)所示。

表7.7 简洁的状态转换表

(a)状态转换表

序号	$X$	$Q_1$	$Q_0$	$Q_1^{n+1}$	$Q_0^{n+1}$
0	0	0	0	0	0
1	0	0	1	0	1
2	0	1	0	1	0
3	0	1	1	1	1
4	1	0	0	0	1
5	1	0	1	1	0
6	1	1	0	1	1
7	1	1	1	0	0

(b)输出函数表

序号	$Q_1$	$Q_0$	$Z$
0	0	0	0
1	0	1	0
2	1	0	0
3	1	1	1

另外,状态转换表的卡诺图形式如表7.8(a)、(b)所示。在此,也是将输出信号 $Z$ 单独地列成一个输出函数表。

表7.8 状态转换表的卡诺图形式

(a)状态转换表

$X$			
		0	1
$Q_1 Q_0$	0 0	0 0	0 1
0 1	0 1	1 0	
1 1	1 1	0 0	
1 0	1 0	1 1	

(b)输出函数表

$Q_1$			
		0	1
$Q_0$	0	0	0
1	0	0	1

$Z$

$Q_1^{n+1} Q_0^{n+1}$

### ② 状态转换真值表

摩尔型时序电路的状态转换真值表与状态转换表一样，也是将输出信号单独地列出，即单独地构成一个输出函数表。图 7.13 所示摩尔型时序电路的状态转换真值表如表 7.9(a)、(b)所示。

表 7.9 状态转换真值表

(a) 状态转换真值表							(b) 输出函数真值表				
序号	外输入 $X$	现 状 (n)		驱 动		次 状 (n+1)		序号	现 状 (n)		输出 $Z$
		$Q_1$	$Q_0$	$T_1$	$T_0$	$Q_1$	$Q_0$		$Q_1$	$Q_0$	
0	0	0	0	0	0	0	0	0	0	0	0
1	0	0	1	0	0	0	1	1	0	1	0
2	0	1	0	0	0	1	0	2	1	0	0
3	0	1	1	0	0	1	1	3	1	1	1
4	1	0	0	0	1	0	1	4	0	1	0
5	1	0	1	1	1	1	0	5	1	0	0
6	1	1	0	0	1	1	1	6	1	1	1
7	1	1	1	1	1	0	0	7	0	0	0

### ③ 状态转换驱动表

对于摩尔型时序电路来讲，在列写状态转换驱动表时，将已知量（输入  $X$ 、现态  $Q$  和次态  $Q^{n+1}$ ）列于表格左边，而将未知量（驱动信号  $W$ ）列于表格右边；同时将输出信号单独列成一个表格，该表格的左边是现态  $Q$ （已知量），右边是输出  $Z$ （未知量）。表 7.10(a)、(b)所示为图 7.13 所示摩尔型时序电路的状态转换驱动表的栏目。

表 7.10 状态转换驱动表

(a) 状态转换驱动表					(b) 输出函数表		
序号	外输入 $X$	现 状 (n)	次 状 (n+1)	驱 动	序号	现 状 (n)	输出 $Z$
		$Q_1$	$Q_0$	$T_1$		$Q_1$	$Q_0$

### (3) 状态转换图（状态图）

摩尔型时序电路的状态转换图与米里型时序电路的状态转换图有所不同。由于在摩尔型时序电路中，输出  $Z$  仅仅是现态  $Q$  的逻辑函数，所以在摩尔型时序电路的状态图里，用以表示电路“状态”的“圆圈”中不仅要标上代表状态名称的字母或该状态的“状态编码”；而且还要标上输出信号  $Z$ ，其格式一般为“状态（现态）/输出”，即：“ $S/Z$ ”或“ $Q/Z$ ”。另外，在表示各状态转换方向的带箭头直线或弧线的旁边只标注状态转换的输入条件（外输入  $X$ ）。相当于图 7.13 所示的摩尔型同步时序电路，其状态转换图如图 7.14 所示。图 7.14(a)以  $Q$  的二进制编码表示状态；图 7.14(b)以带下标的字母表示状态，而下标就是  $Q$  的二进制编码的等效十进制数。

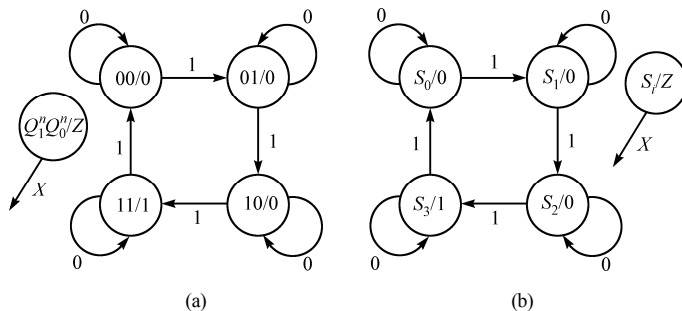


图 7.14 可控计数器（摩尔型时序电路）的状态转换图

## (4) 逻辑图

摩尔型时序逻辑电路(可控计数器)的逻辑图如图7.13所示。

## (5) 时序(波形)图

图7.13所示的摩尔型可控计数器的时序图如图7.15所示。在此要特别注意图7.15所示时序图中的输出信号Z与图7.12所示时序图的输出信号Z之间的差异。

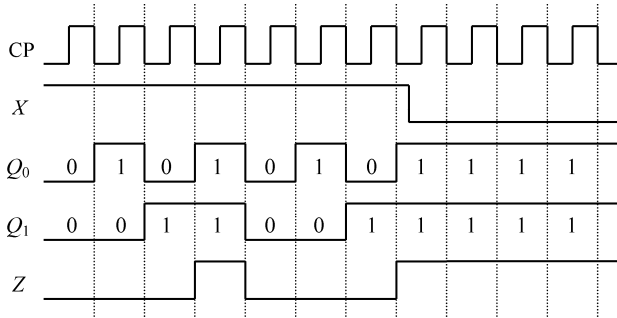


图7.15 可控计数器(摩尔型)的时序图

## 7.2 同步时序逻辑电路——状态机的分析

就本章所要达到的总目标而言,我们是要学习掌握同步时序逻辑电路——状态机的设计方法,即要解决电路的综合问题。在解决综合问题之前,首先让我们考察一下综合问题的反过程——分析问题。也就是说,如果先给定了一个同步时序逻辑电路的电路图,要求给出该电路运行过程的描述(文字、逻辑方程或图形的形式);根据这个描述,由给定的施加到电路输入端的信号波形去确定电路的输出信号波形;进而给出该电路逻辑功能的文字说明。上述过程就是一个分析时序逻辑电路的过程。**分析是综合的逆过程,它是解决综合问题的基础。**

### 7.2.1 同步时序电路的分析步骤

分析时序电路的过程就是确定给定时序逻辑电路对给定输入信号序列的输出响应序列的过程。分析时序电路的目的,就是要判断给定电路的逻辑功能,弄清电路的输出、输入之间的逻辑关系。**分析的过程一般从逻辑图开始,到画出完整的状态图,并以简略文字说明电路的逻辑功能为止。**如果给定了输入信号序列,则还需求出输出响应信号序列,必要时还要画出电路的时序图。时序图包括:时钟信号、输入信号、电路的状态信号和输出信号的波形。

分析同步时序电路的基本步骤如下。

- 分析电路组成,确定电路类型,即:是米里型还是摩尔型,明确电路的输入、输出和状态信号。
- 由逻辑图写出电路的三组逻辑方程,即:输出方程组、驱动方程组和状态方程组。
- 根据这三组逻辑方程列出完整的状态转换表。注意,对于现态和输入的每一种组合均需列出相应的次态和输出(必要时还可包括驱动信号)。如此,状态表才是完整的。
- 根据状态转换表画出完整的状态转换图。所谓完整的状态转换图是指状态图中包含了电路所具有的所有状态(包括有效状态和无效状态)。状态转换图是状态转换表所含信息的图形表示形式。
- 根据状态图并结合常用电路的特点,判断电路的逻辑功能。
- 按要求画出电路的时序图。
- 如果给定了电路的输入信号序列,则需求出电路的输出响应信号序列。

## 7.2.2 同步时序电路分析实例

7.2.1节所述步骤不是一成不变的，可根据实际情况颠倒某些步骤的次序并有所取舍。总地来讲，分析同步时序电路的目的就是要得到它的状态转换表或状态转换图。因此，在达到此目的之后，这个电路就算是分析完毕。从上述分析时序电路的步骤可以看出，我们在7.1.3节中讨论“同步时序电路的描述方法”时，已经涉及分析时序电路的问题。下面，我们将通过一些例题来说明分析时序电路的步骤。

**【例7.3】** 分析图7.16(a)所示电路的逻辑功能。设：两个输入信号序列 $X_2$ 、 $X_1$ 为：

$$X_2: 101010011010$$

$$X_1: 111000110001$$

且触发器的初始状态为“0”，求电路的输出响应序列，画出相应的定时波形图。

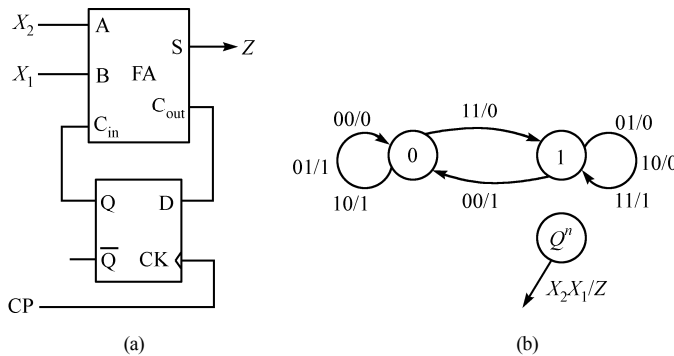


图7.16 串行加法器

解：(1) 电路组成

电路的输入信号是 $X_2$ 和 $X_1$ ，输出信号是 $Z$ 。电路的组合电路部分是一位全加器；存储器部分只由一个D触发器构成。因为输出 $Z$ 同时是输入 $X_2$ 、 $X_1$ 和现态 $Q^n$ 的组合逻辑函数，所以确定该电路是米里型同步时序电路。

(2) 电路的三组逻辑方程

根据全加器的逻辑功能及D触发器的特性方程，写出时序电路的输出方程、驱动方程和状态方程分别为：

$$\text{输出方程: } Z = S = A \oplus B \oplus C_{in} = X_2 \oplus X_1 \oplus Q^n$$

$$\text{驱动方程: } D = C_{out} = AB + AC_{in} + BC_{in} = X_2 X_1 + X_2 Q^n + X_1 Q^n$$

$$\text{状态方程: } Q^{n+1} = D = X_2 X_1 + X_2 Q^n + X_1 Q^n = X_2 X_1 + (X_2 + X_1) Q^n$$

(3) 状态转换表

根据上面的三组逻辑方程，对输入和现态的每一种组合均算出其相应的次态和输出，从而列出完整的状态转换表，如表7.11所示。

(4) 状态转换图

根据完整的状态转换表就可以画出完整的状态转换图，如图7.16(b)所示。由于该电路只有一个触发器，所以它有两个状态。

(5) 输出响应信号序列和时序图

时序图包括时钟CP、输入 $X_2$ 与 $X_1$ 、状态 $Q^n$ 和输出 $Z$ 等信号波形，如图7.17所示。因此，时序图中的输出信号波形就反映了输出响应信号序列。

表 7.11 状态转换表

序号	$X_2$	$X_1$	$Q^n$	$Z$	$Q^{n+1}$
0	0	0	0	0	0
1	0	0	1	1	0
2	0	1	0	1	0
3	0	1	1	0	1
4	1	0	0	1	0
5	1	0	1	0	1
6	1	1	0	0	1
7	1	1	1	1	1

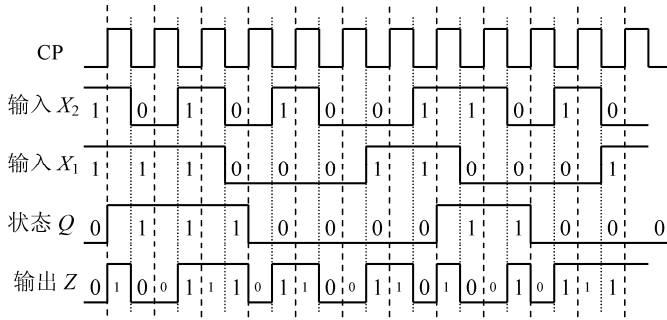


图 7.17 串行加法器的时序图

需要注意的是：我们假定输入信号  $X_2$  和  $X_1$  与时钟的边沿相同步。换句话说，输入信号  $X_2$  和  $X_1$  的电平变化均发生在时钟的上升沿或均发生于时钟的下降沿。由于图 7.16(a)所示时序电路的状态翻转是发生在时钟的上升沿（因为图中用到了上升沿触发的 D 触发器），所以在图 7.17 中让  $X_2$ 、 $X_1$  的电平变化均发生在时钟的下降沿。这样做是为了保证在时钟上升沿到达之前，输入信号  $X_2$  和  $X_1$  的电平值均已处于稳定状态<sup>①</sup>。

#### (6) 逻辑功能

该电路很难从状态图上看出它的逻辑功能，但是从图 7.17 所示的时序图可以看出，这个同步时序电路是一个串行加法器。其中， $X_2$  序列和  $X_1$  序列分别为被加数和加数（二进制数），它们以串行的方式、按照时钟的节拍逐位输入到时序电路中（最低有效位在先）；输出序列信号  $Z$  是加法运算的结果——和。它也是按照时钟的节拍、以串行的方式逐位输出的（最低有效位在先）。

整个串行加法器的运行过程是：从最低有效位开始，两个多位二进制数  $X_2$  与  $X_1$  的对应位顺次相加，某位相加的和由  $S$  ( $Z$ ) 端串行输出，该位的进位位由  $C_{out}$  输出至 D 触发器保存，在下一个时钟周期，该进位位再与较高位的被加数与加数一起送到全加器的输入端，从而实现较高位的相加。此过程一直进行到被加数和加数的最高有效位为止。

从图 7.17 的输出信号  $Z$  的波形中可以看出，真正有效的输出信号是发生在时钟的下降沿和上升沿之间（如  $Z$  波形中较大号的数字所示）；而在时钟的上升沿和下降沿之间，输出  $Z$  的电平值是不可靠的（如  $Z$  波形中较小号的数字所示）。这是因为，在时钟的正跳变之后状态翻转，此时的现态信号是上一位相加后的进位值，然而就在此时（在时钟的下降沿到来之前）， $X_2$  与  $X_1$  的值仍然是上一位的数值。

<sup>①</sup> 在同步时序电路中，一般要求外输入信号的电平变化与时钟信号同步，如果不同步，也要设法让其同步，这叫做输入信号的同步化。除此之外，还要求外输入信号的电平值在时钟的有效边沿（使电路状态翻转）到达之前已处于稳定状态，如此才能保证电路状态的可靠翻转。有关外输入信号的同步问题及输入信号电平在电路状态翻转之前保持稳定的问题，本章不打算展开进行讨论。

所以在此期间的  $Z$  电平值，实际上是被加数与加数某对应位相加所产生的进位位再一次和该位的被加数与加数相加的和。之所以出现这种情形，是由米里型时序电路的特点所决定的，即：它的输出信号同时是现态和输入的组合逻辑函数。因此在时钟的上升沿和下降沿之间反映在输出  $Z$  上的电平值不是真正的“和”输出。

**【例 7.4】** 分析图 7.18(a)所示电路的逻辑功能，设  $X$  为非同步的外输入信号，但它在电路的每次状态翻转之前，即时钟的下降沿之前是稳定的。按图 7.18(b)所给定的输入信号  $X$  与时钟 CP 的波形图，画出电路的时序图，假定触发器的初始状态均为“0”。

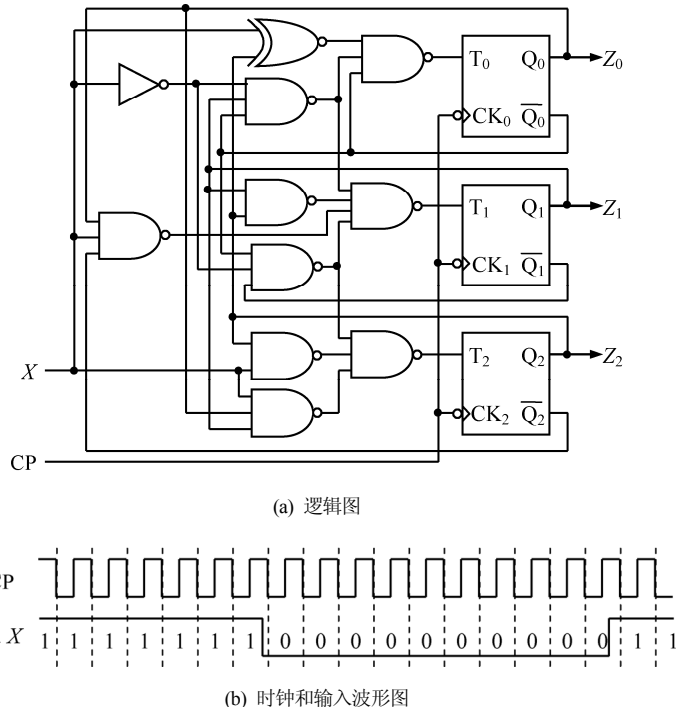


图 7.18 可控加/减计数器

解：(1) 电路组成

此电路的组合电路部分由门电路构成，它只有一个外输入信号  $X$ 。电路的存储器部分是由三个下降沿触发的 T 触发器构成的，它们公用同一个时钟，所以这是一个同步时序电路。该电路有三个输出信号  $Z_2$ 、 $Z_1$  和  $Z_0$ ，它们都直接来自状态信号  $Q_2^n$ 、 $Q_1^n$  和  $Q_0^n$ ，因此，确定该电路为摩尔型同步时序电路。

(2) 电路的三组逻辑方程

根据图 7.18(a)中的门电路网络和 T 触发器的特性方程，写出此时序电路的输出方程、驱动方程和状态方程。

$$\text{输出方程: } Z_2 = Q_2^n; \quad Z_1 = Q_1^n; \quad Z_0 = Q_0^n$$

$$\text{驱动方程: } T_2 = \overline{\overline{X} \bar{Q}_2^n \cdot \bar{X} \bar{Q}_1^n \bar{Q}_0^n \cdot X Q_1^n Q_0^n} = X Q_2^n + \bar{X} \bar{Q}_1^n \bar{Q}_0^n + X Q_1^n Q_0^n;$$

$$\begin{aligned} T_1 &= \overline{\overline{X} \bar{Q}_1^n \bar{Q}_0^n \cdot X \bar{Q}_2^n Q_0^n \cdot \bar{X} Q_1^n \bar{Q}_0^n \cdot Q_2^n Q_1^n} = \bar{X} \bar{Q}_1^n \bar{Q}_0^n + X \bar{Q}_2^n Q_0^n + \bar{X} Q_1^n \bar{Q}_0^n + Q_2^n Q_1^n \\ &= \bar{X} \bar{Q}_0^n + X \bar{Q}_2^n Q_0^n + Q_2^n Q_1^n \end{aligned}$$

$$T_0 = \overline{Q_0^n \cdot X \oplus Q_2^n \cdot \bar{X} Q_1^n \bar{Q}_0^n} = Q_0^n + (X \oplus Q_2^n) + \bar{X} Q_1^n \bar{Q}_0^n = Q_0^n + (X \oplus Q_2^n) + \bar{X} Q_1^n$$

状态方程:  $Q_2^{n+1} = T_2 \oplus Q_2^n$ ;  $Q_1^{n+1} = T_1 \oplus Q_1^n$ ;  $Q_0^{n+1} = T_0 \oplus Q_0^n$

### (3) 状态转换表

根据上面的三组逻辑方程, 对输入和现态的每一种组合均算出其对应的驱动、次态和输出(本例题即为现态信号), 从而列出完整的状态转换表(也可以叫做状态转换真值表), 如表 7.12 所示。

### (4) 状态转换图

根据状态转换表 7.12 画出完整的状态转换图, 如图 7.19 所示。由于该电路有 3 个 T 触发器, 所以它应该有 8 个状态。

表 7.12 状态转换表

序号	$X$	$Q_2^n Q_1^n Q_0^n$	$T_2$ $T_1$ $T_0$	$Q_2^{n+1} Q_1^{n+1} Q_0^{n+1}$	$Z_2$ $Z_1$ $Z_0$
0	0	0 0 0	1 1 0	1 1 0	0 0 0
1	0	0 0 1	0 0 1	0 0 0	0 0 1
2	0	0 1 0	0 1 1	0 0 1	0 1 0
3	0	0 1 1	0 0 1	0 1 0	0 1 1
4	0	1 0 0	1 1 1	0 1 1	1 0 0
5	0	1 0 1	0 0 1	1 0 0	1 0 1
6	0	1 1 0	0 1 1	1 0 1	1 1 0
7	0	1 1 1	0 1 1	1 0 0	1 1 1
8	1	0 0 0	0 0 1	0 0 1	0 0 0
9	1	0 0 1	0 1 1	0 1 0	0 0 1
10	1	0 1 0	0 0 1	0 1 1	0 1 0
11	1	0 1 1	1 1 1	1 0 0	0 1 1
12	1	1 0 0	1 0 0	0 0 0	1 0 0
13	1	1 0 1	1 0 1	0 0 0	1 0 1
14	1	1 1 0	1 1 0	0 0 0	1 1 0
15	1	1 1 1	1 1 1	0 0 0	1 1 1

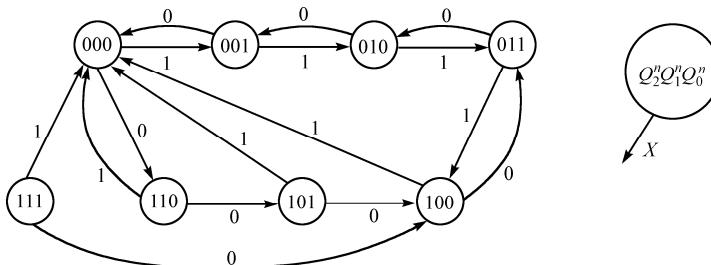


图 7.19 可控加/减计数器的状态图

### (5) 逻辑功能

从状态图可以看出, 这个时序电路有一个主循环状态圈, 它们是: “000”, “001”, “010”, “011”, “100”, “101”, “110”。电路正常工作时, 应该在这个主循环内进行状态的转换。当  $X$  为 “1” 时, 电路的输出信号 “ $Z_2 Z_1 Z_0$ ” (状态信号  $Q_2^n Q_1^n Q_0^n$ ) 为 “000”, “001”, “010”, “011”, “100”, “000” …… 这是一个五进制的加法计数器; 而当  $X$  为 “0” 时, 电路的输出信号 “ $Z_2 Z_1 Z_0$ ” 为 “000”, “110”, “101”, “100”, “011”, “010”, “001”, “000”, …… 这是一个七进制的减法计数器。所以, 该时序电路是一个受控于外输入信号  $X$  的加/减计数器。我们将主循环内的状态叫做有效状态, 状态 “111” 不属于主循环状态, 它是无效状态。如果电路因某种原因进入到无效状态 “111”, 则不论  $X$  为何值, 在经过一个时钟周期后, 电路都将进入到主循环内。我们把这种能在若干时钟周期后自动地进入到有效循环状态内的电路称为可自启动的同步时序电路。

### (6) 时序图

时序图如图 7.20 所示。由于本电路使用了具有下降沿触发的 T 触发器，所以在时序图中，状态的翻转发生在时钟的下降沿。

注意：输入信号  $X$  不与时钟同步，但在时钟下降沿之前的瞬间必须处于稳定的电平状态。

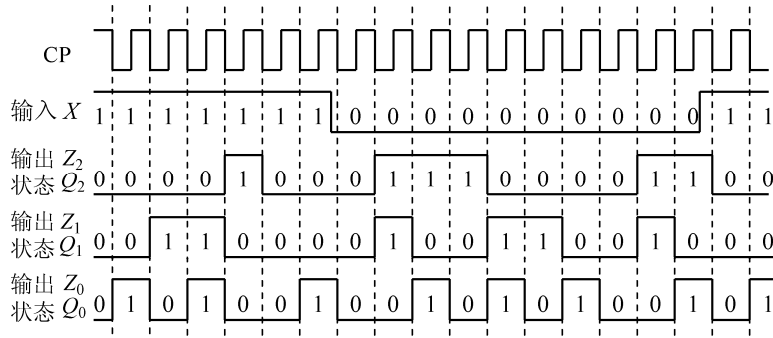


图 7.20 可控加/减计数器时序图

**【例 7.5】** 试分析图 7.21(a)所示电路的逻辑功能，设  $X$  是不与时钟下降沿同步的外输入信号。图 7.21(b)是给定的外输入信号  $X$  与时钟  $CP$  的波形图，试画出电路的时序图。假定状态 “ $Q_1^n Q_0^n$ ” 的初始值为“10”。

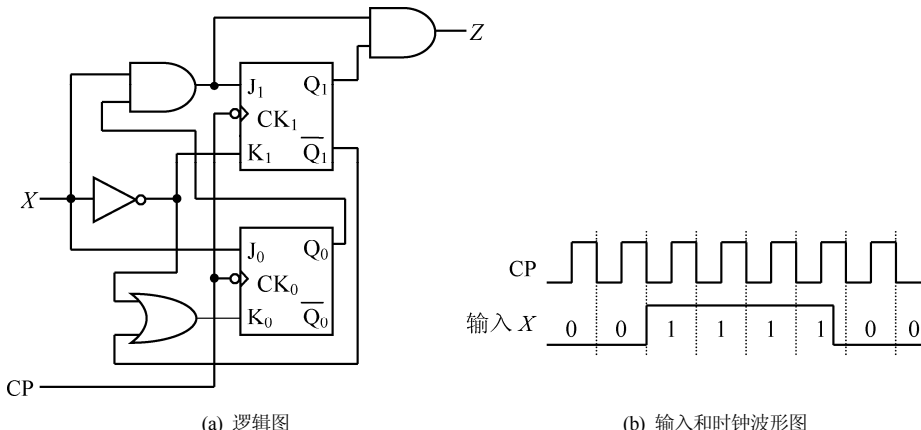


图 7.21 “1111”序列探测器

解：（1）电路组成

此电路的存储器部分是由两个下降沿触发的 JK 触发器所构成的，两个触发器公用同一个时钟，所以这是一个同步时序电路。电路的组合电路部分由门电路构成。该时序电路只有一个外输入信号  $X$  和一个输出信号  $Z$ 。输出  $Z$  同时受控于现态  $Q_1^n Q_0^n$  和输入  $X$ ，所以这是一个米里型同步时序电路。

### (2) 电路的三组逻辑方程

根据图 7.21(a)中的门电路网络和 JK 触发器的特性方程, 可写出此时序电路的输出方程、驱动方程和状态方程。

输出方程:  $Z = XQ_1^n Q_0^n$

$$\text{驱动方程: } J_1 = X O_0^n, \quad K_1 = \bar{X}; \quad J_0 = X, \quad K_0 = \bar{X} + \bar{O}_1^n = \overline{X O_1^n}$$

$$\text{状态方程: } Q_1^{n+1} = J_1 \bar{Q}_1^n + \bar{K}_1 Q_1^n = X Q_0^n \bar{Q}_1^n + X Q_1^n = X(Q_0^n + Q_1^n);$$

$$Q_0^{n+1} = J_0 \bar{Q}_0^n + \bar{K}_0 Q_0^n = X \bar{Q}_0^n + X Q_1^n Q_0^n = X(\bar{Q}_0^n + Q_1^n)$$

### (3) 状态转换表

利用状态方程和输出方程, 对输入和现态的每一种组合均算出其对应的次态和输出, 于是就列出状态转换表, 如表 7.13 所示。

表 7.13 状态转换表

序号	X	$Q_1^n Q_0^n$	$Q_1^{n+1} Q_0^{n+1}$	Z
0	0	0 0	0 0	0
1	0	0 1	0 0	0
2	0	1 0	0 0	0
3	0	1 1	0 0	0
4	1	0 0	0 1	0
5	1	0 1	1 0	0
6	1	1 0	1 1	0
7	1	1 1	1 1	1

### (4) 状态转换图

根据表 7.13 所示的状态转换表, 可画出完整的状态转换图如图 7.22 所示。

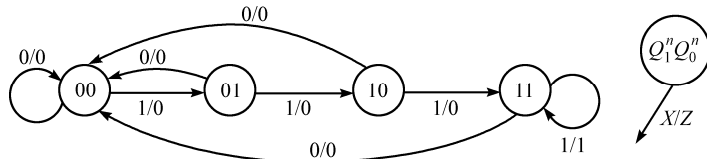


图 7.22 “1111”序列探测器的状态图

### (5) 时序图

根据状态图和给定的输入  $X$  的波形, 并按初始状态为“10”的假设, 画出时序图如图 7.23 所示。

注意: 电路所采集的外输入信号电平是时钟下降沿之前瞬间的  $X$  信号电平值。换句话说, 电路的状态是按照时钟下跳沿之前的  $X$  信号电平值翻转的。

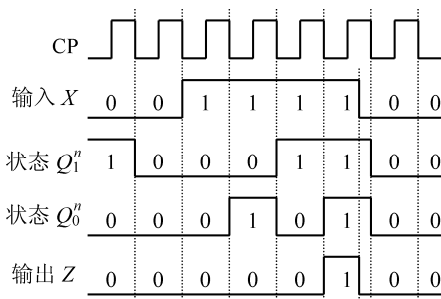


图 7.23 “1111”序列探测器的时序图

“1”时, 输出信号  $Z$  为“1”。

注意: 这里所说的  $X$  在连续 4 个时钟周期出现“1”指的是  $X$  只需在连续的 4 个时钟周期内出现“1”即可, 而不要求  $X$  出现“1”的持续时间一定是 4 个完整的时钟周期。

另外, 当  $X$  连续在 5 个(或更多个)时钟周期内出现“1”时, “1111”序列探测器的输出仍然为“1”, 即: 探测器不仅将“11111”中的前 4 个“1”看成是一个有效的“1111”序列, 而且也将后 4 个

### (6) 逻辑功能

从状态图和时序图中可以看出, 输入信号  $X$  必须连续输入 4 个或 4 个以上时钟周期的“1”电平以后, 输出信号  $Z$  才能输出“1”电平, 否则, 输出  $Z$  将一直保持在“0”电平。而且一旦输入  $X$  跳变到“0”电平, 输出  $Z$  将立即跟着跳变为“0”电平, 这也是米里型时序电路的特点——“输出随着输入变”。所以这是一个“1111”序列探测器(有时也称为序列检测器), 即: 当输入信号  $X$  在连续 4 个时钟周期出现

“1”当成是一个有效的“1111”序列，两个有效序列之间可互相重叠。因此，这是一种“被测序列可重叠”的序列探测器。

**【例 7.6】** 分析图 7.24 所示的时序电路，画出它的状态图。

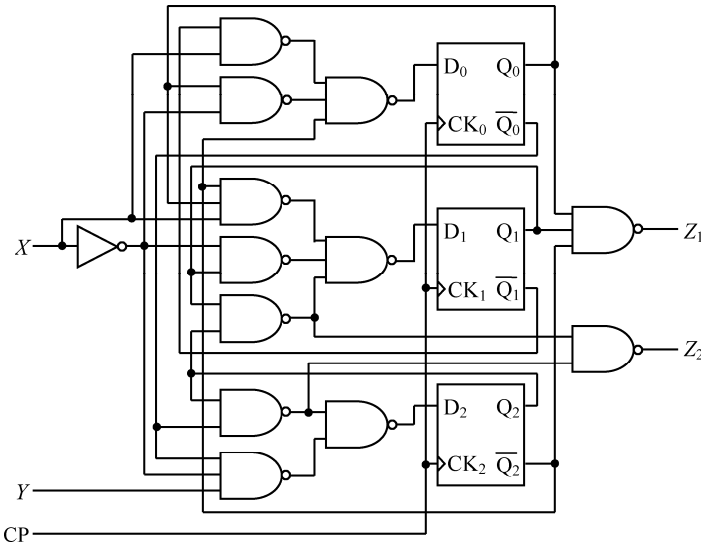


图 7.24 时序电路的逻辑图

**解：**(1) 电路组成

此电路的组合电路部分由“与非”门电路构成，它有两个外输入端  $X$  和  $Y$ 。电路的存储器部分是由三个上升沿触发的 D 触发器所构成的，它们公用一个时钟，因此是一个同步时序电路。该时序电路有两个输出信号  $Z_1$  和  $Z_2$ 。它们均直接受控于现态信号 “ $Q_2^n Q_1^n Q_0^n$ ” 或其补信号 “ $\bar{Q}_2^n \bar{Q}_1^n \bar{Q}_0^n$ ”，所以这是一个摩尔型同步时序电路。

(2) 电路的三组逻辑方程

根据图 7.24 中的“与非”门电路网络和 D 触发器的特性方程，可分别写出此时序电路的输出方程、驱动方程和状态方程。

$$\text{输出方程: } Z_1 = \overline{\bar{Q}_2^n Q_1^n Q_0^n} = Q_2^n + \bar{Q}_1^n + \bar{Q}_0^n ;$$

$$Z_2 = \overline{\bar{Q}_2^n Q_1^n Q_2^n \bar{Q}_0^n} = Q_2^n Q_1^n + Q_2^n \bar{Q}_0^n = Q_2^n (Q_1^n + \bar{Q}_0^n)$$

$$\text{驱动方程: } D_0 = \overline{\bar{Q}_2^n \bar{X} Q_0^n X \bar{Q}_1^n} = Q_2^n + \bar{X} Q_0^n + X \bar{Q}_1^n ;$$

$$D_1 = \overline{X \bar{Q}_2^n Q_0^n \bar{X} Q_1^n Q_2^n Q_1^n} = X \bar{Q}_2^n Q_0^n + \bar{X} Q_1^n + Q_2^n Q_1^n ;$$

$$D_2 = \overline{Q_2^n \bar{Q}_0^n \bar{X} Y \bar{Q}_0^n} = Q_2^n \bar{Q}_0^n + \bar{X} Y \bar{Q}_0^n$$

$$\text{状态方程: } Q_0^{n+1} = D_0 = Q_2^n + \bar{X} Q_0^n + X \bar{Q}_1^n ;$$

$$Q_1^{n+1} = D_1 = X \bar{Q}_2^n Q_0^n + \bar{X} Q_1^n + Q_2^n Q_1^n ;$$

$$Q_2^{n+1} = D_2 = Q_2^n \bar{Q}_0^n + \bar{X} Y \bar{Q}_0^n$$

(3) 状态转换表

利用状态方程和输出方程，可算出输入和现态的每一种组合所对应的次态和输出。由于本例题中有 2 个输入、3 个现态，共 5 个变量（变量个数较多），所以采用表 7.8(a)形式的状态转换表

和表 7.8(b)形式的输出函数表。于是可列出表 7.14(a)所示的状态转换表和表 7.14(b)所示的输出函数表。

表 7.14 状态转换表

(a) 状态转换表

$$Q_2^n Q_1^n Q_0^n$$

$X$	$Y$	000	001	011	010	110	111	101	100
0	0	000	001	011	010	111	011	001	101
0	1	100	001	011	110	111	011	001	101
1	1	001	011	010	000	111	011	001	101
1	0	001	011	010	000	111	011	001	101

(b) 输出函数表

$$Q_2^{n+1} Q_1^{n+1} Q_0^{n+1}$$

$$Q_2^n Q_1^n Q_0^n$$

$Z_2$	00	01	11	10
0	0	0	0	0
1	1	0	1	1

$Z_1$	00	01	11	10
0	1	1	0	1
1	1	1	1	1

#### (4) 状态转换图

根据表 7.14 所示的状态转换表和输出函数表，可画出完整的状态转换图如图 7.25 所示。注意：由于这是一个摩尔型时序电路，所以输出标在状态圈之内。

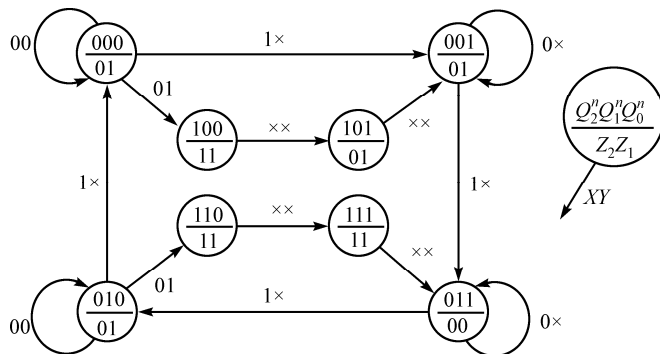


图 7.25 时序电路的状态转换图

从状态转换图可以看出，状态的转换取向是基于输入组合  $XY$  的值与当时电路所处的状态来决定的；而电路的输出则完全由电路当时所处的状态来确定。如果状态机处于“000”、“001”、“011”和“010”这 4 个状态之一且  $X = “1”$  时，则不论  $Y$  为何值，状态机将沿着“000”，“001”，“011”，“010”，“000”……的次序转换；如果状态机处于状态“001”和“011”且输入  $X$  为“0”时，则不论  $Y$  为何值，状态机总是停留于原状态；而当状态机处于状态“000”和“010”且输入  $X$  为“0”时，则  $Y$  为“0”时状态机仍处于原状态， $Y$  为“1”时状态机将分别进入“100”和“110”；一旦状态机进入“100”，则以后它将无条件地（不论输入组合  $XY$  为何值）进入状态“101”，并进而无条件地进入状态“001”；同样，如果状态机一旦进入“110”，则以后它也将无条件地进入状态“111”，并进而无条件地进入状态“011”。

通过上述分析，我们完全掌握了该状态机的运行规律。

### 7.3 同步时序逻辑电路——状态机的设计

7.2节我们讨论了同步时序逻辑电路——状态机的分析。这一节我们讨论分析问题的逆过程，即：同步时序逻辑电路——状态机的设计。状态机的设计实际上是一个综合逻辑电路的过程，正如7.2节的开头所讲到的，它是以分析状态机的方法为基础的。

设计时序电路的过程一般是从说明电路逻辑功能的文字描述开始的，经过一系列的综合手段，到最终得到描述该时序电路的逻辑方程组，即：输出方程组、状态方程组和驱动（激励）方程组，并由此画出同步时序电路的逻辑图为止。一般来讲，当得到描述时序电路的逻辑方程组（主要是输出方程组和驱动方程组）时，设计工作就算基本完成。因为由逻辑方程组到画出逻辑图的过程是一项非常简单、规范且没有任何悬念的工作。

设计同步时序电路的基本步骤如下。

- (1) 根据实际问题的文字描述进行逻辑抽象，建立原始状态转换图和状态转换/输出表。
- (2) 对已建立起来的原始状态图（表）进行化简，去掉多余的状态以得到最简的状态图（表）。注意：这一步是可选的，不是必须的。
- (3) 选择一组状态变量的编码，并用这组编码命名原始状态图（表）中的各状态，这一过程称为“状态分配”或“状态编码”。在这个过程中，也同时确定了所需触发器的个数，它与状态的个数有关。
- (4) 选择所用触发器的类型（例如：JK触发器、D触发器等）。注意：尽管在设计电路之初你对此可能已经有了某种想法，但是这一步是你最终改变主意的最后机会。
- (5) 根据所选择的触发器类型，利用“驱动表法”或“次态卡诺图法”（亦称为“次态K图法”）导出欲设计时序电路的逻辑方程组——驱动方程组、状态方程组和输出方程组。
- (6) 检验时序电路的自启动性。若电路不能自启动，则需返回上一步修改设计。根据最后确定的设计，画出完整的状态转换图。
- (7) 按照最终得到的逻辑方程组，画出所设计时序电路的逻辑图。

以上各步骤都归结到图7.26中。注意：这些步骤只是设计同步时序电路的一般步骤，它们不是一成不变的。在设计时序电路的实践中，有些步骤是可以省略的。

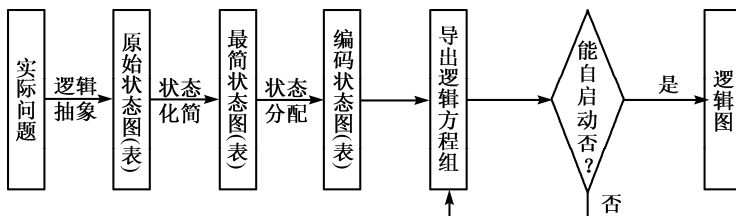


图7.26 同步时序逻辑电路设计的一般步骤

下面，我们将用实例来分别说明上述这7个步骤。

#### 7.3.1 逻辑抽象

在上述7个设计步骤中，第1步是整个设计过程中最关键也是最困难的一步。它是一个将文字描述的实际问题抽象成逻辑问题的过程——逻辑抽象。它直接关系到整个设计是否能正确地反映并实现文字描述问题所表达的设计要求。为了建立正确的原始状态图（表），应该按如下的各步要求来做。

① 分析问题的文字描述，弄清输入条件和输出要求，明确电路的输入、输出变量。

② 根据实际情况确定所设计时序电路的适当类型，即：是米里型还是摩尔型。一般情况下，就实现某一个实际问题的时序电路类型而言，选用米里型或摩尔型电路均可以。如果不想让电路的输出信号敏感于输入信号的变化并且要求输出与时钟同步，那就采用摩尔型的时序电路；如果想利用输入信号去影响电路的输出信号，那就采用米里型的时序电路。另外，在完成同样逻辑功能的前提下，米里型时序电路通常比摩尔型时序电路所用的状态个数要少。这意味着，米里型电路比摩尔型电路所用的触发器个数要少，电路结构更简单。

③ 设置电路的状态。首先应考虑实际问题中有多少种信息需要记忆，然后按照需要记忆的信息来设置状态。

④ 根据题意，以每一个状态作为现态，分析在全部输入组合条件下电路所应具有的输出和应转向的次态（米里型）；或者确定电路在每个状态下所应具有的输出，以及在全部输入组合条件下电路应转向的次态（摩尔型），据此画出原始状态图或列出原始状态表。

**【例 7.7】** 欲设计一个“1111”序列检测器。该检测器的功能是：当在电路的输入端连续输入 4 个或 4 个以上的“1”时，电路的输出为“1”，其余情况下电路的输出均为“0”。注意：电路输入端的数据个数是以时钟的周期来划分的。试建立“1111”序列检测器的原始状态图并列出原始状态表。

解：(1) 分析

序列检测器（识别器或探测器）是一种同步时序电路。当它检测到输入端上出现“特定”的输入序列值时，其输出端上会出现指定性的响应。以时钟周期为基准，在连续的时钟周期进程中，一个序列中的数值相继到达电路的输入端，我们假定：在这个输入序列中的每一个数值都是在时钟的有效跳变沿（上升沿或下降沿）之前到达电路的输入端并保持稳定，因此设

输入变量： $X$  为输入串行序列；

输出变量： $Z$  表示检测输出，当检测到输入端上已出现了“1111”序列时， $Z=1$ ；否则， $Z=0$ 。

(2) 确定电路类型

我们采用米里型时序电路来实现“1111”序列检测器，因为这样可使电路较为简单<sup>①</sup>。

(3) 状态设置

根据题目对该序列检测器的功能描述，我们断定这是一种“被测序列可重叠”的序列检测器。因此，电路需要记忆的已输入信号序列有“1”、“11”、“111”、“1111”4 种，再加上初始状态，所以先假设电路有 5 个状态。

$S_0$ ：初始状态，电路还未收到一个有效的“1”；

$S_1$ ：收到第 1 个有效的“1”以后电路所处的状态；

$S_2$ ：连续收到 2 个有效的“1”以后电路所处的状态；

$S_3$ ：连续收到 3 个有效的“1”以后电路所处的状态；

$S_4$ ：连续收到 4 个有效的“1”以后电路所处的状态。

(4) 画状态图、列状态表

从状态  $S_0$  开始，根据题目的描述，逐一分析在每一个状态下，当输入变量  $X=1$  和  $X=0$  两种情况时电路所应具有的输出和所要转向的次态。于是就得到了图 7.27 所示的原始状态图。

不难理解该原始状态图的正确性。例如：当电路处于状态  $S_3$  时，表明此时电路已经连续接收到了 3 个有效的“1”，如果此时输入  $X$  为“0”，则破坏了连续接收 4 个“1”的条件，前面连续收到的 3 个

<sup>①</sup> 当然也可以采用摩尔型时序电路实现“1111”序列检测器，见习题 7-35。

“1”作废，电路输出  $Z$  为“0”并返回到状态  $S_0$  重新开始检测新的“1111”序列；如果此时输入  $X$  为“1”，则正好满足连续接收 4 个“1”的条件，电路输出  $Z$  为“1”并转向状态  $S_4$ 。再比如：电路已处于状态  $S_4$ ，这表明电路已经连续接收到 4 个有效的“1”，如果下一个输入  $X$  为“0”，则电路需检测新的“1111”序列，于是电路输出  $Z$  为“0”并返回到状态  $S_0$ ；如果下一个输入  $X$  为“1”，则表明电路已连续接收到 5 个有效的“1”。因为已经规定输入的有效序列是可重叠的，所以可将这 5 个“1”中的后 4 个“1”看做是另一个新的“1111”序列。因此电路的输出  $Z$  为“1”，所转向的下一个状态仍为  $S_4$ 。其余状态的情况可以此类推。

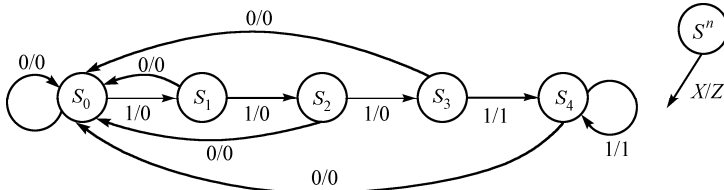


图 7.27 “1111”序列检测器的原始状态图

根据图 7.27 所示的原始状态图，可以列出类似于卡诺图形式的原始状态表，如表 7.15 所示。

**【例 7.8】** 要设计一个串行三位码“质数”检测器。该检测器的功能是：在三位二进制数的范围内寻找质数。三位码以高位在先、低位在后的次序串行地加到电路的输入端。电路每接收一组代码（三位二进制码），即在收到第三位（比特）代码时判断一下，如果这组代码的数值是质数（“010”、“011”、“101”和“111”），则电路的输出为“1”，否则电路的输出为“0”。此后，电路继续接收第二组代码。相邻两组代码之间不重叠，也没有任何比特的空隙。请建立该检测器的原始状态图和原始状态表。

**解：**（1）分析

根据题目对检测器的描述，知道电路有一个串行输入端和一个检测输出端，因此设输入变量： $X$  为串行输入码；

输出变量： $Z$  代表误码检测输出，若输入是质数，则  $Z=1$ ；否则， $Z=0$ 。

（2）确定电路类型

本题目所适宜采用的时序电路类型，既可以是米里型的，也可以是摩尔型的。在此，我们采用摩尔型时序电路来实现三位码“质数”检测器。

（3）状态设置

本例题难以像例 7.7 那样事先确定电路的状态，因此只能采取先假设一个初始状态，然后再采用边分析边补充必要状态的方法来构建原始状态图。

（4）画状态图、列状态表

根据题目的描述，分析在各种输入条件下，电路状态之间的相互转换关系及在每个状态下电路所应具有的输出。为此，先设一个初始状态  $S_0$ ，表示此时电路还未收到第一位（比特）代码，当然在此状态下电路的输出  $Z=0$ 。然后，根据输入第一位代码的两种可能性 ( $X=0$  或  $X=1$ )，分两支再设两个新的状态  $S_1$  和  $S_2$ ，即：如果输入  $X=0$ ，则转向状态  $S_1$ ，而且在此状态下电路的输出  $Z$  为“0”；如果输入  $X=1$ ，则转向状态  $S_2$ ，且在此状态下电路的输出  $Z$  亦为“0”。之后，根据输入  $X$  的第二位代码是“0”还是“1”，再分别从  $S_1$  和  $S_2$  出发，又各自派生出两个新的状态  $S_3$  和  $S_4$  及  $S_5$  和  $S_6$ ，在这 4

表 7.15 原始状态表

$S^n \backslash X$	0	1
$S_0$	$S_0/0$	$S_1/0$
$S_1$	$S_0/0$	$S_2/0$
$S_2$	$S_0/0$	$S_3/0$
$S_3$	$S_0/0$	$S_4/1$
$S_4$	$S_0/0$	$S_4/1$

$S^{n+1}/Z$

个状态下，电路的输出  $Z$  均应为“0”。待接收到第三位输入代码时，若判定已收到三位码的数值不是质数，则转向状态  $S_8$ ，在此状态下的电路输出为“0”；反之，若判定所收三位码的数值是质数，则转向状态  $S_7$ ，且在此状态下输出  $Z$  为“1”。无论是在状态  $S_8$  或  $S_7$ ，电路都将开始接收下一组代码（3 比特）的第一位，若此位代码为“0”，则电路转向  $S_1$ ，否则，电路转向  $S_2$ 。

图 7.28 所示为按以上所述画出的原始状态图，其相应的原始状态表如表 7.16 所示。

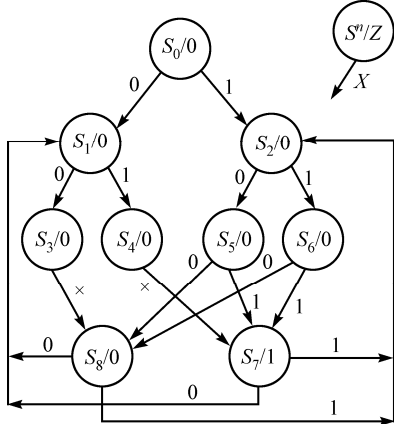


图 7.28 三位码“质数”检测器的原始状态图

表 7.16 原始状态表

现态 $S^n$	$X$		输出 $Z$
	0	1	
$S_0$	$S_1$	$S_2$	0
$S_1$	$S_3$	$S_4$	0
$S_2$	$S_5$	$S_6$	0
$S_3$	$S_8$	$S_8$	0
$S_4$	$S_7$	$S_7$	0
$S_5$	$S_8$	$S_7$	0
$S_6$	$S_8$	$S_7$	0
$S_7$	$S_1$	$S_2$	1
$S_8$	$S_1$	$S_2$	0

次态  $S^{n+1}$

由于本例采用摩尔型时序电路，所以它的原始状态表形式与以前所示不太一样。在此，专门把输出  $Z$  提出来单独排成一列。这样做的目的，是表示输出  $Z$  只与现态  $S^n$  有关而与输入  $X$  无关。

**【例 7.9】** 设计一个自动售货机控制器。该售货机的投币口允许每次投入一枚 5 分或 10 分（1 角）的硬币。现规定：售货机内各种货物的价格统一为 20 分（2 角）钱一个。向投币口投币的次数不受限制，但是如果已经投入的币值达到或超过 20 分时，自动售货机将“吐出”货物和应该找回的硬币（如果有的话）。建立该控制器的原始状态表和相应的原始状态图。

解：(1) 分析

按照题目对自动售货机控制器的描述，分析一下每次投币的情况，不外乎三种情形：未投币、投入 5 分硬币和投入 10 分硬币。再分析一下“找零”的情况，只有一种情形：那就是找回 5 分钱。另外，还需要有反映售货机是否“吐出”货物的输出变量。于是，我们做如下安排。

输入变量：设  $X_0=1$  代表投入 5 分硬币， $X_1=1$  代表投入 10 分硬币。用  $X_1X_0$  的编码组合来表示上述 3 种投币的情形：

- $X_1X_0=00$  未投入硬币；
- $X_1X_0=01$  投入 5 分硬币；
- $X_1X_0=10$  投入 10 分硬币；
- $X_1X_0=11$  因每次只投入一枚硬币，故不做定义（对应无关项）。

输出变量：设  $Z_1=1$  代表找回 5 分钱， $Z_0=1$  代表“吐出”货物。 $Z_1Z_0$  编码组合所代表的 4 种情形如下：

- $Z_1Z_0=00$  不“吐出”货物，也不找回 5 分硬币；
- $Z_1Z_0=01$  “吐出”货物，但不找回 5 分硬币；
- $Z_1Z_0=11$  “吐出”货物，找回 5 分硬币；
- $Z_1Z_0=10$  不会出现此种情况。

### (2) 确定电路类型

可以采用米里型或摩尔型时序电路来实现自动售货机控制器。在本例题中，采用米里型时序电路来实现该控制器。

### (3) 状态设置

可以设想，每次投入一枚硬币后，电路应转向一个新的状态。按题意，设置如下状态。

$S_0$ : 初始状态，自动售货机尚未收到硬币时电路所处的状态；

$S_1$ : 已收到 5 分钱币值的硬币后，电路所处的状态；

$S_2$ : 已收到 10 分钱币值的硬币后，电路所处的状态；

$S_3$ : 已收到 15 分钱币值的硬币后，电路所处的状态。

### (4) 列状态表、画状态图

本题先列出状态表较为方便。根据题意和上面我们所做的规定，可列出表 7.17 所示的、类似卡诺图样式的原始状态表。根据此表可画出图 7.29 所示的原始状态图。可以验证原始状态表的正确性。例如在表 7.16 的第 2 行 ( $S^n = S_1$ )、第 4 列 ( $X_1 X_0 = 10$ ) 的交汇处填写的是 “ $S_3/00$ ”。它表示：现态是  $S_1$ ，售货机已经收到了 5 分钱。如果此时再投入 10 分钱 ( $X_1 X_0 = 10$ )，则控制器的次态应为  $S_3$ （已收到 15 分钱）。与此同时，输出信号  $Z_1 Z_0 = 00$ ，表示售货机不“吐出”货物（收到的钱不够 20 分），也不“找零”。再比如：第 4 行 ( $S^n = S_3$ )、第 4 列 ( $X_1 X_0 = 10$ ) 的交汇处是 “ $S_0/11$ ”。它表示：现态是  $S_3$ （已收到 15 分钱），若再投入 10 分钱 ( $X_1 X_0 = 10$ )，则售货机收到 25 分钱。这时，输出信号  $Z_1 Z_0 = 11$ ，表示售货机“吐出”货物并找回 5 分钱。此次购物完毕，控制器应转向次态  $S_0$ （初始状态）。

表 7.17 售货机控制器的原始状态表

$S^n \backslash X_1 X_0$	00	01	11	10
$S_0$	$S_0/00$	$S_1/00$	$\times/\times\times$	$S_2/00$
$S_1$	$S_1/00$	$S_2/00$	$\times/\times\times$	$S_3/00$
$S_2$	$S_2/00$	$S_3/00$	$\times/\times\times$	$S_0/01$
$S_3$	$S_3/00$	$S_0/01$	$\times/\times\times$	$S_0/11$

$S^{n+1}/Z_1 Z_0$

由以上 3 个例题可以看到，建立原始状态图（表）的方法是比较灵活的，没有一个明确规定套路可循，也不存在一个统一的“标准答案”。不同的设计者所采用的时序电路类型及相应建立的原始状态图（表），完全可以不一样，孰优孰劣完全取决于设计者的经验。但是就每一个设计者依据题目的文字描述所建立的逻辑模型（原始状态图/表）而言，都应该正确地反映文字描述问题的要求，换句话说，它们所完成的逻辑功能应该是相同的。因此，要想从实际问题的文字描述中正确地抽象出一个逻辑模型——原始状态图（表），需要设计者不断地探索练习，在实践中总结、积累经验。

### 7.3.2 状态化简

建立原始状态图（表）的着眼点是保证逻辑功能的正确性。在这个过程中，并未考虑到所设状态的必要性，因而有可能出现多余的状态。所以，在建立起原始状态图（表）之后，一般应考虑对它进行状态化简。状态化简的目的就是要消去多余的状态，以获得最简的状态图（表）；其意义就在于有可能减少触发器的数目并简化相应的组合电路。

状态化简的前提是：保证时序电路的逻辑功能不改变，即保证整个电路的外输出信号与外输入信号的逻辑关系不变。

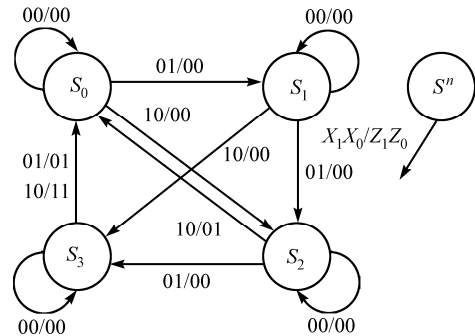


图 7.29 自动售货机控制器的原始状态图

状态化简就是要寻找所谓的“等价状态”，并将这些等价状态合并为一个状态，以达到减少状态个数的目的。如何判断两个状态是否等价？这里给出一般需要遵循的5条规则。

(1) 若电路的两个状态在某个外输入信号组合条件下的输出不同(米里型)；或者电路在两个状态下的输出不同(摩尔型)，则这两个状态肯定不等价。所以，本规则是两个状态不等价的充分条件。

(2) 两个状态等价的必要条件是：电路的两个状态在每一个外输入信号组合条件下的输出都相等(米里型)；或者电路在两个状态下的所有输出都相同(摩尔型)。在满足这个必要条件的前提下，这两个状态等价与否就完全取决于它们所要转向的次状态(也叫做隐含状态)的情形而定。

(3) 两个状态等价的充分必要条件是：无论是米里型还是摩尔型时序电路，如果电路的两个状态满足上述规则(2)——两个状态等价的必要条件，同时电路的这两个状态(称为“原状态对”)在每一个输入组合条件下，它们所要转向的“次状态对”(也称为“隐含状态对”)都等价，则这两个状态等价。否则，“原状态对”不等价。

(4) 如何判断“次状态对”或“隐含状态对”是否等价，下面给出了三种具体情况：

① “次状态对”(“隐含状态对”)相等。也就是说，“次状态对”实际上是同一个状态，如图7.30所示。

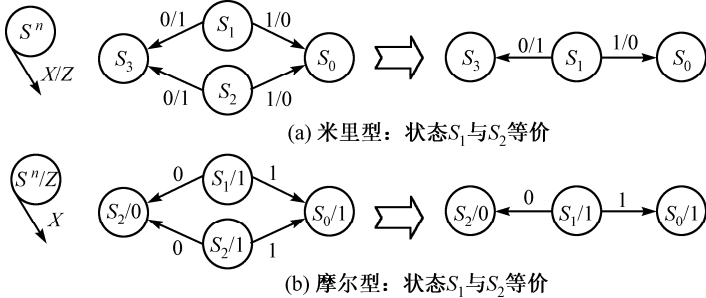


图7.30 “次状态对”相等时两个状态等价

② “原状态对”的“次状态对”就是“原状态对”自己。换句话说，“原状态对”以其自身为“次状态对”，如图7.31所示。

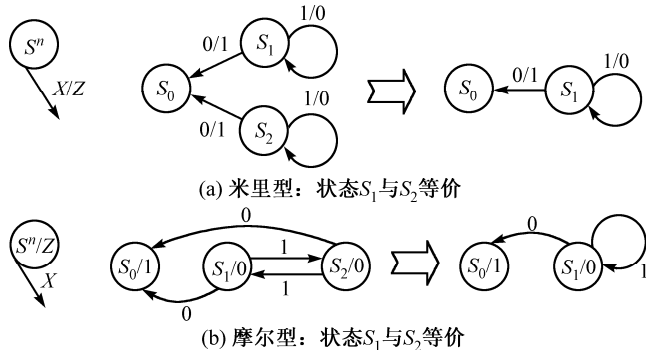


图7.31 “原状态对”的“次状态对”就是其自身时“原状态对”等价

注意：图7.31(b)也可以理解成“原状态对”互以对方为次状态。

③ 两个“状态对” $S_1, S_2$ 和 $S_3, S_4$ 互为“原状态对”和“次状态对”。如果“ $S_1, S_2$ ”等价与否仅仅取决于“ $S_3, S_4$ ”是否等价，而“ $S_3, S_4$ ”等价与否也仅仅取决于“ $S_1, S_2$ ”是否等价，则状态 $S_1$ 与 $S_2$ 等价，同时状态 $S_3$ 与 $S_4$ 也等价，如图7.32所示。上面讲的情形②实际上是本情形的一种特例。

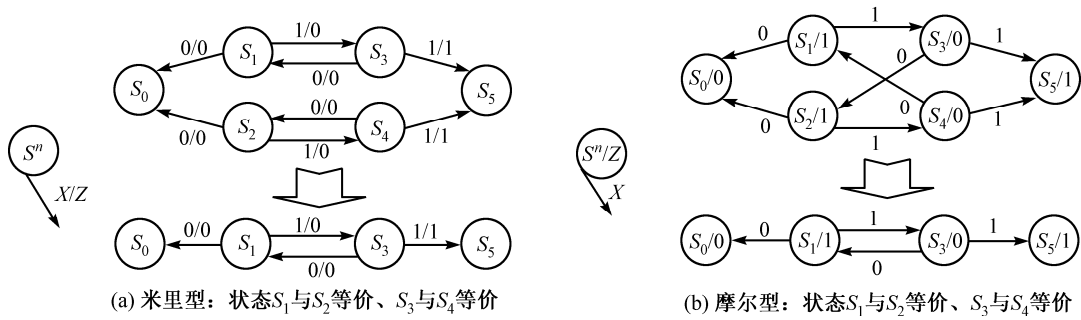


图 7.32 互为“原状态对”和“次状态对”的两对状态各自等价

规则(4)与规则(3)在本质上是一样的，它也是两个状态等价的充分必要条件，只不过它是规则(3)的一种具体表现而已。

(5) 等价的状态具有传递性。即：若  $S_1$  与  $S_2$  等价， $S_2$  与  $S_3$  等价，则  $S_1$  与  $S_3$  也等价。

在原始状态表上进行等价状态的识别与合并操作较为方便，简化后得到的**最简状态表**也叫做**最小化状态表**。常用的实施上述判定等价状态 5 项原则的方法有“观察法”和“隐含表法”(Implication Table)等。

“观察法”的优点是简单易行，缺点是在考察某两个状态的次态是否等价时，容易出现混淆和遗漏的情况，特别是在状态的个数较多的情况下更是如此；“隐含表法”的特点是：它将全部状态的所有两两状态组合都考察一遍，这一过程也包括对两个状态的次态是否等价的考察，因此不会出现混淆和遗漏的情况。但是，也正是由于它将所有状态的两两组合都加以考察，所以在状态个数较多的情况下，这种方法显得非常烦琐。但是，“隐含表法”是一种普遍适用的一般性方法，它非常适合于被编成程序，然后让计算机来操作。

一般情况下，对于状态个数较少的简单时序电路，多采用“观察法”；而对于状态个数较多的复杂时序电路，则采用“隐含表法”，尽管它比较费时间。有时，也可以将两种方法结合起来，即：先用“观察法”将那些一眼就能辨别出的等效状态合并起来，以减少状态的总个数，然后再用“隐含表法”将那些不容易看出来的等效状态一一“挖”出来且合并之。现通过实例来说明这两种方法的使用。

**【例 7.10】** 求在例 7.7 中建立起来的“1111”序列检测器的最简状态表及相应的最简状态图。

解：(1) 首先将“1111”序列检测器的原始状态表重绘于此，如表 7.18(a)所示。

表 7.18 原始状态表的化简

(a) 原始状态表		(b) 最简状态表	
$S^n \backslash X$	0	1	$S^{n+1}/Z$
$S_0$	$S_0/0$	$S_1/0$	$S_0/0$
$S_1$	$S_0/0$	$S_2/0$	$S_0/0$
$S_2$	$S_0/0$	$S_3/0$	$S_0/0$
$\left\{ \begin{array}{l} S_3 \\ S_4 \end{array} \right.$	$S_0/0$	$S_4/1$	$S_0/0$
$S_4$	$S_0/0$	$S_4/1$	$S_1/0$

(2) 观察原始状态表，合并等价状态。注意到表 7.18(a)中的  $S_3$ 、 $S_4$  两个状态。当输入  $X = 0$  时，

两个状态的输出  $Z$  均为“0”，而且它们所要转向的次态都是  $S_0$ ；而当输入  $X=1$  时，两个状态的输出  $Z$  同为“1”，而且它们所要转向的次态都为  $S_4$ 。可见， $S_3$  和  $S_4$  在相同的输入条件下输出相同且所要转向的次态也相同，符合上述状态等价的第(4)条规则中的第①种情形，故两个状态等价，可将它们合并为一个状态  $S_3$ <sup>①</sup>。所以，将表 7.18(a)中状态  $S_4$  所在的那一行(第 5 行)删去，同时将表中所有出现  $S_4$  的地方都换成  $S_3$ ，如表 7.18(b)所示。

表 7.18(b)是否就是最简状态表呢？我们可以按上述方法来考察它。首先观察  $X=1$  这一列 ( $X=0$  那一列不需要考察，为什么？)，发现状态  $S_3$  的输出 ( $Z=1$ ) 与其他三个状态  $S_0 \sim S_2$  的输出 ( $Z=0$ ) 不一样，根据第(1)条规则，状态  $S_3$  与其他 3 个状态 ( $S_0 \sim S_2$ ) 都不等价。再看剩下的 3 个状态  $S_0$ 、 $S_1$ 、 $S_2$ ，在输入  $X=1$  的情况下，它们的输出都为“0”，但是它们的次态(隐含状态)却分别为  $S_1$ 、 $S_2$  和  $S_3$ 。已知  $S_3$  与  $S_2$  不等价，所以它们的原状态  $S_2$  与  $S_1$  就不等价，进而推出  $S_1$  与  $S_0$  也不等价。同理，因为  $S_3$  与  $S_1$  不等价，所以它们的原状态  $S_2$  与  $S_0$  也不等价。因此断定，表 7.18(b)中不存在多余的等价状态，它是最简状态表。

根据表 7.18(b)所示的最简状态表，可以画出“1111”序列检测器的最简状态图，如图 7.33 所示，该图实际上就是图 7.22。

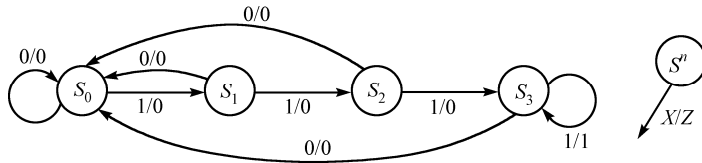


图 7.33 “1111”序列检测器的最简状态图

**【例 7.11】** 已知某米里型时序电路的原始状态表如表 7.19(a)所示。试用隐含表法求出该时序电路的最简状态表。

表 7.19 原始状态表的化简

(a) 原始状态表			(b) 最简状态表		
$S^n \diagdown X$	0	1	$S^n \diagdown X$	0	1
$S_0$	$S_2/1$	$S_1/0$	$S_0$	$S_1/1$	$S_1/0$
$S_1$	$S_2/1$	$S_4/0$	$S_1$	$S_1/1$	$S_4/0$
$S_2$	$S_1/1$	$S_4/0$	$S_3$	$S_3/0$	$S_1/1$
$S_3$	$S_3/0$	$S_1/1$	$S_4$	$S_4/0$	$S_0/1$
$S_4$	$S_4/0$	$S_0/1$			

$S^{n+1}/Z$

解：用隐含表法求时序电路最简状态表的步骤如下。

(1) 首先构造出一个图 7.34(a)所示的表格。表格左边的垂直方向标上除第一个状态  $S_0$  以外的所有状态  $S_1 \sim S_4$ ；表格下边的水平方向标上除最后一个状态  $S_4$  以外的所有状态  $S_0 \sim S_3$ 。这样，表格中水平方向与垂直方向交汇处的小格就分别表示了纵向和横向的一对状态。可以看出，这个表格覆盖了全部状态  $S_0 \sim S_4$  中所有状态的两两组合，此表就是隐含表。

(2) 用观察法根据原始状态表逐个考察隐含表中每一个小格所代表的“状态对”，判断它们是否等价。如果某个“状态对”符合第(3)、(4)条规则(等价状态的充分必要条件)，则在代表该“状态

<sup>①</sup>当然，也可以将  $S_3$ 、 $S_4$  合并为  $S_4$ ，其余做法均与上述相同。

对”的小格中填上符号“√”以表示该“状态对”等价；如果某个“状态对”符合第(1)条规则（状态不等价的充分条件），则在代表此“状态对”的小格中填上符号“×”以表示此“状态对”不等价；如果某个“状态对”符合第(2)条规则（等价状态的必要条件），则在代表此“状态对”的小格中填上该“状态对”的“次状态对”——“隐含状态对”，此时这个“状态对”等价与否决定于它们的“隐含状态对”等价与否，如图7.34(b)所示。

(3) 继续考察填有“隐含状态对”的小格。根据已经判定出的“等价状态对”和“不等价状态对”来判定这些“隐含状态对”是否等价，从而推断出“原状态对”是否等价。如果“原状态对”不等价，则在相应的小格上填“/”，如图7.34(c)所示。例如：“状态对” $S_0$ 和 $S_2$ 在输入 $X=0$ 或 $X=1$ 时的输出相同，但次态不同且分别为“ $S_1S_2$ ”和“ $S_1S_4$ ”。因为我们已经判定出状态 $S_1$ 和 $S_4$ 不等价，所以尽管“隐含状态对” $S_1$ 与 $S_2$ 等价，但是“原状态对” $S_0$ 和 $S_2$ 仍然不等价。再比如“状态对” $S_1$ 与 $S_2$ ，当输入 $X=1$ 时输出相同（均为“0”）且次态相同（均为 $S_4$ ）；而输入 $X=0$ 时输出也相同（均为“1”）但次态不同。不过注意，此时 $S_1$ 与 $S_2$ 均以对方为次态，根据规则(4)中的第②种情形，可以判定 $S_1$ 与 $S_2$ 等价。最后结果如图7.34(c)所示。

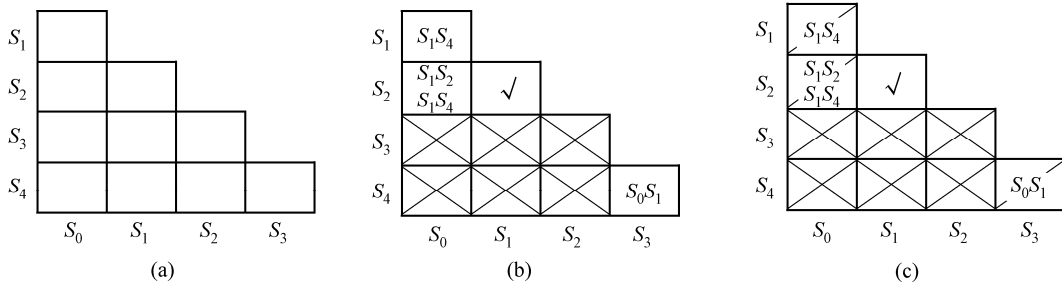


图7.34 用隐含表法化简具有5个状态的电路

由图7.34(c)知，5个状态中只有 $S_1$ 与 $S_2$ 等价，因此将它们合并为 $S_1$ 。所以，在原始状态表中去掉状态 $S_2$ 所在的行，同时将表中所有出现 $S_2$ 的地方全部换成 $S_1$ ，如此得到的最简状态表如表7.19(b)所示。

**【例7.12】** 米里型时序电路的原始状态表如表7.20(a)所示。利用隐含表法求出该时序电路的最简状态表。

表7.20 原始状态表的化简

(a) 原始状态表			(b) 最简状态表		
$S^n \diagdown X$	0	1	$S^n \diagdown X$	0	1
$S_0$	$S_4/0$	$S_3/0$	$S_0$	$S_1/0$	$S_0/0$
$S_1$	$S_0/1$	$S_5/0$	$S_1$	$S_0/1$	$S_2/0$
$S_2$	$S_2/0$	$S_0/1$	$S_2$	$S_2/0$	$S_0/1$
$S_3$	$S_1/0$	$S_0/0$	$S_6$	$S_7/1$	$S_6/1$
$S_4$	$S_3/1$	$S_2/0$	$S_7$	$S_2/1$	$S_1/1$
$S_5$	$S_2/0$	$S_3/1$	$S^{n+1}/Z$		
$S_6$	$S_7/1$	$S_6/1$			
$S_7$	$S_2/1$	$S_1/1$			

解：本例题的状态个数有8个。按照上题的步骤，考察每一个“状态对”，逐步填写隐含表中的小格，最后得到的隐含表如图7.35所示。

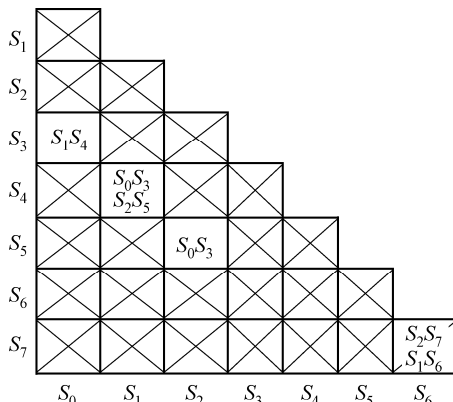


图 7.35 用隐含表法化简具有 8 个状态的电路

等价。很明显，这两个“隐含状态对”都不等价，故“原状态对” $S_6$ 与 $S_7$ 不等价。

把 $S_0$ 与 $S_3$ 合并为 $S_0$ ； $S_1$ 与 $S_4$ 合并为 $S_1$ ； $S_2$ 与 $S_5$ 合并为 $S_2$ 。去掉原始状态表中状态 $S_3$ 、 $S_4$ 和 $S_5$ 所在的行，并将表中所有出现 $S_3$ 、 $S_4$ 和 $S_5$ 的地方都分别换成 $S_0$ 、 $S_1$ 和 $S_2$ ，如此得到的最简状态表如表 7.20(b)所示。

**【例 7.13】**表 7.21(a)是某米里型时序电路的原始状态表。试用隐含表法求出该时序电路的最简状态表。

表 7.21 原始状态表的化简

(a) 原始状态表	$S^n \setminus X$	00	01	11	10
$S_0$	$S_3/0$	$S_3/0$	$S_5/0$	$S_0/0$	
$S_1$	$S_2/1$	$S_3/0$	$S_4/1$	$S_5/0$	
$S_2$	$S_2/1$	$S_3/0$	$S_4/1$	$S_0/0$	
$S_3$	$S_3/0$	$S_1/0$	$S_0/0$	$S_5/0$	
$S_4$	$S_2/1$	$S_5/0$	$S_4/1$	$S_0/0$	
$S_5$	$S_3/0$	$S_3/0$	$S_0/0$	$S_5/0$	
$S_6$	$S_0/0$	$S_6/0$	$S_0/0$	$S_0/0$	
$S_7$	$S_1/1$	$S_3/0$	$S_4/1$	$S_0/0$	

 $S^{n+1}/Z$ 

**解：**与上面的例题相比，本例题要复杂一些。这不仅表现在电路状态个数较多，而且也反映在输入变量的组合数翻了一倍。但是，我们仍然沿用在上述例题中所采用的方法，即：利用隐含表逐个考察每一个“状态对”是否等价。考察的结果如图 7.36 所示。

由图 7.36 知，以下“状态对”或“状态组”等价： $S_0$ 和 $S_5$ ； $S_1$ 、 $S_2$ 和 $S_7$ 。

于是将 $S_0$ 和 $S_5$ 合并为 $S_0$ ； $S_1$ 、 $S_2$ 和 $S_7$ 合并为 $S_1$ 。由此得到最简状态表如表 7.21(b)所示。

**【例 7.14】**化简在例 7.8 中建立起来的串行三位码“质数”检测器的原始状态表，求最简状态表及相应的最简状态图。

在隐含表中，我们注意到：“状态对” $S_0$ 与 $S_3$ 等价与否完全取决于“状态对” $S_1$ 和 $S_4$ 是否等价；而“状态对” $S_1$ 和 $S_4$ 的等价与否不仅反过来取决于 $S_0$ 与 $S_3$ 是否等价，还取决于“状态对” $S_2$ 和 $S_5$ 是否等价，所以问题的关键就在于状态 $S_2$ 和 $S_5$ 是否等价。但是， $S_2$ 和 $S_5$ 的等价与否又再一次地反过来取决于 $S_0$ 与 $S_3$ 是否等价，这样，问题就回到了它的原点。于是，根据前面所述的规则(4)中的第③种情形，可以断定： $S_0$ 与 $S_3$ 等价； $S_1$ 与 $S_4$ 等价； $S_2$ 与 $S_5$ 等价。

另外，“状态对” $S_6$ 与 $S_7$ 等价与否完全取决于它的“隐含状态对” $S_2$ 与 $S_7$ 以及 $S_1$ 与 $S_6$ 是否等价。

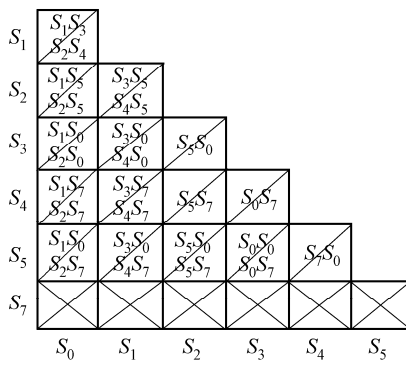
解：(1) 将三位码“质数”检测器的原始状态表重绘于此，如表 7.22(a)所示。我们采用观察法与隐含表法相结合的办法来化简该原始状态表。

(2) 观察原始状态表，注意到  $S_5$ 、 $S_6$  两个状态的输出  $Z$  相同（均为“0”），且对应  $X$  是“0”或“1”时，它们转向的次态分别相等。这完全符合状态等价的第(4)条规则中的第①种情形，故状态  $S_5$  和  $S_6$  等价，将它们合并为  $S_5$ 。同样的情形也出现在状态  $S_0$  和  $S_8$  上，因此状态  $S_0$  和  $S_8$  也等价，将其合并为  $S_0$ 。于是就得到了经初步化简后的状态表，如表 7.22(b)所示。注意：表中所有出现  $S_6$  的地方均用  $S_5$  代替、出现  $S_8$  的地方都换成  $S_0$ 。

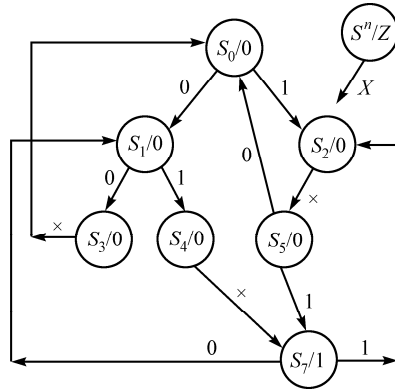
表 7.22 三位码“质数”检测器的原始状态表化简

(a) 原始状态表		(b) 最简状态表	
现态 $S^n$	$X$		$Z$
	0	1	
✓	$S_0$	$S_1$	0
	$S_1$	$S_3$	0
	$S_2$	$S_5$	0
	$S_3$	$S_8$	0
	$S_4$	$S_7$	0
<span style="position: absolute; left: -15px; top: 0; font-size: 2em;">{</span>	$S_5$	$S_8$	0
	$S_6$	$S_8$	0
	$S_7$	$S_1$	1
✓	$S_8$	$S_1$	0
次态 $S^{n+1}$			

此时的表 7.22(b)是否就是最简状态表呢？可用隐含表对该表中的每个“状态对”逐个进行考察，其结果如图 7.37(a)所示。



(a)



(b)

图 7.37 隐含表和最简状态图

在判断“隐含状态对”是否等价时要充分利用已判定为等价或不等价的“状态对”。例如，状态  $S_7$ 与其他各状态都不等价，所以，只要“隐含状态对”里含有  $S_7$ ，则“原状态对”就不等价；由此推出状态  $S_5$ 、 $S_4$  与所有其他状态都不等价，因此，凡是其“次状态对”中含有  $S_5$ 、 $S_4$  的“原状态对”都

不等价; 所以又推出状态  $S_2$  与其他各状态都不等价……由图 7.37(a)看出, 这 7 个状态互不等价,

表 7.22(b)就是最简状态表。

表 7.23 售货机控制器原始(最简)状态表

$S^n \backslash X_1 X_0$	00	01	11	10
$S_0$	$S_0/00$	$S_1/00$	$\times/\times\times$	$S_2/00$
$S_1$	$S_1/00$	$S_2/00$	$\times/\times\times$	$S_3/00$
$S_2$	$S_2/00$	$S_3/00$	$\times/\times\times$	$S_0/01$
$S_3$	$S_3/00$	$S_0/01$	$\times/\times\times$	$S_1/11$

$S^{n+1}/Z_1 Z_0$

$X_1 X_0 = 10$  时, 只有状态  $S_0$  和  $S_1$  的输出相同(均为“00”), 其余各状态的输出都各不相同。根据两个状态不等价的充分条件(规则(1))断定, 除了  $S_0$  和  $S_1$  以外, 其他状态都互不等价。而  $S_0$  和  $S_1$  等价与否取决于  $S_2$  和  $S_3$  是否等价。然而  $S_2$  和  $S_3$  不等价, 所以  $S_0$  和  $S_1$  也不等价。自动售货机控制器的原始状态表(表 7.17)就是最简状态表; 相应的原始状态图(图 7.29)就是最简状态图。

### 7.3.3 状态分配(状态编码)

同步时序电路的状态都是存储于一组触发器中, 也就是说, 这些状态信号的存储最终是要由触发器来实现的——用各触发器输出信号的组合来代表电路的状态。因为一个触发器的输出信号( $Q$ )就是一位(一比特)二进制数, 所以  $n$  个触发器的输出信号组合可以表示  $n$  位二进制数, 因此  $n$  既代表触发器的个数, 也表示二进制数的位数。由于  $n$  位二进制数含有  $2^n$  个代码, 所以  $n$  个触发器可以为时序电路最多提供  $2^n$  个状态。

将最简状态表中以文字命名的各状态用二值代码表示的过程叫做“状态分配”, 也叫做“状态编码”。这个过程实际上牵涉到两个问题: 首先, 用几位二值代码为电路的各状态进行编码(也就是说电路中需要多少个触发器)? 其次, 如何(用什么规则)对各状态进行编码?

关于第一个问题的回答, 要涉及对状态进行编码的方法问题。本书主要讨论的是“二进制数状态编码法”(Binary State Code)<sup>①</sup>。该方法实际上就是用具有一定位数的二进制数代码对各状态进行编码。如果时序电路需要的状态个数是  $k$ , 而为这些状态进行编码的二进制数位数为  $n$ , 则  $n$  与  $k$  的关系应满足如下关系式:

$$2^{n-1} < k \leq 2^n \text{ 或 } n \geq \log_2 k \quad (n \text{ 取最小整数}) \quad (7.16)$$

例如: 某同步时序电路需要有 5 个状态( $k = 5$ ), 按式(7.16)知道  $n = 3$ , 即需要三个触发器的输出信号所构成的三位二进制数代码为这 5 个状态进行编码。然而, 三位二进制数共有  $8 (2^3)$  个代码, 因此可从中任选 5 个代码(不重复)分配给这 5 个状态。分配的方案有很多, 一共有  $A_8^5 = 6720$  种。一般情况下,  $n$  位二进制码元分配给  $k$  个状态, 可供选择的方案有:

$$A_{2^n}^k = \frac{2^n!}{(2^n - k)!} \quad (7.17)$$

这是一个由  $2^n$  个元素中取出  $k$  个元素的排列问题。

有这么多种编码方案可供选择, 到底选择哪一个方案好呢? 于是就引出了第二个问题——如何进行状态编码。

① 当然, 还有其他的状态编码方法。例如“每个状态一比特编码法”, 也叫做“每个状态一个触发器法”(One-Hot State Code)。

从理论上（或逻辑关系上）讲，只要各状态的编码不重复，采用任何一种编码方案都是可行的。所以，最简单的一种状态编码（分配）方案就是：按二进制数的计数顺序，取前  $k$  个二进制数码元为  $k$  个状态  $S_0 \sim S_{k-1}$  编码。例如：具有 5 个状态  $S_0 \sim S_4$  的时序电路，要用三位二进制数（三个触发器）对其进行状态编码，可选用“000”、“001”、“010”、“011”和“100”分别为  $S_0$ 、 $S_1$ 、 $S_2$ 、 $S_3$  和  $S_4$  进行编码。但是，最简单的编码方案却不一定总是导致最简单的激励方程、输出方程，即最简单的逻辑电路。事实上，状态分配方案经常是关乎最终逻辑电路成本的主要影响因素，而且它还与其他的一些因素，诸如存储单元（触发器）类型的选择（D 与 JK 触发器）以及实现激励和输出方程的逻辑表达式的形式（例如，“与或”式、“或与”式，或者某种特殊的形式），相互影响。不同的编码方案所导致的最终电路实现的繁简程度是不一样的<sup>①</sup>。所以，一定存在某种编码方案，由它所导出的最终电路实现是最简单的。因此，选择最佳的状态编码（状态分配）方案也是时序电路设计中的一个重要问题。

如何寻找状态编码的最佳方案？按式（7.17）所确定的编码方案总数去一个一个地试验比较？显然这是不现实的，因为对于一个具有 5 个状态的状态机 ( $k=5$  从而  $n=3$ ) 来讲，可能的状态编码方案的总数就要大于 100；而对于有 10 个状态的状态机 ( $k=10$ 、 $n=4$ ) 来讲，可能的状态编码方案的总数就要大于 1000 万<sup>②</sup>！最好有一种方法能很快地找到状态编码的最佳方案。但是很遗憾，至今尚没有一套行之有效的通用方法去寻找这样一个“最佳”的状态编码（分配）方案。我们只能采用所谓“相邻分配”规则进行状态的分配（编码）。一般情况下，按该规则进行状态编码可以得到较好的效果（但它不是绝对的）。相邻分配规则如下：

- (1) 当两个以上的状态在同一个给定的输入条件下具有相同的次态时，这些原状态应尽可能安排为“逻辑相邻”的代码；
- (2) 同一个状态在“逻辑相邻”的输入组合驱动下有两个以上的次态时，这些次态也应尽量安排为“逻辑相邻”的代码；
- (3) 输出相同的状态，最好也安排为逻辑相邻的代码。

以上三条常常不能同时满足，所以实践中常以第（1）条为主，第（2）条为辅，然后再尽量兼顾第（3）条。

**【例 7.16】** 为例 7.10 中“1111”序列检测器的最简状态表中的状态进行编码，同时确定所用触发器的个数。

解：(1) 首先将例 7.10 中的最简状态表重绘于此，如表 7.24(a) 所示。

表 7.24 最简状态表的状态编码

(a) 最简状态表			(b) 最简状态编码表		
$S^n$	$X$	0	$Q_1^n Q_0^n$	$X$	0
$S_0$		$S_0/0$	0 0		$0 0/0$
$S_1$		$S_0/0$	0 1		$0 0/0$
$S_2$		$S_0/0$	1 1		$1 1/0$
$S_3$		$S_0/0$	1 0		$0 0/0$
		$S_3/1$			$1 0/1$

$S^{n+1}/Z$                                      $Q_1^{n+1} Q_0^{n+1}/Z$

(2) 因为总的状态个数  $k=4$ ，所以根据式（7.16）确定使用触发器的个数  $n=2$ 。设两个触发器的输出组合为：“ $Q_1 Q_0$ ”。

① 所谓电路实现的繁简程度是指：实现该电路所用到的门电路个数的多少以及每个门电路输入端个数的多少。

② 这里的 100 和 1000 万是指“有效”的编码方案总数，见后面式（7.18）。

(3) 观察表 7.24(a), 先运用三个相邻分配规则找出可能的“相邻状态对”; 再按照“规则 1 为主、规则 2 为辅、兼顾规则 3”的原则, 从这些可能的相邻状态对中综合出状态排列的次序; 按照这个状态排列次序为每一个状态分配格雷码。整个过程如表 7.25 所示。

表 7.25 状态分配过程表

相邻分配 规则	可能的相邻状态对	综合结果	状态分配	
			$Q_1 Q_0$	$S^n$
规则 1	“ $S_2 S_3$ ”	“ $S_0 S_1 S_2 S_3$ ”	0 0	$S_0$
规则 2	“ $S_0 S_3$ ”, “ $S_0 S_1$ ”, “ $S_0 S_2$ ” “ $S_0 S_3$ ”		0 1	$S_1$
规则 3	“ $S_0 S_1 S_2$ ”		1 1	$S_2$
			1 0	$S_3$

该表的填写过程大致如下: 以“相邻分配”规则(1)为准, 从“现态” $S_0 \sim S_3$ 的角度看, 当 $X=0$ 时,  $S_0 \sim S_3$ 的次态均为 $S_0$ , 故 $S_0 \sim S_3$ 这 4 个状态应互相相邻; 当 $X=1$ 时, 现态 $S_2$ 和 $S_3$ 有相同的次态 $S_3$ ,  $S_2$ 和 $S_3$ 应该相邻, 记为: “ $S_2 S_3$ ”, 列于表 7.25 “规则 1” 右边方框中。以“相邻分配”规则(2)为准, 从“输入” $X$ 的角度看, 现态 $S_0$ 在输入 $X=0$ 和 $X=1$ 时(输入编码相邻), 其次态分别为 $S_0$ 和 $S_1$ , 故 $S_0$ 和 $S_1$ 应该相邻。同理,  $S_0$ 还应该分别与 $S_2$ 和 $S_3$ 相邻, 记为: “ $S_0 S_1$ ”、“ $S_0 S_2$ ”和“ $S_0 S_3$ ”, 将它们都列于表 7.25 “规则 2” 右边方框中。注意, 此时有两个“ $S_0 S_3$ ”, 将它们都列出来并上下排列。这样做的目的是要突出表明, “ $S_0 S_3$ ”相邻的可能性要大于“ $S_0 S_1$ ”和“ $S_0 S_2$ ”。从“输出” $Z$ 的角度看,  $S_0$ 、 $S_1$ 和 $S_2$ 有相同的输出, 按“相邻分配”规则(3), 它们应该相邻, 记为: “ $S_0 S_1 S_2$ ”, 列于表 7.25 “规则 3” 右边方框中。注意引号中 $S_0$ 、 $S_1$ 和 $S_2$ 的排列顺序可以是任意的。

将上述结果加以综合, 遵循“规则 1 为主、规则 2 为辅、兼顾规则 3”的原则, 确定各状态的相邻顺序为: “ $S_0 S_1 S_2 S_3$ ”, 列于表 7.25 第 3 列(注意: 此时 $S_0$ 和 $S_3$ 是相邻的)。表中粗体字显示被采纳的相邻状态对, 故除状态对“ $S_0 S_2$ ”以外, 其他状态对都覆盖到了。

按照上述状态排列的次序给每一个状态分配格雷码, 分配时尽量让格雷码的码值与状态的序号相吻合, 这样做的目的是便于记忆。于是, 状态编码方案为:  $S_0$ —“00”;  $S_1$ —“01”;  $S_2$ —“11”;  $S_3$ —“10”, 列于表 7.25 的最后一列。

“1111”序列检测器的“最简状态编码表”, 如表 7.24(b)所示。

用上述状态编码去代替图 7.33 中各状态名的字母, 于是就得到了编码形式的状态图, 如图 7.38 所示。除了状态编码方案不同之外, 图 7.38 与图 7.22 完全相同。

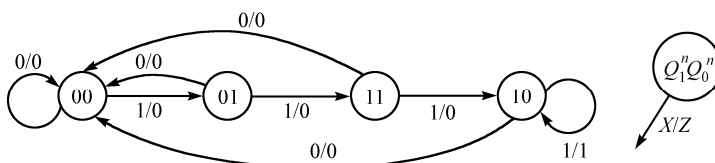


图 7.38 “1111”序列检测器编码形式的最简状态图

关于状态分配的问题, 需要补充说明以下几点。

(1) “相邻分配”规则的前两条实际上是使同步时序电路的状态(次态)方程组达到或接近最简(优)化; 而该规则的最后一条却是使状态机的输出方程组达到或接近最简(优)化。

(2) 由于 D 触发器的输入等于其次态( $Q^{n+1} = D$ ), 所以当同步时序电路的存储器部分由 D 触发器构成时, 电路的状态(次态)方程组达到或接近最简化就相当于电路的驱动方程组达到或接近了最简化。换句话说, “相邻分配”规则的前两条适用于使用 D 触发器的同步时序电路的状态分配。

(3) 如果使用其他类型的触发器（比如 JK 触发器）来构成状态机的存储器部分，但却按照“相邻分配”规则的前两条进行状态分配，这样的状态编码分配方案是否还能使状态机的驱动方程组达到或接近最简化？答案是：在一般情况下，一个对于 D 触发器来讲是“好的”状态分配方案对其他类型的触发器来讲也仍然是“好的”状态分配方案。但是，也有文献提出了另外一种相反的实例，那就是：一个状态分配方案对于某一种类型的触发器来讲是“最优”或“接近最优”的，而对另一种类型的触发器来讲却完全不是“最优”的<sup>①</sup>。

(4) 式(7.16)只适用于“二进制数状态编码法”。该编码方法的宗旨是：**用最少的触发器个数来完成对所有状态的编码**。当状态个数  $k < 2^n$  时，就会有  $2^n - k$  个编码被舍弃不用。这些被舍弃的编码所代表的状态叫做“无效状态”。这些无效状态虽然不被采用，但这并不等于它们不存在。如何处理好这些无效状态关系到时序电路能否“自启动”，我们在后面还要详细地讨论这个问题。

(5) 式(7.17)虽然给出了在  $2^n$  个代码中取出  $k$  个代码为  $k$  个状态进行编码的方案总数，但是在这些方案中有很多方案是等效的。所谓“等效”是指由这些方案所导出电路的繁简程度是一样的。所以真正能使电路繁简程度各不相同的状态分配方案数应为<sup>②</sup>：

$$N_k = \frac{A_{2^n}^k}{2^n n!} = \frac{(2^n - 1)!}{(2^n - k)! n!} \quad (7.18)$$

例如：当  $k = 5$ （从而  $n = 3$ ）时， $N_k = 140$ （而不是 6720），但这也是一个相当大的数了。我们没有时间、也完全没有必要去一个一个地比较这些状态编码方案所导致的电路实现孰优孰劣。我们只需按照上述的状态分配原则大致地对状态进行优化编码分配。事实上，随着当前大规模集成电路技术和计算机技术的飞速发展，电路的集成度越来越高，人们开发了很多优化状态编码分配的算法。因此，在现代的数字电路和数字系统的设计过程中，往往并不特意地去进行状态编码的优化分配，这个工作都交给计算机去完成。

(6) 式(7.18)表明，利用相邻分配规则所得到的“最优”状态编码方案不唯一。

### 7.3.4 触发器类型的选择

在完成了建立实际问题的逻辑模型、状态化简和状态分配之后，接下来要做的事情就是选择触发器的类型。目前可供选择的触发器类型有：D、JK、T 和 RS。

关于 D 触发器，它在实践当中是应用得最普遍的一种触发器。这是因为：首先在分立封装的小规模集成电路中就有 D 触发器的现成产品，而且在当前的可编程逻辑器件中，触发器的类型几乎毫无例外地都是 D 触发器。其次，在所有的触发器中，D 触发器的特性方程  $Q^{n+1} = D$  是最简单的。这意味着：当我们得到了次态  $Q^{n+1}$  的逻辑方程时，同时也就得到了 D 触发器的输入驱动方程，这给设计带来了很大方便，我们在后面将体会到这一点。但是因为 D 触发器只有一个输入端 D，对它的控制就不像 JK 触发器那样灵活，由此而产生的结果是：在实现同一个状态机的前提下，D 触发器的驱动方程相比 JK 触发器一般要复杂一些，实现起来也需用更多的“门电路”。

JK 触发器在使用分立封装的 SSI 设计状态机的时代也曾经是应用非常普遍的一种触发器。这是因为 JK 触发器在同样封装尺寸的条件下可提供两个输入端，J 和 K，因此相对 D 触发器而言，这两个输入端 (J, K) 的组合为我们提供了更多的控制触发器的可能性。这就导致了 JK 触发器的驱动方程可能要比 D 触发器的驱动方程更简单、所用的 SSI “门电路”更少。但是在设计时序电路的过程中，在

<sup>①</sup> 请比较例 7.5 和例 7.17 中的驱动方程和状态方程的繁简程度。

<sup>②</sup> 篇幅所限，此处不打算对此公式进行讨论，有兴趣的读者可阅读参考文献《DIGITAL LOGIC CIRCUIT ANALYSIS & DESIGN》的 P605。

得到了次态  $Q^{n+1}$  的逻辑方程之后却并不能马上获得  $J$  和  $K$  的逻辑方程（驱动方程），要得到它还需要费一番“周折”且不像 D 触发器那样“直截了当”。

对于 T 触发器来讲，由于它在现实生活中并没有可供使用的实际商品存在，它都是由 D 或 JK 触发器经过转换而得到的，所以研究用 T 触发器构成状态机只具有理论上的意义。尽管没有实际的 T 触发器芯片存在，但这丝毫不会降低我们研究用 T 触发器构成状态机的兴趣。当然在得到了次态  $Q^{n+1}$  的逻辑方程之后要想获得 T 触发器的驱动方程，也是需要费一番“工夫”的。

RS 触发器在现实生活中很少有实际商品存在，所以研究用它来构成状态机也只具有理论上的意义。另外 RS 触发器的输入端  $R$  和  $S$  具有某种“约束条件”，因此在设计驱动方程时要设法避开这些约束条件。由于 RS 触发器的逻辑功能基本上可以由 JK 触发器来代替，所以我们不再讨论如何用 RS 触发器去构成状态机。

### 7.3.5 逻辑方程组的获取

导出逻辑方程组、检验自启动性、画出逻辑图，这三步在整个状态机的设计过程中是非常重要，但又是相当规范的。导出逻辑方程组的方法有两种：一种是“驱动表法”；另一种是“次态 K 图法”。

我们在 7.1.3 节“同步时序电路的描述方法”中曾经提到过“状态转换驱动表”，而且特别强调它是设计时序逻辑电路的工具。这里所介绍的“驱动表法”实际上就是利用“状态转换驱动表”作为工具来导出时序电路的逻辑方程组。

“次态 K 图法”是另一种非常有效的导出时序电路逻辑方程组的工具。它的核心思想就是根据“状态转换表”或“状态转换图”直接画出次态  $Q^{n+1}$  的卡诺图，从而得到  $Q^{n+1}$  的逻辑方程，即：同步时序电路的状态方程。有时我们更喜欢使用“次态 K 图法”，这不仅是因为由它可以直接导出次态  $Q^{n+1}$  的逻辑方程，从而导出各种触发器的驱动方程，而且是因为利用次态 K 图还可以很快地判断出所设计的状态机是否能够自启动。这一点，较之“驱动表法”而言要显得更为简便。

我们将通过具体实例来说明如何运用这两种工具来导出同步时序电路（同步状态机）的逻辑方程组。

**【例 7.17】** 利用例 7.16 中已经确定的“1111”序列检测器的最简状态编码表和编码形式的最简状态转换图设计此检测器。现分别用 D、JK 和 T 触发器作为状态机的存储器，要求状态机能自启动。试导出该序列检测器的逻辑方程组——状态方程组、驱动方程组和输出方程组，并依据逻辑方程组画出逻辑图。

解：

#### 1. 驱动表法

1) 首先将例 7.16 中编码形式的状态图重绘于此，如图 7.39 所示。根据此状态转换图可画出该序列检测器的状态转换驱动表，如表 7.26 所示。状态转换驱动表的构成过程如下。

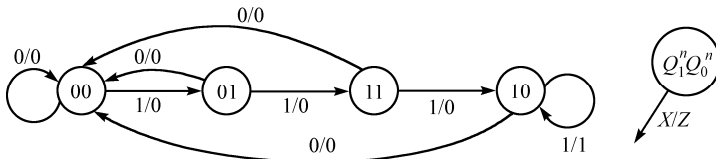


图 7.39 “1111”序列检测器的编码形式最简状态图

(1) 首先将外输入  $X$  和现态  $Q_1^n Q_0^n$  作为已知量列于驱动表的左边（如表 7.26 中的 2、3 列），然后列出变量组合  $XQ_1^n Q_0^n$  的所有取值“000”～“111”。

(2) 按照状态转换图所示，列出次态  $Q_1^{n+1} Q_0^{n+1}$ （如表 7.26 中的第 4 列）和输出  $Z$ （如表 7.26 中

最后一列)。例如: 在表的第0行中, 外输入 $X=0$ 、现态 $Q_1^n Q_0^n = 00$ , 根据状态图知道次态 $Q_1^{n+1} Q_0^{n+1} = 00$ 且输出 $Z=0$ ; 其余各行均依此处理。

(3) 列出D触发器的驱动信号 $D_1, D_0$ 。因为对于D触发器来讲, 次态等于驱动输入, 即 $Q^{n+1} = D$ 。所以驱动信号 $D_1 D_0$ 就等于次态信号 $Q_1^{n+1} Q_0^{n+1}$  (如表7.26中的第5列)。

(4) 列出JK触发器的驱动信号 $J_1 K_1$ 和 $J_0 K_0$  (见表7.26中的第6列)。因为JK触发器的特性方程是 $Q^{n+1} = J\bar{Q}^n + \bar{K}Q^n$ , 所以当 $Q^n = 0$ 时 $J = Q^{n+1}$ , 而此时的 $K$ 可取任意值, 即 $K = \times$ ; 而当 $Q^n = 1$ 时,  $J$ 为任意值, 即 $J = \times$ ; 而此时的 $K = \overline{Q^{n+1}}$ 。综合以上这两种情况就可总结出由现态 $Q^n$ 、次态 $Q^{n+1}$ 的取值推导出所需的 $J, K$ 驱动信号取值的算法如下:

$$Q^n = 0 \text{ 时: } J = Q^{n+1}, K = \times; \quad Q^n = 1 \text{ 时: } J = \times, K = \overline{Q^{n+1}} \text{ (或 } \bar{K} = Q^{n+1}).$$

我们将这个算法称为“JK取值规则”。根据这个规则就可以在驱动表中填上各 $J_1 K_1, J_0 K_0$ 的值。例如: 在表的第5行中 $Q_1^n = 0, Q_1^{n+1} = 1$ , 则 $J_1 = 1, K_1 = \times$ ; 而另一方面 $Q_0^n = 1, Q_0^{n+1} = 1$ , 于是 $J_0 = \times, K_0 = 0$ , 其余各行以此类推。

(5) 列出T触发器的驱动信号 $T_1, T_0$  (见表7.26中的第7列)。由于T触发器的特性方程是 $Q^{n+1} = T \oplus Q^n$ , 根据“异或”运算的特性(见第2章)有:  $T = Q^{n+1} \oplus Q^n$ 。因此我们只需将现态 $Q^n$ 与次态 $Q^{n+1}$ 的值相“异或”就可得到驱动信号 $T$ 的数值。例如: 表的第一行 $Q_1^n = 0, Q_1^{n+1} = 0$ , 于是 $T_1 = 0$ ; 而 $Q_0^n = 1, Q_0^{n+1} = 0$ , 则 $T_0 = 1$ ; 其余各行均按此方法推导, 我们也称该方法为“T取值规则”。

表7.26 “1111”序列检测器的状态转换驱动表

序号	外输入 $X$	现态 $Q_1^n Q_0^n$	次态 $Q_1^{n+1} Q_0^{n+1}$	驱动				输出 $Z$
				$D_1$	$D_0$	$J_1$	$K_1$	
0	0	0 0	0 0	0 0	0 × 0 ×	0 0	0 0	0
1	0	0 1	0 0	0 0	0 × × 1	0 1	0 1	0
2	0	1 0	0 0	0 0	× 1 0 ×	1 0	1 0	0
3	0	1 1	0 0	0 0	× 1 × 1	1 1	1 1	0
4	1	0 0	0 1	0 1	0 × 1 ×	0 1	0 1	0
5	1	0 1	1 1	1 1	1 × × 0	1 0	1 0	0
6	1	1 0	1 0	1 0	× 0 0 ×	0 0	0 0	1
7	1	1 1	1 0	1 0	× 0 × 1	0 1	0 1	0

2) 根据驱动表的内容, 分别画出次态 $Q_1^{n+1} Q_0^{n+1}$ 、驱动信号 $D_1 D_0, J_1 K_1, J_0 K_0, T_1 T_0$ 及输出信号 $Z$ 相对于逻辑自变量 $X, Q_1^n, Q_0^n$ 的卡诺图, 如图7.40(a)~(i)所示<sup>①</sup>。

根据这些卡诺图我们得到如下方程。

$$\text{状态方程: } Q_1^{n+1} = XQ_0^n + XQ_1^n$$

$$Q_0^{n+1} = X\bar{Q}_1^n$$

$$\text{驱动方程: } D_1 = Q_1^{n+1} = XQ_0^n + XQ_1^n$$

$$D_0 = Q_0^{n+1} = X\bar{Q}_1^n$$

$$J_1 = XQ_0^n, \quad K_1 = \bar{X}$$

$$J_0 = X\bar{Q}_1^n, \quad K_0 = \bar{X} + Q_1^n = \overline{X\bar{Q}_1^n}$$

① 因为D触发器驱动输入 $D$ 与次态 $Q^{n+1}$ 相同, 得到了 $Q^{n+1}$ 的逻辑表达式就等于得到了 $D$ 的逻辑表达式, 所以未画出 $D_1, D_0$ 的卡诺图。

$$\begin{aligned}T_1 &= \bar{X}Q_1^n + X\bar{Q}_1^n Q_0^n \\T_0 &= \bar{X}Q_0^n + Q_1^n Q_0^n + X\bar{Q}_1^n \bar{Q}_0^n\end{aligned}$$

输出方程:  $Z = XQ_1^n \bar{Q}_0^n$

本例题所设计的序列检测器实际上就是在例 7.5 中分析的序列检测器, 二者的不同之处就在于状态的编码方案不同, 本例题的状态编码是经过“优化”的。比较一下两个例题的逻辑方程组我们发现: 在状态方程方面, 二者的  $Q_i^{n+1}$  表达式的繁简程度相同, 而本例题的  $Q_0^{n+1}$  表达式更简单。这意味着: 如果采用 D 触发器作为状态机的存储器, 则本例题的编码方案所导致的电路会更简单。如果采用 JK 触发器, 则本例题的驱动方程相比例 7.5 要略显复杂(主要是  $J_0$ 、 $K_0$  的逻辑表达式略为复杂)。这就说明: 上述“相邻分配”规则主要适用于采用 D 触发器作为存储器时的状态分配。

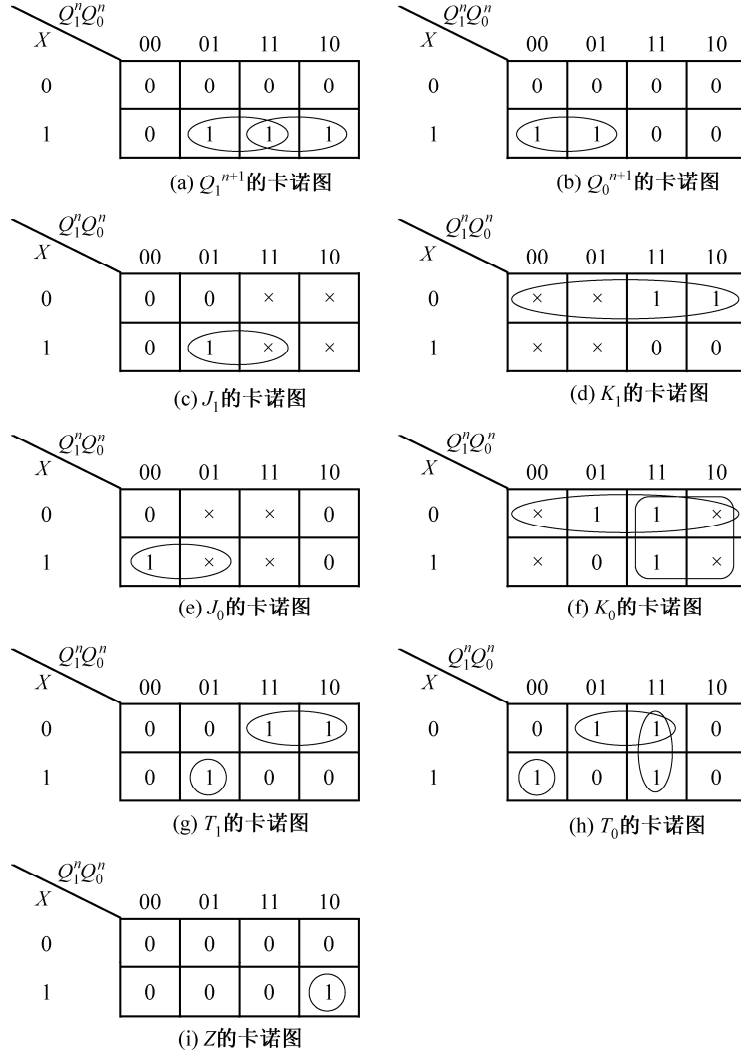


图 7.40 各次态、驱动及输出信号的卡诺图

3) 由于本例题中的状态机(序列检测器)采用两个触发器作为存储器, 而它又恰好有 4 个有效状态, 所以该状态机没有无效状态, 不存在自启动的问题。

4) 有了上面推导出的驱动方程和输出方程的逻辑表达式，就可以分别画出以 D 触发器、JK 触发器和 T 触发器作为存储器的“1111”序列检测器的逻辑图，如图 7.41(a)和(b)<sup>①</sup>所示。

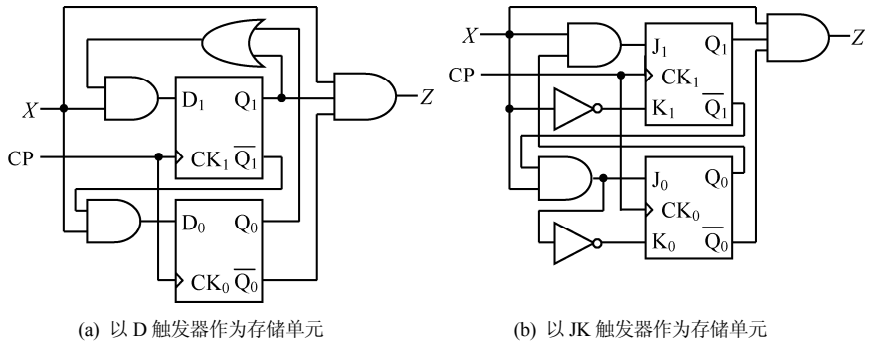


图 7.41 用 D、JK 触发器作为存储单元的“1111”序列检测器逻辑图

## 2. 次态 K 图法

1) 首先将例 7.16 中“最简状态编码表”重绘于此，如表 7.27 所示。实际上该表就是次态和输出的卡诺图——“次态 K 图”了。所以将此表“一分为三”就分别得到了次态  $Q_1^{n+1}$ 、 $Q_0^{n+1}$  和输出 Z 相对于逻辑自变量 X、 $Q_1^n$ 、 $Q_0^n$  的卡诺图，如图 7.42(a)~(c)所示。化简这些卡诺图，于是就得到如下方程。

$$\text{状态方程: } Q_1^{n+1} = XQ_0^n + X\bar{Q}_1^n$$

$$Q_0^{n+1} = X\bar{Q}_1^n$$

$$\text{输出方程: } Z = XQ_1^n\bar{Q}_0^n$$

表 7.27 最简状态编码表

$Q_1^n Q_0^n \backslash X$	0	1
0 0	0 0/0	0 1/0
0 1	0 0/0	1 1/0
1 1	0 0/0	1 0/0
1 0	0 0/0	1 0/1

$$Q_1^{n+1} Q_0^{n+1} / Z$$

$X \backslash Q_1^n Q_0^n$	0	1
0 0	0 0	0
0 1	0 1	1
1 1	0 1	1
1 0	0 1	1

(a)  $Q_1^{n+1}$  的卡诺图

$X \backslash Q_1^n Q_0^n$	0	1
0 0	0 0	1
0 1	0 1	1
1 1	0 0	0
1 0	0 0	0

(b)  $Q_0^{n+1}$  的卡诺图

$X \backslash Q_1^n Q_0^n$	0	1
0 0	0 0	0
0 1	0 0	0
1 1	0 0	0
1 0	0 1	1

(c) Z 的卡诺图

图 7.42 次态和输出信号的卡诺图

2) 按照“JK 取值规则”，分别从  $Q_1^{n+1}$  和  $Q_0^{n+1}$  的卡诺图推导出  $J_1$ 、 $K_1$  和  $J_0$ 、 $K_0$  的卡诺图。具体过程是：在  $Q_1^{n+1}$  的卡诺图上保留  $Q_1^n = 0$  所对应“小格”的内容，而把  $Q_1^n = 1$  所对应“小格”的内容全部改为无关项“x”，于是就得到了  $J_1$  的卡诺图；另外在  $Q_1^{n+1}$  的卡诺图上把  $Q_1^n = 0$  所对应“小格”的内容全部改为无关项“x”，而把  $Q_1^n = 1$  所对应“小格”的内容全部取反，于是就得到了  $K_1$  的卡诺图。同样的过程可得到  $J_0$ 、 $K_0$  的卡诺图，如图 7.43(a)~(d)所示。

① 此处省略了用 T 触发器作为存储器的“1111”序列检测器的逻辑图。

再根据“T 取值规则”分别从  $Q_1^{n+1}$  和  $Q_0^{n+1}$  的卡诺图推导出  $T_1$  和  $T_0$  的卡诺图。例如，在  $Q_1^{n+1}$  的卡诺图上保留  $Q_1^n = 0$  所对应“小格”的内容，而把  $Q_1^n = 1$  所对应“小格”的内容取反，则得到  $T_1$  的卡诺图；同理可得到  $T_0$  的卡诺图，如图 7.43(e)、(f) 所示。

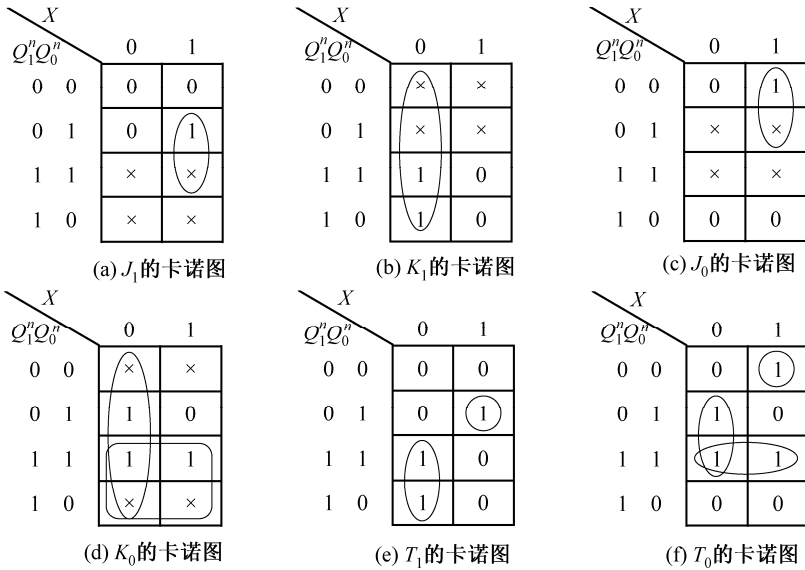


图 7.43 各驱动信号的卡诺图

化简上面这些卡诺图，我们得到如下方程

$$\text{驱动方程: } D_1 = Q_1^{n+1} = XQ_0^n + X\bar{Q}_1^n$$

$$D_0 = Q_0^{n+1} = X\bar{Q}_1^n$$

$$J_1 = XQ_0^n, \quad K_1 = \bar{X}$$

$$J_0 = X\bar{Q}_1^n, \quad K_0 = \bar{X} + Q_1^n = \overline{X\bar{Q}_1^n}$$

$$T_1 = \bar{X}Q_1^n + X\bar{Q}_1^n Q_0^n$$

$$T_0 = \bar{X}Q_0^n + Q_1^n Q_0^n + X\bar{Q}_1^n \bar{Q}_0^n$$

以下各步骤与“驱动表法”相同，故从略。

**【例 7.18】** 根据例 7.15 中所确定的自动售货机控制器的逻辑模型——最简状态表，利用“次态 K 图法”导出该控制器的状态方程组、驱动方程组和输出方程组并画出逻辑图。假设电路分别使用 JK 和 T 触发器作为存储器，要求电路能够自启动。

解：(1) 将自动售货机控制器的最简状态表重绘于此，如表 7.28(a) 所示。

表 7.28 自动售货机控制器最简状态表

(a) 最简状态表		(b) 重新排列最简状态表							
$S^n \backslash X_1 X_0$	00	01	11	10	$S^n \backslash X_1 X_0$	00	01	11	10
$S_0$	$S_0/00$	$S_1/00$	$\times/\times\times$	$S_2/00$	$S_0/00$	$S_1/00$	$\times/\times\times$	$S_2/00$	
$S_1$	$S_1/00$	$S_2/00$	$\times/\times\times$	$S_3/00$	$S_2/00$	$S_3/00$	$\times/\times\times$	$S_0/01$	
$S_2$	$S_2/00$	$S_3/00$	$\times/\times\times$	$S_0/01$	$S_3/00$	$S_0/01$	$\times/\times\times$	$S_0/11$	
$S_3$	$S_3/00$	$S_0/01$	$\times/\times\times$	$S_1/11$	$S_1/00$	$S_2/00$	$\times/\times\times$	$S_3/00$	

$$S^{n+1}/Z_1 Z_0$$

$$S^{n+1}/Z_1 Z_0$$

(2) 观察表 7.28(a), 利用“相邻分配”规则, 仿照例 7.16 的做法对各状态进行状态分配。分配的过程和结果如表 7.29 所示。

表 7.29 状态分配过程表

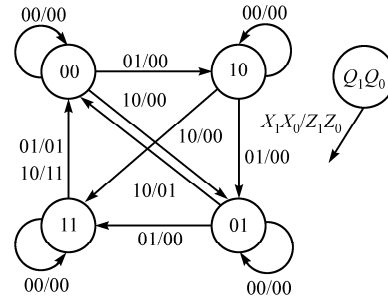
相邻分配 规则	可能的相邻状态对	综合结果	状态分配	
			$Q_1 Q_0$	$S^n$
规则 1	$S_2 S_3$	$S_0 S_2 S_3 S_1$	0 0	$S_0$
规则 2	$S_2 S_3$ , $S_0 S_2$ , $S_0 S_3$ , $S_1 S_2$ $S_0 S_1$ , $S_0 S_2$ , $S_0 S_3$ , $S_1 S_3$		0 1	$S_2$
规则 3	$S_0 S_1$		1 1	$S_3$
			1 0	$S_1$

(3) 将表 7.28(a)中的各现态  $S^n$  所在行, 按表 7.29 给出的状态排列次序重新排列, 如表 7.28(b)所示。把此表中各状态  $S_i$  ( $i=0 \sim 3$ )换成其相应状态编码, 于是就得到了“次态 K 图”, 如图 7.44(a)所示, 相应的编码形式状态图如图 7.44(b)所示。

		00	01	11	10
$Q_1^n Q_0^n$	$X_1 X_0$	00/00	10/00	$\times/\times$	01/00
0 0		00/00	10/00	$\times/\times$	01/00
0 1		01/00	11/00	$\times/\times$	00/01
1 1		11/00	00/01	$\times/\times$	00/11
1 0		10/00	01/00	$\times/\times$	11/00

$Q_1^{n+1} Q_0^{n+1} / Z_1 Z_0$

(a)



(b)

图 7.44 次态 K 图及编码形式状态图

(4) 把次态 K 图“一分为四”, 从而分别得到次态  $Q_1^{n+1}$ 、 $Q_0^{n+1}$  和输出  $Z_1$ 、 $Z_0$  共 4 张卡诺图, 如图 7.45(a)、(b)、(c)和(d)所示。和例 7.17 一样, 本例题也不存在自启动问题。

		00	01	11	10
$Q_1 Q_0$	$X_1 X_0$	0	1	$\times$	0
0 0		0	1	$\times$	0
0 1		0	1	$\times$	0
1 1		1	0	$\times$	0
1 0		1	0	$\times$	1

(a)  $Q_1^{n+1}$  的卡诺图

		00	01	11	10
$Q_1 Q_0$	$X_1 X_0$	0	0	$\times$	1
0 0		0	0	$\times$	1
0 1		1	1	$\times$	0
1 1		1	0	$\times$	0
1 0		0	1	$\times$	1

(b)  $Q_0^{n+1}$  的卡诺图

		00	01	11	10
$Q_1 Q_0$	$X_1 X_0$	0	0	$\times$	0
0 0		0	0	$\times$	0
0 1		0	0	$\times$	0
1 1		0	0	1	1
1 0		0	0	$\times$	0

(c)  $Z_1$  的卡诺图

		00	01	11	10
$Q_1 Q_0$	$X_1 X_0$	0	0	$\times$	1
0 0		0	0	$\times$	0
0 1		0	0	$\times$	1
1 1		1	1	$\times$	1
1 0		0	0	$\times$	0

(d)  $Z_0$  的卡诺图

图 7.45 各次态及输出的卡诺图

(5) 根据图 7.45 化简逻辑函数, 得到状态机的状态方程、输出方程如下。

$$\text{状态方程: } Q_1^{n+1} = \bar{Q}_1^n X_0 + Q_1^n \bar{X}_1 \bar{X}_0 + Q_1^n \bar{Q}_0^n \bar{X}_0$$

$$Q_0^{n+1} = \bar{Q}_0^n X_1 + Q_0^n \bar{X}_1 \bar{X}_0 + \bar{Q}_1^n Q_0^n \bar{X}_1 + Q_1^n \bar{Q}_0^n X_0$$

$$\text{输出方程: } Z_1 = Q_1^n Q_0^n X_1$$

$$Z_0 = Q_1^n Q_0^n X_0 + Q_0^n X_1$$

为了推出 JK 触发器的驱动方程, 特将状态方程做如下变换:

$$\begin{aligned} Q_1^{n+1} &= \bar{Q}_1^n X_0 + Q_1^n \bar{X}_1 \bar{X}_0 + Q_1^n \bar{Q}_0^n \bar{X}_0 \\ &= X_0 \cdot \bar{Q}_1^n + (\bar{X}_1 \bar{X}_0 + \bar{Q}_0^n \bar{X}_0) \cdot Q_1^n \\ &= X_0 \cdot \bar{Q}_1^n + \overline{X_0 + Q_0^n X_1} \cdot Q_1^n \end{aligned}$$

$$\begin{aligned} Q_0^{n+1} &= \bar{Q}_0^n X_1 + Q_0^n \bar{X}_1 \bar{X}_0 + \bar{Q}_1^n Q_0^n \bar{X}_1 + Q_1^n \bar{Q}_0^n X_0 \\ &= (X_1 + Q_1^n X_0) \cdot \bar{Q}_0^n + (\bar{X}_1 \bar{X}_0 + \bar{Q}_1^n \bar{X}_1) \cdot Q_0^n \\ &= (X_1 + Q_1^n X_0) \cdot \bar{Q}_0^n + \overline{X_1 + Q_1^n X_0} \cdot Q_0^n \end{aligned}$$

把以上  $Q_1^{n+1}$  和  $Q_0^{n+1}$  的逻辑表达式与 JK 触发器的特性方程  $Q^{n+1} = J\bar{Q}^n + \bar{K}Q^n$  相比较, 于是有:

$$\text{驱动方程: } J_1 = X_0, \quad K_1 = X_0 + Q_0^n X_1; \quad J_0 = X_1 + Q_1^n X_0, \quad K_0 = X_1 + Q_1^n X_0$$

(6) 利用“T 取值规则”分别从  $Q_1^{n+1}$  和  $Q_0^{n+1}$  的卡诺图推导出  $T_1$  和  $T_0$  的卡诺图, 如图 7.46(a)、(b) 所示。

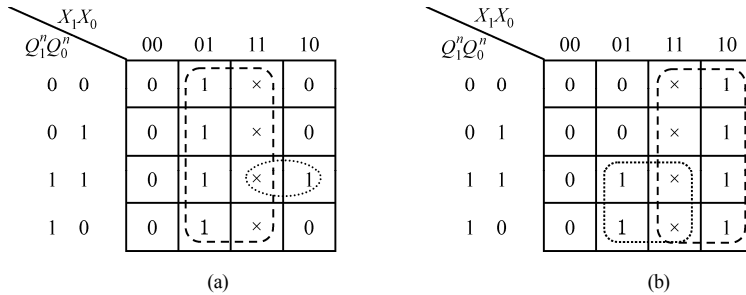


图 7.46 T 触发器驱动信号的卡诺图

根据图 7.46 化简逻辑函数, 得到状态机 T 触发器的驱动方程如下:

$$\text{驱动方程: } T_1 = X_0 + Q_1^n Q_0^n X_1, \quad T_0 = X_1 + Q_1^n X_0$$

(7) 根据上述驱动方程和输出方程, 就可以分别画出由 JK 触发器和 T 触发器构成的状态机(自动售货机控制器)的逻辑图, 如图 7.47(a)、(b) 所示。

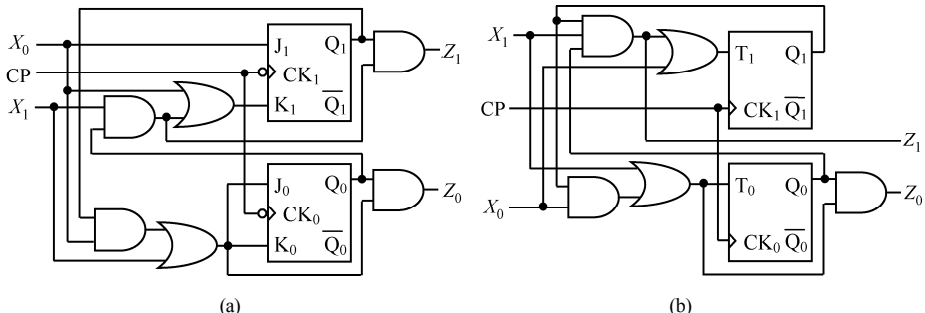


图 7.47 用 JK、T 触发器作为存储单元的自动售货机控制器逻辑图

**【例 7.19】** 在例 7.14 中已经为串行三位码“质数”检测器建立了最简状态表和最简状态图。现以 D 和 JK 触发器作为存储器来实现该检测器。要求此状态机能够自启动，试导出状态机的逻辑方程组并据此画出逻辑图。

解：(1) 把例 7.14 中的最简状态表重绘于此，如表 7.30 所示。

(2) 观察表 7.30，利用“相邻分配”规则对各状态进行状态分配，分配的过程和结果如表 7.31 所示。由于此状态机有 7 个有效状态，因此将各状态所分配的编码，分两列示于表 7.31 中。

(3) 结合表 7.30 和表 7.31 给出的状态分配结果，就可以画出编码形式的状态转换图，如图 7.48(a)所示。由此状态图，就可画出次态 K 图和输出 Z 的卡诺图，如图 7.48(b)、(c)所示。注意：本例题实现的是摩尔型状态机，所以输出信号 Z 仅仅是现态  $Q_2^n$ 、 $Q_1^n$  和  $Q_0^n$  的函数，即：它是一个三变量逻辑函数；而次态  $Q_2^{n+1}$ 、 $Q_1^{n+1}$  和  $Q_0^{n+1}$  却是输入 X 和现态  $Q_2^n$ 、 $Q_1^n$ 、 $Q_0^n$  的函数，即：它们是 4 变量的逻辑函数。另外，编码“101”是一个未被使用的状态编码。该编码所代表状态的次态和输出均应为“任意项”，用“×”表示。

(4) 把图 7.48(b)所示的次态 K 图“一分为三”，分别得到次态  $Q_2^{n+1}$ 、 $Q_1^{n+1}$  和  $Q_0^{n+1}$  共 3 张卡诺图，对它们进行“圈组合并”，如图 7.49(a)、(b)、(c)所示。对输出 Z 的卡诺图的“圈组合并”，如图 7.49(d)所示。

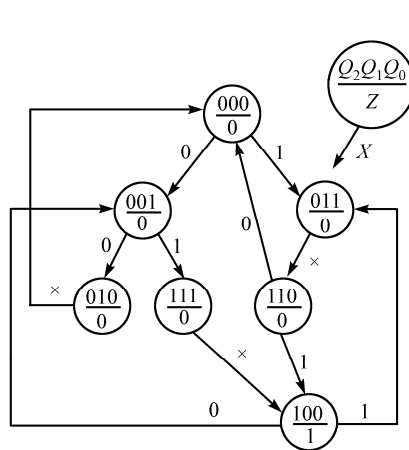
表 7.30 三位码“质数”  
检测器最简状态表

现态 $S^n$	X		输出 Z
	0	1	
$S_0$	$S_1$	$S_2$	0
$S_1$	$S_3$	$S_4$	0
$S_2$	$S_5$	$S_5$	0
$S_3$	$S_0$	$S_0$	0
$S_4$	$S_7$	$S_7$	0
$S_5$	$S_0$	$S_7$	0
$S_7$	$S_1$	$S_2$	1

次态  $S^{n+1}$

表 7.31 状态分配过程表

相邻分配 规则	可能的相邻状态对	综合结果	状态分配			
			$Q_2 Q_1 Q_0$	$S^n$	$Q_2 Q_1 Q_0$	$S^n$
规则 1	“ $S_0 S_7$ ”，“ $S_3 S_5$ ”，“ $S_4 S_5$ ”	$S_7 S_6 S_1 S_2 S_3 S_5 S_4$	0 0 0	$S_0$	1 1 0	$S_5$
规则 2	“ $S_0 S_7$ ”，“ $S_1 S_2$ ”，“ $S_3 S_4$ ” “ $S_1 S_2$ ”		0 0 1	$S_1$	1 1 1	$S_4$
			0 1 1	$S_2$	1 0 1	
规则 3	“ $S_0 \sim S_5$ ”		0 1 0	$S_3$	1 0 0	$S_7$



(a) 三位码“质数”检测器编码形式状态图

		$Q_0^n X$			
		00	01	11	10
$Q_2^n Q_1^n$	0 0	001	011	111	010
	0 1	000	000	110	110
$Q_2^n Q_1^n Q_0^n$	1 1	000	100	100	100
	1 0	001	011	xxxx	xxxx

(b) 次态  $Q_2^{n+1} Q_1^{n+1} Q_0^{n+1}$  的卡诺图

$Q_2^n$	00 01 11 10			
	0	0	0	0
1	0	x	0	0
	1	0	x	0

(c) 输出 Z 的卡诺图

图 7.48 编码形式状态图、次态及输出 Z 的卡诺图

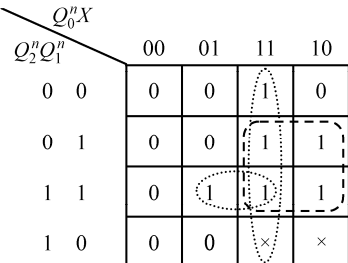
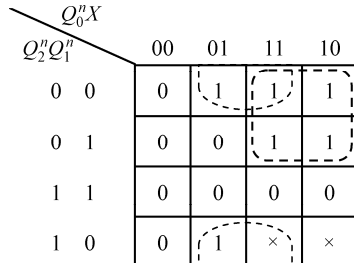
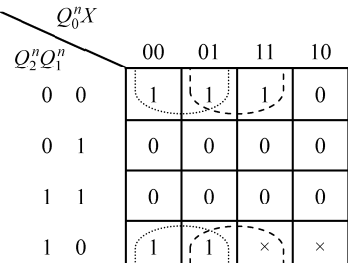
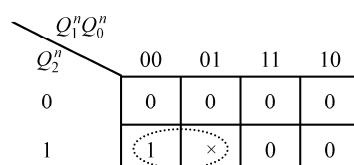
根据图 7.49, 列出状态机的逻辑方程如下。

$$\text{状态方程: } Q_2^{n+1} = Q_0^n X + Q_1^n Q_0^n + Q_2^n Q_1^n X$$

$$Q_1^{n+1} = \bar{Q}_1^n X + \bar{Q}_2^n Q_0^n$$

$$Q_0^{n+1} = \bar{Q}_1^n \bar{Q}_0^n + \bar{Q}_1^n X$$

$$\text{输出方程: } Z = Q_2^n \bar{Q}_1^n$$

(a)  $Q_2^{n+1}$  的卡诺图(b)  $Q_1^{n+1}$  的卡诺图(c)  $Q_0^{n+1}$  的卡诺图

(d) Z 的卡诺图

图 7.49 各次态的卡诺图及输出 Z 的卡诺图“圈组合并”的卡诺图

(5) 本例题所设计的检测器共有 7 个有效状态, 使用了三个触发器。然而这三个触发器却可以提供 8 个状态编码, 所以还有一个状态编码 (“101”) 未被使用。这个未用状态叫做 “无效状态”。正是因为有无效状态的存在, 所以在完成状态机的设计(得到逻辑方程)之后还要验证所设计的状态机是否能自启动。换句话说, 就是要检验状态机在因某种原因而进入到无效状态之后, 是否能在几个时钟周期之后自动地进入到有效状态的循环。检验状态机的自启动性是非常重要的一步, 如果状态机不能自启动(如出现本例的状态机一旦进入状态 “101” 后, 无论输入  $X$  为何值, 其次态永远为 “101”的情况), 则需返回上一步重新进行设计, 具体来讲就是修改卡诺图中卡诺圈的 “圈组合并” 方式。当然也可以不修改设计, 而是给状态机加上一个 “启动” 信号<sup>①</sup>。另一个解决状态机自启动的方法是: 在状态转换表或状态转换图中, 为所有的无效状态指定某个有效状态作为其次态。具体到本例题来讲, 就是令无效状态 “101”的次态为某个有效状态, 比如说 “000”, 而不论输入  $X$  为何值。但是, 这样做的结果就是无法利用 “任意项” 来进一步化简逻辑方程组中的逻辑表达式。然而事物总是具有两个方面, 利用 “任意项” 化简了逻辑方程组, 却有可能使所设计的状态机不能自启动, 因此我们需要验证状态机的自启动性。表 7.32 所示为在给定各状态方程和输入  $X$  的情况下无效状态 “101” 欲转向的次态。

表 7.32 表明, 当输入  $X=0$  时, 无效状态 “101” 将转向次态 “000”; 而当  $X=1$  时, 它将转向次

<sup>①</sup> 通常情况下, 就是给所有触发器加上 “复位” 或 “置位” 信号。

态“111”。这两个状态都是有效状态，所以上面所设计的状态机是可以自启动的。据此可画出该状态机完整的状态转换图，如图 7.50 所示。

表 7.32 检查无效状态的次态及输出

无效状态 $Q_2^n Q_1^n Q_0^n$	输入 $X$	无效状态编码及输入 $X$ 代入次态方程	欲转向次态 $Q_2^{n+1} Q_1^{n+1} Q_0^{n+1}$	输出 $Z = Q_2^n \bar{Q}_1^n$
1 0 1	0	$Q_2^{n+1} = Q_0^n X + Q_1^n Q_0^n + Q_2^n Q_1^n X$	0 0 0	1
	1	$Q_1^{n+1} = \bar{Q}_1^n X + \bar{Q}_2^n Q_0^n$ $Q_0^{n+1} = \bar{Q}_1^n \bar{Q}_0^n + \bar{Q}_1^n X$	1 1 1	

从表 7.32 的构建过程可以体会到，如果无效状态的数量较多，则验证自启动性的过程将是非常麻烦且容易出错的。能否有一个简单、快速又不易出错的验证自启动性的方法呢？答案是肯定的。通过观察次态  $Q_2^{n+1}$ 、 $Q_1^{n+1}$  和  $Q_0^{n+1}$  卡诺图的“圈组合并”情况，就可以迅速地确定无效状态所要转向的次态，从而判定状态机的自启动性。之所以可以这样做，是基于如下的原理：在卡诺图上圈“1”写“与或”式时，如果某个“任意项”被圈入卡诺圈中，则这个“任意项”的实际取值就等于被确定为逻辑“1”；同时，没有被圈入卡诺圈中的“任意项”，其实际取值就等于是逻辑“0”。我们称该原理为“任意项取值规则”。例如：在  $Q_2^{n+1}$  的卡诺图中，无效状态“101”在  $X=1$  时所对应的“任意项”（填“×”的小格）被圈入卡诺圈中，故此时的  $Q_2^{n+1}$  取值就为“1”；而在  $X=0$  时，无效状态“101”所对应的“任意项”（填“×”的小格）未被圈入卡诺圈中，所以  $Q_2^{n+1}$  的取值就为“0”。同样的情况也发生在  $Q_1^{n+1}$ 、 $Q_0^{n+1}$  的卡诺图中。因此可以得出如下结论： $X=1$  时“101”的次态 ( $Q_2^{n+1} Q_1^{n+1} Q_0^{n+1}$ ) 为“111”； $X=0$  时“101”的次态为“000”。这与表 7.32 所示的结果是一样的。今后，我们可以在次态 K 图上，利用“任意项取值规则”来快速地确定无效状态在给定输入条件下所要转向的次态，从而迅速判定状态机的自启动性。

(6) 状态机的存储单元为 D 触发器时，驱动方程如下：

$$D_2 = Q_2^{n+1} = Q_0^n X + Q_1^n Q_0^n + Q_2^n Q_1^n X$$

$$D_1 = Q_1^{n+1} = \bar{Q}_1^n X + \bar{Q}_2^n Q_0^n$$

$$D_0 = Q_0^{n+1} = \bar{Q}_1^n \bar{Q}_0^n + \bar{Q}_1^n X$$

状态机的存储单元为 JK 触发器时，将次态方程做如下变换：

$$\begin{aligned} Q_2^{n+1} &= Q_0^n X + Q_1^n Q_0^n + Q_2^n Q_1^n X \\ &= (Q_0^n X + Q_1^n Q_0^n)(\bar{Q}_2^n + Q_2^n) + Q_1^n X \cdot Q_2^n \\ &= (Q_0^n X + Q_1^n Q_0^n) \cdot \bar{Q}_2^n + (Q_0^n X + Q_1^n Q_0^n + Q_1^n X) \cdot Q_2^n \\ &= (Q_0^n X + Q_1^n Q_0^n) \cdot \bar{Q}_2^n + \bar{Q}_0^n \bar{X} + \bar{Q}_1^n \bar{Q}_0^n + \bar{Q}_1^n \bar{X} \cdot Q_2^n \\ Q_1^{n+1} &= \bar{Q}_1^n X + \bar{Q}_2^n Q_0^n = X \cdot \bar{Q}_1^n + \bar{Q}_2^n Q_0^n (\bar{Q}_1^n + Q_1^n) \\ &= (X + \bar{Q}_2^n Q_0^n) \cdot \bar{Q}_1^n + \bar{Q}_2^n + \bar{Q}_0^n \cdot Q_1^n \end{aligned}$$

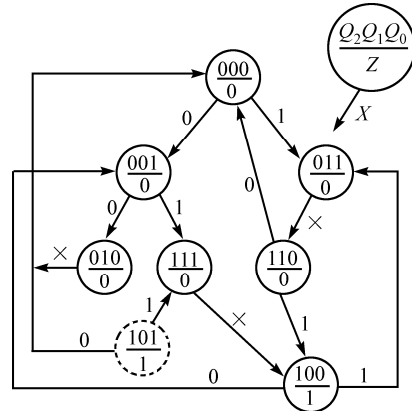


图 7.50 三位码“质数”检测器的完整状态图

$$\begin{aligned} Q_0^{n+1} &= \bar{Q}_1^n \bar{Q}_0^n + \bar{Q}_1^n X = \bar{Q}_1^n \cdot \bar{Q}_0^n + \bar{Q}_1^n X (\bar{Q}_0^n + Q_0^n) \\ &= \bar{Q}_1^n \cdot \bar{Q}_0^n + \overline{Q_1^n + \bar{X}} \cdot Q_0^n \end{aligned}$$

将上述  $Q_2^{n+1}$ 、 $Q_1^{n+1}$  和  $Q_0^{n+1}$  的表达式与 JK 触发器的特性方程  $Q^{n+1} = J\bar{Q}^n + \bar{K}Q^n$  相比较, 于是得到状态机的驱动方程为:

$$\begin{aligned} J_2 &= Q_0^n X + Q_1^n Q_0^n, & K_2 &= \bar{Q}_0^n \bar{X} + \bar{Q}_1^n \bar{Q}_0^n + \bar{Q}_1^n \bar{X} \\ J_1 &= X + \bar{Q}_2^n Q_0^n, & K_1 &= Q_2^n + \bar{Q}_0^n \\ J_0 &= \bar{Q}_1^n, & K_0 &= Q_1^n + \bar{X} \end{aligned}$$

(7) 在确认了状态机的自启动性并得到驱动方程和输出方程之后, 就可以画出由 D 触发器构成的状态机(三位码“质数”检测器)的逻辑图, 如图 7.51 所示<sup>①</sup>。

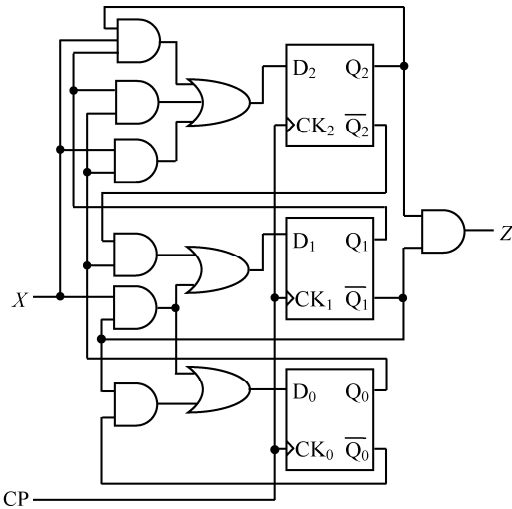


图 7.51 用 D 触发器作为存储单元的三位码“质数”检测器逻辑图

由上述例题可以看出, 用代数法从状态机的状态方程( $Q^{n+1}$  的表达式)导出其 JK 触发器的驱动方程的过程是比较麻烦的, 特别是在状态方程的表达式较为复杂的情况下更是如此。能否避开这一烦琐的推导过程而从状态机的次态 K 图中直接导出 JK 触发器的驱动方程, 同时又能根据次态 K 图中卡诺圈的圈组情况来迅速地判断状态机的自启动性呢? 下面就给出这个问题的答案。

在例 7.17 里曾经提到“JK 取值规则”, 其算法如下:

$$\begin{aligned} Q^n = 0 \text{ 时: } J &= Q^{n+1}, \quad K = \times; \\ Q^n = 1 \text{ 时: } J &= \times, \quad K = \overline{Q^{n+1}} \quad (\text{或 } \bar{K} = Q^{n+1}) \end{aligned}$$

这说明: 当现态  $Q^n = 0$  时, 次态  $Q^{n+1}$  的卡诺图就是驱动信号 J 的卡诺图而不论 K 取何值; 而当现态  $Q^n = 1$  时, 次态  $Q^{n+1}$  的卡诺图就是驱动信号  $\bar{K}$  的卡诺图而不论 J 取何值。

**【例 7.20】** 继续例 7.19 的问题。现以另一种方法导出由 JK 触发器作为存储器的三位码“质数”检测器的驱动方程。要求状态机能够自启动, 画出逻辑图。

**解:** (1) 根据上述有关“JK 取值规则”算法的结论, 我们可以将次态  $Q^{n+1}$  的卡诺图以现态  $Q^n = 0$  和  $Q^n = 1$  为分界线分成两个子卡诺图。其中, 一个子卡诺图就是 J 的卡诺图(对应  $Q^n = 0$ ); 而另一个子卡诺图就是  $\bar{K}$  的卡诺图(对应  $Q^n = 1$ )。如图 7.52 所示, 图中“白底”部分对应  $Q^n = 0$ , 是

<sup>①</sup> 此处省略了用 JK 触发器作为存储器的三位码“质数”检测器的逻辑图。

$J$  的卡诺图; 而“灰底”部分对应  $Q^n = 1$ , 是  $\bar{K}$  的卡诺图。例如: 在  $Q_2^{n+1}$  的卡诺图中, “白底” 对应  $Q_2^n = 0$ , 是  $J_2$  的卡诺图; 而“灰底” 对应  $Q_2^n = 1$ , 是  $\bar{K}_2$  的卡诺图。 $Q_1^{n+1}$ 、 $Q_0^{n+1}$  卡诺图的划分情况与此类似。

		$Q_0^n X$				
		00	01	11	10	
$Q_2^n Q_1^n$		00	0	0	1	0
0 0	0 0	0	0	1	1	
	0 1	0	0	1	1	
0 1	1 1	0	1	1	1	
	1 0	0	0	x	x	

(a)  $Q_2^{n+1}$  的卡诺图

		$Q_0^n X$				
		00	01	11	10	
$Q_2^n Q_1^n$		00	0	1	1	1
0 0	0 1	0	0	1	1	
	1 1	0	0	0	0	
1 0	0	1	x	x	x	
	1	x	x	x	x	

(b)  $Q_1^{n+1}$  的卡诺图

		$Q_0^n X$				
		00	01	11	10	
$Q_2^n Q_1^n$		00	1	1	1	0
0 0	0 1	0	0	0	0	
	1 1	0	0	0	0	
1 0	1	1	x	x	x	
	1	x	x	x	x	

(c)  $Q_0^{n+1}$  的卡诺图

图 7.52 各次态的卡诺图

(2) 对图 7.52 所示各卡诺图进行圈组合并。注意, 卡诺圈不能跨越“白底”和“灰底”的分界线, 即: 一个卡诺圈不能同时处于“灰白”两个区域。

(3) 观察图 7.52 的圈组合并情况, 利用“任意项取值规则”判断状态机的自启动性。可以看出, 无效状态“101”在输入  $X=1$  时, 其次态为“111”; 而当输入  $X=0$  时, 其次态为“110”。这两个状态都是有效状态, 所以状态机是可以自启动的。图 7.53 所示为状态机完整的状态转换图。观察此状态图, 发现该图中无效状态“101”在输入  $X=0$  时的次态转向与例 7.19 中给出的状态图不一样。为什么? 请读者自己考虑。

(4) 由图 7.52, 写出状态机的驱动方程。注意, 在写  $J_2$  的表达式时,  $\bar{Q}_2^n$  不用写出 (此时  $Q_2^n = 0$ , 即  $\bar{Q}_2^n = 1$ ); 而在写  $\bar{K}_2$  的表达式时,  $Q_2^n$  不用写出 (此时  $Q_2^n = 1$ )。同理, 在写  $J_1$ 、 $J_0$  的表达式时,  $\bar{Q}_1^n$ 、 $\bar{Q}_0^n$  不用写出; 而在写  $\bar{K}_1$ 、 $\bar{K}_0$  的表达式时,  $Q_1^n$ 、 $Q_0^n$  不用写出。状态机的驱动方程如下:

$$\begin{aligned} J_2 &= Q_0^n X + Q_1^n Q_0^n, & \bar{K}_2 &= Q_0^n + Q_1^n X \\ K_2 &= \bar{Q}_1^n \bar{Q}_0^n + \bar{Q}_0^n \bar{X} & \bar{J}_1 &= \bar{Q}_2^n Q_0^n \\ J_1 &= X + Q_0^n, & \bar{K}_1 &= \bar{Q}_2^n Q_0^n \\ K_1 &= Q_2^n + \bar{Q}_0^n & J_0 &= \bar{Q}_1^n, & \bar{K}_0 &= \bar{Q}_1^n X \\ J_0 &= \bar{Q}_1^n, & K_0 &= \bar{Q}_1^n X \\ K_0 &= Q_1^n + \bar{X} \end{aligned}$$

观察这些驱动方程, 我们发现  $K_2$ 、 $J_1$  的逻辑表达式与例 7.19 中推出的不一样, 这是为什么? 请读者考虑。

(5) 根据导出的驱动方程和输出方程 (此方程与例 7.19 中推出的一样), 就可以画出由 JK 触发器构成的状态机 (三位码“质数”检测器) 的逻辑图, 如图 7.54 所示。

以上, 我们通过实例讲述了如何导出逻辑方程组、检验自启动性和画出逻辑图, 应该说这三步是相互联系的。有了逻辑方程组, 就可以检验状态机的自启动性, 一旦获得了状态机的驱动方程组和输出方程组, 我们就可以画出它的逻辑图。相对于状态机设计步骤的前几步来讲, 这三步是相当规范和有规律可循的。

在导出逻辑方程组的两种方法中, “驱动表法”显得较为正统, 它适用于使用所有类型的触发器作为状态机存储器的设计问题。但是“驱动表法”需要先经历一个列写“状态转换驱动表”的过程。

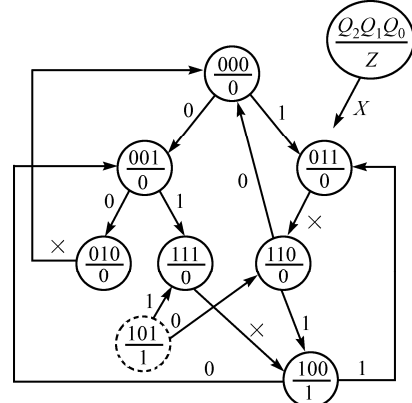


图 7.53 三位码“质数”检测器的完整状态转换图

在这个过程中,要根据所规定的状态转换方向(状态表或状态图)和所用触发器的激励表或特性方程,列出驱动信号值。然后再填写驱动信号的卡诺图,化简并导出驱动方程。在检验状态机的自启动性方面,“驱动表法”也显得较为烦琐。它需要先将无效状态的编码值代入到驱动方程组中以计算出各触发器的输入信号值,然后根据触发器的特性方程或特性表导出相应的次态,再根据该次态是否为有效状态来判断状态机的自启动性。因此,除了使用D触发器的情形以外,“驱动表法”的推演过程烦琐且容易出错,它需要推演者具有稳定的心理素质。

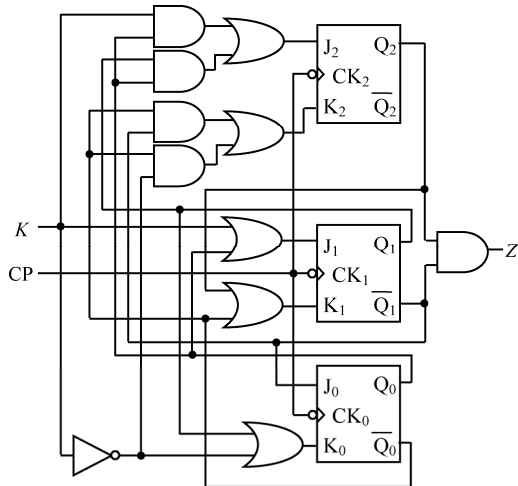


图 7.54 用 JK 触发器作为存储单元的三位码“质数”检测器逻辑图

相比较而言,“次态 K 图法”却显得更为直截了当。它可以根据状态转换表和状态转换图直接填写次态的卡诺图——次态 K 图。在次态 K 图上“圈并组合”就可以得到电路的状态方程组。如果使用的是 D 触发器,则状态方程就是驱动方程;如果使用的是 JK 触发器,则同样可以通过按  $Q'' = 0$  和  $Q'' = 1$  分割次态卡诺图的方法,直接从次态 K 图上导出驱动方程。另外,无论是使用 D 触发器还是 JK 触发器,都可以利用所谓“任意项取值原理”,直接在次态 K 图上根据卡诺圈的“圈组合并”情况而迅速地判断出状态机的自启动性。但是如果使用的是 T 触发器,则情况就要稍微复杂一些。首先是需要将次态 K 图与  $Q''$  相“异或”<sup>①</sup>以便得到驱动信号 T 的卡诺图,然后在 T 的卡诺图上“圈组合并”,从而得到驱动信号 T 的最简逻辑表达式;其次是在判断自启动性方面也不如前两种触发器那样“直截了当”。

总之,我们通过上述一系列例题详细地讲解了设计同步时序电路(状态机)的 7 个步骤。在这 7 个步骤中,以第一步(建立实际问题的逻辑模型)为最困难、最关键的一步,它直接关系到整个设计工作的成败,是非常重要的一步;接下来的三步,即:第二步——状态化简、第三步——状态分配、第四步——选择触发器类型,都是比较灵活或可省略的步骤;最后三步,即:第五步——导出逻辑方程组、第六步——检验自启动性、第七步——画出逻辑图,都是很规范、很有规律性的步骤。读者要想掌握设计同步时序电路——状态机的方法,就必须在实践中多做练习,逐步学会运用上述 7 个步骤。

## 7.4 实用时序逻辑电路的分析与设计

7.3 节所讲到的同步状态机,实际上是对同步时序电路的一种抽象和概括,即:任何一种同步时序电路都可以归结为一个同步状态机。本节将重点讨论三种实用同步时序电路的分析和设计方法。这

<sup>①</sup> “异或”的过程是:次态 K 图上对应  $Q'' = 0$  的小格“内容”不变;而对应  $Q'' = 1$  的小格“内容”取反(补)。

三种实用的同步时序电路是：同步计数器/分频器、移存型计数器和同步序列信号发生器。此外，本节还要讨论另外一种类型的时序电路——阻塞反馈式异步计数器。尽管它是一种异步型时序逻辑电路，但是其分析和设计方法类似于同步计数器的分析与设计方法，而且此种电路在实践中获得了较为广泛的应用。

### 7.4.1 同步计数器和同步分频器

计数和分频是两个完全不同的概念。计数器是用时序电路的状态来表示累计输入时钟 (CP) 脉冲的个数，它与计数时所采用的数制、码制有关，计数器通常对时序电路的状态转换顺序有一定的要求，电路的输出形式为并行输出；而分频器的功能仅仅是降低输入时钟信号的频率，它对时序电路的状态转换顺序没有特殊要求，电路的输出形式为串行输出。

但是，计数器和分频器这二者的电路结构形式和工作过程是相类似的，它们都是在输入时钟信号的作用下完成若干状态的循环运行的。因此，从广义上讲，分频器也是一种计数器；而计数器也可以完成分频的功能。所以，以后除非特别需要，我们将不再特意地区分计数器和分频器，当谈到计数器时，其含义也包括了分频器，反之亦然。

在讨论计数/分频器的分析与设计之前，先要介绍一个概念，即：计数/分频器的模，用  $M$  表示。所谓计数器的模就是它的最大计数容量，即它所能累计 CP 脉冲的最大数目。由于计数器在计数值达到其最大容量（模  $M$ ）时会产生一个进位信号，所以有时也称模为  $M$  的计数器为  $M$  进制计数器；而分频器的模，就是它对时钟信号频率的最大分频比，即它所能降低 CP 信号频率的最大倍数。模数  $M$  的大小与构成计数/分频器的触发器个数有关。若计数/分频器由  $k$  个触发器所构成，则它的最大模数  $M$  为  $2^k$ 。

计数器按其模数的特点分为  $M=2^k$  和  $M \neq 2^k$  两大类。鉴于第 6 章已介绍过模为  $2^k$  的二进制同步与异步计数器的分析与设计方法且其具有相当的规律性，所以本小节的重点是探讨  $M \neq 2^k$ ，即：非  $2^k$  进制同步计数器的分析与设计方法。此外，在 7.4.4 节还要讨论非  $2^k$  进制异步计数器——阻塞反馈式异步计数器的分析与设计方法。

#### 1. 同步计数器的结构特点

同步计数器是一种最常用的同步时序电路。在一般情况下，同步计数器是一种无外输入信号  $X^n$  的、特殊形式的摩尔型状态机（参见图 7.7），换句话说，它是摩尔型状态机的一个特例。同步计数器的框图如图 7.55 所示。

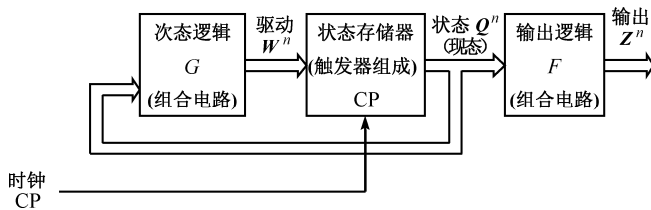


图 7.55 特殊的摩尔型状态机——同步计数器/分频器结构框图

既然同步计数器是一种特殊的摩尔型状态机，所以它也有“自启动”的问题。我们知道，由  $k$  个触发器所构成的计数器，其模的最大值为  $2^k$ ，也就是说，它的状态最多为  $2^k$  个。但是本节所讨论的计数器的模均不等于  $2^k$ ，即：模  $M < 2^k$ ，也就是说计数器的状态个数均小于  $2^k$ 。如果要求一个由  $k$  个触发器所构成的计数器的模  $M < 2^k$ ，则该计数器只利用了  $2^k$  个状态中的  $M$  个状态，还有  $2^k - M$  个状态没有使用。所用到的这  $M$  个状态叫做计数器的“有效状态”，而那些没有被用到的  $2^k - M$  个状态就叫做

“无效状态”。计数器在正常工作时，只会在有效的  $M$  个状态的范围内循环转换，而那些无效的  $2^k - M$  个状态在计数器正常操作时根本就不会出现。然而需要注意的是：这  $2^k - M$  个无效状态虽然在计数器正常操作时不会出现，但这并不等于它们不存在。事实上，计数器在正常运转时，很有可能因为某种原因而使得它进入到无效的状态<sup>①</sup>。如果计数器在进入任意一个无效状态后能够通过若干时钟周期之后自动地进入到有效状态，则称其为能够自启动；如果计数器进入某个无效状态后，无休止地在无效状态中循环转换而不能进入到有效状态<sup>②</sup>，则称其为不能自启动。当然，我们需要的是一个能够自启动的计数器。

## 2. 同步计数器的分析

对于这种特殊形式的摩尔型状态机——同步计数器来讲，其分析与设计方法与 7.2 节和 7.3 节中所介绍的方法基本相同，但它也有其自身的特殊性，这种特殊性更多地是反映在设计方法上，而 7.2 节和 7.3 节中所介绍的分析与设计方法应该是具有某种通用性。

分析同步计数器的一般过程如下。

- 由给定的计数器逻辑图写出该逻辑电路的驱动方程组和输出方程组；
- 将所得到的驱动方程组代入触发器的特性方程，从而得到电路的状态方程组。利用状态方程组列出计数器电路的“状态转换表”或直接利用驱动方程组、输出方程组和触发器的特性方程列出电路的“状态转换真值表”；
- 再由状态转换表或状态转换真值表画出完整的状态转换图。所谓完整的状态转换图，是指既包括有效状态也包括无效状态的状态转换图；
- 通过状态转换表和状态转换图明确计数器的逻辑功能和工作特点——状态转换的顺序；
- 需要时，还可根据要求画出状态信号和输出信号与时钟信号的同步波形图——时序图。

由此可见，分析同步计数器的方法与分析一般的同步状态机没有什么两样。下面通过两个实例来说明同步计数器的分析过程。

**【例 7.21】** 试分析图 7.56 所示的同步时序电路，要求画出相应的定时波形图。

解：(1) 写出电路的逻辑方程

根据图 7.56，可以很容易地写出该同步时序电路的输出方程和驱动方程如下。

$$\text{输出方程: } C = Q_3^n Q_0^n$$

$$\text{驱动方程: } J_0 = 1, \quad K_0 = 1$$

$$J_1 = \bar{Q}_3^n Q_0^n, \quad K_1 = Q_0^n$$

$$J_2 = Q_1^n Q_0^n, \quad K_2 = Q_1^n Q_0^n$$

$$J_3 = Q_2^n Q_1^n Q_0^n, \quad K_3 = Q_0^n$$

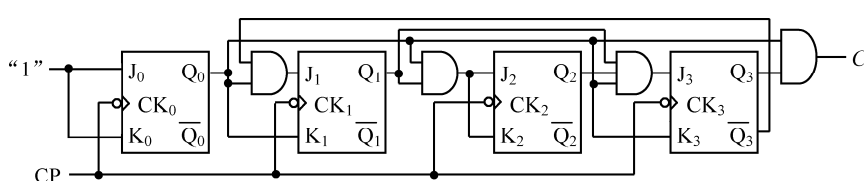


图 7.56 逻辑图

① 这种情况在开机上电时或是受到某种干扰时很容易出现。

② 这种状态被称为死机状态或挂起状态。

## (2) 列写状态转换表

将各触发器的驱动方程代入 JK 触发器的特性方程  $Q^{n+1} = J\bar{Q}^n + \bar{K}Q^n$ ，于是得到时序电路的状态方程如下。

$$\text{状态方程: } Q_0^{n+1} = \bar{Q}_0^n;$$

$$Q_1^{n+1} = \bar{Q}_3^n Q_0^n \bar{Q}_1^n + \bar{Q}_0^n Q_1^n = \bar{Q}_3^n \bar{Q}_1^n Q_0^n + Q_1^n \bar{Q}_0^n;$$

$$Q_2^{n+1} = Q_1^n Q_0^n \bar{Q}_2^n + \overline{Q_1^n Q_0^n} Q_2^n = \bar{Q}_2^n Q_1^n Q_0^n + Q_2^n \bar{Q}_1^n + Q_2^n \bar{Q}_0^n;$$

$$Q_3^{n+1} = Q_2^n Q_1^n Q_0^n \bar{Q}_3^n + \bar{Q}_0^n Q_3^n = \bar{Q}_3^n Q_2^n Q_1^n Q_0^n + Q_3^n \bar{Q}_0^n.$$

将各现态值代入上面导出的状态方程和输出方程，计算出每一种现态值的组合所对应的次态和输出，从而列出完整的状态转换表，如表 7.33 所示。

表 7.33 状态转换表

序号	$Q_3^n$	$Q_2^n$	$Q_1^n$	$Q_0^n$	$C$	$Q_3^{n+1}$	$Q_2^{n+1}$	$Q_1^{n+1}$	$Q_0^{n+1}$
0	0	0	0	0	0	0	0	0	1
1	0	0	0	1	0	0	0	1	0
2	0	0	1	0	0	0	0	1	1
3	0	0	1	1	0	0	1	0	0
4	0	1	0	0	0	0	1	0	1
5	0	1	0	1	0	0	1	1	0
6	0	1	1	0	0	0	1	1	1
7	0	1	1	1	0	1	0	0	0
8	1	0	0	0	0	1	0	0	1
9	1	0	0	1	1	0	0	0	0
10	1	0	1	0	0	1	0	1	1
11	1	0	1	1	1	0	1	0	0
12	1	1	0	0	0	1	1	0	1
13	1	1	0	1	1	0	1	0	0
14	1	1	1	0	0	1	1	1	1
15	1	1	1	1	1	0	0	0	0

## (3) 画出状态转换图

根据表 7.33 所示的状态转换表就可以画出完整的状态转换图，如图 7.57 所示。

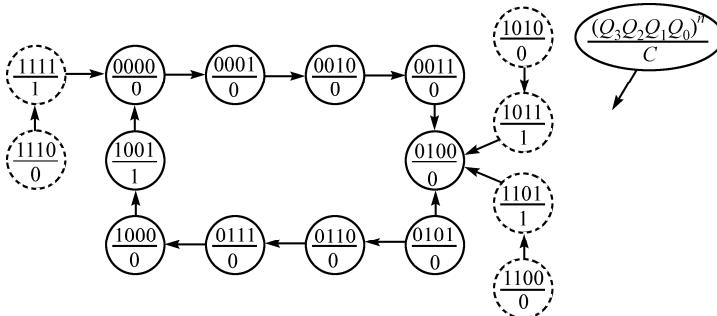


图 7.57 完整的状态转换图

## (4) 明确计数器的逻辑功能

由图 7.57 所示的状态转换图可以看出，该同步时序电路有一个闭合的主循环，它含有 10 个状态。状态的转换顺序按其编码为“0000”～“1001”，即：十进制数的“0”～“9”。因此，确定此时

序电路为“8421BCD 码”十进制加法计数器，主循环所包括的 10 个状态为**有效状态**。但是除此之外，该计数器还有 6 个**无效状态**，即：“1010”～“1111”。然而，状态转换表和状态转换图均反映出这 6 个无效状态的“最终归宿”都将是有效状态，换句话说，一旦电路因某种原因而进入到某个无效状态，则经过一到两个时钟周期之后，它最终还将进入到主循环中。这说明该计数器是可以自启动的。

另外，输出信号  $C$  只在主循环的“1001”状态时为“1”，而在主循环的其他状态时均为“0”，所以它是十进制加法计数器的“进位”信号。

### (5) 画出时序图

根据状态转换表或状态转换图就可以画出现态信号  $Q_3^n$ 、 $Q_2^n$ 、 $Q_1^n$ 、 $Q_0^n$  和输出信号  $C$  相对于时钟信号 CP 的定时波形图——时序图，如图 7.58 所示。

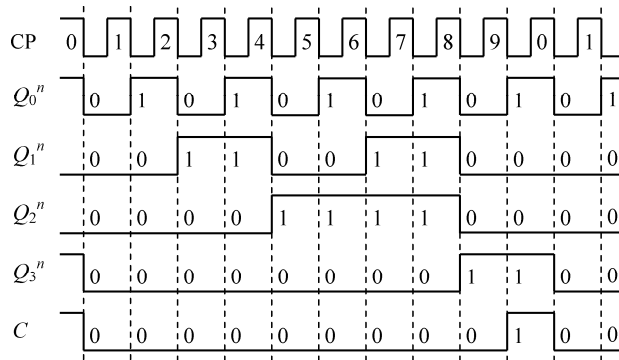


图 7.58 时序图

这里有两点需要注意：(1) 图 7.57 中的触发器是下降沿翻转，即状态的翻转发生在时钟的下降沿；(2) 一般情况下，**只画出主循环状态的时序图**。

**【例 7.22】** 试分析图 7.59 所示的同步时序电路。请画出现态信号和输出信号相对于时钟信号的同步波形图。

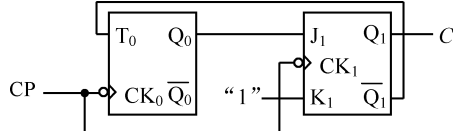


图 7.59 逻辑图

解：(1) 写出电路的逻辑方程

按照图 7.59 写出电路的输出方程和驱动方程如下

$$\text{输出方程: } C = Q_1^n$$

$$\text{驱动方程: } T_0 = \bar{Q}_1^n$$

$$J_1 = Q_0^n, \quad K_1 = 1$$

### (2) 列写状态转换真值表

按照真值表的构造方法将已知量——现态信号列于表格的左边，而将未知量——驱动信号、输出信号和次态信号列于表格的右边，如表 7.34 所示。

表 7.34 状态转换真值表

序号	$Q_1^n Q_0^n$	$J_1 K_1 T_0$	$C$	$Q_1^{n+1} Q_0^{n+1}$
0	0 0	0 1 1	0	0 1
1	0 1	1 1 1	0	1 0
2	1 0	0 1 0	1	0 0
3	1 1	1 1 0	1	0 1

利用输出方程和驱动方程计算出各现态值所对应的输出信号和驱动信号并填入表中。根据现态信

号和相应的驱动信号并利用触发器的特性方程就可确定次态信号。例如表 7.34 的第 1 行中,  $J_1 = K_1 = 1$ ,  $Q_1^n = 0$ , 故  $Q_1^{n+1} = \bar{Q}_1^n = 1$ ; 而  $T_0 = 1$ ,  $Q_0^n = 1$ , 所以  $Q_0^{n+1} = T_0 \oplus Q_0^n = 0$ 。

### (3) 画出状态转换图

依据状态转换真值表（表 7.34）就可以画出完整的状态转换图，如图 7.60 所示。

### (4) 明确计数器的逻辑功能

从状态图可以看出，该同步时序电路的主循环含有三个状态，即：“00”、“01”和“10”。按照状态的转换顺序来看，它应该是一个三进制加法计数器，输出信号  $C$  是进位信号。另外该计数器还有一个无效状态“11”，但从状态图看出它的次态是“01”（有效状态），所以此计数器能够自启动。

### (5) 画出时序图

按照状态转换图的主循环画出现态信号  $Q_1^n$ 、 $Q_0^n$  和输出信号  $C$  相对于时钟信号 CP 的时序图，如图 7.61 所示。

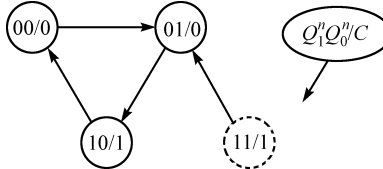


图 7.60 完整的状态转换图

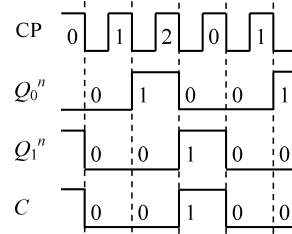


图 7.61 时序图

以上我们通过两个实例介绍了同步计数器的两种分析方法：一个是利用状态方程和状态转换表；另一个是利用状态转换真值表。其实这两种方法的本质是一样的，设计者可根据自身的习惯而选择其中的一种分析方法。任意模的同步计数器均可按图 7.62 所示的步骤进行分析。

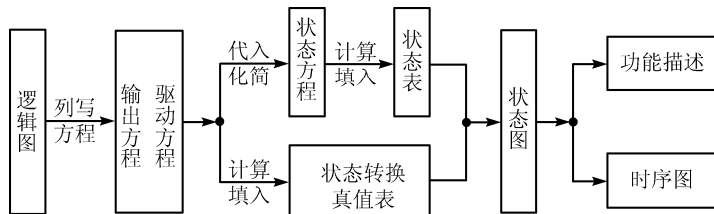


图 7.62 分析同步计数器的一般步骤

另外还需注意两点。

- 画状态转换图时一定要画完整。由  $k$  个触发器构成的计数器总共有  $2^k$  个状态，画状态图时一定要把这  $2^k$  个状态画全，不能有遗漏。换句话说，状态图中应该包括全部的有效状态和全部的无效状态。只有这样，我们才能从状态图上判断出计数器的功能及它的自启动性。
- 在未给定初始状态的情况下画时序图时，一般只画出主循环状态（有效状态）的波形。这意味着：计数器的波形图一定是循环重复（周期性）的。而在给定初始状态的情况下也要至少画出一个周期主循环状态的波形。另外在画波形时还要注意计数器中触发器的有效触发边沿（上升沿或下降沿）。

### 3. 同步计数器的设计

前面讨论了同步计数器的分析方法，现在我们讨论它的逆过程——同步计数器的设计方法。同步计数器既然是一种特殊形式的摩尔型状态机，那么它的设计方法应该基本上遵从于 7.3 节中所介绍的设计方法。但是由于同步计数器的“特殊性”，其设计方法相比 7.3 节所介绍的“设计 7 步骤”来说又有某些不同之处。

第一个不同之处就是所谓的“建立计数器的原始状态图（表）”问题。从计数器的文字描述中进行逻辑抽象——建立原始状态图的过程是一项非常关键但却比较容易的工作，做这项工作几乎没有悬念。

第二个不同之处就是无须对原始状态图（表）进行状态化简。因为一个  $n$  进制的计数器一定会有  $n$  个状态，这里不存在多余的等价状态。

第三个不同之处就是不必为了简化驱动或输出组合逻辑而煞费苦心地选取一组“最优”的状态编码。因为对计数器的状态编码转换顺序是有一定要求的，在一般的同步计数器设计规范中都已经对状态编码做了事先的规定，所以设计者无须进行状态分配这项工作。

总之，同步计数器的设计过程相比一般的同步状态机的设计过程而言要简单了许多。以下归纳出了同步计数器的基本设计步骤：

- 根据实际问题的要求——设计  $n$  进制计数器，建立具有  $n$  个状态的原始状态转换图（表）——文字状态图（表）；
- 根据原始状态图中状态的个数  $n$  确定计数器中所需触发器的个数  $k = \lceil \log_2 n \rceil + 1$ 。然后，按照计数编码转换顺序的要求对原始状态图中的各状态进行编码；
- 按要求选择触发器的类型。如果设计规范中对此没有做出规定，则可根据实际情况选择一种触发器；
- 根据所选择的触发器类型，利用“驱动表法”或“次态 K 图法”导出同步计数器电路的逻辑方程组——驱动方程组、状态方程组、输出方程组；
- 检验计数器的自启动性，若电路不能自启动则需返回上一步修改设计。之后，画出完整的状态转换图；
- 按照最终得到的驱动方程组和输出方程组，画出计数器的逻辑图。

下面通过两个实例来说明同步计数器的设计过程。

**【例 7.23】** 设计一个“8421BCD 码”的十进制减法同步计数器。要求分别用 D 和 T 触发器实现。

解：(1) 建立原始状态图

“8421BCD 码”计数器是一个十进制计数器，所以它应该有 10 个有效状态。其原始状态图如图 7.63 所示。另外，减法计数器应该有一个“借位”信号，这就是输出信号 C。它应该在减法计数器的最后一个状态  $S_9$  时输出有效（“1”），而在其他状态时输出无效（“0”）。

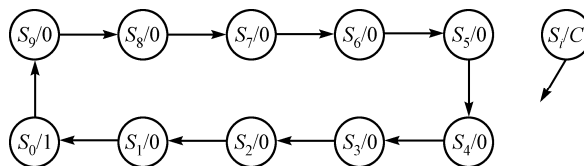


图 7.63 8421BCD 码减法计数器的原始状态图

(2) 确定触发器个数与状态编码

因为计数器有 10 个有效状态，所以需要触发器的个数为： $k = \lceil \log_2 10 \rceil + 1 = 4$ 。又因为该计数器是

减法计数器，所以状态编码的转换顺序应该是按二进制数的递减方向。图 7.64 所示为计数器的原始编码状态图。

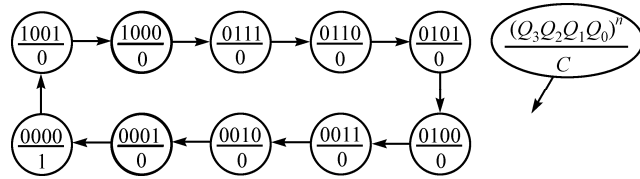


图 7.64 8421BCD 码减法计数器的原始编码状态图

(3) 导出逻辑方程组、检验自启动性

采用“次态 K 图法”导出电路的逻辑方程组。为此，先根据图 7.64 所示的原始编码状态图画出次态 K 图及输出函数 C 的卡诺图，如图 7.65(a)、(b)所示。

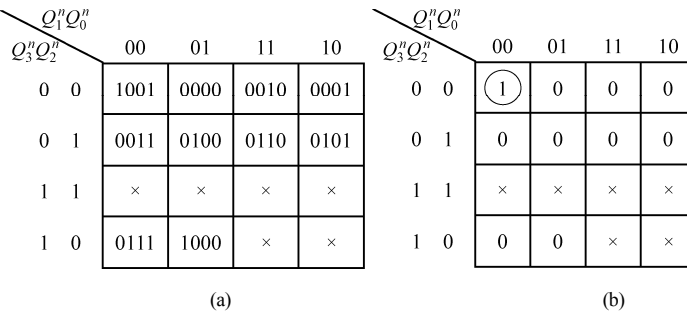


图 7.65 次态  $Q_3^{n+1}Q_2^{n+1}Q_1^{n+1}Q_0^{n+1}$  及输出  $C$  的卡诺图

把图 7.65(a)所示的次态 K 图“一分为四”就分别得到了  $Q_3^{n+1}$ 、 $Q_2^{n+1}$ 、 $Q_1^{n+1}$  和  $Q_0^{n+1}$  的卡诺图，如图 7.66(a)、(b)、(c)和(d)所示。另外，同时在次态和输出的卡诺图上进行“圈组合并”。

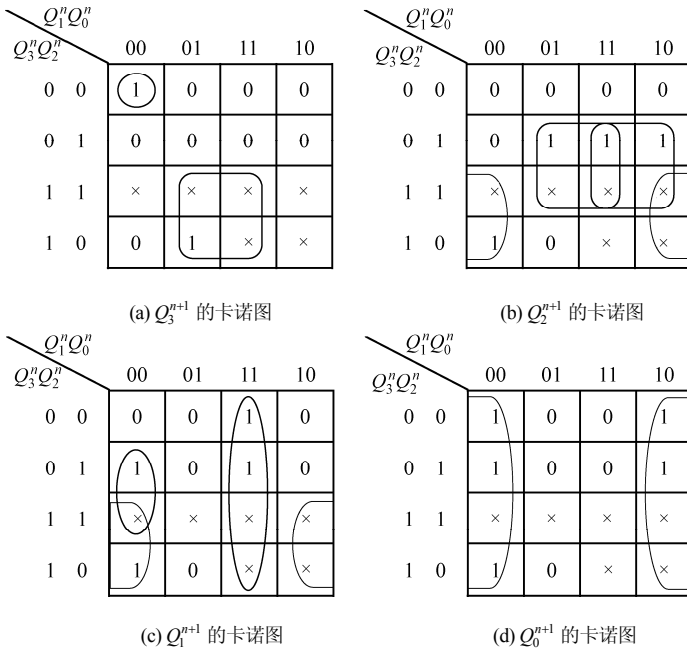


图 7.66 次态  $Q_3^{n+1}$ 、 $Q_2^{n+1}$ 、 $Q_1^{n+1}$  和  $Q_0^{n+1}$  的卡诺图

根据图 7.65(b)和图 7.66(a)、(b)、(c)、(d)上的“圈组合并”情况，可写出同步计数器的逻辑方程组如下。

$$\text{输出方程: } C = \bar{Q}_3^n \bar{Q}_2^n \bar{Q}_1^n \bar{Q}_0^n$$

$$\text{状态方程: } Q_3^{n+1} = \bar{Q}_3^n \bar{Q}_2^n \bar{Q}_1^n \bar{Q}_0^n + Q_3^n Q_0^n$$

$$Q_2^{n+1} = Q_3^n \bar{Q}_0^n + Q_2^n Q_0^n + Q_2^n Q_1^n$$

$$Q_1^{n+1} = Q_3^n \bar{Q}_0^n + Q_1^n Q_0^n + Q_2^n \bar{Q}_1^n \bar{Q}_0^n$$

$$Q_0^{n+1} = \bar{Q}_0^n$$

对于 D 触发器来讲，驱动方程就是状态方程。于是，

$$\text{驱动方程: } D_3 = Q_3^{n+1} = \bar{Q}_3^n \bar{Q}_2^n \bar{Q}_1^n \bar{Q}_0^n + Q_3^n Q_0^n$$

$$D_2 = Q_2^{n+1} = Q_3^n \bar{Q}_0^n + Q_2^n Q_0^n + Q_2^n Q_1^n$$

$$D_1 = Q_1^{n+1} = Q_3^n \bar{Q}_0^n + Q_1^n Q_0^n + Q_2^n \bar{Q}_1^n \bar{Q}_0^n$$

$$D_0 = Q_0^{n+1} = \bar{Q}_0^n$$

利用“任意项取值原理”在次态 K 图上判断计数器的自启动性并列出表格，如表 7.35 所示。表中还列出了无效状态下的输出信号，它是由输出方程计算出来的。由此表看出，所有的无效状态最终都将进入到有效状态“0111”。这说明此计数器可以自启动。

表 7.35 检验自启动性（用 D 触发器）

序号	现 状 $Q_3^n Q_2^n Q_1^n Q_0^n$	次 状 $Q_3^{n+1} Q_2^{n+1} Q_1^{n+1} Q_0^{n+1}$				输出 C
		$Q_3^{n+1}$	$Q_2^{n+1}$	$Q_1^{n+1}$	$Q_0^{n+1}$	
10	1 0 1 0	0	1	1	1	0
11	1 0 1 1	1	0	1	0	0
12	1 1 0 0	0	1	1	1	0
13	1 1 0 1	1	1	0	0	0
14	1 1 1 0	0	1	1	1	0
15	1 1 1 1	1	1	1	0	0

由图 7.64 和表 7.35 可画出采用 D 触发器时计数器的完整状态转换图，如图 7.67 所示。

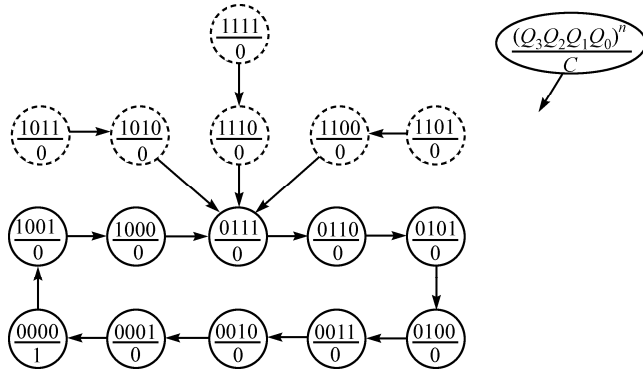
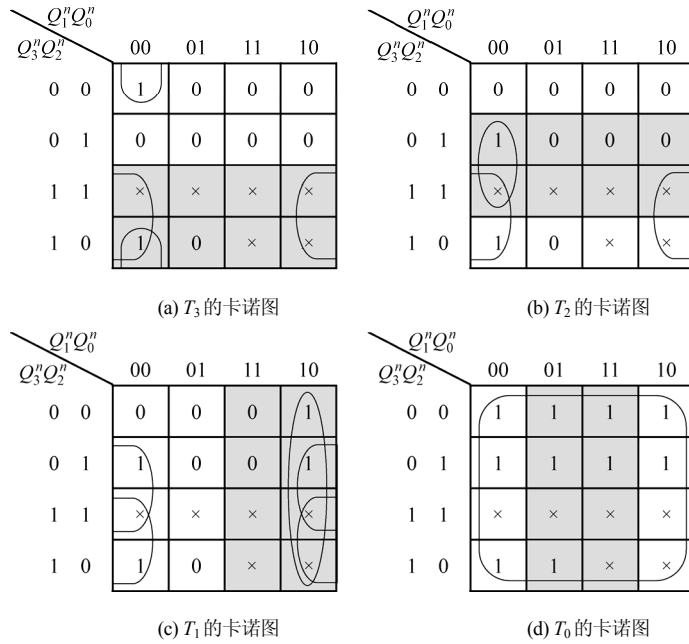


图 7.67 8421BCD 码减法计数器（采用 D 触发器）的完整状态图

对于 T 触发器来讲，情况就不像 D 触发器那么简单。我们可以仿照例 7.17 或例 7.18 的做法，运用“T 取值规则”直接从次态 K 图上得到各驱动信号  $T_i$  ( $i=0 \sim 3$ ) 的卡诺图。图 7.68(a)、(b)、(c)和(d)分别画出了  $T_3$ 、 $T_2$ 、 $T_1$  和  $T_0$  的卡诺图，其中，“灰底”对应  $Q^n=1$  的小格，而“白底”对应  $Q^n=0$  的小格。

图 7.68 驱动  $T_3$ 、 $T_2$ 、 $T_1$  和  $T_0$  的卡诺图

在  $T_3 \sim T_0$  的卡诺图上圈组合并, 得到 T 触发器的驱动方程如下:

$$T_3 = \bar{Q}_2^n \bar{Q}_1^n \bar{Q}_0^n + Q_3^n \bar{Q}_0^n;$$

$$T_2 = Q_2^n \bar{Q}_1^n \bar{Q}_0^n + Q_3^n \bar{Q}_0^n;$$

$$T_1 = Q_3^n \bar{Q}_0^n + Q_2^n \bar{Q}_0^n + Q_1^n \bar{Q}_0^n;$$

$$T_0 = 1.$$

注意: 此时的输出方程仍为  $C = \bar{Q}_3^n \bar{Q}_2^n \bar{Q}_1^n \bar{Q}_0^n$ 。

接下来的工作就是检验在采用上述驱动方程的前提下计数器能否自启动。为此, 先利用“任意项取值原理”在各  $T_i$  ( $i=0 \sim 3$ ) 的卡诺图上确定各驱动信号  $T_i$  在 6 个无效状态下的逻辑值; 然后再利用 T 触发器的特性方程  $Q^{n+1} = T \oplus Q^n$  推出各次态信号  $Q_i^{n+1}$  ( $i=0 \sim 3$ ), 如表 7.36 所示, 表中也列出了输出信号 C。

表 7.36 检验自启动性 (用 T 触发器)

序号	现态 $Q_1^n Q_1^n Q_0^n Q_1^n$	驱动 $T_3 T_2 T_1 T_0$	次态				输出 C
			$Q_3^{n+1}$	$Q_2^{n+1}$	$Q_1^{n+1}$	$Q_0^{n+1}$	
0	1 0 1 0	1 1 1 1	0	1	0	1	0
1	1 0 1 1	0 0 0 1	1	0	1	0	0
2	1 1 0 0	1 1 1 1	0	0	1	1	0
3	1 1 0 1	0 0 0 1	1	1	0	0	0
4	1 1 1 0	1 1 1 1	0	0	0	1	0
5	1 1 1 1	0 0 0 1	1	1	1	0	0

根据表 7.36 和图 7.64 就可画出采用 T 触发器时计数器的完整状态转换图, 如图 7.69 所示。从完整的状态图也可以看出, 用 T 触发器构成的这个计数器是可以自启动的。

#### (4) 画出计数器的逻辑图

根据 D 触发器和 T 触发器的驱动方程及输出方程就可以分别画出用 D 触发器和 T 触发器所构成的 8421BCD 码减法计数器的逻辑图, 如图 7.70(a)、(b)所示。

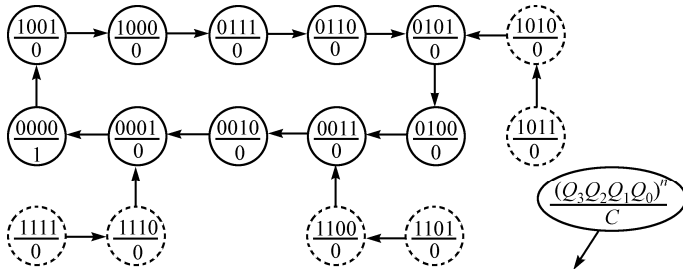


图 7.69 8421BCD 码减法计数器（采用 T 触发器）的完整状态图

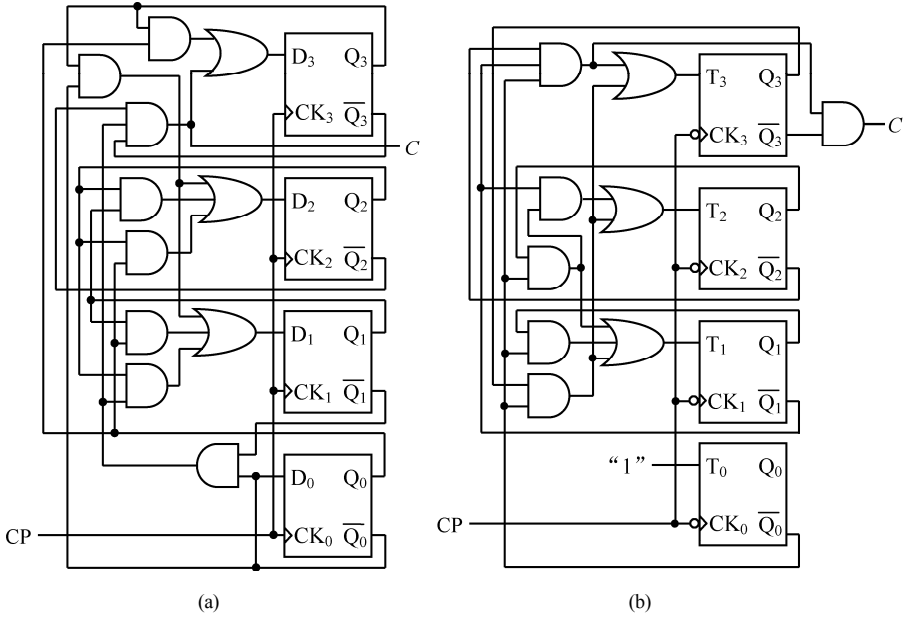


图 7.70 8421BCD 码减法计数器的逻辑图

**【例 7.24】** 设计一个模 5（五进制）同步计数器。要求其状态编码的转换顺序为：0，1，4，5，7，0。用 JK 触发器实现。

解：(1) 建立编码状态图

因为状态的编码及编码的转换顺序已经规定好了，所以没有必要再进行所谓的状态分配。按题意直接建立原始编码状态图，如图 7.71 所示。注意：此时输出信号 C 仍然是五进制计数器的“进位”信号，而且假设状态“111”是最后一个计数状态，故 C 在此状态下有效而在其他状态下无效。

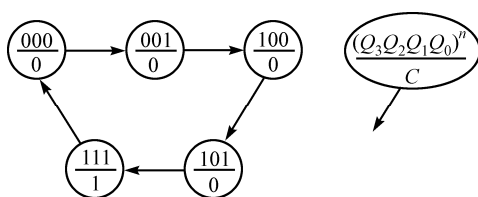


图 7.71 五进制计数器的原始编码状态图

(2) 确定触发器的个数

因为已经确定了三位状态编码，所以需要三个触发器，即  $k=3$ 。

(3) 导出逻辑方程组、检验自启动性

还是采用“次态 K 图法”导出电路的逻辑方程组。根据编码状态图画出的次态 K 图以及输出函数 C 的卡诺图，如图 7.72(a)、(b)所示。

把次态 K 图“一分为三”，于是就得到了  $Q_2^{n+1}$ 、 $Q_1^{n+1}$  和  $Q_0^{n+1}$  的卡诺图，如图 7.73(a)、(b)和(c)所示。注意：为了直接得到 J、K 的“与或”表达式，我们还是将次态卡诺图按  $Q^n=0$ （“白底”）和  $Q^n=1$

1 (“灰底”) 分成两部分, 同时在次态和输出的卡诺图上进行“圈组合并”。于是得到计数器电路的逻辑方程组如下:

$$\text{输出方程: } C = Q_1^n$$

$$\text{驱动方程: } J_2 = Q_0^n, \quad \bar{K}_2 = \bar{Q}_1^n,$$

$$K_2 = Q_1^n;$$

$$J_1 = Q_2^n Q_0^n, \quad \bar{K}_1 = 0,$$

$$K_1 = 1;$$

$$J_0 = 1, \quad \bar{K}_0 = Q_2^n \bar{Q}_1^n,$$

$$K_0 = \bar{Q}_2^n + Q_1^n.$$

		$Q_2^n Q_0^n$	00	01	11	10
		0	001	100	x	x
		1	101	111	000	x
$Q_2^n$	$Q_0^n$	0				
1						

(a)

		$Q_1^n Q_0^n$	00	01	11	10
		0	0	0	x	x
		1	0	0	1	x
$Q_1^n$	$Q_0^n$	0				
1						

(b)

图 7.72 次态  $Q_2^{n+1} Q_1^{n+1} Q_0^{n+1}$  及输出 C 的卡诺图

		$Q_2^n Q_0^n$	00	01	11	10
		0	0	1	x	x
		1	1	1	0	x
$Q_2^n$	$Q_0^n$	0				
1						

(a)  $Q_2^{n+1}$  的卡诺图

		$Q_1^n Q_0^n$	00	01	11	10
		0	0	0	x	x
		1	0	1	0	x
$Q_1^n$	$Q_0^n$	0				
1						

(b)  $Q_1^{n+1}$  的卡诺图

		$Q_0^n$	00	01	11	10
		0	1	0	x	x
		1	1	1	0	x
$Q_0^n$		0				
1						

(c)  $Q_0^{n+1}$  的卡诺图图 7.73 次态  $Q_2^{n+1}$ 、 $Q_1^{n+1}$  和  $Q_0^{n+1}$  的卡诺图

根据次态 K 图上的卡诺圈, 利用“任意项取值原理”判断各无效状态的次态情况, 如表 7.37 所示, 表中同时列出了各无效状态下的输出信号 C。结合表 7.37 和图 7.71 可画出完整的状态转换图, 如图 7.74 所示。

表 7.37 检验自启动性

序号	现态			次态			输出 C
	$Q_2^n$	$Q_1^n$	$Q_0^n$	$Q_2^{n+1}$	$Q_1^{n+1}$	$Q_0^{n+1}$	
0	0	1	0	0	0	1	1
1	0	1	1	1	0	0	1
2	1	1	0	0	0	1	1

上述完整的状态转换图清楚地表明, 我们设计的这个计数器是可以自启动的。

#### (4) 画出计数器的逻辑图

有了计数器的输出方程和驱动方程, 就可以画出该计数器的逻辑图, 如图 7.75 所示。

以上我们介绍了同步计数器的分析和设计方法。在此还需要补充说明的一点就是: 在实际应用中, 经常是把同步计数器的状态信号直接作为输出信号而使用的。另外, “进位”信号也常常是由某个状态信号直接引出的 (见图 7.75)。因此, 就上述这一点而言, 图 7.55 所示的描述同步计数器的框图中的

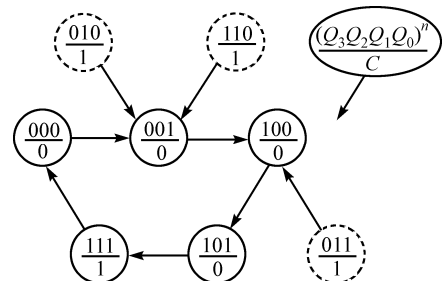


图 7.74 五进制计数器的完整的状态转换图

“输出逻辑  $F$ ”(组合电路)应该被“广义”地理解为若干条“信号引线”。或者干脆把“输出逻辑  $F$ ”去掉而将同步计数器的框图画成图 7.76 所示的形式。这也算是同步计数器、这个特殊的摩尔型状态机的一个特殊之处吧。

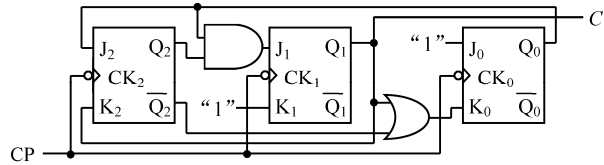


图 7.75 模 5 同步计数器逻辑图

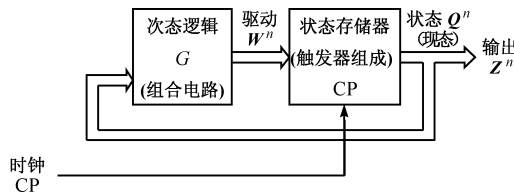
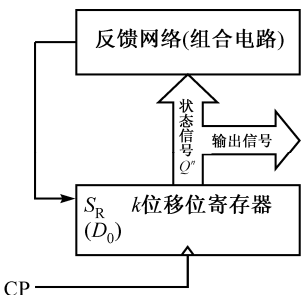


图 7.76 特殊的摩尔型状态机——同步计数器/分频器结构框图

## 7.4.2 移存型计数器

### 1. 移存型计数器的结构特点

移存型计数器，有时也称为移位计数器，是由移位寄存器加反馈网络（组合电路）而构成的，其



框图如图 7.77 所示。

然而移位寄存器一般是由 D 触发器所构成的，如图 7.78(a)所示。如果要使用 JK 触发器构成移位寄存器，则如图 7.78(b)所示。由图 7.78 看出移位寄存器的特点是：除了第 0 级触发器（第 0 号触发器）以外，所有触发器的输入端均接到前一级触发器的输出端上。正因为如此，移位寄存器的各触发器输出端上的波形都是一样的，但后级输出与前级输出相比在时间上要滞后一个时钟周期，即它们的相位是不同的。

图 7.77 表明，构成移存型计数器的主体是  $k$  位移位寄存器。所以移存型计数器的状态变化顺序应该符合移位的规律，即：

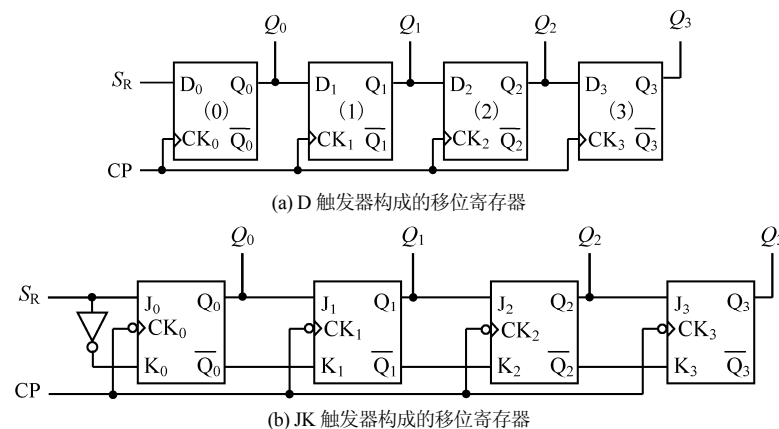


图 7.78 4 位 (bit) 移位 (右移) 寄存器

$$Q_i^{n+1} = D_i = Q_{i-1}^n, \quad (i=1 \sim k-1) \quad (7.19)$$

$$Q_0^{n+1} = D_0 = S_R = F(Q_0^n, Q_1^n, \dots, Q_{k-1}^n) \quad (7.20)$$

式(7.19)和式(7.20)表明：移存型计数器是一种特殊的计数器。其特殊性就在于除了第0级触发器以外，以后各级触发器的驱动方程形式都是一样的，即： $D_i = Q_{i-1}^n$  ( $i=1 \sim k-1$ )。这就告诉我们：设计移存型计数器时，只需设计出第0级触发器的驱动方程—— $D_0$ 或 $S_R$ 的逻辑表达式就够了，其他各级触发器的驱动方程无须再行设计，它们都是 $D_i = Q_{i-1}^n$  ( $i=1 \sim k-1$ )。

从更广泛的意义上来讲，移存型计数器也是一种特殊形式的摩尔型状态机，如图7.79所示。其特殊之处表现在：①无“外输入信号 $X^n$ ”；②无“输出逻辑 $F$ ”；③从第1级触发器开始往后的各级触发器的驱动方程（也包括状态方程）都已经规定好了；④只需设计第0级触发器的驱动方程（ $D_0$ 的逻辑表达式）；⑤状态机的各现态信号（也是它的输出信号）的波形相同但相位不同。

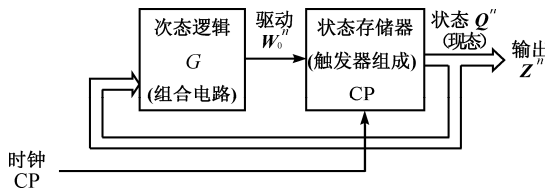


图 7.79 特殊的摩尔型状态机——移存型计数器结构框图

第0级触发器的驱动方程，即式(7.20)，有时也被称为“反馈逻辑方程”，它是现态的逻辑函数。根据以上所述，移存型计数器的设计是非常简单的，我们只需设计出反馈逻辑方程 $D_0 = F(Q_0^n, Q_1^n, \dots, Q_{k-1}^n)$ 就可以了。下面介绍两个常用的移存型计数器。

## 2. 常用的移存型计数器

### 1) 环形计数器

$k$ 位环形计数器由 $k$ 位移位寄存器组成，其反馈逻辑方程式为： $D_0 = Q_{k-1}$ 。

图7.80(a)所示为一个4位环形计数器。它是由4个D触发器首尾相连而构成的，其反馈逻辑方程为 $D_0 = Q_3$ ，状态方程为 $Q_0^{n+1} = D_0 = Q_3$ ， $Q_i^{n+1} = D_i = Q_{i-1}^n$  ( $i=1 \sim 3$ )。该环形计数器的完整状态图<sup>①</sup>和时序波形图分别如图7.80(b)、(c)和(d)所示。

由图7.80看出，启动信号（低电平有效）首先将计数器置为 $Q_3Q_2Q_1Q_0 = 1000$ 的初始状态，以后随着CP时钟脉冲的输入，环形计数器将按照状态图中的I进行循环，这个循环的特点是在电路中循环移位“1”。此时认为环I是有效循环，而环II~VI都是无效循环。图7.80(c)所示为环I的波形图。

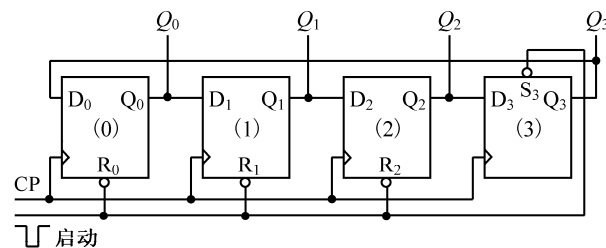
如果设法将环形计数器的初始状态设置为 $Q_3Q_2Q_1Q_0 = 0111$ ，则环II将成为电路的有效循环，而其他的循环都是无效循环。环II的特点是在电路中循环移位“0”。图7.80(d)所示为环II的波形图。

从状态图可以看出，无论以哪一个循环作为有效循环，环形计数器的最大模值都为4，即：它是一个模4计数器。

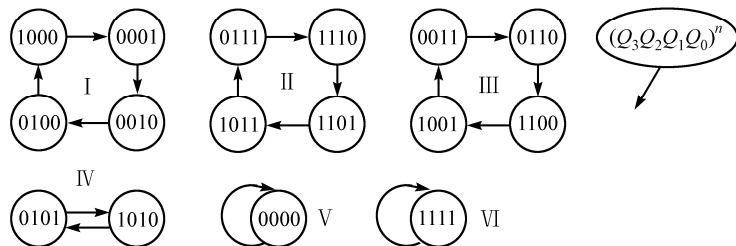
环形计数器的反馈逻辑方程 $D_0 = Q_{k-1}$ 在所有移存型计数器中可以说是最简单的了。该计数器的特点是：每个时钟周期只有一个触发器的输出为“1”（或为“0”），而其他触发器的输出均为“0”（或“1”）。此特点正好符合“顺序脉冲发生器”的输出信号要求，故可将环形计数器作为顺序脉冲发生器来使用。

<sup>①</sup> 画状态图时习惯以 $Q_3^nQ_2^nQ_1^nQ_0^n$ 的格式表示移存型计数器的状态。状态图中状态符号的高低位顺序正好与逻辑图中触发器编号的高低位顺序相反。所以数码在逻辑图中的右移就相当于在状态图中的左移，以下均与此相同。

另外，环形计数器循环移位“1”或“0”的特点，使得其状态信号可直接作为电路的输出信号而无须附加任何译码电路。



(a) 逻辑图



(b) 4位环形计数器的完整状态图

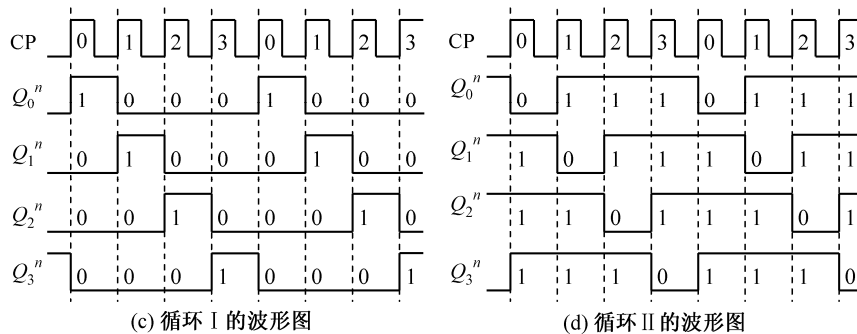


图 7.80 4 位 (bit) 环形计数器

但是环形计数器也有一个很大的缺点，这就是它的状态利用率很低。 $k$  个触发器所构成的环形计数器的模为  $M = k$ ，即：有效状态只有  $k$  个，而无效状态却有  $2^k - k$  个。这种情况将随着  $k$  的增大而变得越发严重，也就是说  $k$  越大，状态利用率越低。

另外, 图 7.80(b)所示的完整状态图清楚地表明, 无论以哪一个循环作为主循环(有效循环), 这个计数器都是不能够自启动的。解决自启动的途径有两个: 第一, 像图 7.80(a)所示的那样, 给计数器外加一个启动信号, 当电路上电或是因为干扰而处于无效的状态循环(俗称“死循环”)时, 用启动信号强迫计数器处于某个有效的初始状态, 比如图 7.80(a)中的  $Q_3Q_2Q_1Q_0 = 1000$  状态, 以后随着时钟脉冲的输入, 电路将按照有效的状态进行循环; 第二, 修改反馈逻辑方程, 使计数器在处于无效状态的循环时, 能够在若干时钟周期之后自动地进入到有效的状态循环中。

**【例 7.25】** 设计一个能够自启动的 4 位环形计数器。假设循环移位“1”的循环为有效循环（主循环）。

解：(1) 按反馈逻辑方程  $D_0 = Q_3$  组成基本的环形计数器，如图 7.80(a) 所示。画出该电路的完整状态图，如图 7.80(b) 所示。根据题意，循环 I 是有效循环，而循环 II ~ VI 都是无效循环。

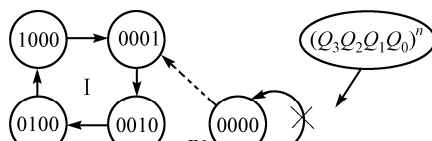
(2) 破一个无效循环 (本题为环 II ~ VI 中的某一个), 强令其中的某个无效状态的次态为主循环

中的某个有效状态，以使所有的无效状态最终都进入到有效循环。选择欲破无效循环的原则是要简单，即：循环中的状态个数要尽量少。另外，作为突破口的无效状态（其次态为主循环中的某个有效状态）要符合移位的规律，即：除了  $Q_0$  之外， $Q_3Q_2Q_1$  的变化要符合移位的规则—— $Q_1^{n+1} = Q_0^n$ ,  $Q_2^{n+1} = Q_1^n$ ,  $Q_3^{n+1} = Q_2^n$ 。查看状态图，环 V、环 VI 最简单。但是“1111”不符合移位的规律，所以选择破循环 V 这个无效的、孤立的状态“0000”，如图 7.81(a)所示。

(3) 按图 7.81(a)所示的状态图画出次态 K 图，除了无效状态“0000”以外，所有的无效状态的次态均按“约束项”处理，如图 7.81(b)所示。

(4) 因为要修改反馈逻辑方程，所以从次态 K 图中分离出  $Q_0^{n+1}$  ( $D_0$ ) 的卡诺图，如图 7.81(c)所示。“圈组合并”该卡诺图得到新的反馈逻辑方程为：

$$Q_0^{n+1} = D_0 = \bar{Q}_2^n \bar{Q}_1^n \bar{Q}_0^n$$

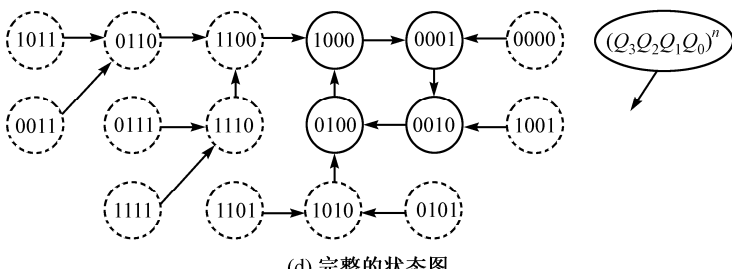


(a) 破一个无效循环“0000”

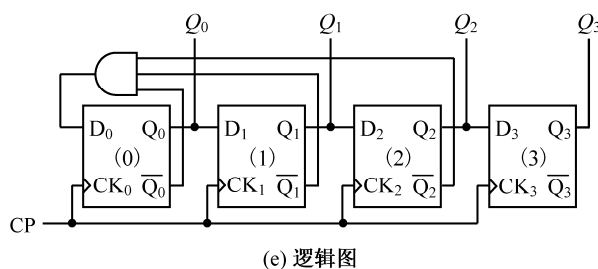
		$Q_3^n Q_2^n$	00	01	11	10
		$Q_1^n Q_0^n$	00	01	11	10
		0 0	0001	0010	x	0100
		0 1	1000	x	x	x
		1 1	x	x	x	x
		1 0	0001	x	x	x

(b)  $Q_3^{n+1} Q_2^{n+1} Q_1^{n+1} Q_0^{n+1}$  的卡诺图

		$Q_3^n Q_2^n$	00	01	11	10
		$Q_1^n Q_0^n$	00	01	11	10
		0 0	1	0	x	0
		0 1	0	x	x	x
		1 1	x	x	x	x
		1 0	1	x	x	x

(c)  $Q_0^{n+1}$  ( $D_0$ ) 的卡诺图

(d) 完整的状态图



(e) 逻辑图

图 7.81 能自启动的 4 位环形计数器的设计

(5) 根据新的反馈逻辑方程检查环形计数器的自启动性。当然，也可以在  $Q_0^{n+1}$  的卡诺图上运用“任意项取值原理”来判断环形计数器的自启动性。画出电路的完整状态图，如图 7.81(d)所示。该状态图清楚地表明：经修改过的反馈逻辑方程可以使环形计数器自启动。

如果破了一个无效循环以后电路仍不能自启动，则需再选择一个相对简单的无效循环来破，直至电路可以自启动为止。

(6) 按照新的反馈逻辑方程画出可以自启动的环形计数器逻辑图，如图 7.81(e)所示。

如果选择图 7.80(b)中的循环 II (循环移位“0”) 作为主循环，则应选择环 VI 而不是环 V 作为欲破的无效循环。因为此时“0000”不符合移位的规律。修改后的反馈逻辑方程为  $Q_0^{n+1} = D_0 = \overline{Q_2^n Q_1^n Q_0^n}$ 。推导的过程留给读者作为练习。

如前所述，环形计数器的模  $M$  等于触发器的个数  $k$ ，即： $M=k$ 。因此，利用环形计数器可实现任意模的计数和分频。另外，环形计数器的结构也很简单，所以用环形计数器实现任意模的计数与分频是相当方便的。但是，环形计数器的状态利用率很低，当模的数值较大时，使用环形计数器实现计数和分频就显得不太经济了。

## 2) 扭环形计数器(约翰逊计数器)

$k$  位扭环形计数器由  $k$  位移位寄存器组成，其反馈逻辑方程式为： $D_0 = \bar{Q}_{k-1}$ 。

图 7.82(a)所示为一个 4 位扭环形计数器。它与环形计数器一样是由 4 个 D 触发器首尾相连而构成的。除了第 0 级触发器以外，各级触发器的状态方程也是  $Q_i^{n+1} = D_i = Q_{i-1}^n$  ( $i=1\sim 3$ )。但是与环形计数器不同的是：其反馈输出端不是引自  $Q_3$  端而是引自  $\bar{Q}_3$  端，即：反馈逻辑方程为  $D_0 = \bar{Q}_3$ 。4 位扭环形计数器的完整状态图和时序波形图分别如图 7.82(b)、(c)和(d)所示。

从图 7.82(b)的状态图中看出，扭环形计数器有两个循环，环 I 和环 II。如果以环 I 作为有效循环，则环 II 就是无效循环，反之亦然。

环 I 状态编码的特点是：当电路的状态发生变化时，仅有一个触发器改变状态而其他的触发器均维持原状态不变。换言之，此时扭环形计数器的状态输出编码信号的相邻码字之间只有一位（比特）不同而其他位均相同。这一特点与格雷码颇为相似。所以此时如果对扭环形计数器的状态输出信号进行译码，则不会产生译码噪声。图 7.82(c)所示为环 I 的波形图。

环 II 状态编码的特点正好与环 I 相反，当电路的状态发生变化时，仅有一个触发器维持原状态不变而其他的触发器均改变状态。图 7.82(d)所示为环 II 的波形图。

从状态图中可以看出，两个状态循环所包含的状态数目是相等的。也就是说，由  $k$  个触发器所构成的扭环形计数器的模为  $8$ ，即：它是一个模 8 计数器。这个结论可以推广到更一般的情形：由  $k$  个触发器所构成的扭环形计数器的模  $M$  为  $2k$ ，即： $M=2k$ 。

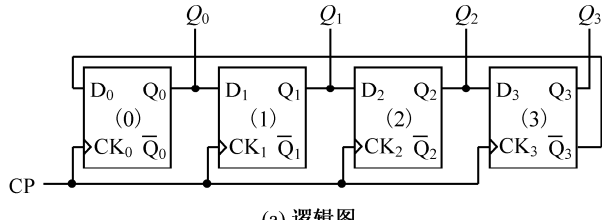
扭环形计数器的反馈逻辑方程  $D_0 = \bar{Q}_{k-1}$  在所有的移存型计数器中也算是很简单的了。这种计数器的状态利用率相比环形计数器来说提高了一倍，即：有效状态数为  $2k$  个，而无效状态数有  $2^k - 2k$  个。但是，这样的状态利用率仍然不够充分，而且随着  $k$  的增大，状态利用率仍然会越来越低。

另外，图 7.82(b)所示的完整状态图还清楚地表明，无论以两个循环中的哪一个循环作为主循环(有效循环)，这种扭环形计数器都是不能够自启动的。所以应该修改反馈逻辑方程  $D_0 = \bar{Q}_{k-1}$ ，以使得计数器在处于无效状态的循环时，能够在若干时钟周期之后自动地进入到有效的状态循环中。

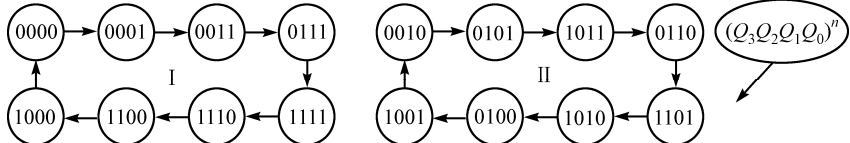
**【例 7.26】** 修改图 7.82 所示的 4 位扭环形计数器的反馈逻辑方程，以使其能够自启动。以循环 I 作为有效循环(主循环)。

解：(1) 破无效循环 II，使其中的无效状态最终都进入到有效循环。但是，在选择作为突破口的

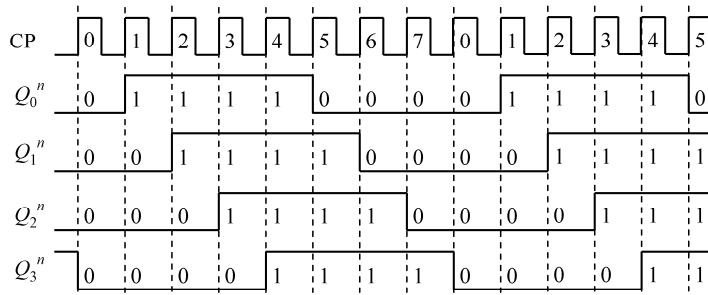
无效状态（强令其次态为主循环中的某个有效状态）时，要注意符合移位的规律。观察一下循环II，我们发现只有状态“1011”、“0110”、“1001”和“0100”这4个状态符合移位的规律。所以可从这4个状态中任选一个状态，比如“1011”作为突破口试试，如图7.83(a)所示。



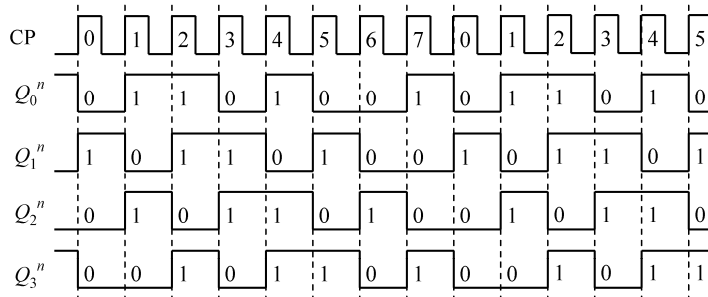
(a) 逻辑图



(b) 4位扭环形计数器的完整状态图



(c) 循环 I 的波形图



(d) 循环 II 的波形图

图 7.82 4 位 (bit) 扭环形计数器

(2) 根据图7.83(a)所示的状态图画出次态K图。除了作为突破口的无效状态“1011”以外，其他所有的无效状态的次态均按“约束项”处理，如图7.83(b)所示。

(3) 从次态K图中分离出 $Q_0^{n+1}$  ( $D_0$ )的卡诺图，如图7.83(c)所示。“圈组合并”该卡诺图得到新的反馈逻辑方程为：

$$Q_0^{n+1} = D_0 = \bar{Q}_3^n + \bar{Q}_2^n Q_1^n$$

(4) 由新的反馈逻辑方程或在 $Q_0^{n+1}$ 的卡诺图上运用“任意项取值原理”来检查扭环形计数器的自

启动性并画出电路的完整状态图,如图7.83(d)所示。从该状态图中看出:经修改后的反馈逻辑方程可以使扭环形计数器自启动。

(5)按照新反馈逻辑方程画出可自启动的扭环形计数器逻辑图,如图7.83(e)所示。

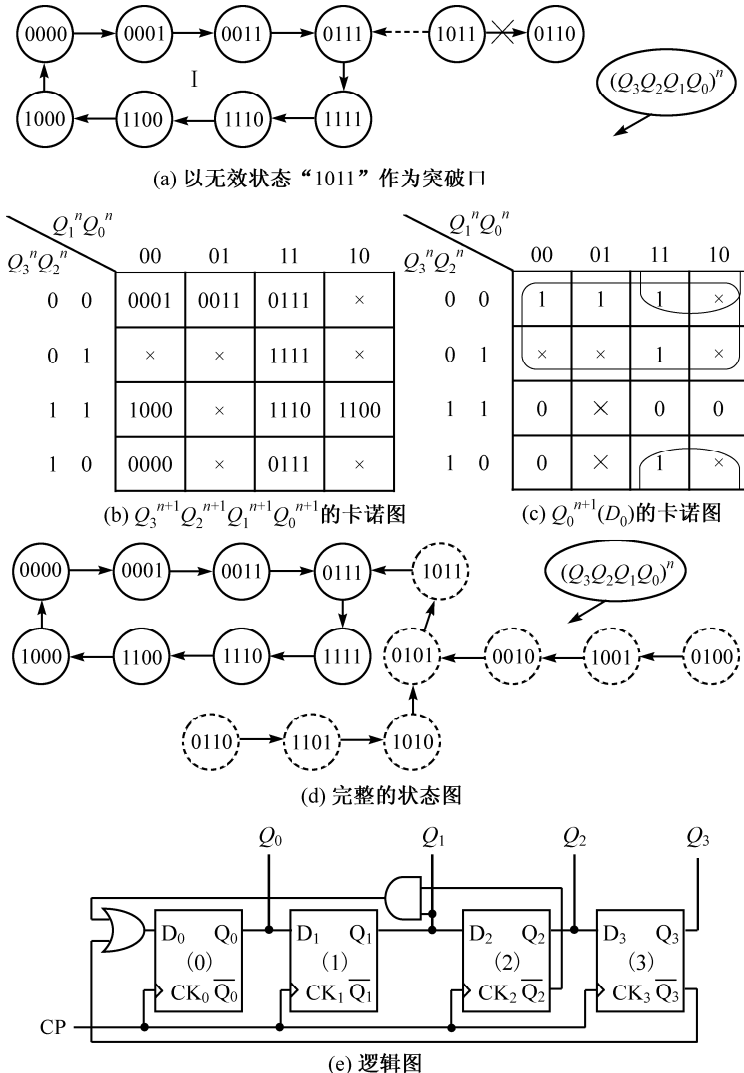


图 7.83 能自启动的 4 位(bit) 扭环形计数器的设计

一个  $k$  位扭环形计数器的模  $M=2k$  是一个偶数,即:它能实现偶数次分频,其输出波形是一个对称的方波,例如图 7.82(c)所示循环 I 的波形图。但是,通过修改反馈逻辑,一个  $k$  位扭环形计数器同样可以实现奇数  $M=2k-1$  次分频,其输出波形接近对称方波。

**【例 7.27】**利用中规模集成电路 CD4015 实现 5 分频电路。CD4015 是一个“双 4 位串入-并出右移寄存器”。其逻辑符号和功能表分别如图 7.84 和表 7.38 所示。

**解:** (1) CD4015 是一个右移寄存器,所以可先由它构成一个扭环形计数器。因为要实现 5 分频,所以要求计数器的模  $M=5$ ,因此计数器的级数  $k=(M+1)/2=(5+1)/2=3$ 。我们利用  $Q_2$ 、 $Q_1$  和  $Q_0$  这三级作为扭环形计数器的输出。

(2) 修改状态图。三位扭环形计数器的状态图(选择类似于图 7.82 中的循环 I )如图 7.85(a)所示。

它包括6个状态，必须跳过（舍弃）一个状态，才能实现 $M=5$ 。但是在选择被跳过的状态时应该注意保持移位的特点，即： $(Q_2Q_1)^{n+1} = (Q_1Q_0)^n$ 。因此，可供修改的次态变量只有 $Q_0^{n+1}$ 。于是就有两种修改状态图的方案，分别如图7.85(b)和(c)所示。

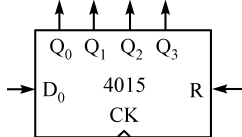


图 7.84 CD4015 逻辑符号

表 7.38 CD4015 功能表

CK	R	$D_0$	$Q_0$	$Q_n$	功能
↑	0	0	0	$Q_{n-1}$	右移
↑	0	1	1	$Q_{n-1}$	右移
↓	0	×	$Q_0$	$Q_n$	不变
×	1	×	0	0	异步清零

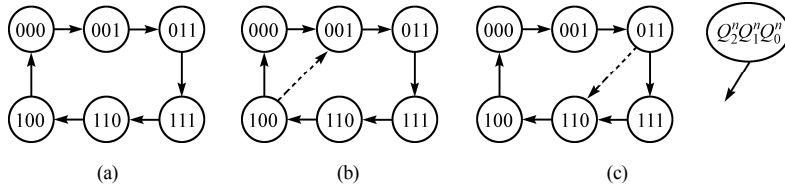
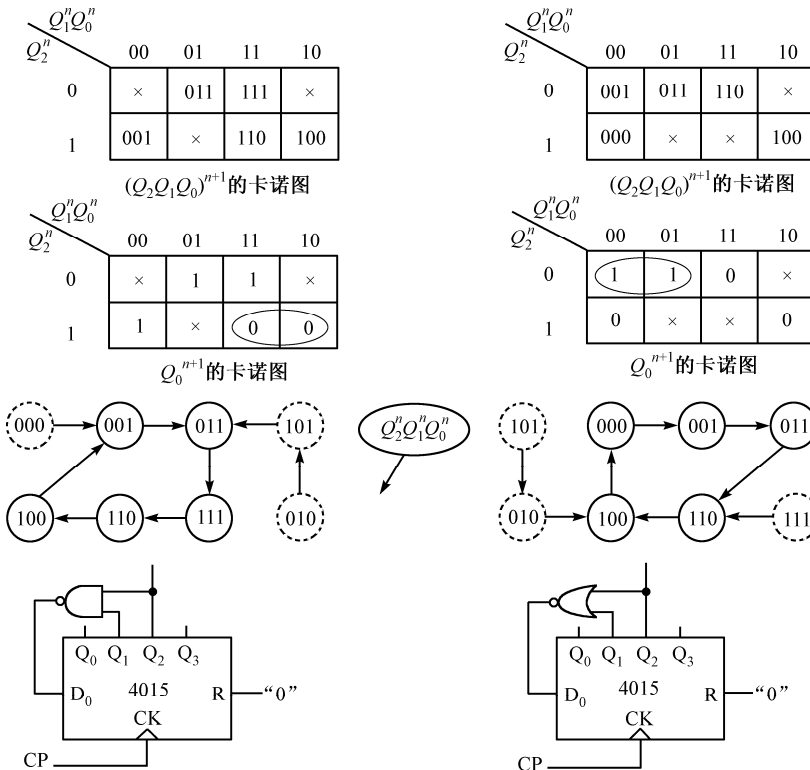


图 7.85 三位扭环形计数器的状态图

(3) 根据修改后的状态图设计电路。设计的方法采用“次态 K 图法”。两种方案的设计过程分别如图7.86(a) (对应图7.85(b)的方案) 和(b) (对应图7.85(c)的方案) 所示，由它们所得到的反馈逻辑方程分别为：

$$\text{方案① } S_R = \bar{Q}_2^n + \bar{Q}_1^n = \overline{Q_2^n Q_1^n}$$

$$\text{方案② } S_R = \bar{Q}_2^n \bar{Q}_1^n = \overline{Q_2^n + Q_1^n}$$



(a) 方案 1 推导过程

(b) 方案 2 推导过程

图 7.86 修改三位扭环形计数器的反馈逻辑实现 5 分频

例 7.27 表明, 用扭环形计数器实现奇数分频的设计关键是修改状态图。这种靠修改状态图以跳过若干状态从而达到缩小计数器模值的方法是经常被采用的<sup>①</sup>。用同样的方法还可求得由扭环形计数器实现其他奇数次分频器的反馈逻辑方程。

综上所述, 由扭环形计数器也可以实现任意模的计数/分频器, 其输出波形要么是对称的方波(偶数次分频), 要么是近似的方波(奇数次分频)。实现各种模值的扭环形计数器的反馈逻辑方程是很有规律的, 如表 7.39 所示。

表 7.39 实现各种模值的扭环形计数器的反馈逻辑方程

模 $M$ (分频次数)	2	3	4	5	6	7	8
反馈逻辑方程 $S_R(D_0)$	$\bar{Q}_0^n$	$Q_0^n Q_1^n$ 或 $Q_0^n + Q_1^n$	$\bar{Q}_1^n$	$Q_1^n Q_2^n$ 或 $Q_1^n + Q_2^n$	$\bar{Q}_2^n$	$Q_2^n Q_3^n$ 或 $Q_2^n + Q_3^n$	$\bar{Q}_3^n$

### 7.4.3 同步序列信号发生器

序列信号是一组由“0”或“1”电平构成的脉冲序列, 而这个脉冲序列的幅度变化通常都是与某个时钟的边沿(上升沿或下降沿)相同步的。序列信号在数字通信、雷达、遥控遥测领域中应用非常广泛。同步序列信号发生器则是一种能够产生一组或多组序列信号的同步时序逻辑电路。其实, 同步序列信号发生器并不是什么新型的同步时序逻辑电路, 它仍然可以归结为是一种图 7.7 所示的摩尔型状态机, 只不过这是一种无外输入信号  $X^n$  的摩尔型状态机, 就如同图 7.55 所示的那样。事实上, 实现同步序列信号发生器的电路就是我们所熟知的同步计数器和移存型计数器。只是由于序列信号发生器在实际应用中常具有某种特殊的用途, 所以将其单独加以讨论。

#### 1. 顺序脉冲发生器

顺序脉冲发生器是一种产生多组(多路)序列信号的序列信号发生器。然而各路(组)序列信号之间是有固定的相位关系的, 即: 在任何一个时钟周期之内只有一路序列脉冲的输出电平为“1”(或为“0”), 而其他所有各路序列脉冲的输出电平均为“0”(或均为“1”)。换句话说, 顺序脉冲发生器是在系统时钟的作用下, 按时钟周期输出的多路节拍控制脉冲, 所以也称它为节拍脉冲发生器。图 7.87 所示为一个具有 4 路输出的顺序脉冲发生器的逻辑符号及与之相对应的时钟和输出波形, 其中图(a)是输出高电平有效; 图(b)是输出低电平有效。从图 7.87 的波形图可以看出: 顺序脉冲发生器的输出端路数与电路所具有的有效状态数相一致, 即: 电路有几路输出, 它就需要有几个有效状态。

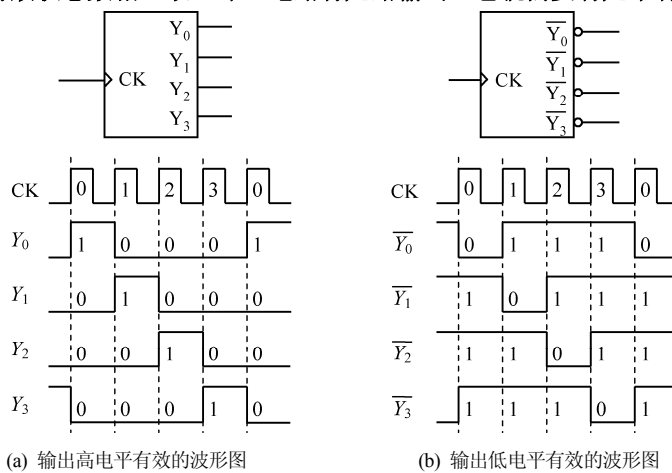


图 7.87 4 路输出顺序脉冲发生器的逻辑符号和波形图

<sup>①</sup> 例如第 6 章介绍的“脉冲反馈型计数器”。

顺序脉冲发生器是数控系统中常见的电路。它被广泛应用于时分多路通信系统、计算机的CPU系统及各种数字控制系统中。实现顺序脉冲发生器的电路形式多种多样，但归纳起来，正如前面所述，可分为两大类——计数型和移存型。

### (1) 移存型顺序脉冲发生器

仔细观察一下图7.87所示的4路输出顺序脉冲发生器的输出波形，我们发现它与图7.80所示的4位环形计数器的循环I、循环II输出波形一模一样。这说明环形计数器本身就是一种实现顺序脉冲发生器的电路，其输出信号可直接作为节拍信号，不需要附加任何译码电路。我们看到，这种顺序脉冲发生器所输出的节拍信号的路数与环形计数器所用的触发器个数是一样的，即：有几路节拍信号的输出，就需要用几个触发器。这与环形计数器状态利用率低及顺序脉冲发生器的输出端路数和电路的状态数一致的结论相吻合。所以随着节拍数的增多，此电路将用掉大量的触发器，因此它只适用于节拍数较少的应用场合。

扭环形计数器的状态利用率比环形计数器提高了一倍，但是它的输出不能直接用做节拍信号，其输出需要附加译码器才能得到所需的节拍信号。然而由于扭环形计数器在计数状态改变时仅有一个触发器翻转（用类似于图7.82的循环I作为有效循环），所以它的输出译码逻辑会相对较为简单，而且译码器的输出无毛刺。

图7.88所示为一个由三位扭环形计数器和译码器所构成的顺序脉冲发生器，其中图(a)是逻辑图，图(b)是对应的波形图。

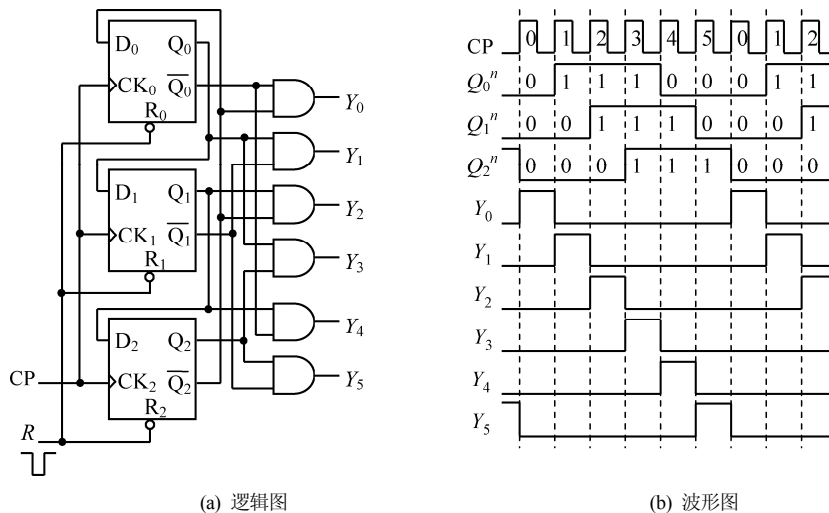


图 7.88 扭环形顺序脉冲发生器

由于三位扭环形计数器的有效状态个数为  $2 \times 3 = 6$ ，所以这个顺序脉冲发生器可以有6路节拍信号输出。以扭环形计数器的状态编码为自变量、6路节拍信号的输出为函数，可以列出描述输出译码器逻辑的真值表，如表7.40所示。

根据真值表可列出译码器6路输出函数的逻辑表达式（注意利用约束项）如下：

$$Y_0 = \sum m(0, 2) = \bar{Q}_2^n \bar{Q}_0^n ;$$

$$Y_1 = \sum m(1, 5) = \bar{Q}_1^n Q_0^n ;$$

$$Y_2 = \sum m(3, 2) = \bar{Q}_2^n Q_1^n ;$$

$$Y_3 = \sum m(7, 5) = Q_2^n Q_0^n ;$$

$$Y_4 = \sum m(6,2) = Q_1^n \bar{Q}_0^n ;$$

$$Y_5 = \sum m(4,5) = Q_2^n \bar{Q}_1^n .$$

用扭环形计数器加译码器而构成的顺序脉冲发生器应用较广泛，而且有现成的集成电路产品，如CD4022 八进制计数/分配器、CD4017 十进制计数/分配器等。

表 7.40 扭环形计数器输出译码器逻辑真值表

$Q_2^n$	现态 $Q_1^n$	$Q_0^n$	$Y_0$	$Y_1$	$Y_2$	$Y_3$	$Y_4$	$Y_5$
0	0	0	1	0	0	0	0	0
0	0	1	0	1	0	0	0	0
0	1	1	0	0	1	0	0	0
1	1	1	0	0	0	1	0	0
1	1	0	0	0	0	0	1	0
1	0	0	0	0	0	0	0	1
0	1	0	x	x	x	x	x	x
1	0	1	x	x	x	x	x	x

## (2) 计数型顺序脉冲发生器

如前所述，顺序脉冲发生器的输出端路数与电路所具有的有效状态数是一样的，发生器的输出端路数越多，则要求电路所具有的状态数也越多，电路所用的触发器个数就越多。而用环形或扭环形计数器所实现的顺序脉冲发生器虽然具有电路结构简单的优点，但它们的共同缺点是状态利用率低（尽管扭环形计数器比环形计数器的状态利用率提高了一倍）。为了克服这个缺点，人们自然会考虑用二进制编码计数器加译码器的方式来实现顺序脉冲发生器，这样就可以达到最大限度地提高状态利用率，图 7.89 所示为这种顺序脉冲发生器的一般框图。从图中可以看出，计数器的模  $M$  与译码器的输出端数是一样的。

图 7.90(a)所示为一个计数型顺序脉冲发生器的实例逻辑图。

图中采用的计数器是中规模集成电路 (MSI) 74161，这是一个 4 位模 16 ( $2^4$ ) 同步二进制计数器。在本应用中只用到了该计数器的低三位计数输出  $Q_C Q_B Q_A$ ，也就是说，将此计数器当做一个三比特的模 8 ( $2^3$ ) 同步二进制计数器来使用。图中的译码器也是一个中规模集成电路 74138，它是一个 3-8 译码器，输出低电平有效。模 8 计数器的状态编码输出端连接到译码器的译码输入端上，于是计数器的每一个状态编码都对应着译码器的一路输出（低电平有效），这样就构成了一个 8 路输出的顺序脉冲发生器。其时钟与输出的波形图如图 7.90(b)的“波形图 1”所示。

注意：“波形图 1”是对于图 7.90(a)逻辑图中的开关 S 位于逻辑“0”时的波形图，即：此时译码器的使能端 “ $E_{2B}$ ” 接逻辑“0”电平。需要强调的一点是：“波形图 1”是一个理想化的波形图，实际上，在译码输出端  $Y_0 \sim Y_7$  上是有译码噪声（“毛刺”）存在的。出现译码噪声的原因是：当自然二进制计数器的计数状态改变时，有时会出现两个或两个以上的触发器同时翻转的情形，由于各触发器翻转速度的不一致性，于是就不可避免地会在计数器的输出端 ( $Q_C Q_B Q_A$ ) 上出现“过渡性”状态编码，这些“过渡性”的编码也会被译码器所“译码”，其结果就是在译码输出端上（顺序脉冲发生器的输出）出现瞬间的毛刺——译码噪声。

为了避免译码噪声的出现，将图 7.90(a)逻辑图中的开关 S 拨到时钟 CP 端，即：由时钟 CP 来控制（“选通”）译码器的使能端 “ $E_{2B}$ ”。这样一来，当时钟的上升沿到来时，计数器的计数状态将发生

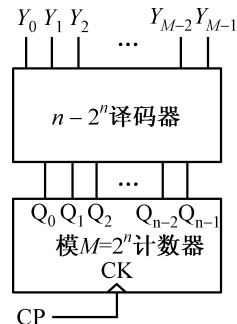


图 7.89 顺序脉冲发生器的一般框图

变化（各触发器翻转）；而与此同时，在时钟的上升沿及随后到来的时钟高电平期间，使能端“ $E_{2B}$ ”的输入无效，译码器的输出被禁止（输出高电平）。这样就避开了因各触发器的翻转而出现的“过渡性”状态编码对译码器输出信号的影响。而当时钟的下降沿到来时，各触发器早已翻转完毕，此时计数器的输出是一个稳定的状态编码信号；而在时钟的下降沿及随后到来的时钟低电平期间，使能端“ $E_{2B}$ ”的输入有效，允许译码器对稳定的状态编码信号进行译码。于是译码器的输出端上就会出现无毛刺的、真实的状态译码信号，如图 7.90(c)的“波形图 2”所示。由此图可以看出：顺序脉冲发生器各路输出信号  $Y_0 \sim Y_7$  的低电平脉冲（它是低有效的输出信号）宽度较之“波形图 1”的低电平脉冲宽度缩短了一半，是半个时钟周期。但这丝毫不会影响顺序脉冲发生器的正常功能。

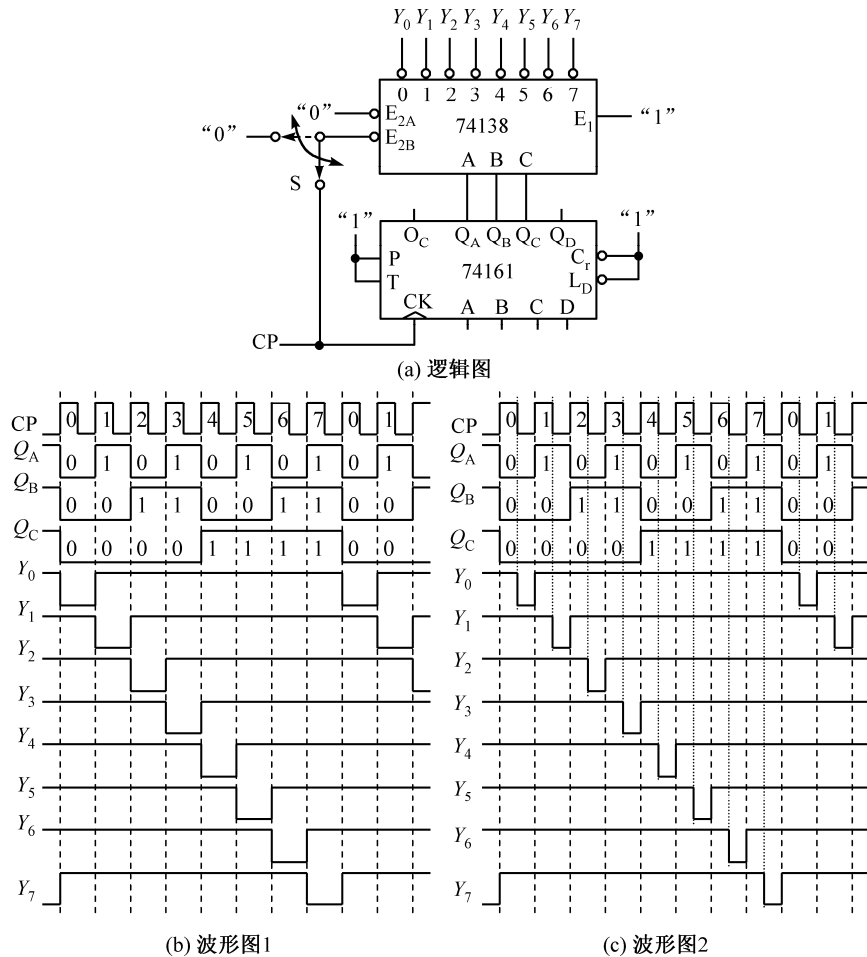


图 7.90 计数型顺序脉冲发生器

## 2. 一般序列信号发生器

一般序列信号发生器的框图如图 7.91(a)所示。它的输入信号只有一个，那就是时钟信号  $CP$ ；输出信号一般也只有一个（一路）<sup>①</sup>，即：序列输出。其实，这就是一个无外输入信号的摩尔型状态机。同步序列信号发生器所输出的这个“序列”实际上就是“0”、“1”信号的某种固定的组合排列，也叫

<sup>①</sup> 有时也有多个（多路）输出的情形，如“顺序脉冲发生器”。

做“图案”(Pattern)。这些“0”、“1”信号与时钟CP是同步的；而且它们组合排列的长度(比特数)是有限的，通常称这个长度为序列长度，用字母L表示；随着时钟的进行，这个“0”、“1”的固定组合排列以其长度L为周期而循环重复地出现，故也称L为序列周期。所以序列信号是一种有限长的周期性信号。例如：图7.91(a)中的序列信号发生器输出一个“0”、“1”序列“1110010”。于是，Y输出端出现的“0”、“1”信号将会是如下的排列：

… 1110010 1110010 1110010 1110010 …

其波形图如图7.91(b)所示，可以看出该序列以“1110010”为周期而循环出现，且它与时钟是同步的。所以这个序列的长度或周期就是7，即：L=7。

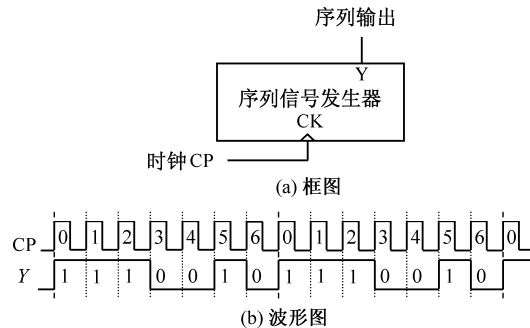


图7.91 一般序列信号发生器的框图与波形图

图7.91(b)的波形图还表明：一个输出序列长度为L的序列信号发生器应该具有L个有效状态，即：它应该是一个模为L的计数器。因此，用以实现序列信号发生器的电路方案就会有多种多样，但最终可以把它们归纳为两大类：移存型序列信号发生器和计数型序列信号发生器。而计数型序列信号发生器又被分成两种：状态编码型(State Encoded)，也叫做直接逻辑型序列信号发生器；状态解码型(State Decoded)，也叫做间接逻辑型序列信号发生器。

### (1) 移存型序列信号发生器

#### ① 结构与特点

移存型序列信号发生器实际上就是7.4.2节中所讲的移存型计数器，其框图就如图7.77所示，因此它的结构组成同样是移存器加反馈网络。其反馈逻辑方程就是第0级触发器的驱动方程，它是各现态变量的逻辑函数，即： $D_0 = f(Q_0, Q_1, Q_2, \dots, Q_{k-1})$ 。而其他各级触发器的驱动方程均为如下形式：

$$D_i = Q_{i-1} \quad (i = 1 \sim k-1)$$

图7.92(a)所示为一个三位移存型序列信号发生器的逻辑图，其反馈逻辑方程和各触发器的状态/驱动方程如下。

反馈逻辑方程：

$$D_0 = \overline{Q_2^n} \oplus (Q_1^n \bar{Q}_0^n);$$

状态/驱动方程：

$$Q_0^{n+1} = D_0 = \overline{Q_2^n} \oplus (Q_1^n \bar{Q}_0^n);$$

$$Q_1^{n+1} = D_1 = Q_0^n;$$

$$Q_2^{n+1} = D_2 = Q_1^n.$$

根据状态方程可列出该序列信号发生器的状态顺序表，如表7.41所示。所谓状态顺序表，就是以时钟周期为节拍顺序，将电路状态自上而下地排列起来的表格，一般简称为态序表。在态序表中，现

态与次态的排列关系是：某一行上的状态相对于其下一行的状态来讲是现态；而相对于其上一行的状态来讲就是次态。

表 7.41 三位移存型序列信号发生器态序表

CP 顺序	$Q_2^n Q_1^n Q_0^n$	等效十进制数
0	0 0 0	0
1	0 0 1	1
2	0 1 1	3
3	1 1 1	7
4	1 1 0	6
5	1 0 1	5
6	0 1 0	2
7	1 0 0	4
8	0 0 0	0

根据态序表，可画出序列信号发生器的状态图和波形图，如图 7.92(b)、(c)所示。

由状态图可看出：该电路是一个模 8 移存型计数器，而从波形图和态序表来看，此电路在时钟 CP 的作用下，三个触发器的输出端  $Q_2^n$ 、 $Q_1^n$  和  $Q_0^n$  所输出的序列（Pattern）相同，都是“00011101”，它们的差异仅仅是起始相位不同。序列长度  $L=8$ 。

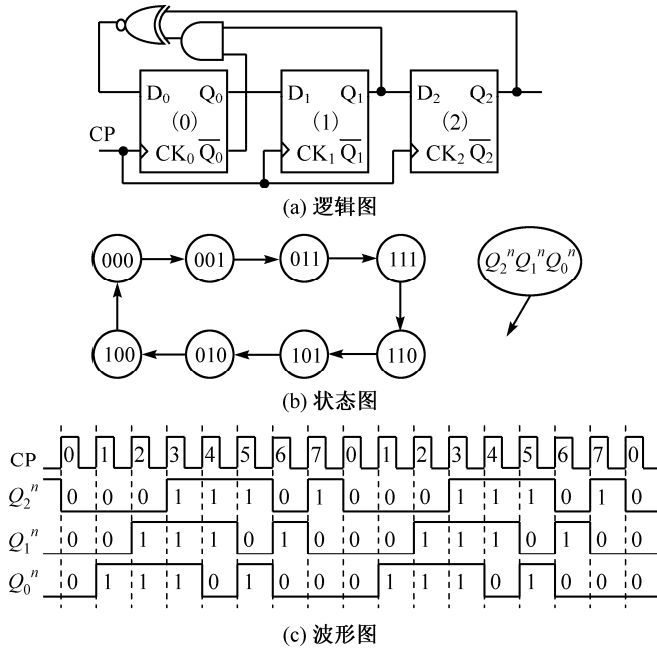


图 7.92 三位移存型序列信号发生器

由此例可得出如下两点结论：

- 移存型序列信号发生器实质上就是移存型计数器，其序列周期  $L$  等于计数器的模数  $M$ ；
  - 由于移存器各位触发器所输出的序列信号相同，仅起始相位不同，通常只取某一个触发器的输出端  $Q_i^n$  ( $i=0 \sim k-1$ ) 作为序列信号的输出。
- ② 移存型序列信号发生器的设计

根据给定的序列要求设计移存型序列信号发生器的实质就是要设计一个模为给定序列周期（长

度)的移存型计数器。但是该移存型计数器的状态转换顺序不但要满足给定输出序列的要求,而且还要符合移位的规律。所以,设计移存型序列信号发生器的关键就是确定移存型计数器的位数(所用触发器的个数)和它的状态转换顺序。设计的大致步骤如下:

- 根据给定序列的长度或周期  $L$  确定移存型计数器的模数  $M = L$ ;
- 由计数器的模  $M$  初步确定所用触发器的个数  $k$ , 即:  $k = [\log_2 M] + 1 = [\log_2 L] + 1$ 。注意,此时的  $k$  值仅仅是一个初步确定的数值。实际的  $k$  值要根据所产生序列信号的具体“内容”而定;
- 按照输出序列的要求同时又遵从移位的规律来确定状态的编码及其转换顺序,列出态序表。在此过程中,最后确定实际的  $k$  值;
- 根据态序表画出次态卡诺图并进而画出第 0 级触发器的次态卡诺图;
- 导出第 0 级触发器的驱动方程——反馈逻辑方程。验证所设计的移存型计数器的自启动性。若不能自启动,则需重新在第 0 级触发器的次态卡诺图上进行“圈组合并”,以期导出新的、能使电路自启动的反馈逻辑方程。

**【例 7.28】** 设计一个产生序列信号“101100”的移存型序列信号发生器。

解: (1) 根据给定序列要求确定序列周期  $L$

因为给定序列为“101100”, 所以确定  $L = 6$ 。

(2) 初步确定触发器个数  $k$

因为  $k = [\log_2 L] + 1$ , 所以  $k = [\log_2 6] + 1$ , 故取  $k = 3$ 。

(3) 确定实际的  $k$  值, 列出态序表

首先遵循移位的规律对给定序列按  $k$  (3) 位为一组取出码元作为状态编码, 依次取出  $L$  (6) 组—— $L$  个状态编码, 其过程如图 7.93 左边所示。分析所得到的  $L$  个状态编码, 若编码有重复, 则令  $k$  加 1, 再按新的  $k$  值重新从给定序列中取出码元作为状态编码, ……, 这个过程一直进行到  $L$  个状态编码彼此独立(互不重复)为止。此时的  $k$  值即为移存型计数器所需触发器的真正个数。本例所得到的  $L$  (6) 个状态编码, “101”、“011”、“110”、“100”、“001”和“010”, 彼此互不重复, 故确定  $k = 3$ , 然后根据所得到的  $L$  个状态编码列出相应的态序表, 如图 7.93 右边所示。

L 组 状 态 编 码	状态编码 序号	序列信号码元								状态顺序表					
		1	0	1	1	0	0	1	0	1	1	0	0	$Q_2^n Q_1^n Q_0^n$	等效十进制数
0	1	0	1							1	0	1		5	0
	2		0	1	1					0	1	1		3	1
	3			1	1	0				1	1	0		6	2
	4				1	0	0			1	0	0		4	3
	5					0	0	1		0	0	1		1	4
	6						0	1	0	0	1	0		2	5
							1	0	1	1	0	1		5	6
$k$ 位码															

图 7.93 移存计数器状态编码提取过程及对应的状态顺序表

(4) 根据态序表画出次态卡诺图

按照态序表所列的状态转换顺序画出次态卡诺图, 如图 7.94(a)所示。

如前所述, 确定移存型计数器的驱动方程时, 只需确定第 0 级触发器的驱动方程就够了。因此, 由次态 K 图画出第 0 级触发器次态  $Q_0^{n+1}$  的卡诺图, 如图 7.94(b)所示。圈组合并  $Q_0^{n+1}$  的卡诺图, 得到第 0 级触发器的驱动方程——反馈逻辑方程为:

$$D_0 = Q_0^{n+1} = Q_2^n \bar{Q}_1^n + \bar{Q}_2^n \bar{Q}_0^n$$

实际上,熟练以后可以直接根据态序表画出图7.94(b)所示的 $Q_0^{n+1}$ 的卡诺图,而无须先画出图7.94(a)所示的次态K图。但是在由态序表直接画出 $Q_0^{n+1}$ 的卡诺图时要十分小心,即:态序表中每一行的状态编码所对应的卡诺图小格中的内容是其下一行状态编码的 $Q_0^n$ 值。

### (5) 验证自启动性

本移存型计数器有两个无效状态“000”和“111”,按照移位的规律并在 $Q_0^{n+1}$ 的卡诺图上运用“任意项取值原理”可以迅速地判断这两个无效状态的次态分别为:“001”和“110”。当然,利用反馈逻辑方程也可以确定这两个无效状态的次态。于是可画出该移存型计数器完整的状态图,如图7.94(c)所示。

根据反馈逻辑方程,就可以画出这个移存型计数器——所设计的移存型序列信号发生器的逻辑图,如图7.94(d)所示。

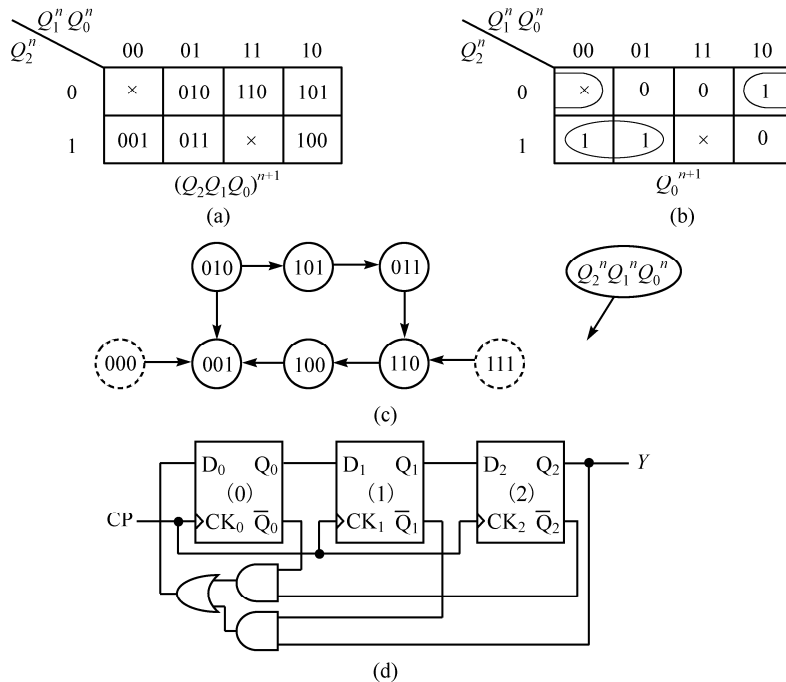


图7.94 “101100”序列信号发生器的设计

**【例7.29】** 设计一个移存型序列信号发生器,要求它能产生“10100”的输出序列信号。

解: (1) 根据给定的序列确定序列周期 $L$

因为给定序列为“10100”,所以确定 $L=5$ 。

(2) 初步确定触发器个数 $k$

因为 $k=[\log_2 L]+1$ ,所以 $k=[\log_2 5]+1$ ,故取 $k=3$ 。

(3) 确定实际的 $k$ 值,列出态序表

先按3位为一组取出给定序列的码元作为状态编码,共取5个状态编码,如图7.95左边所示。

可以看出,所得到的5个状态编码不完全独立。当取到第5个状态码时出现“010”重复,因此需增加状态码元的位数,即令 $k$ 加1。按 $k+1=4$ 位重新从给定序列中取出码元作为状态编码,如图7.96左边所示。

组 状 态 编 码	状态编码 序号	序列信号码元								状态顺序表		
		1	0	1	0	0	1	0	1	0	$Q_2^n Q_1^n Q_0^n$	等效十进制数
4 组 状 态 编 码	0	1	0	1						1 0 1	5	0
	1		0	1	0					0 1 0	2	1
	2			1	0	0				1 0 0	4	2
	3				0	0	1			0 0 1	1	3
	4					0	1	0		0 1 0	2	4

3 位码

图 7.95 按 3 位码元提取状态编码过程及所对应的态序表

组 状 态 编 码	状态编码 序号	序列信号码元								状态顺序表		
		1	0	1	0	0	1	0	1	0	0	$Q_3^n Q_2^n Q_1^n Q_0^n$
5 组 状 态 编 码	0	1	0	1	0					1 0 1 0	10	0
	1		0	1	0	0				0 1 0 0	4	1
	2			1	0	0	1			1 0 0 1	9	2
	3				0	0	1	0		0 0 1 0	2	3
	4					0	1	0	1	0 1 0 1	5	4
	5						1	0	1	0	1 0 1 0	10

4 位码

图 7.96 按 4 位码元提取状态编码过程及所对应的状态顺序表

新的 5 个状态编码为：“1010”、“0100”、“1001”、“0010”和“0101”，彼此完全独立，故确定  $k=4$ 。其态序表如图 7.96 右边所示。

#### (4) 根据态序表画出次态卡诺图

由态序表画出次态卡诺图，并进而画出  $Q_0^{n+1}$  的卡诺图，分别如图 7.97(a)、(b)所示。圈组合并  $Q_0^{n+1}$  的卡诺图，得到反馈逻辑方程为：

$$D_0 = Q_0^{n+1} = \bar{Q}_3^n \bar{Q}_0^n = \overline{Q_3^n + Q_0^n}$$

#### (5) 验证自启动性

本例中无效状态较多，共有 11 个。遵循移位的规律并在  $Q_0^{n+1}$  的卡诺图上运用“任意项取值原理”可以迅速地判断出这些无效状态的次态，进而画出该移存型计数器的完整状态图，如图 7.97(c)所示。

采用通用的移位寄存器集成电路 74194 作为本信号发生器的移位寄存器，根据反馈逻辑方程，再附加一个“或非”门，于是可画出所设计的移存型序列信号发生器的逻辑图，如图 7.97(d)所示。

#### (3) 一种特殊的移存型序列信号发生器——m 序列信号发生器

m 序列信号发生器是一种特殊形式的移存型序列信号发生器。它也是由移位寄存器加反馈组合网络所构成的。它的特殊性就在于：其基本反馈网络完全是由“异或”逻辑构成的。这样构成的移存型计数器所产生的序列叫做 m 序列，m 序列也称为最长线性序列。

一个  $k$  位（级）m 序列信号发生器是由  $k$  位移位寄存器加“异或”逻辑反馈网络所构成的，它所产生的序列周期为  $L = 2^k - 1$ 。m 序列信号发生器反馈网络的构成已经定型，表 7.42 所示为部分  $k$  位（级）m 序列信号发生器的反馈逻辑方程及所对应的序列周期。注意：对于同一个序列周期，可以有多种反馈形式，表中只列出了一种。

m 序列信号发生器的设计很简单，其反馈方程的逻辑表达式可通过查表 7.42 而得到。

例如：要设计一个能产生序列长度  $L = 7$  的 m 序列信号发生器，则通过查表知  $k = 3$ ，反馈逻辑方程为：

$$D_0 = Q_2^n \oplus Q_1^n$$

根据此反馈逻辑方程可画出3位m序列信号发生器的逻辑图，如图7.98(a)所示。图7.98(b)、(c)所示为它所对应的状态图和波形图。该电路的输出序列为：“1110010”，“1110010”……

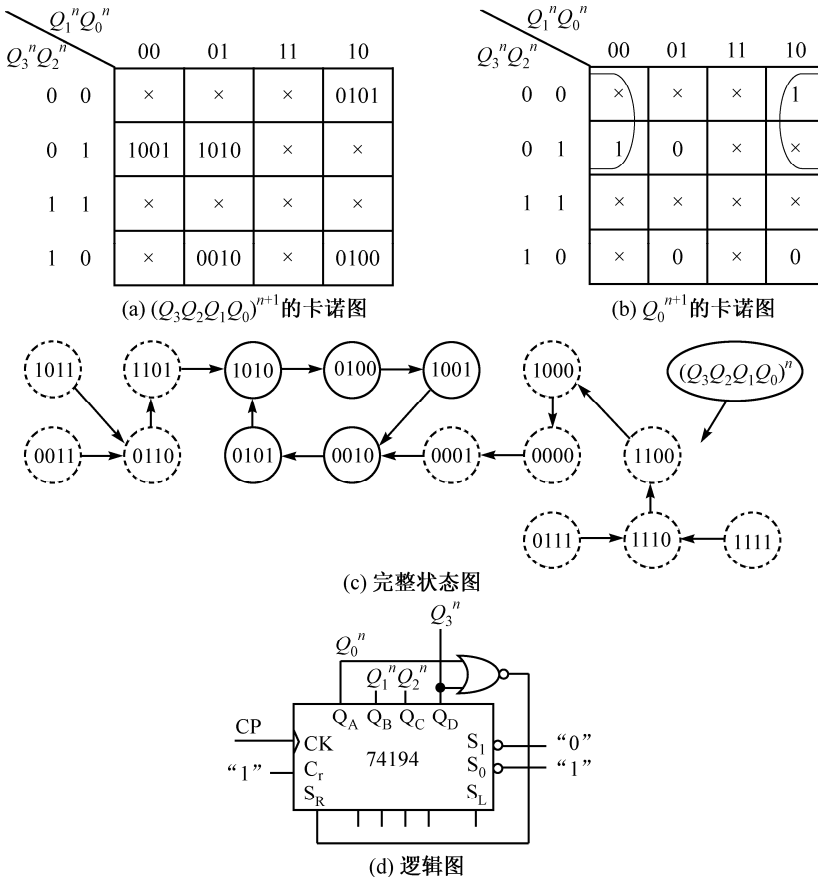


图7.97 “10100”序列信号发生器的设计

表7.42 k位m序列信号发生器反馈逻辑方程及所对应的序列周期

位数 $k$	反馈逻辑方程 $D_0$	序列周期 $L$
3	$Q_2^n \oplus Q_1^n$	7
4	$Q_3^n \oplus Q_2^n$	15
5	$Q_4^n \oplus Q_3^n$	31
6	$Q_5^n \oplus Q_4^n$	63
7	$Q_6^n \oplus Q_5^n$	127
8	$Q_7^n \oplus Q_3^n \oplus Q_2^n \oplus Q_1^n$	255
9	$Q_8^n \oplus Q_4^n$	511
10	$Q_9^n \oplus Q_6^n$	1023
11	$Q_{10}^n \oplus Q_8^n$	2047
12	$Q_{11}^n \oplus Q_{10}^n \oplus Q_7^n \oplus Q_5^n$	4095

从图7.98(b)所示的状态图可以看出：该电路实际上是一个不能自启动的移存型计数器，全0状态“000”是个孤立的无效状态。为了让这个3位m序列信号发生器能够自启动，需要在反馈逻辑方程中加上“全0校正项”—— $\bar{Q}_2^n \bar{Q}_1^n \bar{Q}_0^n$ ，即：

$$D_0 = (Q_2^n \oplus Q_1^n) + \bar{Q}_2^n \bar{Q}_1^n \bar{Q}_0^n = (Q_2^n \oplus Q_1^n) + \bar{Q}_2^n \bar{Q}_0^n$$

这样，电路就能够实现自启动了。

图 7.99(a)所示为一个能自启动的 3 位 m 序列信号发生器的逻辑图；图 7.99(b)所示为它所对应的完整状态图。

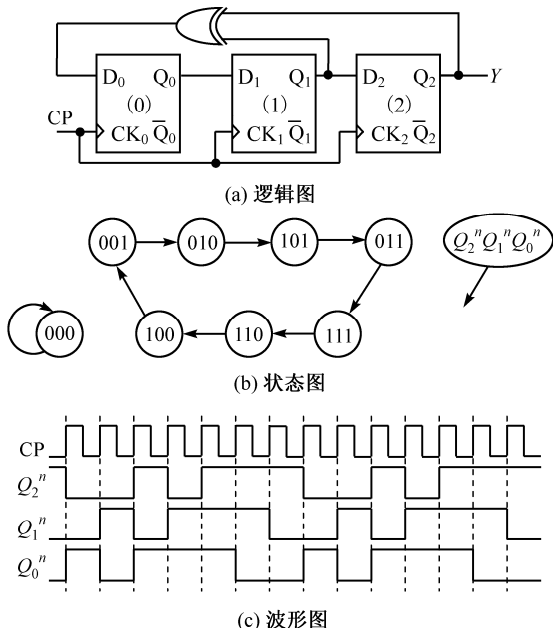


图 7.98 3 位 m 序列信号发生器

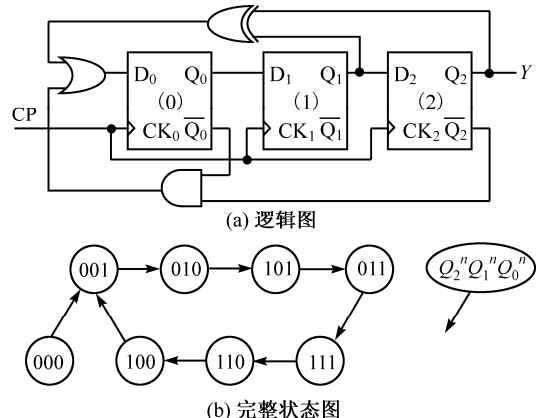


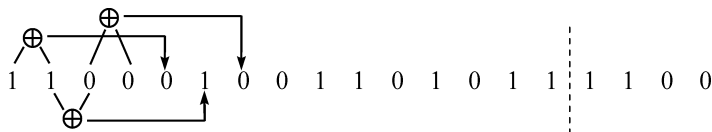
图 7.99 能自启动的 3 位 m 序列信号发生器

我们知道：一个  $k$  位的 m 序列信号发生器所产生的序列周期为  $L = 2^k - 1$ ，即：它有  $2^k - 1$  个有效状态；而一个  $k$  位的移存型计数器应该有  $2^k$  个状态。这就是说一个  $k$  位的 m 序列信号发生器注定要有一个无效的状态。根据表 7.42 所示的反馈逻辑方程和“移位”的规律可以断定：这个无效的状态就是“全 0 状态”——“000…0”。因此，要想设计一个能够自启动的  $k$  位 m 序列信号发生器，就必须在表 7.42 所示的反馈逻辑方程中加（“或”）上一个“全 0 校正项”—— $\bar{Q}_{k-1}^n \bar{Q}_{k-2}^n \dots \bar{Q}_1^n \bar{Q}_0^n$ 。图 7.99 所示的可自启动的 3 位 m 序列信号发生器正好说明了这一点。

再比如：要设计一个能产生序列长度  $L=31$  的 m 序列信号发生器。通过查表 7.42 确定  $k=5$ ，再得到相应于  $L=31$  ( $k=5$ ) 的“异或”型反馈逻辑并加上“全 0 校正项”，于是得到所需的反馈逻辑方程为：

$$D_0 = (Q_4^n \oplus Q_2^n) + \bar{Q}_4^n \bar{Q}_3^n \bar{Q}_2^n \bar{Q}_1^n \bar{Q}_0^n = (Q_4^n \oplus Q_2^n) + \bar{Q}_4^n \bar{Q}_3^n \bar{Q}_1^n \bar{Q}_0^n = (Q_4^n \oplus Q_2^n) + \bar{Q}_3^n \bar{Q}_2^n \bar{Q}_1^n \bar{Q}_0^n$$

若要写出某 m 序列信号发生器的输出序列，则需利用它的反馈逻辑方程。例如：要写出一个  $L=15$  的 m 序列。此时  $k=4$ ， $D_0 = (Q_3^n \oplus Q_2^n) + \bar{Q}_2^n \bar{Q}_1^n \bar{Q}_0^n$ 。于是 m 序列的具体写法如下：先按  $Q_3^n Q_2^n Q_1^n Q_0^n$  的顺序写下任意一个非“全 0”的状态信号，比如说“1100”作为序列开始的头 4 位（比特）信号；然后将  $Q_3^n$ （“1”）和  $Q_2^n$ （“1”）相“异或”的结果“0”写到“1100”的右侧，即：序列变成了“11000”；之后，右移一位以“1000”为  $Q_3^n Q_2^n Q_1^n Q_0^n$ ，再将  $Q_3^n$ （“1”）和  $Q_2^n$ （“0”）相“异或”，其结果“1”写到“1000”的右侧，此时序列信号变成了“110001”，……，这个过程一直继续到序列中再次出现“1100”时为止。其示意图如下：



如此，前  $L$  (位) 的信号就是所求的  $m$  序列。

$m$  序列信号有以下三个主要特点。

- $m$  序列为最长线性序列，它的序列长度为  $L = 2^k - 1$ 。
- 序列中出现“0”、“1”的概率几乎相等（“1”比“0”多一个），而且“0”、“1”的分布无规律。这一特性接近于白噪声的随机特性，故称  $m$  序列为**伪随机序列**。正是由于  $m$  序列所具有的伪随机特性，从而使它在通信、雷达和系统可靠性测试方面获得了广泛的应用。
- 序列中连续出现“1”的个数为  $k$ 、连续出现“0”的个数为  $k-1$ 。这很自然，例如：当  $k=4$  时，如果以“1111”这个  $Q_3^n Q_2^n Q_1^n Q_0^n$  的非“全0”状态信号为开端来写出  $m$  序列，就会发现这一特点。

另外，利用  $m$  序列信号发生器同样可以产生  $L < 2^k - 1$  的序列信号（即实现  $M < 2^k - 1$  的计数器）。实现的方法，正如例 7.27 所述的那样，通过修改反馈逻辑以跳过若干状态来达到截短序列长度（缩小计数器模）的目的。但此时要注意的是：跳过若干状态以后，计数器状态编码的转换要符合移存型计数器的移位规律。

## (2) 计数型序列信号发生器

如前所述，计数型序列信号发生器分为两大类：状态编码（直接逻辑）型和状态解码（间接逻辑）型。**此类序列信号发生器的本质就是 7.4.1 节中所介绍的同步计数器**，它们都是摩尔型的状态机。

### ① 状态编码型（State Encoded）<sup>①</sup>序列信号发生器的设计

状态编码型序列信号发生器的特点是：**计数器状态编码中的某一位（某一个触发器的  $Q$  端）输出所要求的序列信号**。所以，如果要产生一个长度（周期）为  $L$  的序列信号，则序列信号发生器必须有  $L$  个有效状态，只不过状态编码中的某一位（比特）信号的输出要符合给定序列的顺序要求。

因此，状态编码型序列信号发生器的基本设计思想是：**设计一个模为  $L$  的计数器且计数器状态编码中的某一位输出与给定序列相吻合**。所以这种序列信号发生器实际上就是一种无外输入信号  $X^n$ 、无“输出组合逻辑  $F$ ”的特殊形式摩尔型状态机，其结构框图如图 7.100 所示。图中  $Q_i^n$  是某一位状态变量，它所输出的比特序列与所要求的给定序列相吻合。所以令序列信号发生器的输出为  $Z_i^n = Q_i^n$ 。

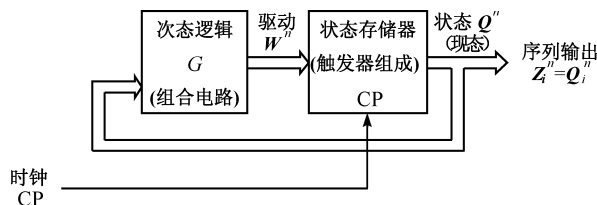


图 7.100 特殊形式摩尔型状态机——状态编码型序列信号发生器结构框图

按照上述的设计思想，可以归纳出状态编码型序列信号发生器的设计步骤如下：

- 根据给定序列的长度或周期  $L$  确定计数器的模  $M$  为  $M=L$ ；
- 由计数器的模  $M$  确定所用触发器的个数  $k$ ，即： $k = [\log_2 M] + 1 = [\log_2 L] + 1$ ；
- 任意规定某一个触发器的输出  $Q_i^n$  ( $i=0 \sim k-1$ ) 作为序列的输出端，然后按给定序列列出部分态序表（态序表的一列）；
- 分配其余  $k-1$  个状态变量的状态编码，以最终完成态序表。原则上，这些状态编码可以任意地安排，但前提是：**最终形成的  $L$  个状态编码必须相互独立、彼此互不重复**，当然，如果状态编码分配得好，可有助于简化状态机的组合逻辑；

<sup>①</sup> 以状态信号直接作为输出信号的摩尔型状态机，叫做“状态编码型”（State Encoded）状态机。

- 根据态序表画出次态卡诺图，并进而导出各级触发器的驱动方程；
- 验证所设计的计数器的自启动性。若不能自启动，则需修改次态卡诺图上的“圈组合并”，重新导出能使电路自启动的驱动方程组。

**【例 7.30】** 设计一个状态编码型序列信号发生器，要求它所产生的序列信号为“1110010”。

表 7.43 态序表

CP 顺序	Q <sub>2</sub> <sup>n</sup>	Q <sub>1</sub> <sup>n</sup>	Q <sub>0</sub> <sup>n</sup>	等效十进制数
0	1	0	0	4
1	1	0	1	5
2	1	1	1	7
3	0	1	1	3
4	0	1	0	2
5	1	1	0	6
6	0	0	0	0
7	1	0	0	4

解：(1) 根据给定的序列确定序列周期  $L$

因为给定序列为“1110010”，所以确定  $L=7$ 。

(2) 确定触发器个数  $k$

因为  $k=[\log_2 L]+1$ ，所以  $k=[\log_2 7]+1$ ，故取  $k=3$ 。

(3) 任意规定某个  $Q_i^n$  为序列输出端

我们可以任意地选取某个触发器的输出端  $Q_i^n$  ( $i=0 \sim 2$ ) 作为序列的输出端，比如选定  $Q_2^n$  为序列的输出端。

于是根据给定序列就可列出部分态序表，如表 7.43 (加黑色字符) 所示。

#### (4) 分配其余状态变量的状态编码

由于已经确定  $Q_2^n$  为序列的输出端，因此余下的状态变量  $Q_1^n Q_0^n$  的编码原则上可以任意地安排，只要最终形成的 7 个状态编码不重复就行。这样一来，符合给定序列输出的态序表就有可能有多种，而表 7.43 仅仅是其中的一种态序表。在安排  $Q_1^n Q_0^n$  的状态编码时，应尽量使总状态编码  $Q_2^n Q_1^n Q_0^n$  的相邻码字之间只有一位码元(比特)不同，而其余码元均相同，如表 7.43 (浅灰色字符) 所示。

#### (5) 根据态序表画出次态卡诺图

由态序表画出次态卡诺图，并进而画出  $Q_2^{n+1}$ 、 $Q_1^{n+1}$  和  $Q_0^{n+1}$  的卡诺图，分别如图 7.101(a)、(b)、(c) 和(d)所示。

如果用 JK 触发器来实现电路，则“圈组合并”各次态的卡诺图，得到电路的逻辑方程组如下。

状态方程组：

$$Q_2^{n+1} = \bar{Q}_0^n \bar{Q}_2^n + \bar{Q}_1^n Q_2^n$$

$$Q_1^{n+1} = Q_0^n \bar{Q}_1^n + (\bar{Q}_2^n + Q_0^n) Q_1^n$$

$$Q_0^{n+1} = Q_2^n \bar{Q}_1^n \bar{Q}_0^n + Q_2^n Q_0^n$$

驱动方程组：

$$J_2 = \bar{Q}_0^n, \quad J_1 = Q_0^n, \quad J_0 = Q_2^n \bar{Q}_1^n$$

$$K_2 = Q_1^n, \quad K_1 = \bar{Q}_2^n + Q_0^n = Q_2^n \bar{Q}_0^n, \quad K_0 = \bar{Q}_2^n$$

#### (6) 验证自启动性

在  $Q_2^{n+1}$ 、 $Q_1^{n+1}$  和  $Q_0^{n+1}$  的卡诺图上运用“任意项取值原理”可以迅速地判断无效状态“001”的次态为“010”。于是该计数器的完整状态图如图 7.101(e)所示。

#### (7) 画出逻辑图

根据驱动方程组可画出此状态编码型序列信号发生器的逻辑图如图 7.101(f)所示。

#### ② 状态解码型 (State Decoded)<sup>①</sup> 序列信号发生器的设计

状态解码型序列信号发生器的基本设计思想是：先设计一个模为给定序列周期  $L$  的计数器，该计数器的状态编码和状态转换顺序不受任何限制，可以任意地设置。然后再设计一个译码器(组合电路)

① 状态信号经过某组合电路变换(解码)后作为输出信号的摩尔型状态机，叫做“状态解码型”(State Decoded)状态机。

对计数器的各状态编码输出进行译码，令译码器的输出与给定序列相符合。这种设计思想与计数型顺序脉冲发生器（图 7.89）的设计思想在本质上是完全一致的。

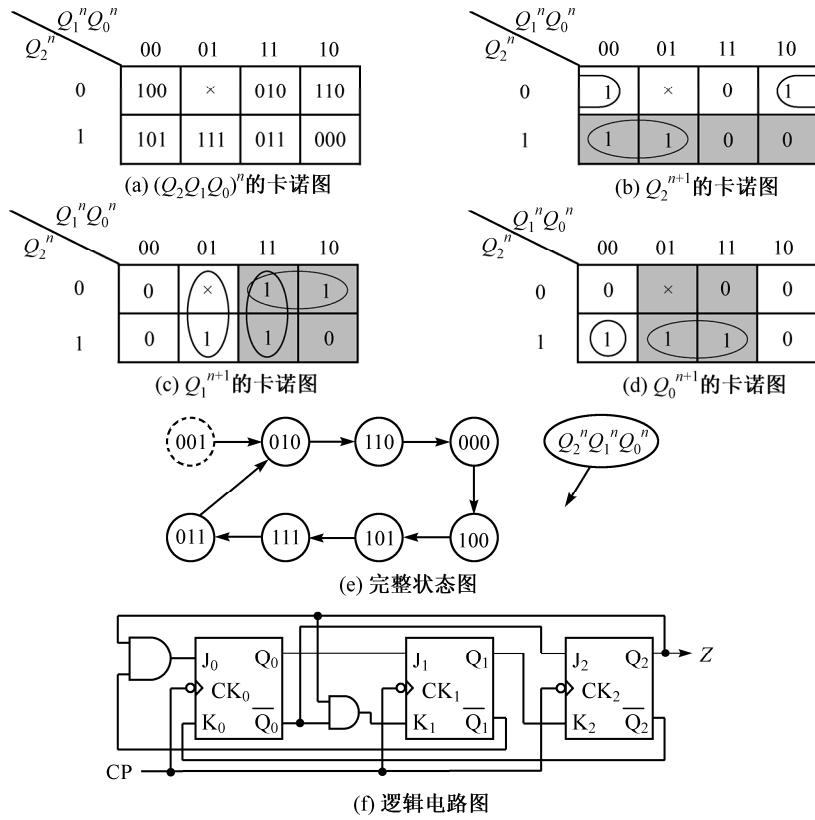


图 7.101 状态编码型“1110010”序列信号发生器

状态解码型序列信号发生器实际上就是典型的无外输入信号的摩尔型状态机，其结构框图如图 7.102 所示。

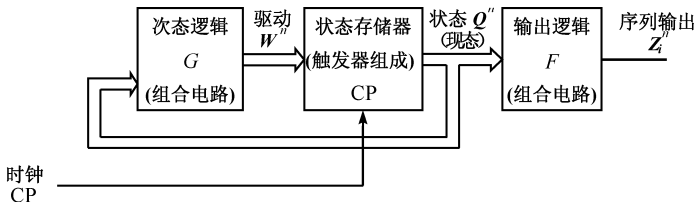


图 7.102 无外输入信号的摩尔型状态机——状态解码型序列信号发生器结构框图

图中的“输出逻辑  $F$ ”就是所要设计的译码器，而输出信号  $Z_i^n$  就是所要求的输出序列信号。

综上所述，可归纳出设计状态解码型序列信号发生器的一般步骤如下：

- 根据给定序列的长度或周期  $L$  设计一个模为  $L$  的计数器；
- 设计一个译码器，即设计一个组合逻辑电路。让计数器的状态信号作为译码器的输入变量，而译码器的输出函数则与给定的序列信号相符合。

**【例 7.31】** 设计一个状态解码型序列信号发生器，要求它所产生的输出序列信号为“1110010”。

解：(1) 根据给定的序列确定序列周期  $L$

因为给定序列为“1110010”，所以确定  $L=7$ 。

### (2) 设计一个模为 $L$ 的计数器

因为  $L=7$ ，所以要设计一个任意的模为 7 的计数器。我们仍然采用中规模的集成电路计数器 74161 来实现模 7 计数器，如图 7.103 所示。74161 是一个 4 位模 16 ( $2^4$ ) 同步二进制计数器。图中将最高计数输出位  $Q_D$  接到了“装载使能”端  $L_D$  上，于是当  $Q_D=0$  时，计数器执行“装载”操作，将“1010”载入  $Q_D Q_C Q_B Q_A$ 。这样一来，74161 就成了一个模 7 计数器，其有效状态编码  $(Q_D Q_C Q_B Q_A)$  的循环顺序为：“1010”、“1011”、“1100”、“1101”、“1110”、“1111”、“0000”、“1010”，……我们只采用此计数器的低三位  $Q_C Q_B Q_A$  作为计数输出端，所以此模 7 计数器的有效状态编码  $(Q_C Q_B Q_A)$  循环顺序为：“010”、“011”、“100”、“101”、“110”、“111”、“000”、“010”……

### (3) 设计一个译码器

我们以计数器的状态编码输出  $(Q_C Q_B Q_A)$  为输入变量，而以所要求的序列输出  $(Z)$  为逻辑函数来设计一个译码器。为此，列出该译码器的真值表如表 7.44 所示。列真值表时， $Q_C Q_B Q_A$  的各组取值应该按照计数器的计数状态编码顺序排列，以便依次安排给定序列的输出。输出函数（输出序列） $Z$  与输入变量  $Q_C Q_B Q_A$  的对应关系有多种排列方法，表 7.44 只列出了其中的两种。不同的排列方法将直接影响到译码器电路的繁简程度。另外，计数器的未用状态“001”应作为约束项来处理。根据真值表，我们写出序列输出函数  $Z_2$  的逻辑表达式如下：

$$Z_2(Q_C, Q_B, Q_A) = \sum m(0, 2, 3, 6) + d(1) = \bar{Q}_C + Q_B \bar{Q}_A = \overline{Q_C} \cdot \overline{Q_B} \overline{Q_A}$$

表 7.44 真值表

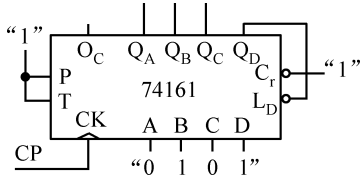


图 7.103 74161 构成模 7 计数器

序号	$Q_C^n$	$Q_B^n$	$Q_A^n$	序列输出	
				$Z_1$	$Z_2$
0	0	1	0	1	1
1	0	1	1	1	1
2	1	0	0	1	0
3	1	0	1	0	0
4	1	1	0	0	1
5	1	1	1	1	0
6	0	0	0	0	1
7	0	0	1	x	x

### (4) 画出逻辑图

根据译码器的逻辑表达式可画出译码器的逻辑图，将此图与计数器的逻辑图（图 7.103）合在一起就构成了状态解码型序列信号发生器，如图 7.104 所示。实现译码器的电路形式有多种，可用小规模的门电路、中规模的译码器及中规模的多路选择器（MUX）实现之。利用各种形式译码器的状态解码型序列信号发生器分别如图 7.104(a)、(b) 和 (c) 所示。

从例 7.31 可以看出，状态解码型序列信号发生器的设计分为两个部分——计数器的设计和译码器的设计。然而计数器和译码器的设计方案有很多，所以状态解码型序列信号发生器的实现方案就有很多，因此它的设计方法灵活多样。

**状态解码型序列信号发生器特别适合于产生多组序列信号。**如果以各组序列信号周期的最小公倍数为模而设计一个计数器，再设计一个能产生多路输出函数的组合电路（通常由二进制数译码器加若干逻辑门电路而构成），然后将二者结合，则可设计出能产生多路所需序列的信号发生器。前面介绍的计数型顺序脉冲发生器（图 7.89）就是这一设想的具体体现。但是移存型序列信号发生器则只能产生单一序列信号。

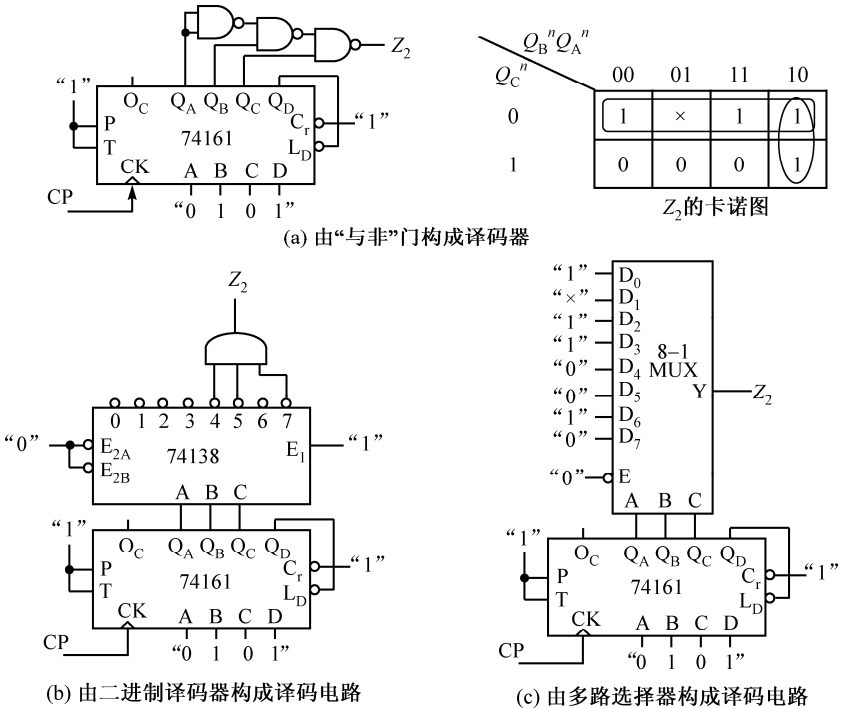


图 7.104 状态解码型序列信号发生器

观察图 7.101 和图 7.104 所产生的序列“1110010”，我们发现它实际上就是  $L=7$  的  $m$  序列。这说明：对于某个具体的有限长序列来讲，能够产生它的电路形式有很多。

事实上，从广义的角度上看，任何一个计数器，无论它是移存型的或是计数型的，也无论它是状态编码型的或是状态解码型的，我们都可以将其视为序列信号发生器。因为这些计数器的每一个输出端上（无论是触发器的输出端还是译码器的输出端）都在各自输出着一个它们自己的有限长序列信号。

#### 7.4.4 阻塞反馈式异步计数/分频器

前面各节所讨论的各种时序逻辑电路均为同步时序电路。本节所要讨论的时序电路则是另一类时序电路，异步时序逻辑电路的一种——阻塞反馈式异步计数/分频器。如前所述，我们不再区分计数器和分频器，如果没有特别声明，将统称这种电路为 **异步计数器**。同样，在这里所讨论的异步计数器的模也是不等于  $2^k$ ，即： $M \neq 2^k$ 。

我们知道异步时序逻辑电路与同步时序逻辑电路的根本区别就在于：异步时序电路中各触发器的时钟信号是不一致的，即：它们的时钟源是不同的；而同步时序电路中各触发器的时钟信号是统一的，即：它们公用一个时钟源。所以，对于时序逻辑电路中的一类电路——计数器来讲，异步计数器与同步计数器的根本差别也在于：异步计数器各级触发器的时钟信号（触发源）不统一，而同步计数器各级触发器的时钟信号是统一的。

正是由于同步计数器的各级触发器公用同一个时钟信号，所以在分析与设计同步计数器时并不把时钟信号 CP 作为一个外输入信号来看待，而是将其视为一个默认的时间基准信号。因此在分析和设计同步计数器的过程中，时钟信号 CP 通常是不考虑的，是不会出现的。

但是，异步计数器的情形则不同。由于异步计数器各级触发器的时钟来源是不统一的，所以在分析和设计异步计数器时，要将各级触发器的时钟信号单独加以考虑。因此，描述异步计数器的逻辑方

程应该有4组(而不是同步计数器的3组),它们是:时钟方程组、驱动方程组、状态方程组和输出方程组。这里需要特别指出的是:异步计数器的状态方程是与其相应的时钟方程相联系的,即:只有在时钟方程所表示的时钟信号有效(产生有效触发沿)时,其所对应的状态方程才有效。

### 1. 阻塞反馈式异步计数器的分析

阻塞反馈式异步计数器的分析步骤与同步计数器相类似,但是由于异步计数器具有各级触发器的时钟信号不统一这个特殊性,所以在分析时要特别注意各级触发器时钟信号的来源。下面将通过例题来说明分析阻塞反馈式异步计数器的方法和具体步骤。

**【例 7.32】** 分析图 7.105 所示的异步计数器电路。请画出时钟信号 CP、各触发器的状态信号及输出信号 C 的时序图。

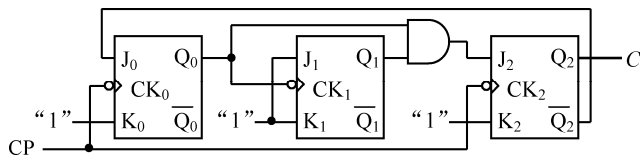


图 7.105 逻辑图

解: (1) 写出电路的逻辑方程

该计数器由三级 JK 触发器和一个“与”门所构成,按照图 7.105 所示的逻辑图写出电路的时钟方程、输出方程和驱动方程如下。

时钟方程:  $CK_0 = CP$ ;  $CK_1 = Q_0^n$ ;  $CK_2 = CP$ 。

输出方程:  $C = Q_2^n$ 。

驱动方程:  $J_0 = \bar{Q}_2^n$ ,  $K_0 = 1$ ;  $J_1 = 1$ ,  $K_1 = 1$ ;  $J_2 = Q_1^n Q_0^n$ ,  $K_2 = 1$ 。

将驱动方程代入 JK 触发器的特性方程  $Q^{n+1} = J\bar{Q}^n + \bar{K}Q^n$ , 求得电路的状态方程如下。

状态方程:  $Q_0^{n+1} = \bar{Q}_2^n \bar{Q}_0^n$ ,  $CK_0 = CP \downarrow$  (CP 下降沿有效)

$Q_1^{n+1} = \bar{Q}_1^n$ ,  $CK_1 = Q_0^n \downarrow$  ( $Q_0^n$  由“1”变到“0”时有效, 即下降沿有效)

$Q_2^{n+1} = \bar{Q}_2^n Q_1^n Q_0^n$ ,  $CK_2 = CP \downarrow$  (CP 下降沿有效)。

写状态方程时,必须同时标明有效条件,即:注明使状态方程有效的时钟信号及其触发边沿。

(2) 列写状态转换表

状态转换表的左边列写已知量——现态信号  $Q_i^n$  ( $i = 0 \sim 2$ ), 右边列写未知量——次态信号  $Q_i^{n+1}$  ( $i = 0 \sim 2$ ) 和输出信号 C。在列写次态信号时,要同时标注上与之相对应的时钟信号 CK。在标注时钟信号时,用带箭头的符号(↑或↓)来表示时钟的有效沿(上升沿或下降沿),如表 7.45 所示。

表 7.45 状态转换表

序号	$Q_2^n$ $Q_1^n$ $Q_0^n$	C	$CK_2$ $CP \downarrow$	$Q_2^{n+1}$	$CK_1$ $Q_0^n \downarrow$	$Q_1^{n+1}$	$CK_0$ $CP \downarrow$	$Q_0^{n+1}$
0	0 0 0	0	↓	0		0	↓	1
1	0 0 1	0	↓	0	↓	1	↓	0
2	0 1 0	0	↓	0		1	↓	1
3	0 1 1	0	↓	1	↓	0	↓	0
4	1 0 0	1	↓	0		0	↓	0
5	1 0 1	1	↓	0	↓	1	↓	0
6	1 1 0	1	↓	0		1	↓	0
7	1 1 1	1	↓	0	↓	0	↓	0

填写状态转换表的方法与同步计数器的情形相似，先将现态变量的所有取值组合写入表中，再根据输出方程计算出相应的输出变量值并填入表中。然后，根据状态方程（次态方程）先把那些以计数脉冲（外时钟信号）CP为时钟（触发源）的各级触发器的次态值填入表中，再根据已确定的原态和次态的状态信号取值，从低位到高位逐一确定那些触发源为非计数脉冲（外时钟信号）CP的各级触发器时钟有效沿所产生的位置（状态表中的某一行）。对于这些触发器的次态信号取值的原则是：**如果存在有效的触发时钟沿，则次态信号按相应状态方程计算取值；反之，如果不存在有效的触发时钟沿，则次态信号将仍然维持原态信号的取值，即：次态与原态取值相同。**

具体到表7.45的填写过程是：①按同步时序电路状态表的列写方法，以现态 $Q_2^n Q_1^n Q_0^n$ 为输入变量并写出它们的所有取值组合；②根据输出方程 $C = Q_2^n$ 填写输出C的取值；③因为 $CK_2 = CK_0 = CP$ ，所以在 $CK_2$ 和 $CK_0$ 栏内的各行均填上符号“↓”，并且按照状态方程来确定次态信号 $Q_2^{n+1}$ 和 $Q_0^{n+1}$ ；④根据时钟方程 $CK_1 = Q_0^n$ 且下降沿有效，所以 $CK_1$ 只有在 $Q_0^n$ 由“1”变到“0”时才有效。因此在表7.45中 $Q_0^n = 1$ 而 $Q_0^{n+1} = 0$ 的各行（序号1、3、5、7） $CK_1$ 栏内填写符号“↓”；⑤按是否存在有效的时钟沿来确定次态 $Q_1^{n+1}$ ，即：**CK<sub>1</sub>栏内有符号“↓”的各行按状态方程填写 $Q_1^{n+1}$ ；而无符号“↓”的各行次态将维持原态的值不变，即： $Q_1^{n+1} = Q_1^n$ 。**

### (3) 画出状态转换图

依据状态转换表（表7.45）就可以画出该异步计数器的完整的状态转换图，如图7.106所示。

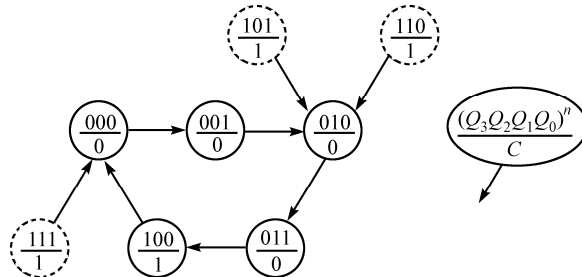


图7.106 异步五进制计数器的完整的状态转换图

### (4) 明确计数器的逻辑功能

从上面的状态图可以看出，该异步时序电路的主循环含有5个状态，即：“000”、“001”、“010”、“011”和“100”。按照状态转换的顺序来看，它应该是一个“阻塞反馈式异步五进制加法计数器”，输出信号C是进位信号。另外该计数器还有三个无效状态“101”、“110”和“111”，它们的次态都是有效状态，所以此计数器能够自启动。

实际上，图7.105所示的阻塞反馈式异步五进制加法计数器的逻辑图不是别的什么电路，它恰恰就是我们以前介绍过的商品化集成电路芯片74290（BCD码计数器）中的那个五进制计数器。

### (5) 画出时序图

按照状态转换图的主循环，画出现态信号 $Q_2^n$ 、 $Q_1^n$ 、 $Q_0^n$ 和输出信号C，以及时钟信号CP的时序图，如图7.107所示。

**【例7.33】**试分析图7.108所示的异步时序电路，要求画出相应的定时波形图。

解：(1) 写出电路的逻辑方程

根据图7.108，可以很容易地写出该异步时序电路的时钟方程、输出方程和驱动方程如下。

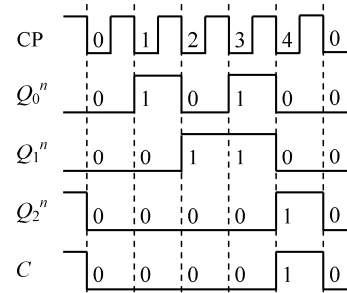


图7.107 时序图

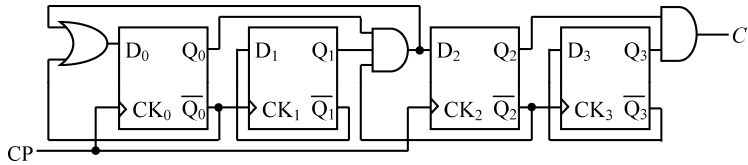


图 7.108 逻辑图

时钟方程:  $CK_0 = CP$ ;  $CK_1 = \bar{Q}_0^n$ ;  $CK_2 = CP$ ;  $CK_3 = \bar{Q}_2^n$ 。

输出方程:  $C = Q_3^n Q_2^n$

驱动方程:  $D_0 = \bar{Q}_0^n + \bar{Q}_2^n Q_1^n Q_0^n = \bar{Q}_0^n + \bar{Q}_2^n Q_1^n$ ;

$$D_1 = \bar{Q}_1^n;$$

$$D_2 = \bar{Q}_2^n Q_1^n Q_0^n;$$

$$D_3 = \bar{Q}_3^n.$$

将各触发器的驱动方程代入 D 触发器的特性方程  $Q^{n+1} = D$ , 于是得到异步时序电路的状态方程如下(注意: 要同时注明使状态方程有效的时钟信号)。

$$Q_0^{n+1} = D_0 = \bar{Q}_0^n + \bar{Q}_2^n Q_1^n, \quad CK_0 = CP \uparrow;$$

$$Q_1^{n+1} = D_1 = \bar{Q}_1^n, \quad CK_1 = \bar{Q}_0^n \uparrow;$$

$$Q_2^{n+1} = D_2 = \bar{Q}_2^n Q_1^n Q_0^n, \quad CK_2 = CP \uparrow;$$

$$Q_3^{n+1} = D_3 = \bar{Q}_3^n, \quad CK_3 = \bar{Q}_2^n \uparrow.$$

## (2) 列写状态转换真值表

列写状态转换真值表的方法与同步计数器的情形相类似, 先将现态  $Q_3^n Q_2^n Q_1^n Q_0^n$  作为输入变量列表格的左边; 再将输出 C 和次态  $Q_3^{n+1} Q_2^{n+1} Q_1^{n+1} Q_0^{n+1}$  作为未知量列表格的右边; 中间再增加一栏——驱动信号  $D_3 D_2 D_1 D_0$  栏。列写状态转换真值表的过程是: ①填入现态的所有取值组合; ②按驱动方程计算出各驱动信号  $D_i$  ( $i = 0 \sim 3$ ) 的值并写入表中; ③按输出方程计算输出函数 C 并填入表中; ④因为  $CK_0$  和  $CK_2$  都是由外时钟信号 CP 所驱动的, 所以  $CK_0$  和  $CK_2$  栏内各行上均填以符号 “ $\uparrow$ ”, 因此每一行上的  $Q_0^{n+1}$  和  $Q_2^{n+1}$  均按状态方程计算并确定; ⑤确定  $CK_1$ ,  $CK_1 = \bar{Q}_0^n$  且上升沿有效, 这等效于  $CK_1$  在  $Q_0^n$  的下降沿有效, 也就是说, 只有在  $Q_0^n = 1$  且  $Q_0^{n+1} = 0$  的各行(序号 1、5、7、9、13、15)内,  $CK_1$  栏应填符号 “ $\uparrow$ ”; ⑥确定  $Q_1^{n+1}$ , 凡有符号 “ $\uparrow$ ” 的  $CK_1$  栏各行上的  $Q_1^{n+1}$  之值, 按状态方程确定; 凡没有符号 “ $\uparrow$ ” 的  $CK_1$  栏各行上的  $Q_1^{n+1}$  的值将维持原状态  $Q_1^n$  不变, 即:  $Q_1^{n+1} = Q_1^n$ ; ⑦确定  $CK_3$ , 方法与确定  $CK_1$  相同; ⑧确定  $Q_3^{n+1}$ , 其方法与确定  $Q_1^{n+1}$  相同。于是, 完整的状态转换真值表如表 7.46 所示。

表 7.46 状态转换真值表

序号	$Q_3^n Q_2^n Q_1^n Q_0^n$	$D_3 D_2 D_1 D_0$	C	$CK_3 / Q_2^n \uparrow$	$Q_3^{n+1}$	$CK_2 / CP \uparrow$	$Q_2^{n+1}$	$CK_1 / Q_0^n \uparrow$	$Q_1^{n+1}$	$CK_0 / CP \uparrow$	$Q_0^{n+1}$
0	0 0 0 0	1 0 1 1	0		0	$\uparrow$	0		0	$\uparrow$	1
1	0 0 0 1	1 0 1 0	0		0	$\uparrow$	0	$\uparrow$	1	$\uparrow$	0
2	0 0 1 0	1 0 0 1	0		0	$\uparrow$	0		1	$\uparrow$	1
3	0 0 1 1	1 1 0 1	0		0	$\uparrow$	1		1	$\uparrow$	1
4	0 1 0 0	1 0 1 1	0	$\uparrow$	1	$\uparrow$	0		0	$\uparrow$	1
5	0 1 0 1	1 0 1 0	0	$\uparrow$	1	$\uparrow$	0	$\uparrow$	1	$\uparrow$	0
6	0 1 1 0	1 0 0 1	0	$\uparrow$	1	$\uparrow$	0		1	$\uparrow$	1
7	0 1 1 1	1 0 0 0	0	$\uparrow$	1	$\uparrow$	0	$\uparrow$	0	$\uparrow$	0

续表

序号	$Q_3^n Q_2^n Q_1^n Q_0^n$	$D_3 D_2 D_1 D_0$	C	$\overline{CK_3} \quad \overline{Q_2^n} \uparrow$	$Q_3^{n+1}$	$\overline{CK_2} \quad CP \uparrow$	$Q_2^{n+1}$	$\overline{CK_1} \quad \overline{Q_0^n} \uparrow$	$Q_1^{n+1}$	$\overline{CK_0} \quad CP \uparrow$	$Q_0^{n+1}$
8	1 0 0 0	0 0 1 1	0		1	$\uparrow$	0		0	$\uparrow$	1
9	1 0 0 1	0 0 1 0	0		1	$\uparrow$	0	$\uparrow$	1	$\uparrow$	0
10	1 0 1 0	0 0 0 1	0		1	$\uparrow$	0		1	$\uparrow$	1
11	1 0 1 1	0 1 0 1	0		1	$\uparrow$	1		1	$\uparrow$	1
12	1 1 0 0	0 0 1 1	1	$\uparrow$	0	$\uparrow$	0		0	$\uparrow$	1
13	1 1 0 1	0 0 1 0	1	$\uparrow$	0	$\uparrow$	0	$\uparrow$	1	$\uparrow$	0
14	1 1 1 0	0 0 0 1	1	$\uparrow$	0	$\uparrow$	0	$\uparrow$	1	$\uparrow$	1
15	1 1 1 1	0 0 0 0	1	$\uparrow$	0	$\uparrow$	0	$\uparrow$	0	$\uparrow$	0

## (3) 画出状态转换图

根据表 7.46 所示的状态转换真值表就可以画出完整的状态转换图, 如图 7.109 所示。

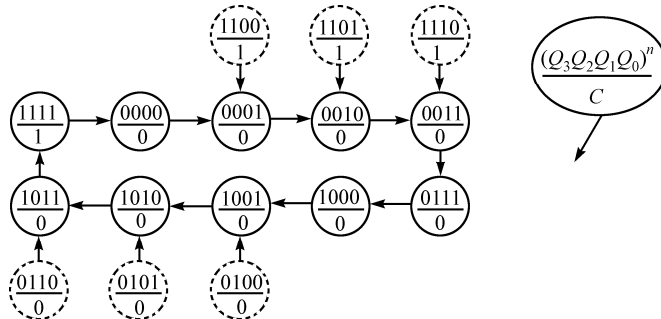


图 7.109 完整的状态转换图

## (4) 明确计数器的逻辑功能

由图 7.109 所示的状态图可以看出, 该异步时序电路有一个闭合的主循环, 它含有 10 个状态, 所以这是一个十进制数计数器。进一步考察发现, 这个十进制计数器实际上是一个“512BCD 码”计数器。输出信号 C 为“进位”信号。该计数器是可以自启动的。

## (5) 画出时序图

根据状态转换真值表或状态转换图就可以画出状态信号  $Q_3^n$ 、 $Q_2^n$ 、 $Q_1^n$ 、 $Q_0^n$  和输出信号 C 相对于时钟信号 CP 的定时波形图——时序图, 如图 7.110 所示。

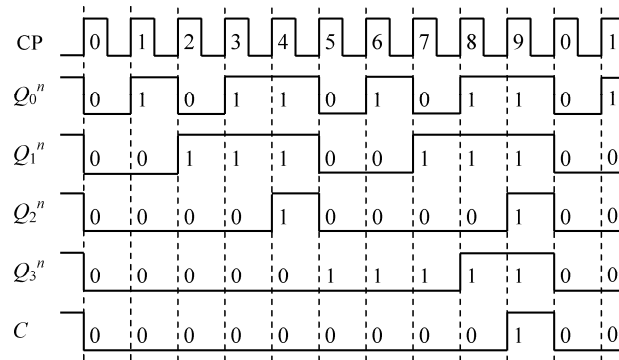


图 7.110 时序图

通过上述两个实例介绍了阻塞反馈式异步计数器的分析方法。分别采用了“状态转换表”和“状

态转换真值表”来分析这两个实例中的异步计数器。可以看出，这些分析方法与分析同步计数器的方法是很相似的。分析阻塞反馈式异步计数器的关键是确定各触发器的时钟信号来源，即：触发源。在确定了触发源之后，每个触发器只有在其触发源的有效边沿到来之时，其次态才依据状态方程的规定翻转；否则，触发器将维持它的原状态不变。在分析电路的过程中，到底是采用“状态转换表”还是“状态转换真值表”则完全取决于实际情况和个人的习惯。

另外，与同步计数器的情形相似，这里也有两点需要注意：

- 画状态转换图时一定要画完整。由  $k$  个触发器所构成的计数器（无论是同步还是异步）总共有  $2^k$  个状态，画状态图时一定要把这  $2^k$  个状态全部画出，不能有遗漏。只有这样，才能从状态图上判断出计数器的功能及它的自启动性；
- 画时序图时只需画出主循环状态（有效状态）的波形，所以计数器（无论同步还是异步）的波形图一定是循环重复（周期性）的。另外在画波形时同样要注意计数器中各触发器的有效触发边沿（上升沿或下降沿）。

## 2. 阻塞反馈式异步计数器的设计

阻塞反馈式异步计数器的设计步骤与同步计数器的设计步骤相类似。但是，如前所述，异步计数器的特殊性就在于：各触发器没有统一的时钟信号。所以在设计异步计数器时，必须为每一个触发器选择合适的时钟来源，而且在设计时还要考虑时钟信号对触发器的作用，即：需要确认时钟源的触发边沿与触发器的翻转时刻相吻合。因此，在设计异步计数器时，要将各触发器的时钟信号源单独加以考虑。可以这样说，确定各触发器的时钟源是异步计数器与同步计数器在设计步骤上的最大差别，也是异步计数器的设计关键之所在。

我们还是通过例题来说明阻塞反馈式异步计数器的设计方法和步骤。

**【例 7.34】** 设计一个“8421BCD 码”的十进制减法计数器。用阻塞反馈式异步时序电路实现之。要求采用 D 触发器。

解：(1) 建立原始状态图

按照“8421BCD 码”的减法顺序建立计数器的原始状态图如图 7.111 所示。其中的输出信号  $C$  是减法计数器的“借位”信号。

(2) 确定触发器个数与状态编码

因为计数器有 10 个有效状态，所以需要触发器的个数为： $k = \lceil \log_2 10 \rceil + 1 = 4$ 。又因为该计数器是减法计数器，所以状态编码的转换顺序应该是按二进制数的递减方向。图 7.112 所示为计数器的原始编码状态图。

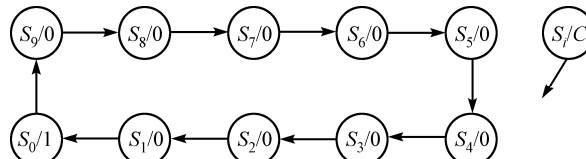


图 7.111 8421BCD 码减法计数器的原始状态图

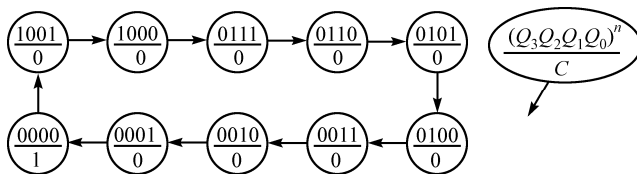


图 7.112 8421BCD 码减法计数器的原始编码状态图

## (3) 选择各触发器的时钟

为某个触发器选择时钟信号的原则是：

① 在该触发器的状态需要翻转时，所选的时钟信号能够提供触发器翻转所需要的有效触发边沿（上升沿或下降沿）；

② 在满足原则①的前提下，所选的时钟信号的有效触发沿越少越好。

原则①的目的容易理解，而原则②则是为了尽量地简化驱动方程。

按照上述的两条原则，为异步计数器的各位触发器选择时钟信号的通常做法是：

- 以计数脉冲（外时钟信号）CP 作为输出信号中含有跳变沿（上升沿和下降沿）最多的那个触发器的时钟信号；
- 除了以 CP 作为时钟信号的那个触发器以外，异步计数器的其他各位触发器时钟信号的确定方法是：选择一个满足原则①的触发器输出信号作为本位触发器的时钟信号；
- 如果有多个满足原则①的触发器输出信号可供做本位触发器的时钟信号，则要选择那个含有有效跳变沿最少的触发器输出信号作为本位触发器的时钟信号。显而易见，这样做是为了满足原则②；
- 若找不到满足原则①的触发器输出信号来作为本位触发器的时钟信号，则只能选择外时钟信号 CP 作为本位触发器的时钟信号。

为了确定  $CK_0 \sim CK_3$  的信号来源，我们首先列出该异步计数器的态序表，如表 7.47 所示。在表中还同时列出了各触发器输出信号  $Q_i^n$  ( $i=0 \sim 3$ ) 的上跳沿和下跳沿的位置及外时钟信号 CP 的上升沿位置。例如： $Q_3^n$  在第 9 行是“0”，而在第 0 行是“1”，所以计数器的状态从“0000”变到“1001”时，在  $Q_3^n$  上出现了上跳沿。因此在“ $Q_3^n$  列”的第 0 行上标以符号“↑”。同理，在“ $Q_3^n$  列”的第 2 行上则标以符号“↓”。另外，在时钟信号 CP 的每一个上升沿到来时，计数器的状态就要翻转一次，所以在表 7.47 的“CP 列”的每一行都标上了符号“↑”。

从表中可以看出，含有跳变沿（上升沿和下降沿）最多的触发器输出信号是  $Q_0^n$ ，于是确定  $CK_0 = CP$ 。表中还显示：在  $Q_0^n$  的每一个翻转时刻，计数脉冲信号 CP 都可以提供触发器翻转所需要的触发上升沿。

再考察  $Q_1^n$ 。我们发现，在  $Q_1^n$  的每一个翻转时刻（上跳沿和下降沿），输出信号  $Q_0^n$  都可以提供  $Q_1^n$  翻转所需的触发时钟上升沿，而  $Q_2^n$ 、 $Q_3^n$  则不能，所以令： $CK_1 = Q_0^n$ 。

表 7.47 计数器态序表

序号	$Q_3^n$ $Q_2^n$ $Q_1^n$ $Q_0^n$	$Q_3^n$	$Q_2^n$	$Q_1^n$	$Q_0^n$	CP
0	1 0 0 1	↑			↑	↑
1	1 0 0 0				↓	↑
2	0 1 1 1	↓	↑	↑	↑	↑
3	0 1 1 0				↓	↑
4	0 1 0 1			↓	↑	↑
5	0 1 0 0				↓	↑
6	0 0 1 1		↓	↑	↑	↑
7	0 0 1 0				↓	↑
8	0 0 0 1			↓	↑	↑
9	0 0 0 0				↓	↑

同样，在  $Q_2^n$  的每一个翻转时刻， $Q_3^n$  不能提供触发器翻转所需要的时钟上升沿，而  $Q_1^n$  和  $Q_0^n$  却都能够提供这样的上升沿。但是由于信号  $Q_1^n$  所含的上升沿比  $Q_0^n$  信号所含的上升沿要少，所以选择  $Q_1^n$  作为 2 号触发器的时钟信号，即： $CK_2 = Q_1^n$ 。

最后考察  $Q_3^n$ 。我们发现，无论是  $Q_2^n$  还是  $Q_1^n$ ，都不能提供  $Q_3^n$  翻转所需的时钟上升沿。只有信号  $Q_0^n$  才能在  $Q_3^n$  翻转的时刻向触发器提供时钟上升沿，因此令： $CK_3 = Q_0^n$ 。

这样，我们就确定了异步计数器的时钟方程如下：

$$CK_0 = CP, CK_1 = Q_0^n, CK_2 = Q_1^n, CK_3 = Q_0^n$$

#### (4) 列写状态转换驱动表

根据原始编码状态图可列写状态转换驱动表。异步计数器驱动表的列写方法与同步计数器相类似，但是要增加一个时钟栏，而且时钟栏要与对应的驱动信号相联系。时钟栏应根据时钟信号是否有效（出现有效的边沿）来填写，若出现有效的时钟跳变沿，则要在时钟栏内相应的行填写符号“↑”或“↓”。对于驱动栏的填写，则需要在相应的时钟有效行上、根据原态和次态来设置驱动信号。然而在那些时钟无效的行上，则因为时钟无效，故驱动信号可做“随意态”（“约束项”）来处理。这样做，是为了进一步地化简驱动信号的逻辑表达式。这也就是为什么要选择一个既满足原则①、又尽可能少地含有效触发沿的触发器输出信号来作为某个触发器时钟信号的原因。

该异步计数器的状态转换驱动表如表 7.48 所示。

表 7.48 状态转换驱动表

序号	$Q_3^n Q_2^n Q_1^n Q_0^n$	$Q_3^{n+1}$	$Q_2^{n+1}$	$Q_1^{n+1}$	$Q_0^{n+1}$	C	$CK_3$ $Q_0^n \uparrow$	$D_3$	$CK_2$ $Q_1^n \uparrow$	$D_2$	$CK_1$ $Q_0^n \uparrow$	$D_1$	$CK_0$ $CP \uparrow$	$D_0$
0	0 0 0 0	1	0	0	1	1	↑	1		×	↑	0	↑	1
1	0 0 0 1	0	0	0	0	0		×		×		×	↑	0
2	0 0 1 0	0	0	0	1	0	↑	0		×	↑	0	↑	1
3	0 0 1 1	0	0	1	0	0		×		×		×	↑	0
4	0 1 0 0	0	0	1	1	0	↑	0	↑	0	↑	1	↑	1
5	0 1 0 1	0	1	0	0	0		×		×		×	↑	0
6	0 1 1 0	0	1	0	1	0	↑	0		×	↑	0	↑	1
7	0 1 1 1	0	1	1	0	0		×		×		×	↑	0
8	1 0 0 0	0	1	1	1	0	↑	0	↑	1	↑	1	↑	1
9	1 0 0 1	1	0	0	0	0		×		×		×	↑	0
10	1 0 1 0	×	×	×	×	×		×		×		×	↑	×
11	1 0 1 1	×	×	×	×	×		×		×		×	↑	×
12	1 1 0 0	×	×	×	×	×		×		×		×	↑	×
13	1 1 0 1	×	×	×	×	×		×		×		×	↑	×
14	1 1 1 0	×	×	×	×	×		×		×		×	↑	×
15	1 1 1 1	×	×	×	×	×		×		×		×	↑	×

具体的填表过程如下：①按自然二进制数顺序设置现态  $Q_3^n Q_2^n Q_1^n Q_0^n$ ；②按原始编码状态图填写次态  $Q_3^{n+1} Q_2^{n+1} Q_1^{n+1} Q_0^{n+1}$  和输出 C，无效状态的次态和输出按“约束项”处理；③因为 CP 在每一行都有效，所以按同步计数器设计的方法填写以计数脉冲 CP 为时钟的触发器驱动信号。于是 0 号触发器的驱动信号  $D_0$ ，将按照  $Q_0^n$  转换到  $Q_0^{n+1}$  的要求来填写；④因为  $CK_1 = CK_3 = Q_0^n$  且上升沿有效，所以它们只有在  $Q_0^n = 0$  而  $Q_0^{n+1} = 1$  的行上有效，即：应该在序号 0、2、4、6、8 行的 CK<sub>1</sub> 和 CK<sub>3</sub> 栏内填写符号“↑”；⑤填写 1、3 号触发器的驱动信号—— $D_1$ 、 $D_3$ 。在时钟有效行，即：CK<sub>1</sub> 和 CK<sub>3</sub> 栏内有符号“↑”的各行中，按  $Q_1^n$ 、 $Q_3^n$  的原态到次态的转换需要来确定  $D_1$  和  $D_3$ 。当时钟无效时，即：在 CK<sub>1</sub> 和 CK<sub>3</sub> 栏内无符号“↑”的各行中， $D_1$ 、 $D_3$  按“约束项”处理。⑥填写 2 号触发器的驱动信号—— $D_2$ 。只有在 CK<sub>2</sub> 有效，即： $Q_1^n = 0$ 、 $Q_1^{n+1} = 1$  的行上（序号 4、8）按  $Q_2^n$  的转换需要来确定  $D_2$ ，而其他各行的  $D_2$  均按“约束项”处理。

## (5) 导出逻辑方程组

根据状态转换驱动表可画出驱动信号  $D_3$ 、 $D_2$ 、 $D_1$  和  $D_0$  以及输出信号  $C$  的卡诺图, 如图 7.113(a)、(b)、(c)、(d)和(e)所示。

		$Q_1^n Q_0^n$	00	01	11	10
		$Q_3^n Q_2^n$	00	01	11	10
$Q_3^n Q_2^n$	00	1	x	x	0	
	01	0	x	x	0	
	11	x	x	x	x	
	10	0	x	x	x	

(a)  $D_3$  的卡诺图

		$Q_1^n Q_0^n$	00	01	11	10
		$Q_3^n Q_2^n$	00	01	11	10
$Q_3^n Q_2^n$	00	x	x	x	x	
	01	0	x	x	x	
	11	x	x	x	x	
	10	1	x	x	x	

(b)  $D_2$  的卡诺图

		$Q_1^n Q_0^n$	00	01	11	10
		$Q_3^n Q_2^n$	00	01	11	10
$Q_3^n Q_2^n$	00	0	x	x	0	
	01	1	x	x	0	
	11	x	x	x	x	
	10	1	x	x	x	

(c)  $D_1$  的卡诺图

		$Q_1^n Q_0^n$	00	01	11	10
		$Q_3^n Q_2^n$	00	01	11	10
$Q_3^n Q_2^n$	00	1	0	0	1	
	01	1	0	0	1	
	11	x	x	x	x	
	10	1	0	x	x	

(d)  $D_0$  的卡诺图

		$Q_1^n Q_0^n$	00	01	11	10
		$Q_3^n Q_2^n$	00	01	11	10
$Q_3^n Q_2^n$	00	1	0	0	0	
	01	0	0	0	0	
	11	x	x	x	x	
	10	0	0	x	x	

(e)  $C$  的卡诺图图 7.113 驱动信号  $D_3$ 、 $D_2$ 、 $D_1$  和  $D_0$  及输出信号  $C$  的卡诺图

“圈组合并”这些卡诺图, 我们得到该异步计数器的驱动方程和输出方程如下:

$$\text{驱动方程: } D_3 = \bar{Q}_3^n \bar{Q}_2^n \bar{Q}_1^n = \overline{Q_3^n + Q_2^n + Q_1^n} ;$$

$$D_2 = \bar{Q}_2^n ;$$

$$D_1 = Q_3^n + Q_2^n \bar{Q}_1^n ;$$

$$D_0 = \bar{Q}_0^n .$$

$$\text{输出方程: } C = \bar{Q}_3^n \bar{Q}_2^n \bar{Q}_1^n \bar{Q}_0^n .$$

根据 D 触发器的特性方程  $Q^{n+1} = D$ , 得到该异步计数器的状态方程如下:

$$Q_3^{n+1} = \bar{Q}_3^n \bar{Q}_2^n \bar{Q}_1^n = \overline{Q_3^n + Q_2^n + Q_1^n} , \quad \text{CK}_3 = Q_0^n \uparrow ;$$

$$Q_2^{n+1} = \bar{Q}_2^n , \quad \text{CK}_2 = Q_1^n \uparrow ;$$

$$Q_1^{n+1} = Q_3^n + Q_2^n \bar{Q}_1^n , \quad \text{CK}_1 = Q_0^n \uparrow ;$$

$$\mathcal{Q}_0^{n+1} = \bar{\mathcal{Q}}_0^n, \quad \text{CK}_0 = \text{CP} \uparrow.$$

需要注意的是：根据图 7.113 中  $D_2$  的卡诺图，驱动信号  $D_2$  的表达式既可以是 “ $D_2 = \bar{Q}_2^n$ ”（如图中的实线卡诺圈），也可以是 “ $D_2 = Q_3^n$ ”（如图中的虚线卡诺圈）。但是，我们应该选择 “ $D_2 = \bar{Q}_2^n$ ”。其原因就是：把驱动方程代入到触发器的特性方程以后就会得到触发器的状态（次态）方程。然而，在异步计数器中，时钟源为非计数脉冲 CP 的触发器状态方程中，不能含有先于本触发器翻转的触发器所代表的状态变量。若不能满足这个条件，则需修改 K 图的圈组合并方法或重新选择时钟源。本例中各触发器状态变量的翻转顺序是： $Q_0^n$ ， $Q_1^n$  和  $Q_3^n$ ，最后是  $Q_2^n$ 。

#### (6) 检验自启动性

采用阻塞反馈式异步计数器的分析方法来检验该异步计数器的自启动性。根据时钟方程、状态方程和输出方程列写出无效状态的状态转换表如表 7.49 所示。

由此表看出，所有的无效状态最终都将进入到有效状态“0011”或“0111”，所以，该异步计数器是可以自启动的。

表 7.49 用于检验自启动性的状态转换表

序号	$Q_3^n$	$Q_2^n$	$Q_1^n$	$Q_0^n$	C	$\text{CK}_3$ $Q_0^n \uparrow$	$Q_3^{n+1}$	$\text{CK}_2$ $Q_1^n \uparrow$	$Q_2^{n+1}$	$\text{CK}_1$ $Q_0^n \uparrow$	$Q_1^{n+1}$	$\text{CK}_0$ CP↑	$Q_0^{n+1}$
10	1	0	1	0	0	↑	0		0	↑	1	↑	1
11	1	0	1	1	0		1		0		1	↑	0
12	1	1	0	0	0	↑	0	↑	0	↑	1	↑	1
13	1	1	0	1	0		1		1		0	↑	0
14	1	1	1	0	0	↑	0		1	↑	1	↑	1
15	1	1	1	1	0		1		1		1	↑	0

由图 7.112 和表 7.49 可画出该阻塞反馈式异步计数器的完整的状态转换图，如图 7.114 所示。

(7) 画出逻辑图

根据时钟方程、驱动方程及输出方程，就可以画出阻塞反馈式异步 8421BCD 码减法计数器的逻辑图，如图 7.115 所示。

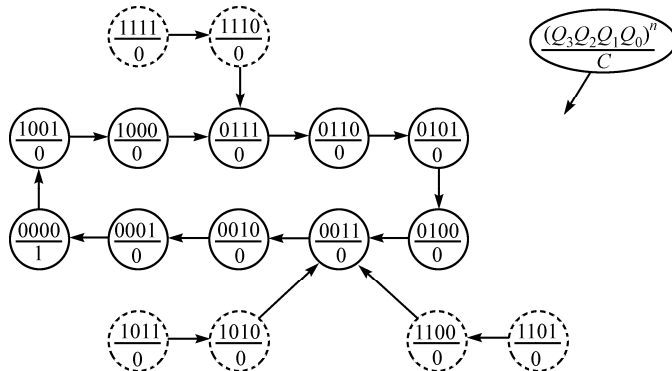


图 7.114 异步 8421BCD 码减法计数器的完整的状态转换图

**【例 7.35】** 设计一个模 5 (五进制) 阻塞反馈式异步计数器。要求计数器状态编码的转换顺序为: 0, 1, 4, 5, 7, 0。用下降沿触发的 JK 触发器实现。

解：（1）建立原始编码状态图

因为已经规定了计数器的状态编码及编码的转换顺序，所以没有必要再进行状态分配。按题意直

接建立原始编码状态图, 如图 7.116 所示。注意: 此时输出信号  $C$  仍然是五进制计数器的“进位”信号, 而且假设状态“111”是最后一个计数状态, 故  $C$  在此状态下有效而在其他状态下均无效。

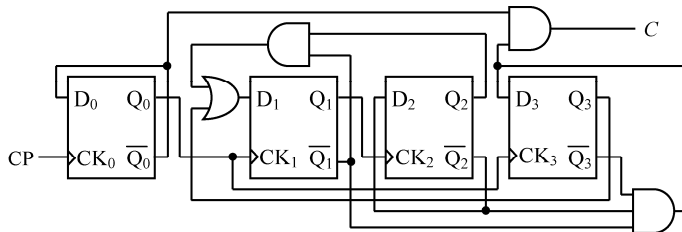


图 7.115 阻塞反馈式异步 8421BCD 码减法计数器的逻辑图

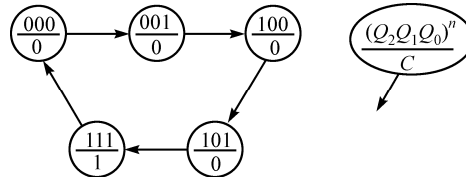


图 7.116 异步五进制计数器的原始编码状态图

## (2) 确定触发器的个数

因为模 5 计数器有 5 个有效状态, 所以需要 3 个触发器, 即:  $k = \lceil \log_2 5 \rceil + 1 = 3$ 。

## (3) 选择各触发器的时钟信号源

按照前述的选择时钟信号源的两原则来确定  $CK_0 \sim CK_2$  的信号来源。为此, 首先列出该异步计数器的态序表, 如表 7.50 所示。表中同样还列出了各触发器输出信号的上跳沿和下跳沿的位置及外时钟信号 CP 的下降沿位置。

表 7.50 显示,  $Q_0^n$  所含有的跳变沿(上升沿和下降沿)最多, 因此选择计数脉冲 CP 作为 0 号触发器的时钟信号, 即: 确定  $CK_0 = CP$ 。

表 7.50 计数器态序表

序号	$Q_2^n Q_1^n Q_0^n$	$Q_2^n$	$Q_1^n$	$Q_0^n$	CP
0	0 0 0	↓	↓	↓	↓
1	0 0 1			↑	↓
2	1 0 0	↑		↓	↓
3	1 0 1			↑	↓
4	1 1 1		↑		↓

再看  $Q_1^n$ , 我们发现在  $Q_1^n$  的每一个翻转时刻(上升沿和下降沿), 触发器输出信号  $Q_0^n$  和  $Q_2^n$  都不能为  $Q_1^n$  的翻转提供所需要的触发时钟下降沿, 所以只好再一次选择计数脉冲 CP 作为 1 号触发器的时钟信号, 即令:  $CK_1 = CP$ 。

最后再看一下  $Q_2^n$ 。在  $Q_2^n$  的每一个翻转时刻,  $Q_2^n$  不能提供触发器翻转所需要的时钟下降沿, 但是  $Q_0^n$  却可以提供这样的下降沿。所以选择  $Q_0^n$  作为 2 号触发器的时钟信号, 即:  $CK_2 = Q_0^n$ 。

于是, 我们得到异步计数器的时钟方程如下:

$$CK_0 = CP, CK_1 = CP, CK_2 = Q_0^n.$$

## (4) 列写状态转换驱动表

确定了时钟方程之后, 再根据图 7.116 所示的原始编码状态图就可以列写出计数器的状态转换驱

动表, 如表 7.51 所示。具体的填表过程如下: ①按自然二进制数的顺序设置现态  $Q_2^n Q_1^n Q_0^n$ ; ②按原始编码状态图填写次态  $Q_2^{n+1} Q_1^{n+1} Q_0^{n+1}$  和输出  $C$ , 无效状态的次态和输出均按“约束项”处理; ③因为  $CK_0 = CK_1 = CP$  在每一行上都有效, 所以按同步计数器设计的方法填写 0 号、1 号触发器的驱动信号  $J_0 K_0$ 、 $J_1 K_1$ ; ④因为  $CK_2 = Q_0^n$  且下降沿有效, 所以  $CK_2$  栏只有在  $Q_0^n = 1$  而  $Q_0^{n+1} = 0$  的行上有效, 即: 应该在序号 1、7 两行的  $CK_2$  栏内填写符号“ $\downarrow$ ”; ⑤在序号 1、7 两行上的  $J_2 K_2$  按  $Q_2^n$  的原态到次态的转换要求来填写, 而其他各行上的  $J_2 K_2$  按“约束项”处理。

表 7.51 状态转换驱动表

序号	$Q_2^n Q_1^n Q_0^n$	$Q_2^{n+1} Q_1^{n+1} Q_0^{n+1}$	$C$	$CK_2$ $Q_0^n \downarrow$	$J_2 K_2$	$CK_1$ $CP \downarrow$	$J_1 K_1$	$CK_0$ $CP \downarrow$	$J_0 K_0$
0	0 0 0	0 0 1	0		$\times \times$	$\downarrow$	$0 \times$	$\downarrow$	$1 \times$
1	0 0 1	1 0 0	0	$\downarrow$	$1 \times$	$\downarrow$	$0 \times$	$\downarrow$	$\times 1$
2	0 1 0	$\times \times \times$	$\times$		$\times \times$	$\downarrow$	$\times \times$	$\downarrow$	$\times \times$
3	0 1 1	$\times \times \times$	$\times$		$\times \times$	$\downarrow$	$\times \times$	$\downarrow$	$\times \times$
4	1 0 0	1 0 1	0		$\times \times$	$\downarrow$	$0 \times$	$\downarrow$	$1 \times$
5	1 0 1	1 1 1	0		$\times \times$	$\downarrow$	$1 \times$	$\downarrow$	$\times 0$
6	1 1 0	$\times \times \times$	$\times$		$\times \times$	$\downarrow$	$\times \times$	$\downarrow$	$\times \times$
7	1 1 1	0 0 0	1	$\downarrow$	$\times 1$	$\downarrow$	$\times 1$	$\downarrow$	$\times 1$

## (5) 导出逻辑方程组

观察表 7.51 所示的状态转换驱动表我们发现, 如果将全部的“约束项”看做“1”的话, 则  $J_2$ 、 $K_2$ 、 $K_1$  和  $J_0$  的表达式应为“1”, 即:  $J_2 = K_2 = K_1 = J_0 = 1$ 。所以我们只需画出驱动信号  $J_1$ 、 $K_0$  和输出信号  $C$  的卡诺图, 如图 7.117 所示。

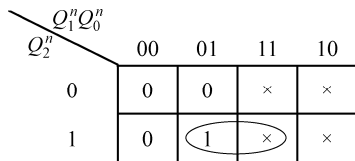
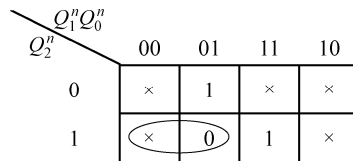
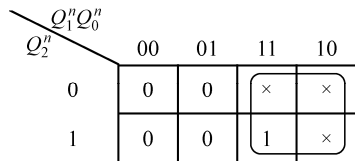
“圈组合并”这些卡诺图, 再结合上面已经得到的部分驱动信号表达式, 于是就导出该异步计数器的驱动方程和输出方程如下。

$$\text{驱动方程: } J_2 = 1, \quad K_2 = 1;$$

$$J_1 = Q_2^n Q_0^n, \quad K_1 = 1;$$

$$J_0 = 1, \quad K_0 = \bar{Q}_2^n + Q_1^n.$$

$$\text{输出方程: } C = Q_1^n.$$

(a)  $J_1$  的卡诺图(b)  $K_0$  的卡诺图(c)  $C$  的卡诺图图 7.117 驱动信号  $J_1$ 、 $K_0$  和输出信号  $C$  的卡诺图

再根据 JK 触发器的特性方程  $Q^{n+1} = J\bar{Q}^n + \bar{K}Q^n$ , 于是又得到该异步计数器的状态方程如下:

$$\begin{aligned} Q_2^{n+1} &= \bar{Q}_2^n, & CK_2 = Q_0^n \downarrow; \\ Q_1^{n+1} &= Q_2^n \bar{Q}_1^n Q_0^n, & CK_1 = CP \downarrow; \\ Q_0^{n+1} &= \bar{Q}_0^n + Q_2^n \bar{Q}_1^n Q_0^n = \bar{Q}_0^n + Q_2^n \bar{Q}_1^n, & CK_0 = CP \downarrow. \end{aligned}$$

#### (6) 检验自启动性

根据时钟方程、状态方程和输出方程列写出无效状态的状态转换表，如表 7.52 所示。

表 7.52 用于检验自启动性的状态转换表

序号	$Q_2^n Q_1^n Q_0^n$	C	$CK_2$ $Q_0^n \downarrow$	$Q_2^{n+1}$	$CK_1$ $CP \downarrow$	$Q_1^{n+1}$	$CK_0$ $CP \downarrow$	$Q_0^{n+1}$
2	0 1 0	1		0	$\downarrow$	0	$\downarrow$	1
3	0 1 1	1	$\downarrow$	1	$\downarrow$	0	$\downarrow$	0
6	1 1 0	1		1	$\downarrow$	0	$\downarrow$	1

由表 7.52 看出，所有的无效状态最终都将进入到有效的状态循环中，因此所设计的异步计数器可以自启动。

结合表 7.52 和图 7.116，可画出完整的状态转换图，如图 7.118 所示。

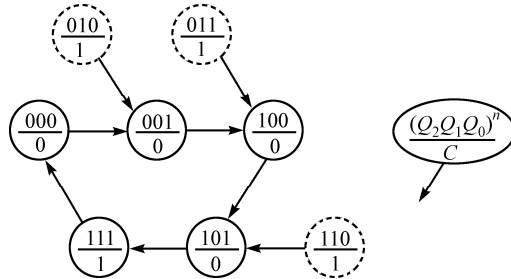


图 7.118 异步五进制计数器的完整状态转换图

上述完整的状态转换图清楚地表明，我们所设计的这个阻塞反馈式异步五进制计数器是可以自启动的。

#### (7) 画出异步计数器的逻辑图

有了异步计数器的时钟方程、输出方程和驱动方程，就可以画出该异步计数器的逻辑图，如图 7.119 所示。

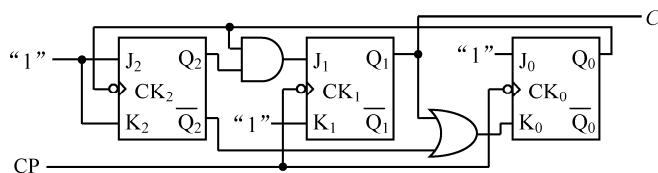


图 7.119 阻塞反馈式异步模五计数器的逻辑图

以上介绍了阻塞反馈式异步计数器的分析和设计方法，通过实例说明了分析、设计这类计数器的具体步骤。

可以看出，无论是分析电路的过程还是设计电路的步骤，阻塞反馈式异步计数器比同步计数器都要显得更复杂一些。出现这种情况的原因就是：同步计数器中有一个统一的时钟——外部计数脉冲 CP 去控制所有的触发器同时翻转，所以在分析和设计同步计数器时，并不把时钟信号单独作为一个外输入信号来考虑，而是只将它作为一个时间基准。外时钟信号 CP 在分析和设计的过程中是不出现的；

然而异步计数器里则没有这样一个统一的时钟信号，异步计数器中各触发器的时钟来源是不一样的，因此在分析和设计异步计数器时，需要单独地考虑每一个触发器的时钟源。各触发器的状态方程，只有在其所对应的时钟信号有效时，它才有效。虽然外部计数脉冲 CP 也作为异步计数器的时间基准信号，但它同时也是异步计数器中某些触发器的时钟信号源。于是，异步计数器的分析、设计过程比同步计数器来得复杂也就不奇怪了。

另外，同步和异步计数器在状态翻转的“持续”时间上也是有重要差别的。同步计数器中各触发器的翻转是在同一个时钟的作用下同时完成的。尽管由于各触发器翻转时间的差异，而使得计数器在状态转换的瞬间会出现所谓的“过渡性”状态<sup>①</sup>，但是这个“过渡性”状态的持续时间是很短暂的，在很多情况下可以忽略不计。但是异步计数器的情况就不同了，由于此时各触发器的时钟源不同，所以在计数器的状态改变时，各触发器的翻转时刻彼此就有先后之差。这样一来，异步计数器在状态转换的瞬间就会出现“较长”时间的、不容忽略的“过渡性”状态。如果后续电路对“过渡性”状态敏感，则还需要采取一些措施来避开这些“过渡性”状态，像图 7.90(a)、(c)所示顺序脉冲发生器的情形那样。异步计数器中存在“较长”时间的“过渡性”状态不仅限制了计数器的工作速度，而且还给电路工作的稳定性带来一些问题<sup>②</sup>。

同步计数器无论是在分析的过程上，还是在设计的步骤上，都要比阻塞反馈式异步计数器简单、规范、没有悬念。而且设计同步计数器的方法也显得相当成熟。此外，同步计数器在工作速度上和电路的稳定性上都要优于阻塞反馈式异步计数器。所以在实际工作中，同步计数器获得了更广泛的应用。

也许有的读者会问：既然如此，那我们为什么还要介绍阻塞反馈式异步计数器的分析与设计方法呢？为此，我们可以分别比较一下例 7.23 和例 7.34 以及例 7.24 和例 7.35 中的驱动方程组。我们发现，同样是设计“8421BCD 码十进制减法计数器”，同样是设计状态及转换顺序相同的“模 5（五进制）计数器”，在完成相同逻辑功能的前提下，阻塞反馈式异步计数器的驱动方程组比同步计数器的驱动方程组要简单。这意味着：在实现同等功能的情况下，异步计数器比同步计数器的成本要低。

仔细观察上述 4 个例题中的驱动方程组，我们还会发现一个有趣的现象：若阻塞反馈式异步计数器中的某一位触发器的时钟信号是外计数脉冲 CP 的话，则其驱动方程与同步计数器中相应位触发器的驱动方程相同；如果阻塞反馈式异步计数器某一位触发器的时钟源为非计数脉冲 CP，则其驱动方程要比同步计数器中相应位触发器的驱动方程简单。为什么会出现这种现象？请读者自己考虑之。

所以，在实际应用中，如果对电路的工作速度要求不高，对计数器的“过渡性”状态不在乎，例如将计数器用做分频器，则我们有时宁愿使用异步计数器。例如，商品化的集成电路芯片 74290，其中的五进制计数器就是一个阻塞反馈式异步计数器。

## 小 结

这一章的主题是时序逻辑电路的分析与设计问题，讨论的重点是同步时序逻辑电路的分析与设计方法。时序电路是数字电路中的另外一大类、而且是非常重要的一类逻辑电路。时序逻辑电路本身又分为两大类，即：同步时序电路和异步时序电路。如果时序电路中所有的触发器（记忆元件）都由一个时钟信号统一控制，则这类时序电路就叫做同步时序电路，否则就是异步时序电路。时序逻辑电路与组合逻辑电路的最大不同之处就在于：它是具有状态记忆的逻辑电路，它的输出不仅与当时的输入信号有关，而且还与当时的电路状态（即过去的输入信号）有关。同步时序电路是以时钟周期为节拍，

<sup>①</sup> 这种“过渡性”状态会引起后续组合电路的输出端上出现译码噪声。

<sup>②</sup> 本书不讨论这方面的问题。

按顺序输出响应信号的逻辑电路。在现实应用当中，同步时序电路是应用较多的一类时序电路，因此它也是本章讨论的重点。

为了以一个统一的观点来看待各种各样的同步时序电路，本章特别引入了“同步有限状态机”的概念。任何一个同步时序逻辑电路都可以归结为一个同步有限状态机。按照状态机输出信号特点的不同，同步状态机可分为米里型状态机和摩尔型状态机两大类。如果状态机的输出信号同时是输入信号和状态信号的逻辑函数，则这类状态机就是米里型的；如果状态机的输出信号仅仅是状态信号的逻辑函数，则这类状态机就是摩尔型的。本章介绍了5种描述同步时序电路（状态机）的方法，它们是：逻辑方程组，包括输出方程组、驱动方程组和状态方程组；状态转换图；状态转换表；逻辑图和时序图。

分析同步时序电路（状态机）的基本步骤大致是：①确定电路类型，即：是米里型还是摩尔型，明确电路的输入、输出和状态信号；②由逻辑图写出电路的输出方程组、驱动方程组和状态方程组；③根据三组逻辑方程列出完整的状态转换表；④根据状态转换表画出完整的状态转换图；⑤根据状态图的特点判断电路的逻辑功能；⑥画出电路的时序图；⑦若给定了电路的输入信号序列，则需要求出电路的输出响应信号序列。在实际应用中，这些步骤不是一成不变的，可根据情况颠倒某些步骤的次序并有所取舍。

设计同步时序电路（状态机）的基本步骤大致是：①根据实际问题的文字描述进行逻辑抽象，建立原始的状态转换图和状态转换/输出表；②化简原始状态图（表），去掉多余的状态以得到最简的状态图（表）；③对原始状态图（表）中的各状态进行“状态分配”或“状态编码”，同时也确定了所需触发器的个数，它与状态的个数有关；④选择所用触发器的类型（如JK、D触发器等）；⑤利用“驱动表法”或“次态K图法”导出欲设计时序电路的逻辑方程组——输出方程组、驱动方程组和状态方程组；⑥检验时序电路的自启动性，若电路不能自启动，则需返回第⑤步修改设计，根据最后确定的设计画出完整的状态转换图；⑦按照最终得到的逻辑方程组，画出所设计时序电路的逻辑图。这些步骤只是设计同步时序电路的一般步骤，它们不是一成不变的。在设计时序电路的实践中，有些步骤是可以省略的。

常用同步时序逻辑电路的分析与设计是以同步状态机的分析与设计为基础的。同步计数器/分频器实际上就是一个无外输入信号的摩尔型状态机，它的输出信号直接来自于状态信号，所以它是一种无外输入信号、无输出组合逻辑的摩尔型状态机。移存型计数器也是一个无外输入信号、无输出组合逻辑的摩尔型状态机。它的特殊之处就在于：除了第0级触发器之外，所有的触发器的驱动方程均已确定—— $D_i = Q_{i-1}^n$  ( $i = 1 \sim n-1$ )。因此设计移存型计数器时，只需设计第0级触发器的驱动方程就够了。至于同步序列信号发生器，则不论是顺序脉冲发生器还是一般序列信号发生器，它们的构成方式无外乎3种类型，即：状态编码（直接逻辑）型计数器、状态解码（间接逻辑）型计数器和移存型计数器。它们都是典型的无外输入信号的摩尔型状态机。

阻塞反馈式异步计数器是一种应用较多的异步时序电路。尽管这种异步计数器在速度方面不如同步式计数器，但是在完成相同逻辑功能的前提下，阻塞反馈式异步计数器的结构较之同步计数器要简单。由于是异步时序电路，所以分析和设计阻塞反馈式异步计数器的过程较之同步计数器来讲要复杂一些。最主要的不同之处就在于：对于同步计数器，由于时钟信号是统一的，所以在分析和设计的过程中不把时钟信号单独作为输入信号来考虑；而对于异步计数器，则要将时钟信号作为输入信号而单独考虑，要顾及到各触发器的时钟信号来源和它们的触发边沿。

## 习 题

- 7-1 数字逻辑电路分为几类？时序逻辑电路分为几类？它们各有什么特点？
- 7-2 同步时序电路的结构和特点是什么？它是如何运行的？时钟在同步时序电路当中的作用是什么？
- 7-3 什么是同步状态机？米里型状态机和摩尔型状态机的主要不同点是什么？

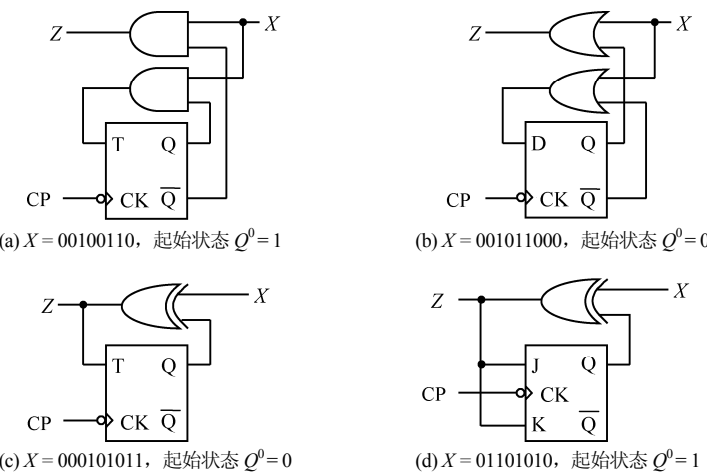
7-4 描述同步时序逻辑电路(状态机)的方法有哪些?与描述组合逻辑电路的各种方法相比较,它们之间有什么相同、相似或不同点?

7-5 试分别画出米里型状态机和摩尔型状态机的结构框图。

7-6 试写出描述同步时序逻辑电路(状态机)的各逻辑方程组的一般表达式。

7-7 分析图题 7-7 所示各状态机(时序)电路,要求:

- (1) 指出状态机的类型;
- (2) 写出状态机的三组逻辑方程;
- (3) 列出卡诺图形式的状态转换表;
- (4) 画出状态转换图;
- (5) 根据所给定的输入序列  $X$ , 画出  $CP$ 、 $X$ 、 $Q$  和  $Z$  的波形图。



图题 7-7

7-8 试分析图题 7-8 所示各同步状态机(时序)电路,要求:

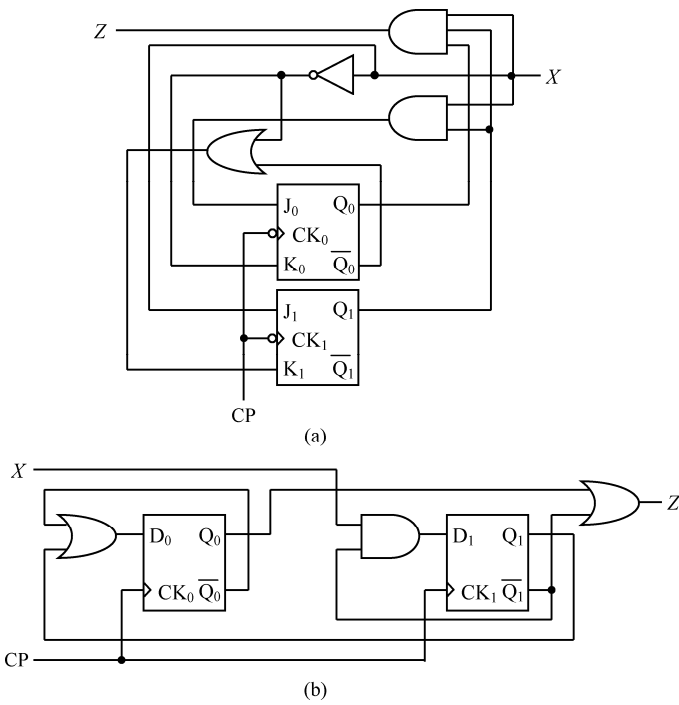
- (1) 指出同步状态机的类型;
- (2) 写出状态机的三组逻辑方程;
- (3) 列出卡诺图形式的状态转换表和输出函数表;
- (4) 画出状态转换图;

7-9 分析图题 7-9 所示各同步状态机电路在给定输入序列  $X=0110111010$  时的输出序列,假设起始状态  $Q_1^0=0$ ,  $Q_0^0=0$ , 要求:

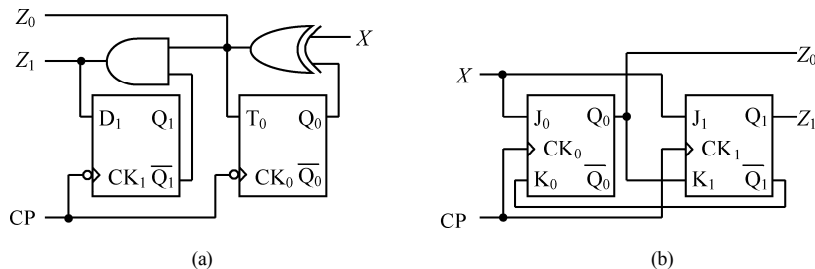
- (1) 指出同步状态机的类型;
- (2) 写出状态机的三组逻辑方程;
- (3) 列出卡诺图形式的状态转换表和输出函数表;
- (4) 画出状态转换图;
- (5) 根据所给定的输入序列  $X$ , 画出输入信号、状态信号和输出信号相对于时钟的定时波形图。

7-10 试分析图题 7-10 所示各同步状态机电路,要求:

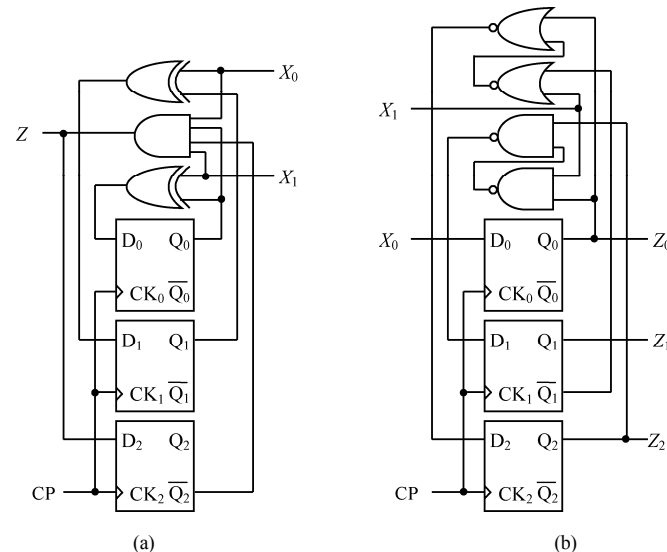
- (1) 指出同步状态机的类型;
- (2) 写出状态机的三组逻辑方程;
- (3) 列出卡诺图形式的状态转换表和输出函数表;
- (4) 画出状态转换图。



图题 7-8

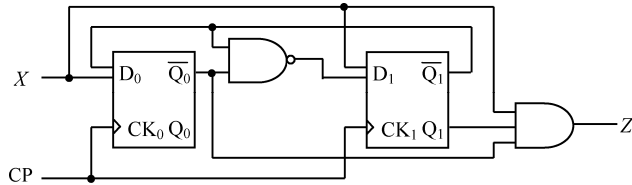


图题 7-9



图题 7-10

7-11 图题 7-11 所示为一个序列探测器, 试分析其逻辑功能, 指出状态机的类型。求在输入序列  $X=1011111001110$  的情况下的输出序列  $Z$  (设  $Q_1Q_0$  的初始状态为“00” )。



图题 7-11

7-12 某同步时序电路的逻辑方程如下。

$$\text{驱动方程: } T_1 = X \oplus Q_0^n, \quad T_0 = X \overline{Q_1^n};$$

$$\text{输出方程: } Z = X \overline{Q_1^n}.$$

要求:

(1) 画出同步时序电路的逻辑图, 这是什么类型的状态机?

(2) 画出该电路的状态转换图。

7-13 给定同步时序电路的逻辑方程如下。

$$\text{驱动方程: } D_1 = X + Q_1^n + Q_0^n, \quad D_0 = \bar{X} \oplus Q_0^n;$$

$$\text{输出方程: } Z = X \overline{Q_1^n} Q_0^n.$$

要求:

(1) 画出此电路的逻辑图, 这是什么类型的状态机?

(2) 列出卡诺图形式的状态转换表, 画出状态转换图。

7-14 以下是 4 个同步时序电路的文字描述, 试建立这些同步时序电路的米里型状态转换图。每个时序电路均有一个输入端  $X$  和一个输出端  $Z$ 。

(1) 第一个电路是当其输入端  $X$  上连续出现两个逻辑“1”时, 该电路的输出端  $Z$  必产生一个逻辑“1”, 即  $Z=1$ 。在此连续两个逻辑“1”之后的输入信号将复位输出端到逻辑“0”。例如:

$$\begin{aligned} X &= 01100111110 \\ Z &= 00100010100 \end{aligned}$$

(2) 第二个电路必须能够检测输入序列“101”, 当该序列的最后一个“1”出现时产生输出  $Z=1$ 。在“101”序列出现之后的下一个时钟脉冲将复位输出端到逻辑“0”。两个“101”序列可以重叠, 例如:

$$\begin{aligned} X &= 010101101 \\ Z &= 000101001 \end{aligned}$$

(3) 重复题 7-14 (2), 但是不允许两个序列重叠, 例如:

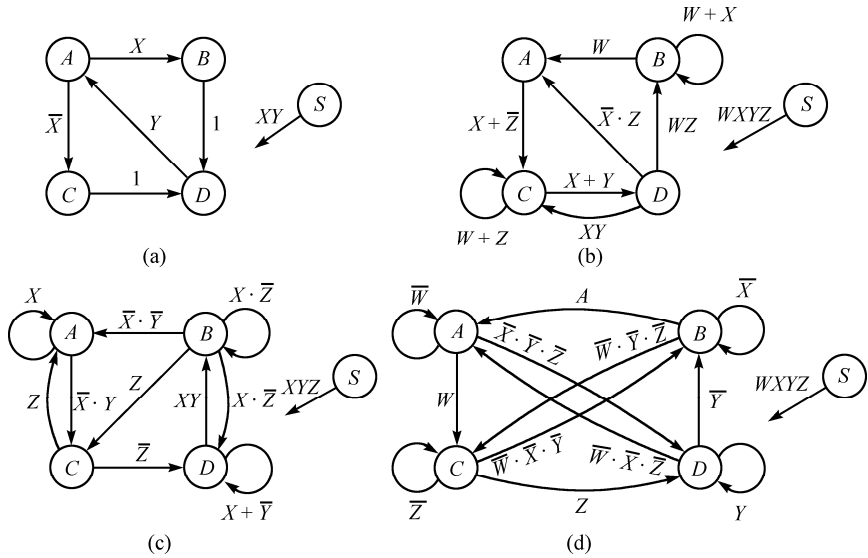
$$\begin{aligned} X &= 010101101 \\ Z &= 000100001 \end{aligned}$$

(4) 第 4 个电路可检测一个“01”序列。该序列可使输出端置位成  $Z=1$ 。在此之后, 输出端只能被一个“00”输入序列所复位。在所有其他情况下,  $Z=0$ 。例如:

$$\begin{aligned} X &= 010100100 \\ Z &= 011110110 \end{aligned}$$

7-15 重复题 7-14, 试建立起各同步时序电路的摩尔型状态转换图。

7-16 图题 7-16 所示各状态转换图中均有一些错误, 即所谓的描述不确切之处。试找出这些错误并加以更正, 然后画出合理的状态图 (提示: 离开每一个状态的路径, 即带箭头的弧线数应该与输入变量的组合数相对应)。



图题 7-16

7-17 如果可能, 用观察法对题 7-14 中所建立起来的各同步时序电路的状态转换图进行化简。

7-18 如果可能, 用观察法对题 7-15 中所建立起来的各同步时序电路的状态转换图进行化简。

7-19 找出表题 7-19 所描述的同步时序电路的最简状态转换表。

(1) 用观察法;

(2) 用隐含表法。

表题 7-19 状态转换表

$S^n \setminus X$	0	1
$S_0$	$S_1/0$	$S_0/1$
$S_1$	$S_2/0$	$S_0/0$
$S_2$	$S_2/0$	$S_1/0$
$S_3$	$S_4/0$	$S_3/1$
$S_4$	$S_2/0$	$S_3/0$

$S^{n+1}/Z$

7-20 用观察法化简表题 7-20 所示的各状态转换表。

表题 7-20 状态转换表

$S^n \setminus X$	0	1
$S_0$	$S_1/1$	$S_2/0$
$S_1$	$S_0/1$	$S_2/0$
$S_2$	$S_3/1$	$S_0/0$
$S_3$	$S_2/1$	$S_0/1$

$S^{n+1}/Z$

$S^n \setminus X$	0	1
$S_0$	$S_0/0$	$S_4/1$
$S_1$	$S_4/1$	$S_2/0$
$S_2$	$S_0/1$	$S_3/1$
$S_3$	$S_5/0$	$S_6/1$
$S_4$	$S_1/1$	$S_2/0$
$S_5$	$S_5/0$	$S_4/1$
$S_6$	$S_0/1$	$S_3/1$

$S^{n+1}/Z$

$S^n \setminus X$	00	01	1*
$S_0$	$S_0/0$	$S_1/1$	$S_4/1$
$S_1$	$S_1/0$	$S_0/1$	$S_5/1$
$S_2$	$S_0/1$	$S_3/0$	$S_4/0$
$S_3$	$S_5/0$	$S_2/1$	$S_0/0$
$S_4$	$S_0/0$	$S_3/1$	$S_4/1$
$S_5$	$S_1/0$	$S_3/1$	$S_5/1$

..

- 7-21 用隐含表法化简表题 7-20 所示的各状态转换表。  
 7-22 找出表题 7-22 所描述的同步时序电路的简化状态转换表。  
 7-23 用隐含表法化简表题 7-23 所示状态转换表的状态数量。

表题 7-22 状态转换表

$S^n \diagdown X$	0	1
$S_0$	$S_1/0$	$S_2/0$
$S_1$	$S_3/0$	$S_4/0$
$S_2$	$S_5/0$	$S_6/0$
$S_3$	$S_0/1$	$S_1/1$
$S_4$	$S_2/0$	$S_3/0$
$S_5$	$S_5/0$	$S_6/0$
$S_6$	$S_1/0$	$S_5/0$

 $S^{n+1}/Z$ 

表题 7-23 状态转换表

$S^n \diagdown X$	00	01	1*
$S_0$	$S_3/1$	$S_2/0$	$S_4/1$
$S_1$	$S_3/0$	$S_4/0$	$S_2/1$
$S_2$	$S_0/0$	$S_4/0$	$S_1/1$
$S_3$	$S_0/1$	$S_1/0$	$S_4/1$
$S_4$	$S_0/1$	$S_2/0$	$S_1/1$

 $S^{n+1}/Z$ 

- 7-24 用“相邻分配”规则为表题 7-24 所描述的同步时序电路进行状态分配。

7-25 在规定  $S_0$  的状态编码为  $Q_2Q_1Q_0 = 000$  的前提下, 用“相邻分配”规则为表题 7-25 所描述的同步时序电路进行状态分配。

7-26 用两个状态变量  $Q_1^nQ_0^n$  可以为具有 4 个状态的同步状态机进行状态编码分配。状态编码的方案共有 24 个。然而在这 24 个编码方案中, 大部分的编码方案是等效的。真正唯一的、互不等效的编码方案只有三种, 如表题 7-26(b)所示。试分别采用这三种互不等效的编码方案, 利用次态 K 图法导出由表题 7-26(a)所定义的状态机的驱动方程和输出方程。请分别使用下面各类触发器实现状态机, 并选出采用每一类触发器时的“最优编码”方案, 这些“最优编码”方案对于各类触发器实现来讲是否为同一个编码方案?

(1) D 触发器; (2) JK 触发器; (3) 钟控 RS 触发器; (4) T 触发器。

表题 7-24 状态转换表

$S^n \diagdown X$	0	1
$S_0$	$S_1/0$	$S_2/0$
$S_1$	$S_3/0$	$S_0/1$
$S_2$	$S_3/1$	$S_0/0$
$S_3$	$S_1/1$	$S_2/1$
$S_4$	$S_0/0$	$S_0/0$

 $S^{n+1}/Z$ 

表题 7-25 状态转换表

$S^n \diagdown X$	0	1
$S_0$	$S_1/0$	$S_2/0$
$S_1$	$S_0/1$	$S_2/1$
$S_2$	$S_1/0$	$S_2/1$
$S_3$	$S_2/0$	$S_2/0$
$S_4$	$S_3/1$	$S_0/0$

 $S^{n+1}/Z$ 

表题 7-26 状态转换表及状态分配表

$S^n \diagdown X$	0	1
$S_0$	$S_1/0$	$S_3/0$
$S_1$	$S_2/0$	$S_0/0$
$S_2$	$S_3/0$	$S_0/0$
$S_3$	$S_1/1$	$S_2/1$

 $S^{n+1}/Z$ 

$S^n \diagdown Q^n$	$Q_1^n Q_0^n (1)$	$Q_1^n Q_0^n (2)$	$Q_1^n Q_0^n (3)$
$S_0$	0 0	0 0	0 0
$S_1$	0 1	1 1	1 0
$S_2$	1 1	0 1	0 1
$S_3$	1 0	1 0	1 1

7-27 重复题 7-26。描述状态机的状态转换表如表题 7-27 所示。

7-28 用米里型状态机并采用 T 触发器，重新设计例 7.8 所述的串行三位码“质数”检测器。

7-29 表题 7-29 描述了一个同步时序电路。分别用驱动表法和次态 K 图法导出电路的逻辑方程组，画出逻辑图。假设用两个状态变量  $Q_1^n Q_0^n$  表示状态  $S^n$  且状态分配为： $S_0 = 00$ ,  $S_1 = 01$ ,  $S_2 = 11$ ,  $S_3 = 10$ 。试分别用下述各类触发器实现之。

(a) D 触发器；(b) JK 触发器；(c) 钟控 RS 触发器；(d) T 触发器。

表题 7-27 状态转换表

$S^n \setminus X$	0	1
$S_0$	$S_2/0$	$S_3/0$
$S_1$	$S_2/0$	$S_0/0$
$S_2$	$S_1/0$	$S_3/0$
$S_3$	$S_0/1$	$S_1/1$

 $S^{n+1}/Z$ 

表题 7-29 状态转换表

$S^n \setminus X$	0	1
$S_0$	$S_1/0$	$S_2/0$
$S_1$	$S_3/0$	$S_0/1$
$S_2$	$S_0/1$	$S_3/0$
$S_3$	$S_3/1$	$S_1/1$

 $S^{n+1}/Z$ 

7-30 表题 7-30 定义了一个同步状态机。分别用驱动表法和次态 K 图法导出该状态机的逻辑方程组，画出逻辑图。假设用两个状态变量  $Q_1^n Q_0^n$  表示状态  $S^n$  且状态分配为： $S_0 = 00$ ,  $S_1 = 01$ ,  $S_2 = 10$ ,  $S_3 = 11$ 。试分别用下述各类触发器实现之。

(1) JK 触发器；(2) T 触发器；(3) D 触发器。

7-31 某同步时序电路的状态转换表和输出函数表如表题 7-31 所示。试用次态 K 图法并分别采用 D 触发器、T 触发器和 JK 触发器实现之。假设用两个状态变量  $Q_1^n Q_0^n$  表示状态  $S^n$  且状态分配为： $S_0 = 00$ ,  $S_1 = 01$ ,  $S_2 = 11$ ,  $S_3 = 10$ 。要求：

- (1) 写出时序电路的逻辑方程组；
- (2) 画出该电路的逻辑图。

表题 7-30 状态转换表

$S^n \setminus X$	0	1
$S_0$	$S_1/0$	$S_3/0$
$S_1$	$S_2/0$	$S_0/0$
$S_2$	$S_3/0$	$S_1/0$
$S_3$	$S_0/1$	$S_2/1$

 $S^{n+1}/Z$ 

表题 7-31 状态转换表/输出函数表

$S^n \setminus X$	0	1	$Z$
$S_0$	$S_1$	$S_3$	0
$S_1$	$S_2$	$S_1$	0
$S_2$	$S_1$	$S_0$	1
$S_3$	$S_1$	$S_2$	0

 $S^{n+1}$ 

7-32 同步时序电路的状态转换表如表题 7-32 所示。试用次态 K 图法并分别采用 D 触发器和 JK 触发器实现之，电路要能够自启动。要求：

- (1) 写出时序电路的逻辑方程组；
- (2) 画出该电路的逻辑图。

7-33 某同步时序电路的状态转换表如表题 7-33(a)所示，状态分配表如表题 7-33(b)所示。试用次态 K 图法并分别采用 D 触发器和 T 触发器实现该时序电路，电路要能够自启动。要求：

- (1) 写出时序电路的逻辑方程组；
- (2) 画出该电路的逻辑图。

7-34 设计一个“011”序列检测器。每当输入“011”码时，对应最后一个输入的“1”电路的输出便为“1”。要求：

- (1) 采用 D 触发器，用米里型同步状态机实现；

(2) 采用 JK 触发器, 用摩尔型同步状态机实现。

表题 7-32 状态转换表

序号	$X$	$Q_2^n$	$Q_1^n$	$Q_0^n$	$Q_2^{n+1}$	$Q_1^{n+1}$	$Q_0^{n+1}$	$Z$
0	0	0	0	0	0	0	1	0
1	0	0	0	1	0	0	0	1
2	0	0	1	0	0	0	1	0
3	0	0	1	1	0	1	0	0
4	0	1	0	0	0	1	1	1
5	0		x			x		x
6	0		x			x		x
7	0		x			x		x
8	1	0	0	0	1	0	0	0
9	1	0	0	1	0	1	0	1
10	1	0	1	0	0	1	0	1
11	1	0	1	1	1	0	0	0
12	1	1	0	0	0	0	0	0
13	1		x			x		x
14	1		x			x		x
15	1		x			x		x

表题 7-33 状态转换表及状态分配表

(a) 状态转换表

$S^n \setminus X$	0	1
$S_0$	$S_3/0$	$S_2/0$
$S_1$	$S_4/0$	$S_0/1$
$S_2$	$S_5/1$	$S_1/0$
$S_3$	$S_0/1$	$S_5/1$
$S_4$	$S_2/0$	$S_4/0$
$S_5$	$S_1/0$	$S_3/1$

 $S^{n+1}/Z$ 

(b) 状态分配表

$S^n \setminus Q^n$	$Q^n$	$Q_2^n$	$Q_1^n$	$Q_0^n$
$S_0$		0	0	0
$S_1$		0	0	1
$S_2$		0	1	1
$S_3$		0	1	0
$S_4$		1	0	0
$S_5$		1	0	1

7-35 采用 JK 触发器, 用摩尔型同步状态机实现一个可重叠的“1111”序列检测(探测)器。将本题的状态图与例 7.7、例 7.10 的状态图相比较, 可得出何结论?

7-36 分别用米里型和摩尔型同步状态机设计“1101”序列检测器。求出它的最简状态表和最简状态图。然后再用 T 触发器实现之。

(1) “1101”序列不重叠, 如:

$X: 01101101011010$

$Z: 00001000000010;$

(2) “1101”序列可以重叠, 如:

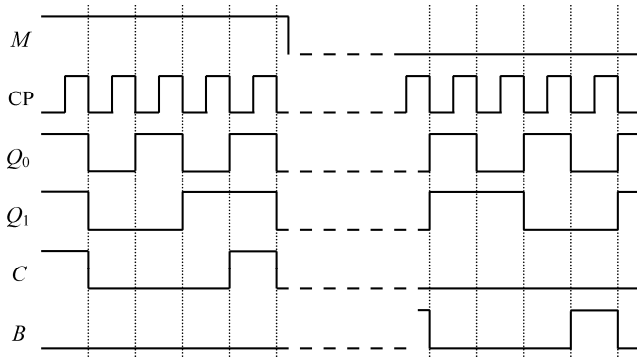
$X: 01101101011010$

$Z: 00001001000010;$

7-37 用 JK 触发器, 按图题 7-37 所示时序要求设计一个可逆计数器。图中,  $M$  为“加/减”控制信号,  $C$  和  $B$  分别为计数器的进位和借位输出信号。

7-38 设计一个 2 比特多功能计数器。计数器的功能表如表题 7-38 所示, 其中  $C_1$ ,  $C_0$  为输入控制信号。用 JK 触发器实现。

7-39 用 D 触发器设计一个 3 比特计数器/伪随机数发生器。电路有一个控制输入信号  $X$ 。当  $X=0$  时, 电路工作于二进制加法计数器模式; 否则, 电路将工作于伪随机数发生器模式。电路的功能表(状态转换表)如表题 7-39 所示, 此电路是哪一种类型的状态机?



图题 7-37

7-40 设计一个串行减法器，它能够执行  $A-B$  的操作。其中： $A=a_{n-1}\cdots a_1a_0$ ,  $B=b_{n-1}\cdots b_1b_0$ 。 $A$ 、 $B$  两个操作数分别按串行方式施加于串行减法器的两个输入端，且以  $a_0$  和  $b_0$  为起始位。用米里型状态机并采用 JK 触发器实现。

7-41 重复题 7-40。用摩尔型状态机并采用 D 触发器实现。

7-42 设计一个串行奇偶位产生电路。此电路可接收一个串行比特输入序列并确定序列中含有逻辑“1”的个数是奇数还是偶数。如果输入序列中含有偶数个“1”的话，则电路的输出  $P$  为“0”；如果含有奇数个“1”，则  $P=1$ 。试用米里型状态机并分别采用 D 触发器和 T 触发器实现。

表题 7-38 功能表

序号	$C_1$	$C_0$	工作模式
0	0	0	模 4 加法计数器
1	0	1	模 4 减法计数器
2	1	0	模 4 格雷码计数器
3	1	1	模 3 计数器（状态顺序：00, 01, 11）

表题 7-39 功能表

现态	二进制加法计数器		伪随机数发生器
	$X=0$	$X=1$	$X=1$
0	1	0	0
1	2	4	4
2	3	5	5
3	4	1	1
4	5	2	2
5	6	6	6
6	7	7	7
7	0	3	3

次态

7-43 重复题 7-42。用摩尔型状态机并分别采用 JK 触发器和 T 触发器实现。

7-44 一个同步时序电路有两个输入端  $X_1$  和  $X_0$ ，只有在连续两个（或两个以上）时钟脉冲作用期间，两个输入信号都一致时，才能使输出为“1”，否则输出为“0”。请分别用米里型和摩尔型同步状态机设计此电路，并用 JK 触发器实现之。

7-45 设计一个自动售糖块控制器。糖块的价格统一为 3 分钱一块。投币口每次只能投入一枚 1 分或 2 分硬币。投入 3 分硬币后电路自动送出一块糖；投入 4 分硬币后，则在给出糖块的同时还自动找出 1 分硬币。一次购买所投入的硬币不能超过 4 分钱。分别用米里型和摩尔型同步状态机设计此控制器，再用 D 触发器实现之。

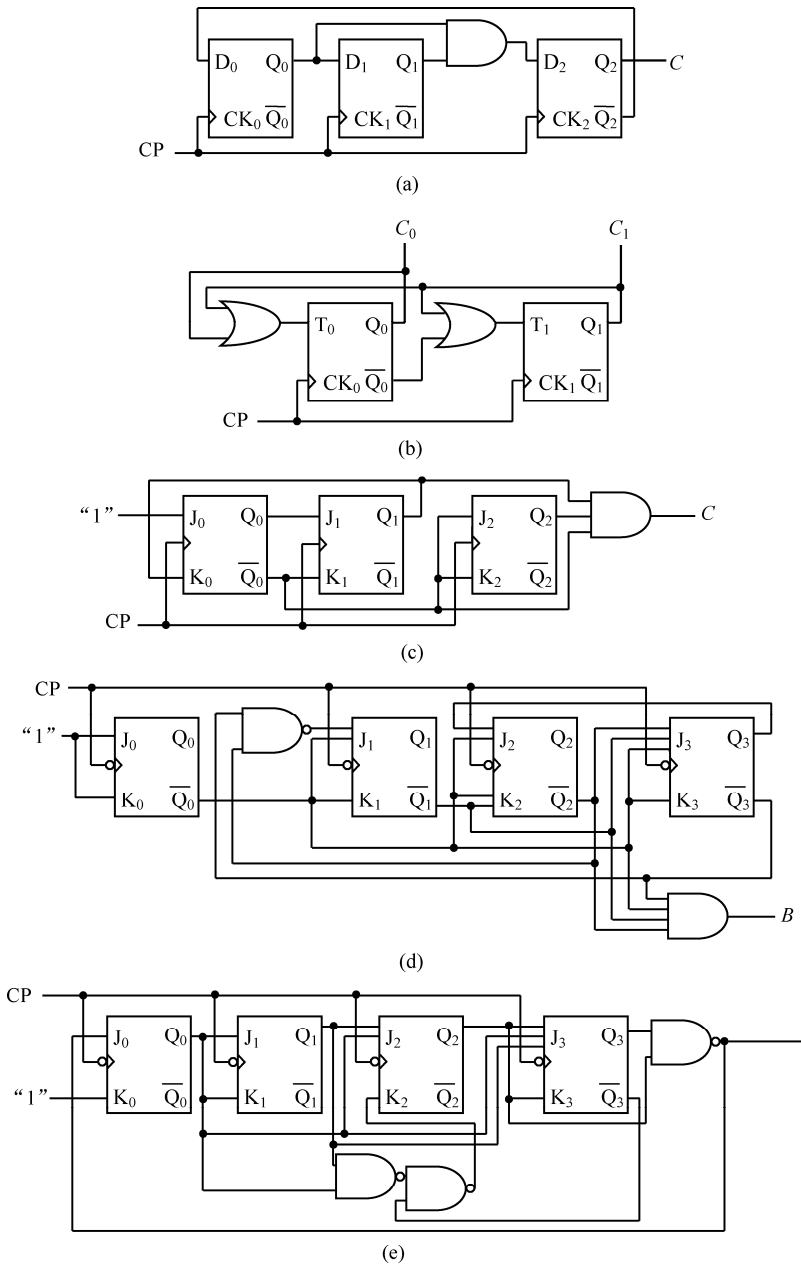
7-46 设计一个糖果自动售货机。糖果的价格统一为 20 分。售货机只接受 5 分硬币或 10 分硬币。如果投入的硬币超过 20 分，则自动售货机除送出糖果外还要找回零钱。一次购买所投入的硬币不能超过 25 分，所以找回的零钱只能是 5 分硬币。用摩尔型同步状态机设计，采用 D 触发器实现之。

7-47 一个同步状态机有两个输入端，INIT 和  $X$ ，及一个摩尔型输出端  $Z$ 。只要输入 INIT 为“1”，则输出  $Z$  就一直是“0”。一旦 INIT 无效 (INIT = 0)，则输出  $Z$  将一直保持“0”电平，直到输入  $X$  在连续两个时钟

的有效边沿上出现“0”、且又在另外两个连续的时钟有效边沿上出现“1”时为止，在 $X$ 上出现相继两个时钟周期“0”和相继两个时钟周期“1”的次序可以互换。在此之后，输出 $Z$ 变为“1”电平。以后 $Z$ 将一直保持“1”电平，直到输入 INIT 再次有效 (INIT = 1) 时为止。要求：

- (1) 画出状态转换图，状态图应该是平面的（带箭头的弧线没有交叉）（提示：所需状态的个数不超过 10 个）；
- (2) 用隐含表法化简状态转换图；
- (3) 进行适当的状态分配；
- (4) 分别采用 D 触发器、JK 触发器和 T 触发器实现之。

7-48 按步骤分析图题 7-48 所示电路的逻辑功能。画出状态信号、输出信号与时钟信号 CP 的同步波形图。



图题 7-48

7-49 试用上升沿触发的 D 触发器设计一个模 5 计数器，其计数顺序为 0, 1, 3, 5, 6, 0。

7-50 设计一个模 7 同步计数器，计数顺序为：0, 1, 3, 2, 6, 7, 5, 0。写出完整的设计过程。

(1) 采用下降沿触发的 JK 触发器；

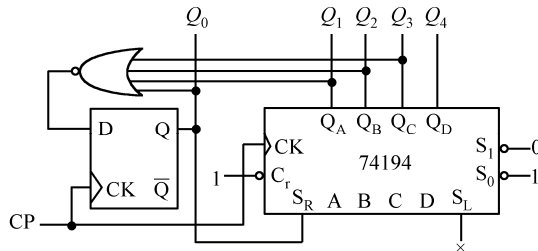
(2) 采用上升沿触发的 D 触发器；

(3) 采用下降沿触发的 T 触发器。

7-51 图题 7-51 是由移存器 74LS194 和 D 触发器构成的计数器。要求：

(1) 画出电路的完整状态转换图；

(2) 这是一个什么类型的计数器？它的模  $M$  是多少？



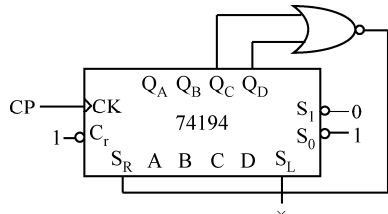
图题 7-51

7-52 试分析图题 7-52 所示电路的逻辑功能，画出完整的状态转换图。若用“与非”门代替图中的“或非”门，则其状态图将如何变化。

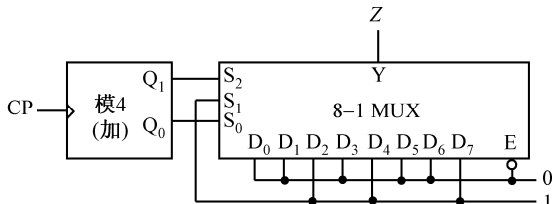
7-53 用移位寄存器 74LS194 设计一个能自启动的 4 位环形计数器。选择图 7.80(b)中的循环 II (循环移位“0”)作为环形计数器的主循环。

7-54 用 4D 触发器 74LS175 设计一个能自启动的 4 位扭环计数器，然后把它缩减为模 7 计算器。

7-55 图题 7-55 是由 8-1 MUX 和模 4 加法计数器构成的序列信号发生器。试画出信号  $Q_1$ 、 $Q_0$  ( $Q_1$  为高位) 和 Z 与时钟信号 CP 的同步波形。



图题 7-52



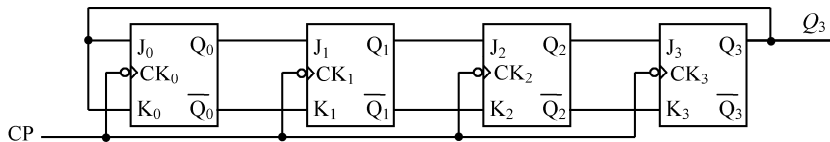
图题 7-55

7-56 用上升沿触发的 D 触发器设计一个序列信号发生器，其输出序列为：101001。要求：

(1) 按移存型序列信号发生器设计；

(2) 按状态编码计数型序列信号发生器设计。

7-57 图题 7-57 是由 JK 触发器构成的 m 序列信号发生器，试画出其完整的状态图，写出  $Q_3$  输出序列，并说明其特点。



图题 7-57

7-58 设计一个能自启动的4位m序列信号发生器。要求:

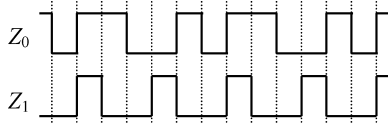
(1) 用4D触发器74LS175实现;

(2) 用“串入-并出”移存器CD4015实现。

7-59 用下降沿触发的JK触发器设计一个序列信号发生器,该发生器能够同时输出图题7-59所示的两个脉冲序列。要求:

(1) 按状态编码计数型序列信号发生器设计;

(2) 按状态解码计数型序列信号发生器设计。



图题 7-59

7-60 图题7-60所示各电路均为阻塞反馈式模5异步计数器。

要求:

(1) 写出逻辑方程组;

(2) 列写完整的状态转换表;

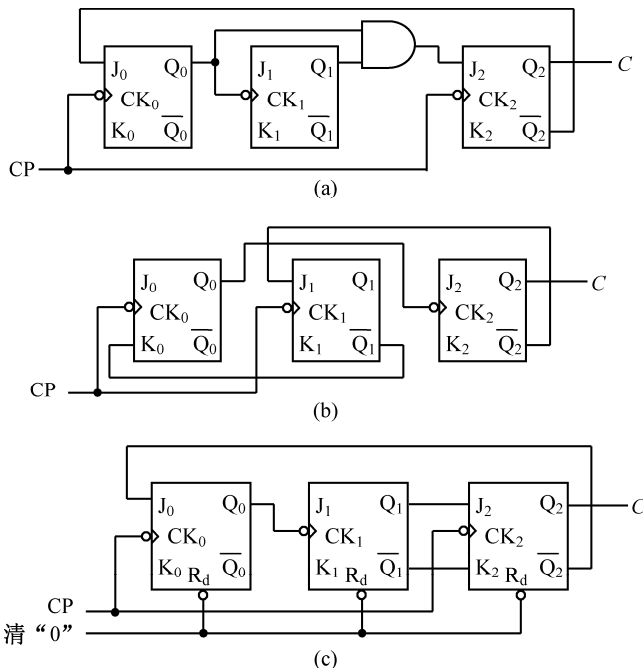
(3) 画出完整的状态转换图;

(4) 画出各电路的 $Q_2$ 、 $Q_1$ 、 $Q_0$ 与时钟信号CP的同步波形图。

7-61 设计一个阻塞反馈式模6减法异步计数器。写出完整的设计过程。要求:

(1) 用下降沿触发的JK触发器实现;

(2) 用上升沿触发的D触发器实现。



图题 7-60

7-62 设计一个与题7-61一样的模6计数器,但这个计数器是同步计数器。写出完整的设计过程。要求:

(1) 用下降沿触发的JK触发器实现;

(2) 用上升沿触发的D触发器实现。

比较一下本题的驱动方程和题7-61的驱动方程,有何发现?

# 第8章 脉冲信号的产生和整形

本章主要介绍在数字电路中用于脉冲产生和整形的几种基本单元电路。在脉冲产生电路中，介绍了多谐振荡器的几种常见形式；在脉冲整形电路中，对单稳态触发器和施密特触发器的几种主要形式进行了论述；最后还讨论了广泛应用的555定时器及用555定时器构成单稳态触发器、施密特触发器和多谐振荡器的方法与应用。

## 8.1 概述

在数字电路中，矩形脉冲作为时钟信号或控制信号用来控制和协调整个数字系统的工作。通常采用两种方法获取矩形脉冲信号：一是利用脉冲振荡器直接产生；二是对已有的周期性变化的波形进行整形，以使它变换为所需要的脉冲波形。

矩形脉冲波形的特性主要由下述几个参数来表征，如图8.1所示。

脉冲周期  $T$ ——在周期重复的脉冲系列中，两个相邻脉冲之间的时间间隔。

脉冲幅度  $U_m$ ——脉冲电压的最大幅值。

脉冲宽度  $T_w$ ——从脉冲前沿上升到  $0.5U_m$  起，至脉冲后沿下降到  $0.5U_m$  为止的一段时间。

上升时间  $t_r$ ——脉冲上升沿从  $0.1U_m$  上升到  $0.9U_m$  所需的时间。

下降时间  $t_f$ ——脉冲下降沿从  $0.9U_m$  下降到  $0.1U_m$  所需的时间。

占空比  $q$ ——脉冲宽度与脉冲周期的比值  $q = \frac{T_w}{T}$ 。

利用上述几个参数，就可以将矩形脉冲的基本特性大体上表示清楚，此外，对于有特殊要求的脉冲周期、幅度或稳定性等，则还需要附加一些相应的性能参数来说明。

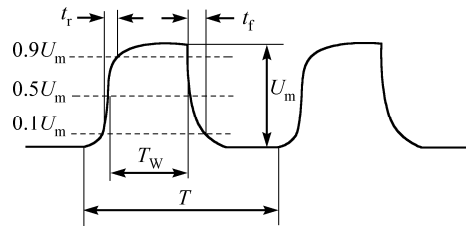


图8.1 矩形脉冲的特性参数

## 8.2 连续矩形脉冲波的产生

矩形波中包含着丰富的高次谐波，所以，矩形波发生器（Square Wavefrom Oscillator）又称为**多谐振荡器**。它没有稳定状态，只有两个暂稳态，故又称为**无稳态触发器**。

### 8.2.1 环形振荡器

我们知道一个闭合回路中利用其正反馈就可以产生自激振荡，若利用闭合回路中的延迟负反馈作用，同样也能产生自激振荡，但要求其负反馈信号足够强。环形振荡器就是利用延迟负反馈产生振荡的。

图8.2所示为有RC延时电路的环形振荡器，下面结合它的工作波形图8.3说明其工作原理。

在  $t = 0 \sim t_1$  期间，设输出电压  $u_O = 1$ ，则  $u_{O1} = 0$ ， $u_{O2} = 1$ ，门 G<sub>2</sub> 输出高电平经 R 向电容 C 充电，

使 A 点电位逐渐升高。当  $u_A \geq U_T$  (阈值电压), 即  $t = t_1$  时,  $u_O$  立即由 1 变成 0,  $u_{O1}$  随之变为 1,  $u_{O2}$  变为 0, 充电过程结束。由于电容上电压不能突变, 所以, A 点的电压随  $u_{O1}$  突变(增长  $\Delta U$ ) 产生了正跳变。

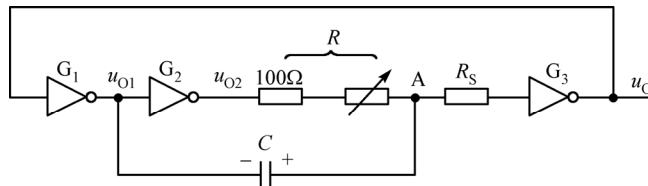


图 8.2 有 RC 延时电路的环形振荡器

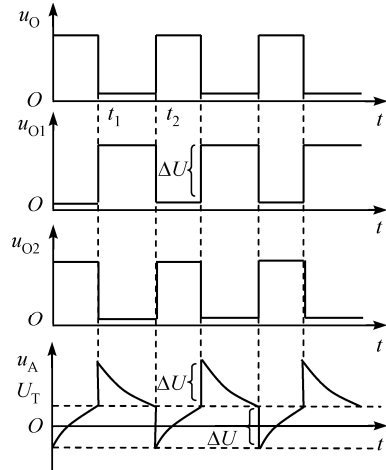


图 8.3 有 RC 延时电路的环形振荡器波形

此后, 电容  $C$  电压经  $R$  放电。A 点电位逐渐降低。当  $u_A \leq U_T$  时, 电路状态再次翻转成  $u_O = 1$ ,  $u_{O1} = 0$ ,  $u_{O2} = 1$ , A 点的电位随  $u_{O1}$  突变(下降  $\Delta U$ ), 产生了负跳变。此后周而复始, 于是在输出端便获得一个方波。

方波的周期近似为:

$$T \approx 2.2RC \quad (8.1)$$

调节  $R$  和  $C$  可以改变振荡频率, 由图 8.3 知, A 点的电压会产生负跳变, 使门  $G_3$  的输入电流过大, 为了限制这一电流, 有时在门  $G_3$  的输入端串接保护电阻  $R_S$ ,  $R_S = 100\Omega$  左右, 使用该电路时还应注意,  $(R + R_S)$  的阻值也不能过大, 应该满足  $(R + R_S) <$  门电路的关门电阻, 否则  $u_A$  将始终处于阈值电压以上, 门  $G_3$  就总是处于导通状态, 使电路无法正常工作。

## 8.2.2 对称式多谐振荡器

图 8.4 所示为对称式多谐振荡器的典型电路。它是由两个反相器  $G_1$ 、 $G_2$ , 两个电阻  $R_1$ 、 $R_2$  和两个电容器  $C_1$ 、 $C_2$  组成。

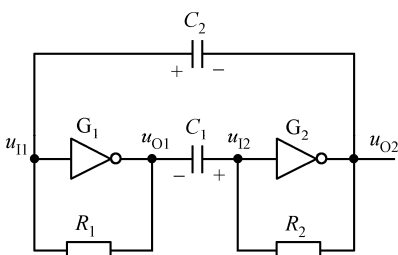


图 8.4 对称式多谐振荡器

多谐振荡器没有稳定状态, 只有两个暂稳态。工作时, 多谐振荡器不停地在两个暂稳态之间转换。为了满足这一要求, 分别在两个反相器  $G_1$  和  $G_2$  输入端与输出端之间并联了反馈电阻  $R_1$  和  $R_2$ , 并且反馈电阻  $R_1$  和  $R_2$  的取值应使两个反相器工作在线性放大区, 一般反馈电阻的取值在  $0.5 \sim 1.8k\Omega$  之间。

若  $R_1$  和  $R_2$  上流过的电流很小, 可近似认为  $u_{O1} \approx u_{II}$ 、 $u_{O2} \approx u_{I2}$ , 所以,  $u_{O1}$  和  $u_{O2}$  既不能停留在输出高电平  $U_{OH}$  上, 也不能停留在输出低电平  $U_{OL}$  上, 只能位于  $U_{OH}$  和  $U_{OL}$  之间的某一电平上。这时反相器工作在传输特性曲线的转折区, 即工作在放大区。此时输入端电压微小的变化都可引起输出端电压很大的变化, 也就是说该电路可以产生自激振荡。

下面分析图 8.4 所示多谐振荡器的工作原理：若通电过程中的电源波动或外界干扰使  $u_{II}$  产生了一个微小的正跳变，则会引起  $u_{O1}$  的一个很大的负跳变。该  $u_{O1}$  的负跳变将通过  $C_1$  传给门  $G_2$ ，使  $u_{O2}$  上得到更大的正跳变， $u_{O2}$  的正跳变又反馈到门  $G_1$  的输入端，使  $u_{II}$  原来微小的正跳变得到了很大的加强。其正反馈过程如下：

$$\begin{array}{c} u_{II} \uparrow \Rightarrow u_{O1} \downarrow \Rightarrow u_{I2} \downarrow \Rightarrow u_{O2} \uparrow \\ \uparrow \qquad \qquad \qquad \qquad \downarrow \end{array}$$

这时电路进入第一个暂稳态。与此同时， $u_{O2}$  经  $R_2$  开始向  $C_1$  充电， $C_2$  经  $R_1$  放电，如图 8.5 所示。

上述的暂稳态是不能持久的，随着  $u_{O2}$  经  $R_2$  向  $C_1$  充电，使  $u_{I2}$  逐渐上升，当  $u_{I2}$  升高到门  $G_2$  的阈值电压  $U_T$  时， $u_{O2}$  开始下降，并引起另一个正反馈过程如下：

$$\begin{array}{c} u_{I2} \uparrow \Rightarrow u_{O2} \downarrow \Rightarrow u_{II} \downarrow \Rightarrow u_{O1} \uparrow \\ \uparrow \qquad \qquad \qquad \qquad \downarrow \end{array}$$

从而使  $u_{O2}$  迅速跳变至低电平， $u_{O1}$  跳变至高电平，电路转入第二个暂稳态。同时， $u_{O1}$  经  $R_1$  向  $C_2$  充电， $C_1$  经  $R_2$  放电。由于电路的对称性，这一过程和  $C_1$  充电， $C_2$  经  $R_1$  放电过程类似。第二个暂稳态同样是不能持久的。 $C_2$  的充电使  $u_{II}$  逐渐升高，当  $u_{II}$  上升到  $U_T$  以后，电路又迅速返回到第一个暂稳态。因此，输出端得到矩形电压脉冲。

综合上述分析可知，输出脉冲周期等于两个暂稳态持续时间之和，而每个暂稳态持续时间取决于  $C_1$  和  $C_2$  的充电速度。若令  $C_1 = C_2 = C$ ， $R_1 = R_2 = R$ ，且反馈电阻  $R$  的数值比反相器（若为 TTL 的 74LS 系列）的基极电阻小很多时，输出脉冲周期可由下式估算：

$$T \approx 1.4RC \quad (8.2)$$

若取  $R = 0.5 \sim 2\text{k}\Omega$  之间，且  $C = 10\,000\text{pF} \sim 100\mu\text{F}$ ，反相器采用 74xx 系列时，可得到几赫兹～几兆赫兹的振荡频率。

### 8.2.3 石英晶体多谐振荡器

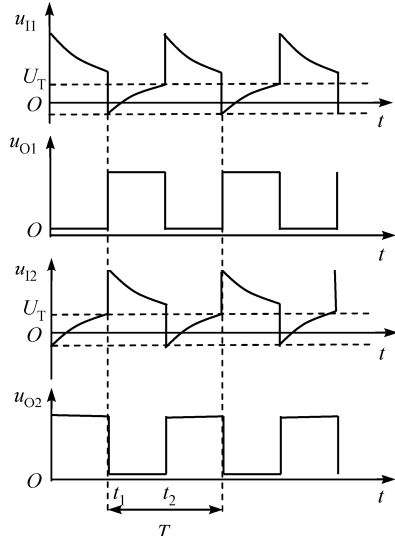


图 8.5 多谐振荡器波形

对称式多谐振荡器的振荡频率取决于电容充、放电过程中，门电路输入电压达到转换电平所需要的时间。而温度的变化将引起电容、电阻及门电路转换电平等参数的变化，从而严重影响振荡频率的稳定性。因此在要求频率稳定性较高的场合，广泛采用石英晶体多谐振荡器。

图 8.6 所示为石英晶体的符号和电抗频率特性。电抗频率曲线上的  $f_0$  称为石英晶体的固有振荡频率，它仅与石英晶体切割方向、外形和尺寸有关，而不受外围电路参数的影响。由图 8.6 可知，只有当频率为  $f_0$  时，其等效阻抗为最小。

若把石英晶体串入对称式多谐振荡器的反馈回路中时，就形成了石英晶体多谐振荡器，如图 8.7 所示。

当电路通电后，门  $G_1$ 、 $G_2$  输入端  $u_{II}$  和  $u_{I2}$  必有噪声电压存在，其中一定含有频率  $f_0$  的电压成分，由于石英晶体在频率为  $f_0$  时电抗最小，电压信号容易通过它而形成正反馈通路，易于起振，所以振荡器工作频率必为  $f_0$ 。而其他频率的电压信号经过石英晶体时电抗很高，严重衰减，不足以产生振荡。可见石英晶体的选频特性极好。

在图 8.7 所示的电路中,  $C_1$  为耦合电容,  $C_2$  为微调电容, 门  $G_3$  的加入可以改善输出波形及增加带负载能力。若该电路中, 门  $G_1$  和门  $G_2$  采用 TTL 电路的 74×× 系列, 而取  $R_1 = R_2 = 1\text{k}\Omega$ ,  $C_1 = C_2 = 0.05\mu\text{F}$ , 即可获得几十兆赫兹频率的脉冲信号。

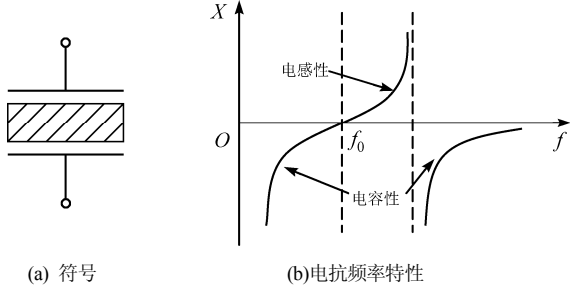


图 8.6 石英晶体的符号和电抗频率特性

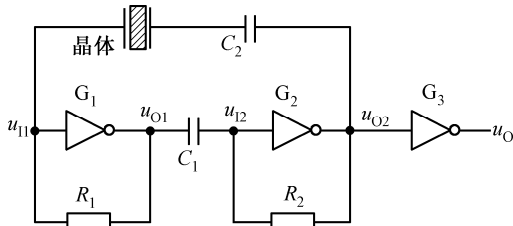


图 8.7 石英晶体多谐振荡器

石英晶体振荡器也可接入本书未介绍的其他多谐振荡器中(如非对称式多谐振荡器)。

现在石英晶体振荡器已被制成标准化和系列化的产品, 其中多数产品为四端器件, 但仅有三个有用的引脚, 一个为电源引脚, 一个为接地引脚, 还有一个则是频率信号输出引脚。在对频率稳定性要求较高的场合, 应首选石英晶体振荡器。

### 8.3 单稳态触发器

顾名思义, 单稳态触发器(One-shot Trigger)仅有一个稳定状态。并且只有当加入触发信号之后, 电路才翻转到另一个状态, 但经过一段时间后, 它会自动地返回到原来的稳定状态, 故称触发后才可达到的状态为暂稳态, 暂稳态持续的时间完全由电路参数决定, 与外加触发信号无关。

#### 8.3.1 由门电路组成的单稳态触发器

单稳态触发器电路有由逻辑门加电阻、电容构成的, 有单片集成的, 还有由 555 定时器加电阻、电容构成的。由逻辑门加电阻、电容构成的又分为微分型和积分型两种, 通常均是由 RC 电路的充、放电过程来维持的。

##### 1. CMOS 微分型单稳态触发器

图 8.8 所示为由 CMOS “或非”门和  $R_d$ 、 $C_d$  微分电路组成的微分型单稳态触发器。在 CMOS 门电路中近似有:  $U_{OH} \approx U_{DD}$ ,  $U_{OL} \approx 0$ ,  $U_{TH}^{\text{(1)}} = \frac{1}{2}U_{DD}$ 。

①  $U_{TH}$  为 CMOS 门电路的阈值电压。

下面以图 8.8 所示电路为例，分析该电路的工作原理。

### (1) 稳定状态

在没有触发脉冲时， $u_I = 0$ ,  $u_{I2} = U_{DD}$ ，故  $u_{O1} = U_{DD}$ ,  $u_O = 0$ ，这时电容  $C$  上的电压为 0。该状态就是图 8.8 所示电路的稳定状态。

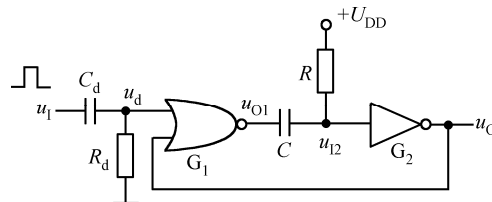


图 8.8 CMOS 微分型单稳态触发器

### (2) 暂稳态

当正触发脉冲加到电路输入端时，在  $R_d$  和  $C_d$  组成的微分电路的输出端将得到很陡的尖峰脉冲  $u_d$ ，如图 8.9 中的波形所示。在正  $u_d$  的作用下，门  $G_1$  的输出  $u_{O1} = 0$ ，从而导致门  $G_2$  的输出为高电平，即  $u_O = U_{DD}$ ，电路进入暂稳态。此时即使  $u_d$  返回到低电平， $u_O$  的高电平仍将维持。

与此同时，电容  $C$  开始充电，其充电回路为：  
 $U_{DD} \Rightarrow R \Rightarrow C \Rightarrow G_1$  的输出电阻  $R_{ON} \Rightarrow$  地，图 8.10 所示为电容  $C$  充电的等效电路。随着电容  $C$  上的电压  $u_{I2}$  逐渐升高，当满足  $u_{I2} = U_{TH}$  时，电路输出返回到  $u_O = 0$ ，该状态同时反馈至门  $G_1$  的输入端。此时  $u_d$  已为低电平，并且有  $u_{O1} = U_{DD}$ ，暂稳态结束。CMOS 微分型单稳态触发器电路中各点的电压波形如图 8.9 所示。

根据 RC 电路的三要素法可计算暂稳态过程持续的时间，即电容  $C$  上的电压从 0 开始充电直到充到  $U_{TH}$  的时间  $t_w$ 。因为，

$$u_C(0) = 0, \quad u_C(\infty) = U_{DD}, \quad \text{可得:}$$

$$t_w = RC \ln \frac{u_C(\infty) - u_C(0)}{u_C(\infty) - U_{TH}} = RC \ln \frac{U_{DD} - 0}{U_{DD} - U_{TH}} \quad (8.3)$$

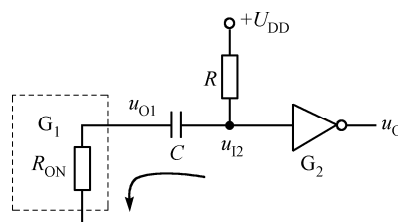


图 8.10 电容  $C$  充电的等效电路

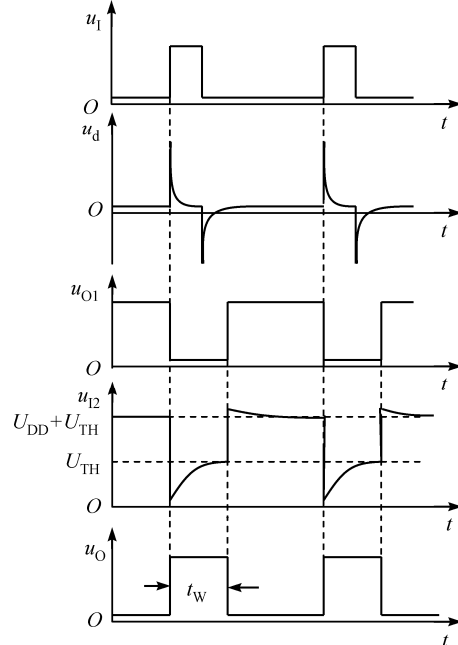


图 8.9 CMOS 微分型单稳态触发器的波形

### (3) 恢复过程

当暂态结束时, 电容  $C$  则通过电阻  $R$  和门  $G_2$  的保护二极管向  $U_{DD}$  放电, 由于放电时间常数较小, 电容  $C$  上的电压迅速放完而使电路恢复到稳定状态。

微分型单稳态触发器可以用窄脉冲触发, 由于 CMOS 门电路输入阻抗很高, 因而电路中的  $R$  不受  $R \leq 0.7\text{k}\Omega$ <sup>①</sup> 的限制。

## 2. TTL 积分型单稳态触发器

图 8.11 所示为积分型单稳态触发器, 该电路由 TTL “非” 门  $G_1$  和 “与非” 门  $G_2$  构成, 门  $G_1$  和  $G_2$  之间接有  $R$ 、 $C$  组成的积分延时环节, 输入信号  $u_I$  同时加到门  $G_1$  和  $G_2$  的输入端。其工作原理如下。

### (1) 稳定状态

当触发正脉冲未到时,  $u_I$  为 0,  $u_{O1}$  为 1, 即  $u_{O1} = u_A = U_{OH}$ , 门  $G_2$  的两个输入端分别为 0 和 1, 故其输出  $u_O$  为 1 态, 即  $u_O = U_{OH}$ , 这就是稳定状态。

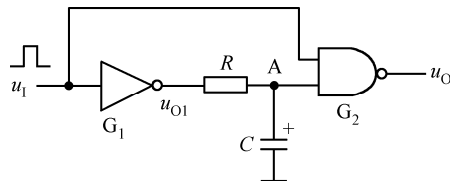


图 8.11 TTL 积分型单稳态触发器

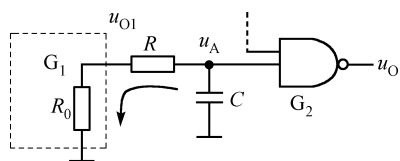


图 8.12 图 8.11 电路中电容  $C$  放电的等效电路

### (2) 暂稳态

当触发正脉冲到时,  $u_I$  变为 1, 故  $u_{O1}$  变成 0。因为电容  $C$  上的电压不能突变,  $u_A$  仍为 1。这时门  $G_2$  的两个输入端电压会同时高于门电路的阈值电压  $U_T$ , 其输出  $u_O = U_{OL}$ , 电路开始进入暂稳态。

与此同时, 电容  $C$  也将开始放电, 其放电回路为: 从  $C \Rightarrow R \Rightarrow G_1$  “非” 门内三极管导通时的输出电阻  $R_0 \Rightarrow$  地, 如图 8.12 所示。随着电容  $C$  的放电,  $u_A$  随时间按指数规律逐渐下降, 当降至 TTL 门电路的阈值电压  $U_T$  时,  $u_O$  又变成 1, 即  $u_O = U_{OH}$ , 暂稳态结束。

由上述分析可知, 积分型单稳态电路在正脉冲  $u_I$  触发下,  $u_O$  输出一个矩形脉冲, 其宽度(即暂稳态持续的时间)将取决于从电容  $C$  开始放电的一刻到  $u_A$  下降至  $U_T$  的时间。考虑到  $u_A$  高于  $U_T$  时门  $G_2$  的输入电流很小, 故忽略不计。利用暂态过程的三要素法, 可求出输出矩形脉冲宽度  $t_W$  约为:

$$t_W = (R + R_0)C \ln \frac{U_{OL} - U_{OH}}{U_{OL} - U_T} \quad (8.4)$$

### (3) 恢复过程

当输入正脉冲消失, 即  $u_I$  由 1 变为 0 时,  $u_{O1}$  立即由 0 变成 1, 这时电容  $C$  又开始充电直到充满

<sup>①</sup> 若为 TTL 门电路, 电路中的电阻  $R$  将有可能要受  $R \leq 0.7\text{k}\Omega$  的限制。

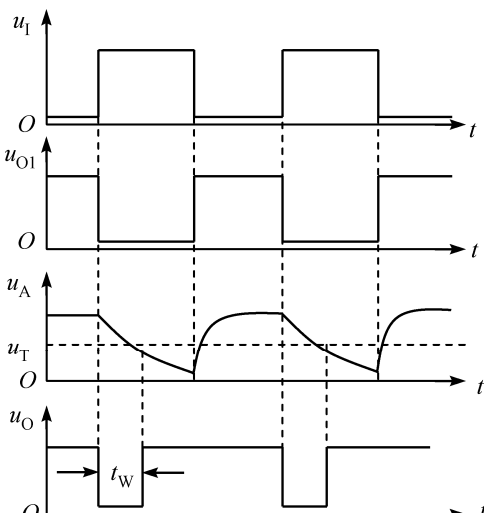


图 8.13 TTL 积分型单稳态触发器的波形

稳定，电路又恢复到原稳定状态，即  $u_0 = U_{OH}$ 。图 8.13 所示为积分型单稳态触发器电路中各点的电压波形。

积分型单稳态触发器与微分型单稳态触发器相比，其优点是具有较强的抗干扰能力。但积分型单稳态触发器有两个主要缺点：第一，输出波形的边沿比较差，其原因是电路在状态转换过程中没有正反馈，为了改善输出波形，经常在输出的门电路后加一级门电路进行整形；第二，要求触发脉冲宽度必须大于输出脉冲宽度  $t_W$ ，若触发脉冲过窄，输出脉冲宽度将由  $u_i$  的宽度决定，而不再受时间常数  $\tau = (R + R_0)C$  的控制。同时电路中电阻  $R$  要小于关门电阻，否则电路会工作不正常。

### 8.3.2 集成单稳态触发器

鉴于单稳态触发器的应用非常广泛，无论 TTL 门电路还是 CMOS 门电路的产品中，均有集成单稳态触发器出售。集成单稳态触发器在使用时，只需要很少的外接元器件，并且集成单稳态触发器电路内部还附加了上升沿与下降沿触发控制及清零等功能，使用极为灵活。

此外，由于将元器件集成在同一芯片上，而且在电路上又采取了温漂补偿措施，因而电路的温度稳定性较好。

下面介绍 74121 集成单稳态触发器，它是在普通微分型单稳态触发器的基础上附加输入控制电路及输出缓冲电路而形成的，其电路如图 8.14 所示。

在图 8.14 中，门  $G_1$ 、 $G_2$ 、 $G_3$ 、 $G_4$  组成输入控制电路，实现上升沿或下降沿触发控制，其中的门  $G_2$ 、 $G_3$  构成 RS 锁存器，它是窄脉冲形成级（即当电路有触发脉冲输入时，通过 RS 锁存器以保证对门  $G_5$  的输入端产生一个很窄的正触发脉冲）。门  $G_5$ 、 $G_6$ 、 $G_7$  和外接电容  $C_{ext}$ 、外接电阻  $R_{ext}$  构成微分型单稳态触发器，该微分型单稳态触发器由门  $G_4$  给出的正触发脉冲  $u_{15}$  触发，输出脉冲的宽度由  $R_{ext}$  和  $C_{ext}$  的大小决定。门  $G_8$ 、 $G_9$  构成输出级，用以提高电路的带负载能力。下面分析电路的工作原理。

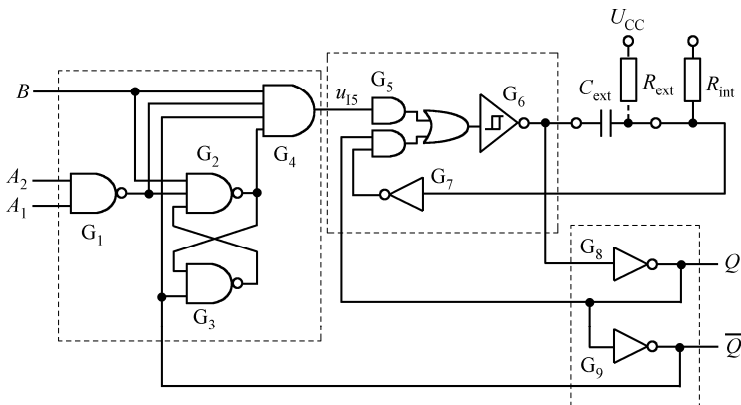


图 8.14 集成单稳态触发器 74121 的逻辑图

#### (1) 稳定状态

图 8.14 所示电路有三个触发输入端，即  $B$ 、 $A_2$ 、 $A_1$ ，当电路无触发脉冲输入时，门  $G_4$  输出低电平，即  $u_{15} = 0$ ，由图 8.14 可知，此时电路的输出  $Q = 0$ ， $\bar{Q} = 1$ ，这就是该电路的稳态。

#### (2) 暂稳态

由于输入控制电路，该电路既可用上升沿触发，又可用下降沿触发。若电路须用上升沿触发时，触发脉冲由  $B$  端输入，同时  $A_1$  或  $A_2$  当中至少要有一个接至低电平。由于门  $G_4$  的其他三个输入端均处

于高电平,  $u_{15}$ 便产生由0到1的上跳变, 门 $G_5$ 输出也产生上跳变, 并触发微分型单稳态触发器使之进入暂稳态, 输出变为 $Q=1$ ,  $\bar{Q}=0$ 。

与此同时,  $\bar{Q}=0$ 立即将由门 $G_2$ 、 $G_3$ 构成的RS锁存器置0, 从而使 $u_{15}$ 返回低电平。由此可知,  $u_{15}$ 的高电平持续时间很短, 并且与触发输入端B的触发脉冲宽度无关。所以RS锁存器也被称为窄脉冲形成级, 这种结构可以有效地保证在触发脉冲宽度大于输出脉冲宽度的情况下, 输出脉冲的下降沿仍然陡峭。因此, 74121具有边沿触发的性质。

当门 $G_4$ 输出的正窄脉冲 $u_{15}$ 的上升沿来时, 若将门 $G_5$ 和 $G_6$ 合在一起, 它们组成了一个“与或非”门, 一方面使电路输出为 $Q=1$ ,  $\bar{Q}=0$ , 另一方面门 $G_6$ 输出的下降沿通过电容 $C_{\text{ext}}$ 送给门 $G_7$ , 使门 $G_7$ 的输出从0变到1, 该变化反馈到门 $G_5$ 和 $G_6$ 组成的“与或非”门的另一个输入端。由于, 门 $G_5$ 、 $G_6$ 、 $G_7$ 和外接电容 $C_{\text{ext}}$ 、外接电阻 $R_{\text{ext}}$ 构成微分型单稳态触发器, 该微分型单稳态触发器由门 $G_4$ 给出的正窄脉冲 $u_{15}$ 触发, 所以, 此时的情况与微分型单稳态触发器相同, 即电路的这种状态不能长期保持, 所以称电路输出 $Q=1$ ,  $\bar{Q}=0$ 的状态为暂稳态。

### (3) 恢复过程

当电路进入暂稳态后, 门 $G_6$ 的输出端即为低电平, 电源 $U_{\text{CC}}$ 则通过电阻 $R_{\text{ext}}$ 向电容 $C_{\text{ext}}$ 充电。当门 $G_7$ 输入端的电位 $\geq U_T$ 时, 门 $G_7$ 的输出从1变为0, 使门 $G_6$ 的输出从0变为1, 进而使电路的输出变为 $Q=0$ ,  $\bar{Q}=1$ 。与此同时, 电容 $C_{\text{ext}}$ 开始放电, 直至放电结束, 电路又稳定在 $Q=0$ ,  $\bar{Q}=1$ 的状态。

若电路须用下降沿触发时, 触发脉冲应由 $A_1$ 或 $A_2$ 输入,  $A_1$ 、 $A_2$ 中未用的输入端和B输入端均应接高电平。触发后电路的工作过程和上升沿触发时相同。

现在使用的集成单稳态触发器又分为可重复触发和不可重复触发两种类型, 之前讨论的集成单稳态触发器(74121)则是不可重复触发型, 即单稳态触发器一旦被触发进入暂稳态之后, 若再加入触发脉冲则不起作用, 必须等暂稳态结束后, 才能再次接收下一个触发脉冲。可重复触发单稳态触发器在被触发进入暂稳态之后, 若再加入触发脉冲, 电路将会被重新触发, 即输出脉冲将会继续维持一个 $t_w$ 宽度。

图8.15所示为74121的工作波形图, 表8.1所示为74121的功能表。

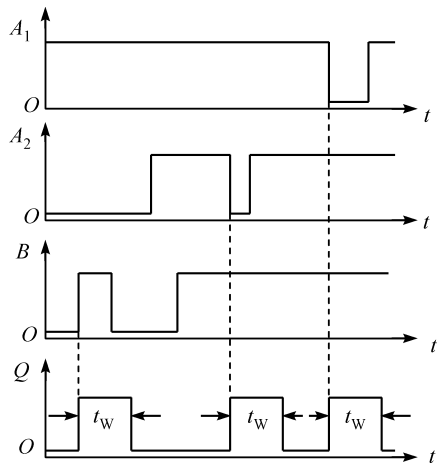


图8.15 74121的工作波形图

表8.1 集成74121的功能表

输入			输出	
$A_2$	$A_2$	B	Q	$\bar{Q}$
0	x	1	0	1
x	0	1	0	1
x	x	0	0	1
1	1	x	0	1
1		1	1	
	1	1	1	
	1	1	1	
0	x	1	1	
x	0	1	1	

74121的输出脉冲宽度为:

$$t_w \approx R_{\text{ext}} C_{\text{ext}} \ln 2 \approx 0.7 R_{\text{ext}} C_{\text{ext}} \quad (8.5)$$

外接电阻  $R_{ext}$  的取值在  $2\sim30k\Omega$  之间，外接电容  $C_{ext}$  的取值在  $10pF\sim10\mu F$  之间。另外，还可以使用 74121 内部设置的电阻  $R_{int}$  取代外接电阻  $R_{ext}$ ，这时应将电阻  $R_{int}$  的上端直接接到电源  $U_{CC}$  上，但需要注意的是， $R_{int}$  的阻值较小，在希望得到较宽的输出脉冲时，仍需使用外接电阻。

### 8.3.3 单稳态触发器的应用

单稳态触发器的主要用途有以下几个方面。

#### (1) 定时

由于单稳态触发器在触发后能产生具有一定宽度  $t_W$  的矩形脉冲，通过改变  $R_{ext}$ 、 $C_{ext}$  的数值，即可改变脉冲宽度  $t_W$ ，从而可以进行定时控制。图 8.16 所示为一个利用 74121 的输出端去控制一个脉冲串信号  $u_A$  的实例，在 74121 的控制下，仅在时间  $t_W$  内有脉冲串输出，其他时间则无输出。

#### (2) 延时

在某些数字系统中，常常需要一个脉冲信号到达后，延迟一段时间后再产生一个滞后的脉冲信号，以控制两个相继进行的操作。图 8.17(a)所示为两个单稳态触发器构成的脉冲延时电路，图 8.17(b)为其工作波形。由于延时时间从  $u_1$  的上升沿算起，故第一片 74121 (1) 应将  $u_1$  接在上升沿触发端  $B$ ，又因第二片 74121 (2) 是由第一片 74121 (1) 的  $Q$  端触发，则应将第一片 74121 (1) 的  $Q$  端接在第二片 74121 (2) 的下降沿触发端，如图 8.17(a)所示。由图 8.17(b)可知，输出脉冲延时于输入脉冲的时间，恰为由第一片 74121 (1) 的延时电路  $C_{ext1}$  和  $R_{ext1}$  所决定的暂稳态时间  $t_{W1}$ ，且  $u_O$  的宽度可由第二片 74121 (2) 的  $C_{ext2}$  和  $R_{ext2}$  来调节。

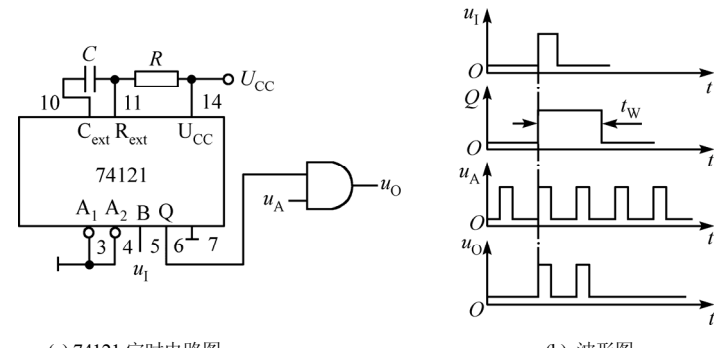


图 8.16 74121 定时实例

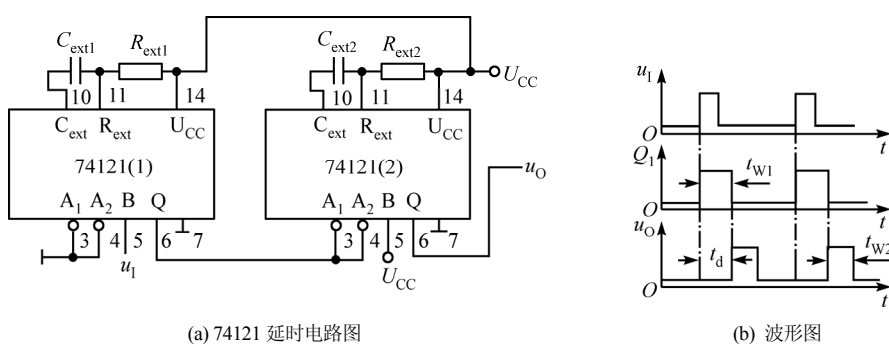


图 8.17 74121 延时实例

## (3) 整形

单稳态触发器可将一系列幅度、宽度均不规则的脉冲信号整形为定宽、定幅的脉冲信号。图 8.18 所示为一个由 74121 构成的脉冲整形电路及工作波形。

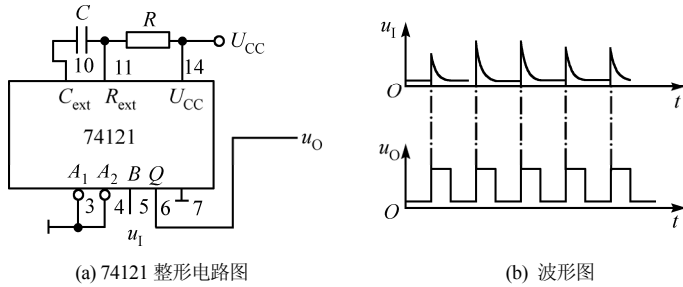


图 8.18 74121 整形实例

## 8.4 施密特触发器

施密特触发器(Schmitt Trigger)是脉冲波形变换中的常用电路，与前述触发器不同的是，它在性能上有两个重要特点：①这种触发器属于电平触发，但是，输入信号从低电平上升时的转换电平和从高电平下降时的转换电平是不同的；②对于缓慢变化的输入信号，当输入信号达到某一额定值时，输出电平就会发生跳变，即输出电压波形的边沿变得很陡。

利用这两个特点不仅能将正弦波、矩齿波和各种周期性不规则波形转换成整齐的矩形波，还可以将叠加在矩形脉冲高、低电平上的噪声有效清除。此外，施密特触发器也可作为脉冲鉴幅器、电平比较器等使用。

### 8.4.1 由门电路组成的施密特触发器

#### 1. TTL“与非”门组成的施密特触发器

由 TTL“与非”门组成的施密特触发器如图 8.19 所示：图中门 G<sub>1</sub>、G<sub>2</sub> 组成电平控制基本锁存器。R<sub>1</sub>、R<sub>2</sub> 为分压电阻，其数值不能取得很大，因此串入二极管 VD，其作用是防止 u<sub>O</sub> = U<sub>OH</sub> 时门 G<sub>2</sub> 的负载电流过大。

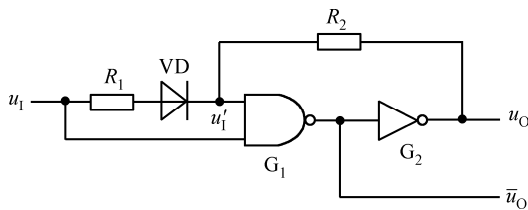


图 8.19 TTL“与非”门组成的施密特触发器

#### (1) 工作原理

当 u<sub>I</sub> = 0 时，门 G<sub>1</sub> 截止，门 G<sub>2</sub> 导通，故 u<sub>O</sub> = U<sub>OL</sub> ≈ 0；

假定门 G<sub>1</sub> 的阈值电压为 U<sub>TH</sub>，当 u<sub>I</sub> 从 0 上升至 U<sub>TH</sub> 时，由于门 G<sub>1</sub> 的另一个输入端的电平 u'<sub>I</sub> 仍低于 U<sub>TH</sub>，所以触发器的状态并不改变。若此时 u<sub>I</sub> 继续升高，当达到 u'<sub>I</sub> = U<sub>TH</sub> 时，门 G<sub>1</sub> 开始导通，而

且由于门  $G_1$ 、 $G_2$  间存在着正反馈，所以触发器迅速转换为门  $G_1$  导通、门  $G_2$  截止的另一个稳定状态，即  $u_O = U_{OH}$ 。若令此时对应的输入电压叫做**上限转换电平**，用  $U_{T+}$  表示，显然  $U_{T+} > U_{TH}$ 。

如果忽略  $u'_I = U_{TH}$  时门  $G_1$  的输入电流，则可得：

$$u'_I = U_{TH} = (U_{T+} - U_D) \frac{R_2}{R_1 + R_2} \quad (8.6)$$

故得

$$U_{T+} = \frac{R_1 + R_2}{R_2} U_{TH} + U_D \quad (8.7)$$

式中， $U_D$  为二极管  $VD$  的正向导通压降。

当  $u_I$  从高电平下降时，只要  $u_I \leq U_{TH}$ ，触发器的状态立刻发生转换，重新返回到前一个稳定状态，即  $u_O = U_{OL}$ 。触发器状态转换所对应的输入电压称为**下限触发电平**，用  $U_{T-}$  表示，故  $U_{T-} = U_{TH}$ 。

## (2) 滞后特性

通过上述分析可以看出一个重要现象，施密特触发器  $u_I$  在上升与下降时，电路输出状态转换所对应的输入电压值不同，一个为  $U_{T+}$ ，一个为  $U_{T-}$ ，这就是施密特触发器所具有的**滞后特性**，这种现象又称为**回差**，其

回差电压  $\Delta U_T$  为：

$$\Delta U_T = U_{T+} - U_{T-} \quad (8.8)$$

图 8.20 所示为施密特触发器的电压传输特性曲线。图 8.20 中不同的曲线是在  $R_2$  为固定值 ( $1k\Omega$ )，而选用不同的  $R_1$  时，回差电压  $\Delta U_T$  大小的变化情况。显然通过改变  $R_1$  和  $R_2$  的比值可以调节  $U_{T+}$ 、 $U_{T-}$  和回差电压  $\Delta U_T$  的大小，但是  $R_1$  必须小于  $R_2$ ，否则电路将进入自锁状态，而不能正常工作。

## 2. CMOS 反相器组成的施密特触发器

若将两级 CMOS 反相器串接，并由分压电阻把输出电压反馈到输入端，就可构成图 8.21 所示的施密特触发器。

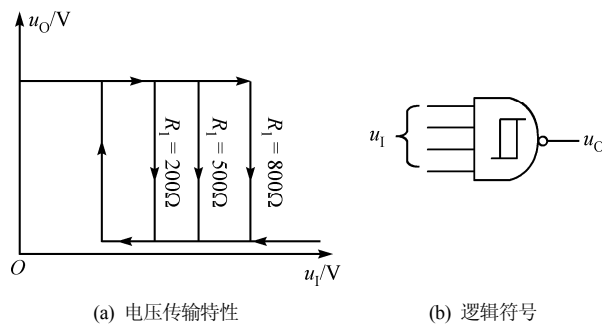


图 8.20 施密特触发器的电压传输特性

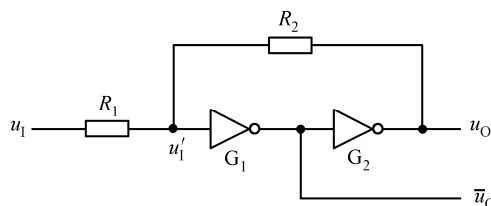


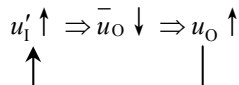
图 8.21 CMOS 反相器组成的施密特触发器

## (1) 工作原理

因为, 门 G<sub>1</sub>、G<sub>2</sub> 是 CMOS 电路, 它们的阈值电压为  $U_{TH} \approx \frac{1}{2}U_{DD}$ , 且  $R_1 < R_2$ 。

当  $u_I = 0$  时, 由于门 G<sub>1</sub>、G<sub>2</sub> 构成了正反馈电路, 故  $u_O = U_{OL} \approx 0$ ;

当  $u_I$  从 0 开始升高至  $u'_I = U_{TH}$  时, 此时电路将发生如下正反馈过程:



于是触发器的状态迅速转换为  $u_O = U_{OH} \approx U_{DD}$ , 该时刻所对应的上限转换电平  $U_{T+}$  可按下述过程求出:

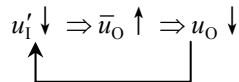
因为

$$u'_I = U_{TH} \approx \frac{R_2}{R_1 + R_2} U_{T+} \quad (8.9)$$

所以

$$U_{T+} = \frac{R_1 + R_2}{R_2} U_{TH} = \left(1 + \frac{R_1}{R_2}\right) U_{TH} \quad (8.10)$$

当  $u_I$  从  $U_{DD}$  开始下降至  $u'_I = U_{TH}$  时, 此时电路将发生另一个正反馈过程:



于是触发器的状态迅速转换为  $u_O = U_{OL} \approx 0$ , 该时刻所对应的下限转换电平  $U_{T-}$  又可按下述过程求出:

因为

$$u'_I = U_{TH} \approx U_{DD} - (U_{DD} - U_{T-}) \frac{R_2}{R_1 + R_2} \quad (8.11)$$

所以

$$U_{T-} = \frac{R_1 + R_2}{R_2} U_{TH} - \frac{R_1}{R_2} U_{DD} \quad (8.12)$$

又因为  $U_{DD} = 2U_{TH}$ , 则可得:

$$U_{T-} = \left(1 - \frac{R_1}{R_2}\right) U_{TH} \quad (8.13)$$

## (2) 滞后特性

根据上述分析, 该电路的回差电压为:

$$\Delta U_T = U_{T+} - U_{T-} = 2 \frac{R_1}{R_2} U_{TH} \quad (8.14)$$

图 8.22 CMOS 组成的施密特触发器的电压传输特性

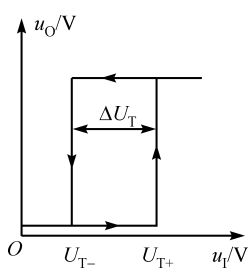


图 8.22 所示为由 CMOS 反相器构成的施密特触发器电路的电压传输特性曲线, 利用回差电压可以消除输入波形的干扰。

## 8.4.2 集成施密特触发器

集成施密特触发器因其性能良好, 而得到广泛应用, 目前市场上集成施密特触发器品种繁多, 工艺各异。这里我们对 TTL 施密特电路略做介绍。

## 1. 电路组成

图 8.23<sup>①</sup>所示为 TTL 集成施密特触发器的电路图。整个电路可分为 4 个部分: 输入级、施密特电路、电平偏移、推拉式输出, 其核心电路是由 VT<sub>1</sub>、VT<sub>2</sub>、R<sub>C1</sub>、R<sub>C2</sub> 和 R<sub>E1</sub> 组成的施密特触发器, 该

<sup>①</sup> 该电路若严格说来, 应该为 DTL 电路, 因为输入端是二极管, 输出端是三极管。

电路实质上是一个通过公共发射极电阻  $R_{E1}$  耦合的两级正反馈放大器。另外，为了降低输出电阻以便提高电路的带负载能力，在整个电路的输出部分设置了倒相级和推拉式输出电路。

## 2. 工作原理

假定图 8.23 中三极管发射结的正向压降为 0.7V，二极管均为硅管，其正向导通压降也为 0.7V。

当  $u_I = 0$  时， $V_{B1}$  为低电平， $VT_1$  截止，由  $U_{CC}$  经  $R_{C1}$  的电流使  $VT_2$ <sup>①</sup> 饱和导通，这时  $U_{B3}$  的电压近似约为  $VT_2$  的饱和压降，所以  $VT_3$ 、 $VD_2$ 、 $VT_4$ 、 $VT_6$  均截止，而  $VT_5$  导通，输出  $u_O$  为高电平。

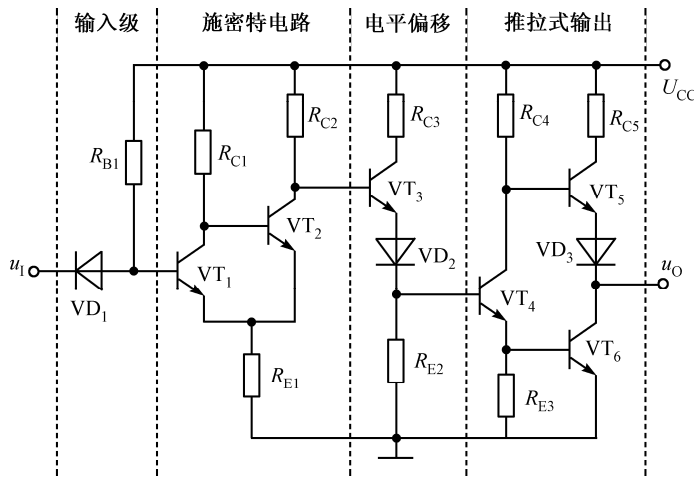


图 8.23 TTL 集成施密特触发器

当  $u_I$  从 0 上升，但  $U_{B1} - U_{E1} = U_{BE1} < 0.7$  V 时， $VT_1$  始终维持截止，输出也一直保持高电平。若  $u_I$  继续升高并使  $U_{BE1} > 0.7$  V，电路将发生如下的正反馈过程：

$$u_I \uparrow \Rightarrow U_{B1} \uparrow \Rightarrow i_{C1} \uparrow \Rightarrow U_{C1} \downarrow \Rightarrow U_{E1} \downarrow \Rightarrow U_{BE1} \uparrow$$

此过程延续到  $VT_1$  饱和导通， $VT_2$  截止，则  $U_{C2}$  为高电平，使  $VT_3$ 、 $VD_2$ 、 $VT_4$ 、 $VT_6$  导通，电路输出  $u_O$  为低电平。若此后  $u_I$  继续上升，电路输出端  $u_O$  将维持低电平不变。

当  $u_I$  从最大值开始下降，且下降到  $U_{B1} - U_{E1} = U_{BE1} > 0.7$  V 时，电路输出端  $u_O$  仍维持低电平不变。仅当  $u_I$  下降到  $U_{BE1} < 0.7$  V 时，电路又发生如下的正反馈过程：

$$u_I \downarrow \Rightarrow U_{B1} \downarrow \Rightarrow i_{C1} \downarrow \Rightarrow U_{C1} \uparrow \Rightarrow U_{E1} \uparrow \Rightarrow U_{BE1} \downarrow$$

这一过程一直延续到  $VT_1$  截止， $VT_2$  饱和导通，电路输出端  $u_O$  变为高电平。若此后  $u_I$  继续下降，电路输出端  $u_O$  则维持高电平不变。

综上所述，无论  $VT_2$  由导通变为截止，或由截止变成导通，均伴随有正反馈过程，从而使输出电压  $u_O$  的上升沿和下降沿都很陡峭。

## 3. 滞后特性

在图 8.23 中，电阻  $R_{C1} = 3.9\text{k}\Omega > R_{C2} = 2.5\text{k}\Omega$ ，所以  $VT_1$  饱和导通时的  $U_{E1}$  值必然低于  $VT_2$  饱和

① 当  $VT_2$  导通时，图 8.23 中施密特电路的输出  $U_{C1} \approx 1.9$  V，该低电平高于标准低电平，若将  $U_{C2}$  直接与  $VT_4$  基极相连，则  $VT_4$  无法截止，因此必须在  $U_{C2}$  与  $VT_4$  之间串入一个由  $VT_3$  组成的电平偏移电路，从而使当  $U_{C1} \approx 1.9$  V 时，电平偏移电路输出为 0.5V，以确保  $VT_4$  可靠截止。

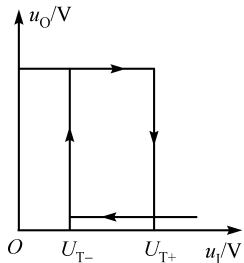


图 8.24 集成施密特触发器的电压传输特性

导通时的  $U_{E2}$  值。故而, VT<sub>2</sub> 由截止变为导通时所对应的输入电压  $U_{T+}$ , 即上限转换电平明显高于由导通变为截止时的输入电压  $U_{T-}$ , 即下限转换电平, 这就使得图 8.23 所示电路具有了施密特触发特性。

图 8.24 所示为集成施密特触发器的电压传输特性, 若取  $R_{E1} = 1k\Omega$ , 可近似求出回差电压等于:

$$\Delta U_T = U_{T+} - U_{T-} \approx 0.9V \quad (8.15)$$

当电路参数改变时,  $\Delta U_T$  将随之改变。

### 8.4.3 施密特触发器的应用

施密特触发器的应用很广, 下面举几个典型实例。

#### (1) 波形变换

因为施密特触发器只有高、低两种电平状态, 而且状态转换时波形边沿陡峭, 所以, 利用施密特触发器可以把边沿变化缓慢的周期性信号变成较为理想的矩形脉冲。

在图 8.25 中, 输入信号是正弦波, 只要输入信号的幅度大于  $U_{T+}$ , 那么在施密特触发器的输出端就能得到一个同频率的矩形脉冲。

#### (2) 脉冲整形

在数字系统中, 矩形脉冲信号经过传输后往往发生畸变。其中常见的有图 8.26 所示的几种情况。

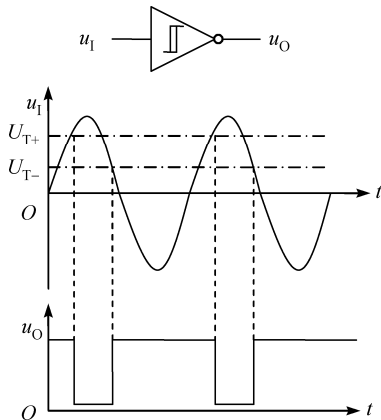
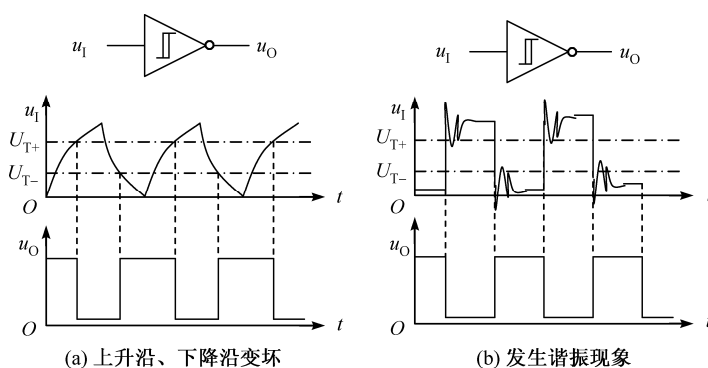
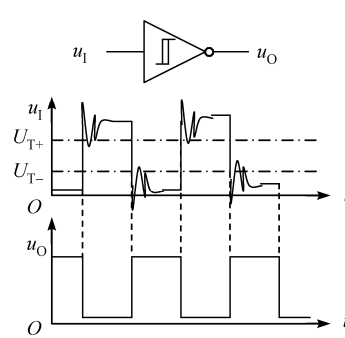


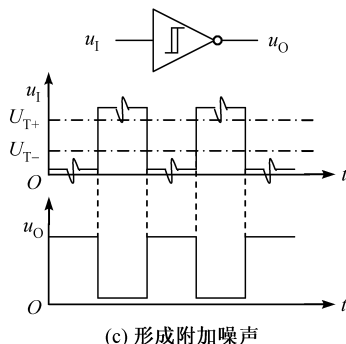
图 8.25 施密特触发器用于波形变换



(a) 上升沿、下降沿变坏



(b) 发生谐振现象



(c) 形成附加噪声

图 8.26 施密特触发器用于脉冲整形

当传输线上接有较大的电容时,由于电容上的电压不能突变,波形的上升沿和下降沿将明显变坏,如图 8.26(a)所示。当传输线较长,且接收端的阻抗与传输线的阻抗不匹配时,在脉冲的上升沿或下降沿将发生谐振现象,如图 8.26(b)所示。当其他脉冲信号通过导线间的分布电容或公用电源线叠加到脉冲信号上时,则形成附加噪声,如图 8.26(c)所示。

无论上述哪一种情况,均可利用施密特触发器进行整形,只要选择数值适当,则都将获得满意的整形效果。

### (3) 信号鉴幅

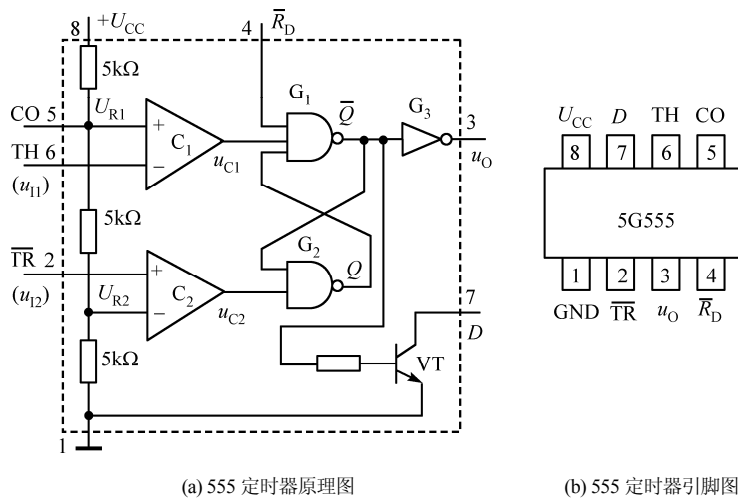
若输入施密特触发器的信号是一系列不同幅度的脉冲,如图 8.27 所示,则只有幅度大于  $U_{T+}$  的脉冲才会有输出,因此施密特触发器具有信号鉴幅能力。

## 8.5 555 定时器及其应用

555 定时器是数字、模拟集成于一体的中规模集成器件。由于它的电源范围宽,带负载能力强,配以少量的电阻、电容元件,就可组成单稳态触发器、多谐振荡器和施密特触发器等多种电路,因此得到了广泛的应用。

### 8.5.1 555 定时器的电路结构及功能

555 定时器由两个电压比较器  $C_1$  和  $C_2$ 、基本 RS 锁存器、集电极开路泄放三极管 VT 以及三个  $5k\Omega$  电阻构成的电阻分压器组成,如图 8.28(a)所示,图 8.28(b)所示为 555 定时器引脚图。



(a) 555 定时器原理图

(b) 555 定时器引脚图

图 8.28 555 定时器电路图

图 8.28 (a) 中电压比较器  $C_1$  的输入端  $TH$  称为高电平触发端,电压比较器  $C_2$  的输入端  $\overline{TR}$  称为低电平触发端。 $C_1$  和  $C_2$  的参考电压  $U_{R1}$  和  $U_{R2}$  由电源  $U_{CC}$  经三个  $5k\Omega$  的电阻分压给出,当控制电压输入端  $CO$  悬空时,  $U_{R1} = \frac{2}{3}U_{CC}$ ,  $U_{R2} = \frac{1}{3}U_{CC}$ 。若  $CO$  端外接固定电压  $U_{CO}$ , 则  $U_{R1} = U_{CO}$ ,  $U_{R2} = \frac{1}{2}U_{CO}$ 。

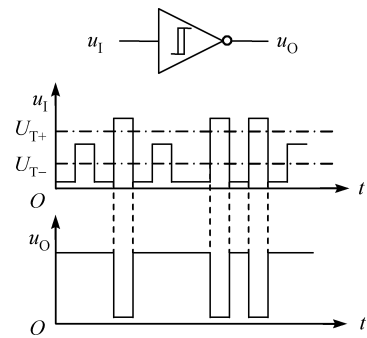


图 8.27 施密特触发器用于信号鉴幅

555 定时器的功能主要取决于两个电压比较器  $C_1$  和  $C_2$  的输出对基本 RS 锁存器和泄放三极管 VT 状态的控制。

若在 TH 和  $\overline{TR}$  端分别加上输入信号  $u_{II}$  和  $u_{I2}$ , 设  $\overline{R_D} = 1$ , 那么:

当  $u_{II} > U_{R1}$ ,  $u_{I2} > U_{R2}$  时,  $u_{C1} = 0$ ,  $u_{C2} = 1$ , RS 锁存器被置成 0, 所以  $Q = 0$ ,  $u_O = 0$ ;

当  $u_{II} < U_{R1}$ ,  $u_{I2} < U_{R2}$  时,  $u_{C1} = 1$ ,  $u_{C2} = 0$ , RS 锁存器被置成 1, 所以  $Q = 1$ ,  $u_O = 1$ ;

当  $u_{II} < U_{R1}$ ,  $u_{I2} > U_{R2}$  时,  $u_{C1} = 1$ ,  $u_{C2} = 1$ , RS 锁存器保持原态。

综上所述, 国产双极型 5G555 的功能表如表 8.2 所示。

表 8.2 5G555 的功能表

输入			输出	
$\overline{R_D}$	$u_{II}$	$u_{I2}$	$u_O$	VT 的状态
0	$\phi$	$\phi$	0	导通
1	$> \frac{2}{3}U_{CC}$	$> \frac{1}{3}U_{CC}$	0	导通
1	$< \frac{2}{3}U_{CC}$	$> \frac{1}{3}U_{CC}$	保持	保持
1	$< \frac{2}{3}U_{CC}$	$< \frac{1}{3}U_{CC}$	1	截止
1	$> \frac{2}{3}U_{CC}$	$< \frac{1}{3}U_{CC}$	1	截止

为了提高电路的带负载能力, 在输出端设置了缓冲器  $G_3$ 。另外若将泄放三极管 VT 的集电极 D 经过一个外接电阻接到电源  $U_{CC}$  上, 即可组成一个反相器。只要外接电阻的阻值足够大, 当  $Q = 0$ , ( $\bar{Q} = 1$ ) 时, 泄放三极管 VT 导通, 则  $u_D = 0$ ; 当  $Q = 1$  ( $\bar{Q} = 0$ ) 时, 泄放三极管 VT 截止, 则  $u_D = 1$ 。可见,  $u_D$  的逻辑状态与  $u_O$  相同。

555 定时器能在很宽的电源电压范围内工作, 并可承受较大的负载电流。目前市场上集成 555 定时器产品种类繁多, 型号各异, 但所有双极型产品的最后三个数码都是 555, 其电源电压范围为 5~16V, 最大负载电流为 200mA; 所有 CMOS 产品型号的最后 4 个数码都是 7555, 其电源电压范围为 3~18V, 最大负载电流为 4mA。

## 8.5.2 555 定时器的应用

### 1. 用 555 定时器构成单稳态触发器

若将触发信号  $u_I$  自 555 定时器的  $\overline{TR}$  端输入, 并将泄放三极管 VT 的集电极接至 TH 端。在该电路中,  $R$  和  $C$  是外接元件, 为了防止干扰将电压控制端 CO 经  $0.01\mu F$  的电容接地, 并且将复位端  $\overline{R_D}$  直接接在电源  $U_{CC}$  上, 同时在 TH 与三极管 VT 集电极的接点和地之间接入电容  $C$ , 构成了图 8.29 所示的单稳态触发器。图 8.30 所示为其外部接线图。

图 8.31 所示为单稳态触发器的工作波形图。对照该波形图分析图 8.29 所示电路的工作原理。

#### (1) 稳态

当触发脉冲尚未输入时,  $u_I = 1$ , 其值大于  $\frac{1}{3}U_{CC}$ , 故电压比较器  $C_2$  的输出为“1”。该稳定状态下 RS 锁存器究竟处于何种状态? 可做如下分析。

若  $Q = 0$ ,  $\bar{Q} = 1$ , 则泄放三极管 VT 饱和导通,  $u_C = U_{CE(sat)} \approx 0$ , 其值远低于  $\frac{2}{3}U_{CC}$ , 故电压比较器  $C_1$  的输出也为“1”, 因而 555 定时器内 RS 锁存器  $Q = 0$  的状态保持不变, 如图 8.29 所示。

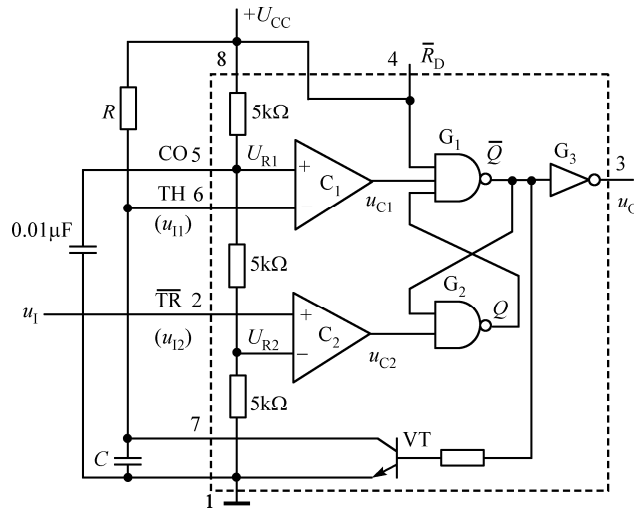


图 8.29 555 定时器构成的单稳态触发器

若  $Q=1$ ,  $\bar{Q}=0$ , 则泄放三极管 VT 截止,  $U_{CC}$  通过  $R$  对电容  $C$  充电, 当充电到  $u_C = \frac{2}{3}U_{CC}$  时, 电压比较器  $C_1$  的输出为“0”, 于是将锁存器置“0”。同时 VT 导通, 电容  $C$  经 VT 迅速放电,  $u_C$  下降, 直到  $u_C \approx 0$ , 电压比较器  $C_1$  和  $C_2$  输出均为“1”, RS 锁存器保持“0”状态不变。

可见, 在稳定状态时  $Q=0$ , 即通电后电路便自动停在输出  $u_O=0$  的稳态。

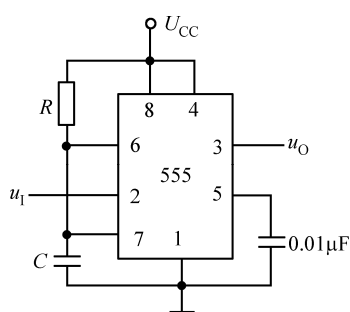


图 8.30 外部接线图

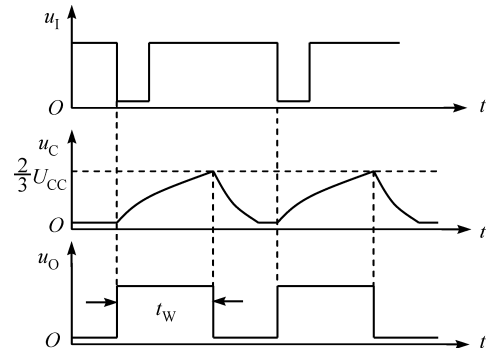


图 8.31 工作波形图

## (2) 暂稳态

当触发脉冲下降沿到达时, 电压比较器  $C_2$  输出为“0”, 此时  $C_1$  输出仍为“1”。RS 锁存器被置成“1”,  $u_O$  跳变为高电平, 电路进入暂稳态。与此同时 VT 截止,  $U_{CC}$  经  $R$  开始向电容  $C$  充电。随着电容  $C$  充电的进行(这时触发脉冲已消失,  $C_2$  的输出变为“1”, 但充电继续进行), 直到  $u_C \geq \frac{2}{3}U_{CC}$  时,  $C_1$  的输出为“0”, 从而使 RS 锁存器自动翻转到  $Q=0$ ,  $\bar{Q}=1$  的稳定状态。此后电容  $C$  迅速放电, 输出的是矩形脉冲, 其宽度  $t_W$  就等于暂稳态持续的时间, 其值取决于  $R$  和  $C$  的参数, 若忽略泄放三极管 VT 的饱和压降, 则  $t_W$  的计算公式为:

$$t_W = R \ln \frac{U_{CC} - 0}{U_{CC} - \frac{2}{3}U_{CC}} = R \ln 3 = 1.1RC \quad (8.16)$$

通常  $R$  的取值在几百欧姆至几兆欧姆之间, 电容  $C$  取值为几百皮法至几百微法, 因而  $t_w$  对应的取值可以从几微秒至几分钟。

由式(8.16)可知:

① 改变元件  $R$ 、 $C$  的数值, 即可改变输出脉冲宽度  $t_w$ , 从而可以进行定时控制。图 8.32 所示为由单稳态触发器和继电器构成的曝光定时器, 当按钮 SB 未按下时, 单稳态触发器输出  $u_O = 0$ , 继电器线圈 J 无电流, 此时红灯亮。当按下 SB 按钮时,  $u_I$  端输入一个触发低电平“0”, 单稳态触发器输出  $u_O = 1$ , 继电器线圈 J 通电, 常开触点闭合, 白灯亮, 开始暴光, 其曝光时间由  $t_w$  决定。

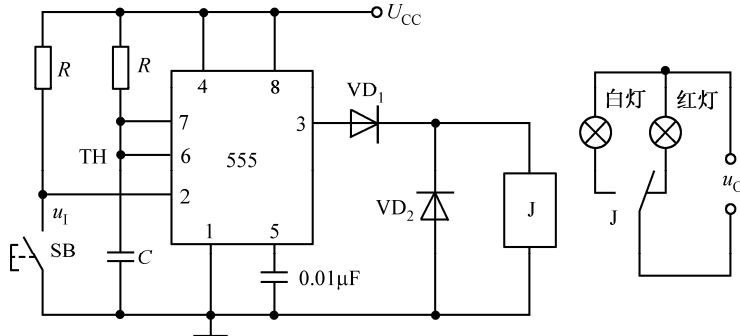


图 8.32 单稳态触发器构成的曝光电路

在图 8.32 中,  $VD_1$  起隔离作用,  $VD_2$  是续流二极管, 其作用为防止继电器线圈 J 断电时产生过高的反电动势而损坏器件。

② 随着  $t_w$  宽度的增加, 它的精度和稳定度也将下降。

## 2. 用 555 定时器构成施密特触发器

若将 555 定时器的 TH 和  $\overline{TR}$  端接在一起作为信号输入端, 即构成施密特触发器, 为了提高 555 定时器内部两个电压比较器  $C_1$ 、 $C_2$  参考电压  $U_{R1}$ 、 $U_{R2}$  的稳定性, 通常在电压输入控制端 CO 接一个小的滤波电容, 电路如图 8.33 所示。

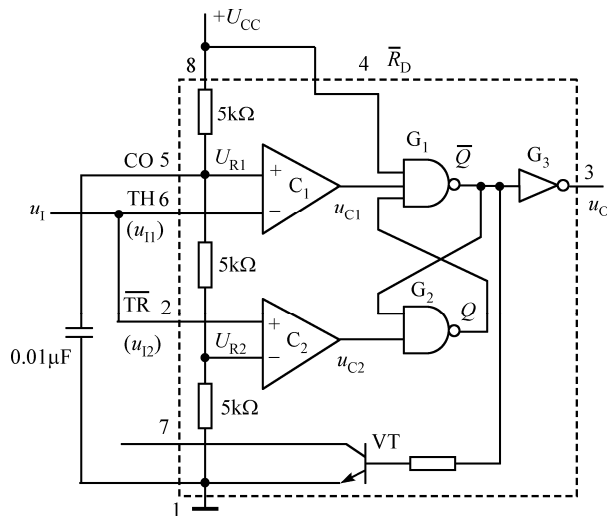


图 8.33 555 定时器构成的施密特触发器

由于555定时器内的电压比较器C<sub>1</sub>和C<sub>2</sub>的参考电压不同，RS锁存器的置“0”和置“1”信号将发生在输入信号u<sub>I</sub>的不同电平上。这样一来，输出电平u<sub>O</sub>从高电平转换成低电平和从低电平转换成高电平所对应的输入信号u<sub>I</sub>的值也不同，因此就构成了施密特触发器。

图8.34所示为由555定时器构成的施密特触发器的外部接线图。图8.35所示为图8.33电路的电压传输特性。

结合图8.35，首先分析输入信号u<sub>I</sub>从0逐渐升高的过程。

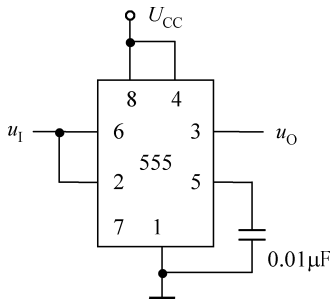


图8.34 555定时器构成的施密特触发器外部接线图

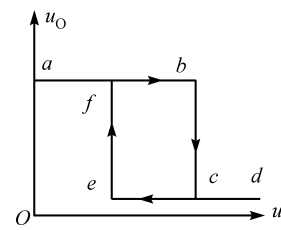


图8.35 施密特触发器的传输特性

当<sub>I</sub> <  $\frac{1}{3}U_{CC}$ 时，电压比较器C<sub>1</sub>和C<sub>2</sub>的输出分别为<sub>C1</sub> = 1, <sub>C2</sub> = 0，故基本RS锁存器的状态为Q = 1，故<sub>O</sub> = 1。

当  $\frac{1}{3}U_{CC} < u_I < \frac{2}{3}U_{CC}$  时，两个电压比较器的输出 <sub>C1</sub> = <sub>C2</sub> = 1，故基本RS锁存器的状态不变，即Q = 1，故<sub>O</sub> = 1。

当 <sub>I</sub> >  $\frac{2}{3}U_{CC}$  时，电压比较器C<sub>1</sub>和C<sub>2</sub>的输出分别为 <sub>C1</sub> = 0, <sub>C2</sub> = 1，于是基本RS锁存器置“0”，即Q = 0，故<sub>O</sub> = 0。

可见，电路的正向阈值电压  $U_{T+} = \frac{2}{3}U_{CC}$ ，其传输特性曲线如图8.35中 a → b → c → d 所示。

其次，讨论输入信号u<sub>I</sub>从高于  $\frac{2}{3}U_{CC}$  逐渐下降的过程。

当  $\frac{1}{3}U_{CC} < u_I < \frac{2}{3}U_{CC}$  时，两个电压比较器的输出 <sub>C1</sub> = <sub>C2</sub> = 1，基本RS锁存器的状态不变，仍为Q = 0, <sub>O</sub> = 0。

当 <sub>I</sub> <  $\frac{1}{3}U_{CC}$  时，电压比较器C<sub>1</sub>和C<sub>2</sub>的输出分别为 <sub>C1</sub> = 1, <sub>C2</sub> = 0，故基本RS锁存器被置成“1”，即Q = 1, <sub>O</sub> = 1。

另外可知，电路的负向阈值电压  $U_{T-} = \frac{1}{3}U_{CC}$ ，其传输特性曲线如图8.35中 d → e → f → a 所示。

图8.35给出的电压传输特性是一个典型的反相输出施密特触发器的特性。

综上所述，电路的回差电压为：

$$\Delta U_T = U_{T+} - U_{T-} = \frac{1}{3}U_{CC} \quad (8.17)$$

根据以上分析，施密特触发器可将输入的三角波整形为矩形脉冲，其波形图如图8.36所示。

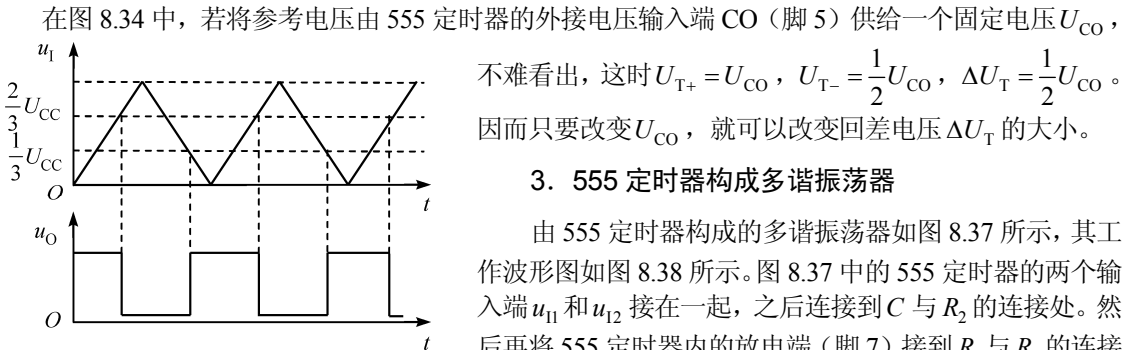


图 8.36 施密特触发器的波形图

在图 8.34 中, 若将参考电压由 555 定时器的外接电压输入端 CO (脚 5) 供给一个固定电压  $U_{CO}$ , 不难看出, 这时  $U_{T+} = U_{CO}$ ,  $U_{T-} = \frac{1}{2}U_{CO}$ ,  $\Delta U_T = \frac{1}{2}U_{CO}$ 。因而只要改变  $U_{CO}$ , 就可以改变回差电压  $\Delta U_T$  的大小。

### 3. 555 定时器构成多谐振荡器

由 555 定时器构成的多谐振荡器如图 8.37 所示, 其工作波形图如图 8.38 所示。图 8.37 中的 555 定时器的两个输入端  $u_{II}$  和  $u_{I2}$  接在一起, 之后连接到  $C$  与  $R_2$  的连接处。然后再将 555 定时器内的放电端 (脚 7) 接到  $R_1$  与  $R_2$  的连接处, 即构成了多谐振荡器。图 8.37 中的  $R_1$ 、 $R_2$  和电容  $C$  是外接的定时元件。图 8.39 所示为其外部接线图。

结合图 8.38 的工作波形图, 分析该电路的工作原理如下。

接通电源后, 电源  $U_{CC}$  经电阻  $R_1$ 、 $R_2$  对电容  $C$  充电, 随着充电的进行, 当电容电压上升到  $u_C \geq \frac{2}{3}U_{CC}$  时, 555 定时器内的两个电压比较器  $C_1$  和  $C_2$  的输出分别为  $u_{C1} = 0$ ,  $u_{C2} = 1$ , 使基本 RS 锁存器被置“0”。这时产生两种结果: 其一, 输出端  $u_O = 0$ ; 其二, 由于此时 RS 锁存器的  $\bar{Q} = 1$ , 且泄放三极管 VT 饱和导通, 电容  $C$  经  $R_2$  向 VT 放电。随着放电的进行, 当电容电压下降到  $u_C \leq \frac{1}{3}U_{CC}$  时, 两个电压比较器  $C_1$  和  $C_2$  的输出变为  $u_{C1} = 1$ ,  $u_{C2} = 0$ , 使基本 RS 锁存器翻成“1”态。这时电路的输出再次变成  $u_O = 1$ , 同时由于 VT 截止, 电容  $C$  又开始充电。如此周而复始, 电路的输出端得到周期性矩形脉冲。

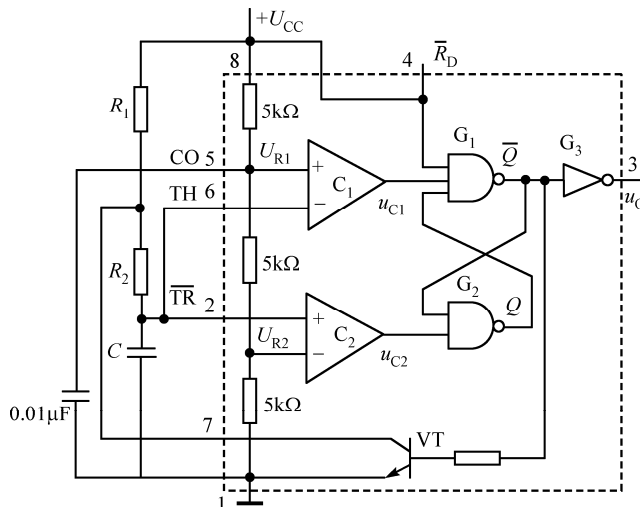


图 8.37 555 定时器构成的多谐振荡器

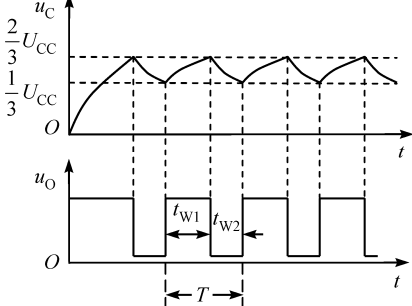


图 8.38 多谐振荡器的工作波形图

根据图 8.37 可知, 该电路有两个暂稳态, 第一个暂稳态持续的时间为, 电容  $C$  上的电压从  $\frac{1}{3}U_{CC}$  上升到  $\frac{2}{3}U_{CC}$  所需的时间, 即  $t_{W1}$ 。由于充电路径是  $R_1$ 、 $R_2$  和  $C$ , 可近似计算如下:

$$t_{W1} \approx (R_1 + R_2)C \ln 2 \approx 0.7(R_1 + R_2)C \quad (8.18)$$

第二个暂稳态持续的时间, 是电容  $C$  上的电压从  $\frac{2}{3}U_{CC}$  下降到  $\frac{1}{3}U_{CC}$  所需要的时间, 即  $t_{W2}$ 。放电

路径是  $R_2$  经 VT 到地，若忽略 VT 的饱和压降，可近似计算为：

$$t_{W2} \approx R_2 C \ln 2 \approx 0.7R_2 C \quad (8.19)$$

因此，矩形波的振荡周期  $T$  和频率  $f$  可用式 (8.20) 估算

$$\begin{aligned} T &\approx t_{W1} + t_{W2} \approx 0.7(R_1 + 2R_2)C \\ f &\approx \frac{1}{T} = \frac{1.43}{(2R_2 + R_1)C} \end{aligned} \quad (8.20)$$

可见，输出矩形波的周期或频率取决于电阻  $R_1$ 、 $R_2$  及电容  $C$  的值。由 555 定时器构成的多谐振荡器主要在低频段，最高频率约 1MHz。

由图 8.38 可知，输出矩形脉冲的占空比为：

$$q = \frac{t_{W1}}{T} = \frac{0.7(R_1 + R_2)C}{0.7(R_1 + 2R_2)C} = \frac{R_1 + R_2}{R_1 + 2R_2} \quad (8.21)$$

式 (8.21) 说明图 8.37 所示电路的多谐振荡器，其输出脉冲的占空比始终大于 50%。

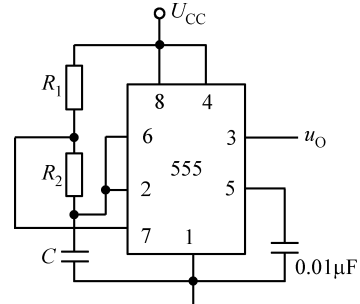


图 8.39 555 定时器构成的多谐振荡器  
外部接线图

## 小结

本章介绍的多谐振荡器是典型的自激脉冲振荡器，它们不需要外加输入信号，只要接通电源就可由自激振荡产生矩形脉冲信号，脉冲信号的频率由电路参数  $R$ 、 $C$  决定。环形振荡器是由闭合回路的延迟负反馈作用而产生自激振荡的；对称多谐振荡器和石英晶体多谐振荡器则是利用闭合回路的正反馈产生自激振荡的。

单稳态触发器是最常用的整形电路之一，它的主要特点是：单稳态触发器仅有一个稳定状态，另一个状态是暂稳态，只有当有外加触发脉冲时，电路才能从稳态翻转到暂稳态，并且依靠  $R$ 、 $C$  的参数决定电路的充、放电过程来维持暂稳态时间，之后会自动返回到稳态。单稳态触发器输出信号的宽度完全由电路参数决定，而与引起触发作用的输入信号无关。单稳态触发器常常用以产生固定宽度的脉冲信号。

施密特触发器的输出具有两个稳定状态，但施密特触发器输出的高、低电平将随输入信号的电平改变，当输入信号电平上升时，电路状态转换所对应的输入电平  $U_{T+}$  与输入信号下降时电路状态转换所对应的输入电平  $U_{T-}$  不同。因此，施密特触发器的输出脉冲宽度是由输入信号决定的。由于施密特触发器的滞回特性及电路内部存在正反馈过程使输出信号波形边沿陡峭，所以，施密特触发器也是常用的整形电路。

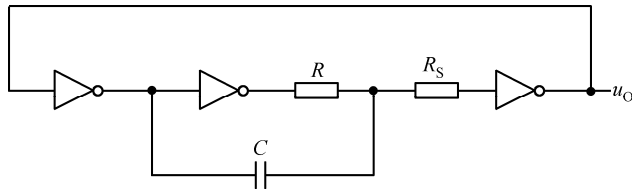
555 定时器有着广泛的用途，仅需外接少量的  $R$ 、 $C$  元件，即可构成单稳态触发器、多谐振荡器、施密特触发器及各种应用电路，是在许多领域广泛应用的中规模集成电路。

## 习题

8-1 试用 555 定时器设计一个单稳态触发器，要求输出脉冲宽度在  $1\sim10\mu s$  的范围内连续可调。

8-2 设某零件加工过程中需要热处理，先在  $50^{\circ}\text{C}$  的炉温下预热 3s，停 2s 后再送到  $100^{\circ}\text{C}$  的炉温下加热 10s，加热完毕后要求报警。试用单稳态电路实现以上控制。

8-3 在图题 8-3 所示的环形振荡器电路中, 说明  $R$ 、 $C$ 、 $R_S$  各元件的作用。如果需要调节输出信号的频率, 应该调节哪些参数? 调节范围有何限制?



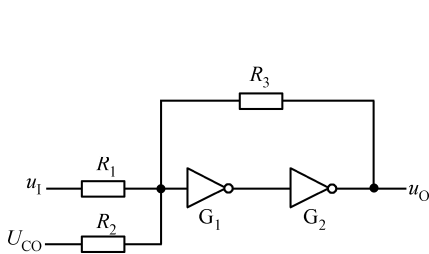
图题 8-3

8-4 图题 8-4 是由 CMOS 反相器接成的压控施密特触发器电路, 试分析它的转换电平  $U_{T+}$ 、 $U_{T-}$  及回差电压  $\Delta U_T$  与控制电压  $U_{CO}$  的关系。

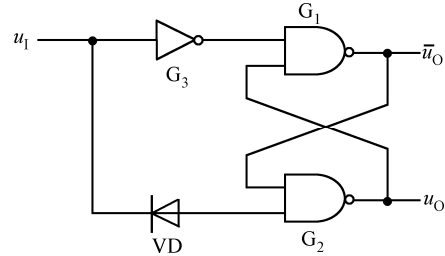
8-5 试用 555 定时器构成施密特触发器电路, 试问: ①当  $U_{CC} = 15V$  时, 回差电压  $\Delta U_T$  为多少?  
②当  $U_{CC} = 12V$ , 控制端电压  $U_{CO} = 6V$  时, 回差电压  $\Delta U_T$  为多少?

8-6 试用 555 定时器构成多谐振荡电路, 要求振荡频率为 10kHz, 占空比为 60%, 输出脉冲幅度  $U_m \geq 5V$ , 试选用定时元件的参数和电源电压  $U_{CC}$ , 并画出电路图。

8-7 图题 8-7 所示为具有电平偏移二极管的施密特触发器电路, 试分析该电路的工作原理, 并画出其电压传输特性 ( $G_1$ 、 $G_2$ 、 $G_3$  均为 TTL 电路)。



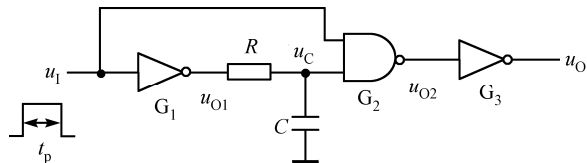
图题 8-4



图题 8-7

8-8 积分型单稳态电路如图题 8-8 所示, 其中  $t_p = 5\mu s$ ,  $R = 300\Omega$ ,  $C = 1000pF$ 。

- (1) 分析电路的原理;
- (2) 画出  $u_I$ 、 $u_{O1}$ 、 $u_C$ 、 $u_{O2}$ 、 $u_O$  的波形。

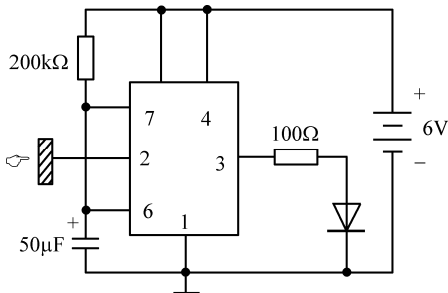


图题 8-8

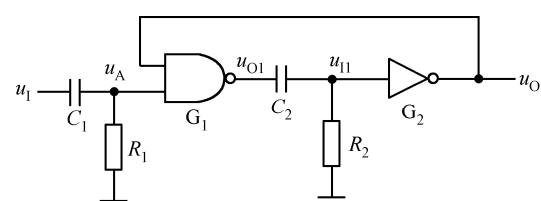
8-9 图题 8-9 所示为一简易触摸开关电路, 若手碰金属片时, 发光二极管亮, 经过延时, 则自动熄灭。试说明其工作原理, 并求发光二极管亮的时间。

8-10 图题 8-10 所示为由 TTL 门电路组成的微分型单稳态触发器, 其中电阻  $R_1$  的阻值足够大, 可保证稳态时  $u_A$  为高电平, 而  $R_2$  的阻值较小, 以便稳态时  $u_{II}$  为低电平。

- (1) 试分析该电路在给定触发信号  $u_I$  作用下的工作过程;
  - (2) 画出  $u_A$ 、 $u_{O1}$ 、 $u_{II}$  的电压波形。
- (注:  $C_1$  的电容很小, 它与  $R_1$  组成微分电路)



图题 8-9



图题 8-10

8-11 图题 8-11 所示为由 555 定时器构成的开机延时电路，如果给定参数  $C = 25\mu\text{F}$ ,  $R = 91\text{k}\Omega$ ,  $U_{CC} = 12\text{V}$ ，试计算按钮式常闭触点 S 断开后需经多长的延迟时间，输出电压  $u_O$  才能跳变成高电平？

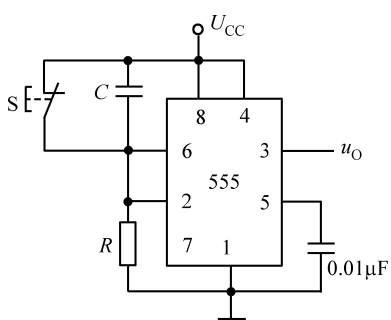
8-12 试用 555 定时器设计一个单稳态触发器，要求：输出脉冲宽度在  $1\sim 10\text{s}$  的范围内可手动调节。给定条件：①555 定时器的电源  $U_{CC} = 15\text{V}$ ；②触发信号来自 TTL 电路，其高、低电平分别为  $3.4\text{V}$  和  $0.1\text{V}$ 。

8-13 试分析图题 8-13 所示电路，并已知： $R_2 = 1\text{M}\Omega$ ,  $R_3 = 3\text{k}\Omega$ ,  $R_4 = 2\text{k}\Omega$ ,  $C_1 = 1\mu\text{F}$ ,  $C_2 = 0.2\mu\text{F}$ ,  $C_3 = 50\mu\text{F}$ ，扬声器为  $8\Omega$ ，试说明：

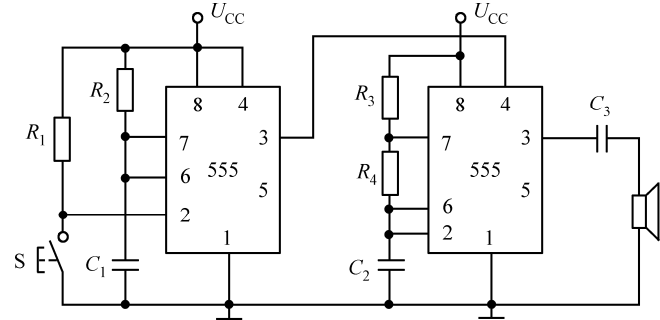
(1) 按钮 S 未按下时，两个 555 定时器分别工作在什么状态？

(2) 每按动一下按钮后，两个 555 定时器如何工作？

(3) 画出每次按动按钮后，两个 555 定时器输出的电压波形。



图题 8-11



图题 8-13

# 第9章 数模与模数变换器

在自然界中存在的物理量均为模拟量，也就是时间和取值都是连续的量，如声音、图像、温度、压力、湿度、气体的浓度等。而我们知道，数字信号在存储、处理与传输时有着模拟信号不可比拟的优点，因此人们希望用数字技术去测量、处理模拟量，这首先就要将模拟信号转换为数字信号，即要进行模数变换（Analog-Digital Conversion, ADC）。最常见的例子是数字温度计。

在自动控制系统中，采集到的模拟信号经调理<sup>①</sup>后经过 ADC，将得到的数字信号进行存储、处理。处理后的数据要对被控量实施控制，这时就要将处理后的数字信号变成模拟信号，即进行数模变换（Digital-Analog Conversion, DAC），以通过执行元件对被控量实施控制，如图 9.1 所示。

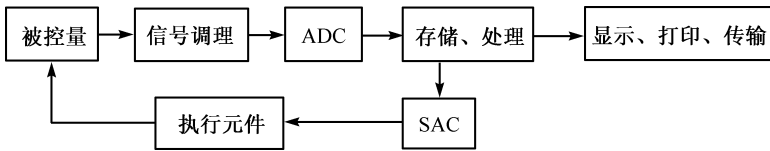


图 9.1 自动控制系统示意图

不同的系统使用图 9.1 中的不同部分，如 MP3 播放器只用存储、处理单元和 DAC 单元即可。

由于集成电路技术的迅速发展，市场上 ADC、DAC 的芯片种类繁多，不可能对它们一一介绍。本章主要介绍工作原理、参数的选择和使用方法。先介绍 DAC，再介绍 ADC。

## 9.1 数模转换器

所谓数模转换器（Digital Analog Converter, DAC），就是这样一个器件：它的输入是数字量，而输出则是与输入数字量成比例关系的模拟量。图 9.2 所示为一个有 8 位输入数字量的 DAC 示意图。如果输入是某 8 位二进制加法计数器的输出，则其输出如图 9.3 所示，是一个阶梯波。

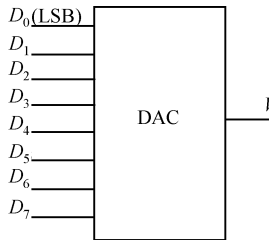


图 9.2 DAC 示意图

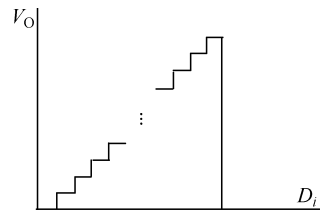


图 9.3 DAC 输入-输出特性示意图

### 9.1.1 权电阻型 DAC

4 位权电阻型 DAC 的构成如图 9.4 所示。由图可见，虚线左侧为一个电阻网络，每个电阻的取值分别为  $2^3R$ 、 $2^2R$ 、 $2^1R$ 、 $2^0R$ ，每个电阻的一端接集成运算放大器的反相输入端，另一端通过电子开关

① 信号调理指将信号幅度调整到适合 ADC 对信号幅度的要求，可以是放大，也可以是衰减。

$S_i$  ( $i=0, 1, 2, 3$ ) 可分别接到  $V_{\text{REF}}$  或地上。电子开关  $S_i$  为数控模拟开关，它接到哪边，由数字量  $D_i$  控制：当  $D_i$  为 1 时接  $V_{\text{REF}}$  端，为 0 时接公共端。虚线右边为由理想运算放大器组成的负反馈放大器，图中的 A 点为虚地，电位为 0。

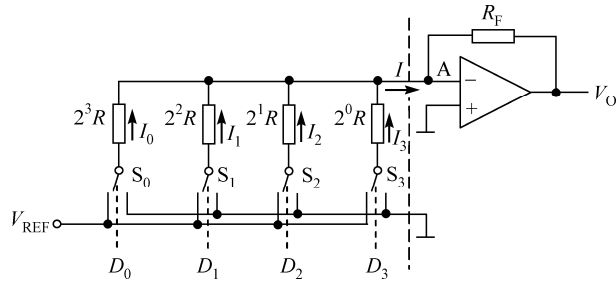


图 9.4 权电阻型 DAC

由于 A 点电位为 0，所以当  $D_i$  ( $i=0, 1, 2, 3$ ) 为 1 时，它所产生的电流流入 A 点，大小为  $I_i = V_{\text{REF}} / (2^{3-i} \times R)$ 。而当  $D_i=0$  时产生的电流为 0，所以  $D_i$  所产生的电流  $I_i$  与  $D_i$  的关系为

$$I_i = D_i \times V_{\text{REF}} / (2^{3-i} \times R) = (V_{\text{REF}} / (2^3 \times R)) \times D_i \times 2^i \quad (9.1)$$

根据线性叠加原理得，所有  $D_i$  产生的总电流为

$$I = \sum_{i=0}^3 I_i = (V_{\text{REF}} / (2^3 \times R)) \times \sum_{i=0}^3 (D_i \times 2^i) \quad (9.2)$$

它在输出端产生的电压为

$$V_O = -I \times R_F = -(V_{\text{REF}} \times R_F / (2^3 \times R)) \times \sum_{i=0}^3 (D_i \times 2^i) = -\Delta V \times \sum_{i=0}^3 (D_i \times 2^i) \quad (9.3)$$

式中

$$\Delta V = V_{\text{REF}} \times R_F / (2^3 \times R) \quad (9.4)$$

是个常数，当  $R_F=R/2$  时，有

$$\Delta V = V_{\text{REF}} / 2^4 \quad (9.5)$$

这个  $\Delta V$  就是图 9.3 所示台阶波中一个台阶的高度，表示输入数字量最低位变化 1 时输出模拟量的变化量，它是 DAC 的一个重要指标，称为 DAC 的分辨率。

同理，对于  $n$  位权电阻式 DAC，当  $R_F=R/2$  时，其输出电压的表达式为

$$V_O = -I \times R/2 = -(V_{\text{REF}}/2^n) \times \sum_{i=0}^{n-1} D_i \times 2^i = -\Delta V \times \sum_{i=0}^{n-1} D_i \times 2^i \quad (9.6)$$

式中， $n$  为 DAC 的位数。当输入数据全为 0 时，输出电压为 0；当输入数据全为 1 时，输出电压幅度达到最大值

$$V_{O_{\max}} = -\Delta V \times \sum_{i=0}^{n-1} 2^i = -(2^n - 1) \times \Delta V = -(2^n - 1) V_{\text{REF}} / 2^n \quad (9.7)$$

由此得输出电压最大幅度与参考电压的关系为

$$V_{O_{\max}} / V_{\text{REF}} = (2^n - 1) / 2^n \quad (9.8)$$

如果要得到正的输出电压  $V_O$ , 只要使  $V_{REF}$  为负即可。也可以在后面加一个反相器。

权电阻型 DAC 电路中电阻的取值范围很大, 例如, 如果制造 8 位 DAC, 则电路中最大电阻与最小电阻的阻值之比为 128:1, 而这会在集成电路制造中带来困难。为此, 在制造位数较多的权电阻型 DAC 时, 人们采取了一些措施, 使电阻的取值范围不会变得太大。习题 9-3 是其中的一个例子, 读者可自行分析。

### 9.1.2 R-2R T 形电阻网络 DAC

图 9.5 所示为  $n$  位 R-2R T 形电阻网络 DAC 的原理图。图中电阻网络中所有电阻值均为  $R$  或  $2R$ 。电阻网络后跟一个运算放大器, 其反馈电阻为  $R_F$ , 其作用是将电阻网络中所产生的输出电流转换为输出电压。 $n$  位数字信号  $D_i$  分别控制电子开关  $S_i$  接地或接  $V_{REF}$ : 当  $D_i=0$  时,  $S_i$  接地; 当  $D_i=1$  时,  $S_i$  接  $V_{REF}$ 。

分析电路结构可知, 从任一节点  $N_i$  处, 如  $N_2$  处, 向左看的等效电阻为  $2R$ , 向右看的等效电阻为  $2R$ , 向下看的等效电阻也为  $2R$ ; 从任一电子开关  $S_i$  处向上看的等效电阻均为  $3R$ 。A 点电位为 0。

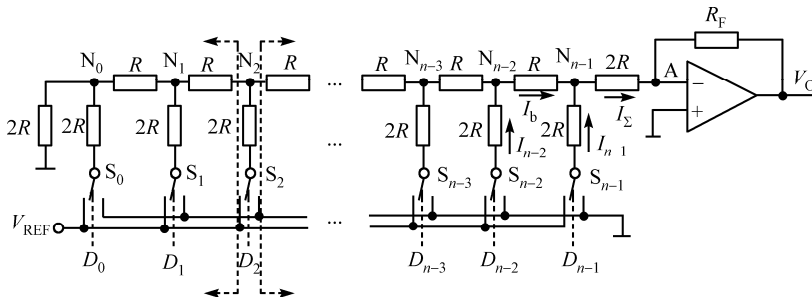


图 9.5 R-2R T 形电阻网络 DAC

当图 9.5 中  $D_{n-1}=1$ , 其他  $D_i=0$  时,  $I_{n-1}=V_{REF}/3R$ 。由于从节点  $N_{n-1}$  处向左、向右的等效电阻均为  $2R$ , 所以此时流入 A 点的电流为

$$I_{\Sigma} = I_{n-1} / 2 = V_{REF} / (3R \times 2) \quad (9.9)$$

当图中  $D_{n-2}=1$ , 其他  $D_i=0$  时,

$$I_{n-2} = V_{REF} / 3R \quad (9.10)$$

由于节点  $N_{n-2}$  处向左、向右的等效电阻均为  $2R$ , 所以此时流入  $N_{n-1}$  点的电流为

$$I_b = I_{n-2} / 2 = V_{REF} / (3R \times 2) \quad (9.11)$$

而从  $N_{n-1}$  点处向下、向右的等效电阻均为  $2R$ , 所以流向 A 点的电流为

$$I_{\Sigma} = I_b / 2 = I_{n-2} / 2^2 = V_{REF} / (3R \times 2^2) \quad (9.12)$$

同理, 当只有  $D_i=1$  时, 流入 A 点的电流为

$$I_{\Sigma} = V_{REF} / (3R \times 2^{n-i}) \quad (9.13)$$

当输入数据为  $D_{n-1}D_{n-2}\cdots D_0$  时, 根据线性叠加原理得: 流入 A 点的电流为所有  $D_i$  产生的流入 A 点的电流之和, 即

$$I = \sum_{i=0}^{n-1} (V_{REF} \times D_i / (3R \times 2^{n-i})) = V_{REF} / 3R \sum_{i=0}^{n-1} (D_i / 2^{n-i}) = V_{REF} / (3R \times 2^n) \sum_{i=0}^{n-1} (2^i \times D_i) \quad (9.14)$$

输出电压为：

$$V_O = -I \times R_F = -V_{REF} \times R_F / (3R \times 2^n) \times \sum_{i=0}^{n-1} (2^i \times D_i) \quad (9.15)$$

如果取  $R_F = 3R$ , 则

$$\begin{aligned} V_O &= -I \times R_F = -V_{\text{REF}} \times 3R / (3R \times 2^n) \times \sum_{i=0}^{n-1} (2^i \times D_i) \\ &= -V_{\text{REF}} / 2^n \times \sum_{i=0}^{n-1} (2^i \times D_i) = -\Delta V \times \sum_{i=0}^{n-1} (2^i \times D_i) \end{aligned} \quad (9.16)$$

式中,  $\Delta V = -V_{\text{REF}}/2^n$ , 是阶梯波中一个台阶的高度, 为该 DAC 的分辨率。

当输入数据全为 0 时,  $V_0=0$ ;

当输入数据  $D_0=1$ , 其他全为 0 时

$$V_0 = -V_{\text{REF}} / 2^n = -\Delta V \quad (9.17)$$

当输入数据全为 1 时，输出最大电压

$$V_{\text{Omax}} = -V_{\text{REF}} / 2^n \times \sum_{i=0}^{n-1} 2^i = -V_{\text{REF}} \times (2^n - 1) / 2^n \quad (9.18)$$

式(9.18)是最大输出电压幅度与参考电压的关系式。

由式(9.16)可见,T形DAC的输出电压与输入数字量成正比。由于网络中只有 $R$ 、 $2R$ 两种电阻值,所以在制造中精度比较容易控制。

### 9.1.3 倒 T 形电阻网络 DAC

图 9.6 所示为倒 T 形电阻网络 DAC 原理图。

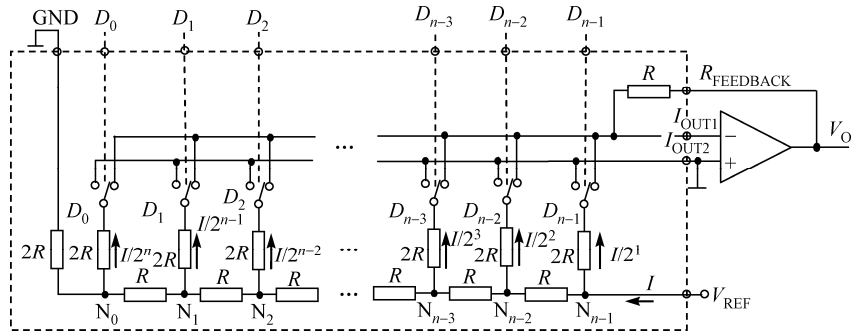


图 9.6 倒 T 形电阻网络 DAC

倒 T 形电阻网络中的电阻值也为  $R$  和  $2R$ ，它的形状如同倒着的 T 字，所以得名。从任一  $N_i$  处向上看的等效电阻为  $2R$ ，向左看的等效电阻也为  $2R$ ；从  $V_{REF}$  处向左看的等效电阻为  $R$ 。电子开关受输入数字量  $D_i$  控制： $D_i = 1$  时接  $I_{OUT1}$  端； $D_i = 0$  时接  $I_{OUT2}$  端。由以上分析得图 9.6 所示各支路电流的电流值，其中

$$I = V_{\text{REF}}/R \quad (9.19)$$

$D_i=1$  时流向  $I_{\text{OUT}1}$  的电流为

$$I_i = I / 2^{n-i} \quad (9.20)$$

流向  $I_{\text{OUT}2}$  的电流为 0；

$D_i=0$  时流向  $I_{\text{OUT}1}$  的电流为 0，而流向  $I_{\text{OUT}2}$  的电流为

$$I_i = I / 2^{n-i} \quad (9.21)$$

对于任意输入数字量有

$$I_{\text{OUT}1} = I \times \sum_{i=0}^{n-1} (D_i / 2^{n-i}) = V_{\text{REF}} / (R \times 2^n) \sum_{i=0}^{n-1} (D_i / 2^i) \quad (9.22)$$

$$I_{\text{OUT}2} = I \times \sum_{i=0}^{n-1} (\bar{D}_i / 2^{n-i}) = V_{\text{REF}} / (R \times 2^n) \sum_{i=0}^{n-1} (\bar{D}_i / 2^i) \quad (9.23)$$

如果运算放大器如图 9.6 所示接入，则该 DAC 的输出电压为

$$V_O = -R \times I_{\text{OUT}1} = -R \times I \sum_{i=0}^{n-1} (D_i / 2^{n-i}) = -V_{\text{REF}} / 2^n \sum_{i=0}^{n-1} (D_i \times 2^i) = -\Delta V \times \sum_{i=0}^{n-1} (D_i \times 2^i) \quad (9.24)$$

式中， $\Delta V = V_{\text{REF}}/2^n$ ，为该 DAC 的分辨率。式 (9.24) 正是我们所希望的 DAC 的输出表达式。

#### 9.1.4 DAC 中的电子开关

图 9.7 所示为某集成倒 T 形电阻网络 DAC 中的电子开关电路图。图中二极管起保护作用。该电子开关由 9 个 MOS 管组成， $V_+$  为数字电源。MOS 管  $VT_1$ 、 $VT_2$ 、 $VT_3$  组成一个反相器，其中  $VT_3$  的存在使输入兼容 TTL 输入； $VT_4$ 、 $VT_5$ 、 $VT_6$ 、 $VT_7$  分别组成两个反相器； $VT_8$ 、 $VT_9$  的通、断决定电流  $I_i$  的流向。不难分析，当输入为 1 时，MOS 管  $VT_9$  通， $VT_8$  断，电流流向  $I_{\text{OUT}1}$ ；而当输入为 0 时，MOS 管  $VT_9$  断， $VT_8$  通，电流流向  $I_{\text{OUT}2}$ 。

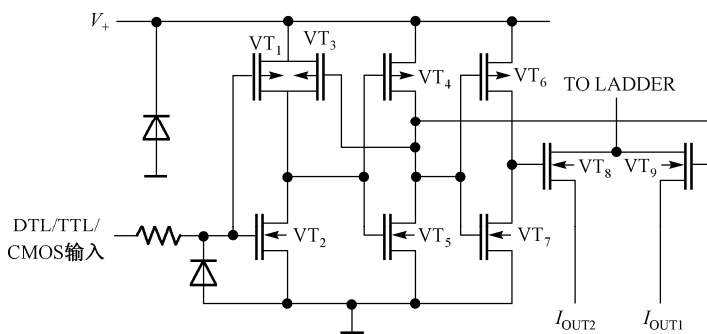


图 9.7 DAC 中的电子开关

#### 9.1.5 单片集成 DAC AD7520 及其用法

AD7520 是单片 10 位 DAC 集成电路，其内部结构完全与图 9.6 中虚框内结构相同，是倒 T 形电阻网络 DAC。它的引脚图如图 9.8 所示。图中  $V_+$  为数字电源。

AD7520 的极限参数为： $V_{+MAX}=+17V$ ； $V_{REF}=+/-25V$ 。

实际应用中，一般将  $I_{OUT2}$  接地电位。如果要得到正的输出电压，只要使参考电源为负即可。

### 9.1.6 DAC 的主要参数

在实际应用中，需要考虑的参数主要有分辨率、转换误差和转换速度。

#### 1. DAC 的分辨率

DAC 的分辨率就是图 9.3 所示 DAC 输出台阶波中一个台阶的高度  $\Delta V$ ，它是 DAC 输出电压的最小幅度间隔，也就是当输入数字信号最低位变化 1 时，输出模拟电压的变化量。

实际系统中所设计的 DAC 必须满足这个指标。显然， $\Delta V$  越小，表明转换精度越高。由 9.1.1 节、9.1.2 节、9.1.3 节的分析知，在适当选取运算放大器的反馈电阻的条件下，DAC 的分辨率为（不考虑符号）：

$$\Delta V = V_{REF} / 2^n = V_{O_{max}} / (2^n - 1) \quad (9.25)$$

由分辨率的表达式（9.25）可知：当参考电压  $V_{REF}$  一定时，分辨率  $\Delta V$  只与 DAC 的位数  $n$  有关。 $n$  越大， $\Delta V$  就越小，分辨率越高，因此也常用位数  $n$  表示 DAC 的精度。

如果一个  $n$  位 DAC 的最大输出电压为  $V_{O_{max}}$ ，则其分辨率的绝对值为

$$\Delta V = V_{O_{max}} / (2^n - 1) \quad (9.26)$$

式（9.26）又称为 DAC 的绝对分辨率，而称

$$\Delta V / V_{O_{max}} = V_{O_{max}} / (V_{O_{max}} (2^n - 1)) = 1 / (2^n - 1) \quad (9.27)$$

为相对分辨率。

#### 2. DAC 的转换误差

在分析 DAC 时，假定电阻的阻值、参考电压的电压值都是理想值，电子开关的导通电阻为 0，而运算放大器为理想运算放大器。而在实际中，阻值不可能是标称值，参考电压可能偏离标准值或有波动，运算放大器也非理想运算放大器，这些非理想因素会影响 DAC 的精度。也就是说，实际 DAC 的输出值会与理想值有偏差。

##### （1）比例系数误差

参考电压  $V_{REF}$  偏离标准值所产生的误差称为比例系数误差，如图 9.9 所示。

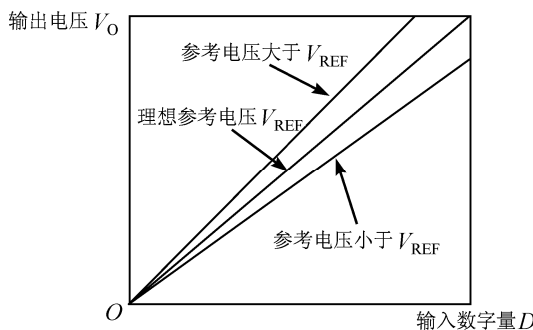


图 9.9 比例系数误差示意图

图 9.9 说明：当参考电压偏大时，输出电压偏高；反之偏低。最大偏差发生在输入数据为最大，也就是全为 1 时。

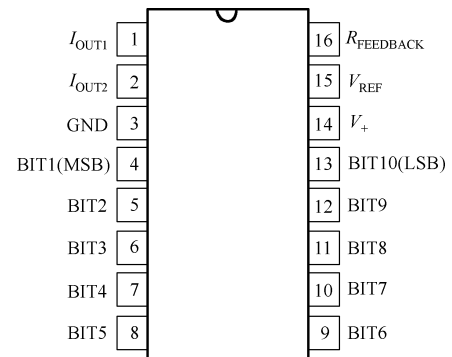


图 9.8 引脚图

由式(9.18)知:

$$V_{O\max} = -V_{REF} / 2^n \times \sum_{i=0}^{n-1} 2^i = -V_{REF} \times (2^n - 1) / 2^n \quad (9.28)$$

当参考电压为  $V_{REF} + \Delta V_{REF}$  时, 输出电压的最大值为:

$$V'_{O\max} = -(V_{REF} + \Delta V_{REF}) \times (2^n - 1) / 2^n \quad (9.29)$$

最大偏移量为:

$$\begin{aligned} \Delta V_{O\max} &= V'_{O\max} - V_{O\max} = -(V_{REF} + \Delta V_{REF}) \times (2^n - 1) / 2^n - (-V_{REF} \times (2^n - 1) / 2^n) \\ &= -\Delta V_{REF} \times (2^n - 1) / 2^n \end{aligned} \quad (9.30)$$

可见, 此时最大输出电压的偏移量与参考电压的偏移量成比例关系, 所以称为比例系数误差。由于  $(2^n - 1)/2^n$  近似为 1, 所以  $V_{REF}$  偏差引起的最大输出电压偏移量近似为  $\Delta V_{REF}$ 。实际应用中应控制  $\Delta V_{REF}$  在  $1/2\Delta V$  内。

### (2) 失调误差

运算放大器零漂引起的误差称为失调误差。失调误差的大小与输入数字量的大小无关, 表现为输出电压整体上移或下移, 如图 9.10 所示。

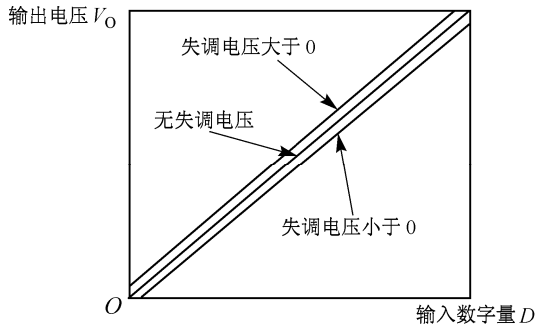


图 9.10 失调误差示意图

实际应用中应采取措施, 使失调误差不超过系统所要求的精度范围。

### (3) 非线性误差

还有一些误差是无法预测、不能定量分析的, 如参考电源的波动、电阻网络中电阻的误差、电子开关的导通电阻的分散性、运算放大器的非理想特性等。它们的存在使 DAC 的台阶并不完全相等。人们把由这些因素引起的误差统称为非线性误差。除参考电源外, 生产厂家会把其他因素引起的误差控制在允许的误差范围内。用户需要做的是使电源尽可能稳定, 并在 PCB 制作时注意元器件的布局及导线的走向。

## 3. DAC 的转换速度

DAC 的转换速度一般用建立时间来衡量。所谓建立时间是指从输入数字量发生变化开始到输出电压建立完成所需要的时间, 一般用  $t_{set}$  表示。

由于 DAC 中只有电阻和运算放大器, 无储能、记忆元件, 所以 DAC 的建立时间很短, 一般为  $\mu s$  量级。

## 9.1.7 DAC 的应用

DAC 除具有数模转换功能外, 还可有许多其他用途。

### 1. 数控增益放大器

由9.1.1节~9.1.3节的分析知, DAC的输出电压与输入数字量成比例, 还与参考电压成比例, 即

$$V_O = -V_{REF} \times \sum (2^i \times D_i) / 2^n \quad (9.31)$$

如果把DAC当做放大器来看, 从 $V_{REF}$ 处接输入电压 $V_I$ , 如图9.11所示, 则式(9.31)就成了放大器输出电压与输入电压之间的关系式:

$$V_O = -V_I \times \sum (2^i \times D_i) / 2^n \quad (9.32)$$

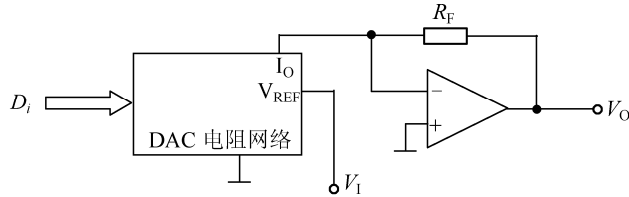


图9.11 DAC用做数控增益放大器示意图 I

该放大器的增益为

$$A_V = V_O / V_I = -\sum (2^i \times D_i) / 2^n \quad (9.33)$$

可见该增益与输入数字量有关: 改变输入数字量, 就可以改变放大器的增益。理想情况下, 该放大器的增益取值范围为 $0 \sim -(2^n - 1)/2^n$ , 小于1。当然改变反馈电阻的阻值 $R_F$ , 就可以改变放大器的增益。

如果将反馈电阻与电阻网络的位置互换, 即将电阻网络作为放大器的反馈电阻, 而从反馈电阻处输入信号 $V_I$ , 如图9.12所示, 则放大器的增益为

$$A_V = -2^n / \sum (2^i \times D_i) \quad (9.34)$$

放大器的增益范围为 $-2^n/(2^n - 1) \sim -\infty$ 。

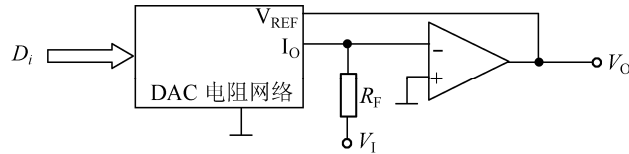


图9.12 DAC用做数控增益放大器示意图 II

### 2. 波形发生器

因为DAC的输出电压与输入数字量成比例, 如果使输入数字量按某一规律变化, 则可在输出端得到所要的波形。

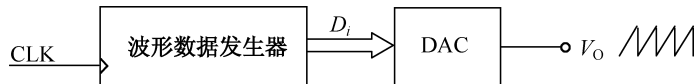


图9.13 DAC用做波形发生器

图9.13所示为将DAC用做波形发生器的方框图。波形数据发生器决定输出什么波形。如果波形数据发生器是加法二进制计数器, 则输出负向锯齿波; 如果是减法二进制计数器, 则输出正向锯齿波; 如果是可逆二进制计数器, 加上适当的控制电路, 则可以输出三角波。

如果希望得到其他波形，则可以把波形数据存放到 ROM 中，顺序把数据读出即可。

## 9.2 模数转换器

模数转换器 (Analog Digital Converter, ADC) 就是把模拟量转换为数字量的器件，其输入为模拟量，输出为数字量。通常情况下，进行 ADC 需要采样保持、量化、编码三个步骤。

### 9.2.1 采样保持

输入模拟量是在时间上和取值上都连续变化的，如图 9.14(a)所示。由于 ADC 需要时间，如需要时间  $\Delta t$ ，从时刻 0 开始进行 ADC，ADC 完毕后时间已经到了  $\Delta t$ ，而在这期间输入模拟量已经发生了变化，ADC 所得到的输出数据不知道它所对应的是哪一时刻的输入信号。因此需要先将输入信号在时间上离散化，即将输入信号每隔  $\Delta t$  取样一次。取样后的值在进行 ADC 期间应保持不变。输入信号经取样保持后的结果如图 9.14(b)所示。

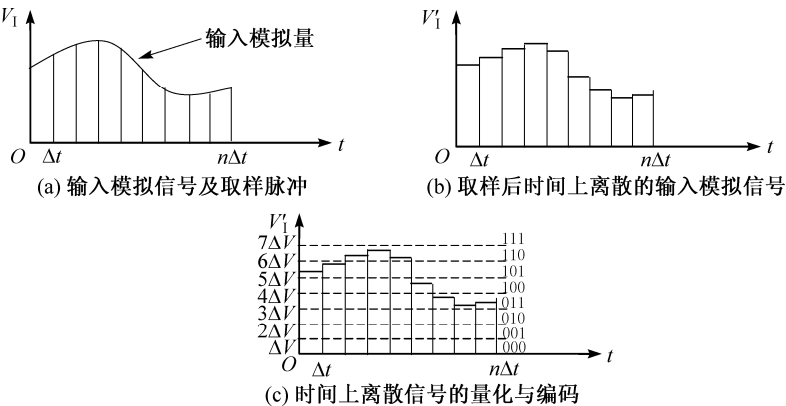


图 9.14 模拟信号的离散化

根据信号分析理论，如果取样脉冲为冲激函数，则取样频率应不小于最大输入信号频率的 2 倍，即

$$f_s = 1/\Delta t \geq 2f_{I_{max}} \quad (9.35)$$

由于实际取样脉冲不可能为冲激函数，而是具有一定宽度的脉冲函数，所以取样频率应该更高，一般取 3~5 倍信号频率：

$$f_s = 1/\Delta t \geq (3 \sim 5)f_{I_{max}} \quad (9.36)$$

采样保持的原理电路如图 9.15 所示。图 9.15(a)为原理电路。电子开关和电容  $C$  是采样保持的核心部件：电子开关在取样脉冲的作用下导通，输入信号对保持电容  $C$  充电，使  $V'_I = V_I$ ，完成取样过程；取样脉冲过后，电子开关断开，由于理想运算放大器的输入阻抗为无穷，所以  $C$  上的电荷无泄放回路，得以保持，在下一个取样脉冲到达前保持  $V'_I = V_I$ 。两个运算放大器分别用做输入、输出缓冲器：输入缓冲器使采样保持电路不对输入信号产生影响；输出缓冲器使负载不对保持电容  $C$  上的电荷产生影响。

图 9.15(b)所示为一个实用电路。图中 NMOS 管作为一个电子开关使用，当取样脉冲到达时，导通；否则断开。

当然，电子开关断开时，保持电容  $C$  两端的等效阻抗不可能是无穷，因此  $C$  上的电荷还是会慢慢泄放。电容  $C$  越大，保持时间越长。但  $C$  越大，取样时使  $V'_I = V_I$  需要的时间就越长，从而必须使取样

脉冲变宽。根据信号分析理论, 取样脉冲越宽, 采样频率就必须越高, 而这样就对电路系统提出了更高的要求。在实际工作中应该注意综合考虑, 取合适的  $C$  值。

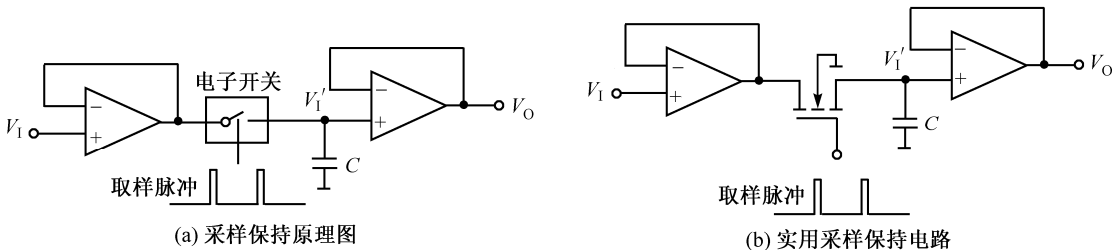


图 9.15 采样保持电路

## 9.2.2 量化与编码

采样保持环节将时间与取值上都连续的输入信号变成了时间上离散、取值上连续的信号。而输出数字量只能表示有限个输入信号的幅度。这就需要将信号的幅度进行量化。

图 9.14(c)中将离散后的信号幅度进行了 8 级量化: 落在  $0 \sim \Delta V$  之间的幅度量化为 0; 落在  $\Delta V \sim 2\Delta V$  之间的幅度量化为  $\Delta V$ ; …; 落在  $6\Delta V \sim 7\Delta V$  之间的幅度量化为  $6\Delta V$ ; 而大于  $7\Delta V$  的信号幅度则被量化为  $7\Delta V$ 。

显然, 实际输入信号电平与量化电平之间存在一个差, 这个差的最大值称为量化误差。图 9.14(c)所示量化方法的量化误差为  $\Delta V$ 。

8 级量化值用数字编码, 用三位即可。图 9.14(c)中将 8 级量化值分别编码为 000, 001, …, 111。

## 9.2.3 并行比较式 ADC

图 9.16 所示为并行比较式 ADC 原理图。图中  $V_1$  为输入电压, 电路将对其进行模数变换;  $V_{\text{REF}}$  为参考电压; 8 个电阻构成分压器, 产生 7 个基准电压; 7 个比较器的反相输入端接 7 个不同的基准电压, 同相输入端接输入电压; 同相输入端电平高于反相输入端时输出 1, 反之输出 0; 7 个 D 触发器在时钟作用下读取 7 个比较器的输出; 7 个比较器的输出共有 8 种输出状态, 可用三位数字量表示, 编码器的作用就是对其进行编码。

分析电路后不难得到表 9.1。表 9.2 列出了输入电压为不同值时的量化电平、比较器输出和编码器输出之间的关系。如当  $V_1 = 3V_{\text{REF}}/4$  时, 落在区间  $[11V_{\text{REF}}/15, 13V_{\text{REF}}/15]$  内, 此时的量化值为  $12V_{\text{REF}}/15$ , 输出编码为 110, 此时产生的量化误差为  $|3V_{\text{REF}}/4 - 12V_{\text{REF}}/15| = V_{\text{REF}}/20$ 。由表 9.1 可知, 这种量化方法所产生的最大量化误差为  $V_{\text{REF}}/15$ 。而如果取量化电平为 0,  $V_{\text{REF}}/15, \dots, 13V_{\text{REF}}/15$ , 则量化误差为  $2V_{\text{REF}}/15$ 。

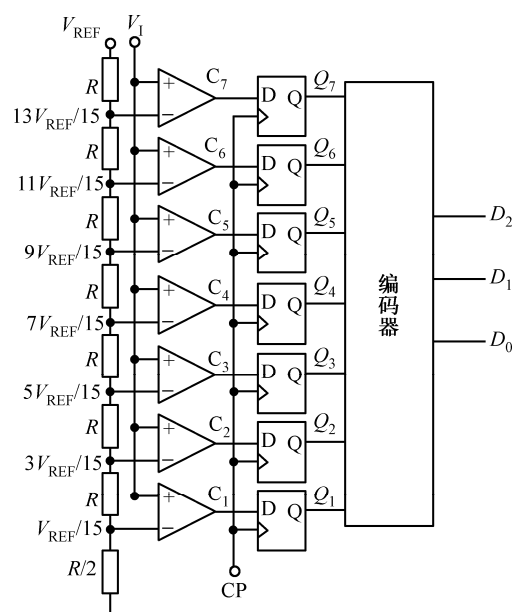


图 9.16 并行比较式 ADC 原理图

表 9.1 并行比较式 ADC 的输入-输出关系表

输入电压 $V_I$	量化电平	比较器输出							编码器输出		
		$C_7$	$C_6$	$C_5$	$C_4$	$C_3$	$C_2$	$C_1$	$D_2$	$D_1$	$D_0$
$[0, V_{REF}/15)$	0	0	0	0	0	0	0	0	0	0	0
$[V_{REF}/15, 3V_{REF}/15)$	$2/15V_{REF}$	0	0	0	0	0	0	1	0	0	1
$[3V_{REF}/15, 5V_{REF}/15)$	$4/15V_{REF}$	0	0	0	0	0	1	1	0	1	0
$[5V_{REF}/15, 7V_{REF}/15)$	$6/15V_{REF}$	0	0	0	0	1	1	1	0	1	1
$[7V_{REF}/15, 9V_{REF}/15)$	$8/15V_{REF}$	0	0	0	1	1	1	1	1	0	0
$[9V_{REF}/15, 11V_{REF}/15)$	$10/15V_{REF}$	0	0	1	1	1	1	1	1	0	1
$[11V_{REF}/15, 13V_{REF}/15)$	$12/15V_{REF}$	0	1	1	1	1	1	1	1	1	0
$[13V_{REF}/15, V_{REF})$	$14/15V_{REF}$	1	1	1	1	1	1	1	1	1	1

由表 9.1 可得编码器的逻辑关系为:

$$\begin{aligned} D_2 &= C_4 \\ D_1 &= C_6 + \overline{C_4}C_2 \\ D_0 &= C_7 + \overline{C_6}C_5 + \overline{C_4}C_3 + \overline{C_2}C_1 \end{aligned} \quad (9.37)$$

根据电路结构可知, 并行比较式 ADC 中含电阻和比较器, 而电阻对信号无延迟, 比较器对信号的延迟也非常短, 为 ns 级。这类 ADC 转换时间实际上就是触发器时钟沿到达编码器输出稳定所需的时间, 这个时间为 10ns 级。所以并行比较式 ADC 的转换速度非常快, 所以在使用这类 ADC 时不需要采样保持电路, 直接将待转换信号接到输入端即可。

图 9.16 所示的电路为三位 ADC 电路, 它需要 8 个电阻, 7 个比较器, 7 个 D 触发器; 如果要做 8 位 ADC, 则需要 256 个电阻, 255 个比较器, 255 个触发器, 编码器也会变得很复杂, 其规模也会变得很大。可见, 随着位数的增加, 电路规模急剧扩大, 使制造工艺、精度控制等变得困难。因此, 并行比较式 ADC 常用于对速度要求高而对精度要求不太高的场合。

为提高精度, 人们想出了许多方法, 这些方法大都采用了间接方式进行 ADC, 而并行比较式 ADC 属于直接式 ADC (直接将输入信号进行量化、编码而完成 ADC)。

#### 9.2.4 计数式 ADC

图 9.17 所示为计数式 ADC 原理图。它由  $n$  位 DAC、 $n$  位计数器、比较器和一个控制门组成。

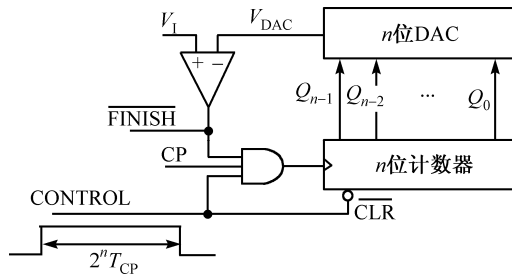


图 9.17 计数式 ADC 原理图

图中,  $n$  位 DAC 的最大输出电压为  $V_{DACMAX}$ ;  $V_I$  为经采样保持后的模拟输入电压,  $V_I$  应满足  $0 < V_I < V_{DACMAX}$ ;  $n$  位计数器有一清 0 端; ADC 的转换结果取自计数器的输出  $Q_{n-1}Q_{n-2}\dots Q_0$ ; 比较器输出为  $\overline{FINISH}$  信号:  $\overline{FINISH} = 1$  表明正在转换,  $\overline{FINISH} = 0$  表明转换结束, 系统可从计数器读取转

换结果； $\overline{\text{FINISH}}$  同时通过与非门控制计数器的时钟；CONTROL 为控制信号， $\text{CONTROL} = 0$  时，将计数器复位并禁止计数器计数， $\text{CONTROL} = 1$  时，启动 ADC。

计数式 ADC 的工作原理实际上就是将输入电压  $V_I$  与  $V_{\text{DAC}}$  进行比较，转换时  $V_{\text{DAC}}$  一直增加，直到  $V_I \leq V_{\text{DAC}}$ ，ADC 转换结束。如果将  $V_{\text{DAC}}$  看成是比较器的参考电压，那么这个参考电压是变化的，每次的变化量是 DAC 的分辨率  $\Delta V$ 。

工作过程：开始时使  $\text{CONTROL} = 0$ ，使计数器复位为 0，所以此时  $V_{\text{DAC}} = 0$ ， $\overline{\text{FINISH}} = 1$ ；然后使  $\text{CONTROL} = 1$ ，计数器开始计数， $V_{\text{DAC}}$  开始由 0 逐渐增加，每个时钟周期增加  $\Delta V$ ；只要  $V_I > V_{\text{DAC}}$ ， $\overline{\text{FINISH}}$  就等于 1，计数器就一直计数， $V_{\text{DAC}}$  就一直增加；直到  $V_I \leq V_{\text{DAC}}$ ，此时  $\overline{\text{FINISH}} = 0$ ，表明转换结束，系统可读取转换结果，即此时的  $Q_{n-1}Q_{n-2}\cdots Q_0$ ；读完转换结果后， $\text{CONTROL}$  可复位为 0，准备下一次转换。

计数式 ADC 的量化误差为其内置 DAC 的分辨率。转换时间与  $V_I$  的大小有关，最大转换时间为  $(2^n - 1)T_{\text{CP}}$ 。为保证得到正确的转换结果， $\text{CONTROL} = 1$  的持续时间应定为  $2^n T_{\text{CP}}$ 。

如果  $\text{CONTROL}$  由 1 变为 0 时  $\overline{\text{FINISH}}$  仍然为 1，则表明  $V_I$  太大，不能进行正确的转换，在这种情况下，系统应给出相应的出错信息。

可见，计数式 ADC 的转换时间很长，但其转换精度却很容易做得较高，只要增加计数器和 DAC 的位数即可。适用于对速度要求不高，但精度较高的场合。

### 9.2.5 逐次比较式 ADC

计数式 ADC 的转换时间很长，是因为计数器的值是逐个增加的。为缩短转换时间，人们发明了逐次比较式 ADC。

图 9.18 所示为逐次比较式 ADC 的原理图。逐次比较式 ADC 由  $n$  位 DAC、比较器、 $n$  位 D 触发器组成的数据寄存器、 $n$  位输出寄存器和  $n+1$  位右移位寄存器组成。

与计数式 ADC 类似，比较器的基准电压  $V_{\text{DAC}}$  也是变化的。但它的 DAC 的输入数据不是从最低位逐个增加，而是从最高位开始逐位确定 ADC 结果，每个时钟周期确定一位，从而大大减少了 ADC 的转换时间。

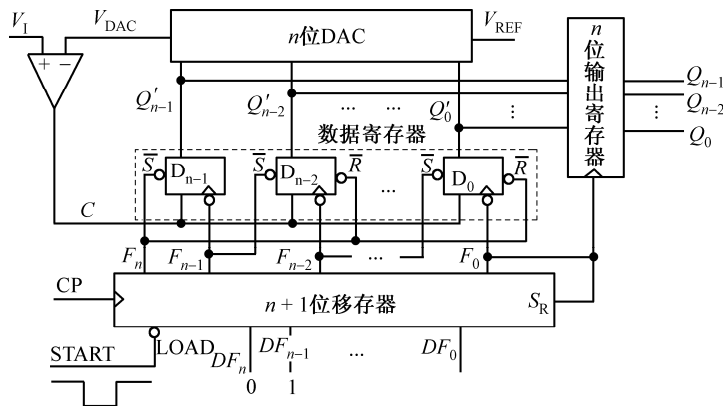


图 9.18 逐次比较式 ADC 原理图

(1)  $\text{START} = 0$ ，在第一个 CP 的作用下将移存器置为  $F_nF_{n-1}\cdots F_0 = 011\cdots 1$ ； $F_n = 0$ ，将数据寄存器置为  $Q'_{n-1}Q'_{n-2}\cdots Q'_0 = 100\cdots 0$ ；此时 DAC 输出电压  $V_{\text{DAC}} = V_{\text{REF}}/2$ ，为开始 ADC 做好准备。

(2)  $\text{START} = 1$ ，开始转换。如果此时  $V_I < V_{\text{REF}}/2$ ，则比较器输出  $C = 0$ ；反之  $C = 1$ 。第二个 CP 的上沿到达后移存器状态变为  $101\cdots 1$ ；此时  $F_{n-1}$  有一个下降沿，它将此时  $C$  的值写入数据寄存器的

$Q'_{n-1}$ ; 此后  $F_{n-1} = 0$ , 将数据寄存器的  $Q'_{n-2}$  置为 1。此时如果  $Q'_{n-1} = 1$ , 则  $V_{DAC} = 3V_{REF}/4$ ; 如果  $Q'_{n-1} = 0$ , 则  $V_{DAC} = V_{REF}/4$ 。

(3) START 保持为 1, 继续转换过程。如果此时  $V_I < 3V_{REF}/4$  ( $Q'_{n-1} = 1$ ) 或  $V_I < V_{REF}/4$  ( $Q'_{n-1} = 0$ ), 则  $C = 0$ ; 反之  $C = 1$ 。第三个 CP 的上沿到达后移存器状态变为 1101…1; 此时  $F_{n-2}$  有一个下降沿, 它将此时  $C$  的值写入数据寄存器的  $Q'_{n-2}$ ; 此后  $F_{n-2} = 0$ , 将数据寄存器的  $Q'_{n-3}$  置为 1。此时如果  $Q'_{n-1} Q'_{n-2} = 11$ , 则  $V_{DAC} = 7V_{REF}/8$ ; 如果  $Q'_{n-1} Q'_{n-2} = 10$ , 则  $V_{DAC} = 5V_{REF}/8$ ; 如果  $Q'_{n-1} Q'_{n-2} = 01$ , 则  $V_{DAC} = 3V_{REF}/8$ ; 如果  $Q'_{n-1} Q'_{n-2} = 00$ , 则  $V_{DAC} = V_{REF}/8$ 。

(4) ...

(5) START 保持为 1, 继续转换过程。第  $n+1$  个 CP 到达,  $F_0$  由 1 变为 0, 产生一个下降沿, 该下降沿使数据寄存器的  $Q'_0 = C$ , 完成了  $n$  位 ADC 变换,  $Q'_{n-1} Q'_{n-2} \dots Q'_0$  的状态就是转换结果。 $F_0$  可作为低有效的转换完毕指示信号使用。

(6) 第  $n+2$  个时钟沿到达, 一方面由于此时右移移存器的串行输入  $S_R = F_0 = 0$ , 移存器的状态又变为  $F_n F_{n-1} \dots F_0 = 011 \dots 1$ , 开始下一个转换周期; 另一方面  $F_0$  的上沿使转换结果存入  $n$  位输出寄存器, 并通知系统此次转换完毕, 可将数据读出。

由以上分析可知: 逐次比较式 ADC 先比较高位; 每比较一次可确定转换结果的一位; 若连续进行 ADC, 则每完成一次 ADC 需要时间  $(n+1)T_{CP}$ ; 若单次进行 ADC, 则完成一次 ADC 需要时间  $(n+2)T_{CP}$ , 其中第  $(n+2)$  个时钟将转换结果送入输出寄存器, 因此逐次比较式 ADC 要比计数式 ADC 快得多。START 信号变为 1 之前应至少保持一个时钟周期为 0, 以使移位寄存器可靠初始化; START 信号在转换过程中应一直保持为 1, 直到整个 ADC 过程结束。逐次比较式 ADC 的量化误差为内置 DAC 的分辨率  $\Delta V$ 。

**【例 9.1】** 设某 4 位逐次比较式 ADC 的输入电压为  $V_I = 3V$ , 其 DAC 的参考电压  $V_{REF} = 5V$ 。试分析转换过程, 并画出 CP、START、移存器输出、数据寄存器输出、比较器输出  $C$ 、DAC 输出  $V_{DAC}$  的对应波形, 并确定此时 ADC 的量化误差。

解: 第一个时钟沿到达时  $START = 0$ , 将移存器初始化为  $F_4 F_3 F_2 F_1 F_0 = 01111$ ;  $F_4 = 0$  使  $Q'_3 Q'_2 Q'_1 Q'_0 = 1000$ , 使  $V_{DAC} = 8V_{REF}/16 = V_{REF}/2 = 2.5V$ ; 因为  $V_I = 3V > 2.5V$ , 所以此时比较器输出  $C = 1$ 。

第二个时钟沿到达时  $START = 1$ , 移存器状态变为  $F_4 F_3 F_2 F_1 F_0 = 10111$ ;  $F_3$  的下沿使  $Q'_3 = C = 1$ ;  $F_3 = 0$  使  $Q'_2 = 1$ , 数据寄存器的状态变为  $Q'_3 Q'_2 Q'_1 Q'_0 = 1100$ , 此时  $V_{DAC} = 12V_{REF}/16 = 3V_{REF}/4 = 3.75V$ ; 因为  $V_I = 3V < 3.75V$ , 所以此时比较器输出  $C = 0$ 。

第三个时钟沿到达时  $START = 1$ , 移存器状态变为  $F_4 F_3 F_2 F_1 F_0 = 11011$ ;  $F_2$  的下沿使  $Q'_2 = C = 0$ ;  $F_2 = 0$  使  $Q'_1 = 1$ , 数据寄存器的状态变为  $Q'_3 Q'_2 Q'_1 Q'_0 = 1010$ , 此时  $V_{DAC} = 10V_{REF}/16 = 3.125V$ ; 因为  $V_I = 3V < 3.125V$ , 所以此时比较器输出  $C = 0$ 。

第四个时钟沿到达时  $START = 1$ , 移存器状态变为  $F_4 F_3 F_2 F_1 F_0 = 11101$ ;  $F_1$  的下沿使  $Q'_1 = C = 0$ ;  $F_1 = 0$  使  $Q'_0 = 1$ , 数据寄存器的状态变为  $Q'_3 Q'_2 Q'_1 Q'_0 = 1001$ , 此时  $V_{DAC} = 9V_{REF}/16 = 2.8125V$ ; 因为  $V_I = 3V > 2.8125V$ , 所以此时比较器输出  $C = 1$ 。

第五个时钟沿到达时  $START = 1$ , 移存器状态变为  $F_4 F_3 F_2 F_1 F_0 = 11110$ ;  $F_0$  的下沿使  $Q'_0 = C = 1$ 。至此, 4 位转换结果均已最后确定。

第六个时钟沿到达时  $START = 1$ , 移存器状态变为  $F_4 F_3 F_2 F_1 F_0 = 01111$ ;  $F_0$  的上沿将转换结果  $Q'_3 Q'_2 Q'_1 Q'_0 = 1001$  送入输出寄存器;  $F_4 = 0$ , 开始下一个转换过程。

本例转换结果为 1001, 对应的量化值为  $2.8125V$ , 与输入电压的差即为量化误差  $|3 - 2.8125| = 0.1875V$ 。

通过以上分析知:  $n$  位逐次比较式 ADC 在第 1 个时钟沿做好准备, 使  $F_n F_{n-1} \dots F_0 = 01 \dots 1$ ; 第 2、

3、…、 $n+1$ 个时钟沿分别确定ADC结果的第 $n-1$ 、 $n-2$ 、…、0位；第 $n+2$ 个时钟沿送出转换结果，并使右移移存器状态回到 $F_nF_{n-1}\cdots F_0 = 01\cdots 1$ ，准备好进行下一次ADC转换。

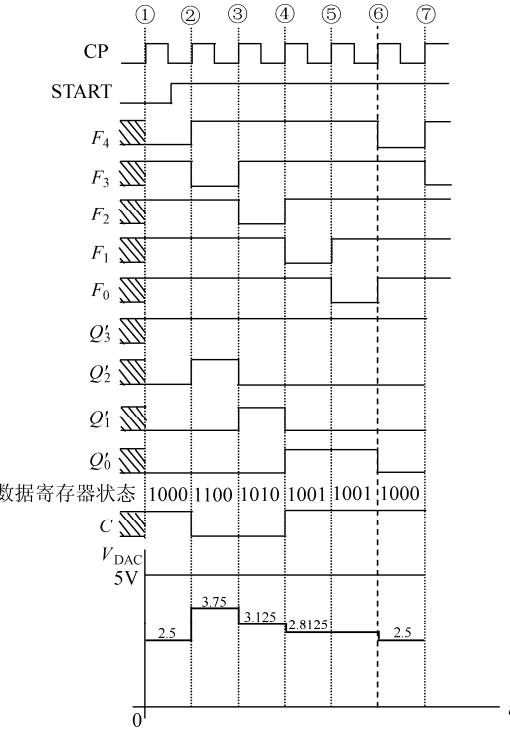


图 9.19 例 9.1 的分析过程

## 9.2.6 双积分式 ADC

图 9.20 所示为双积分式 ADC 的原理图，它由积分器、比较器、计数器、T'触发器、两个电子开关和一个控制门 M 组成。由于它在一次 ADC 时进行两次积分，所以称为双积分式 ADC。图 9.21 所示为双积分式 ADC 的工作波形图。

图 9.20 中电子开关  $S_2$  受控制信号  $CTRL$  的控制： $CTRL=0$  时， $S_2$  闭合； $CTRL=1$  时， $S_2$  断开。电子开关  $S_1$  受  $T'$  触发器输出  $Q_T$  控制： $Q_T=0$  时接 $+V_I$ ， $Q_T=1$  时接 $-V_{REF}$ 。比较器输入  $u_c(t)>0$  时输出  $C=0$ ；输入  $u_c(t)<0$  时输出  $C=1$ 。 $+V_I$  为经采样保持后的输入电压，大于 0； $-V_{REF}$  为参考电压，小于 0。

(1)  $CTRL=0$ ，将计数器、 $T'$  触发器清 0； $Q_T=0$  使  $S_1$  接 $+V_I$ ； $CTRL=0$  使  $S_2$  闭合，积分电容上的电荷被泄放掉。可把  $CTRL=0$  看做初始化 ADC。

(2)  $CTRL=1$ ， $S_2$  断开，积分器开始第一次积分，由于此时  $Q_T=0$ ， $V_S=+V_I$ ，所以其输出

$$u_c(t) = - \int_0^t i / C dt = - \int_0^t V_I / RC dt = -V_I / RC \int_0^t dt = -V_I / RC t \quad (9.38)$$

由于  $V_I$  大于 0，所以  $u_c(t)$  小于 0，比较器输出  $C=1$ ，门 M 打开，计数器从  $CTRL$  由 0 变为 1 时开始计数，此时的时刻为  $t=0$ 。

(3) 由式 (9.38) 知， $u_c(t)$  是过零点、斜率为 $-V_I/RC$  的直线。 $V_I$  越大，斜率越大。图 9.21 中  $u_c(t)$  的积分波形 1、2 和 3 分别对应输入电压  $V_{I1}$ 、 $V_{I2}$  和  $V_{I3}$ 。随着时间的增加，第一次积分继续， $u_c(t)$  向负方向持续增加， $C$  持续为 1，计数器继续计数。

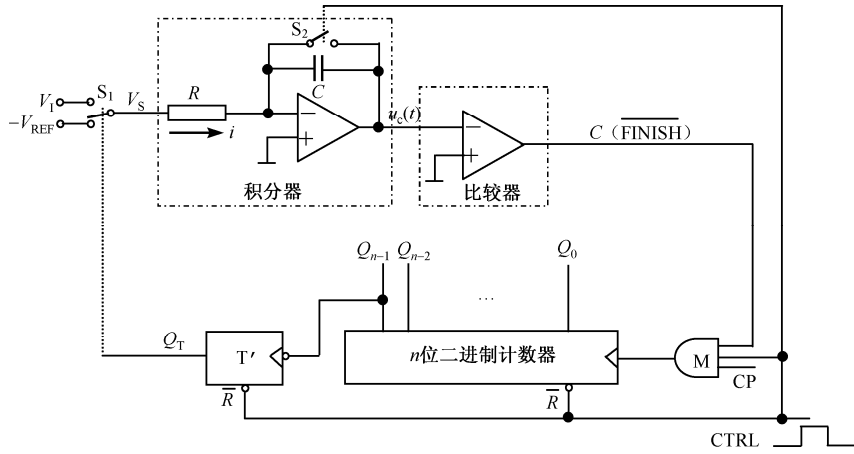


图 9.20 双积分式 ADC 的原理图

(4) 当计数器的状态为全 1 时, 再加 1, 计数器归零, 同时  $Q_{n-1}$  的负沿将  $Q_T$  置 1,  $S_1$  接  $-V_{\text{REF}}$ , 使  $V_S = -V_{\text{REF}}$ 。由于  $-V_{\text{REF}}$  是负数, 所以积分器开始反向积分, 即第二次积分。 $Q_T$  由 0 变 1 的时刻为  $t = T_1 = 2^n T_{\text{CP}}$ , 此时积分器输出电压为  $u_c(T_1) = -2^n V_I / RC$ 。图 9.21 中  $u_c(t)$  的积分波形 1、2 和 3 表明,  $V_I$  越大,  $u_c(T_1)$  的绝对值就越大。

(5) 当  $t > T_1 = 2^n T_{\text{CP}}$  时, 积分器输出为

$$\begin{aligned} u_c(t) &= - \int_0^t i / C dt = - \int_0^{2^n T_{\text{CP}}} V_I / RC dt - \int_{2^n T_{\text{CP}}}^t (-V_{\text{REF}} / RC) dt \\ &= -2^n T_{\text{CP}} V_I / RC + V_{\text{REF}} / RC \int_{2^n T_{\text{CP}}}^t dt = -2^n T_{\text{CP}} V_I / RC + V_{\text{REF}} / RC (t - 2^n T_{\text{CP}}) \end{aligned} \quad (9.39)$$

此时  $u_c(t)$  的斜率为  $V_{\text{REF}} / RC$ , 与输入电压无关, 是个常数, 见图 9.21 中  $u_c(t)$  的积分波形 1、2、3, 因此也把第二次积分称为定斜率积分。

(6) 只要  $u_c(t) < 0$ , 就有比较器输出  $C = 1$ , 计数器就继续计数。同时第二次积分也一直继续,  $u_c(t)$  也一直由负向正增加。

(7) 当  $u_c(t)$  过 0 时,  $C$  由 1 变 0, 控制门  $M$  被关闭, 计数器停止计数。设计数器停止计数时的状态值为  $N$ , 则该时刻为  $t = T_1 + T_2 = 2^n T_{\text{CP}} + NT_{\text{CP}}$ , 将该时刻代入式 (9.39) 并令该式等于 0, 可得

$$V_I = NV_{\text{REF}} / 2^n = N\Delta V \quad (9.40)$$

或

$$N = V_I / (V_{\text{REF}} / 2^n) = V_I / \Delta V \quad (9.41)$$

其中  $\Delta V = V_{\text{REF}} / 2^n$  是常数。式 (9.40) 和式 (9.41) 说明  $V_I$  与  $N$  成比例, 所以  $N$  就反映了  $V_I$  的大小,  $N$  就是双积分式 ADC 的转换结果,  $\Delta V = V_{\text{REF}} / 2^n$  就是最大量化误差。图 9.21 中  $u_c(t)$  的积分波形 1、2 表明:  $V_I$  越大, 第二次积分的时间就越长; 波形 3 则表明, 如果  $V_I \geq V_{\text{REF}}$ , 则第二次积分的时间会大于  $2^n T_{\text{CP}}$ , 到  $2^n T_{\text{CP}}$  时又反向积分, ……, 这个过程会继续下去, 显然无法得到正确结果。

(8)  $C = 0$  时计数器结束计数, 此时计数器的状态就是 ADC 结果。因此可把比较器输出  $C$  作为 ADC 结束标志, 通知系统转换完毕, 可读出数据。

(9) 如果  $C = 0$  后  $\text{CTRL}$  仍然为 1, 则积分器继续积分, 直至系统给出指令  $\text{CTRL} = 0$  为止。由于系统事先不知道  $V_I$  的值,  $\text{CTRL} = 1$  的持续时间应定为  $2T_1 = 2^{n+1} T_{\text{CP}}$ , 如图 9.21 所示。

(10) 系统给出指令  $\text{CTRL} = 0$ , 完成 ADC 的初始化, 准备下一次转换。

综上所述：(a) 双积分式 ADC 完成一次 ADC 需要经过两次积分：第一次积分为定时积分，时长为  $T_1 = 2^n T_{CP}$ ，斜率为  $-V_1/RC$ ，与  $V_1$  有关；第一次积分结束时  $u_c(t)$  的值为  $u_c(T_1) = -2^n V_1 T_{CP}/RC$ ，与  $V_1$  有关；第二次积分为定斜率积分，斜率为  $V_{REF}/RC$ ；第二次积分  $u_c(t)$  过 0 点的时刻与  $u_c(T_1)$  有关，为  $T_1 + T_2 = 2^n T_{CP} + N T_{CP}$ ，其中  $N$  为  $u_c(t)$  过 0 点时计数器的状态值；(b) 第二次积分  $u_c(t)$  过 0 点时计数器的状态  $N$  就是本次 ADC 的结果；(c) 双积分式 ADC 的量化误差为  $\Delta V = V_{REF}/2^n$ ；(d) 双积分式 ADC 允许的  $V_{I_{max}} = (2^n - 1)V_{REF}/2^n$ ，否则不能得到正确转换结果，如图 9.21 中  $u_c(t)$  的积分波形 3，由于  $V_B > V_{REF}$ ，第二次积分到  $t = 2^{n+1} T_{CP}$  时， $u_c(t)$  仍然为 1，如果计数器继续计数，那么其状态就又从 0 开始，不能反映  $V_B$  的大小了；(e) 双积分式 ADC 完成一次 ADC 所需的最长时间为  $T_1 + T_{2max} = 2^n T_{CP} + (2^n - 1)T_{CP} = (2^{n+1} - 1)T_{CP}$ ，近似为  $2^{n+1} T_{CP}$ 。

双积分式 ADC 的精度很容易做得很高，只要增加计数器的位数即可。但它的转换时间很长，近似为  $2^{n+1} T_{CP}$ ，是所介绍几种 ADC 中最长的，常用于对精度要求高，而对速度要求不高的场合。

### 9.2.7 集成 ADC 举例

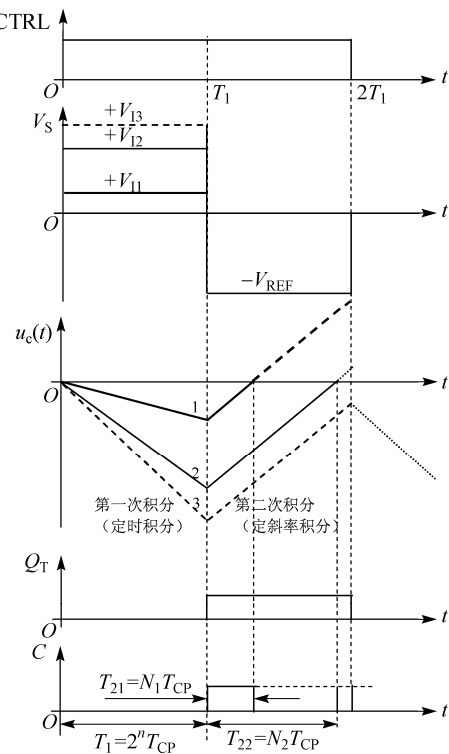


图 9.21 双积分式 ADC 的工作波形图

ADC0809 是单片逐次比较式 ADC，其原理图如图 9.22 所示。

由图 9.22 可知，ADC0809 有 8 路模拟输入通道，通过 8-1 多路开关选择其中一路到 ADC 进行 AD 转换；多路开关由三位地址码控制；三位地址由外部输入到地址锁存器，经译码后去控制多路开关；地址锁存器有锁存功能（锁存控制输入信号 ADDRESS LATCH ENABLE (ALE)，高有效），所以该地址线可以挂到地址总线上使用，这在计算机/数字系统中是经常用到的技术。

图 9.22 中的虚线内部分是 8 位逐次比较式 ADC，其中电阻梯形网络和开关树构成 8 位 DAC，移存器和寄存器 (S.A.R) 就是图 9.18 中的数据寄存器和移存器，控制和定时逻辑是图 9.18 中的控制部分。

开始信号 START 高有效；三态输出锁存器的输出可挂到系统的数据总线上。END OF CONVERSION (EOC) 是转换结束标志，高有效；OUTPUT ENABLE 是输入信号，控制输出锁存器是否输出数据，高有效。

工作时序应该是：微机给出通道选择地址并锁存；微机给出 START 信号；等待 EOC；收到 EOC 后，微机送出输出使能控制信号 OUTPUT ENABLE，并从数据总线读数据；结束本次转换。ADC0809 的工作时序如图 9.23 所示。

图 9.24 所示为 ADC0809 的典型应用电路图。图中  $AD_2$ 、 $AD_1$ 、 $AD_0$  为由单片机给出的地址信号，用于选取模拟通道； $\overline{CS}$  是片选信号，当它无效时，既不能开始转换，也不能从该 ADC 中读取数据； $\overline{READ}$ 、 $\overline{WRITE}$  为由单片机输出的控制信号；当  $\overline{CS}$ 、 $\overline{READ}$  同时有效时将地址信息锁存，同时启动 AD 转换；而当  $\overline{CS}$ 、 $\overline{READ}$  同时有效时，可从数据总线上读取 ADC0809 的转换结果； $\overline{INTERRUPT}$  或 INTERRUPT 就是转换完毕信号 EOC，用于产生单片机中断，通知单片机读取转换结果。

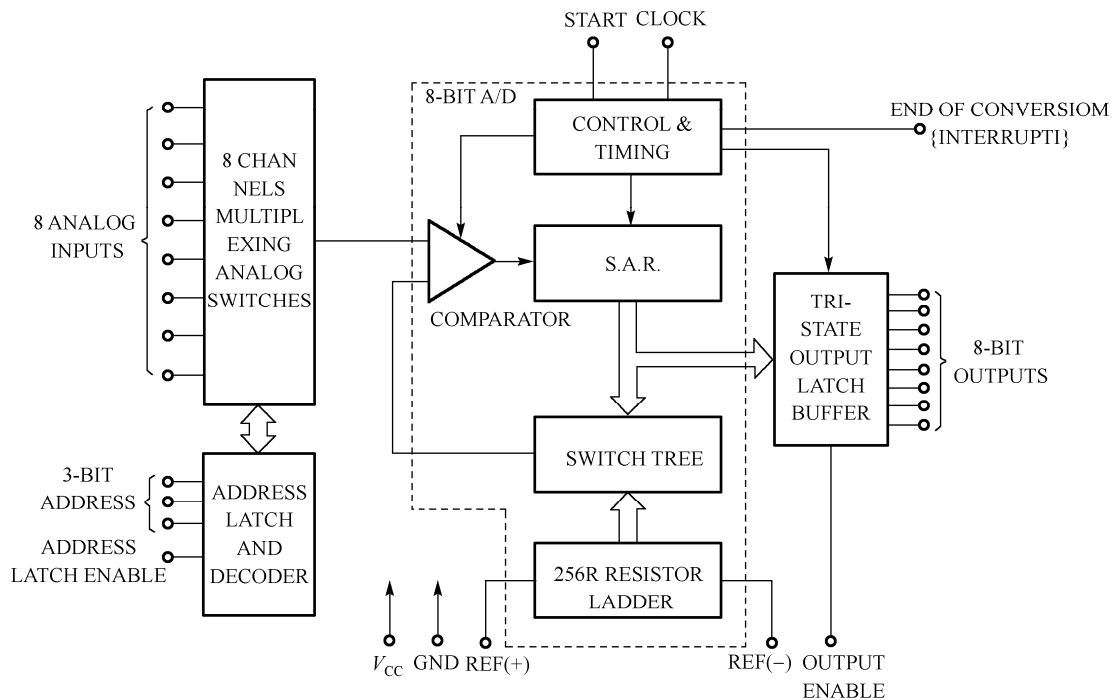


图 9.22 ADC0809 原理图

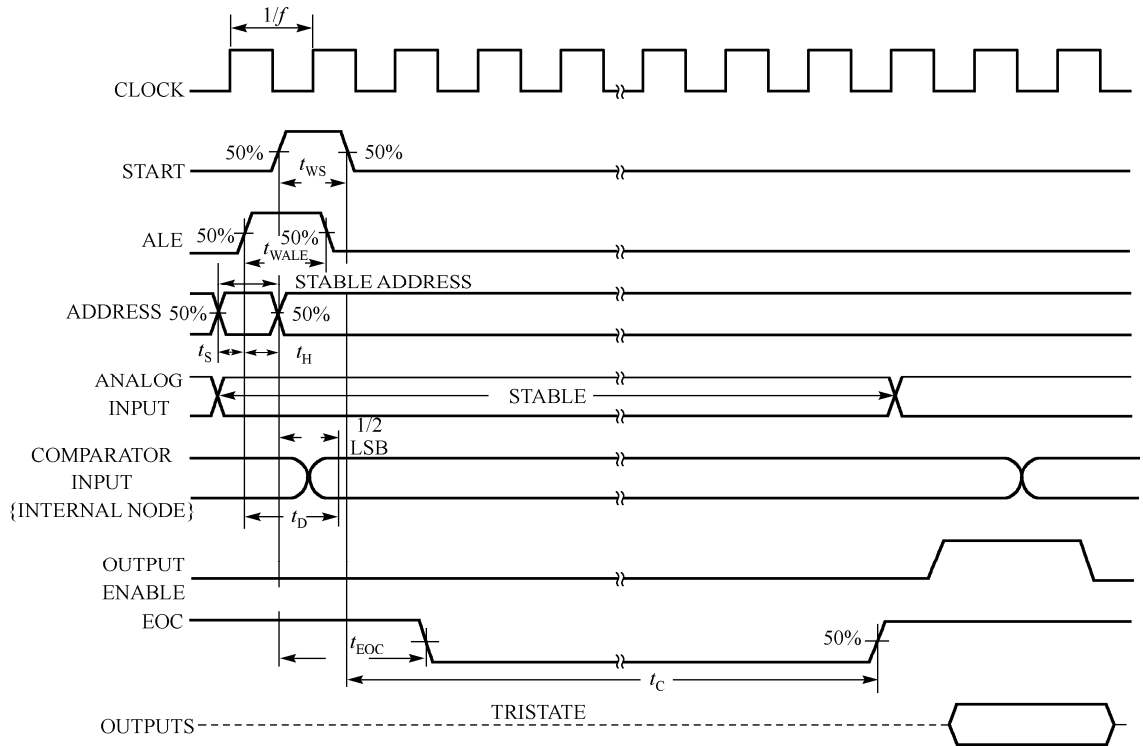


图 9.23 ADC0809 的工作时序图

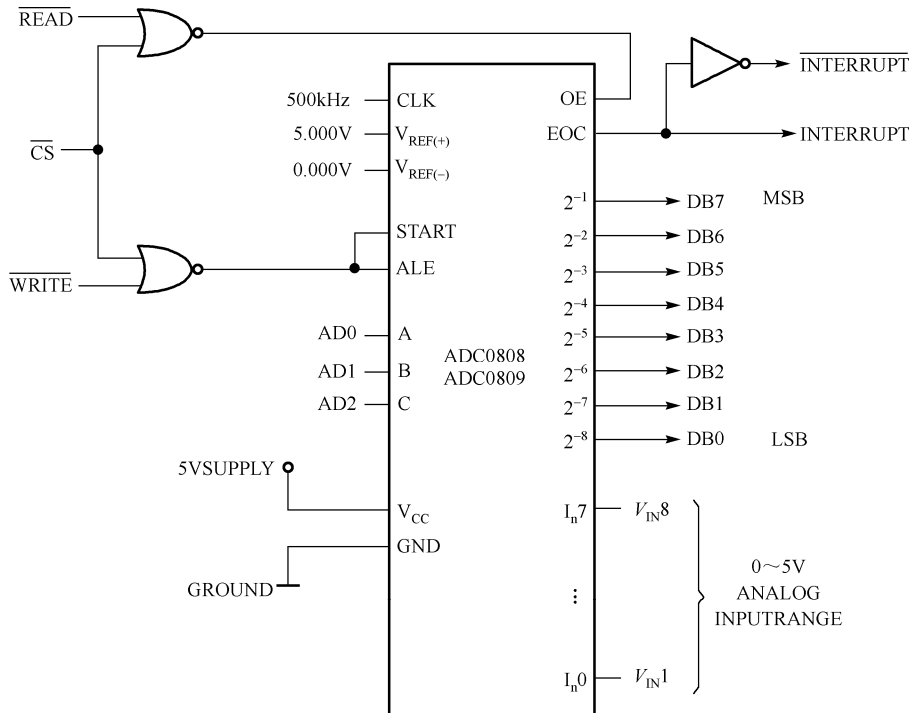


图 9.24 ADC0809 的典型应用

## 9.2.8 ADC 的参数

### 1. ADC 的分辨率

ADC 的分辨率是指使输出数字量最低位变化 1 所对应的输入模拟量的变化量，常用  $\Delta V$  表示，也常用 ADC 的位数  $n$  表示，它们之间的关系是

$$V_{\text{REF}} = 2^n \Delta V \quad (9.42)$$

**【例 9.2】** 某 10 位 ADC 的参考电压为 10.24V，试求其分辨率  $\Delta V$  和最大允许输入电压  $V_{I\max}$ 。

解：由式 (9.42) 得：

$$\Delta V = V_{\text{REF}} / 2^n = 10.24 / 2^{10} \text{V} = 0.01 \text{V} = 10 \text{mV}$$

$$V_{I\max} = (2^n - 1) V_{\text{REF}} / 2^n = 1023 \times 10.24 / 1024 = 10.23 \text{V}$$

### 2. ADC 的误差

ADC 的误差是指实际值与理论值的差。造成误差的原因有：参考电源的误差，内置 DAC 的误差，积分器的非理想性，其他元件参数的误差等。实际应用中，手册上都给出 ADC 的误差。

### 3. ADC 的转换速度

ADC 的转换速度用转换时间来描述。

ADC 的转换时间由采样保持时间和 ADC 转换的时间两部分组成。

采样保持时间与采样电容关系很大，可做到  $\mu\text{s}$  级。

ADC 的转换速度与 ADC 的结构有很大的关系，在所介绍的 4 种 ADC 结构中，并行比较式最快，

可达  $10\text{ns}$  量级; 双积分式和计数式最慢, 分别为  $2^{n+1}T_{\text{CP}}$  和  $2^nT_{\text{CP}}$ , 为  $10\text{ms}$  量级; 逐次比较式介于二者之间, 为  $(n+1)T_{\text{CP}}$  (连续转换) 或  $(n+2)T_{\text{CP}}$  (单次转换), 可达  $10\mu\text{s}$  量级。当然后三种 ADC 的转换速度都与时钟有关。

## 小结

本章首先介绍了 DAC、ADC 在数字系统、测量与控制系统中的重要性。

介绍了权电阻型、T 形、倒 T 形等几种 DAC 的工作原理。介绍了 DAC 的参数确定方法:  $V_{\text{REF}}$ 、 $V_{\text{O max}}$ 、位数  $n$ 、 $\Delta V$  之间的关系。介绍了 DAC 的应用。

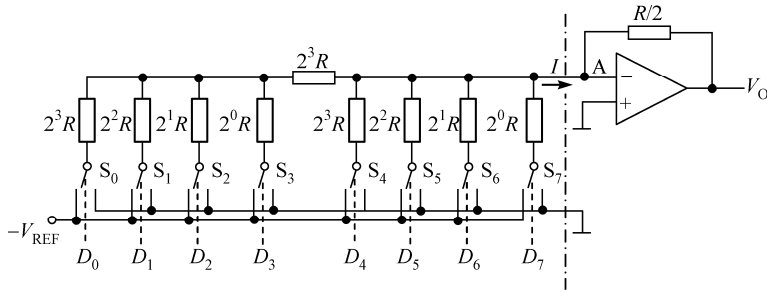
在 ADC 部分中, 介绍了 ADC 的过程: 采样、保持、量化与编码; 指出了采样频率与信号频率之间的关系; 介绍了并行比较式、计数式、逐次比较式、双积分式等 ADC 的工作原理及它们各自的特点; 介绍了 ADC 的参数选择方法:  $V_{\text{REF}}$ 、 $V_{\text{I max}}$ 、位数  $n$ 、 $\Delta V$  之间的关系; 指出了 ADC 的速度是一个重要问题。

## 习题

9-1 在图 9.4 中, 如果  $V_{\text{REF}} = 5\text{V}$ ,  $R = 5\text{k}\Omega$ , 那么  $V_{\text{REF}}$  需要提供的最大电流是多少?  $V_{\text{REF}}$  需要提供的最大功率又是多少?

9-2 某 4 位权电阻式 DAC 中,  $R_F = R/2$ ,  $V_{\text{REF}} = 5\text{V}$ 。试求其分辨率  $\Delta V$  和输出电压最大值  $V_{\text{O max}}$ ; 如果输入数据为  $D_3 D_2 D_1 D_0 = 1001$  时, 输出电压为多少?

9-3 试分析图题 9-3 所示 8 位 DAC 电路, 并给出输出电压  $V_O$  与输入数据  $D_7 \sim D_0$  的关系式。



图题 9-3 权电阻型 DAC

9-4 试比较 T 形和倒 T 形电阻网络 DAC 的功耗大小(只考虑电阻网络的功耗)。

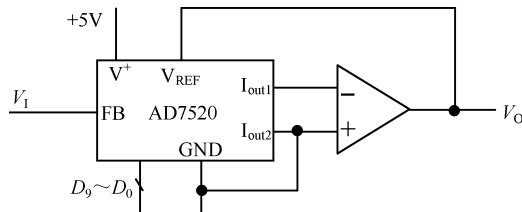
9-5 某系统中需要一个 DAC。要求  $V_{\text{O max}} = 5\text{V}$ ,  $\Delta V = 1\text{mV}$ 。试确定所需 DAC 的位数  $n$  和参考电压值  $V_{\text{REF}}$ 。根据所求得的  $n$  和  $V_{\text{REF}}$ , 分析是否满足设计要求。

9-6 图题 9-6 所示为由 DAC 芯片 AD7520 组成的数控放大器电路。①当  $D_9 \sim D_0 = 1000000000$  时, 求放大器的增益; ②当要求增益为 5 时, 求输入数据  $D_9 \sim D_0$ 。

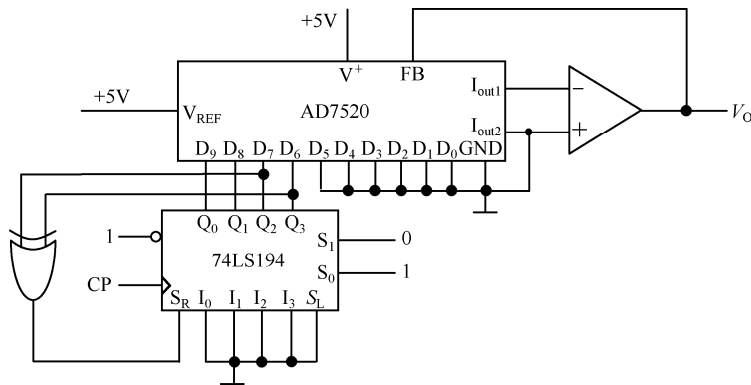
9-7 试画出图题 9-7 所示电路的输出波形。设移存器的初始状态为 0001。

9-8 某系统中对某信号进行 ADC, 信号范围为  $0 \sim 5\text{V}$ , 要求  $\Delta V = 1\text{mV}$ 。试确定该 DAC 的位数  $n$  和参考电压值  $V_{\text{REF}}$ , 并根据所求得的  $n$  和  $V_{\text{REF}}$ , 计算出实际分辨率。

9-9 在图 9.16 中, 如果分压器中最下面一个电阻的阻值也为  $R$ , 其他部分相同。试列出类似表 9.1 的输入-输出关系表, 并指出量化误差的大小。



图题 9-6 数控放大器示意图



图题 9-7

9-10 在图 9.16 中, 如果  $V_I = 2.36V$ ,  $V_{REF} = 5V$ , 试确定输出编码值, 并计算此时的量化误差。

9-11 如果只做一次 ADC 转换, 10 位逐次逼近式 ADC 完成一次转换需要几个时钟周期? 如果连续进行 ADC 转换, 每次转换又需要几个时钟周期?

9-12 某模拟信号的最高频率为  $f_I = 10\text{kHz}$ , 用 10 位逐次逼近式 ADC 对其进行连续 ADC。试确定该 ADC 的最低时钟频率。

9-13 某模拟信号的最高频率为  $f_I = 1\text{kHz}$ , 用 10 位双积分式 ADC 对其进行 ADC。试确定该 ADC 的最低时钟频率。

# 第 10 章 存储器及可编程器件概述

在时序电路中用到的存储单元为触发器或锁存器，它们都可以存储一位二进制信息。然而人们日常所说的“存储器”是指专门用于存储数据或程序的存储器，它们可存储多位二进制信息。为提高集成度，人们采用特殊形式的电路来存储数据，它们的电路结构和工作原理都不相同。数据在存储器中以字节（每字节 8 位）为单位进行存储，读（取）写（存）操作同时对一字节的所有位进行。存储器可分为只读存储器 ROM 和随机存取存储器 RAM。

由于只读存储器可用于实现逻辑函数，所以在此基础上人们又研制出了可编程逻辑器件 PLD (Programmable Logic Device)，专门用于数字系统的设计。由于 PLD 具有灵活性，所以它得到了日益广泛的应用。

本章先介绍只读存储器、随机存取存储器，然后简要介绍可编程逻辑器件。

## 10.1 只读存储器

所谓只读存储器 (Read Only Memory, ROM)，就是可将数据事先写好，再将其放到系统板上。系统只可以读其所存储的数据，而不能改写。随着集成技术的发展，现在 ROM 的概念已有所改变，其数据不仅可读，而且可以改写，只是写的速度较慢。

### 10.1.1 ROM 的结构与原理

最早的 ROM 产品是半导体生产厂家根据客户要求而生产的，它所存储的信息（程序或数据）由用户提供，是固定的，用户无法对其进行改动。ROM 中存储数据的阵列可以由二极管、晶体管组成，也可以由 MOS 管组成，但其结构、工作原理都是类似的。

图 10.1 所示为 ROM 的电路结构示意图。由图可见，ROM 由虚线的左右两部分组成：左边为地址译码器，其输出高电平有效；右边为数据存储单元，如果在横线与纵线的交差处有 NMOS 管存在，则该单元存储的是逻辑“1”，否则存储的是“0”。其工作原理如下。

(1) 译码器输入为  $n$  位地址码，输出为  $2^n$  条“与”线，对应  $2^n$  个最小项  $m_i$ 。从逻辑关系上看每条与线完成的是  $n$  个变量的与运算，所以称为“与线”。又由于每条与线上存储的是一字节，所以与线又称为“字线”。

(2) 若存储单元中无 NMOS 管，则该条纵线电平为“1”，经过反相器输出逻辑“0”。

(3) 存储单元中的 MOS 管为增强型 NMOS 管，其栅极为“0”时处于夹断状态，使纵线电平仍为“1”；当其栅极为“1”时处于导通状态，使纵线电平为逻辑“0”。所以从逻辑关系上看 NMOS 管的功能为对与线取反，也就是说对应“与线”  $m_i$  的 NMOS 漏极的表达式为最大项  $M_i$ 。

(4) 一条纵线上可能挂有若干 NMOS 管，只要其中一个 NMOS 管导通，该条纵线上的逻辑电平就是“0”，所以纵线的逻辑功能为“与”。

(5) 输出部分为三态反相器，其作用是使输出数据线可以和其他存储器的数据线直接相连，以构成数据总线。反相后每个  $D_i$  为若干  $M_i$  的与非式，即  $m_i$  的或式，如  $D_3 = \overline{M_1 M_3 M_5 M_6} = m_1 + m_3 + m_5 + m_6$ 。如果把 NMOS 管、纵线及反相器的逻辑功能综合起来看成是纵线，则它（们）所完成的逻

辑功能为“或”（对通过 NMOS 管连到该线上的与项进行或运算），因此也将其统称为“**或线**”。由于或线对应的是一位数据，所以又称为**位线**。

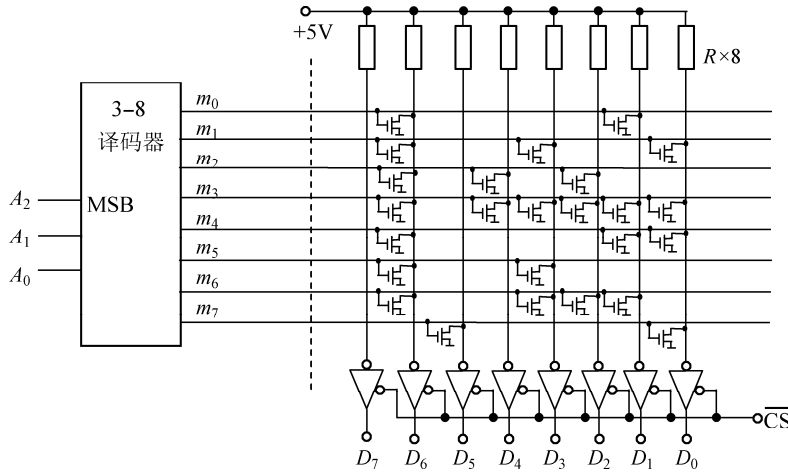


图 10.1 ROM 电路结构示意图

(6) 由以上分析知，虚线左边完成“与”运算，称为**与阵列**；虚线右边完成“或”运算，称为**或阵列**。在“与线”与“或线”的交差处若有 NMOS 管，则该“与线”所对应的  $m_i$  将会在输出产生“1”，否则输出为“0”。例如，当地址码  $A_2A_1A_0 = 000$  时，从  $D_7 \sim D_0$  的输出为 01000010，即 42H。也就是说，给定一个地址，存储单元就给出一个 8 位输出数据。当然存储单元中的信息可以是数据，也可以是程序，也可以是字符，例如，图 10.1 中的存储单元中存储的内容若是数据，则它们是 42H, 49H, 54H, 5FH, 43H, 48H, 4EH, 21H。若是 ASCII 符，则它们是“BIT-CHN!”。图 10.1 所示存储单元中存储的内容如表 10.1 所示。

表 10.1 ROM 中存储的内容

$A_2A_1A_0$	$D_7$	$D_6$	$D_5$	$D_4$	$D_3$	$D_2$	$D_1$	$D_0$
000	0	1	0	0	0	0	1	0
001	0	1	0	0	1	0	0	1
010	0	1	0	1	0	1	0	0
011	0	1	0	1	1	1	1	1
100	0	1	0	0	0	0	1	1
101	0	1	0	0	1	0	0	0
110	0	1	0	0	1	1	1	0
111	0	0	1	0	0	0	0	1

由以上分析知，虽然 ROM 可存储数据，但它是组合电路，而不是时序电路。

若将 ROM 都画为图 10.1 所示的形式，则当容量较大时电路会变得非常复杂，且当地址线较多时，根本无法在一张纸上画出。为此，人们想出了一种简单画法，如图 10.2(a)所示。图中左边为与阵列，即译码器的阵列形式；右边为数据存储阵列，即或阵列。图中每个“与线”和“或线”的交叉点为一个编程（存储）单元。与阵列是译码器，用户不可对其进行改动，也就是不可对其进行编程。用“•”表示与阵列中的固定连接单元，即有“•”处为逻辑相联点，表示连到此点的输入变量参加该逻辑“与”运算（或称此点存储逻辑 1）；无“•”处逻辑不相联，表示与此点交叉的输入变量不参加该逻辑“与”运算（或称此点存储逻辑 0）。ROM 的或阵列是用户可随意存储数据的，即用户可对其进行编程。用

“ $\times$ ”表示由用户编程的连接单元，即有“ $\times$ ”处为逻辑相联点，表示连到此点的输入变量参加该逻辑“或”运算(或称此点存储逻辑1)；无“ $\times$ ”处逻辑不相联，表示与此点的交叉的输入变量不参加该逻辑“或”运算(或称此点存储逻辑0)。图10.2(b)所示为ROM的逻辑符号。地址线数为n，数据线数为m的ROM的编程点数为 $2n \times 2^n + 2^n \times m$ ，其中与阵列的编程点数为 $2n \times 2^n$ ，或阵列的编程点数为 $2^n \times m$ 。

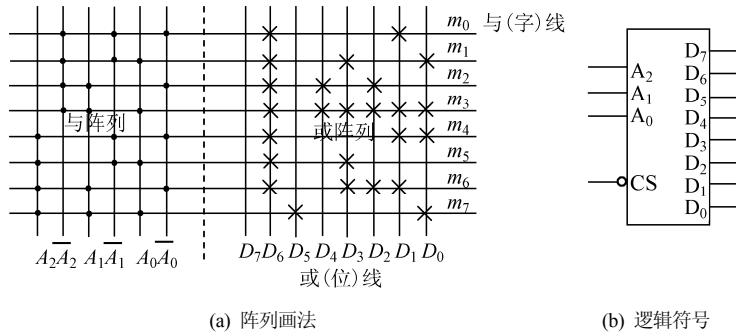


图10.2 ROM的阵列画法及ROM的逻辑符号

### 10.1.2 现代ROM的行列译码结构

现代ROM的容量都非常巨大。如果一片ROM的容量为64K字节，若采用图10.1的结构，则字线要有 $2^{16}=65\,536$ 条。这么巨大的数字在制造过程中会带来一系列问题，从而使产品尺寸会比较大，也会使产品不经济。因此，现代ROM均采用所谓的行列译码结构，即译码器与多路选择器相结合的结构，以使布线更合理，如图10.3所示。

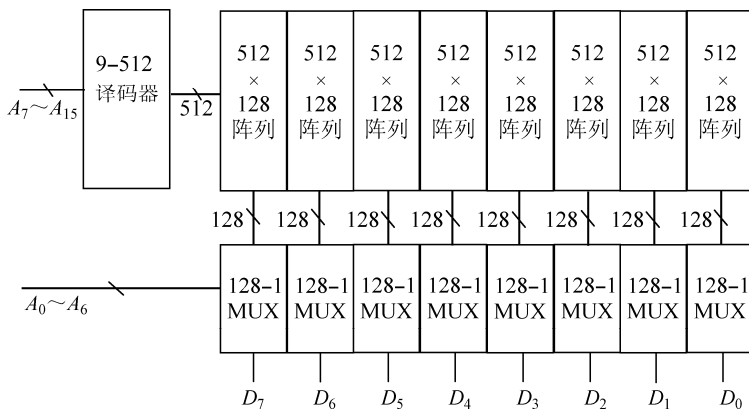


图10.3 ROM的两级译码结构

图10.3中将16位地址分为两部分： $A_7 \sim A_{15}$ 和 $A_0 \sim A_6$ 。电路由三部分组成：9-512译码器将高9位地址译码，产生512个输出，完成行译码；每个 $512 \times 128$ 阵列存储有 $512 \times 128$ 位数据，其结构为 $512 \times 128$ ，每个高9位地址使其中的128位输出到 $128-1$ MUX的数据输入端；地址码的低7位从 $512 \times 128$ 阵列输出的128个数据中选择一个送至输出端，完成列译码。

图10.1所示结构为所谓的掩膜ROM，它只能由半导体生产厂家生产。用户要先将数据送给集成电路厂，由厂方进行掩膜生产，再送回用户。这样科研、生产周期就会很长，并且造价也会很高。目前这种技术只用于大批量生产，而在产品的开发阶段或小批量生产时均采用其他ROM技术。

### 10.1.3 PROM、EPROM、EEPROM

掩膜 ROM 在“1”的位置放上一个 NMOS 管，而在“0”的位置则不放。这样，用户就不能对 ROM 编程。对于科学研究、产品开发等领域带来很大的不便。

**PROM** (Programmable ROM) 则在所有或阵列的交叉点处都放上了一个 NMOS 管，只不过每个 NMOS 管的源极都通过一个熔丝与地相连，如图 10.4(a)所示，此时所有的位均为“1”。用户使用时要先对 PROM 编程，即利用编程器将不需要 NMOS 管的位置上的熔丝烧断，当然这些都由计算机控制完成，人们只需将要写的数据送给计算机即可。可见 PROM 只能编程一次，所以有时又称为 OTP (One Time Programmable) ROM。

**EPROM** (Erasable PROM) 为可擦除 PROM，即当数据需要改写时，用户可将数据擦除，重复使用。EPROM 的每个存储单元也是一个 NMOS 管，只不过该 NMOS 管多了一个悬浮栅极，称为浮栅 MOS 管，如图 10.4(b)所示。悬浮栅极与外界没有连接，其周围为高阻绝缘材料，称为绝缘层。编程时在要存 0 的存储单元的栅极加一高压，使绝缘层瞬时击穿，使电荷附着在绝缘栅上。高压去掉后，电荷仍然保留在绝缘栅上。在以后读数据时，悬浮栅上的电荷阻止 NMOS 管导通，从而读出的数据为 0。生产厂家一般保证数据（即绝缘栅上的电荷）可以保存十年。当需要将数据擦除时，将芯片置于紫外线灯下照射 5~20min，此时绝缘栅上的电荷会泄放掉，从而使芯片恢复到初始状态。EPROM 都有一个透明窗口，以便紫外线能直接照射在硅片上。编程完毕后，窗口需用不透明的不干胶带遮住，以免光线透入而使电荷泄漏，数据丢失。

**EEPROM** (Electrical EPROM) 为可电擦除的 EPROM，它的结构与 EPROM 类似，只是它的存储单元所存储的信息可用电擦除。它也采用绝缘栅技术，但它的绝缘层要薄很多。擦除时只要在栅极加相反极性的电压即可将绝缘栅上的电荷放掉。

另一种 EEPROM 为 **FLASH ROM**，一方面它的绝缘栅的绝缘层又比普通 EEPROM 薄，其写速度比 EEPROM 快，另一方面 FLASH ROM 在擦除时往往是一次成块地擦除，以便进一步提高擦除速度。由于它的擦除、编程速度较快，因而称为闪存。由于它的绝缘层薄，它的寿命比 EEPROM 短。

ROM、PROM、EPROM、EEPROM 的读写速度如表 10.2 所示。由表可见，可编程 ROM 的读速度远快于写速度。

表 10.2 各种 ROM 的读写速度

类型	读周期	写周期	注
ROM	10~100ns	若干星期	不可编程
PROM	<100ns	10~50μs	一次编程
EPROM	25~200ns	10~500μs	可重复使用
EEPROM	50~200ns	10~500μs	一般可用十万次

### 10.1.4 ROM 的内部结构及 ROM 的扩展

实际 ROM 内部除含有图 10.1 所示结构外，还加入了电源控制，如图 10.5 所示。图中  $\overline{CS}$ 、 $\overline{OE}$  共同控制三态输出； $\overline{CS}$  还控制行译码器、存储阵列和列译码器的电源，当  $\overline{CS}$  无效时这三个模块的电源均关闭，从而达到节约电能的目的。

现代 ROM 的容量已很大，如 EEPROM 芯片 M27C322 的容量为  $32M \times 16$  位，M27C160 的容量为

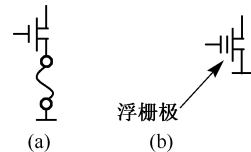


图 10.4 PROM、EPROM 和 EEPROM 的单元结构

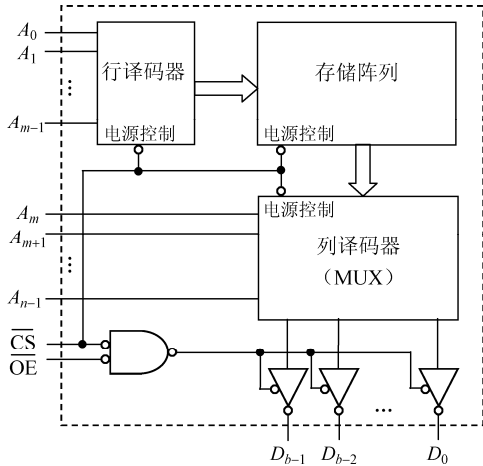


图 10.5 ROM 的内部结构

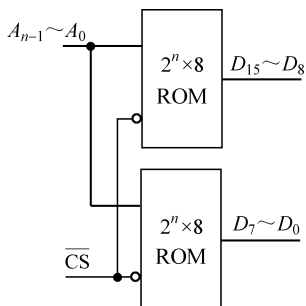
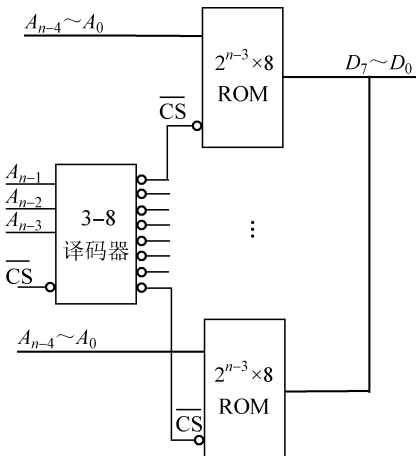


图 10.6 ROM 数据线的扩展

$2M \times 8$  位或  $1M \times 16$  位; FLASH 芯片 28F016 的容量为  $2M \times 8$  位。不管芯片的容量多大, 总是有限的。而在实践中往往遇到容量不够的情况, 这时就需要用多片 ROM 来实现更大的存储空间。

ROM 的扩展可分为两部分: 数据线的扩展和地址线的扩展。数据线的扩展比较简单, 只要把地址线和控制线分别接到一起即可。图 10.6 所示电路将  $2^n \times 8$  ROM 扩展成为  $2^n \times 16$  ROM。而地址线的扩展往往需要用译码器和 ROM 的 CS 来实现。图 10.7 所示电路用 8 片容量为  $2^{n-3} \times 8$  的 ROM 和一片 3-8 译码器组成了容量为  $2^n \times 8$  的 ROM, 扩展后的 CS 信号为译码器的使能端, 所有数据线分别接到一起构成数据总线。

图 10.7 ROM 地址线的扩展  $A_{n-4} \sim A_0$ 

## 10.2 随机存取存储器 RAM

### 10.2.1 概述

10.1 节所述的 ROM 只可读数据, 虽然 EEPROM 也可写数据, 但由于其写速度慢, 通常在数字系统中只用于存储系统的设置、固定数据等信息。而在数字系统中大量的、需要迅速更改的临时数据, 则需要用 RWM (Read/Write Memory) 作为存储媒介。RWM 通常称为随机存取存储器 RAM (Random Access Memory)。

RAM 通常分为静态 RAM (Static RAM, SRAM) 和动态 RAM (Dynamic RAM, DRAM), 前者只要不掉电, 数据就不会丢失, 但其存储单元较为复杂; 后者利用电容的储能特性存储数据, 因而需要定时给电容补充能量, 以免电荷丢失。DRAM 的存储单元十分简单, 所以单位面积晶片上可做的存储单元数较多。

### 10.2.2 静态随机存储器 SRAM

由于需要在系统中对 SRAM 进行读、写操作, 所以它应有数据输入、输出口。当然像 ROM 一样,

它也必须有地址输入和控制输入。SRAM 的存储单元如图 10.8 所示，它用 D 锁存器储存信息；读/写操作由控制线  $\overline{SEL}$  和  $\overline{WR}$  完成： $\overline{SEL}$  为低时为读操作， $\overline{SEL}$  与  $\overline{WR}$  同时为低时为写操作，并允许数据输出。 $\overline{WR}$  单独有效时不进行任何操作。

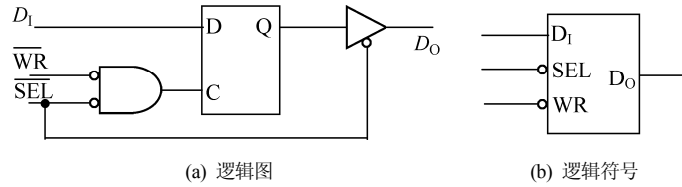
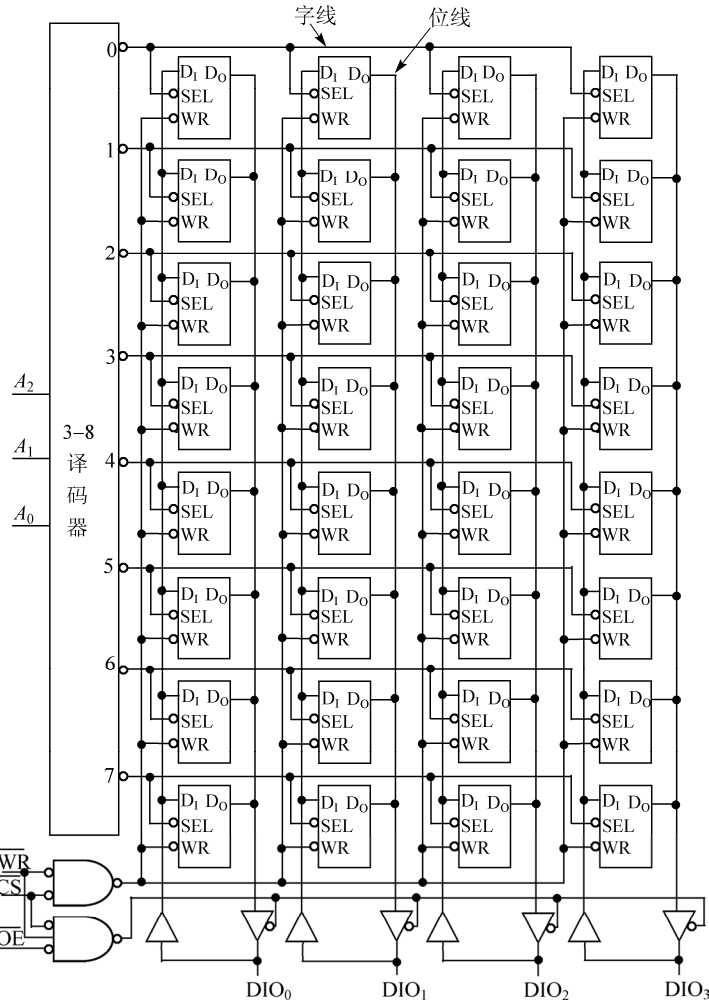


图 10.8 SRAM 存储单元

实际的 SRAM 就是由图 10.8 所示的存储单元加适当的控制逻辑组成的。当然，大规模的 SRAM 也采用两级译码。图 10.9 所示为一个  $8 \times 4$  SRAM 的例子。图 10.9 中地址译码器输出作为字线控制存储单元的  $\overline{SEL}$  端，它有效时存储单元可输出数据。而数据只有当外部写控制  $\overline{WR}$  无效，片选信号  $\overline{CS}$  有效，输出使能  $\overline{OE}$  有效时才能输出；写数据时，则要使  $\overline{CS}$ 、 $\overline{WR}$  有效。读者可对照图 10.8 自行分析。

图 10.9  $8 \times 4$  SRAM 逻辑图

### 10.2.3 动态随机存储器 DRAM

SRAM 的每个存储单元需要多个门。为提高单位晶片上的存储单元数，人们发明了动态随机存储器，即 DRAM。DRAM 的存储单元只需要一个 MOS 管和一个微小的电容，如图 10.10 所示。存储数

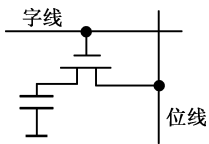


图 10.10 DRAM 的存储单元

据时先将数据置于位线，再将字线置 1 即可。若存 0，则不对电容充电，或使电容放电；若存 1，则位线上的高电平对电容充电。数据写入后，将字线置 0，MOS 管截止，电容上的电荷得以保存，从而数据不会丢失。读数据时，将字线置 1 即可读出数据。DRAM 内部也是采用行列两级译码。

即使 MOS 管截止时，也会有缓慢的电荷泄放发生。由于电容的容量很小，若不采取措施，所存数据很快就会丢失。因此，需要定时给电容充电，以免数据丢失，这就是所谓的刷新。刷新的过程是先将存储单元的内容读出，再将其写回去。现代的 DRAM 可每隔 64ms 将全部存储单元刷新一次。为提高刷新速度，每次刷新操作对（行列译码中的）一行进行，这就大大减少了刷新时间。每次刷新操作耗时约 100ns。

目前 SRAM 的容量达 16MB，而 DRAM 的容量则可达 256MB。

## 10.3 可编程逻辑器件 PLD 简介

在 10.1 节中介绍了 ROM 的输出数据  $D_i$  与输入地址  $A_0 \sim A_{n-1}$  之间的关系：若将地址作为输入变量，数据作为输出变量，则 ROM 内部的译码器产生了输入变量的全部最小项，而输出则是其中某些最小项之和。而任意逻辑函数都可以写成最小项之和，所以用 ROM 可以实现任意的逻辑函数。ROM 中的与阵列不可编程，只有或阵列可编程。所以若要实现一个函数，要先将其写成最小项之和式，再在或阵列中画“ $\times$ ”（编程）即可。例如图 10.2 中的  $D_3 = m_1 + m_3 + m_5 + m_6$ 。

由于 ROM 的集成度都很高，而它又只能实现简单的逻辑函数，芯片利用率很低，因此人们就想出了各式各样的可编程逻辑器件 PLD（Programmable Logic Device）。

### 10.3.1 可编程逻辑阵列 PLA

PLA（Programmable Logic Array）内部结构与 ROM 有两点不同：① 与、或阵列均可用户编程；② 与阵列不能产生完全译码。图 10.11 所示为一个  $4 \times 4$  PLA 的例子。图中每个与门有  $8$  ( $2^n$ ) 个可编程输入，每个或门有  $6$  个可编程输入；与阵列共产生  $6$  ( $p$ ) 个与项，或阵列共产生  $4$  ( $m$ ) 个输出。PLA 的可编程单元数为  $2n \times p + p \times m$ ，远比 ROM 的  $2n \times 2^n + 2^n \times m$  要少。

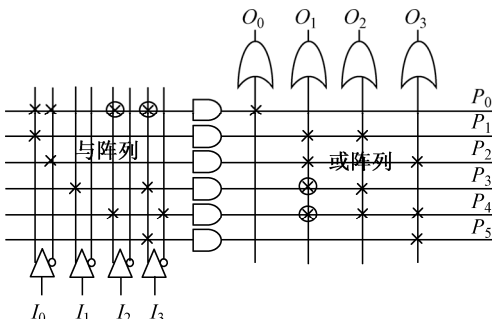


图 10.11 具有 6 个与项的  $4 \times 4$  PLA

由于 PLA 不产生所有的最小项，因此若要用它实现逻辑函数，应先将函数化简为最简与或式。由于每个输出都可以利用与阵列所产生的每个与项，所以在设计多函数时应充分利用公共项，即应该注意多输出函数的设计。设计时若能充分考虑以上两条，则可以充分利用 PLA 的硬件资源。

**【例 10.1】** 利用图 10.11 所示的 PLA 设计函数： $O_0=0$ ， $O_1=1$ ， $O_2=I_0+I_1I_3+\bar{I}_2\bar{I}_3$ ， $O_3=\bar{I}_0+I_3+I_2\bar{I}_3$ 。

解： $O_0=0$ ，只要任一输入变量的原变量与反变量相“与”即可，需要一个“与”项： $I_0 \cdot \bar{I}_0$ 。当然这个“与”项还可以再和其他输入变量相“与”，不影响运算结果，如图 10.11 与阵列中的 $\otimes$ ； $O_1=1$ ，只要任一输入变量的原变量与反变量相“或”即可，需要两个“与”项： $I_0$ 、 $\bar{I}_0$ 。当然还可以再和其他与项相“或”，不影响运算结果，如图 10.11 或阵列中的 $\otimes$ ； $O_2$ 中有三个“与”项，其中一个是 $I_0$ ，它可以与 $O_1$ 中的 $I_0$ 公用，另外两个“与”项是自有的； $O_3$ 中有三个与项，与 $O_1$ 的公共项是 $\bar{I}_0$ ，另外有 $I_2$ 和 $I_3$ 两个“与”项，是独立与项。

由以上分析知，4个函数共需7个“与”项，而图 10.11 所示器件只有6条“与”线不够用。解决的办法就是再找找看是否还有公共项。如果将 $O_3$ 换一种写法： $O_3=\bar{I}_0+I_3+I_2 \cdot \bar{I}_3$ ，则它可以与 $O_2$ 公用 $I_2 \cdot \bar{I}_3$ 项。分析至此知，4个函数共有6个独立“与”项，用图 10.11 所示的器件可以实现。分析结果如下：

$$O_0 = 0 = I_0 \cdot \bar{I}_0 \quad \text{1 个独立与项}$$

$$O_1 = 1 = I_0 + \bar{I}_0 \quad \text{2 个独立与项}$$

$$O_2 = I_0 + I_1 \cdot I_3 + I_2 \cdot \bar{I}_3 \quad \text{2 个独立与项}$$

$$O_3 = \bar{I}_0 + I_3 + I_2 \cdot \bar{I}_3 \quad \text{1 个独立与项}$$

编程结果见图 10.11 中的“ $\times$ ”。 $\otimes$ 为不影响输出的编程点，可有可无。图中：

$$P_0 = I_0 \cdot \bar{I}_0$$

$$P_1 = I_0$$

$$P_2 = \bar{I}_0$$

$$P_3 = I_1 \cdot I_3$$

$$P_4 = I_2 \cdot \bar{I}_3$$

$$P_5 = I_3$$

$$O_0 = P_0 = I_0 \cdot \bar{I}_0$$

$$O_1 = P_1 + P_2 = I_0 + \bar{I}_0$$

$$O_2 = P_1 + P_3 + P_4 = I_0 + I_1 \cdot I_3 + I_2 \cdot \bar{I}_3$$

$$O_3 = P_2 + P_4 + P_5 = \bar{I}_0 + I_2 \cdot \bar{I}_3 + I_3$$

此例说明了在多输出函数的设计中利用公共与项的方法的重要性。

**【例 10.2】** 试分析图 10.12 所示利用 PLA 实现的时序电路。

解：(1) 写与项

$$P_0 = Q_1 Q_2 Q_3;$$

$$P_1 = X \bar{Q}_2;$$

$$P_2 = \bar{X} Q_3;$$

$$P_3 = X \bar{Q}_0;$$

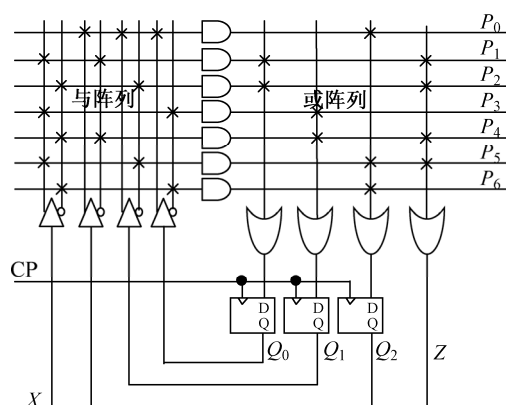


图 10.12 逻辑图

$$P_4 = \overline{XQ_2};$$

$$P_5 = X\overline{Q_1};$$

$$P_6 = \overline{Q_2Q_0}$$

(2) 驱动方程与输出方程

$$D_0 = P_1 + P_2 = X\overline{Q_2} + \overline{XQ_1};$$

$$D_1 = P_3 + P_4 = X\overline{Q_0} + \overline{XQ_2};$$

$$D_2 = P_0 + P_5 + P_6 = X\overline{Q_1} + \overline{XQ_0} + Q_2Q_1Q_0;$$

$$Z = P_1 + P_2 + P_4 + P_5 = \overline{Q_2Q_1}$$

(3) 状态转换表

状态转换表如表 10.3 所示。

表 10.3 状态转换表

$(Q_2 \quad Q_1 \quad Q_0)^n$	$(Q_2 \quad Q_1 \quad Q_0)^{n+1}$			Z
	$X=0$		$X=1$	
0 0 0	1 1 1		1 1 1	1
0 0 1	0 1 1		1 0 1	1
0 1 0	1 1 0		0 1 1	1
0 1 1	0 1 0		0 0 1	1
1 0 0	1 0 1		1 1 0	1
1 0 1	0 0 1		1 0 0	1
1 1 0	1 0 0		0 1 0	0
1 1 1	1 0 0		1 0 0	0

(4) 状态转换图

状态转换图如图 10.13 所示。

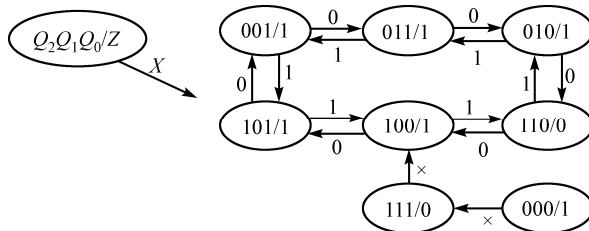


图 10.13 状态转换图

(5) 功能

可自启动的可控摩尔型状态机，输入  $X$  控制状态方向；状态机特点：相邻状态逻辑相邻；每转一圈，输出一个 0。该状态机是某控制系统的数控信号部分。

### 10.3.2 可编程逻辑器件 PAL、GAL

由于开发工具等问题，PLA 没能得到广泛应用。真正得到广泛应用的可编程器件是可编程阵列逻辑 PAL (Programmable Array Logic) 和通用阵列逻辑 GAL (General Array Logic)。PAL、GAL 的与或阵列类似，都是与阵列可编程，或阵列不可编程。它们的区别主要体现在输出结构上：PAL 的输出结构比较简单，有的 PAL 是组合输出，也有的 PAL 是寄存器输出；而 GAL 的输出通过输出宏单元控制，既可组合输出，也可寄存器输出，视编程情况而定，其应用比 PAL 灵活得多。GAL 出现后，迅速得到了广泛的应用。本节简要介绍 PAL、GAL 的硬件结构。

图 10.14 所示为德州仪器生产的 PAL16L8 的逻辑图。PAL16L8 是 20 脚芯片，其中 16 为最多输入端数，8 为最多输出端数，L 指输出为反相输出。由图可知，它的与阵列共有  $32 \times 64 = 2048$  个可编程点；其或阵列不可编程，每个或门有 7 个输入端；输出为三态门反相输出，三态门各由一个与项控制；1~9、11 共 10 个引脚为输入专用；12 和 19 脚为输出专用；13~18 共 6 个引脚为输入/输出端，也就是说它们既可以作为输入端用，也可以作为输出端用。当它们全都用做输入端时，该器件最多可有 16 个输入端；而当它们都用做输出端时，该器件最多可有 8 个输出端。使用时可根据需要确定 I/O 的属性。显然，当一个 I/O 端作为输入端使用时，必须使该端的三态门设置为高阻态。由图 10.13 还可看出，当 I/O 用做输出时，该输出也被引入到与阵列参与逻辑运算，这样可以实现比较复杂的逻辑功能，如锁存器等。

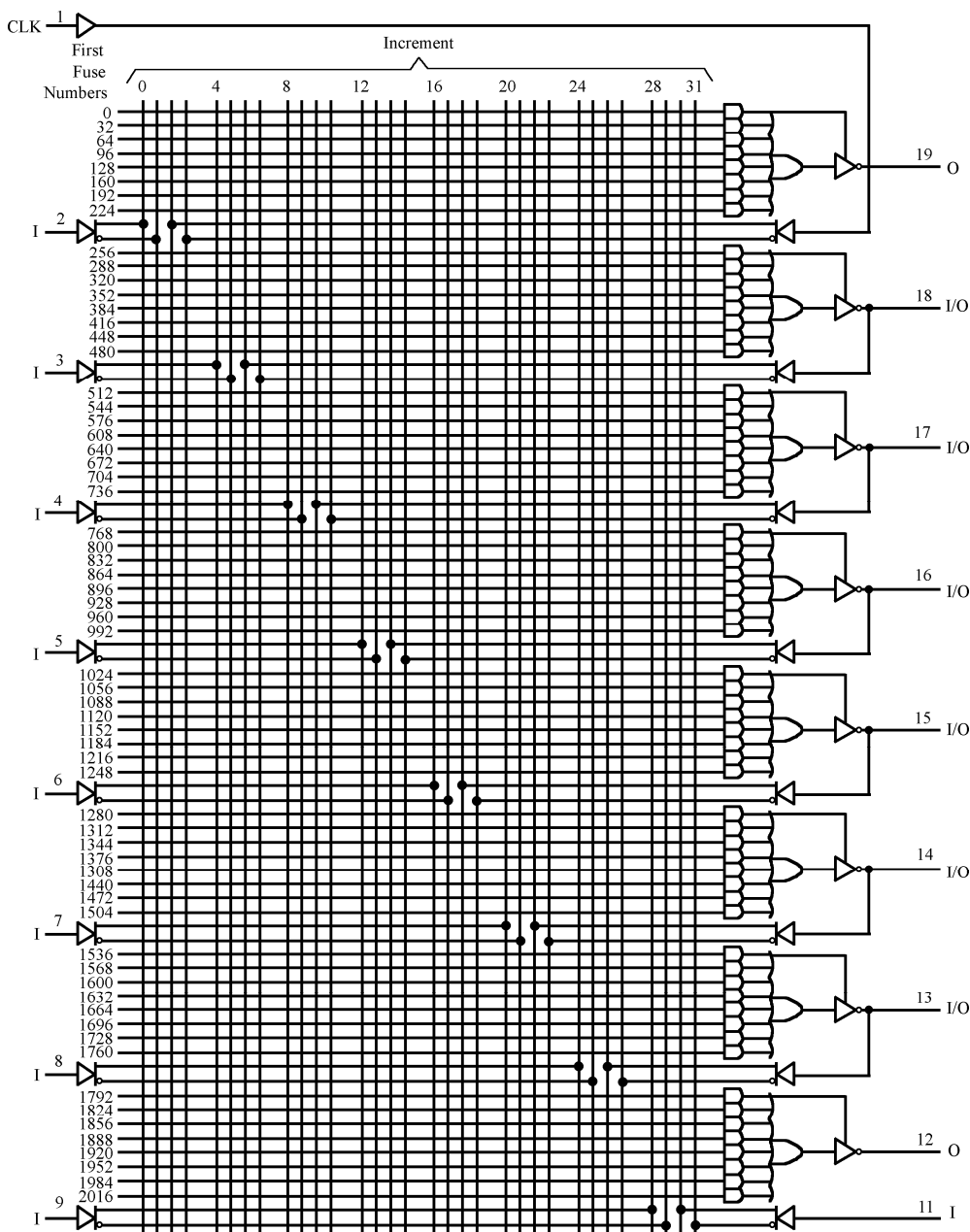


图 10.14 PAL16L8 的逻辑图（摘自 TEXAS INSTRUMENT 数据手册）

图 10.15 所示为德州仪器生产的 PAL16R8 的逻辑图。PAL16R8 也是 20 脚芯片，R 指该芯片包含寄存器（即触发器），8 是寄存器的个数。2~9 脚为输入，12~19 脚为输出，1 脚为触发器的时钟，11 脚为输出三态控制输入端。由图可知，它的与阵列也有  $32 \times 64 = 2048$  个可编程点；其或阵列不可编程，每个或门有 8 个输入端；输出为三态门反相输出，三态门公用 11 脚控制；寄存器的输出反馈到与阵列，可参与与或运算。由此可知该芯片可实现 8 输入、8 输出的任意时序逻辑。

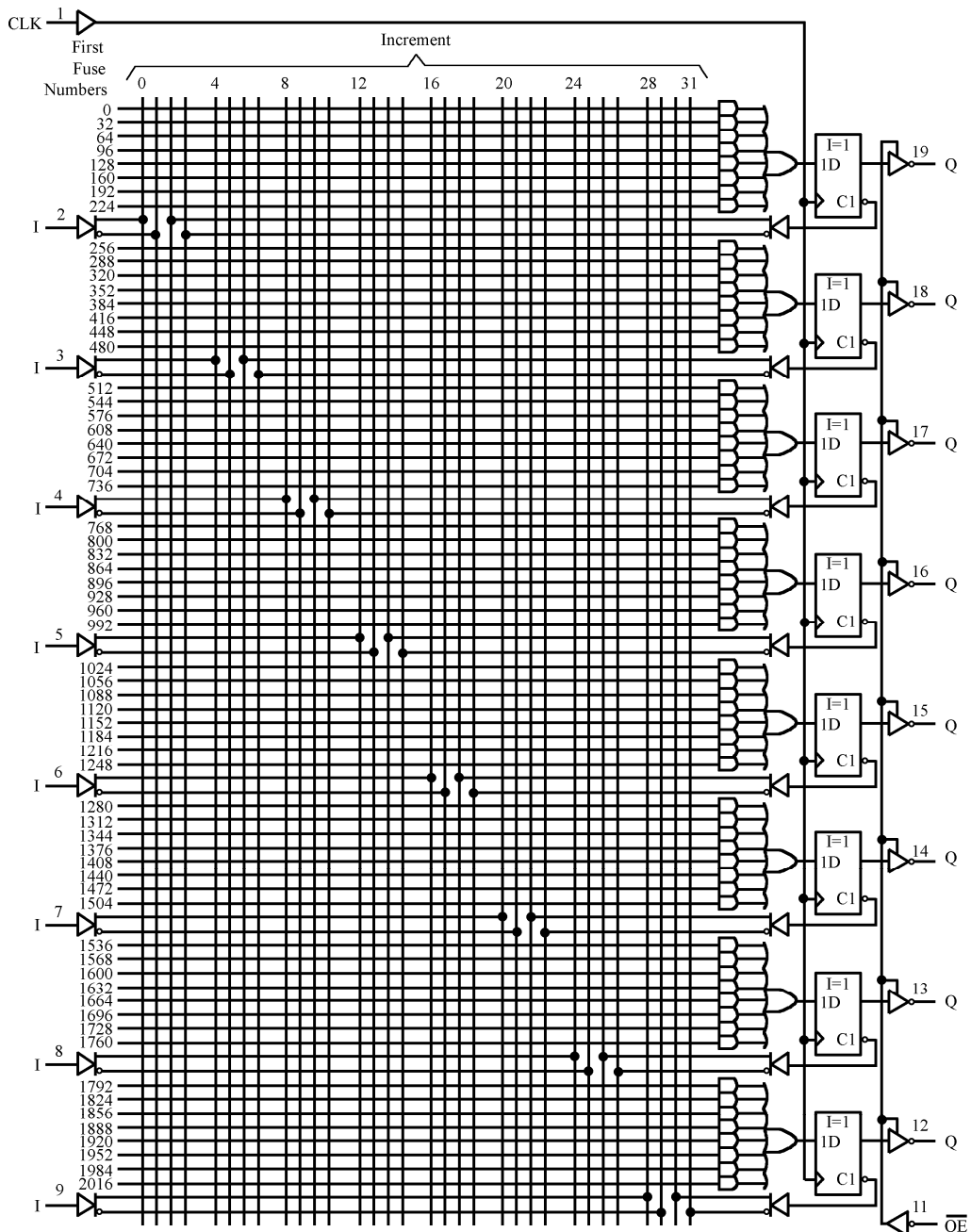


图 10.15 PAL16R8 的逻辑图（摘自 TEXAS INSTRUMENT 数据手册）

图 10.16 所示为 Philips 公司生产的 ABT22V10A5，它是具有 28 条引脚的 GAL，其中  $V_{CC}$  两条，

GND 4 条，其余 22 条为输入、输出端。 $I_0 \sim I_{11}$  为专用输入， $F_0 \sim F_9$  则既可以作为输出端使用，又可以作为输入端使用，具体情况视对宏单元的编程而定。其左边是可编程的与阵列，共有 132 条与线，每条与线有 44 个可编程点，共有  $132 \times 44 = 5808$  个可编程点；或阵列不可编程，从上至下每个或门的输入端数分别为 8、10、12、14、16、16、14、12、10、8，它们的输出分别接至输出宏单元。如果用它实现时序逻辑，只能实现同步时序，所有宏单元中寄存器的时钟由 2 脚  $I_0/\text{CLK}$  输入。

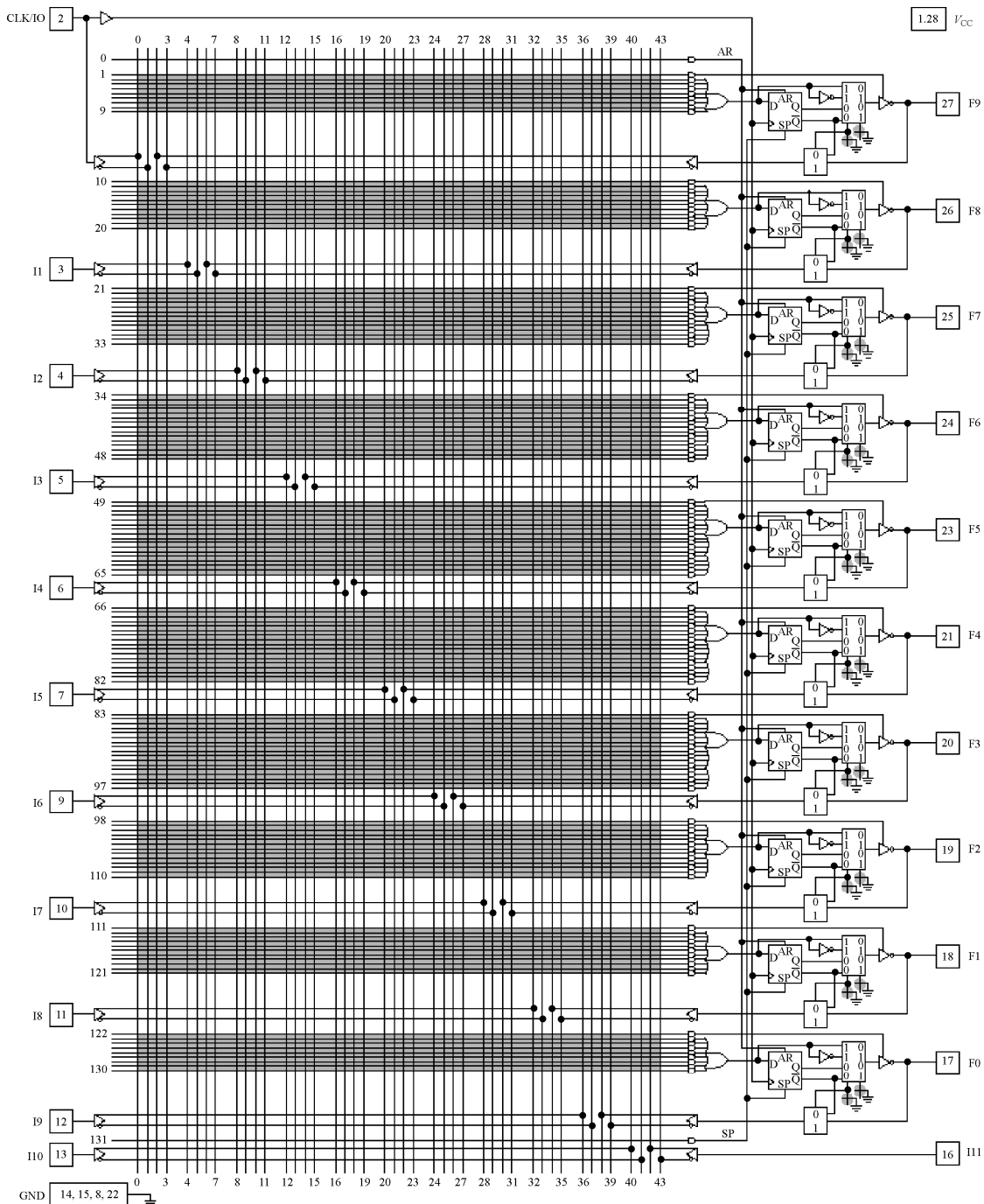


图 10.16 ABT22V10A5 的逻辑图（摘自 Philips 数据手册）

图 10.17 所示为 ABT22V10A5 的输出宏单元, 它由 D 触发器、输出多路选择器、反馈输入多路选择器和输出三态门组成。其中  $F$  为输入/输出端,  $TC$  为三态门控制端。

D 触发器的输入为与或阵列的输出, 时钟为  $CLK$ , 输出分别与输出多路选择器和反馈输入选择器相连接, 与项  $AR$  和  $SP$  可分别对所有触发器异步复位和置位;

输出多路选择器的控制端为可编程点  $S_1S_0$ , 它控制将  $O_{or}$ 、 $\bar{O}_{or}$ 、 $Q$ 、 $\bar{Q}$  中的哪一个送到三态门, 如图 10.17 中的选择器功能表;

反馈输入多路选择器由  $S_1$  控制是将  $\bar{Q}$ , 还是将  $F$  送至与阵列:  $S_1 = 0$  时, 将  $Q$  送至与阵列;  $S_1 = 1$  时, 将  $F$  送至与阵列。

当  $S_1S_0$  取值不同时, 输出宏单元等效为 4 种不同的输出组态, 如图 10.18 所示。由图 10.18 可以看出, 当  $S_1 = 0$  时,  $F$  只能作为输出端使用; 而当  $S_1 = 1$  时,  $F$  的作用取决于三态门控制端  $TC$  的取值:  $TC = 0$  时,  $F$  端可作为输入端使用,  $TC = 1$  时,  $F$  端也只能作为输出端使用。

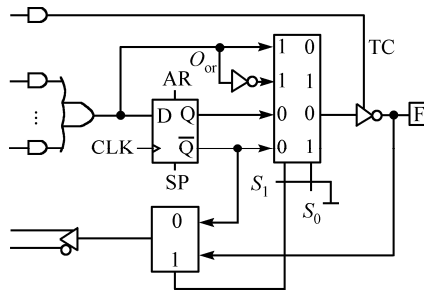


图 10.17 ABT22V10A5 的输出宏单元

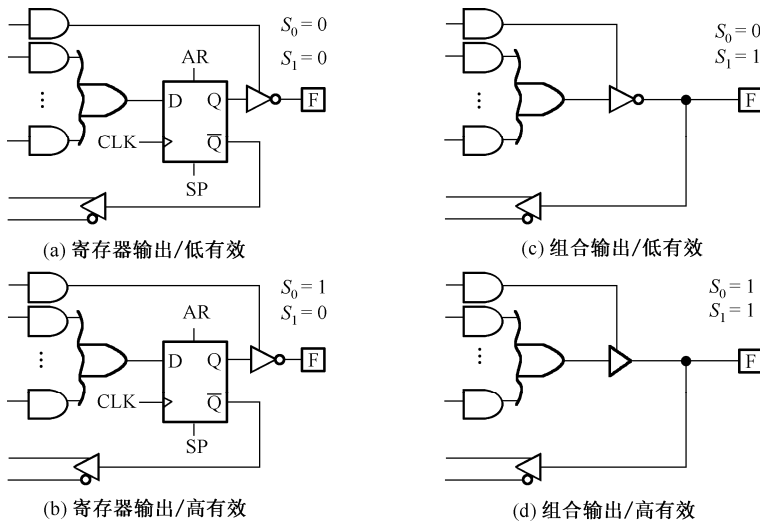


图 10.18 ABT22V10A5 的输出宏单元的 4 种等效电路

由于 PAL、GAL 的规模已比较大, 对其编程可利用计算机进行。芯片生产厂家或第三方在市场上提供编程器和相关软件, 用户可以利用它们对器件编程。针对可编程器件的语言发展相当迅速, 从没有化简功能的 FM (Fast Map)、PALASM 到有化简功能的 ABEL, 再到今天广泛使用的通用硬件描述语言 VHDL。许多芯片生产厂家提供的开发软件功能十分强大, 如 Altera 公司提供的 MAX+Plus II 支持图形输入法、波形输入法、逻辑符号输入法和文本输入法; 可对输

入进行编译、查错，可以仿真；当然也可以配以适当的硬件对器件进行编程。相关内容读者可阅读有关书籍。

现代可编程逻辑器件的规模已相当大，如 Altera 公司生产的 EPROM10K 系列中内含 10 万个逻辑单元，如果没有相应的开发软、硬件工具，用户根本无法使用。相关内容已不属于本课程的范围。

小 结

用于存储数据的存储器与寄存器、触发器都不同，是一种特殊形式的电路。虽然它们可以存储数据，但它们都是组合电路，而非时序电路。

介绍了 ROM 存储数据的原理，给出了阵列结构，地址线、数据线、字线、位线等概念；讲述了 ROM 的扩展方法；简单介绍了 ROM、EPROM、EEPROM 及它们之间的区别。

介绍了 SRAM 与 DRAM 的工作原理及它们之间的区别；介绍了 RAM 与 ROM 的区别。

介绍了用 ROM 实现逻辑函数的方法；介绍了专门用于实现逻辑函数的可编程器件 PLA、PAL、GAL 等的硬件结构及用它们实现函数的原理。

## 习 题

- 10-1 ROM、EPROM、EEPROM 有何异同?

10-2 EPROM 27080 的容量为  $1M \times 8B$ , 它的地址线、数据线、字线、位线各为多少条?

10-3 试用  $4K \times 8$  ROM 芯片 2732 和 3-8 译码器组成容量为  $32K \times 16$  的 ROM。

10-4 RAM 与 ROM 有何异同?

10-5 SRAM 与 DRAM 有何异同?

10-6 为什么 DRAM 需要刷新? 什么是刷新? 如何刷新?

10-7 试写出图 10.2 中的 8 个逻辑函数  $D_0 \sim D_7$ , 并将它们化简为最简与或式。

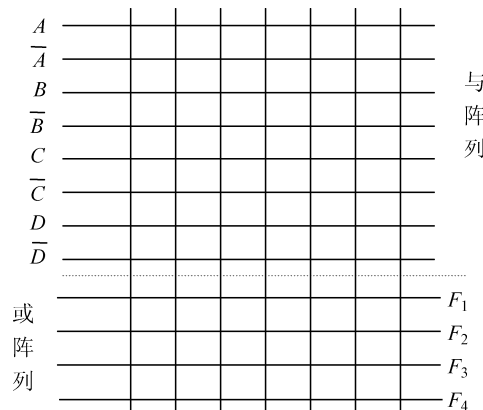
10-8 PLA 与 PAL 有何异同? PAL 与 GAL 又有何异同?

10-9 用 ROM 实现下列逻辑函数时, ROM 的容量至少各为多少? 并用所确定容量的 ROM 实现之。

(1) 4 位二进制数比较器;

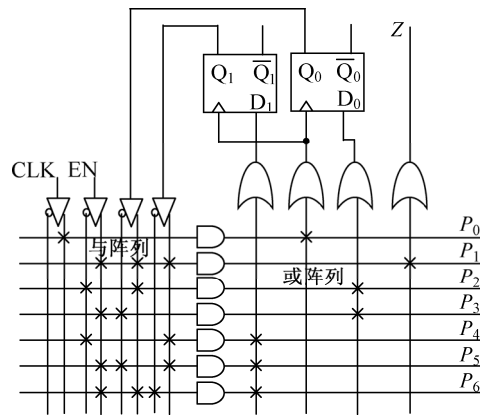
(2) 3 位二进制数乘法器。

10-10 化简逻辑函数  $F_1(A,B,C,D) = \sum m(0,2,8,10,15)$ , 并试用图题 10-10 所示 PLA 实现。试用同一 PLA 同时实现  $F_2 = AB + \bar{C}$ ,  $F_3 = A + \bar{B}C$ ,  $F_4 = AB + \bar{D}$ 。



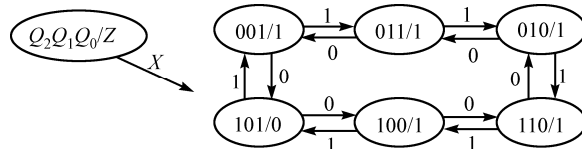
### 图题 10-10

10-11 图题 10-11 所示为由 PLA 和 D 触发器组成的时序电路，其中 CLK 为输入时钟，EN 为输入控制信号，Z 为输出。试分析该电路的功能。

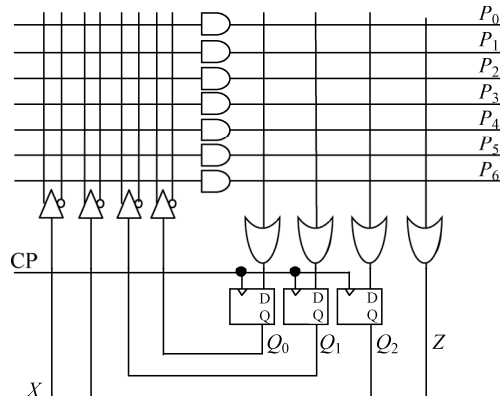


图题 10-11

10-12 给定状态图如图题 10-12-1 所示。试用图 10-12-2 所示的 PLD 和 D 触发器实现之，要求必须能自启动。



图题 10-12-1 状态图



图题 10-12-2 PLD 及 D 触发器

# 第 11 章 ASM 图与系统设计

第 4 章介绍了组合电路模块及组合电路的分析与设计方法；第 6 章介绍了时序模块及其应用；第 7 章介绍了状态机的分析与设计方法，并指出任一同步时序电路均可看为一个状态机。

一般情况下，一个数字系统所包含的触发器数不是几个，而是几十个、几百个、甚至是几千个。显然，用第 7 章所介绍的设计方法无法处理这种情况。

现在的数字系统设计，大都采用自上而下（Up-Down）的设计方法，即先将系统按功能分解为若干模块，每个模块完成一个特定功能；然后分别设计这些模块；最后将这些模块用控制线、数据线和状态线连接起来。

一个数字模块可以是组合模块，也可以是时序模块。组合模块可以是译码器、多路选择器、加法器等常用组合模块，也可以是由一般组合电路构成的组合模块；时序模块可以是寄存器、计数器、移位寄存器等常用时序模块，也可以是由一般状态机构成的时序模块。

一个数字系统中，所有模块都在统一时钟的协调下同步动作，其中一个时序模块是主模块，由它统一控制、协调其他所有模块的操作。将这个起控制、协调作用的状态机称为主状态机，用以区别系统中的其他状态机（也有人将主状态机称为控制器）。

为介绍数字系统设计方法，本章首先介绍 RTL，然后介绍 ASM 图，最后举例介绍数字系统描述方法及实现方法。

## 11.1 寄存器传输级 RTL

一个数字模块可以看成是一个寄存器（Register）及对该寄存器进行的操作（寄存器操作）。寄存器操作可以是移位、计数、清零及装载等。可见，一个寄存器就是一个状态机，而一个数字系统由若干状态机和若干组合模块组成。

一个寄存器是一组触发器，触发器中存储二进制信息，并且具有对所存信息进行操作的能力，如装载新信息、移位等。例如，可以把计数器的计数操作看成是对寄存器进行加 1 操作。

如果寄存器是数字系统的基本单元，则称寄存器里的信息流和对寄存器内所存储数据的处理为寄存器传输操作（Register Transfer Operation）。

如果一个数字系统具有以下特点：

- (1) 硬件上有一组寄存器；
- (2) 能对存储在寄存器中的数据进行操作；
- (3) 能对系统中的操作序列进行管理的控制。

则称这类系统为寄存器传输级（Register Transfer Level, RTL）。

寄存器的这种信息处理在统一时钟的作用下并行进行。处理后的结果可以取代寄存器中以前的信息，也可以存放在其他寄存器中，而该寄存器中的信息保持不变。

初始化操作序列的控制由一系列定时信号组成，该定时信号预先将操作排序。前一次操作的结果可以影响后续操作的顺序或序列，这就是所谓的条件分支。控制逻辑的输出是二进制变量，它可以控制寄存器的各种不同的操作。数字系统中常用的寄存器传输操作有：

- 从一个寄存器到另一个寄存器的数据传输；
- 对寄存器中的数据进行算术操作；
- 对寄存器中的非数据信息进行逻辑运算；
- 将寄存器中的数据进行移位操作等。

用符号表示寄存器间的信息传输举例：

$R2 \leftarrow R1$	; R1 的值赋予 R2, R1 的内容保持不变
IF (T1 = 1) THEN ( $R2 \leftarrow R1$ )	; 如果 T1 = 1 则执行 $R2 \leftarrow R1$ 操作
IF (T1 = 1) THEN ( $R2 \leftarrow \rightarrow R1$ )	; 如果 T1 = 1 则执行 R2、R1 间的数据交换操作
$R1 \leftarrow R1 + R2$	; $R1 = R1 + R2$ , R2 不变
$R3 \leftarrow R3 + 1$	; $R3 = R3 + 1$
$R4 \leftarrow \text{SHR } R4$	; R4 右移一位
$R5 \leftarrow 0$	; R5 清 0

## 11.2 算法状态机 ASM

算法状态机 ASM (Algorithm State Machine) 是一种适用于描述数字系统的类似于流程图的图形描述方法，它由三种基本符号组成，即状态框、判决框和条件框。

### 11.2.1 ASM 图

#### 1. 状态框

状态框 (State Box) 如图 11.1 所示。一个状态框表示一个状态，它由一个表示状态的矩形框和入、出两个箭头组成：矩形框的左上角为状态名，右上角为状态编码；矩形框内为该状态时执行的寄存器操作及输出；入箭头来自另一个状态框、判决框或条件框；出箭头指向另一个状态框或判决框。

#### 2. 判决框

判决框 (Decision Box) (如图 11.2 所示) 用于分支控制，为一个菱形，内写分支条件。分支条件可以是输入、输出或某一寄存器的状态。

#### 3. 条件框

条件框 (Conditional Box) (如图 11.3 所示) 出现在判决框后，用于描述在所属状态时此条件下的输出及所要进行的寄存器操作。

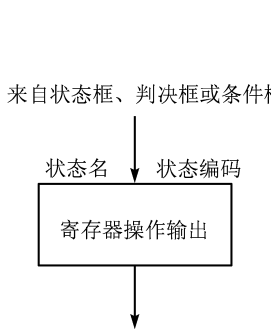


图 11.1 状态框

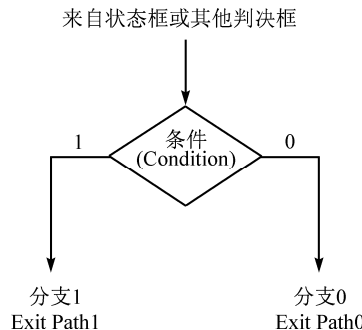


图 11.2 判决框

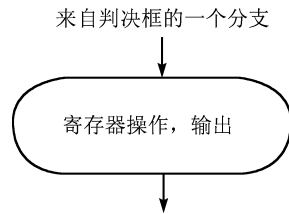


图 11.3 条件框

## 11.2.2 ASM 图举例

### 1. ASM 图

图 11.4 所示为某数字系统 ASM 图的部分截图，该系统由主状态机、寄存器  $A$ 、寄存器  $R$ 、输入信号  $X_1$ 、 $X_0$  组成。由图 11.4 可知，这部分 ASM 图所描述的主状态机有 4 个状态  $S_1$ 、 $S_2$ 、 $S_3$  和  $S_4$ ，它们的编码分别为 001、010、011 和 100；在状态  $S_1$  时，计数器  $A$  执行加 1 操作；当输入  $X_1X_0 = 00$  时， $S_1$  的次态为  $S_2$ ；当输入  $X_1X_0 = 10$  时， $S_1$  的次态为  $S_3$ ；当输入  $X_1X_0 = \times 1$  时， $S_1$  的次态为  $S_4$ ，并且寄存器  $R$  执行复位（清零）操作。可见，寄存器  $A$ 、寄存器  $R$  的操作由主状态机及输入信号  $X_1$ 、 $X_0$  控制。

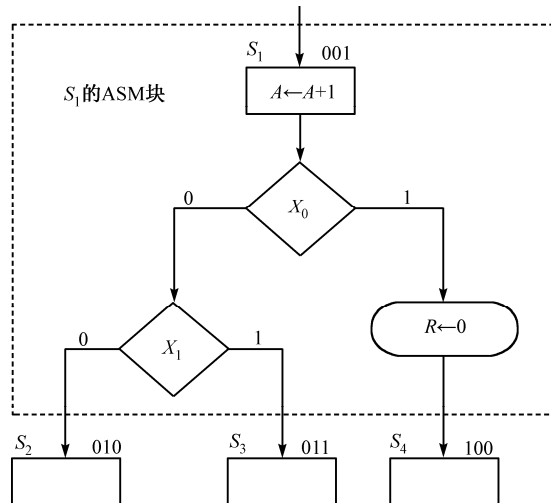


图 11.4 ASM 图示例

### 2. ASM 图与主状态机的状态图

由图 11.4 可知，ASM 图给出了所描述数字系统的主状态机的状态转换与输入的关系，这方面与状态图完全类似；同时 ASM 图也给出了系统中其他所有模块（寄存器  $A$ 、寄存器  $R$  等）的操作与主状态机及输入的时序关系。

图 11.5 所示为图 11.4 所示 ASM 图中主状态机的状态图。

### 3. ASM 图的时序关系

对比图 11.4 和图 11.5 可见，状态图只能描述单个状态机；而 ASM 图除描述了系统中的主状态机外，还描述了系统中其他所有时序模块与主状态机的时序对应关系。

由图 11.4 或图 11.5 知，状态  $S_1$  在输入  $X_1X_0 = 11$  时的次态是  $S_4$ ，即状态转换发生在下一个有效时钟沿。那么状态框中寄存器  $A$  的加 1 操作和条件框中寄存器  $R$  的清 0 操作发生在什么时刻呢？这两个操作都与状态  $S_1$  到状态  $S_4$  的转换发生在同一有效时钟沿，如图 11.6 所示（图中阴影部分的值为任意，在此我们只关心第一个时钟沿时所发生的变化）。图 11.4 中的虚线框所包含的部分是与状态  $S_1$  相关的部分，称为状态  $S_1$  的 ASM 块，一个 ASM 块中所有的寄存器操作都与主状态机的状态转换发生在同一时钟沿。

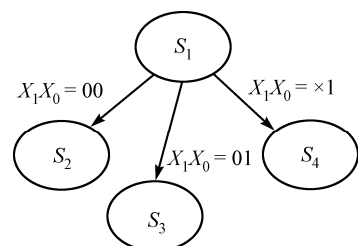


图 11.5 ASM 图中主状态机的状态图

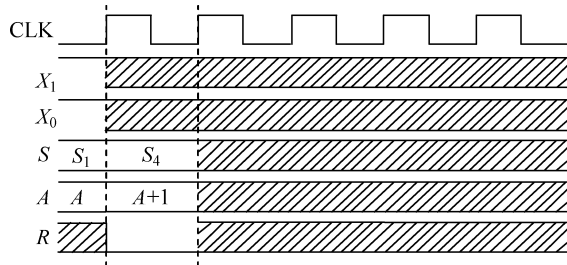


图 11.6 ASM 图的时序关系

一个数字系统中的其他所有数字模块在主状态机的控制下协调一致地工作，因此，主状态机在数字系统中也称为控制器或控制状态机，而系统中所有其他时序模块统称为寄存器。

下面通过实例介绍数字系统的设计方法。

### 11.3 交通灯控制器的设计

众所周知，交通灯对规范各种路口的交通秩序、保证交通安全有着十分重要的作用。随着电子技术的发展，交通灯的控制方式多种多样，例如，自动、手动、联网智能控制、传感器控制等。交通信号灯控制器是一个典型的数字控制系统。

#### 11.3.1 系统分析

图 11.7 所示为最简单的交叉路口交通灯示意图。在这种场合，只需进行主路和支路两个直行方向的控制；主路绿灯时间应该比支路绿灯时间长；绿灯变红灯前应该经过黄灯过渡，以使已经通过停车线的车辆有时间通过路口。

支路方向设置一个传感器，用于感应支路是否有车；支路有车时自动轮流放行；支路无车时主路持续放行，如果主路绿灯时间到，定时器输出时间到信号  $T_L$ ，则定时器停止计时，输出一直保持为  $T_L$ ；一旦支路有车，立即转至支路放行，无须再等  $T_L$  时间。

设主路绿灯亮最短持续时间为  $T_L$ ，支路绿灯亮最长持续时间为  $T_S$ ，黄灯亮持续时间为  $T_Y$ ，支路传感器（用于感应支路是否有车）信号为  $V_B$ ，主路和支路红、绿、黄灯信号分别为 MR、MG、MY、BR、BG、BY，主路、支路根据定时信号和传感器信号自动分时放行，则该交通灯控制系统应该有如下 4 个状态。

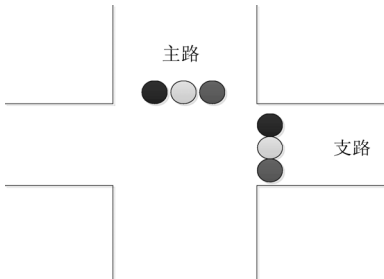


图 11.7 交通灯示意图

- 状态  $S_0$ ：主路放行（主路绿灯亮），支路禁行（支路红灯亮），持续时间  $T_L$ 。若  $T_L$  时间到且支路无车，则定时器停止计时（保持  $T_L$  时间到状态），主状态机保持状态  $S_0$  不变，直到支路有车；若  $T_L$  时间到时支路有车，则定时器清零，主状态机转到状态  $S_1$ 。
- 状态  $S_1$ ：主路过渡（主路黄灯亮），支路禁行（支路红灯亮），持续时间  $T_Y$ 。若  $T_Y$  时间到，主状态机进入  $S_2$  状态；否则，主状态机保持状态  $S_1$  不变。
- 状态  $S_2$ ：支路放行（支路绿灯亮），主路禁行（主路红灯亮），持续时间  $T_S$ 。如果此时若支路无车，则立即转向下一状态；如果支路有车，且  $T_S$  时间到时主状态机自动转至状态  $S_3$ 。
- 状态  $S_3$ ：支路过渡（支路黄灯亮），主路禁行（主路红灯亮），持续时间  $T_Y$ 。若  $T_Y$  时间到，则主状态机进入  $S_0$  状态；否则，主状态机保持状态  $S_3$  不变。

$V_B$  的作用：主路放行时，若支路无车，则主路一直放行。若  $T_L$  时间到，则停止计时，继续主路放行；一旦支路有车，立即转至支路放行。支路放行时，若支路无车，则立即转至主路放行，不管  $T_S$  时间到否。

4 个状态与信号灯亮灭的关系如图 11.8 所示。

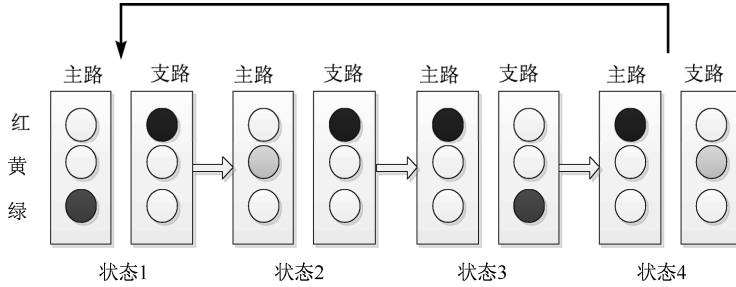


图 11.8 各状态与信号灯亮灭的关系

### 11.3.2 系统构成

由以上分析，可得图 11.9 所示的交通灯控制系统框图。其中控制器是所要设计的系统控制单元，它接收支路传感器信号  $V_B$ ，以改变控制流程；输出信号灯控制信号，经驱动器控制信号灯的亮灭。其中驱动电路与数字系统设计无关，在此不予考虑。

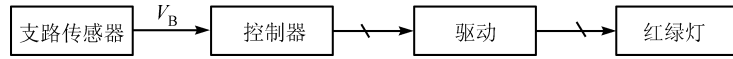


图 11.9 交通灯控制系统框图

控制器框图如图 11.10 所示。其中主状态机接收定时器的定时信号  $T_L$ 、 $T_S$ 、 $T_Y$ ；向定时器输出控制信号，控制定时器的计数、停止计数、清零（主状态机的状态变化后，定时器重新计时）；接收支路传感器信号  $V_B$ ，以控制状态走向；经译码后输出信号灯控制信号 MR、MG、MY、BR、BG、BY。定时器应该能输出定时信号  $T_L$ 、 $T_S$ 、 $T_Y$ ；有计数、停止计数、清零的功能。由以上分析可知，所要设计的交通灯控制器由主状态机、定时器和译码器三部分组成，这三部分可分别设计再连接起来，构成交通灯控制器。

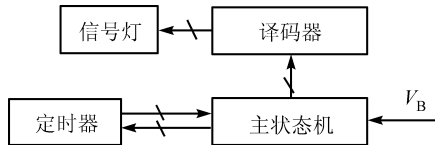


图 11.10 交通灯控制器框图

### 11.3.3 交通灯控制系统的 ASM 图

根据 11.3.1 节和 11.3.2 节的分析，可得图 11.11 所示的主状态机的 ASM 图，图中寄存器  $R$  为图 11.10 中的定时器。

显然，ASM 图描述了主状态机的状态转换情况。由于 ASM 图对主状态机的描述与用状态图的描述是一致的，所以可先画出主状态机的状态图，再用第 7 章所述传统方法设计主状态机。在此介绍如何由 ASM 图直接得到状态方程。

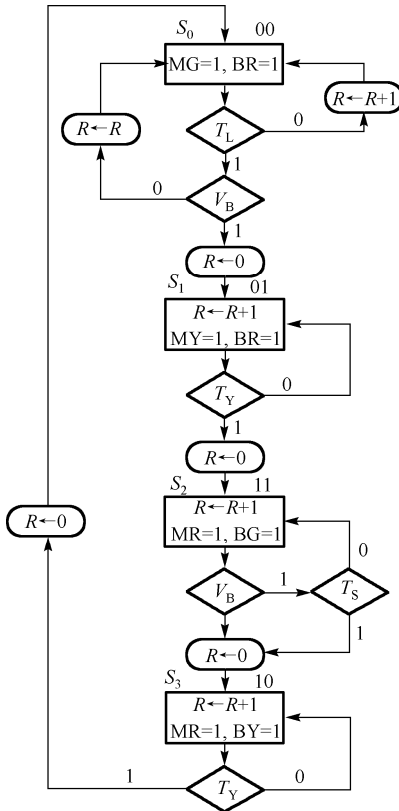


图 11.11 主状态机的 ASM 图

ASM 图也描述了寄存器  $R$  的工作状况: 何时(什么状态、什么条件下)执行加 1(计时)操作、何时停止计时、何时清零。如果加 1 操作在状态框内, 表明在该状态下无条件执行加 1 操作; 如果加 1 操作在条件框内, 则表明在该状态下且条件满足时执行加 1 操作。由 ASM 图也可以直接得到寄存器  $R$  的控制方程。

ASM 图还给出了输出函数(信号灯控制信号)与状态的关系, 所以由 ASM 图也可以直接写出输出函数表达式。

#### 11.3.4 主状态机的设计

##### 1. 用 D 触发器和多路选择器实现主状态机

由 ASM 图及状态编码知, 该系统的主状态机有 4 个状态  $S_0 \sim S_3$ , 两位状态编码, 编码方式为格雷码。所以主状态机由两位 D 触发器组成, 其状态为  $Q_1Q_0$ 。下面介绍由 ASM 图直接写出次态方程的方法。有了次态方程, 也就得到了 D 触发器的驱动方程。

由 ASM 图得知, 状态  $S_0 (Q_1Q_0 = 00)$  的次态可能是  $S_0 (Q_1Q_0 = 00)$ , 也可能是  $S_1 (Q_1Q_0 = 01)$ 。由此可知, 现态  $S_0$  时  $Q_1$  的次态无论什么条件下均为 0, 所以可以得到此时的  $Q_1^{n+1} = S_0 \cdot 0$ ; 而  $Q_0$  的次态可以是 0(主路绿灯亮时间没到  $T_L = 0$  或支路无车  $V_B = 0$  时), 也可以是 1(主路绿灯亮时间到  $T_L = 1$  并且支路有车  $V_B = 1$  时), 所以现态是  $S_0$  时  $Q_0$  的次态为  $Q_0^{n+1} = S_0 \cdot (T_L \cdot V_B)$ 。用类似的方法可以直接由 ASM 图写出  $Q_1$ 、 $Q_0$  的次态方程(状态  $S_i$  用触发器状态  $Q_1Q_0$  代替):

$$\begin{aligned} Q_1^{n+1} &= \overline{Q_1 Q_0} \cdot 0 + \overline{Q_1} Q_0 \cdot T_Y + Q_1 Q_0 \cdot 1 + Q_1 \overline{Q_0} \cdot \overline{T_Y} \\ Q_0^{n+1} &= \overline{Q_1 Q_0} \cdot (T_L \cdot V_B) + \overline{Q_1} Q_0 \cdot 1 + Q_1 Q_0 \cdot (\overline{T_S} \cdot V_B) + Q_1 \overline{Q_0} \cdot 0 \end{aligned} \quad (11.1)$$

而对于 D 触发器而言，有  $D = Q^{n+1}$ ，所以：

$$\begin{aligned} D_1 &= Q_1^{n+1} = \overline{Q_1 Q_0} \cdot 0 + \overline{Q_1} Q_0 \cdot T_Y + Q_1 Q_0 \cdot 1 + Q_1 \overline{Q_0} \cdot \overline{T_Y} \\ D_0 &= Q_0^{n+1} = \overline{Q_1 Q_0} \cdot (T_L \cdot V_B) + \overline{Q_1} Q_0 \cdot 1 + Q_1 Q_0 \cdot (\overline{T_S} \cdot V_B) + Q_1 \overline{Q_0} \cdot 0 \end{aligned} \quad (11.2)$$

由式 (11.2) 可知，触发器的驱动  $D_1$ 、 $D_0$  可以直接用 4-1 多路选择器加少量的门实现：用  $Q_1 Q_0$  作为选择端输入（注意选择端的高、低位与  $Q_1$ 、 $Q_0$  的对应关系），如图 11.12 所示。

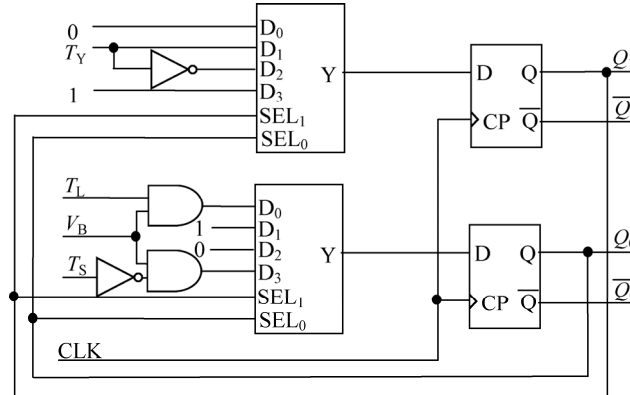


图 11.12 交通灯控制器主状态机的逻辑图

设计好主状态机的逻辑图后，再画一个逻辑符号用于与其他模块连接。主状态机的逻辑符号如图 11.13 所示。

显然，用这种方法设计主状态机的最大优点是简洁、过程简单。在此例中没有无效状态，所以不存在自启动问题。如果需要考虑自启动问题，只需要在次态方程中加上无效状态，并指定其次态即可。

## 2. 用一态一触发器实现主状态机

用一态一触发器 (One Hot) 实现时， $n$  个状态用  $n$  位 D 触发器，每个触发器对应一个状态。例如，交通灯控制系统中的主状态机有 4 个状态，就用 4 位 D 触发器，状态  $S_3$ 、 $S_2$ 、 $S_1$ 、 $S_0$  的编码分别为  $(Q_3 Q_2 Q_1 Q_0)$  1000、0100、0010、0001，即每个状态下只有一个触发器为 1。

将 ASM 图中的状态  $S_3$ 、 $S_2$ 、 $S_1$ 、 $S_0$  的编码分别改为 1000、0100、0010、0001，则可直接得到状态方程（如写  $Q_3^{n+1}$  时，只要从 ASM 图中观察哪些状态在什么条件下的次态是  $S_3$ ，将那些状态及转换条件分别写出并相或即可），从而得到驱动方程：

$$\begin{aligned} D_3 &= Q_3^{n+1} = S_2(\overline{V_B} + V_B T_S) + S_3 \overline{T_Y} = Q_2(\overline{V_B} + T_S) + Q_3 \overline{T_Y} \\ D_2 &= Q_2^{n+1} = S_1 T_Y + S_2 \overline{T_S} V_B = Q_1 T_Y + Q_2 \overline{T_S} V_B \\ D_1 &= Q_1^{n+1} = S_0 T_L V_B + S_1 \overline{T_Y} = Q_0 T_L V_B + Q_1 \overline{T_Y} \\ D_0 &= Q_0^{n+1} = S_0(\overline{T_L} + T_L \overline{V_B}) T_Y + S_3 T_Y = Q_0(\overline{T_L} V_B) + Q_3 T_Y \end{aligned}$$

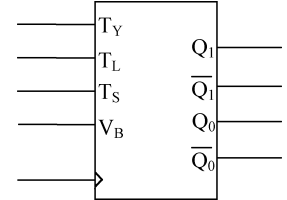


图 11.13 主状态机的逻辑符号

一态一触发器设计法多用于状态数较多（如多于 20 个）的场合。显然，这种方法的优点是可以很方便地得到驱动方程；缺点是无效状态 ( $2^n - n$  个) 很多，且没有考虑自启动问题。至于硬件使用效率则不是问题：现代可编程器件中集成了大量的 D 触发器，不用也是闲在那里。

### 11.3.5 寄存器及组合模块的设计

#### 1. 定时器模块的设计

由交通灯系统描述及 ASM 图可知, 该定时器应该可以执行加 1、停止(保持)和清零操作。而中规模集成计数器 74LS163 可执行这些操作, 以下就以 74LS163 为例设计定时器。

设系统使用 1Hz 的时钟, 则计数器的状态就是时间(s)。为便于说明设计过程, 设  $T_L = 16s$ ,  $T_S = 13s$ ,  $T_Y = 3s$ 。

重新定义 74LS163 的控制信号:

- 定义 CNT, 用于控制定时器的计数、保持。令 74LS163 的计数使能端  $T = 1$ 、 $P = \text{CNT}$  即可。  
 $\text{CNT} = 1$  时计时,  $\text{CNT} = 0$  时停止计数;
- 令 74LS163 的预置端  $\overline{\text{LD}} = 1$ , 无效, 不进行预置操作;
- 定义清零控制信号 CLEAR, 高有效, 使 74LS163 的清零端  $\overline{\text{CLR}} = \overline{\text{CLEAR}}$  即可。

由于 74LS163 是同步清零, 所以应该用模数  $M=1$  去清零。74LS163 的计数状态为  $Q_D Q_C Q_B Q_A$ , 其中  $Q_D$  为 MSB; RCO 为进位输出, 对应计数状态  $Q_D Q_C Q_B Q_A = 1111$ 。所以  $T_L = \text{RCO}$  (16s),  $T_S = Q_D Q_C$  (13s),  $T_Y = Q_B$  (3s)。

ASM 图除描述主状态机外, 还描述了其他所有寄存器的操作和输出。如状态  $S_0$  时, 如果时间  $T_L$  未到, 则定时器继续计时(加 1)操作; 如果时间  $T_L$  到, 且  $V_B = 0$  时, 则定时器停止计时; 如果时间  $T_L$  到, 且  $V_B = 1$  时, 定时器执行清零操作。其他状态时类似。由此可写出 CNT、CLEAR 控制函数:

$$\begin{aligned}\text{CNT} &= \overline{Q_1 Q_0} \cdot \overline{T_L} + \overline{Q_1} Q_0 \cdot 1 + Q_1 Q_0 \cdot 1 + Q_1 \overline{Q_0} \cdot 1 \\ \text{CLEAR} &= \overline{Q_1 Q_0} \cdot (T_L \cdot V_B) + \overline{Q_1} Q_0 \cdot T_Y + Q_1 Q_0 \cdot (T_S + \overline{V_B}) + Q_1 Q_0 \cdot T_Y\end{aligned}\quad (11.3)$$

由式(11.3)可见, 用 4-1 多路选择器可以很方便地实现定时器的控制函数, 如图 11.14 所示, 其中  $\overline{\text{CLR}} = \overline{\text{CLEAR}}$ 。为简洁起见, 74LS163 的预置数据输入端  $a$ 、 $b$ 、 $c$ 、 $d$  未画, 实际使用时可将它们接逻辑“1”。

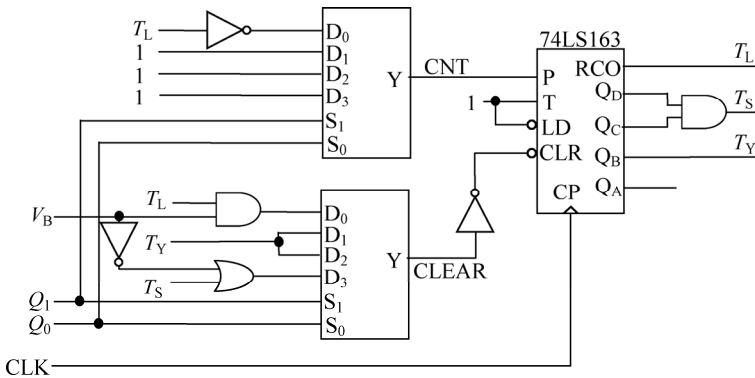


图 11.14 定时器的逻辑图

为与系统的其他部分连接方便, 也给定时器画一个逻辑符号, 如图 11.15 所示。

#### 2. 显示模块的设计

由图 11.11 所示 ASM 图可知, 交通灯控制系统中的灯控信号只与状态有关。由 ASM 图可直接写

出 6 个灯控信号的逻辑表达式 (设为高有效):

$$\begin{aligned}
 MG &= S_0 = \overline{Q_1} \overline{Q_0} \\
 MY &= S_1 = \overline{Q_1} Q_0 \\
 MR &= S_2 + S_3 = Q_1 Q_0 + Q_1 \overline{Q_0} = Q_1 \\
 BG &= S_2 = Q_1 Q_0 \\
 BY &= S_3 = Q_1 \overline{Q_0} \\
 BR &= S_0 + S_1 = \overline{Q_1} \overline{Q_0} + \overline{Q_1} Q_0 = \overline{Q_1}
 \end{aligned} \tag{11.4}$$

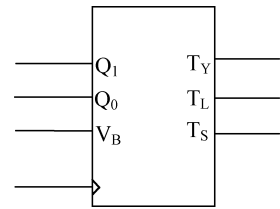


图 11.15 定时器的逻辑符号

由式 (11.4) 可见, 6 个灯控信号可由一个输出高有效的 2-4 译码器实现, 也可以用与门实现。图 11.16(a) 所示为用与门实现的灯控信号逻辑图, 图 11.16(b) 所示为其逻辑符号。可见, 该模块是一个组合模块。

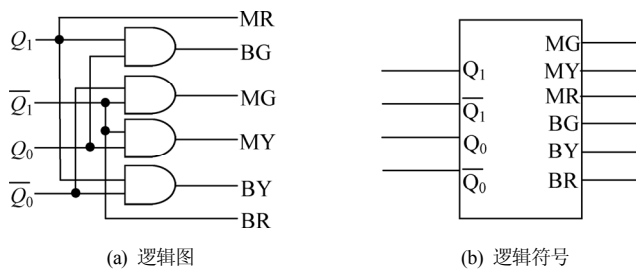


图 11.16 灯控信号

### 11.3.6 交通灯控制器系统的实现

将前面所设计的三个模块连接起来, 就得到最终的交通灯控制器, 如图 11.17 所示。

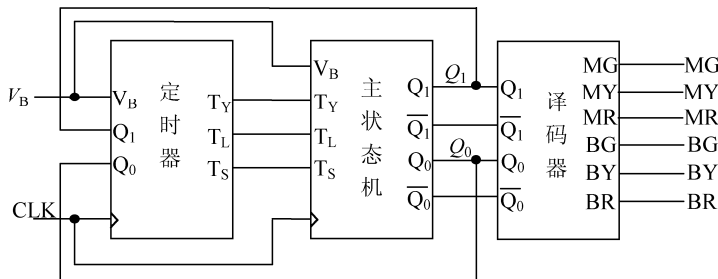


图 11.17 主状态机的逻辑图

## 11.4 数字乘法器的设计

本节设计一个  $n$  位无符号数字乘法器。两个  $n$  位数相乘, 最大的结果是  $(2^n - 1)^2 = 2^{2n} - 2^{n+1} + 1$ , 需要  $2n$  位来存放。输入  $n$  位乘数  $A$ ,  $n$  位被乘数  $B$ ; 输出  $2n$  位乘积  $P$ 。

### 11.4.1 系统分析

为说明设计过程, 以 4 位乘法器为例。设乘数  $A = 1101$ , 被乘数  $B = 1010$ , 则  $P$  为 8 位。人工乘法的做法如图 11.18 左半部分竖式, 结果为  $P = 10000010$ 。

$  \begin{array}{r}  & 1 & 0 & 1 & 0 \\  \times & 1 & 1 & 0 & 1 \\  \hline  & 1 & 0 & 1 & 0 \\  & 0 & 0 & 0 & 0 \\  & 1 & 0 & 1 & 0 \\  & 1 & 0 & 1 & 0 \\  \hline  1 & 0 & 0 & 0 & 0 & 0 & 1 & 0  \end{array}  $	<p><i>B</i></p> <p><i>A</i></p> <p><math>A_0 = 1, P + B = 00001010</math>(如果 <math>A_0 = 0</math>, 则 <math>P = 0</math>);</p> <p><math>A_1 = 0, B</math> 左移一位, 不做加法, <math>P = 00001010</math></p> <p><math>A_2 = 1, B</math> 左移一位, 与 <math>P</math> 相加, <math>P = 00110010</math></p> <p><math>A_3 = 1, B</math> 左移一位, 与 <math>P</math> 相加, <math>P = 10000010</math></p> <p><i>P</i></p>
---	--

图 11.18 乘法器设计原理与思路

将人工竖式算法分解，如图 11.18 右半部分：进行运算前将  $P$  清 0；当  $A_0 = 1$  时， $P \leftarrow P + B$ ，否则  $P$  不变；然后根据  $A_i$  ( $i = 1, 2, 3$ ) 的值决定下一步的运算：如果  $A_i = 0$ ，则  $B$  左移一位，不与  $P$  相加；如果  $A_i = 1$ ，则  $B$  左移一位后与  $P$  相加；如果运算没有完成，则需继续；如果运算已经结束，则返回等待下一次运算。可将运算过程中  $P$  的值称为“部分和”。用这种方法实现数字乘法器需要的硬件有： $P$ 、 $B$  都必须是 8 位寄存器，其中  $B$  必须可以移位； $A$  可以是 4 位寄存器；需要一个 4 位全加器；还应该需要一个计数器，用于判断运算是否完成。

为使乘法器电路结构简单，换一种思路：不使寄存器  $B$  左移，而使寄存器  $P$  右移，这样得到的结果是一样的，优点是寄存器  $B$  只需要 4 位，且不需要移位功能。为进一步简化电路结构，可使用 4 位的寄存器  $P$ 、4 位的寄存器  $A$  共同构成一个 8 位的寄存器，寄存器  $A$  为高 4 位，寄存器  $P$  为低 4 位，它们构成的寄存器 AP 为 8 位。 $A$ 、 $P$  可以单独操作，又可以一起操作。另外，用这种方法实现数字乘法器肯定会用到 4 位全加器 ADD，其进位输出 Carry 接至寄存器  $C$ ；还需要一个计数器 CNT，用来累计移位的次数，其输出  $Z$  为是否完成  $n$  次移位标志。工作时，首先将被乘数 MUL1 送入  $B$ ，乘数 MUL2 送入  $P$ ；将寄存器  $A$  清 0；将移位次数 4 置入 CNT；然后开始乘法运算。

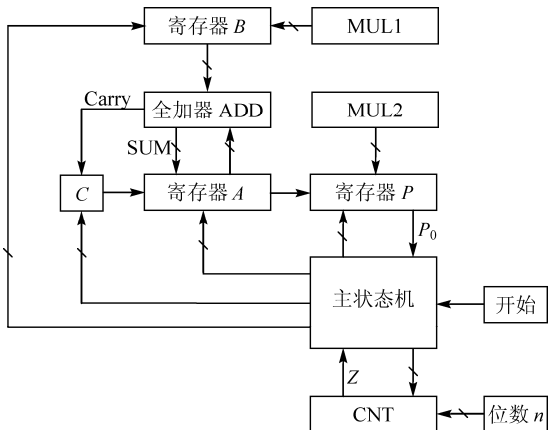


图 11.19 数字乘法器框图

MUL1 = 1010, MUL2 = 1101):

- (1) 将两个乘数 MUL1、MUL2 准备好，等待开始信号；
  - (2) 开始信号 Start 到，将 C、A 清零，将 MUL1、MUL2 分别置入 B、P，将位数 n 置入 CNT。

结果为 CNT = 4, B = 1010, Carry = 0, CAP = 0 0000 1101,  $P_0 = 1$ , SUM = A+B = 1010;

- (3) 此时  $P_0 = 1$ , 执行  $C \leftarrow \text{Carry} = 0$ 、 $A \leftarrow \text{SUM} = 1010$  操作, 结果为  $\text{CAP} = 0\ 1010\ 1101$ ;  
(4)  $\text{CAP}$  右移一位 (第一次移位),  $\text{CAP} = 0\ 0101\ 0110$ ;  $\text{CNT} \leftarrow \text{CNT}-1 = 3$ ;  $C \leftarrow 0$ 。右移后  $\text{SUM} = A+B = 1111$ ,  $\text{Carry} = 0$ ;

#### 11.4.2 总体方案

由 11.4.1 节的分析可得图 11.19 所示的数字乘法器的框图。整个数字乘法器的操作由主状态机协调、控制。

图 11.19 中, 主状态机分别控制将两个乘数写入寄存器  $B$ 、 $P$ ; 根据寄存器  $P$  的最低位  $P_0$  决定是否将 Carry、SUM 分别写入寄存器  $C$ 、 $A$ ; 控制寄存器  $C$  的清 0 操作; 控制三个寄存器  $C$ 、 $A$ 、 $P$  是否作为一个整体 CAP 进行移位; 根据  $Z$  是否为 1, 决定运算是否结束。

数字乘法器的工作过程（以  $n = 4$  位为例，

- (5) 此时  $P_0 = 0$ , 不执行  $C \leftarrow \text{Carry} = 0$ 、 $A \leftarrow \text{SUM}$  操作; CAP 仍为 0 0101 0110;
- (6) CAP 右移一位 (第二次移位), CAP = 0 0010 1011, CNT  $\leftarrow$  CNT-1 = 2;  $C \leftarrow 0$ 。右移后 SUM =  $A+B = 1100$ , Carry = 0;
- (7) 此时  $P_0 = 1$ , 执行  $C \leftarrow \text{Carry} = 0$ 、 $A \leftarrow \text{SUM} = 1100$  操作, 结果为 CAP = 0 1100 1011;
- (8) CAP 右移一位 (第三次移位), CAP = 0 0110 0101, CNT  $\leftarrow$  CNT-1 = 1;  $C \leftarrow 0$ 。右移后 SUM =  $A+B = 0000$ , Carry = 1;
- (9) 由于  $P_0 = 1$ , 执行  $C \leftarrow \text{Carry} = 1$ 、 $A \leftarrow \text{SUM} = 0000$  操作, 结果为 CAP = 1 0000 0101;
- (10) CAP 右移一位 (第四次移位), CAP = 0 1000 0010, CNT  $\leftarrow$  CNT-1 = 0;
- (11) CNT = 0, 运算结束, 返回等待状态。运算结果为 AP = 1000 0010。

可见, 两个  $n$  位数相乘, 需要 CAP 右移  $n$  次;  $C \leftarrow \text{Carry}$ 、 $A \leftarrow \text{SUM}$  操作的次数则由  $P$  中 1 的个数决定。

### 11.4.3 ASM 图

由以上分析可得图 11.20 所示的数字乘法器的 ASM 图, 图中  $P_0$  为寄存器  $P$  的最低位,  $Z$  为计数器 CNT 状态 0 标志, 高有效, 即 CNT = 0 时,  $Z = 1$ 。

### 11.4.4 主状态机的设计

由 ASM 图知, 主状态机有 4 个状态, 状态编码采用一态一触发器法。用 4 位 D 触发器实现, 其状态为  $Q_3Q_2Q_1Q_0$ 。用 11.3.4 节中方法 2 的设计方法可以得主状态机的状态方程, 从而得到驱动方程:

$$\begin{aligned} D_3 &= Q_3^{n+1} = S_2 = Q_2 \\ D_2 &= Q_2^{n+1} = S_1 + S_3 \bar{Z} = Q_1 + Q_3 \bar{Z} \\ D_1 &= Q_1^{n+1} = S_0 \cdot \text{Start} = Q_0 \cdot \text{Start} \\ D_0 &= Q_0^{n+1} = S_0 \cdot \overline{\text{Start}} + S_3 \cdot Z = Q_0 \cdot \overline{\text{Start}} + Q_3 \cdot Z \end{aligned}$$

用 11.3.4 节中的方法 2, 可得到由 D 触发器和门实现的逻辑图和逻辑符号如图 11.21 所示。

### 11.4.5 寄存器及组合模块的设计

#### 1. 寄存器 $B$ 的设计

寄存器  $B$  只需在状态  $S_1$  时完成数据 MUL1 的同步置入, 在其他状态时具有保持功能即可, 所以寄存器  $B$  应该有置数 ( $L$ )、保持 ( $H$ ) 控制端。可用具有同步置数和保持功能的四 D 触发器 74LS175 或 4 位同步计数器 74LS163 或多功能移位寄存器 74LS194 实现。在此用 74LS194 多功能移位寄存器实现: 令 74LS194 的功能控制端  $SEL_1 = SEL_0 = L / \bar{H}$ 。由 ASM 图知, 寄存器  $B$  只在状态  $S_1$  时置数, 其他状态时均保持, 所以:

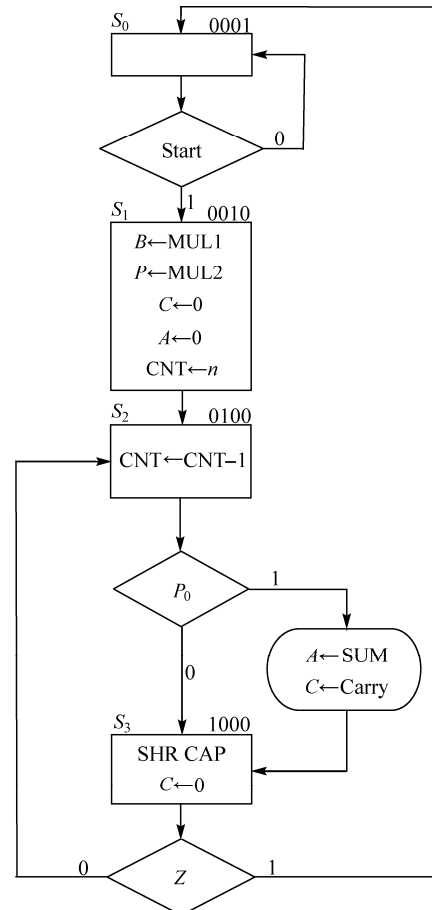


图 11.20 数字乘法器的 ASM 图

$$L / \overline{H} = S_0 \cdot 0 + S_1 \cdot 1 + S_2 \cdot 0 + S_3 \cdot 0 = S_1 = Q_1$$

图 11.22 所示为寄存器 B 的实现与逻辑符号。

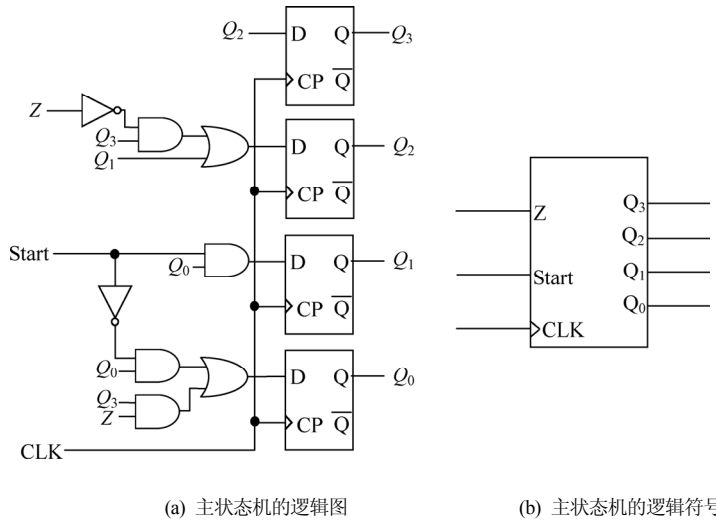


图 11.21 乘法器主状态机的逻辑图和逻辑符号

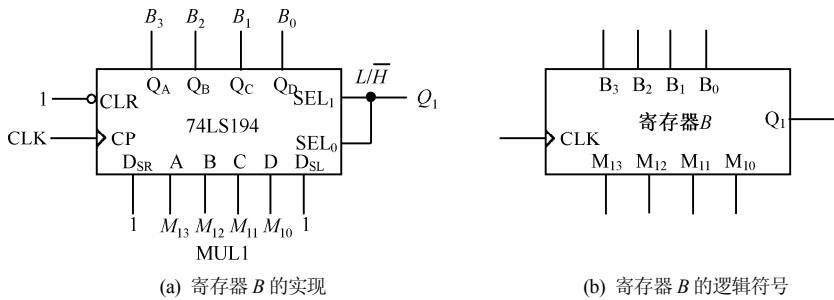


图 11.22 寄存器 B

## 2. 寄存器 C 的设计

寄存器 C 应该具有同步置位、复位及将 Carry 置入功能，而同步操作必须通过控制触发器的驱动端来实现。在此用一位 D 触发器通过控制其驱动 D 端实现。由 ASM 图得：

$$D = S_0 \cdot 0 + S_1 \cdot 0 + S_2 \cdot P_0 \cdot \text{Carry} + S_3 \cdot 0 = S_2 \cdot P_0 \cdot \text{Carry} = Q_2 \cdot P_0 \cdot \text{Carry}$$

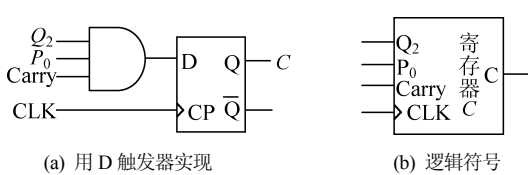


图 11.23 寄存器 C 的实现与逻辑符号

制。由状态编码、74LS194 的功能及 ASM 图得：

$$SEL_1 = S_0 \cdot 0 + S_1 \cdot 1 + S_2 \cdot 0 + S_3 \cdot 0 = S_1 = Q_1$$

$$\text{SEL}_0 = S_0 \cdot 0 + S_1 \cdot 1 + S_2 \cdot 0 + S_3 \cdot 1 = S_1 + S_3 = Q_1 + Q_3$$

图 11.23 所示为寄存器 C 的实现与逻辑符号。

### 3. 寄存器 $P$ 的设计

由 ASM 图知, 寄存器  $P$  应该能置数、右移和保持:  $S_0$  时不做任何操作, 在此按保持考虑;  $S_1$  时置数;  $S_2$  时保持;  $S_3$  时右移。可用 74LS194 实现: 令其功能控制端  $SEL_1$ 、 $SEL_0$  共同完成所需功能控

图 11.24 所示为用 74LS194 实现的寄存器  $P$  及其逻辑符号。图中 74LS194 的右移输入  $D_{SR}$  作为寄存器  $P$  的串行输入使用，输入信号为  $A_0$ 。

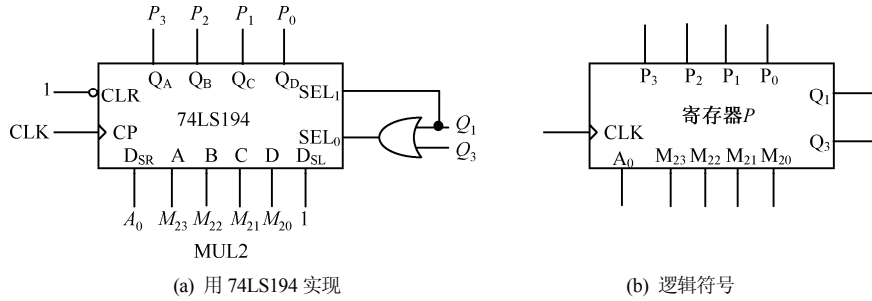


图 11.24 寄存器  $P$  的实现及逻辑符号

#### 4. 寄存器 $A$ 的设计

由 ASM 图知，寄存器  $A$  与寄存器  $P$  类似，不同的地方：在状态  $S_1$  时清 0；在状态  $S_2$  时根据  $P_0$  的值可能会置数 ( $P_0 = 1$  时执行  $A \leftarrow \text{SUM}$  操作)，也可能什么都不做 ( $P_0 = 0$  时保持)。因此寄存器  $A$  也可用 74LS194 实现。同步清 0 可看做是同步置数，所置数据为 0。为设计简单，直接用 74LS194 的异步清 0 端进行清 0，这样对系统工作没有影响。

由以上分析知，寄存器  $A$  应该有 CLEAR、LOAD、SHIFT、HOLD 功能，其中清 0 功能由 74LS194 的异步清 0 端  $\overline{\text{CLR}}$  完成，低有效；其他三个功能由功能控制端  $\text{SEL}_1$ 、 $\text{SEL}_0$  组合完成。由 ASM 图及 74LS194 的功能表得 74LS194 的控制信号：

$$\begin{aligned} \text{SEL}_1 &= S_0 \cdot 0 + S_1 \cdot 0 + S_2 \cdot P_0 + S_3 \cdot 0 = S_2 \cdot P_0 = Q_2 \cdot P_0 \\ \text{SEL}_0 &= S_0 \cdot 0 + S_1 \cdot 0 + S_2 \cdot P_0 + S_3 \cdot 1 = S_2 \cdot P_0 + S_3 = Q_2 \cdot P_0 + Q_3 \\ \overline{\text{CLR}} &= \overline{S}_1 = \overline{Q}_1 \end{aligned}$$

图 11.25 所示为用 74LS194 实现的寄存器  $A$  及其逻辑符号。图中  $D_{SR}$  为右移串行数据输入端，接寄存器  $C$  的状态输出  $C$ 。

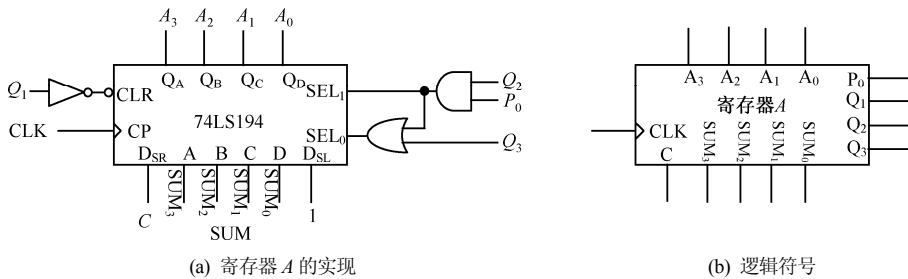


图 11.25 寄存器  $A$  的实现及逻辑符号

#### 5. 寄存器 CNT 的设计

寄存器 CNT 的作用实际上是为累计移位次数而设，因此是加法计数还是减法计数无关紧要。CNT 是计数器，该计数器应该具有置数、计数功能，并可输出计数状态是否为 0 的标志  $Z$  (高有效)。

由以上分析知，可用 74LS163 实现寄存器 CNT：用预置法，RCO 作为计数状态输出  $Z$ ，加法计数，效果与 ASM 图中的减法计数同。根据 ASM 图及 74LS163 的功能得：

$$\text{DCBA} = 1111-n = L_3L_2L_1L_0 ; \text{ 预置数 DCBA 为位数 } n \text{ 的反码，其中 D 为 MSB}$$

$\overline{LD} = \overline{S_1} = \overline{Q_1}$  ; 状态  $S_1$  时预置  
 $P = S_2 = Q_2, T = 1$  ; 状态  $S_2$  时计数,  $T = 1$  确保计数状态全 1 时  $RCO = 1$   
 $\overline{CLR} = 1$  ; 清 0 端无效, 不做清 0 操作  
 $Z = RCO$  ;  $RCO$  作为计数状态指示  $Z$  使用

图 11.26 所示为 74LS163 实现的寄存器逻辑图及逻辑符号, 其中预置数  $2^4 - 4 = 12$  为 4 位乘法器的情况。

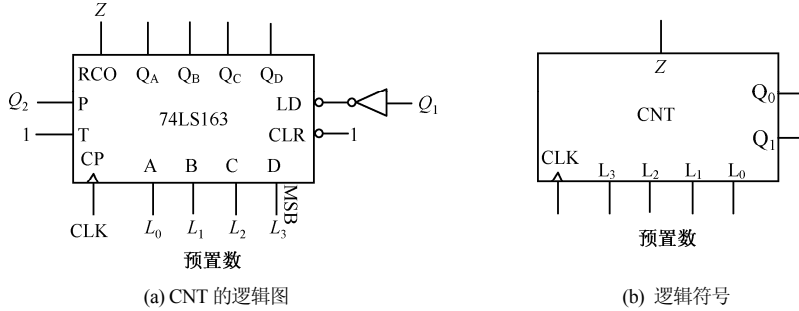


图 11.26 CNT 的逻辑图与逻辑符号

## 6. 全加器的设计

在 ASM 图中, 需要执行  $A \leftarrow SUM$  的操作, 其中  $SUM$  是  $A$  与  $B$  的和。显然  $SUM$  必须由全加器产生。全加器是组合逻辑, 它的输出  $SUM$  和 Carry 只受寄存器  $B$  和寄存器  $A$  的状态控制, 可用一片 74LS283 实现, 如图 11.27 所示。

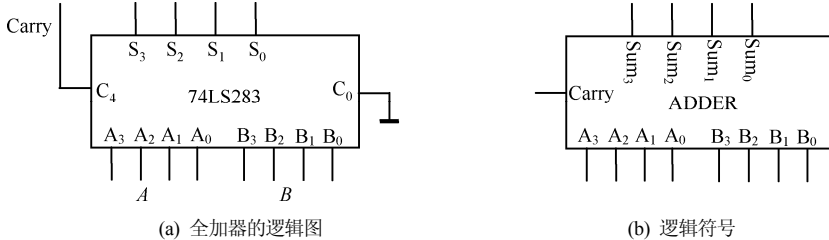


图 11.27 全加器的逻辑图与逻辑符号

### 11.4.6 数字乘法器的实现

用类似 11.3.6 节的方法, 将以上所设计的各模块的逻辑符号连接起来, 就可得到所设计的 4 位乘法器。读者可自行练习, 在此略。

如果要实现  $n$  位乘法器, 只需要将寄存器  $A$ 、 $B$ 、 $P$  改为  $n$  位, CNT 的模改为  $n$  即可。

## 小结

为“自上而下”地进行数字系统的设计, 本章首先介绍了 RTL 及 ASM 图的概念。指出在数字系统中起控制、协调作用的状态机称为“主状态机”, 而其他所有受主状态机控制并向主状态机输出状态信号的状态机统称为寄存器, 当然系统中还有组合模块, 如全加器。

在此基础上介绍了“交通灯控制器”和“数字乘法器”两个设计例子。两个例子的主状态机分别用触发器+多路选择器法和一态一触发器法设计。从这两个例子可以看出: 触发器+多路选择器法的主

状态机使用的触发器较少，控制逻辑也比较简单，而寄存器的设计相对复杂一些；用一态一触发器法设计时的各模块（包括主状态机）都比较简单。

两种方法的共同问题是都没有考虑“自启动”。使用触发器+多路选择器法时，只要将无效状态的次态指定为有效状态即可；而对于一态一触发器法就相对复杂一些，可用“上电复位”法实现自启动，也可以采用其他方法实现自启动。

## 习 题

11-1 试说出经过下列寄存器传输操作后，各寄存器的值。

$$R_1 \leftarrow 1, R_2 \leftarrow R_1 + 1, R_3 \leftarrow R_1 + R_2;$$

$$R_2 \leftarrow R_2 + 1, R_1 \leftarrow R_2, R_4 \leftarrow \text{SHR } R_3.$$

11-2 试画出下列状态转移的 ASM 图。

(1) 在状态  $S_1$  时，如果  $X=0$ ，则状态  $S_1$  进入到状态  $S_2$ ；若  $X=1$ ，产生条件操作，状态从  $S_1$  进入到  $S_2$ 。

(2) 如果  $X=1$ ，则状态从  $S_1$  进入到  $S_2$ ，然后到  $S_3$ ；如果  $X=0$ ，状态从  $S_1$  进入到  $S_3$ 。

(3) 从初始状态  $S_1$  开始，如果  $X_1X_0=00$ ，进入状态  $S_2$ ；如果  $X_1X_0=01$ ，到  $S_3$ ；如果  $X_1X_0=10$ ，到  $S_1$ ；否则，到  $S_3$ 。

11-3 用两个寄存器 RA 和 RB 接收两个不带符号的二进制数，并执行如下所示的减法操作，试画出该电路的 ASM 图：

$$RA \leftarrow RA - RB$$

如果结果为负值，将借位触发器置 1。

11-4 试用三个 16 位寄存器 RA、RB 和 RC 设计一个数字电路，执行下列操作：

(1) 传送两个 16 位带符号的数（2 的补码表示法）给 RA 和 RB；

(2) 如果 RA 中的数值是负数，将其除以 2，结果送给寄存器 RC；

(3) 如果 RA 中的数值是正数并且非零，将 RB 中的数乘以 2，结果送寄存器 CR；

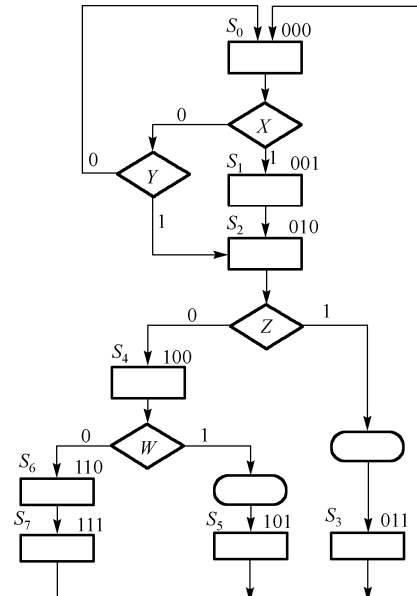
(4) 如果 AR 中的数值是零，将寄存器 RC 清零。

11-5 试设计一个小型数字系统，它能够计数  $n$  位二进制数  $N$  中“1”的个数。提示：开始信号到时，执行  $R_1 \leftarrow N$  操作；用移位的方式判断某一位是否是“1”，用  $R_2$  计数“1”的个数；全部  $n$  位判断完后，返回起始状态，等待下一次计数。

11-6 图题 11-6 为某数字系统 ASM 的主状态机部分（寄存器操作部分省略）。试用 D 触发器和 8-1 MUX 实现该主状态机。

11-7 试将 11.4 节中所设计乘法器的主状态机及寄存器连接起来，构成除法器电路。

11-8 试参考 11.3 节设计一个交通灯控制器。所设计交通灯控制器在主路和支路上各有一个传感器  $V_M$  和  $V_B$ ，分别用于感应主、支路上有无车辆，其他与 11.3 节同。要求：主、支路都有车时，自动循环；都无车时，主路放行；主路无车时，支路放行，时间不清 0，即一旦主路有车，若时间到，立即转到主路放行；支路无车时，主路放行，时间清 0，即一旦支路有车，还要等  $T_L$  时间才能放行。



图题 11-6 某数字系统 ASM 图的主状态机部分

## 参 考 文 献

- [1] 张著, 程震先, 刘继华. 数字设计——电路与系统. 北京: 北京理工大学出版社, 1992.
- [2] 阎石. 数字电子技术基础 (第 5 版). 北京: 高等教育出版社, 2006.
- [3] 康华光. 电子技术基础——数字部分 (第 5 版). 北京: 高等教育出版社, 2006.
- [4] Victor P. Nelson, etc. Digital Logic Circuit Analysis & Design. USA: Prentice Hall, Inc. 1995.
- [5] M. Moris Mano. Digital Design. 3<sup>rd</sup> Edition. USA: Prentice Hall, Inc. 2002.
- [6] John F. Wakerly. Digital Design, Principles & Practices. 3<sup>rd</sup> Edition. USA: Prentice Hall, Inc. 2000.
- [7] M. Morris Mano, Charles R. Kime. Logic and Computer Design Fundamentals. 2<sup>nd</sup> Edition. USA: Prentice Hall, Inc. 2002.



欢迎登录 免费 获取本书教学资源  
http://www.hxedu.com.cn

- ◎ 加强基础
  - ◎ 丰富的例题与习题，教学与实践结合
  - ◎ 给出涉及专业术语的英文名称，方便双语教学
  - ◎ 采用特定符号系统ANSI/IEEE Std 91a-1991
  - ◎ 重点讲述数字电路的分析与设计方法
- ☆ 配套电子课件、习题参考答案等



策划编辑：王羽佳  
责任编辑：王羽佳  
封面设计：徐海燕

ISBN 978-7-121-23472-9

9 787121 234729 >

定价： 元